

*Verhandlungen der
Physikalisch-medizinische ...*

Physikalisch-medizinische Gesellschaft zu Würzburg

PHY
5988
•b

290.2

Library of the Museum
OF
COMPARATIVE ZOÖLOGY,
AT HARVARD COLLEGE, CAMBRIDGE, MASS.

The gift of

Physikal.-med.
the Deutsche Gesellschaft
zu Würzburg

No. 7267

June 13, 1888

VERHANDLUNGEN
DER
PHYSIKALISCH-MEDICINISCHEN GESELLSCHAFT
ZU
WÜRZBURG.

HERAUSGEGEBEN
VON DER
REDACTIONS-COMMISSION DER GESELLSCHAFT
MED.-RATH DR. GR. SCHMITT.
PROF. DR. W. REUBOLD. DR. FRIEDRICH DECKER.

NEUE FOLGE. XXI. BAND.

MIT 6 TAFELN
IN LITHOGRAPHIE UND FARBENDRUCK.

WÜRZBURG.

DRUCK & VERLAG DER STAHEL'SCHEN UNIVERS.-BUCH- & KUNSTHANDLUNG.

1888.

Inhalt des XXI. Bandes.

	Seite
<u>Lenk, H.</u> , Zur geologischen Kenntniss der südlichen Rhön	1
<u>Pecher, Fr.</u> , Beiträge zur Kenntniss der Wasser aus den geschichteten Gesteinen Unterfrankens	113
<u>Hoffa, Alb.</u> , Ueber die Folgen der Kropfoperationen. Mit 3 Tafeln. . . .	189
<u>Friedheim, Ludw.</u> , Das Ulcus molle. Historisch-kritische Studie	207
<u>Gerheim, Max</u> , Ueber Mischinfection bei Gonorrhoe	249
<u>Seifert, O.</u> , Ueber Ankylostomum duodenale. Mit einer lithograph. Tafel. .	283
<u>Röder, J.</u> , Medicinische Statistik der Stadt Würzburg für das Jahr 1885 (mit Einschluss des Jahres 1884). Mit 2 lithograph. Tafeln. . . .	295

Zur geologischen Kenntniss der südlichen Rhön

von

HANS LENK

aus München.

Topographischer Ueberblick.

Als ein Glied jenes Gürtels von altvulkanischen Gebirgen, welcher das mittlere Europa zwischen 50 und 51° nördl. Breite von Ost nach West in einer Ausdehnung von etwa 220 geographischen Meilen durchsetzt, erhebt sich zwischen dem 27. und 28. Längengrad östlich von Ferro das Rhöngebirge.

Nach Osten zu bildet es den Abschluss der ersten Gruppe — der rheinischen, wenn man sie im Gegensatz zu der böhmisch-mährischen so nennen darf — jener Massengebirge, welche der gewaltigen vulkanischen Thätigkeit während der Tertiärperiode ihr Dasein verdanken. Die wenigen basaltischen und phonolithischen Kuppen im Bereiche des Thüringer Waldes sind zwar geologisch insoferne von Wichtigkeit, als sie den Verlauf jener Eruptionslinie andeuten, welche zu dem erwähnten anderen Vulkangebiet überleitet; für die Terraingestaltung aber besitzen sie nur eine sehr untergeordnete Bedeutung.

Zwanglos ergibt sich deshalb auch die östliche Grenze des Rhöngebiets: das Werrathal in seinem oberen Theile von Salzungen bis Meiningen, von hier eine Linie nach Mellrichstadt in's Thal der fränkischen Saale und dieses selbst bis zur Mündung in das Maintal bilden die Scheide gegen das östlich sich anreihende thüringische Bergland und gegen das südlich vorgelagerte fränkische Kalkplateau.

Weniger leicht dagegen erscheint es, die Grenzen der Rhön gegen Westen festzustellen, indem sich hier ein kleines Bergland, die sogenannte Breitfirst, einschiebt, welches ein förmliches

Verbindungsglied zwischen Vogelsberg und Rhön bildet. Dennoch wird es zweckmässig sein, dasselbe von der Rhön abzutrennen und somit die westliche Grenzlinie im Sinnthal von Gemünden bis Jossa, dann im Thal der kleinen Sinn bis Kothen und von hier aus über Fulda-Hünfeld nach Haun im Haunthale verlaufen zu lassen.

Nach Norden zu endlich bildet zunächst die Linie Haun-Vacha, dann das Werrathal aufwärts bis zu seiner Biegung bei Salzungen eine gute natürliche Grenze.

Das also umschlossene Gebiet begreift ein Areal von rund 3500 Quadratkilometer, dessen grösste Längserstreckung mit 98 km in NNO—SSW Richtung — Salzungen-Gemünden — stattfindet und dessen grösste Breite zwischen Fulda und Meiningen 43 km beträgt.

Es mag zur Orientirung angezeigt erscheinen, hier eine kurze Schilderung der topographischen Verhältnisse der Rhön im Allgemeinen und des Untersuchungsgebietes im Besonderen voranzustellen, welche im Wesentlichen der trefflichen Darstellung des bayerischen Topographen *Walther*¹⁾ folgt. Die Festlegung des Reliefs ist seitdem durch die grosse Zahl von Höhenmessungen, welche das k. bayerische topographische Bureau im südlichen, d. h. bayerischen Theile der Rhön vornehmen liess, wesentlich gefördert worden.

Als kartographische Unterlage dienten bei den Terrainarbeiten die Blätter Hammelburg, Brückenau und Tann des „topographischen Atlases des Königreichs Bayern“ im Maassstabe 1:50000. Die neueren Ausgaben derselben sind seit 1884 bereits mit den sämmtlichen gewonnenen Höhengoten versehen.

Als Skelet des Rhöngebirges ist die sog. „hohe oder lange Rhön“ anzusehen, welche mit dem Engelsberg bei Tann beginnend im gewaltigen Bogen zuerst nach Süden, dann nach Westen bis zum Dammersfeld zieht und in dieser Form nahezu die Hälfte eines Kreises darstellt, dessen Centrum ungefähr bei Langenbieber liegen würde.

Weitaus zum grössten Theile besteht die LangeRhön aus einer ausgedehnten Hochfläche von wechselnder Breite, mit Wiesen und Mooren bedeckt, während an den Rändern, Bastionen vergleichbar,

¹⁾ *F. W. Walther*, Topische Geographie von Bayern. München 1844. S. 242 ff.

basaltische Kuppen einerseits das Plateau überragen, andererseits oft steil in die Thäler abfallen und deren Gehänge mit ihren Geröllmassen überschütten.

Die durchschnittliche Meereshöhe des Plateaus beträgt 700 bis 800 m, die der Kuppen 750 bis 850 m. Diese sohin verhältnissmässig unbedeutende Ueberhöhung der Kuppen, sowie ihre sanfte Abdachung nach der Hochfläche zu bewirken, dass man, auf derselben sich befindend, nicht in einem Gebirgslande zu sein glaubt.

Von den derart flankirenden Kuppen seien genannt:

auf der Westseite:

Engelsberg bei Tann 737 m.
 Stauffelsberg bei Hilders 647,2 m.
 Dunkküppel bei Birx.
 Querenberg 812 m.
 Hoher Polster 880 m.
 Störnberg 909,2 m.
 Stellberg 888,9 m.
 Heidelberg 926,6 m.
 Kesselstein 801,8 m.
 Himmeldankberg 890,4 m.

auf der Ostseite:

Weidberg.
 Ellnbogenberg 813,5 m.
 Saltenberg 755 m.
 Hillenberg 675 m.
 Rother Küppel 723 m.
 Ilmenberg 788,7 m.
 Gangolphsberg 759,5 m.
 Steinernes Haus 733 m.
 Hoher Deutschberg 763,1 m.
 Bauersberg 788 m.
 Münzkopf 845,2 m.

Zwischen Wüstensachsen und Gersfeld und zwischen Wüstensachsen und Fladungen liegen, in weiten Kesselthälern eingebettet, die beiden grössten Torfcomplexe der Rhön: das schwarze und das rothe Moor.

Bei der Verbreiterung, welche zur Ausdehnung des letzteren Gelegenheit gibt, also dort, wo der Bogen der Langen Rhön in die westliche Richtung einlenkt, schliesst sich unmittelbar der gewaltige Eruptivstock des „Abtsrodaer Gebirges“ an. Abgesehen davon, dass das Rhöngebirge hier in der Grossen Wasserkuppe mit 950 m seine beträchtlichste Höhe über dem Meeresspiegel erreicht, wird man bei dem complicirten Aufbau dieser Berggruppe, in welchen die durch einen Bergrutsch entblösten südlichen Steilwände des Pferdkopfs (878,5 m) einen hoch interessanten, instructiven Einblick gestatten, wohl nicht fehl gehen, den einstigen Schauplatz der grossartigsten vulkanischen Thätigkeit im Rhöngebiete hierher zu verlegen.

Ein ähnliches Gebirgsmassiv ist der Langen Rhön auch im Süden vorgelagert in Gestalt des Kreuzbergs und der Schwarzen

Berge. Zwar ist dazwischen der Oberlauf der Brend tief eingeschnitten, allein der Plateaucharakter besonders der Schwarzen Berge macht sie der Langen Rhön so nahe verwandt, dass ihre Besprechung hier Platz greifen mag. Durch eine reichlichere Waldbedeckung ist allerdings die landschaftliche Einförmigkeit der Schwarzen Berge erheblich gemildert.

Sowohl geologisch als auch in manch anderer Beziehung als der mächtigste Berg erscheint der Kreuzberg. Von drei Trabanten gleichsam gestützt: dem Arnsberg im Norden, der Eisenhand im Westen und dem Käuling im Osten, erhebt er sich, besonders von Süden in seiner ganzen imposanten Massigkeit zu sehen, 930,3 m über das Meeresniveau, das benachbarte Dammersfeld um wenigens überragend. Arnsberg (844,5 m), Kreuzberg und Eisenhand bilden zusammen einen weiten nach Westen geöffneten Circus — das Quellgebiet der Sinn.

Nach N und S zeigt der Berg steile Gehänge; wie er im W durch die Eisenhand sich zum Sinnthal senkt, so vermittelt im O der weit vorgeschobene Käuling (755,6 m) den Uebergang zu den sanft aus dem Saalgrunde ansteigenden Waldhöhen des Burgwallbacher Forstes.

Die Schwarzen Berge, vom Kreuzberg durch das Kellerbachthal getrennt und mit ihm nur durch den 664 m hohen Guckassattel verbunden, lassen sich in drei Abtheilungen trennen. Jede derselbe entsendet nach W einen Ausläufer; so die nördliche mit dem Feuerberg (834 m) den Oettershauk (766 m), die mittlere, welche als Culminationspunkt der ganzen Gruppe den Todtemannsberg (eigentlich Totnansberg 840 m) trägt, den Mittelberg (vier Kuppen, deren höchste 657 m) und die südliche, der eigentliche Schwarzenberg (825 m), den Farnsberg (757,3 m) mit dem Knörzchen (643 m) bei Oberriedenberg. Weit nach S vorgeschoben gehört dieser Abtheilung noch die Platzer Kuppe (738,2 m) an, einen herrlichen freien Ausblick über das mit meilenweiten Wäldern bedeckte Saalegebiet gewährend.

Der Hauptzug der Langen Rhön erfährt kurz nach der Abzweigung des Abtsrodaer Gebirges eine mit einer bedeutenden Depression verbundene Einschnürung. Der schmale Sattel (etwa 705 m), zu welchem östlich die Gehänge des Simmetsberges (839 m), des Himmeldankberges (890,4 m), sowie des Rößensteins (778 m), westlich jene des Rössberges (865 m) und des Schachenbergs (825,6 m) sich steil herabsenken, stellt die Wasserscheide

zwischen Brend und Fulda, im weiteren Sinne also zwischen Rhein und Weser dar.

Eine Reihe von einzelnen Kuppen, von denen im Verlaufe der Kammlinie Mittelberg (886 m), Eyerhauk (912,8 m), Beutelsstein und Rabenstein (842 m), nördlich davon Rommerser Berg (800 m), südlich Zornberg (843 m) und Rucksberg (871 m) genannt seien, leitet zum sog. Dammersfeld über — einem ausgedehnten Plateau, welches wieder in hohem Grade den Typus der Langen Rhön zeigt. Es wird überragt von der massigen Dammersfelder Kuppe (929,9 m), an welche sich im weiteren Verlaufe nördlich die Klippenreihe der Ottersteine mit dem Bremerkopf endigend ansetzt.

Das Plateau selbst biegt im kurzen scharfen Winkel nach NW gegen die Dalherdaer Kuppe (802 m) um und senkt sich dann wieder in westlicher Richtung durch die breite Vorstufe des Schluppbergs (705 m) endlich zur Thalung der Doellau.

Es ist zu beachten, dass die Wasserscheide nicht weiter dem eben erwähnten Verlaufe des Plateaus folgt, sondern vielmehr durch einen Bergrücken gebildet wird, der südlich von der Dreyfeldskuppe (842 m) vom Dammersfeld in rein westlicher Richtung abzweigt, den Maria Ehrenberg (676,1 m) trägt und, zwischen Kothen und Motten einen Sattel (507,7 m) bildend, im nahezu rechten Winkel auf den süd-nördlichen Zug der Mottener Haube (765 m) stösst.

Gleich der Langen Rhön besitzt auch das Dammersfeld besonders im N und W steile Halden, welche von den üppigen Forsten des Hader-, Schlupp- und Maria Ehrenberg-Waldes bedeckt sind.

Mit dem Rucksberg (871 m) beginnt eine nach W und S sich ausdehnende Sandsteinterrasse. Im östlichen Theile mehr Plateau, sind ihr die Kuppen der beiden Auersberge (805 und 809 m), sowie diejenige des Volkersberges (554,2 m) aufgesetzt. Gegen W geht sie in ein ziemlich coupirtes waldreiches Hügel-land über, welches in den Doleritkuppen der Gegend von Schwarzenfels und Oberzell imposante Grenzpfiler gegen das nördlich und westlich umsäumende Thal der kleinen Sinn besitzt.

Eine ähnliche Terrasse lagert sich der Dammersfeld-Gruppe nördlich vor, von ihr durch das Thal des Rommerser, später Schmalnauer Wassers getrennt. Sie schliesst sich dem Hauptzuge beim Rommerser Berge (800 m) bei Kippelbach an, trägt

Grossen und Kleinen Nallen (767 bzw. 707,4 m) und erstreckt sich, vom Lahnwald bedeckt, in westlicher Richtung an Breite stets abnehmend, als Südgehänge des Fuldathals bis gegen Schmalnau.

Neben der soeben detaillirt geschilderten Langen Rhön findet sich auch noch ein anderer landschaftlicher Typus, der von *Walther* in zutreffendster Weise als „kuppenreiche Rhön“ bezeichnet wird.

Damit ist jenes Gebiet gemeint, welches nach der Innenseite, also westlich der grossen Curve der Langen Rhön gelegen, seinen eigenartigen Charakter durch das Auftreten von zahlreichen, regellos zerstreuten Kuppen und Kegeln eruptiven Ursprungs von verschiedenem Alter und von verschiedenem Gestein erhält. Es sei hier nur an Milseburg, Steinwand, Maulkuppe, Alschberg und an die anderen durch die Originalität ihrer Formen ausgezeichneten Kuppen der Gegend von Fulda, Hünfeld und Geysa erinnert.

Als die südlichsten Vorposten dieser Eruptivmassen sind die vereinzelt Kuppen bei Brückenau wie Dreistelz (662,1 m), Pilster (638 m), Mitgenberg (582 m), Schildeck (590 m), Lindenstumpf (528 m), Kressberg (551 m), weiter südlich Hegküppel (616,1 m) und Büchlberg (447 m) und jenseits der Saale endlich die ausichtsreichen Warten des Soden- und Reussenbergs (507 und 427,5 m) zu betrachten.

Sie erheben sich aus dem von Sinn und Saale umflossenen Sandsteingebiet, welches, in seinem Charakter durchaus dem Hochspessart verwandt, im Hinblick auf das Auftreten von Eruptivgesteinen jedoch als ein Verbindungsglied zwischen diesem und der Rhön erscheint. Der Name „fränkischer Saalwald“ besagt schon den Waldreichtum dieses terrassenförmig zum Rhöngebirge ansteigenden Geländes, welches durch die Thalsysteme der Schondra und der Thulba eine complicirte Gliederung erfährt.

Geologische Verhältnisse.¹⁾

Am Aufbau der Rhön betheiligen sich

a) die Triasformation und

b) die Tertiärformation.

Von der ersteren kommen die beiden unteren Abtheilungen: Buntsandstein und Muschelkalk in Betracht; von der letzteren spielen die Sedimentärgebilde eine untergeordnete Rolle, während die Producte der vulkanischen Thätigkeit dem Gebirge während dieser Periode seinen jetzigen Charakter erst verliehen.

Als jüngste sind noch die diluvialen Schotterablagerungen und die alluvialen Bildungen zu erwähnen, während der Löss der Hauptrepräsentant des Diluviums im übrigen Franken, auf wenige dem Saalgrund zunächst gelegene Striche beschränkt ist und der eigentlichen Rhön zu fehlen scheint.

Wir beginnen mit der Schilderung der Sedimentärbildungen und somit der des

Buntsandsteins.

Als Fortsetzung des Hochspessarts zieht sich das Sandsteingebirge in breiter Masse nordöstlich zum Thüringer Wald und bildet als die nördlich des Saaethals dominirende Formation so recht eigentlich das Fundament des ganzen Rhöngebirges.

Sinn und Brend, die Zuflüsse der Saale, ferner nördlich Kleine Sinn, Fulda, Lütter, Ulster u. a. m. durchschneiden dasselbe in meist vielfach gewundenen Erosionsthälern, von denen ein Theil sicher auch tiefgreifenden Verwerfungen seine erste Anlage verdankt und deren Sohlen bei der reichlichen Bedeckung mit fruchtbarem Alluviallehm in nutzbringendster Weise der Wiesencultur dienstbar gemacht werden. Dort wo der Röth, die oberste Abtheilung, zu bedeutenderer Entwicklung gelangt, kann sich auch der Ackerbau erfolgreich entfalten; wohlhabende Ortschaften im Vorlande der Langen Rhön, wie Weisbach und Oberelzbach geben hievon Zeugniß.

¹⁾ v. Gümbel in der „Bavaria“ IV. Band S. 27 ff.

v. Sandberger, Zur Naturgeschichte der Rhön. Gemeinnütz. Wochenschrift. Würzburg, 1881. Nr. 1—6.

Ders. Die Triasformation im mittleren Maingebiete. Ebenda 1882.

Die Gliederung des bunten Sandsteins ist folgende:
Hangendes: Wellendolomit.

Röth.

Chirotherienbank.

Voltziensandstein.

Carneolbank.

Weisse Kiesel sandsteine, oben mit Conglomeraten.

Rother Sandstein.

Rother thoniger Sandstein.

Tiefere Schichten treten in der Rhön nicht mehr zu Tage.

Wie sich aus dem vorstehenden schematischen Profil ergibt, wird die mittlere Abtheilung durchweg gebildet von der Hauptmasse nach rothen Sandsteinen, deren Färbung von der mehr oder weniger reichlichen Betheiligung des eisenoxydreichen thonigen Bindemittels abhängt. Grosse Einförmigkeit sowohl in der petrographischen Entwicklung als in seiner landschaftlichen Wirkung ist der Grundcharakter dieses Gesteins, auf welches *Daubrée's* Beschreibung des kieseligen Buntsandsteins in den *Vogesen*¹⁾ vollständig anzuwenden ist.

Die Dimensionen der Quarzkörnchen wechseln im Allgemeinen wenig, und wo dies der Fall ist, weist das Auskeilen gröber- oder feinerkörniger Bänke auf eine lokale Erscheinung hin. Selten nehmen die Feldspathpartikelchen so überhand, dass man von einer arkoseartigen Abänderung mit Recht sprechen könnte. In einem gewissen Niveau werden die Sandsteine heller und nehmen eine weisse Farbe an; ein charakteristisches Merkmal verbleibt ihnen aber, welches *Daubrée* besonders hervorhebt und dessen Nichtbeachtung schon mehrfach Verwechslungen mit Sandsteinen der obersten Abtheilung verursacht hat.

Die rundlichen und trüben Quarzkörnchen sind nämlich in diesem Sandstein alle mit mehr oder weniger dicken secundären Ueberzügen von wasserheller durchsichtiger Kieselensäure bedeckt, welche mitunter ausgebildete deutliche Krystallformen mit spiegelnden Flächen aufweisen. Besonders gut ist diese Erscheinung natürlich am weissen Sandsteine zu beobachten, wo

¹⁾ *M. A. Daubrée*, Description géologique et minéralogique du département du Bas-Rhin. Strasbourg 1852 p. 89—91.

F. v. Sandberger, Geologische Beschreibung der Gegend von Baden 1860. S. 19. Geolog. Beschreibung d. Umgebung der Rhenzbäder 1863. S. 5 ff.

das thonige Bindemittel beinahe vollständig durch diese fein vertheilte Kieselsäure vertreten wird.

Herr Professor Dr. *Hilger* in Erlangen hatte die Güte, mir die Veröffentlichung der Resultate einer von ihm ausgeführten Analyse eines solchen weissen Sandsteins vom Silberhof bei Altglashütte freundlichst zu gestatten. Dieselbe ergab:

SiO ₂	=	92,824
Al ₂ O ₃	=	1,632
Fe ₂ O ₃	=	0,343
CaO	=	2,141
MgO	=	0,006
K ₂ O, Na ₂ O	=	0,215
P ₂ O ₅	=	0,021
SO ₃	=	0,612
		<hr/> 97,794.

Neuere Beobachtungen haben die Annahme, dass diese Varietät sich nach Süden auskeile, widerlegt; nach diesen sind nämlich weisse Kieselsandsteine bei Gräfendorf (zwischen Saal- und Wernthal), am sog. Dachsberg bei Gambach (woselbst sie Herr Professor *v. Sandberger* im Herbste 1886 in einem verlassenen Steinbruche fand) und endlich beim Sprengen in dem Mainbette bei Thüngersheim constatirt worden. In den obersten Bänken stellen sich mitunter Quarzgerölle von den verschiedensten Dimensionen ein; ihre Herkunft ist vorläufig noch nicht sicher nachgewiesen, doch glaubt *v. Sandberger* in ihnen das Produkt einer Einschwemmung von Westen her erblicken zu dürfen.

Was die Verbreitung der weissen Sandsteine anlangt, so finden sie sich auf den Höhenzügen, welche das Sinnthal begleiten; auch auf den oben geschilderten beiden Terrassen südlich und nördlich der Dammersfeld-Gruppe erfüllen sie ein bedeutendes Areal. Nur in geringer Entwicklung lassen sie sich dagegen im Osten auf den Höhen des Burgwallbacher Forstes beim Anstieg zum Käuling beobachten.

Im Maingebiete folgt nach oben nun der wichtige Leithorizont der Carneolbank, welche ihren Namen mit Rücksicht auf die hier stattfindende Anhäufung von Dolomitputzen und Carneolknauern führt. Es ist mir leider nicht gelungen, auch in der Rhön diese Bank mit Sicherheit nachweisen zu können.

Als ein Aequivalent des Voltziensandsteins ist der nun folgende, 20–30 m mächtige Complex von rothen Schieferthonen

zu betrachten. Während in südlicheren Gebieten in dieser Stufe Sandsteine überwiegen, herrschen in der Rhön tiefroth gefärbte Schieferthone vor und wechsellagern nur in beschränktem Maasse mit stark thonigen, dünn-schichtigen, glimmerreichen Sandsteinen, sog. Sandsteinschiefern.

Die Gruppe ist südlich von Brückenau, am Ende der Stadt am Fusswege nach Breitenbach gut aufgeschlossen. Es lässt sich hier folgendes Profil beobachten:

Chirotherienbank.

Thonige glimmerreiche Sandsteine	}	8,0 m
Rothe Schieferletten mit Wellenfurchen und Kochsalzmodellen		
Rothe Letten und Sandsteinschiefer . .		4,0 "
Grüne Letten		1,5 "
Letten mit Wellenfurchen }		6,0 "
Rothe Sandsteinbänkchen		4,0 "
Rothe und grüne Letten		1,0 "
Rothe Sandsteinbank		2,0 "
Rothe und grüne Schieferthone		

Die Schieferthone sind häufig grün gefleckt durch stellenweise Reduction des färbenden Eisenoxyds zu Oxydul; sie zeigen besonders bei Lagerungsstörungen parallelepipedische Zerklüftung.

Die Sandsteine besitzen in Folge des Auswitterns von linsenförmigen Thongallen mitunter ein blatternarbiges Aussehen.

In den oberen Regionen sind oft Bänke mit prächtigen Wellenfurchen bedeckt, während die Platten mit zahlreichen mehr oder weniger scharf erhaltenen Modellen ehemaliger Kochsalzkrystalle auf einen bestimmten Horizont in dieser Schichtengruppe beschränkt zu sein scheinen.

Paläontologisch ist der bunte Sandstein bis hieher in der Rhön noch unergiebig als anderswo. Von den sonst in den zuletzt geschilderten Sandsteinbänkchen häufigen Resten von *Equisetum Mougeoti Schimp.*, *Chelepteris Voltzii Schimp.* und *Moug.* und *Voltzia heterophylla Brongn.* hat *v. Gümbel* nur einige Fragmente bei Euerdorf im Saaletal aufgefunden, während Herr Professor *v. Sandberger* in dem Aufschluss bei Brückenau einmal so glücklich war eine *Halicyna* zu entdecken.

Aehnlich wie beim Löss, finden sich in diesem Terrain häufig Hohlwege, welche tief eingeschnitten gute Einblicke in die Entwicklung dieser, sowie der nun folgenden Abtheilung, des

Röths nämlich, gewähren. In dieser Beziehung ist die Gegend von Hammelburg und Kissingen, der Nordabhang des Krenzbergs bei Bischofsheim, sowie der Ostrand der „Langen Rhön“ besonders beachtenswerth.

An der Sohle des Röths liegt in Gestalt der sog. Chirotherienbank der wichtigste Leithorizont des oberen Buntsandsteins in Franken.

Sind auch die Fährten des Sauriers, von dem die Bank ihren Namen herleitet, nicht immer so dicht gesäet, wie an der berühmten Fundstelle bei Aura, so fehlen doch wenigstens die charakteristischen Austrocknungsrisse und auch die mysteriösen Schlangenhügel nie und seine allgemeine Beschaffenheit lässt den die Bank bildenden Sandstein nur bei oberflächlichster Betrachtung mit dem tiefer liegenden, ausführlich geschilderten weissen Sandstein verwechseln.

Im Gegensatz zu diesem ist er nämlich ziemlich grobkörnig; das stark thonig riechende Bindemittel ist in viel reichlicherem Maasse vorhanden und besteht grösstentheils aus einem Dolomit mit verhältnissmässig hohem Mangangehalt, welcher letztere sich beim frischen Gestein stets deutlich nachweisen lässt. Ueberdies fehlt den Quarzkörnern die kantige und krystalline Beschaffenheit.

Im Mainthal (an der Gambacher Steige zum Beispiel) beträgt die Mächtigkeit der Bank 60–70 cm, im Rhöngebiete durchschnittlich 1–2 m, also ganz entsprechend ihrem südlichen Auskeilen und ihrer stärkeren Entwicklung im Bereiche der Thüringer Trias.

Nicht unerwähnt möchte ich noch lassen, dass die Chirotherienbank im Terrain sich bisweilen durch eine Neigung zur Terrassenbildung kenntlich macht.

Den oberen Abschluss der Buntsandsteinformation endlich bildet der Röth.

Im Rhöngebiete etwa 30–40 m mächtig, zeigt seine Entwicklung nur wenige Verschiedenheiten gegenüber jener anderer Gebiete. Vorherrschend tiefrothe Schieferletten wechsellagern mit einigen grün gefärbten Lagen und thonigen Sandsteinschiefern. Nach oben nehmen sie bei steigendem Gehalt an Kalk und Magnesia einen mergeligen Charakter an, ja es treten, zuerst vereinzelt, Dolomitputzen und -schnüre und zuletzt, etwa 1–2 m unterhalb der oberen Grenze des Röths, ein dünnes kaum über 10 cm mächtiges Dolomitbänkchen auf, welches nach gütiger Mittheilung von Herrn Professor v. Sandberger bei Hünfeld zahlreiche Exemplare von *Myophoria vulgaris* führt. Eine tiefer liegende,

dem Horizont der *Myophoria costata* entsprechende Bank vermochte ich nicht aufzufinden.

Der hohe Eisengehalt, welchen diese Schieferletten mitunter aufweisen, hat zu lokalen Bergbauversuchen am Kreuzberg und a. a. O. Veranlassung gegeben. Es liegt hier offenbar eine ähnliche ursprüngliche Concentration des Eisenoxys vor, wie sie in den Leberschiefern des Spessarts sehr häufig auftritt.

Als Beispiel hiezu möchte ich folgende Zahlen aus einer Analyse der eisereichen Röthschiefer vom Käuling, welche mir Herr Professor Dr. *Hilger* ebenfalls gütigst zur Verwerthung überliess, anführen:

$$\text{SiO}_2 = 33,741$$

$$\text{Fe}_2\text{O}_3 = 36,314 \text{ (in HCl löslich)}$$

$$\text{Fe}_2\text{O}_3 = 2,704 \text{ (in HCl unlöslich, Silicat)}$$

$$\text{SO}_3 = 0,805$$

$$\text{P}_2\text{O}_5 = 0,416.$$

Von besonderer Wichtigkeit ist der Röth, abgesehen von den bereits erwähnten günstigen Bedingungen für die Landwirtschaft, auch noch wegen seines Wasserreichthums. Es sind die Wasser, welche nach Passiren des Wellenkalkes auf die undurchlässigen Schieferthone des Röths treffen und naturgemäss hier in Form zahlreicher Quellen zu Tage treten.¹⁾

Aus dem Bereiche des unteren Buntsandsteins dagegen stammen die vielfach zu Heilzwecken benützten Sauerlinge von Brückenaus, sowie die noch nicht verwertheten Quellen von Memlos, Kothen und Riedenberg; sie entspringen sämmtlich auf Verwerfungsspalten. Bezüglich ihrer chemischen Zusammensetzung sind sie neuerlich von *Pecher*²⁾ eingehenden Untersuchungen unterworfen worden, deren werthvolle Ergebnisse in dessen Abhandlung niedergelegt sind.

Noch tieferen Ursprungs sind die an der Grenze des Rhöngebiets auftretenden Quellen von Kissingen und Neuhaus, welche ihren hohen Salzgehalt den mächtigen Salzthonlagern der Zechsteinformation verdanken.

1) Ihr hoher Kalkgehalt kommt in Form von Kalktuffbildungen an verschiedenen Orten zum Absatz; so bei Weisbach, Oberelzbach, Haselbach, am Kreuzberg u. s. w. Vgl. auch v. *Sandberger*: Die Verbreitung der Mollusken in den einzelnen natürl. Bez. Unterfr. u. ihre Bezieh. zu d. pleistocänen Fauna. Verh. d. ph.-med. Gesellschaft z. Wzbg. XIX. 9 S. 19.

2) Beiträge zur Kenntniss der Wasser aus den geschichteten Gesteinen Unterfrankens. Inaugural-Dissertation. Würzburg 1887.

Auch sie stehen in engster Beziehung zu den Lagerungsstörungen in der Rhön; im Uebrigen sei auf die zahlreiche einschlägige Literatur, insbesondere auf die Publicationen von *v. Sandberger* und *v. Gümbel* hingewiesen.

Ohne auf die Lagerungsverhältnisse des bunten Sandsteins hier näher einzugehen, möge doch an dieser Stelle noch eines mit denselben in gewisser Beziehung stehenden interessanten Mineralvorkommens gedacht werden, nämlich der Schwerspathausfüllung der Verwerfungsspalte bei Altglashütte-Silberhof.

Sie bildet einen im Mittel 5 m mächtigen Gang, welcher mit 60° nach NO in h 8 einfallend sowohl in einem Tagebau als auch durch Grubenbetrieb in einem 45 m tiefen Schacht bergmännisch abgebaut wird.

Die Hauptmasse des Ganges besteht theils aus körnigem Schwerspath, theils aus blättrigen Aggregaten. In denselben finden sich Hohlräume, in welchen die 3 und mehr Centimeter grossen Krystalle zur freien Entfaltung ihrer Formen gelangen.

Der Habitus dieser Krystalle ist tafelartig in Folge des Vorwaltens von $\infty \bar{P} \infty$. In Combination mit dieser Fläche treten stets auch noch $\infty \bar{P} 2$ und $\bar{P} \infty$ auf. Spaltungstücke sind manchmal bis zu 5 mm Dicke durchsichtig, meist aber ist die Farbe rein weiss. Stets sind die frei entwickelten Krystalle mit dünnen Häutchen von Psilomelan und Brauneisenstein oder mit 1—2 mm dicken Ueberzügen von kleinen milchweissen stark glänzenden Bergkryställchen von der Form $P. \infty P$ bedeckt; vereinzelt finden sich auch förmliche Verdrängungspseudomorphosen von Quarz nach Schwerspath.

Beim Glühen decrepitiert der Schwerspath anfänglich sehr stark und schmilzt dann ruhig unter intensiver Grünfärbung der Flamme. Sein spec. Gewicht = 4,381; seine chemische Zusammensetzung ist nach Dr. *H. Niemeyer's* Analyse:

BaSO ₄	=	96,83
SrSO ₄	=	1,27
CaSO ₄	=	0,63
		<hr/> 98,73.

Aehnlich wie auf anderen Barytlagerstätten finden sich noch — allerdings äusserst selten — am Silberhof Stücke, welche über dem tafelartigen Schwerspath noch eine zweite jüngere Generation dieses Minerals von anderer Färbung und in den Formen des sog. Stangenspaths beobachten lassen.

Die beiden Handstücke dieser Varietät, welche sich in der Sammlung des mineralogischen Instituts der Universität Würzburg befinden,¹⁾ bestehen aus Aggregaten von stängeligen bis über 6 cm langen sternförmig gruppirten Krystallen, welche bei sonst ganz durchsichtiger Beschaffenheit in der Richtung der Brachyaxe eine eigenthümliche grünlichblaue Färbung besitzen. Diese Färbung bewirkt einen förmlichen Trichroismus; sie verliert sich beim Glühen, ein Umstand, der auf ihre organische Natur hindeutet.

An gut ausgebildeten Krystallen gewahrt man die Flächen $\infty \bar{P} \infty . \bar{P} \infty . \infty \bar{P} 2 . 0 P . \bar{P} \infty$.

Was das chemische Verhalten betrifft, so decrepitirt dieser Schwerspath vor dem Löthrohr viel weniger als der ältere. Spectroskopisch gelang es weder Calcium noch Strontium nachzuweisen; es liegt also ein chemisch reiner Schwerspath vor, was auch durch das spec. Gewicht von 4,538 bestätigt wird.

Nicht minder interessant sind die Salbänder des Ganges wegen des hier stattfindenden Auftretens von Mangan- und Eisen-erzen. Dieselben: Lepidokrokit, Stilpnosiderit, Strahliger Brauneisenstein, Hydrohaematit, Braunit, Psilomelan und Wad bieten ein höchst instructives Material zur Beobachtung der Erscheinungen, welche chemische Umwandlungsprozesse von wasserhaltigen Mangan- und Eisenoxyden begleiten.

Als rundlicher Kern der ersteren, oder auch auf dünne Schnüre reducirt erscheint zuweilen Lepidokrokit in den ihm eigenen kleinschuppigen Aggregaten. Der röthliche Schimmer lässt dieselben gut von dem darüber liegenden oder sie umschliessenden strahligen Brauneisenstein unterscheiden.

Letzterer ist bei weitem das häufigste Erz; er tritt in stalaktitischen, traubigen und kugeligen Massen — letztere oft von beträchtlichem Durchmesser — auf, welche auf der Oberfläche tiefschwarz glänzend, im Querbruche ein seidenglänzendes Aussehen und ausgezeichnet strahlige Structur aufweisen.

Der Strich ist gelblichbraun; das spec. Gewicht beträgt 3,668. Die chemische Zusammensetzung ist nach Dr. *H. Niemeyer's* Analyse nach Abzug der mechanisch beigemengten Kieselsäure:

$$\begin{array}{rcl} \text{Fe}_2\text{O}_3 & = & 87,35 \\ \text{H}_2\text{O} & = & 12,65 \\ \hline & & 100,00. \end{array}$$

¹⁾ Von Herrn Professor v. Sandberger 1876 am Silberhof gesammelt.

Sie entspricht der Formel $3 \text{Fe}_2\text{O}_3 + 4 \text{H}_2\text{O}$ und steht somit derjenigen des Göthits nahe.

Als jüngstes, jedoch nicht häufiges Umwandlungsstadium erscheint der Hydrohaematit; er bildet auf dem Brauneisenstein mattglänzende, nierenförmig gehäufte Ueberzüge bis zu 3 mm Dicke mit flachmuscheligen Bruch und faseriger Structur.

Der Strich ist beinahe dunkelkirschroth und nähert sich in seiner Farbe schon sehr jener des Rotheisensteins. Das spec. Gewicht ist = 4,363; die chemische Zusammensetzung abzüglich der Kieselsäure:

$$\begin{array}{rcl} \text{Fe}_2\text{O}_3 & = & 92,18 \\ \text{H}_2\text{O} & = & 7,82 \\ \hline & & 100,00 \end{array}$$

führt auf die Formel $3 \text{Fe}_2\text{O}_3 + 2 \text{H}_2\text{O}$.

In flachmuscheligen dünnen Ueberzügen findet sich endlich auch manchmal der amorphe Stilpnosiderit. Er ist in dünnen Splittern blutroth durchscheinend, besitzt ein fettglänzendes Aussehen und hat einen gelblichbraunen Strich.

Seine paragenetische Stellung ist an dem mir vorliegenden einzigen Stücke, wo er auf Psilomelan sitzt, nicht deutlich erkennbar, doch dürfte er wahrscheinlich mit dem Lepidokrokit einen Alters sein.

Die Manganerze sind selten noch im Stadium des Braunits erhalten. Solcher findet sich in krystallinischen Nestern stellenweise in körnigem Schwerspath eingesprengt. Der Strich ist schwarz, mitunter noch mit einem Stich in's Braune, ein Zeichen der beginnenden Verwandlung in Psilomelan.

Letzterer ist nächst dem Brauneisenstein das verbreitetste Mineral des Salbandes; ziemlich barythaltig überzieht er in dünnen Lamellen oder in derben undeutlich schaligen Massen mit schwach eisenschwarzem Glanze den Schwerspath und die vorerwähnten Eisenerze. Auf der Probirtafel gibt er schwarzen Strich.

Wad erscheint sowohl in derben feinerdigen Massen von matter schwarzbrauner Farbe, als auch in röthlichen metallisch schimmernden Schüppchen. Mittelst des Spectralapparates lässt sich in ihm etwas Baryum erkennen.

Was nun die Herkunft all' dieser Substanzen anlangt, so ist es nicht zweifelhaft, dass sie von der Zersetzung der im thonigen Bindemittel des bunten Sandsteins enthaltenen Feldspathpartikelchen herrühren.

Der geringe Barytgehalt der letzteren wird durch die Einwirkung kohlensäurehaltiger Gewässer zu Baryumbicarbonat gelöst; dieses setzt sich mit der in Form von schwefelsauren Salzen in den Wassern des Buntsandsteins vorhandenen Schwefelsäure ¹⁾ direkt zu Baryumsulfat um. Die Ablagerung erfolgt naturgemäss auf Spalten und in Hohlräumen, wo durch den Zutritt freier Kohlensäure die ohnehin sehr geringe Löslichkeit des schwefelsauren Baryts noch erheblich vermindert wird.

Zum grössten Theil aus dem Röth stammen die Mengen von Eisen und Mangan; sie circuliren ebenfalls zunächst als Carbonate, erfahren auf den Spalten eine Oxydation und gelangen in Folge dessen hier zum Absatz.

Die noch in Lösung gehaltene Kieselsäure wird durch Einwirkung freier Kohlensäure zuletzt abgeschieden und findet sich demgemäss, wie bereits oben bemerkt, über dem Baryt sowohl als über den ausgeschiedenen Eisen- und Manganmineralien.

Der Muschelkalk.

Gegenüber der Verbreitung des bunten Sandsteins in der Rhön nimmt der Muschelkalk nur in beschränktem Maasse an der Oberflächengestaltung derselben Theil.

Er tritt nördlich der Saale meist in Form von mehr oder weniger mächtigen Schollen auf, welche, sei es durch Lagerungsstörungen, — sei es durch Ueberfluthung mit gluthflüssigen Basaltmassen, sei es aus noch anderen Ursachen vor der abtragenenden Auswaschungsthätigkeit des Wassers bewahrt wurden. Nördlich von Dibbach und Hammelburg finden sich auf den Plateaus einzelne Reste der ehemaligen Kalkdecke. Als Beispiele der ersten Art sind jene Kalkinseln zu nennen, welche die von SO nach NW verlaufenden Spaltensysteme von Kissingen begleiten. Die schützende Wirkung von Basaltergüssen endlich verdeutlichen die Kalkringe, welche die Basaltkuppen des Bühlbergs und Kressbergs, des Dreistelz und der Pilster bei Brückenaun, sowie den Rodenbacher Küppel bei Gersfeld umgeben.

¹⁾ Vergl. S. 9 und S. 12 den Schwefelsäuregehalt des weissen Sandsteins (= 0,612%) und des Röths (= 0,805%).

In grösserer Mächtigkeit lässt sich die Formation im östlichen Theile der Dammersfeld-Gruppe, dann an den steilen Gehängen der Schwarzen Berge, des Kreuzbergs und der Langen Rhön beobachten.

Im Gegensatz zu diesen isolirten Vorkommen tritt ein bedeutenderer Muschelkalkcomplex als Ausläufer des Saalegebiets in der Gegend von Ostheim an den Ostrand der Langen Rhön heran und stellt die Verbindung mit den Kalkterrassen der letzteren her. (Weisbach, Oberelzbach, Fladungen).

Die Entwicklung des Muschelkalks in der Rhön entspricht mit einigen geringen Ausnahmen bezüglich der Mächtigkeitsverhältnisse im Ganzen jener Gliederung, welche v. Sandberger und v. Gümbel für den fränkischen Muschelkalk endgültig festgestellt haben.

Demnach sind vor Allem die drei Hauptabtheilungen:

Muschelkalk i. e. S.

Anhydrit-Gruppe

Wellenkalk

festzuhalten, von denen jedoch die beiden oberen wenig in Betracht kommen.

Wie überall beginnt der Wellenkalk über den Schieferthonen des Röth zunächst mit gelben Mergelschiefeln und dünnen Kalkplatten, welche von einer feinkörnigen gelben Dolomitbank überlagert werden. Letzere, 70 cm mächtig, ist von so charakteristischer Beschaffenheit, dass sie für die Orientirung eine besondere Wichtigkeit besitzt. Sie findet sich an allen den oben namhaft gemachten Kalkringen; auch in den alten Pingenzügen auf der sog. Seiftig am Südhang des Dammersfeld Plateaus konnte ich sie an Bruchstücken nachweisen und auf diese Weise die Anwesenheit des Wellenkalks unter der massenhaften Bedeckung von Basaltschutt auch an dieser Stelle constatiren.

Auf diesen Dolomit folgen anfangs dünnsschichtige, dann aber bald mit zunehmender Unebenheit der Schichtflächen knollig und wulstig werdende Kalke, welche ob ihres Aussehens der ganzen Abtheilung den Namen Wellenkalk eingetragen haben.

In der Rhön besitzen diese Schichten die allgemeinste Verbreitung und es möge deshalb gestattet sein, auf die besonders guten Aufschlüsse am westlichen Steilabsturz der Schwarzen Berge, am sog. Kalkberg, sowie bei Haselbach am Kreuzberg, bei Kippelbach, Oberelzbach und Fladungen hinzuweisen.

Zu unterst lagern an all' diesen Lokalitäten dunkle Kalke mit vereinzelt Exemplaren von *Lima lineata*, auf den Kluftflächen häufig mit dünnen Eisenkiesüberzügen bedeckt; dann folgt eine an *Dentalium torquatum* reiche Zone; darüber liegen wieder wulstige dickbankigere Kalke mit der genannten *Lima* und zu oberst lichter gefärbte ebenflächige Kalke mit zahlreichen Holo-*pellen*, *Natica*, *Pleurotomarien* — die sog. *Gasteropodenschichten*.

Auf eine, wenn auch petrefaktenleere, aber doch petrographisch wohl charakterisirte Oolithbank aus dieser Stufe mag noch besonders aufmerksam gemacht werden; sie tritt mit einer ausserordentlich constanten Dicke von 10 cm auf und muss als wichtige Leitschicht betrachtet werden.

Die Mächtigkeit dieser Schichtenreihe beträgt durchschnittlich 20 m. Aufwärts schliessen sich ihnen oolithische Kalke mit *Terebratula vulgaris* und *Spiriferinen* an, welche mitunter *Styolithenbildung* aufweisen.

Mit dem nun folgenden Schaumkalk beginnt die obere Hälfte der Wellenkalkgruppe, welche, wie bereits erwähnt, in ihrer Verbreitung örtlich beschränkt ist und deshalb kürzer behandelt werden mag.

Der Schaumkalk, in Thüringen und in der Rhön auch Mehlbatz genannt — wegen des Zerstäubens bei der Bearbeitung — gleicht vollständig jenem des Maingebietes; nur war es bis jetzt nicht möglich, die für ihn in Franken beinahe charakteristischen Strontianmineralien auch dort aufzufinden.

Wellenkalke und Mergel mit *Myophoria orbicularis* leiten zur Anhydrit-Gruppe über, welche durch einen grossluckig-porösen Dolomit mit Mergelzwischenlagen, den Zellendolomit, repräsentirt wird.

Die Hornsteinbänke eröffnen die Schichtenreihe des oberen oder Muschelkalks i. e. S. In dieser lassen sich eine untere Region, die *Encrinitenbänke* und eine obere Region, die *Ceratitenbänke* (mit *Ceratites nodosus* und *semipartitus*) unterscheiden.

Die Entwicklung des Muschelkalks (i. e. S.) am Kreuzberg und am Ressberg dürfte kaum über die ersteren hinausreichen. An dem durch vieltache Verwerfungen ausgezeichneten Ostrande der Langen Rhön treten dagegen selbst zur oberen Abtheilung gehörige Schichten auf.¹⁾

¹⁾ *H. Proescholdt*. Geologische und petrographische Beiträge zur Kenntniss der Langen Rhön. Jahrb. d. k. pr. geolog. Landesanstalt 1884. Berlin. S. 247.

Die Meereshöhe, an welche die Grenze zwischen Wellenkalk und Röth gebunden erscheint, ist in Folge der zahlreichen Lagerungsstörungen mit Sicherheit schwer bestimmbar.

Ich lasse hier einige von Herrn Professor *v. Sandberger* und mir gemachte diesbezügliche Beobachtungen folgen.

- | | |
|---------------------------------|--------------------------|
| 1) Höllich 240 m. | 9) Eyerhauk 720 m. |
| 2) Sodenberg 250 m. | 10) Bauersberg 490 m. |
| 3) Diebach 290 m. | 11) Weisbach 425 m. |
| 4) Pilster bei Brückenau 520 m. | 12) Roth 485 m. |
| 5) Platzerkuppe 680 m. | 13) Hausen 470 m. |
| 6) Eisenhand 675 m. | 14) Fladungen 430 m. |
| 7) Kreuzberg 670 m. | 15) Mellrichstadt 245 m. |
| 8) Grosser Auersberg 700 m. | |

Die tertiären Ablagerungen.

Sind die gewaltigen Zeiträume der Jura-, Kreide- und älteren Tertiärperiode im Rhöngebiete ohne Hinterlassung von Sedimenten vorübergegangen, so folgt daraus, dass dasselbe damals zum Festland geworden und als solches dem zerstörenden Einflusse der Atmosphärrilien ausgesetzt war.

Die Abtragung war zu Beginn der mittleren Tertiärzeit, offenbar begünstigt durch zahlreiche mit jener Hebung in Beziehung stehende Lagerungsstörungen, bereits in hohem Grade vorgeschritten; es spricht dafür die Unvollständigkeit der Schichtenreihe der Muschelkalkformation; ja stellenweise hatte sie sogar den bunten Sandstein entblüsst, wie dies aus der unmittelbaren Auflagerung der Braunkohlenbildung von Sieblos auf diesem hervorgeht.

Dafür war es der Tertiärperiode vorbehalten, in der Rhön terraingestaltende Umwälzungen vorzunehmen. Die Rhön wurde zum Schauplatz grossartigster vulkanischer Thätigkeit.

Wir würden über den näheren Zeitpunkt, mit welchem die letztere ihren Anfang nahm, und über ihre Andauer aus der Beschaffenheit ihrer Produkte, der damals eruptiv gewordenen Gesteine, sowie aus dem Vergleich mit ähnlichen Gebieten nur allgemeine Schlüsse ziehen dürfen, besässen wir nicht in den räumlich zwar sehr beschränkten tertiären Ablagerungen die ausserordentlich werthvollen Urkunden, welche jene Frage* mit grosser Bestimmtheit zu beantworten erlauben.

Diese Bildungen sind, da sie fast sämmtlich Braunkohlenflötze führen und somit schon frühzeitig das praktische Interesse auf sich lenkten, durch *v. Sandberger* zum Gegenstand einer ausführlichen Monographie gemacht worden.¹⁾

Ich muss dieser Darstellung um so mehr folgen, als mir selbst leider keine Gelegenheit zu eigenen neueren Beobachtungen geboten war²⁾ und beschränke mich deshalb, um die Vollständigkeit des geologischen Bildes der Rhön nicht zu unterbrechen, auf eine kurze Uebersicht über diese Ablagerungen.

Nach den organischen Ueberresten müssen Bildungen von oligocänem und solche von miocänem Alter unterschieden werden.

Der einzige Repräsentant der ersteren Gruppe ist die mitteloligocäne Braunkohlenablagerung von Sieblos; *v. Sandberger* sagt über dieselbe:

„In geologischer Beziehung ist die Kohlenbildung von Sieblos unzweifelhaft die interessanteste der Rhön. Da ihre Schichten nicht mit Basalt wechseln, wohl aber von den mächtigen Basaltmassen der Wasserkuppe überdeckt werden, so ist sie abgelagert worden, ehe die basaltischen Eruptionen auf der Rhön begannen, und zwar, wie ihre organischen Reste zeigen, in einem von reicher Vegetation umgebenen und von einer sehr interessanten Fauna belebten Süsswassersee.“

Die Ablagerung besteht aus einem Complex von bituminösen Sanden, Thonen und Mergeln, welchem in seiner oberen Hälfte zwei Flötze von Pech- und Blätterkohle (Papierkohle) eingeschaltet sind.

Die Kohle, als Heizmittel weniger gut verwerthbar, wurde früher zeitweise zur Gewinnung von Paraffin und anderen Kohlenwasserstoffen auf dem Destillationswege bergmännisch abgebaut.

Was Fauna und Flora anlangt, so hat ihnen *v. Sandberger* nach den reichlich von *Hassencamp* gesammelten Exemplaren einen tropisch amerikanischen Charakter zuerkannt. Ueber die bisher gefundenen organischen Reste gibt die folgende Uebersicht Aufschluss.

¹⁾ Berg- und Hüttenmännische Zeitung 1879. S. 177 ff.

²⁾ Die Aufschlüsse, naturgemäss meist bergbaulicher Natur, sind mit wenigen Ausnahmen (Bauersberg, Eisgraben) im Laufe der Jahre der Verschüttung anheimgefallen und auf diese Weise, wenn nicht spurlos verschwunden, doch wenigstens ganz undeutlich geworden.

I. Fauna.

Cyclotus sp.	Lichia secunda Winkl.
Planorbis depressus Nyst.	Lebias eisgrabensis Winkl.
Euchilus Chastelii Nyst sp.	Perca macracantha Winkl.
Hydrobia dactylodes v. Sandb.	„ Sandbergeri Winkl.
Melania Nystii Duchatel.	Smerdis sieblosiensis Winkl.
Eosphaeroma obtusum H. v. M. sp.	„ rhoenensis Winkl.
Molytes sp.	Cyclurus oligocenius Winkl.
Cleonus sp.	Notaeus longistriatus Winkl.
Buprestites coloratus Heer.	Palaeobatrachus gracilis Wolt.

II. Flora.

Pinus palaeostrobis Ettingsh.	Celastrus Bruckmanni A. Braun.
Callitris Brongniarti Endl.	Ilex stenophylla Unger.
Libocedrus salicornioides Heer.	Zizyphus Ungerii Heer.
Phragmites oeningensis A. Braun.	Carya Heeri Ettingsh. sp.
Myrica acuminata Unger.	Engelhardtia Hassencampi Heer.
„ banksiaefolia Unger.	Rhus cassiaeformis Ettingsh.
Quercus lonchitis Unger.	„ juglandogene Ettingsh.
„ Weberi Heer.	„ stygia Unger.
Santalum microphyllum Ettingsh.	Eucalyptus oceanica Unger.
Persoonia Daphnes Ettingsh.	Eugenia haeringiana Unger.
Laurus Lalages Unger.	Myrtus oceanica Ettingsh.
Cinnamomum lanceolatum Heer.	Amygdalus pereger Unger.
„ Scheuchzeri Heer.	Gleditschia Wesseli Weber.
Leucothoe protogaea Unger.	Caesalpinia Haidingeri Ettingsh.
„ reticulata Ettingsh.	„ Leharpi Heer.
Vaccinium acheronticum Unger.	„ micromera Heer.
Ceratopetalum haeringianum Ett.	Cassia Zephyri Ettingsh.
Nelumbium Casparyanum Heer.	Acacia microphylla Unger.
Sapindus falcifolius A. Braun.	„ parschlugiana Unger.
Dodonaea salicites Ettingsh.	„ sotzkiana Unger.

Mimosites haeringiana Ettingsh.

Gegenüber der ausserordentlich mannichfaltigen Entwicklung von dicotylen Laubbölzern sind die Coniferen auf wenige Exemplare von Libocedrus, Callitris und Pinus beschränkt, ein Umstand, durch welchen v. Sandberger das Fehlen von zu Heizzwecken verwendbarer Kohle innerhalb dieser Tertiärbildung erklärt.

Wahrscheinlich gleichen, doch wegen Mangels an organischen Einschlüssen nicht sicher bestimmbar Alters sind die Thonlagerstätten von Abtsroda, Obernhausen und am Mathesberg bei Wüstensachsen. Sie sind sämmtlich auf Muschelkalk gebettet¹⁾ und lieferten ehemals das Rohmaterial für die Fuldaer Porzellanfabrik, sowie die Krugbrennereien in Römershag und Oberbach.

Bedeutend jünger als die oben geschilderte, sind die sämmtlichen übrigen Tertiärbildungen, welche sowohl auf der östlichen wie auf der westlichen Seite der Langen Rhön auftreten. Ihre organischen Reste weisen sie dem unteren Miocän zu; theils lagern sie auf, theils wechsellagern sie mit Tuffen der jüngeren dichten Basalte und bieten auf diese Weise ein untrügliches Mittel für die Altersbestimmung der letzteren.

Man kann nach *v. Sandberger* die isolirt vorkommenden Ablagerungen in Gruppen vereinigen und dem entsprechend

- 1) Die Braunkohlenablagerungen im Ulsterthale,
- 2) " " der Gegend von Kaltennordheim,
- 3) " " " " Fladungen,
- 4) " " " " Bischofsheim

unterscheiden.

Die letzte Gruppe umfasst die Vorkommen am Bauersberg, Holzberg (in der Nähe des Rhönhäuschens) und vielleicht auch jene südlich von den Hachtsköpfen (Barnstein) bei Gersfeld.

Die Fladunger Gruppe ist aufgeschlossen am Gangolphsberg und Hillenberg, im Reipertsgraben bei Roth, im Eisgraben und bei Leubach. Soweit die vorgenommenen Bohrversuche einen Schluss erlauben, ist ihr wahrscheinlich auch das Auftreten von Braunkohle im Letten- und Kohligraben bei Wüstensachsen zuzurechnen.

Als selbstständig ist die Ablagerung von Kaltennordheim zu betrachten, während auf der Westseite die Gruppe von Tann und jene von Hilders-Batten auseinander zu halten sind. Dem Ulsterthale gehört ferner die noch nicht näher untersuchte Bildung zwischen Stellberg und Störnberg im obersten Theile des Heuwiesengrabens an und wenn wir noch der unbedeutenden Spuren von Tertiärthonen am Kreuzberg und am Osthang der

¹⁾ In dem sandigen Thon von Obernhausen liegen zahlreiche abgerollte Hornsteinknollen aus den Hornsteinbänken des unteren Muschelkalks.

Schwarzen Berge bei Gefäll Erwähnung thun, so ist damit die Reihe der Tertiärbildungen im Rhönggebiete vorläufig erschöpft.

Wie die mannichfachen Wechsellagerungen vieler derselben mit basaltischen Tuffen zeigen, sind diese Absätze während der lange Zeiträume hindurch andauernden Eruptionsperiode entstanden.

Bei den einzelnen Ausbrüchen bedeckten die in grosser Menge ausgestossenen Zerstäubungsprodukte die in mehr oder weniger mächtigen Schichten in Sumpfbecke gebildeten Torflagen, conservirten die letzteren auf diese Weise und boten dann der Flora zur Neuansiedelung einen neuen Boden dar.

Der hohe Kalkgehalt des Wassers schlug sich in Form von dünnschiefrigen, stark bituminösen Mergeln — sog. Seekreide — nieder: ein Analogon zu dem in den recenten Torfmooren Südbayerns auf die gleiche Weise gebildeten Alm.

Zur Erläuterung der Lagerungsverhältnisse dieser Tertiärbildungen mag es zweckmässig sein, eine Reihe von durch *v. Sandberger*, *v. Gümbel* und *Hassencamp* beobachteten Profilen hier folgen zu lassen.

I. Taun.

	Fuss		Fuss
1. Basaltgeröll	23,0	10. Kalkhaltiger Thon	1,0
2. Gelber Basalttuff	10,0	11. Kohlenflötz	0,5—0,6
3. Blaue Letten	3,0	12. Weisser Kalk-	
4. Lignit	3,5	schiefer	0,6—0,9
5. Süsswasserkalk	12,0	13. Blauer Letten	54,0
6. Kalksteinbrocken	6,0	14. Brauner Thon	48,0
		15. Blaugrauer Mergelthon	18,0
		16. Mergel	15,0

II. Kaltennordheim.

	Fuss
1. Brauner Letten	18,0
2. Basaltgeröll mit braunem Thon	48,0
3. Blauer Letten	54,0
4. Kohlenflötz	2,0
5. Schwarzer Letten	4,0
6. Kohlenflötz, Lignit	1,5
7. Schwarzer Letten	1,0
8. Hauptkohlenflötz	4—5,0
9. Schwarze Letten mit Kohlen	1,6

Liegendes: Wellenkalk.

III. Roth.

	Fuss
1. Gelber Thon	40,5
2. Ockeriger Thon u. Lehm	12,0
3. Erdige Kohle I. Flötz	0,75
4. Weiche Kalkschiefer	6,75
5. Erdige Kohle II. Flötz	2—2,5
6. Kalkschiefer	8,0
7. Letten	6,75
8. III. Kohlenflötz	6,0

		Fuss	VI. Balkenstein b. Leubach.	
9. Erdige Kalkschiefer		6,75		
10. Blauer u. grauer Thon	15,0		a.	
11. IV. Kohlenflötz	2,0		1. Basaltgeröll	Meter 5,00
12. Blauer Thon	3,5		2. Basalttuff	1,00
13. V. Kohlenflötz	3,5		3. Kohlenflötz	1,00
14. Schwarzer und grauer Thon	5,5		4. Basalt	0,50
15. VI. Kohlenflötz	0,5		b.	
IV. Gangolphsberg.			1. Kohlenletten	3,00
			2. Lignitflötz	0,75
	Meter		VII. Bauersberg.	
1. Basaltgeröll	5,0			Meter
2. Basalttuff	1,0		1. Basaltgeröll	
3. Kohlenflötz	1,0		2. Basalttuff	3—3,50
V. Hillenberg.			3. Leberbrauner Schiefer	0,55
	Fuss		4. Weisser mergelähnlicher Tuff	0,25
1. Basaltgeröll	8,0		5. Kohlenflötz	2,99
2. Gelber u. blauer Thon	28,0		6. Dunkelgrauer Thon	0,22
3. Kohlenflötz	0,5		7. Tuff mit Pechkohle	0,26
4. Weisse Kalkschiefer	2,0		8. Brauner Thon	0,66
5. Basalttuff	35,0		9. Kohlenflötz	3,83
6. Kohle mit wenig Lignit	2,0		10. Heller Basalttuff	0,40
7. Weisse Mergel	0,3—0,6		11. Kohlenflötz	3,66
8. Brauner Thon	1,7			
9. Basalttuff mit Kalkbrocken.				
Liegendes: Wellenkalk.				

Die ausserordentlich complicirten Lagerungsverhältnisse im Eisgraben haben *Proescholdt* ¹⁾ zu der Vermuthung veranlasst, dass bei sämtlichen untermiocänen Bildungen am Rande der Langen Rhön die Wechsellagerung von Basalttuffen, Thonen und Braunkohlenflötzen durch Verwerfungen zu erklären sei. Ich freue mich, bezüglich des Eisgrabens ganz unabhängig im Wesentlichen zu einer ähnlichen Auffassung gelangt zu sein, wie sie das von *Proescholdt* mitgetheilte Profil wiedergibt; dagegen möchte ich andererseits auf die ungestört concordant liegende Reihe der

¹⁾ *H. Proescholdt*, Geologische und petrographische Beiträge zur Kenntniss der „Langen Rhön,“ Jahrb. d. k. pr. geolog. Landesanstalt für 1884. S. 247.

Tertiärschichten und Tuffe am Bauersberg verweisen, welche entschieden zu Gunsten der Meinung v. Sandbergers spricht, indem daraus die zeitweilige Ruhe der benachbarten Eruptionspunkte und hiedurch das ermöglichte Wiederaufleben der Vegetation deutlich hervorgeht.

Die sicher bestimmten organischen Reste von den verschiedenen Fundorten sind in folgenden Tabellen zusammengestellt.

I. Fauna.

	Taun	Kalten- nordheim	Hillen- berg	Roth	Erdpfahl bei Roth	Bauers- berg
<i>Anodonta praedemissa</i> Ludw.	—	—	—	—	+	—
<i>Unio</i> sp.	—	—	—	—	+	—
<i>Sphaerium pseudocorneum</i>						
<i>Reuss</i> sp.	+	+	—	—	—	—
<i>Ancylus decussatus</i> Reuss	+	+	—	—	—	—
<i>Planorbis dealbatus</i> A. Braun	+	+	+	+	+	—
— <i>cornu</i> Brongn.	—	—	—	—	+	—
— <i>laevis</i> Klein	—	—	—	+	—	—
<i>Limneus</i> sp.	—	—	—	+	—	—
— <i>minor</i> Thomae	+	+	—	—	—	—
<i>Limax crassus</i> v. Sandb.	—	—	—	—	—	+
<i>Oleacina Sandbergeri</i> Thom.	+	—	—	—	—	—
<i>Archaeozonites</i> Strubelli Bött.	—	+	—	—	—	—
<i>Hyalina denudata</i> Reuss	+	—	—	—	—	—
<i>Patula lunula</i> Thomae sp.	—	—	—	—	—	+
<i>Helix leptoloma</i> A. Braun						
var. <i>apicalis</i>	+	—	—	—	—	—
— <i>phacodes</i> Thomae	+	—	—	—	—	—
<i>Clausilia plionecton</i> Böttger	—	+	—	—	—	—
— (<i>Triptychia</i>) <i>vulgata</i> Reuss	—	—	—	—	—	+
<i>Papa callosa</i> Reuss	+	—	—	—	—	—
<i>Paludina pachystoma</i> v. Sandb.	—	+	+	—	+	+
<i>Bythinella mediocris</i> Ludw. sp.	—	—	—	—	+	—
<i>Melania Escheri</i> Brongn.	+	+	—	—	—	+
— var. <i>ecostata</i>	—	—	—	—	+	—
<i>Cypris</i> sp.	—	—	—	+	—	—
<i>Lebias eisgrabensis</i> Winkler	—	—	Eisgraben	—	—	—
<i>Leuciscus papyraceus</i> Ag.	—	—	Hillen- berg	—	—	—
<i>Cobitis brevis</i> v. Meyer	—	—	+	—	—	—

	Taun	Kalten- nordheim	Hillen- berg	Roth	Erdpfahl bei Roth	Bauers- berg
<i>Perca Sandbergeri Winkler</i>	—	—	Eisgraben +	—	—	—
<i>Palaeobatrachus Fritschii Wolt.</i>	—	+	—	—	—	—
— <i>Fritschii major Wolt.</i>	—	+	—	—	—	—
— <i>rarus? Wolt.</i>	—	+	—	—	—	—
<i>Emys sp.</i>	—	+	—	—	—	—
<i>Crocodylus plenidens v. Meyer</i>	—	+	—	—	—	—
<i>Plerodon crocodiloides v. Meyer</i>	—	+	—	—	—	—
<i>Aceratherium incisivum Cuv.</i>	—	+	—	—	—	—
<i>Palaeomeryx Schenckzeri v.M.</i>	—	+	—	—	—	—

II. Flora.

	Kalten- nordheim	Eis- graben	Hillen- berg	Roth	Bauers- berg
<i>Chara Meriani A. Braun</i>	+	—	—	—	—
— <i>Escheri A. Braun</i>	+	—	—	—	—
<i>Hypnum lycopodioides O. Weber</i>	—	—	—	—	+
<i>Equisetum sp.</i>	+	—	—	—	+
<i>Pinus palaeostrobis Ettingsh.</i>	+	—	—	—	—
<i>Sequoia Langsdorfi Heer</i>	—	—	+	—	—
<i>Glyptostrobis europaeus Heer</i>	+	+	+	—	—
<i>Callitris Brongniarti Endl.</i>	—	—	+	—	—
<i>Libocedrus salicornioides Heer</i>	—	+	—	—	—
<i>Taxites Aykii Goepp.</i>	+	—	—	—	—
<i>Phragmites oeningensis A. Braun</i>	+	—	—	—	—
<i>Bromelia Gaudini Heer</i>	—	—	—	—	+
<i>Sabal major Heer</i>	+	—	—	—	—
<i>Myrica acuminata Unger</i>	+	—	—	—	—
— <i>deperdita Unger</i>	—	—	—	—	+
— <i>hakeaefolia Saporta</i>	—	—	—	+	—
— <i>lignitum Saporta</i>	—	—	—	+	—
<i>Betula prisca Ettingsh.</i>	—	—	—	+	+
— <i>Brongniarti Ettingsh.</i>	—	—	—	+	—
— <i>subpubescens Goepp.</i>	—	—	—	—	+
<i>Alnus Kefersteini Unger</i>	—	—	—	—	+
<i>Fagus Deucalionis Unger</i>	+	—	—	—	+

	Kalten- nordheim	Eis- graben	Hillen- berg	Roth	Bauers- berg
<i>Fagus Haidingeri</i> Kov.	—	—	—	—	+
<i>Castanea recognita</i> Schimp.	+	—	—	—	+
<i>Quercus arguteserrata</i> Heer	—	—	—	—	+
— <i>Drymeia</i> Unger	—	—	—	—	+
<i>Salix angusta</i> A. Braun	—	—	—	—	+
— <i>longa</i> A. Braun	—	—	—	—	+
— <i>varians</i> Goepp.	—	—	—	—	+
<i>Populus latior</i> A. Braun	—	—	—	—	+
<i>Platanus aceroides</i> Goepp.	—	—	—	—	+
<i>Liquidambar europaeum</i> A. Braun	—	—	—	—	+
<i>Planera Unger</i> Ettingsh.	—	—	—	—	+
<i>Ulmus Bronnii</i> Unger	—	—	—	—	+
<i>Ficus populina</i> Heer	—	—	—	—	+
<i>Laurus primigenia</i> Unger	—	+	+	—	—
<i>Cinnamomum lanceolatum</i> Heer	—	+	+	—	+
— <i>polymorphum</i> Heer	—	—	—	+	—
— <i>Scheuchzeri</i> Heer	+	+	+	—	+
<i>Oreodaphne borealis</i> Heer	—	—	+	—	—
<i>Gardenia Wetzleri</i> Heer	—	—	—	—	+
<i>Eraxinus praedicta</i> Heer	—	—	—	—	+
<i>Apocynophyllum lanceolatum</i> Unger	—	—	—	—	+
<i>Diospyros brachysepala</i> A. Braun	—	—	—	—	+
<i>Lencothoe protogaea</i> Unger	—	—	—	—	+
<i>Vaccinium acheronticum</i> Unger	—	+	+	—	—
<i>Vitis tentonica</i> A. Braun	—	—	—	—	+
<i>Nelumbium Buchii</i> Ettingsh.	—	—	—	—	+
<i>Pterospermites vagans</i> Heer	—	+	—	—	+
<i>Acer angustilobum</i> Heer	—	—	—	—	+
— <i>integerrimum</i> Viviani	—	—	—	—	+
— <i>integrilobum</i> Weber	—	+	—	—	+
— <i>trilobatum</i> A. Braun	+	+	+	—	+
<i>Banisteria tentonica</i> Heer	—	—	—	—	+
<i>Sapindus</i> sp.	+	—	—	—	—
<i>Dodonaea emarginata</i> Heer	—	—	—	—	+
<i>Celastrus Bruckmanni</i> A. Braun	—	—	+	—	—
— <i>crassifolius</i> A. Braun	—	—	+	—	—
— <i>pseudoilex</i> Ettingsh.	—	—	+	—	—
<i>Ilex</i> sp.	—	—	—	+	—
<i>Labatia salicites</i> Wess.	+	+	—	—	—
<i>Zizyphus protolotus</i> Unger	—	—	—	—	+
<i>Rhamnus Decheni</i> Weber	+	+	—	—	—
<i>Carya ventricosa</i> Unger	+	—	—	—	+

	Kalten- nordheim	Eis- graben	Hillen- berg	Roth	Bauers- berg
<i>Rhus Noeggerathii</i> Weber	—	+	—	—	+
<i>Eugenia haeringiana</i> Unger	—	—	+	—	—
<i>Cassia hyperborea</i> Unger	—	—	+	—	—
— lignitum Unger	+	+	+	—	+
— phaseolithes Unger	—	—	—	—	+
<i>Podogonium Knorri</i> Heer	—	—	—	—	+
<i>Carpites Websteri</i> Heer	+	—	—	—	+

Im Anschlusse hieran ist bezüglich dieser jüngeren Braunkohlenbildungen noch die grosse Betheiligung von Cupressineen (*Cupressinoxylon fissum*, *aequale*, *leptotichum*, *nodosum* und *Pinus Hoeldliana*) besonders hervorzuheben; sie bedingt im Gegensatze zu Sieblos den Reichthum dieser Flötze an abbauwürdiger Pechkohle und an Ligniten.

Von den Wirbelthierresten haben jene der Gattung *Palaeobatrachus* durch *Wolterstorff*¹⁾, die Fische durch *Winkler*²⁾ eingehende Bearbeitung erfahren.

In chemisch geologischer Beziehung bieten die Braunkohlenflötze der Grube „Einigkeit“ am Bauersberg noch ein besonderes Interesse wegen der Umwandlungs- und Neubildungserscheinungen von Körpern aus Zersetzungsprodukten der, wie das Profil zeigt, mit jener Ablagerung in engster Beziehung stehenden Basalte und Basalttuffe.

Dient einerseits die durch Einwirkung von gelösten kohlensauren Alkalien freigewordene Kieselsäure zur Silificirung ganzer Cupressineenstämme, so liefern andererseits die in Lösung gegangenen Basen der aus der Braunkohle stammenden Schwefelsäure das Material zur Bildung einer ganzen Reihe von interessanten wasserhaltigen Sulfaten, welche seinerzeit durch *Singer* ausführlich untersucht und beschrieben wurden.³⁾

¹⁾ Ueber fossile Frösche, insbesondere das Genus *Palaeobatrachus*; Sep. Abdr. a. d. Jahrb. d. Naturwissenschaftl. Vereins zu Magdeburg für 1885. S. 51, 83, 125, 127.

²⁾ *F. C. Winkler*, Mémoire sur les poissons fossiles des lignites de Sieblos. Haarlem 1850.

³⁾ *S. Singer*, Beiträge zur Kenntniss der am Bauersberge bei Bischofsheim v. d. Rhön vorkommenden Sulfate. Inaugural-Diss. Würzburg 1879.

Neben echten Alaunen, einem Eisenoxydul- und einem Natron-Alaun, treten ein eisenreicher Keramohalit, die Alkali-Eisensulfate Plagiocitrit, Klinophaeit, Klinocrocit und endlich ein Kalknatronsulfat von Polyhalit ähnlicher Zusammensetzung, der Watevillit, auf.

Diese Substanzen bilden auf Braunkohle blumenkohlähnliche Ausblühungen, welche mitunter die beträchtliche Grösse von 10 cm im Durchmesser aufweisen. Eine regelmässige paragenetische Reihenfolge lässt sich nicht immer deutlich beobachten, doch erscheint meist als zuerst abgelagert der röthlich weisse Eisenoxydul-Alaun, darüber dann Plagiocitrit, Klinophaeit und Keramohalit. Die übrigen treten für sich selbstständig direkt auf Braunkohle sitzend auf.

Der Kobalt- und Nickelgehalt, welchen die genannten Mineralien fast alle aufweisen, rührt nachweislich aus dem Basalte her, der nach *Singers* Bestimmung ¹⁾ 1,58 % NiO und 1,09 % CoO enthält.

Lagerungsverhältnisse.

Die Lagerungsweise der Sedimentärgesteine ist im Ganzen eine horizontale mit schwachem Einfallen nach SO.

Bei der Schwierigkeit jedoch, im Bereiche der im südlichen Theile der Rhön die grösste Verbreitung besitzenden mittleren Gruppe des Buntsandsteins Verwerfungen festzustellen, bedarf es noch genauerer Untersuchungen, welche dereinst bei Durchführung der speciellen Gliederung der dortigen Trias sicher meine nur vorübergehend gemachten Beobachtungen und daran geknüpften Vermuthungen bestätigen werden, dass nämlich die Lagerungsstörungen, seien sie auch nur lokal sehr beschränkter Natur, viel zahlreicher sind, als man bisher zu glauben geneigt war.

Wesentlich leichter zur Beobachtung liegt die Sache dort, wo in den Bereich einer Verwerfung Schichten des Röths oder gar des Muschelkalks gezogen sind. Aus diesem Grunde sind auch die vielfachen Lagerungsstörungen am Ostrande der Langen Rhön, sowie diejenigen von Kissingen früher bekannt geworden;

¹⁾ a. a. O. S. 23.

letztere haben auch wohl schon darum die Aufmerksamkeit auf sich gezogen, weil die berühmten Quellen dieses Curortes auf ihnen zu Tage treten.

Nach ihrem Verlaufe lassen sich die Lagerungsstörungen in der südlichen Rhön in solche mit nordwestlicher und solche mit nordöstlicher Richtung gruppiren.

Von den ersteren ist eine der interessantesten jene, welche bei Motten beginnend in ost-südöstlicher Richtung bei Altglashütte das Thal der kleinen Sinn, 1½ km nördlich von Oberbach das Thal der Sinn durchsetzt und sich bis zum Westabhang der Schwarzen Berge verfolgen lässt. Das Streichen erfolgt in h 8 ¹⁾, die Längserstreckung beträgt etwa 22 km.

Röth und weisser Sandstein sind beim Silberhof durch diese Verwerfung in dasselbe Niveau gerückt; bei Motten und direkt unter dem Basalte des Grossen Auersbergs sieht man auch kleine Muschelkalkparthien von ihr betroffen. An der letzteren Stelle zeigt der Muschelkalk in h 11 ein südwestliches Einfallen mit 15°; etwas tiefer am Silberhof streicht der Röth in h 8 und fällt mit 22° nach SW.

Abgesehen davon, dass auf dieser Spalte zwei bedeutende Basalkuppen, der Maria Ehrenberg und der Grosse Auersberg, stehen, ist sie in ihrem östlichen Theile noch besonders durch ein in diesem Umfange in der Rhön einzig dastehendes Mineralvorkommen — das des Schwerspathes nämlich — ausgezeichnet. Wir haben bei Besprechung des Buntsandsteins bereits auf S. 13 ff. die Art und Weise seines Auftretens und seine Vergesellschaftung kennen gelernt.

Auch die nordöstliche Verwerfungsrichtung ist im kleinen Sinnthale vertreten durch eine ebenfalls mit Schwerspath ausgefüllte Spalte; diese streicht in h 3 und trifft somit auf die vorhin beschriebene Verwerfung in einem Winkel von ungefähr 80°.

Bei der oberhalb Altglashütte auf der Höhe gelegenen „Brücke“ genannten Häusergruppe war auf diesen Schwerspathgang zum Zwecke des Abbaues ein Schacht abgeteuft; derselbe ist heutzutage verschüttet. Auf der Halde umherliegende Barytstücke jedoch zeigen keine Verschiedenheit von denjenigen des

¹⁾ Unter Nichtberücksichtigung kleiner lokaler Abweichungen.

südöstlichen Ganges. Die Spalte lässt sich sowohl nach SW, also gegen das Thalgehänge hinab — besonders, wo sie den Weg Altglashütte-Dörrenberg kreuzt — als auch nach NO gegen den sog. Breppach-Wald zu auf einige Entfernung verfolgen.

Es ist nicht unwahrscheinlich, dass diesem Spaltensystem der in h 2 streichende Zug der Dammersfelder Kuppe, sowie der Basaltgang, welcher Gersfeld in h 3 durchsetzt, angehören, wenngleich mir der Nachweis der Verwerfung in dem dazwischen gelegenen Sedimentärterrain nicht gelungen ist.

Nördlich des Fuldathals finden sich noch einige Basaltgänge, welche die nämliche nordöstliche Streichrichtung besitzen, so bei Altenfeld und Dörrenhof.

Auch auf der Südseite des Grossen Nallen lassen sich einige interessante Dislocationen beobachten. Zwischen dem Grossen und Kleinen Nallen findet sich in der Nähe eines kleinen Basaltdurchbruchs der Wellenkalk in abnorm tiefer Lage, während man beim Aufstieg zum Doppelgipfel des Grossen Nallen ein ausgezeichnetes Beispiel von staffelförmiger Verwerfung kennen zu lernen Gelegenheit hat. Das Streichen des Wellenkalks ist hier ein nord-südliches (zwischen h 11³⁰ und h 1³⁰); das Einfallen nach W erfolgt mit 50°, 40° und 20°. Unterhalb des Westgipfels durchbrechen einige kaum meterbreite Basaltgänge die Knollenkalke des unteren Wellenkalks, ohne dass sich eine Contactwirkung beobachten liesse; die östliche Kuppe erweist sich bei näherer Untersuchung als ein in h 3 streichender Basaltgang.

Von den Lagerungsstörungen aus dem Bereiche des Sinnthals wären noch diejenigen von Stadt und von Bad Brückenau zu nennen. Die erstere erstreckt sich vom Volkersberg über das Sinnthal bis gegen Breitenbach. Der Röth, der Voltziensandstein und die obersten Bänke des weissen Kieselsandsteins sind hier, wie sich an dem trefflichen Aufschlusse südwestlich von Brückenau¹⁾ ersehen lässt, in eine Kluft des rothen Sandsteins gesunken. Das Streichen der dislocirten Voltzienschichten erfolgt in h 12³⁰ — 1 mit einem mittleren Einfallen von 35° nach W. (Dagegen streichen unfern in einem etwas weiter westlich gelegenen Bachrinnsal die Schieferletten des Röths in h 8³⁰, mit 35° nach SW einfallend.)

¹⁾ Vergl. S. 10.

Auf der zweiten der erwähnten Spalten treten die Quellen des Bades Brückenau zu Tage. Die Verwerfungshöhe ist eine noch beträchtlichere, indem eine Wellenkalkscholle ähnlich wie bei Motten mit steilem Einfallen am rothen (mittleren) Buntsandstein abschneidet. Sie hat durch nordöstliche Brüche mehrfache Zerstückelung erfahren, wie dies die Aufschlüsse im Wellenkalk am westlichen Ausgange des Dorfes Züntersbach zeigen.

Wie bereits hervorgehoben wurde, ist der Ostrand der Langen Rhön durch besonders zahlreiche Verwerfungen in mannichfaltigster Weise gebrochen. Ich glaube nicht zu irren, wenn ich die hauptsächlichsten von ihnen, die in NW—SO verlaufenden, durch die weit in das ebene Vorland springenden Bergzüge des Bauersbergs-Zickzackkuppels, des Strutbergs, des Gangolphsbergs-Heppbergs, sowie durch das tief in die Rhön eingeschnittene Leubachthal angedeutet erachte. Meine nur in geringem Maasse angestellten Beobachtungen sind vollständig unzulänglich für die Gewinnung eines sicheren Bildes dieser Verhältnisse. Es ist das vielmehr die Aufgabe von exacten, den Rahmen einer derartigen Arbeit weit überschreitenden Specialuntersuchungen, welche seinerzeit wohl auch über die vorläufig noch sehr unklaren möglichen Beziehungen zwischen den Verwerfungsspalten einerseits und dem Auftreten der Eruptivgesteine andererseits das gewünschte Licht verbreiten werden.

Die vulkanischen Gebilde der Rhön.

Haben wir in den vorhergehenden Abschnitten einen Ueberblick über die Sedimentärbildungen gewonnen, welche den Unterbau des Rhöngebirges darstellen, so wenden wir uns nunmehr zu der Betrachtung der vulkanischen Massen, die zur Tertiärzeit dem Erdinnern als gluthflüssige Laven entquollen, heute zu malerischen Kegeln und Kuppen aufgethürmt der Rhön ihren Gebirgscharakter verleihen.

Was zunächst die petrographischen Eigenschaften der tertiären Eruptivgesteine anlangt, so hat man sie bisher gewöhnlich in zwei grossen Abtheilungen strenge auseinander gehalten und unter der einen diejenigen mit orthoklastischem Feldspath — die Phonolithe —, unter der anderen diejenigen mit einem Kalk-

natronfeldspath oder einem ähnlich zusammengesetzten Mineral und ausserdem stets noch durch den Gehalt an Chrysolith ausgezeichneten — die Basalte — begriffen.

Wenn, auch in der Folge noch an dieser Eintheilung festgehalten wird, so mag doch schon hier hervorgehoben werden, dass mit fortschreitender Detailforschung die Grenzen zwischen beiden Abtheilungen immer verschwommener zu werden scheinen, wie dies ja neuere Beobachtungen auch in anderen vulkanischen Gebieten zu bestätigen geeignet sind.

Um so mehr Gewicht muss deshalb auf die geologische Rolle gelegt werden, welche Eruptivgesteine von verschiedenem Charakter spielen und auf die Reihenfolge, in welcher sie nach einander auftreten. Es wird am Schlusse Gelegenheit sein, auf diesen Punkt kurz zurückzukommen.

A. Die Phonolithe.

Echte Phonolithe, d. h. Gemenge von Sanidin und Nephelin mit Magnet Eisen, Augit und Hornblende oder Nosean treten im Untersuchungsgebiete auf

- 1) am kleinen Nallen Sign. 707,4 bei Gersfeld,
- 2) am südlichen Abhang des Rückensteins Sign. 778,0 bei Oberweissenbrunn.

Diese im frischen Zustande grünlichgrauen Gesteine zeigen die den Phonolithen eigene dünnplattige Absonderung, splittrigen Querbruch und hier und da porphyrtartig aus der Grundmasse hervortretende grössere Sanidintäfelchen, wodurch sie im Gegensatz zu einer anderen Gruppe phonolithischer Gesteine einen trachytähnlichen Habitus annehmen.

Bei der Behandlung mit Salzsäure gelatinirt das Pulver; entfernt man die Gallerte und untersucht den Rückstand unter dem Mikroskop, so besteht derselbe neben Augitfragmenten zu meist aus farblosen Sanidinsplitterchen, welche nicht die geringste Einwirkung der Säure und auch keine Veränderung in ihrem optischen Verhalten erkennen lassen.

Unter dem Mikroskop besteht die Grundmasse des Gesteins vom kleinen Nallen aus einem innigen Gemenge von tafelförmig ausgebildetem Sanidin und Nephelin; der letztere zeigt indess niemals deutlich begrenzte Formen, sondern ist in farblosen, meist jedoch durch Zersetzung schon stark getrübbten Massen zwischen den Sanidintäfelchen vertheilt. Grössere Krystalle von

Sanidin liegen porphyrartig zerstreut in der Grundmasse; sie zeigen sämmtlich schalige Structur und weisen merkwürdiger Weise in ihrem Kern eine bedeutende Veränderung auf, während die randlichen Zonen noch ganz frisch und farblos erscheinen. Lang säulenförmige Augite von grüner Farbe, häufig mit gut entwickelten pyramidalen Endflächen, sind ebenso wie die nicht allzu reichlich vorhandenen Magneteisenkörnchen gleichmässig durch die Gesteinsmasse vertheilt.

Accessorische Gemengtheile von Nosean, Apatit etc. lassen sich nicht beobachten; doch verräth des letzteren Anwesenheit die deutliche Phosphorsäurereaction, welche in der salpetersauren Lösung mit molybdänsaurem Ammon erfolgt.

Ein von diesem etwas verschiedenes Bild gewährt unter dem Mikroskop der Phonolith vom Südabhang des Rückensteins. Durch das bedeutende Vorwalten des Sanidins besitzt die Grundmasse eine sehr helle Farbe; Nephelin ist nicht reichlich vorhanden und stets schmutzig grau oder bräunlich zersetzt; die ebenfalls sehr zurücktretenden grünen Augite finden sich nur in Körnchen von sehr geringen Dimensionen, selten in grösseren säulenförmig gestreckten Kryställchen; am Magneteisen lassen sich mitunter noch octaedrische Formen beobachten.

Bei weiterer Betrachtung der Präparate fallen ziemlich grosse Durchschnitte von dicksäuligen Krystallen auf, welche von grauer oder violettgrauer Farbe ein eigenthümliches punkirtes Aussehen besitzen. Bei Anwendung stärkster Vergrösserung lösen sich diese Punktreihen in zahllose Poren von zum Theil schlauchförmig parallel der Krystallhauptaxe in die Länge gezogener Form auf, welche durch ihre starke Lichtbrechung dem an sich farblosen Mineral die grauliche Färbung verleihen. Erst die chemische Prüfung gab Aufschluss über die Natur desselben; Salzsäure vermochte dasselbe schon nach kurzer Einwirkung vollständig zu zersetzen; die Lösung enthielt wesentlich Kalk und ein Versuch mit molybdänsaurem Ammon ergab die Anwesenheit einer bedeutenden Menge von Phosphorsäure, so dass es ausser Zweifel steht, dass hier Apatit in derselben Form vorliegt, wie ihn *v. Sandberger* verwachsen mit Titaneisen und schlackigem Augit als Einschluss im Basalt von Naurod beobachten konnte.¹⁾ Ganz

¹⁾ Ueber den Basalt von Naurod bei Wiesbaden und seine Einschlüsse. Jahrb. d. k. k. geol. Reichsanstalt 1883. 33. Band, I. Heft S. 54.

eben solcher Apatit findet sich auch nach demselben im Phonolith der Milseburg. Die kleinen Quantitäten von Thonerde, Eisen und Alkalien (letzere wurden auf mikrochemischem Wege mit Platinchlorid und Uranylacetat nachgewiesen) rührten offenbar von der bei solchen Manipulationen schwer vermeidbaren Zersetzung benachbarten Mineralpartikelchen, in diesem Falle von Nephelin und Magneteisen her.

Diesen plagioklasfreien echten Phonolithen stehen die folgenden gegenüber, welche sich durch einen ziemlich bedeutenden Gehalt an triklinem Feldspath, sowie Hauyn und Hornblende auszeichnen. Es sind dies:

3) der Phonolith von der Dalherdaerkuppe Sign. 802,7 bei Dalherda,

4) der Phonolith vom Nordhang des Kreuzbergs und

5) der Phonolith vom Käuling Sign. 755,6 bei Bischofsheim.

Die Grundmasse dieser im Handstücke von den normalen Phonolithen durchaus nicht unterscheidbaren Gesteine besteht aus Sanidin, Nephelin und einer bei den zwei letztgenannten Vorkommen sehr beträchtlichen Menge von triklinem Feldspath.

Wie in den Basalten tritt auch hier derselbe in leistenförmigen Durchschnitten auf, deren kurze Seiten selten eine deutliche Begrenzung erkennen lassen und deren parallele Anordnung häufig zur Entwicklung einer deutlichen Stromstructur innerhalb der Grundmasse Veranlassung gibt.

Wie der Sanidin, der wie gewöhnlich meist tafelförmige Ausbildung aufweist, findet sich im Phonolith des Käulings auch Plagioklas in grösseren porphyrtartigen Krystallausscheidungen, welche es wenigstens ermöglichten, das spezifische Gewicht zu bestimmen. Dasselbe = 2,596 entspricht nach *Des Cloizeaux* Untersuchungen ¹⁾ einem Kalknatronfeldspath, in welchem Natron bedeutend überwiegt und den also *Scheerers* Bezeichnung „Albit-Oligoklas“ ²⁾ vielleicht am treffendsten characterisiren würde.

Nephelin und Sanidin wiegen dagegen in dem Gestein von der Dalherdaer Kuppe noch bedeutend vor. Wie in den zuerst geschilderten Phonolithen ist auch hier der Nephelin stark in graue und schmutzigbräunliche Substanzen zersetzt und hat offenbar auch das Material zu den in einzelnen Hohlräumen angesiedelten radialfaserigen Zeolithaggregaten geliefert.

¹⁾ *M de Cloizeaux* Oligoclases et Andésines. Tours 1885 p. 19.

²⁾ *Poggendorff Annal. d. Physik und Chemie* Band 89 S. 17.

Augit theiligt sich an der Zusammensetzung dieses Gesteins nur in geringem Maasse in Form von blassbraunen Körnchen und Säulchen; dagegen ist er reichlicher vorhanden in den Phonolithen vom Kreuzberg und vom Käuling, wo zugleich noch Magnet-eisen in einer für diese Felsart ungewöhnlichen Menge auftritt.

Apatit in der oben beschriebenen Form ist sehr häufig, auch grosse unregelmässig begrenzte grüne Augite und braungrüne Hornblenden, zuweilen mit Apatit und Titaneisenta-feln verwachsen, sind nicht gerade selten. Das sogenannte schlackige Titaneisen findet sich in stecknadelkopf- und grösseren Körnern mit in's Violete spielendem Metallglanz, welche schwierig von Salzsäure gelöst werden und merkwürdigerweise nur geringen Magnetismus zeigen.

Als weitere accessorischen Gemengtheile erregen zahlreiche Noseane das besondere Interesse. Sie treten wenig scharf begrenzt aus der Grundmasse hervor, da sie meist ganz farblos oder wenigstens von einer farblosen Randzone mit sechs- oder achtseitigem Umrisse umgeben sind, während das bläulichgraue Innere durch die mehr oder weniger dicht gedrängten sich rechtwinklig kreuzenden Strichsysteme einen dunkleren Ton zeigt.

Seltener ist der Hauyn in Form von rundlichen Körnchen mit entweder rein blauer oder in's Graue spielender Farbe, dunklerem Rande, sonst scheinbar ohne Structur und nur mit zahlreichen Gas-poren und vielleicht auch Flüssigkeitseinschlüssen versehen. In manchen Präparaten des Gesteins von der Dalherdaer Kuppe fehlt er und auch in jenem vom Kreuzberg und vom Käuling tritt er so vereinzelt und in so kleinen Individuen auf, dass man ihn leicht übersehen kann.

Die quantitative Analyse des Gesteins vom Käuling hatte Herr *Max Scheidt* die Güte im chemischen Laboratorium der Universität auszuführen. Dieselbe ergab:

Total	In Salzsäure löslicher Theil = 27,17 %	In Salzsäure unlöslicher Theil = 72,83 %
SiO ₂ 51,91	25,85	61,64 ¹⁾
TiO ₂ 1,56	0,55	1,93
Al ₂ O ₃ 19,58	26,51	17,00
Fe ₂ O ₃ 6,39	23,53	—
FeO 2,30	3,48	1,86

¹⁾ Die Kieselsäure des unlöslichen Theils wurde aus der Differenz berechnet.

CaO	5,50	8,86	4,24
MgO	0,54	1,44	0,21
K ₂ O	3,32	2,31	3,70
Na ₂ O	7,70	3,08	9,42
P ₂ O ₅	0,72	2,65	—
H ₂ O	0,50	1,84	—
	<hr/> 100,02	<hr/> 100,10	<hr/> 100,00

In 40 g konnten ferner noch qualitativ nachgewiesen werden:

Pb, As, Sn, Cu, Mn, Cr, Ba, Sr, Li, Cl, S, CO₂

Das spec. Gewicht = 2,713.

Der Sauerstoffquotient = 0,5618.

Durch den hohen Natrongehalt, welcher offenbar von der Theiligung des triklinen Feldspathes herrührt, unterscheidet sich das Gestein in seiner chemischen Zusammensetzung sehr wesentlich von den Phonolithen. *Doelter*¹⁾ beschreibt von der Cova auf Antao (Capverden) einen abgesehen von dem Kieselsäuregehalt sehr ähnlich zusammengesetzten „phonolithähnlichen Tephrit“. Für einen Tephrit dürfte jedoch der Kieselsäuregehalt des Gesteines vom Kailing etwas zu hoch sein und deshalb empfiehlt es sich wohl, bei der äusseren Verwandtschaft mit den Phonolithen die Bezeichnung „Plagioklas-Phonolithe“ in Vorschlag zu bringen.

Ein sehr eigenartiges Gestein fand ich am Nordwestabhange des Kreuzbergs in einigen Blöcken, welche es mir nicht ermöglichen, die Beziehungen desselben zu dem in nächster Nähe anstehenden Plagioklas-Phonolith zu erkennen. Es ist von tief-schwarzer Farbe, splittrigem Bruch, dünnplattiger Absonderung und zeigt dieselbe graue Verwitterungsrinde wie die Phonolithe.

Die Structur ist äusserst dicht, nur einige stark glänzende Hornblendesäulchen treten aus der Grundmasse hervor.

Unter dem Mikroskop besteht letztere aus einem feinkörnigen Gewirr von winzigen Feldspathleistchen (Sanidin), Augitnadelchen und staubartig vertheilten Magnetiseinkörnchen, welche mitunter auf Adern besonders concentrirt erscheinen.

Die lebhaft dichroitischen gelbbraunen Hornblendekrystalle weisen stark abgerundete Kanten auf; häufig sind sie von neugebildetem Magnetisen umgeben, wie es später ausführlich beschrieben werden wird.

¹⁾ C. Doelter. Die Vulcane der Capverden. Graz 1882. S. 99.

Das Charakteristische für das Gestein sind die zahlreichen Noseankryställchen, welche in 4-, 6- oder 8-seitigen Durchschnitten mit ihren hellen Rändern sich deutlich aus der dunklen Grundmasse abheben. In ihren dunkler gefärbten, blau oder bräunlich-grauen centralen Parthieen sind sie von den schwarzen Strichsystemen durchkreuzt, welche selbst bei stärkster Vergrösserung ihre wahre Natur nicht erkennen lassen.

Fast ebenso häufig finden sich dicksäulenförmige Apatitkryställchen von derselben Beschaffenheit wie in dem beschriebenen zunächst anstehenden Plagioklas-Phonolith.

Bei der Behandlung mit Salzsäure erfolgt eine geringe Gallertbildung, als deren Ursache sicher der Noseangehalt zu betrachten ist. Die Lösung enthält neben Thonerde und Eisen etwas Kalk und Natron (natürlich auch Schwefelsäure); in dem ausgewaschenen Rückstande finden sich schwach bräunlich gefärbte Augit- und farblose Feldspathpartikelchen, welche keinerlei Spur von Angegriffensein verrathen und somit dem Sanidin zuzurechnen sind, denn erst beim Aufschliessen mit Flusssäure geht eine verhältnissmässig bedeutende Menge Kalium in Lösung und kann hier sowohl durch die Reaction mit Platinchlorid als auch auf spectroscopischem Wege deutlich nachgewiesen werden.

Trikliner Feldspath und Nephelin liessen sich im Präparate nicht beobachten; auch auf chemischem Wege ist die Nachweisung derselben nicht gelungen.

Unter diesen Umständen ist das Gestein schwierig unter die Hauptgesteinstypen einzureihen. Die Bezeichnung „Noseantrachyt“ würde das Ergebniss der mikroskopischen Untersuchung am besten zum Ausdruck bringen; doch müsste zuerst noch die chemische Zusammensetzung sowie die Beziehung zum benachbarten Phonolith bekannt sein, ehe eine vollständige Charakteristik möglich wäre¹⁾.

B. Die Basalte.

Gegenüber dem vereinzelt auftretenden Phonolith bildet der Basalt in der südlichen Rhön das wichtigste Eruptivgestein. Beinahe so zahlreich wie die Lokalitäten, an denen dieses

¹⁾ Unter dem Namen „Hanybasalt vom Kreuzberg i. d. Rhön“ beschreibt Möhl im N. J. f. M. 1873 S. 449 ff. ein Gestein, welches von dem dort erwähnten Nephelingehalte abgesehen mit dem oben geschilderten Vorkommen identisch zu sein scheint.

Gestein in Form von Gängen oder Kuppen zum Durchbruch gekommen ist, sind auch die Varietäten desselben und die Existenz einer fortlaufenden Reihe von Uebergängen gestaltet die Eintheilung dieser Basalte zu keiner einfachen Aufgabe.

Vom dichten Glasbasalt bis zum mittelkörnigen Nephelinbasalt und grobkörnigen Nephelinit einerseits bis zum prächtig vollkrystallinen Feldspathbasalt andererseits sind sämtliche Ausbildungsweisen vorhanden. Dazu kommt aber noch die grosse Zahl von Verbindungsgliedern zwischen Feldspathbasalt und Nephelinbasalt, welche es unmöglich machen, mit absoluter Sicherheit die Grenze zwischen beiden zu ziehen.

Nichts destoweniger aber hat es sich zweckmässig, weil die Uebersicht des Zusammengehörigen nicht störend, erwiesen, von der Einführung neuer Namen für die zuletzt erwähnten Mittelglieder abzusehen, sondern an der älteren Eintheilung der Basalte in Feldspath- und Nephelinbasalte festzuhalten und diesen beiden Hauptgruppen die übrigen Varietäten entsprechend unterzuordnen.

Dieses Verfahren mag bei Grenzgliedern mitunter willkürlich erscheinen; allein bevor nicht die chemische Zusammensetzung dieser Basalte im grössten Maasstabe ermittelt ist, wird man gut thun, die Zersplitterung der Gesteine nur nach dem mikroskopischen Befund in allzuvieler Unterabtheilungen zu vermeiden.

Reine Glasbasalte sind im Untersuchungsgebiete nicht häufig; sehr verbreitet dagegen sind solche, welche neben Glas entweder noch Feldspath oder Nephelin oder auch beide zusammen ausgeschieden führen. Die bisherigen Beobachtungen deuten darauf hin, dass diesen glasführenden Basalten, wenigstens in der südlichen Rhön eine selbstständige Stellung nicht zuerkannt werden darf, sondern dass sie lediglich als lokale Erstarrungsmodificationen des betreffenden Basaltdurchbruchs aufzufassen sind. Sie leiten bei entsprechender Abnahme des Glasgehaltes und reichlicherem Vorwalten des einen oder anderen der beiden oben genannten wesentlichen Gemengtheile zu den typischen Repräsentanten der beiden Hauptgruppen über.

Das grösste Contingent stellen die Nephelinbasalte in mannigfacher krystallinischer Struktur, bald reich, bald arm an Chrysolith, bald ganz frei davon, wie der Nephelinit von Leubach, mit wechselndem Gehalt an Magneteisen, Apatit, Glimmer und

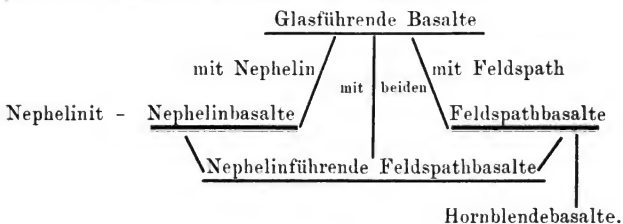
anderen Nebenbestandtheilen und demgemäss auch von verschiedener chemischer Zusammensetzung.

Ziemlich vereinzelt finden sich echte Feldspathbasalte, dem typischen Vorkommen vom Vogelsberg vergleichbar; dagegen sind häufig Feldspathbasalte mit mehr oder weniger Nephelin. Hierbei ist die Grenze gegen die Nephelinbasalte hin insoferne weiter gezogen worden, als selbst ein in geringem Maasse überwiegender Nephelingealt — was meist ja sehr schwer constatirbar ist — eine Abtrennung von den Feldspathbasalten nicht als zweckmässig erscheinen liess.

In geologischer Beziehung sind jene Feldspathbasalte besonders interessant, welche als charakteristischen Bestandtheil noch Hornblende führen (Hornblendebasalte); sie unterscheiden sich auch in Beziehung auf ihre Structur etwas von den übrigen Feldspathbasalten.

Schliesslich wären hier noch die durch ihren Titaneisengehalt ausgezeichneten, eine petrographisch und geologisch abgeschlossene Gruppe für sich bildenden Dolerite zu erwähnen. Ihr Auftreten beschränkt sich im Untersuchungsgebiete auf zwei Punkte.

Die basaltischen Gesteine der südlichen Rhön lassen sich somit in folgender Weise übersichtlich gruppiren:



Glas-Basalte.

Es sind dies schwarze sehr dicht aussehende Gesteine mit splitterigem oder sehr undeutlich muscheligen Bruch. Von den Bestandtheilen ist mit Ausnahme der zahlreichen porphyrtig eingestreuten Olivinkörner und einzelner Augitkrystalle nichts erkennbar.

Unter dem Mikroskop stellen dieselben echte Glasbasalte dar, insofern sich in dem meist feinkörnigen Gemenge von Augit-

kryställchen, Magneteisen und Chrysolithkörnchen, welche durch eine glasige Basis verkittet erscheinen, keinerlei Feldspathgemengtheile ausgeschieden erkennen lassen.

Das Glas ist an der Gesteinszusammensetzung in sehr schwankendem Maasse betheiligt, es besitzt in den meisten Gesteinen je nach der Dicke des Präparates eine licht- bis dunkelbraune Farbe, oft mit einem Stich ins Violete; theils ist es völlig homogen, theils befindet es sich in einem Zustande der Entglasung. Der letztere bekundet sich durch langgestreckte Trichite, welche bald dicht gehäuft, bald mehr vereinzelt, sich häufig rechtwinkelig oder unter andern Winkeln schneiden und dadurch zu sternförmigen Aggregaten gruppiert erscheinen. Für ihre mineralogische Deutung als winzige stabförmig aneinandergeriehete Magneteisenkörnchen spricht die (durch Eisenentziehung bewirkte) Entfärbung der zunächst anliegenden Glasparchieen.

Das braune Glas ist überall durch Salzsäure unter Gallertbildung zersetzbar, es ist somit echter Tachylit. Hier und da lassen sich auch grün gefärbte Parthieen in demselben beobachten, welche keine Wirkung auf das polarisirte Licht äussern und demnach vielleicht als Hydrotachylit zu bezeichnen sind.

Augit tritt ausser als Bestandtheil der Grundmasse auch noch porphyrtartig eingesprengt auf. Er zeigt in diesen Basalten gewöhnlich eine gelbbraune Farbe. Die Augite der Grundmasse liefern bei körniger Ausbildung meist rundliche Querschnitte. Im Gegensatz dazu besitzen die grösseren eingesprengten Krystalle höchst unregelmässige Begrenzungslinien, die sich durch eigenthümliche Wachsthumerscheinungen und Zwillingsbildungen erklären lassen.

Sie sind theils frei von fremden Einschlüssen, theils strotzen sie förmlich von lappigen Glasparchieen und leeren Gasporen. Alle aber zeigen mehr oder weniger schöne Schalenstructur, so zwar, dass die licht gelb oder grün gefärbten Kerne von einer oder mehreren dunkleren Zonen von Augitsubstanz umgeben werden.

Chrysolith kommt in diesen Basalten fast immer in gut ausgebildeten, meist noch sehr frischen und deshalb farblosen Krystallen vor, welche an zahlreichen Sprüngen und Rissen erkennen lassen, dass sie vor den anderen Mineralien zur Erstarrung gelangt sind. Diese letzteren haben die Chrysolithe förmlich auseinander gesprengt, einzelne Theile derselben durch da-

zwischen gedrängtes Magma in manichfachster Weise verschoben und verworfen.

Die Krystalle sind mit Ausnahme von Glasfragmenten und Picotitoctaederchen beinahe frei von fremden Einschlüssen. Behufs chemischen Nachweises wurden solche winzige grünlich durchscheinende Körnchen isolirt und mittelst Färbung der Phosphorsalzperle die mineralogische Natur derselben als Chromspinelle festgestellt.

Magneteisen tritt sowohl in rundlichen Körnchen und aus solchen bestehenden losen Anhäufungen als auch in deutlichen Octaederformen auf, über welche weiter nichts zu bemerken ist. Glas und Magneteisen scheinen in einem gewissen Verhältnisse zu einander zu stehen; es lässt sich nämlich beobachten, dass je dunkler die Farbe des Glases ist, desto weniger Magneteisen sich ausgeschieden findet und umgekehrt.

Auf chemischem Wege lässt sich noch die Anwesenheit von Phosphorsäure in diesen Basalten nachweisen; dagegen konnte ich dieselbe in Form von individualisirtem Apatit in den Dünnschliffen nirgends erkennen.

Von den Gesteinen des Untersuchungsgebietes gehören die folgenden zu dieser Gruppe:

1) Der Basalt vom Sodenberge Sign. 507.

Die Kuppe des Sodenbergs erhebt sich westlich von Hammelburg aus dem Saaletal, das nach Süden vorliegende Wellenkalkplateau um etwa 100 m überragend. Der Basalt ist in regelmässig 5- und 6-seitigen, bis zu 30 cm dicken Säulen abgesondert, welche, wie die grossen Steinbrüche an der Nordseite beobachten lassen, nach der Spitze des Berges zu convergiren. Auf den Verwitterungs- und Absonderungsklüften findet sich ein sehr weiches fett anzuführendes Mineral, dessen 25,44 % betragender Wassergehalt (neben Thonerde, Magnesia, Kalk, Natron und etwas Eisen) seine Identität mit dem von *Rammelsberg* analysirten Bol von Stolpen¹⁾ sehr wahrscheinlich macht.

Unter dem Mikroskope fällt die reichliche Betheiligung von braunem, an Trichiten reichem Glas an der Zusammensetzung der Grundmasse auf. Das Verhältniss desselben zu Augit wie 1:1 dürfte nicht zu hoch gegriffen sein. Die kleinen Augite zeigen

¹⁾ *Rammelsberg*, Handbuch der Mineralchemie. Leipzig 1860 S. 578.

sehr wechselnde Grössenverhältnisse (im Mittel 0,05 mm lang) und eine ungleichmässige Vertheilung.

Nicht häufig sind in diesem Gestein Augite eingesprengt. Sehr reichlich dagegen ist Chrysolith vorhanden, in Krystallen sowohl als in rundlichen Körnern; im Allgemeinen noch sehr frisch, zeigt er nur hier und da auf Sprüngen grünlichgraue Zersetzungsprodukte. Magneteisen ist regellos zwischen den vor genannten Gemengtheilen erstarrt.

2) Der Basalt von der Platzerkuppe 738,2.

Derselbe bildet nördlich von Platz den südlichsten Ausläufer der Schwarzen Berge.

Der Basalt steht besonders frisch am südlichen Abhange der Kuppe in einigen, grobsäulige Absonderung zeigenden Felsköpfen an.

Unter dem Mikroskope ist das Gestein dem vorigen sehr ähnlich, nur etwas dichter; das braune Glas erscheint ganz frei von Trichiten.

Die Augite der Grundmasse zeigen mehr säulenförmigen Habitus. An einzelnen Stellen gewahrt man neben dem braunen auch noch farbloses Glas, welches beim Drehen zwischen gekreuzten Nicols dunkel bleibt.

2)a. Ein von Herrn Professor *v. Sandberger* an der Platzerkuppe geschlagenes authentisches Handstück erweist sich als ein echter Plagioklasbasalt ohne jede Spur von Glas. Es ist dies deshalb sehr merkwürdig, als meine sämmtlichen Stücke im Gegensatz dazu ganz frei von ausgeschiedenen feldspathigen Gemengtheilen sind.

3) Der Basalt von der Ostseite des Ehrenbergs Sign. 484 östlich von der Chaussee Brückenan-Oberleichtersbach.

Das Gestein stammt von dem Gange, welcher sich auf den Feldern am Wege gegen Breitenbach zu eine Strecke weit verfolgen lässt.

Unter dem Mikroskope stellt dasselbe ein sehr feinkörniges Gemenge kleiner Augitsäulchen und brauner Glasmasse dar. Ihre quantitative Betheiligung ist eine etwas geringere, die Vertheilung eine gleichmässigere. Auch der Chrysolith tritt an Menge ein wenig zurück und zeigt bei noch wasserhellem Kerne häufig an den Rändern ein schon weiter vorgeschrittenes Zersetzungsstadium. Grössere eingesprengte Augite fehlen.

4) Der Basalt von Sign. 719 „Auf der kahlen Buche.“

5) Der Basalt vom Zickzacküppel Sign. 629,4.

Diese beiden kleinen Kuppen liegen auf der Anhöhe westlich von Weisbach am Ostrande der „Langen Rhön“. Die Gesteine von beiden sind vollständig identisch. In einer feinkörnigen, aus einem innigen Gemenge von Augit und schmutziggelber Glassubstanz bestehenden Grundmasse liegen porphyrtartig zahlreiche Chrysolith- und Augitkrystalle. Erstere sind vielfach zerbrochen und mit Einbuchtungen versehen, auf welchen Grundmasse eingedrungen ist. Bei No. 4 äussert sich die Verwitterung in gelben Ueberzügen über die Olivine und in der Neubildung von Zeolithen, welche sich in Form von kugelförmigen radialfaserigen Aggregaten in einzelnen Hohlräumen angesiedelt haben.

6) Der Basalt von dem Gange, welcher die Stadt Gersfeld in südwestlicher Richtung durchsetzt.

Das Gestein von dunkelgrauer Farbe zeigt u. d. M. neben bräunlichem Glas eine farblose, durch Zersetzung schmutziggelbe körnige Basis. Die Augite der Grundmasse sind violettbräunlich, von etwas grösseren Dimensionen als in den vorher beschriebenen Gesteinen; eingesprengte Augite fehlen. Chrysolith tritt in meist noch wasserhellen einschliessfreien Krystallfragmenten auf; Magneteisen theilhaftig sich in reichlichem Maasse an der Zusammensetzung. Accessorisch fanden sich gelbe stark dichroitische fein gestreifte Blättchen mit hexagonaler Begrenzung, welche den Habitus des Glimmers zeigen. Abgesehen von dem Fehlen des letzteren ist diesem Gestein sehr ähnlich.

7) Der Basalt von dem Gange unterhalb der Westkuppe des Grossen Nallen bei Gersfeld.

Ich reihe hier einige Gesteine an, welche, obwohl sie Glas nur in minimaler Menge führen, doch einen feldspathigen Gemengtheil in ihrer äusserst feinkörnigen Grundmasse nicht erkennen lassen.

8) Der Basalt von der flachen Kuppe im Guckassattel zwischen Kreuzberg und den Schwarzen Bergen.

Das Gestein ist stark verwittert.

9) Der Basalt von der Spitze des Bühlbergs Sign. 447,0 bei Hammelburg.

10) Der Basalt von dem Gange südöstlich von Wartmannsroth, links von der Strasse nach Dibbach.

- 11) Der Basalt von einem kleinen Durchbruch südlich unterhalb des Eyerhauck bei Wildflecken.
- 12) Der Basalt von der kleinen Kuppe Sign. 696 am Nordabhang des Arnsberges bei Oberweissenbrunn.
- 13) Der Basalt von dem kleinen Gange östlich von Kotheln.

Dieses Gestein zeigt auf ganz eng beschränktem Raume drei sich allerdings sehr nahestehende Varietäten. Vereinzelt finden sich Splitter von Horablendekrystallen; doch ist dies niemals in den Präparaten der Fall, so dass das Gestein nicht zu den Hornblendebasalten (s. u.) zu zählen ist.

Nephelin-Basalte.

A. Glasführende Nephelin-Basalte.

Bläulichschwarze, grobmuschelig brechende Gesteine, aus deren auch unter der Lupe dicht erscheinender Grundmasse mitunter fett glänzende farblose Nephelinparthieen, dann gelblich-grüne glas glänzende Chrysolithkörner und vereinzelte Augitkrystalle porphyrartig hervortreten. Bei vorgeschrittener Verwitterung gewinnen sie häufig ein geflecktes blatternarbiges Aussehen. Diese Gesteine gleichen unter dem Mikroskope sehr den echten Glasbasalten; zum Unterschiede von ihnen führen sie jedoch in der aus Augit und braunem Glas bestehenden Grundmasse auch noch in mehr oder weniger beträchtlicher Menge Nephelin als wesentlichen Gemengtheil.

Derselbe tritt meist gut individualisirt, d. h. in kurzen, dicksäulenförmigen Krystallen auf, welche je nach ihrer Lage im Präparate scharf begrenzte vier- oder sechsseitige Querschnitte liefern. In diesem Falle sind sie nicht reich an fremden Einschlüssen; nur nadelförmige Apatite durchsetzen sie hier und da. Nicht selten findet sich aber der Nephelin auch in unregelmässig begrenzten wasserhellen Körnern, welche, wie sich im polarisirten Lichte zeigt, häufig selbst wieder aus mehreren Individuen bestehen.

Abgesehen von den schon erwähnten Apatiten führen diese farblosen Nephelinparthien kleine Augitkryställchen, Magnetiseinkörnchen und Glaspartikel oft so dicht geschaart, dass sie in der Grundmasse nur als lichtere Stellen erscheinen. Chrysolith und grössere Augite sind wie bei den meisten Glasbasalten reichlich vorhanden und auch hier noch sehr wenig von Zersetz-

ung ergriffen; ebenso betheiligt sich das Magneteisen in ähnlicher Weise an der Gesteinszusammensetzung.

Glasführende Nephelinbasalte, in denen wenig Nephelin und dann immer nur in der zweiten Form auftritt, sind:

1) Der Basalt vom Arnsberg Sign. 844,3 bei Oberweissenbrunn.

Das Gestein stammt von dem westlichen etwas höheren der beiden die Spitze des Arnsbergs bildenden Felsköpfe.

Unter dem Mikroskope ist es jenem vom Zickzackkuppel sehr ähnlich. Die Grundmasse besteht aus einem sehr feinkörnigen, durch eingestreutes staubartig vertheiltes Magneteisen dunklen Gemenge von säulenförmigen Augiten und schmutzig braunem Glas, sowie spärlichen Nephelinparthieen. Eingesprengte Augite mit grünem an Einschlüssen reichem Kern und ziemlich frische Chrysolithkrystalle liegen in demselben regellos eingebettet.

2) Der Basalt von der Mottener Haube Sign. 765 südwestlich von Motten.

3) Der Basalt vom Stationsberg bei Riedenberg.

4) Der Basalt vom Rucksberg Sign. 871 bei Reussendorf.

5) Der Basalt von Oettershauk Sign. 766 bei Oberbach.

Unter dem Mikroskope ist die Korngrösse dieser Gesteine nur eine etwas gröbere; sonst gleichen sie vollständig No. 1.

6) Der Basalt von Eyerhauk Sign. 912,8 bei Wildflecken.

Die Grundmasse dieses Gesteins ist unter dem Mikroskope noch etwas grobkörniger; zwischen den nelkenbraun gefärbten Augiten ist viel Glas vorhanden; durch das häufige Auftreten lichter Nephelinparthien besitzt die Grundmasse eine hellere Farbe. Der grossen Menge des Glases entsprechend ist die Betheiligung des Magneteisens in Form von ziemlich grossen Körnern eine etwas geringere.

Gesteine, in welchen Nephelin in reichlicher Menge in guter krystallinischer Ausbildung sich findet, sind folgende:

7) Der Basalt vom Steinkuppel bei Schmalnau.

Derselbe bildet eine flache Kuppe südlich von Schmalnau; das Gestein zeigt grobkugelige Absonderung.

8) Der Basalt vom Pferdskopf südwestlich unterhalb des Eyerhauk bei Wildflecken.

Unter dem Mikroskope zeigen diese Gesteine eine gleichmässig zwischen den gut ausgebildeten Augiten der Grundmasse vertheilte lichtbraune Glasbasis; neben derselben finden sich

sehr viele regelmässige Nephelindurchschnitte von vierseitiger bzw. sechseitiger Form, welche dem Gestein einen lichterem Ton verleihen.

Chrysolith tritt im Verhältniss zu den übrigen Basalten dieser Gruppe etwas zurück; ebenso ist das Magneteisen ein nicht allzu reichlich vorhandener Gemengtheil.

9) Der Basalt von dem Gange westlich von Detter an der Strasse nach Weissenbach.

10) Der Basalt von der kleinen Kuppe Sign. 444 nordwestlich von Breitenbach bei Brückenau.

Dieser Eruptionspunkt liegt auf der im ersten Theile erwähnten Verwerfungsspalte Volkersberg-Brückenau-Breitenbach.

11) Der Basalt vom Bartenstein Sign. 678 bei Oberriedenberg.

12) Der Basalt vom Mittelberg Sign. 639 bei Oberbach.

13) Der Basalt von der kleinen Kuppe Sign. 666 südlich von Reussendorf.

Es sind dies sämmtlich Basaltdurchbrüche von sehr geringer räumlicher Ausdehnung, deren Produkte Neigung zu säulenförmiger Absonderung zeigen.

Unter dem Mikroskope sind sie etwas feinkörniger wie die beiden vorigen, führen viel eingesprengten Chrysolith und grössere Augite. Nephelin zeigt sich sowohl gut krystallisirt als auch in unregelmässigen wasserhellen Parthieen und macht mit Augit den Haupttheil der Grundmasse aus. Das schmutzig braun gefärbte Glas tritt bedeutend zurück, dagegen ist Magneteisen in grösserer Menge vorhanden und bewirkt eine dunklere Gesteinsfärbung.

Den vorgenannten durchaus ähnlich sind noch:

14) Der Basalt vom Arnsberg, Sign. 844,3, östlicher Felsen (vergl. Nr. 1 Arnsberg).

15) Der Basalt vom NO Fusse der Maria Ehrenbergkuppe, Sign. 676,1.

16) Der Basalt vom Sign. 725 „Auf der kahlen Buche“ westlich von Weisbach.

17) Der Basalt vom Sign. 769 „im Höhn“ westlich von Roth bei Fladungen.

18) Der Basalt von der Westseite des I. Pilsterkopfs Sign. 638 bei Brückenau.

Das Gestein stammt von dem schmalen Gange, welcher bei vorgeschrittener Verwitterung eine Art Basaltmandelstein darstellend den älteren Hornblendebasalt (s. u.) durchbricht.

Ein Gestein, welches der Abtheilung der glasführenden Nephelinbasalte angehörig in vereinzelt winzigen Leistchen triklinen Feldspath führt, und zwar, wie sich bei der Untersuchung zeigte, bei verschiedenen Stücken in verschiedener Menge, ist

19) der Basalt von der Kuppe Sign. 555 bei Werberg.

Dieselbe wird von mehreren Felsköpfen gebildet, welche aus dünnen (nur bis 20 cm dicken) Basaltsäulen mit nordöstlichem Einfallen bestehen.

B. Glasfreie Nephelinbasalte.

Die Anwesenheit des Nephelins begründet die durch Gelatiniren mit Salzsäure sich äussernde Generalreaction dieser Gesteine, wobei in der von Thonerde und Eisen befreiten Lösung in grösserer Menge Kalk und Natron nachgewiesen werden können. Dünne Splitter, welche längere Zeit in Salzsäure liegen, nehmen eine hellgraue Farbe an und erhalten durch die Ausätzung des Nephelins, Chrysoliths und Magneteisens ein poröses Aussehen.

Unter dem Mikroskope besteht die Grundmasse dieser Gesteine aus Nephelin und Augit, zu denen sich Magneteisen, Chrysolith, Apatit und Glimmer gesellen.

Wie bei den glasführenden Nephelinbasalten findet sich auch hier der Nephelin theils gut individualisirt, theils in unregelmässig begrenzten Parthieen, wie sie früher schon beschrieben wurden. Einlagerungen, besonders regelmässig scheinende, sind in den Nephelinen unserer Gesteine im Ganzen selten. Mit Ausnahme von Apatitnadeln, welche die Nephelinparthieen in allen Richtungen durchsetzen, sind die kleinen Augit- und Magneteiseneinschlüsse meist auf die Randzone beschränkt. Die Augite der Grundmasse zeigen meist nelkenbraune Farbe mit einem Stich in's Violete, wie er bei diesem Gemengtheil in Feldspathbasalten gewöhnlich nicht vorkommt.

Der stets in beträchtlichem Maasse an der Gesteinszusammensetzung betheiligte Chrysolith findet sich meist in modellmässig ausgebildeten Krystallen der gewöhnlichen Combinationen.

$$\infty \tilde{P} . 2 \tilde{P} \infty \text{ bzw. } \infty \tilde{P} \infty . 2 \tilde{P} \infty . oP.$$

Vereinzelt finden sich noch Zwillingsskrystalle nach $\tilde{P} \infty$ verwachsen, wie sie Doss ¹⁾ ausführlich beschrieben hat. Metallisch

¹⁾ Die basaltischen Laven und Tuffe der Provinz Haurân und vom Diret et-Tulâl in Syrien. Mineralog. u. petrogr. Mitth. VII. 1886. S. 491.

glänzende undurchsichtige Magneteisenoctaederchen, bräunlich durchscheinende winzige Picotite, farblose und bräunliche Glaslamellen mit oder ohne Poren sind die überall, aber niemals in grosser Menge vorhandenen Einschlüsse. Selten findet man neben diesen in einigen Basalten noch kleine scharf ausgebildete Würfelchen, welche schon *Singer* beim Vergleichen mit dem ähnlichen Vorkommen im Melilithbasalt vom Deviner Gang bei Wartenberg in Böhmen als Perowskit gedeutet hat. Ich schliesse mich, nachdem ich ähnliche Kryställchen auch noch in einigen anderen Basalten fand, dieser Ansicht unter dem Vorbehalte des chemischen Nachweises an und bemerke noch hiez zu, dass an eine Isolirung derselben aus dem Gestein wegen ihrer Winzigkeit und Seltenheit nicht zu denken war, nachdem ein Versuch, sie aus dem gänzlich zerfallenen Gestein durch Schlämmen zu gewinnen, kein Resultat gehabt hatte.

Von besonderem Interesse an den Chrysolithen sind die mannichfachen Umwandlungserscheinungen, welche bei diesen Basalten ein weit vorgeschrittenes Verwitterungsstadium verrathen, als sich bei den glasführenden Gesteinen beobachten liess.

Als direktes Zersetzungsprodukt erscheint häufig Eisenhydroxyd; in diesem Falle ist der äusserste Rand der Chrysolithe anfänglich in eine schön honiggelbe Rinde verwandelt, von der aus eine gelbliche Faserung nach dem Innern zu in der Weise ausgeht, dass die Fasern senkrecht zu den langen parallelen Seiten verlaufen. Mit dem Vorschreiten der Faserung verbreitet sich auch der gelbe Saum, bis schliesslich der ganze Krystall unter Beibehaltung der Form in eine honiggelb durchscheinende, später aber trübe und undurchsichtig werdende Masse verwandelt ist.

Beinahe häufiger noch ist die Umwandlung in grüne chlorit- und chlorophäitartige Substanzen.

Hiebei beginnt die Veränderung von den Quersprüngen aus und die Faserung erfolgt, wo sie vorhanden ist, immer parallel zu den beiden Längsseiten der Krystalldurchschnitte, d. h. in der Richtung der vertikalen Hauptaxe. In den ersten Stadien greifen die grünlichblauen oder dunkelgrünen, theils homogenen, theils feinfaserigen Neubildungen oft zickzackförmig in die farblosen Chrysolithkerne ein und zerstören dieselben allmählig, bis der ganze Krystall in eine grüne Substanz verwandelt ist, welche bei noch weiter gehender Zersetzung sich trübt, eine schmutzig

graugrüne Farbe annimmt und vollständig lichtundurchlässig wird. Als Endprodukt resultirt dann Nigrescit, wie er von *Hornstein*¹⁾ und *Knapp*²⁾ in basaltischen und doleritischen Gesteinen häufig beobachtet wurde.

In einzelnen Basalten gehen die grünlichen Zersetzungsprodukte in solche von bräunlichgelber Farbe mit schwachem Dichroismus über und beherbergen dann mitunter braune Blättchen. Diese Blättchen mit eigenthümlichem Bronzeschimmer weisen einen sehr starken Dichroismus auf (dunkel bronzefarbig, hellbraun); sie sind fein parallel gestreift und erinnern durch diese Eigenschaften sehr an Glimmer. Selten vermag man jedoch eine allseitig scharfe Begrenzung an ihnen zu erkennen, fast immer heben sich die beiden Längsseiten deutlich ab, während die schmalen Enden aus der grünen Substanz förmlich herauszuwachsen scheinen.

Der genetische Zusammenhang dieser Blättchen mit dem Chrysolith scheint mir einerseits wegen ihres optischen Verhaltens, wonach sie sich mit dem noch frischen Chrysolith als gleich orientirt erweisen, andererseits aber auch aus dem Umstande nicht ausgeschlossen, dass dieselben ausschliesslich auf die in den Sprüngen, welche die Chrysolithkrystalle regellos durchziehen, angesiedelten Neubildungen beschränkt sind.

Es erinnert diese Neubildung somit sehr an jene, welche die Chrysolithe eines Melaphyrs aus dem Val Zuccanti bei Schio in Südtirol beobachten lassen.³⁾

Herr Baron *von Foullon* in Wien hatte die grosse Liebenswürdigkeit, zur direkten Vergleichung mir von diesem Vorkommen zwei Originalpräparate zu überlassen. Das Studium derselben bestärkt mich um so mehr in meiner Vermuthung, dass hier wie dort wirklich eine secundäre Glimmerbildung vorliegt, als die dichroitischen braunen Blättchen in meinen Schliffen vom Basalte des Feuerbergs (s. u. S. 57) noch erheblich grösser und schärfer begrenzt erscheinen, als diejenigen im Melaphyr des Val Zuccanti.

1) *Hornstein*, Ueber die Basaltgesteine des unteren Mainthals. Zeitschr. d. d. geolog. Ges. Band XIX. 1867. S. 342.

2) *F. Knapp*, Die doleritischen Gesteine des Frauenbergs bei Schlüchtern in Hessen. Inaugural-Dissertation, Würzburg 1880. S. 22.

3) *H. B. von Foullon*, Ueber Eruptivgesteine von Recoaro. *Tschermaks mineralog. u. petrogr. Mitth.* 1880. S. 481—484.

Eine derartige Umwandlung des Chrysoliths ist meines Wissens in Basalten allerdings noch nicht constatirt worden; allein auch in chemischer Beziehung spricht sehr für ihre Möglichkeit der Umstand, dass der Nephelin in den betreffenden Gesteinen eine mehr oder weniger tiefgehende Zersetzung aufweist und somit die zur Glimmerbildung noch nöthige Thonerde wohl zu liefern im Stande war. Ich hebe im Anschlusse hieran noch besonders hervor, dass die Erscheinung auf die nephelinführenden Gesteine beschränkt ist und die reinen Feldspathbasalte den Feldspath sämmtlich in noch vollständig frischem unangegriffenem Zustande führen.

Sehr selten endlich äussert sich die Zersetzung des Chrysoliths in einer Verwandlung in schmutzig weisse feinschuppige Massen, welche bei äusserst schwacher optischer Wirkung Aggregatpolarisation aufweisen. Irgendwelche Krystallform lassen die kleinen Blättchen auch bei stärkster Vergrösserung nicht erkennen; die Unlöslichkeit in Salzsäure, welche nur eine geringe Menge von Thonerde, Magnesia und Natron auszuziehen im Stande ist, lässt vielleicht die Annahme, dass hier der in Doleriten schon von *v. Sandberger*¹⁾ und *Knapp*²⁾ beobachtete Tridymit vorliegt, nicht ganz unberechtigt erscheinen.

Die verschiedenen Zersetzungsweisen des Chrysoliths deuten vielleicht einerseits auf Differenzen in der chemischen Zusammensetzung, besonders was den Eisengehalt betrifft, andererseits sicher aber auch auf einen verschieden rasch verlaufenden Verwitterungsprocess, insoferne, als sich bei sehr rascher Zersetzung zur Bildung von wasserhaltigen Magnesia-Eisenoxydulsilicaten keine Gelegenheit bietet und unter Ueberspringung dieses Stadiums sogleich Eisenhydroxyd zur Ausscheidung gelangt. Ich behalte mir specielle Untersuchungen hierüber noch vor.

Ausser dem oben erwähnten, allerdings zweifelhaften secundären Glimmer findet sich dieses accessorische Mineral auch in direkt aus dem Magma ausgeschiedenen Blättchen von der charakteristischen hexagonalen Form und mit lebhaftestem Dichroismus. Im Gegensatze zu den Feldspathbasalten ist Glimmer in den Nepheliningesteinen ein häufiger Gast; doch findet er sich keineswegs in allen diesen, und selbst dort, wo er auftritt, über-

1) N. Jahrb. f. Mineralogie 1872, S. 823.

2) l. c. S. 17.

steigt seine Menge nie eine gewisse Grenze. Nur in einigen wenigen Fällen wie z. B. beim Basalte des Dreistelz dürfte seine Bethheiligung von geringem Einfluss auf die chemische Zusammensetzung des betreffenden Gesteins sein.

Zu den im Handstücke schon deutlich körnig erscheinenden Nephelinbasalten gehören:

20) Der Basalt von der Kuppe des Todtemannsbergs Sign. 840.

Das Gestein ist von schwarzbrauner Farbe, im Allgemeinen stark verwittert und nur schwierig in frischen Stücken zu schlagen. Aufschlüsse, welche die Absonderung beobachten lassen, existiren nicht.

Unter dem Mikroskope zeigt sich eine überwiegend aus tafelfartigen dicht gedrängten Augitkrystallen und etwas Nephelin bestehende Grundmasse, in welcher zahlreiche Chrysolithkörner und -Krystalle, ferner vereinzelte Glimmerblättchen und, was besonders auffallend ist, äusserst spärlich Magneteisenkörner liegen. Die einschlussfreien Chrysolithen zeigen Umwandlung in grüne Substanz; rundliche Hohlräume im Gestein sind durch radialfaserige Zeolithaggregate ausgefüllt.

21) Der Basalt vom Hohen Polster in der Nähe der Rothbachquelle westlich von Roth.

22) Der Basalt vom Ostabhange des Rother Küppels Sign. 755 bei Roth.

23) Der Basalt von dem Gange beim „tiefen Herrmansstollen“ im Eisgraben bei Fladungen.

24) Der Basalt von der „Höhl“ westlich von Leubach bei Fladungen.

25) Der Basalt von Sign. 745,7 „in der Kohlgrube“ bei Fladungen.

Diese Gesteine, welche Kuppen und Gänge am Ostrande der Langen Rhön bei Fladungen bilden, stellen unter dem Mikroskope gleichmässig krystalline Gemenge von Augit und Nephelin dar. Chrysolith tritt nur in Nr. 22 ziemlich feinkörnig, sonst aber in guten Krystallen, theilweise in gelbe, theilweise in grünliche Zersetzungsprodukte verwandelt, auf.

Bemerkenswerth ist noch der Reichthum an Apatit, dessen lang nadelförmige, stark lichtbrechende Krystalle und kleine, häufig mit einem dunklen Centrum versehene Querschnitte ihn vor der Verwechslung mit Nephelin bewahren.

Als lokal eng mit diesen körnigen Basalten verknüpft, reihe ich hier ein chrysolithfreies Nephelin-Augit-Gestein, also einen echten Nephelinit ein, über welchen ich bereits im vorigen Winter eine kurze Mittheilung gemacht habe.¹⁾ Derselbe findet sich am Ostrande der Langen Rhön bei Leubach, in der oben schon bei Nr. 24 erwähnten sog. „Höhl“. Der Vollständigkeit halber mag die früher gegebene Schilderung mit einigen Zusätzen auch hier Platz finden.

Das Gestein gleicht im Handstücke, was Zusammensetzung und Korngrösse anlangt, dem bekannten Nephelinit vom Löbauer Berg; nur durchziehen ausserdem noch dichte Gesteinsparthieen aderartig das sonst mittel- bis grobkörnige Gefüge. Mit unbewaffnetem Auge lassen sich folgende Constituenten erkennen: gelblicher fettglänzender Nephelin, schwarzer Augit, dünne Apatite und mitunter Magneteisenoctaeder von 1—2 mm Kantenlänge.

Unter dem Mikroskope erweist sich der Nephelin als der quantitativ hervorragendste Gemengtheil. Den dick säulenförmigen Krystallen desselben entsprechen im Schliiff äusserst regelmässig rectanguläre oder sechsseitige Querschnitte. Die Polarisationsfarben sind die für Nephelin charakteristischen. Bräunliche Glasparthieen und winzige undurchsichtige Erzpartikelchen bilden die im Ganzen nicht reichlich vorhandenen Einschlüsse. Hier und da deuten trübe Stellen, aus Aggregaten feinsten Nadelchen bestehend, auf beginnende Zersetzung durch Zeolithbildung. Die Augite zeigen, obwohl an Menge und Individuengrösse etwas zurückstehend, die grösste Aehnlichkeit mit denen des Löbauer Vorkommens. Dieselbe documentirt sich sowohl in der rothvioletbraunen Farbe, als auch in jenem eigenthümlichen sanduhrförmigen Bau, welcher in unserem Gestein fast keinem Augit fehlt. Den Augiten der Basalte gegenüber ist das Mineral hier verhältnissmässig arm an glasigen und anderen Interpositionen. Sehr häufig lässt sich schriftgranitähnliche Verwachsung mit Nephelin beobachten. Magneteisen findet sich weniger in einzelnen Octaedern als vielmehr in den merkwürdigen, oft abgebildeten Krystallaggregaten und dendritischen Formen. Dem Titaneisen dürften rhomboedrisch begrenzte,

¹⁾ Sitzungsber. der phys.-med. Gesellschaft zu Würzburg. Jahrg. 1886 Nr. 10. S. 148 f.

vollständig undurchsichtige Blättchen mit stahlblauem Metallglanz angehören. Langgestreckte Apatit-Prismen durchsetzen die übrigen Bestandtheile. Je nach ihrer Lage liefern die Apatite mehr oder weniger regelmässige sechseckige Querschnitte, theils ganz wasserhell, theils mit einem dunklen Kerne versehen, welcher ebenfalls sechseckige Begrenzung zeigt. Feldspath, Chrysolith und seine Zersetzungsproducte fehlen vollständig, ebenso auch jene graugrünen faserigen Massen, welche im Löbauer Gestein dem Augit zugerechnet wurden.

Die oben erwähnte dichte Gesteinsmasse löst sich unter dem Mikroskop zu einer gelb gefärbten Glasbasis auf, welche durch Ausscheidung prächtiger skelettförmiger Gebilde von Magneteisen, Augitmikrolithen und winzige Sphaerolithe entglast ist. Daneben finden sich hier noch Fetzen und keulenförmige Stäbchen eines braunrothen Körpers, welche bei ihrer scheinbar systematischen Stellung gegen einander, wie auch durch ihren bedeutenden Dichroismus lebhaft an jene Gebilde erinnern, die sich in den später zu besprechenden Hornblendebasalten finden und als der Hornblende zugehörig bereits von *Sommerlad* u. A. beschrieben wurden.

Die chemische Zusammensetzung unterscheidet sich sehr wesentlich von jener des Löbauer Nephelinites; ich stelle in Folgendem unter II die *Heidepriem'sche* Analyse ¹⁾ desselben zum Vergleich neben die von mir ausgeführte des Leubacher Gesteins Ia, beide in wasserfreier Berechnung, während I die gefundene Zusammensetzung des letzteren wiedergibt.

	I	Ia	II
SiO ₂	39,08	39,75	43,25
TiO ₂	0,85	0,86	0,55
Al ₂ O ₃	22,13	22,51	14,74
Fe ₂ O ₃	3,40	3,46	} 13,47
FeO	5,72	5,82	
MnO	Spur	Spur	0,18
CaO	12,56	12,78	13,35
MgO	5,44	5,53	6,30
K ₂ O	1,77	1,80	2,24
Na ₂ O	6,85	6,96	4,22
P ₂ O ₅	0,50	0,51	1,69
H ₂ O	1,28	—	—
	<hr/> 99,58	<hr/> 99,98	<hr/> 99,99

¹⁾ Zeitschrift d. d. geolog. Ges. II. S. 149.

I	II
Ausserdem in Spuren:	Cl = 0,03
S, As, Sn, Cu, Cr, Co, Ni, Cl.	Fl = 0,13
	H ₂ O = 3,42

Sauerstoffquotient = 0,9759. Sauerstoffquotient = 0,8050.

Spec. Gew. = 2,910.

Spec. Gew. = 2,888.

Der etwas basischere Charakter unseres Gesteins scheint mir in dem bedeutenden Vorwalten des Nephelins, sowie der Theiligung einer durch Salzsäure zersetzbaren Glasbasis, welche augenscheinlich ebenfalls der Zusammensetzung des Nephelins entspricht, eine befriedigende Erklärung zu finden.

Wiederholte eingehende Untersuchungen an Ort und Stelle haben mir in Folge Mangels auch nur des geringsten Aufschlusses über die Beziehung des Nephelinites zu den benachbarten Basalten keine genügende Klarheit verschafft. Der Beschaffenheit der grossen umherliegenden Blöcke nach muss ich aber bis auf Weiteres an der schon früher ausgesprochenen Ansicht festhalten, dass es sich hier nicht um ein geologisch selbstständiges Gestein, sondern um eine grobkörnige Ausscheidung des schon unter Nr. 24 genannten Nephelinbasaltganges handelt, welcher hier mit nordwestlichem Streichen das Plateau der Langen Rhön begrenzt.

Von den Nephelinbasalten, welche etwas feinkörniger sind, aber doch ihre constanten Gemengtheile auch im Handstücke mit der Lupe noch hier und da erkennen lassen, kann man nephelinärmere und nephelinreichere unterscheiden.

Zu den ersteren rechne ich:

- 26) Den Basalt vom Heppberg nördlich von Oberelzbach.
- 27) Den Basalt von der nordöstlichen und der westlichen Kuppe des „Thürmleins“ in der Nähe von Sign. 556 nördlich von Bischofsheim.
- 28) Den Basalt von Bauersberg (Obere Grube) bei Bischofsheim.

Der letztere ist von *Singer* bei Gelegenheit der schon erwähnten Untersuchungen über neu gebildete Sulfate einer quantitativen Analyse unterworfen worden, welche ergab:¹⁾

¹⁾ *Singer*, Beitr. z. Kenntn. d. am Bauersberge vorkommenden Sulfate. Inaugural-Diss. Würzburg 1879. S. 23.

SiO ₂	=	42,18
TiO ₂	=	1,18
Al ₂ O ₃	=	14,66
Fe ₂ O ₃	=	4,49
FeO	=	5,67
NiO	=	1,58
CoO	=	1,09
CaO	=	10,96
MgO	=	5,53
K ₂ O	=	3,53
Na ₂ O	=	9,46
		100,33.

In 10 g Substanz wurden ferner qualitativ nachgewiesen:
Pb, Bi, Cu, As, Sb, Cr, Mn, Cl und P₂O₅.

Der Sauerstoffquotient beträgt 0,792.

Spec. Gew. = 2,886 bei 40 C.

Auffallend ist besonders der hohe Alkaligehalt (beinahe 13%), sowie die Menge der Titansäure, welche auf ein sehr titanreiches Magneteisen schliessen lässt, nachdem die charakteristischen Formen des Titaneisens im Präparate vergeblich gesucht werden.

Als Sitz von Kobalt und Nickel ist neben dem Chrysolith sicher noch das Magneteisen und der Augit zu betrachten.²⁾ Die weite Verbreitung dieser in den Analysen wegen ihrer geringen Menge gewöhnlich vernachlässigten Elemente wird übrigens auch durch die Thatsache erwiesen, dass ich in sämtlichen von mir untersuchten Basalten und auch im Phonolith vom Käuling dieselben in Verbindung mit den übrigen genannten Schwermetallen constatiren konnte, was natürlich nur bei Anwendung von grösseren Substanzmengen (10—50 g) gelingt.

An Nephelin reicher sind die folgenden Gesteine:

29) Der Basalt vom II. (südlichsten) Pilsterkopf Sign. 568 bei Mitgenfeld.

30) Der Basalt von der kleinen Kuppe Sign. 593 nördlich von Platz am Abhange der Platzer Kuppe.

Das von hier stammende Gestein zeichnet sich durch einen bedeutenden Gehalt an braunen Glimmerblättchen aus.

²⁾ v. Sandberger, Zur Theorie der Bildung der Erzgänge. Berg- und Hüttenm.-Zeitung 1877. S. 380 u. 389 ff.

31) Der Basalt vom Südhang des Schwarzenbergs Sign. 825 bei Geroda.

32) Der Basalt von dem kleinen Gang westlich unterhalb des Farnsbergs im sogen. „Heeg.“

Der Chrysolith dieses Gesteins ist ziemlich reich an kleinen braunen Picotitoclaederchen und Perowskitwürfelchen.

33) Der Basalt vom Feuerberg Sign. 834 bei Oberbach.

Die zahlreichen eingesprengten Chrysolithe zeigen neben der gewöhnlichen Umwandlung in grüne faserige Substanzen besonders schön auch die oben ausführlich geschilderte Einlagerung von neu gebildeten Glimmer(?) Blättchen auf den Spaltrissen.

34) Der Basalt von der Osterburg Sign. 715,1 bei Bischofsheim.

Das Gestein von dieser in seiner Längserstreckung in O—W streichenden Kuppe weist neben frischem Nephelin noch eine schmutzig weisse, offenbar stark zersetzte Substanz (Glas?) auf, welche stellenweise mit schwarzen keulenförmigen Trichiten erfüllt ist. Sie ist durch Salzsäure zersetzbar, zeigt Aggregatpolarisation und scheint somit aus neu gebildeten Zeolithnadelchen zu bestehen.

35) Der Basalt vom Dammersfeld, aus der Nähe des Dammersfeld Hauses Sign. 853.

36) Der Basalt von dem Gange südlich des letzteren.

Derselbe streicht etwa 450 m vom Hause entfernt in ungefähr 1 km Längserstreckung von NW—SO. Das Gestein des letzteren von verschiedenen Stellen genommen ist durchaus gleichartig. Es finden sich darin zahlreiche rundliche wasserhelle Nephelinparthieen, welche bei der schon S. 45 geschilderten Zusammensetzung im polarisirten Lichte ein schachbrettähnliches Bild gewähren.

37) Der Basalt vom Kuppenrain Sign. 927.

Es ist dies der mit einem Aussichtsturm versehene, nach Norden vorgeschobene Fortsatz der eigentlichen Dammersfelder Kuppe.

Bemerkenswerth ist an diesem Gestein das bedeutende Zurücktreten des Magneteisens, welcher Umstand sich schon an der etwas helleren Farbe dieser sonst dunkelblauen bis blauschwarzen Basalte kundgibt.

38) Der Basalt vom Rommerser Berg (800 m) bei Kippelbach.

Das ebenfalls nicht sehr dunkel gefärbte Gestein zeigt plattige Absonderung und hier und da sogar schieferigen Bruch.

In den eingesprengten Chrysolithen, welche gelblich umrandet sind, finden sich vereinzelte leberbraun gefärbte Picotit-octaederchen.

39) Der Basalt vom Rückenstein Sign. 778 bei Oberweissenbrunn.

40) Der Basalt von der südlichen Kuppe Sign. 890,4 des Himmeldankbergs.

41) Der Basalt von der nördlichen, nicht mit Höhencote versehenen Kuppe des Himmeldankbergs.

Der letztere ist unter dem Mikroskop etwas grobkörniger.

42) Der Basalt vom Plateau des Bauersbergs, ungefähr bei Sign. 788.

43) Der Basalt vom Münzkopf Sign. 845,2.

44) Der Basalt vom Hohen Deutschberg Sign. 763,1 bei Ginolfs.

Die Grundmasse dieses auf der Bruchfläche schön körnig erscheinenden schwarzbraunen Gesteins ist vorwiegend aus Nephelin gebildet.

45) Der Basalt vom westlichen Abhang des Störnbergs Sign. 902,9 bei Wüstensachsen.

46) Der Basalt von der westlichen Kuppe des Grossen Nallen bei Gersfeld.

Sehr vereinzelte Feldspathleistchen in seiner Grundmasse zeigt der sonst in diese Gruppe gehörige

47) Basalt von dem Westabhang des Kleinen Auersbergs Sign. 809 (oberhalb der Auershöfe).

Die dichten, blauschwarzen Nephelinbasalte lassen ausser den eingestreuten Chrysolithkörnern, die besonders bei gelblicher Verwitterung deutlich hervortreten, selbst mit der Lupe keine Bestandtheile mehr erkennen. Der Bruch ist stets flach muschelrig, mitunter auch etwas splitterig.

Unter dem Mikroskop sind die Gesteine theils ärmer, theils reicher an Nephelin. Die ersteren, welche im Allgemeinen auch unter dem Mikroskop sehr feinkörnig erscheinen, sind auf die folgenden Localitäten beschränkt.

48) Der Basalt vom Reussenberg Sign. 427,5 zwischen Hamelburg und Gemünden.

Es sind dies zwei nahe bei einander liegende durch einen flachen Sattel getrennte Eruptionspunkte, deren südlicher, höherer mit den Ruinen der Reussenburg gekrönt ist. Das Gestein zeigt hier

grobsäulige Absonderung und ist ziemlich stark der Verwitterung anheimgefallen. Bedeutend frischer ist es dagegen an der nördlichen flachen Kuppe Sign. 415 (auch Hundsberg genannt), in deren Scheitel einige Steinbrüche angelegt sind.

- 49) Der Basalt von dem kleinen Gange nordwestlich von Oberleichtersbach.
- 50) Der Basalt von der kleinen Kuppe Klein Schildeck Sign. 577,8 östlich von den Schildeckhöfen.
- 51) Der Basalt von der Kuppe Sign. 803 im Schwarzenberg Wald westlich von Langenleiten.
- 52) Der Basalt von den 3 Kuppen Sign. 774 im Hintergrunde des Oberbachthals bei Oberbach.

Diese 3 gleich hohen Kuppen sind einem Basaltgange aufgesetzt, welcher zwischen Feuerberg und Todtemannsberg sich etwa 1 km weit, von NNO nach SSW streichend, verfolgen lässt.

Das Gestein ist, wie Proben von verschiedenen Stellen zeigen, überall das gleiche.

- 53) Der Basalt vom Gerstenbergwald westlich von Oberbach.

Eine kleine Kuppe, welche bei Anlage einer Schneusse durchbrochen wurde.

- 54) Der Basalt vom Silberhof bei Altglashütte.

Wegen der unmittelbaren Nachbarschaft des S. 13 ff. geschilderten Schwerspathganges lag es nahe, dieses Gestein auf einen eventuellen Barytgehalt zu prüfen. Während bei anderen Basalten selbst in Mengen von 30 g dieses Element nicht nachgewiesen werden konnte, gelang es hier, schon bei Anwendung von 7 g eine deutliche Reaction auf Baryum zu erhalten. Dieser Nachweis ist für die Altersbestimmung insofern von Wichtigkeit, als daraus hervorgeht, dass der viel jüngere Basalt bei seinem Durchbruch durch die mit Schwerspath erfüllte Spalte letzteren mitriss und vollständig einschmolz.

Die zahlreichen verglasten Einschlüsse von Quarzkörnern werden später besprochen werden.

- 55) Der Basalt von der Dreyfeldskuppe Sign. 842.
- 56) Der Basalt von der Dammersfelderkupe Sign. 929,9.
- 57) Der Basalt vom Rabenstein Sign. 842, sowie Basaltfragmente aus dem etwas westlich davon gelegenen Tuffkegel.

Verhältnissmässig viel Nephelin führen folgende Gesteine:
58) Der Basalt vom Dreistelz Sign. 662,1.

Die Kuppe des Dreistelz wird von einem etwa 400 m langen in W—O-Richtung verlaufenden Basaltgang gebildet, welcher, wie es scheint, auf einer Verwerfungsspalte zwischen Röth und Wellenkalk zum Durchbruch gelangt ist. Der Basalt führt in der Nähe der mit einem Aussichtsthurme versehenen Signalhöhe zahlreiche Einschlüsse von fremden Gesteinen, worunter Olivinfelsfragmente eine bedeutende Rolle spielen. Das Gestein zeigt Neigung zu grobplattenförmiger Absonderung und ist besonders an dem Thurme in ausgezeichneter Frische zu finden.

Zur Analyse wurden kleine Splitter, welche keinerlei fremde Einschlüsse zeigten, ausgesucht. Die Analyse ergab:

SiO ₂	=	40,31
TiO ₂	=	0,89
Al ₂ O ₃	=	12,24
Fe ₂ O ₃	=	5,77
FeO	=	10,92
CaO	=	12,12
MgO	=	9,10
K ₂ O	=	1,08
Na ₂ O	=	7,52
P ₂ O ₃	=	0,45
H ₂ O	=	0,29
		<hr/>
		100,69

In 30 g Substanz wurden ferner noch qualitativ nachgewiesen:

As, Cu, Sn, Mn, Cr, Co, Ni, S, Cl, CO₂,
letztere erst beim Erwärmen mit Säure frei werdend.

Der Sauerstoffquotient beträgt 0,8746.

Das specifische Gewicht ist = 3,114 bei 40° C.

Der für einen Nephelinbasalt etwas niedrige Thonerdegehalt dürfte wohl auf die geringe Betheiligung des Nephelins, der dagegen ziemlich beträchtliche Magnesiagehalt auf das Vorwalten des Augits in der Grundmasse, sowie die reichliche Beimengung von eingesprengtem Chrysolith und vielleicht auch von dunklem Glimmer zurückzuführen sein, während als Quelle des Eisensyduls zunächst ebenfalls der Chrysolith, der wie bemerkt, meist noch beinahe unverändert ist, angesehen werden muss.

- 59) Der Basalt von Waizenbach bei Hammelburg (im Walde zwischen Waizenbach und Dibbach).
- 60) Der Basalt von dem Gange südlich von Wartmannsroth.
- 61) Der Basalt vom Brandenburg Sign. 828.
- 62) Der Basalt von der Kuppe südlich von Nr. 61.
- 63) Der Basalt von der Kuppe südöstlich von Nr. 61.

Diese 3 Basalte, dem südlichsten Theile der Schwarzen Berge angehörig, zeigen die grösste Aehnlichkeit unter einander.

Die sehr reichlich vorhandenen Chrysolithe zeigen die Umwandlung in grünlichgelbe, schwach dichroitische Substanzen, bei Nr. 61 finden sich im Chrysolith auch die fraglichen Glimmerlamellen. Sonst ist Glimmer besonders in Nr. 62 in zahlreichen sechsseitig begrenzten Blättchen zu beobachten.

- 64) Der Basalt vom Capellenberg bei Schondra (bildet einen schmalen Gang an der Westseite der Wellenkalkkuppe).
- 65) Der Basalt vom Feuerberg Sig. 833,6 nordwestlich von Langenleiten.
- 66) Der Basalt vom Grossen Auersberg Sign. 805.
- 67) Der Basalt vom Kleinen Auersberg Sign. 809,4.

Gesteinsproben von der Kuppe, sowie vom Ost- und Nordgehänge und aus dem dort anstehenden Tuffe weisen unter sich keinen Unterschied auf, namentlich führen sie keinen Feldspath (im Gegensatz zu No. 47, Westseite der Kuppe S. 58).

- 68) Der Basalt von dem Gang zwischen dem Grossen und Kleinen Auersberg, westlich vom Wege Altglashütte-Rothenrain.

Das in ziemlich regelmässigen Säulen abgesonderte Gestein ist unter dem Mikroskop äusserst feinkörnig.

- 69) Der Basalt aus dem Tuffkegel im kleinen Sinnthale, ungefähr 500 m östlich von Altglashütte.
- 70) Der Basalt von dem Gange in der Abtheilung „Steinknörzchen“ westlich von Kothen¹⁾ an der preussisch-bayerischen Grenze; Grenzstein No. 333.
- 71) Der Basalt von ebenda; Grenzstein No. 345.

¹⁾ Die Umgebung von Kothen ist reich an kleinen Basaltdurchbrüchen; es ist mir eine angenehme Pflicht, meinen liebenswürdigen Begleitern im Terrain, den HH. k. Oberförstern Löwenheim in Kothen und Massl in Oberbach für manchen schätzenswerthen Wink in dieser Beziehung hier nochmals den besten Dank auszusprechen.

- 72) Der Basalt von der Spitze der Kuppe des Maria Ehrenbergs Sign. 676,1.
- 73) Der Basalt vom Beutelstein (zwischen Rabenstein und Eyerhauk).
- 74) Der Basalt von der kleinen Kuppe westlich unterhalb des Ressbergs.
- 75) Der Basalt von dem Gang östlich von Oberweissenbrunn an der Strasse.
- 76) Der Basalt vom Heidelberg Sign. 926,6.
- 77) Der Basalt vom Münzkopf Sign. 850.
- 78) Der Basalt von dem Gange bei Sign. 867 „bei der alten Schanze“ nördlich vom Bauersberg.
- 79) Der Basalt vom Mathesberg Sign. 833,3.
- 80) Der Basalt von der nordwestlichen Kuppe des Mathesbergs.
- 81) Der Basalt von dem Gange südöstlich des Schwarzen Moors.
- 82) Der Basalt vom Ilmenberg Sign. 788,7.
- 83) Der Basalt vom Rothberg, westlich von Ginolfs.
- 84) Der Basalt von Sign. 773,8 „in der Höhl“ nördlich von Fladungen.
- 85) Der Basalt vom Balkenstein bei Leubach.
- 86) Der Basalt vom Geishauk bei Hufar nördlich von Fladungen.
- 87) Der Basalt von der kleinen Kuppe nordwestlich unterhalb des Knörzchens bei Unterriedenberg.
- 88) Der Basalt von der Kuppe des Kreuzbergs Sign. 930,3 (oberhalb des Klosters).

Gesteinsproben, von verschiedenen Stellen entnommen, liessen über die Ausdehnung dieses offenbar der letzten Eruption angehörigen Basaltes keine Zweifel mehr bestehen. Derselbe bildet die höchste Kuppe des Kreuzbergs, die Stromrichtung scheint aber bei diesem Erguss nicht nach NO, sondern nach SSW und W gegangen zu sein, wie die tiefe Lage gegen die Eisenhand zu und beim Kloster beweist.

Das Gestein ist von schwarzgrauer Farbe; es zeigt muscheligen bis splinterigen Bruch und lässt im Stücke nur zahlreiche dunkelgrüne Chrysolithkörnchen erkennen.

Unter dem Mikroskop besteht die Grundmasse aus einem ziemlich feinkörnigen Gemenge von Augitkryställchen, zwischen

denen sehr reichlich wasserhelle, abgerundet sechs- und vierseitige Nephelindurchschnitte mit hier und da regelmässig angeordneten Interpositionen eingeklemmt sind.

Eingesprengte Chrysolithkörner in grosser Menge zeigen sich noch wenig von der Zersetzung ergriffen; Picotitoclaederchen sind als Einschlüsse nicht selten. Magnet Eisen findet sich in kleinen Körnchen, theils gleichmässig vertheilt, theils zu formlosen Aggregaten gehäuft. Vereinzelte braune dichroitische Blättchen mit starker Streifung, jedoch nie recht deutlicher Begrenzung, welche ich für Glimmer zu halten geneigt bin, sowie selten zu beobachtende Apatitnadelchen bilden die übrigen accessorischen Bestandtheile.¹⁾

Bei dem bedeutenden Nephelingehalte des Gesteins erscheint das starke Gelatiniren des Pulvers beim Behandeln mit Salzsäure ganz natürlich.

*E. E. Schmid*²⁾ und *C. Bredemann*³⁾ haben diesen Basalt

¹⁾ In seiner Abhandlung über Melilithbasalte (N Jahrb. f. Min. 1882 II. Beilageband S. 422) nennt Herr Professor *Stelzner* das Gestein vom Kreuzberg einen „sehr Hauynreichen Nephelinitoidbasalt.“ Ich muss fürchten, dass hier eine Verwechslung vorliegt, denn ich konnte in den Präparaten meiner sämmtlichen mit grösster Sorgfalt gesammelten Basalt handstücke vom Kreuzberg (an dem übrigens auch Hauyn und Nosean führende phonolithische Gesteine auftreten, keine Spur des fraglichen Minerals entdecken. Die Entscheidung musste demnach auf chemischem Wege erholt werden. Bei der qualitativen Analyse hatte ich sowohl beim Lösen in Salzsäure als auch bei einfachem Ausziehen des Gesteins mit kochendem destillirtem Wasser eine sehr deutliche Reaction auf Schwefelsäure erhalten. Der Sitz derselben schien im Hinblick auf das Ergebniss der mikroskopischen Untersuchung fraglich. Es wurde deshalb eine grössere Portion von Gesteinspulver mehrmals mit dem Magnet behandelt und auf diese Weise die magnetischen Erzpartikelchen vollständig ausgezogen; der verbliebene Rückstand erwies sich als frei von Schwefelsäure. Dagegen fand sich diese sowohl im wässrigen Auszug als auch in der salzsauren Lösung der Erzgemengtheile. Liefert diese Thatsache einerseits den Beweis der Abwesenheit von Hauyn und Nosean in diesem Basalte, so weist sie anderseits auf Magnetkies als Quelle des Schwefels und liefert zugleich einen interessanten Beleg für die bekannte leichte Oxydirbarkeit desselben durch lufthaltiges Wasser. Auf diese Weise gelang es auch, in den beiden anderen von mir analysirten Basalten (*Dreistelz*, *Volkersberg*), sowie in dem Phonolith vom *Käuling* (hier neben Hauyn und Nosean) Magnetkies nachzuweisen. Ich behalte mir vor, denselben noch quantitativ zu bestimmen.

²⁾ Ueber basaltische Gesteine der Rhön. Pogg. Ann. Bd. 89 S. 305 ff.

Ueber Basalte der Rhön. Zeitschr. d. d. geol. G. 1853 S. 227 ff.

³⁾ Ueber Basalte der Rhön. Inaug.-Diss. Jena 1874 S. 18 ff.

der chemischen Untersuchung unterworfen. Von den beiden Analysen, welche gut mit einander übereinstimmen, lasse ich diejenige *Bredemanns*, weil vollständiger, hier folgen.

	Total	Lösl. Theil	Unlösl. Theil
SiO ₂	= 35,77	26,66	9,11
TiO ₂	= 0,46	—	0,46
Al ₂ O ₃	= 13,43	6,97	6,46
Fe ₂ O ₃	= 16,79	15,81	0,98
FeO	= 3,98	3,98	—
CaO	= 15,04	11,03	4,01
MgO	= 8,84	8,73	0,11
K ₂ O	= 0,71	} 4,40	} 0,12
Na ₂ O	= 3,81		
P ₂ O ₅	= 0,72	0,72	—
H ₂ O	= 1,03	1,03	—
	<hr/> 100,58	<hr/> 79,33	<hr/> 21,25

Qualitativ liessen sich ferner noch nachweisen:

As, Cu, Sn, Mn, Cr, Co, Ni, S, Cl.

Der Sauerstoffquotient beträgt 1.097.

Das spec. Gew. = 3,079 (nach *E. E. Schmid* = 3,127).

Vereinzelte Feldspathleistchen führen die folgenden Nephelinbasalte:

- 89) Der Basalt von dem Strome unterhalb des Klosters Kreuzberg, von Nr. 88 durch eine Schicht von rothem aschenähnlichem Tuff getrennt.

Die Grundmasse dieses Gesteins besteht aus Augiten von sehr wechselnder Grösse, hellen Nephelinparthien und sehr wenigen Leisten von triklinem Feldspath; dazwischen kommt in ziemlicher Menge eine schmutzigweisse körnig entglaste Glasbasis zum Vorschein. Die noch recht frischen Chrysolithe zeigen stellenweise reichliche Einlagerungen von leberbraunen Picotitoclaederchen.

- 90) Der Basalt von der westlichen Kuppe des Hegkuppels bei Schönderling.

- 91) Der Basalt vom Westabhang des I. (nördl.) Pilsterkopfs Sign. 638 bei Brückenau vergl. S. 47. ¹⁾

- 92) Der Basalt von dem Gange zwischen Neuwirthshaus und Schwärzelbach, Sign. 428.

¹⁾ Das Stück stammt von dem kleinen Bruche etwa 30 Schritte in südlicher Richtung entfernt von dem Durchbruche des Basaltmandelsteins Nr. 18.

Die Gesteine von diesen drei Localitäten sind äusserst feinkörnige Gemenge von Augitnadelchen, zwischen denen nur bei Nr. 91 Nephelin in grösserer Menge beobachtet werden kann; daneben ist noch etwas bräunliches Glas vorhanden und zuweilen leuchten winzige, aber doch deutlich gestreifte Feldspathleistchen aus der ziemlich dunklen Grundmasse heraus. Chrysolith ist in Form von eingestreuten Körnern ziemlich reichlich vorhanden und zeigt sich, von sehr vereinzelt Magneteisen- und bräunlichen Picotitkryställchen abgesehen, als frei von Einschlüssen.

93) Der Basalt vom Südabhang des Todtemannsbergs Sign. 840 (Schwarze Berge).

Dieses Gestein ist mir nur in äusserlich stark verwitterten hellgrauen Stücken zugänglich geworden, auf deren Bruchflächen sich hin und wieder ein Feldspathleistchen und sehr zahlreiche gelbe Chrysolithkörner erkennen lassen.

Unter dem Mikroskop zeigt sich die Zersetzung gegen Erwarten noch nicht sehr vorgeschritten. Nur die porphyrtartig in die Grundmasse eingestreuten Chrysolithe sind total in die bereits beschriebene honiggelbe Substanz verwandelt und scheinen somit sehr eisenreiche Hyalosiderite gewesen zu sein. Die Grundmasse selbst besteht aus säulenförmigen Augiten und zahlreichen wasserhellen, bläulich polarisirenden Nephelinparthieen, zwischen denen verhältnissmässig häufig schön gestreifte Feldspathe eingebettet liegen, welche aus der farblosen Masse förmlich herauszuwachsen scheinen. Hier und da sind auch lange Apatitnadeln zu beobachten. Neben dem mässig an der Gesteinszusammensetzung beteiligten Magneteisen finden sich auch noch zahlreiche bronzegelbe Glimmerblättchen als accessorische Gemengtheile.

Zahlreichere Feldspathleistchen führt der sehr feinkörnige

94) Basalt von Sign. 771 zwischen Kreuzberg und Käuling.

Feldspath-Basalte.

Die Feldspathbasalte zerfallen in chrysolithfreie und chrysolithführende d. h. normale. Die letzteren sind in der südlichen Rhön häufig durch einen mehr oder weniger reichlichen Gehalt an Nephelin ausgezeichnet und bilden, wenn dies der Fall ist, eine Zwischengruppe, für welche der Name Nephelin-Plagioklas-Basalte der angemessenste sein dürfte.

Als Entwicklungszustände sind wie bei den Nephelinbasalten auch hier diejenigen Gesteine zu betrachten, welche neben Plagioklas, bezw. Plagioklas und Nephelin noch eine gewisse Menge von braunem Glas (Tachylit) enthalten.

Auf den frischen splitterig-muscheligen Bruchflächen zeigen diese häufig plattig abgesonderten Gesteine dunkelgrüne bis schwarze Farbe.

Bei den deutlich körnigen Varietäten gewahrt man mit der Lupe zunächst die blitzenden Feldspathleichen, welche sich durch ihre charakteristische Viellingsstreifung als Plagioklase bekunden.

In der des weiteren aus Augit und kleinen Magneteisenerzkörnchen bestehenden Grundmasse treten eingesprengte Chrysolithkörner und vereinzelte grössere Augitkrystalle hervor.

Dünne Splitter zeigen bei intensiver Behandlung mit Salzsäure tiefgreifende Veränderungen. Die Farbe wird durch Ausätzung von Chrysolith und Magneteisen eine hellgraue, auch die Feldspathe sind zum Theil angegriffen und getrübt worden. Dies deutet auf einen kalkhaltigen Natronfeldspath — Andesin oder Labradorit — wie er als gewöhnlich beobachteter Gemengtheil in den Feldspathbasalten immer auftritt.

Unter dem Mikroskop fällt bei der grossen Mehrzahl der hieher gehörigen Gesteine zunächst die durch parallele Lagerung der wasserhellen Plagioklasleisten bewirkte Stromstructur auf. Dies ist natürlich besonders der Fall bei etwas feinkörnigen, aber sehr feldspathreichen Basalten.

Auf optischem Wege allein ist die Frage schwer zu entscheiden, ob neben dem Plagioklas als accessorischer Bestandtheil auch ein orthoklastischer Feldspath in manchen Basalten vorhanden ist. Es spricht jedoch sehr für diese Annahme die Beobachtung von sehr kleinen wasserhellen, mitunter etwas rissigen Feldspathleisten von grösserer Breite, welche im polarisirten Lichte sich entweder als nicht zu Zwillingen verbunden, sondern als einfache Krystalle oder als aus höchstens zwei verschieden orientirten Theilen bestehend erweisen. Es wäre die letztere Erscheinung als eine Zwillingsbildung nach dem Karlsbader Gesetze aufzufassen und die Feldspathe selbst gehörten dann wirklich dem Orthoklas an.

Die übrigen Gemengtheile verhalten sich wie in den bereits ausführlich geschilderten Nephelinbasalten. Bezüglich der Au-

gite wäre nur noch zu bemerken, dass sie im Allgemeinen eine etwas gelblichere Farbe besitzen. Chrysolith fehlt entweder ganz oder ist in ziemlicher Menge vorhanden und tritt dann in grösseren eingesprengten Körnern und Krystallen in der Grundmasse auf.

Als einen chrysolithfreien Feldspathbasalt stelle ich voraus

- 1) Den Basalt von der Steinkuppe Sign. 350,0 westlich von Völkersleier.

Derselbe bildet einen kleinen Durchbruch im oberen Buntsandstein, ohne jedoch im Terrain als Kuppe besonders hervorzutreten. Zwei kleine darin angesetzte Steinbrüche gewähren einen beschränkten Einblick. Die Absonderung bezw. Verwitterung ist kugelig-schalig.

Unter dem Mikroskop stellt dieses Gestein ein sehr feinkörniges Gemenge von Augit und triklinem Feldspath, sowie Magnet Eisen dar, welches durch die parallele Anordnung der Feldspathleisten und Augitsäulchen eine hübsche Stromstructur zeigt.

Als glasführende Feldspathbasalte sind zu bezeichnen:

- 2) Der Basalt vom Linnenstumpf (Lindenstumpf der G. St. K.) Sign. 528 nördlich von Schondra.
- 3) Der Basalt von der kleinen Kuppe südwestlich von Oberweissenbrunn bei Sign. 665.
- 4) Der Basalt vom Rodenbacher Küppel südlich von Gersfeld.
- 5) Der Basalt vom Ziegelsköpfchen, etwa 500 m. nördlich von der neuen Strasse Gersfeld-Ziegelhütte.
- 6) Der Basalt vom nördlichen Hachtskopf am Rothen Moor.

Es sind dichte bläulichschwarze Basalte mit splitterigem Bruch, in deren Grundmasse nur vereinzelte dunkelgrüne glasglänzende Chrysolithkörner zu erkennen sind.

Die Dünnschliffe dieser Gesteine bieten schon bei mässiger Vergrösserung ein prächtiges Bild. Wasserhelle scharf begrenzte Plagioklasleisten mit schon im gewöhnlichen Lichte deutlich sichtbarer Linirung und weniger gut ausgebildete Augitkryställchen bilden in Verbindung mit gleichmässig vertheiltem Glas die Grundmasse. Das Glas ist braun (chocoladebraun — violettbraun), theils noch völlig homogen und nur in der Nähe von Augit und Magnet Eisenkörnern etwas heller gefärbt, theils zeigt es begonnene Entglasung durch nadelförmige, beinahe farblose Augitmikrolithe oder durch massenhafte, wie gekreuzte Strichsysteme er-

scheinende Trichitbildung; das letztere ist besonders bei Nr. 3 und 5 der Fall.

Der Chrysolith ist wie gewöhnlich in den glasführenden Gesteinen noch sehr frisch; Magneteisen findet sich ebenfalls wie dort verhältnissmässig nicht sehr reichlich in grösseren und kleineren, meist scharf ausgebildeten Octaederchen.

7) Der Basalt aus dem Bohrloch oberhalb des Tagebaues der Grube „Einigkeit“ am Bauersberg.

8) Der Basalt von der Nordseite der Rössberg-Kuppe bei Kippelbach.

9) Der Basalt von dem kleinen Gang südöstlich von Schondra an der Strasse nach Singenrain.

10) Der Basalt vom Mittelberg Sign. 657 bei Oberbach.

Diese Gesteine sind den zuerst genannten sehr ähnlich. Der Hauptmasse nach bestehen sie aus einem feinkörnigen Gemenge von Augitsäulchen, zwischen denen nesterweise eine schmutzigbraune körnig entglaste Basis vertheilt ist, die Betheiligung des Feldspaths ist eine etwas geringere; dagegen ist besonders in Nr. 9 und 10 Chrysolith sehr reichlich vorhanden.

11) Der Basalt vom Pilsterstein bei Kothén.

12) Der Basalt von der Köthtrift bei Motten.

Es ist dies eine kleine mit Sandstein- und Olivinfels-Einschlüssen förmlich vollgepropfte Kuppe von etwa 15 m Durchmesser, vom „Dreyfeldtweg“ durchschnitten, etwa in der Hälfte Wegs zwischen Fuchshof und Sign. 647 östlich von Motten.

13) Der Basalt von den Gängen, welche am Westabhang der Eisenhand oberhalb Sign. 864 den Wellenkalk durchbrechen.

Die Grundmasse dieser Gesteine ist sehr feinkörnig; neben dem bräunlichen Glas findet sich auch noch eine schmutzigweisse körnige und faserige Masse, welche ähnlich wie bei einigen Nephelinbasalten als zeolithisches Umwandlungsprodukt der Glasbasis betrachtet werden kann. Der allgemein stark vorgeschrittene Verwitterungszustand dieser wie der nächst folgenden Gesteine macht diese Annahme höchst wahrscheinlich.

14) Der Basalt von der kleinen Kuppe Sign. 493 südöstlich von Geroda.

15) Der Basalt von der flachen Kuppe westlich von dem Fahrweg von Kippelbach nach Rengersfelden.

In diesen beiden Gesteinen verdrängt die trübe Umwand-

lungsmasse beinahe vollständig das braune Glas, während gleichzeitig der Feldspathgehalt ein sehr geringer ist. Auffallend ist unter diesen Umständen das frische Aussehen der Chrysolithe.

16) Der Basalt vom Knörzchen Sign. 643 bei Oberriedenberg.

17) Der Basalt vom Westabhange des Querenbergs bei Wüstensachsen.

18) Der Basalt vom Rothberg Sign. 638 bei Roth.

Unter dem Mikroskop erscheint die Grundmasse sehr dicht; die Schiffe von Nr. 16 und 17 werden nur bei äusserster Dünne durchsichtig. Zwischen der aus dicht gedrängten Augitkryställchen gebildeten Grundmasse kommt fein vertheilt etwas trübe Zwischen-drängungsmasse zum Vorschein. Plagioklas theiligt sich nur in sehr untergeordnetem Maasse an der Zusammensetzung der Gesteine.

19) Der Basalt von Sign. 766 am Nordhang des Kreuzbergs.

Das Gestein bildet hier eine kleine Kuppe; es ist nur in stark verwitterten porösen Stücken zu schlagen und lässt auf der Bruchfläche nur goldgelbe Chrysolithkörnchen beobachten.

Unter dem Mikroskop stellt es ein äusserst dichtes Gemenge von Augitsäulchen und Feldspathleistchen dar, welches sich erst bei Anwendung einer stärkeren Vergrösserung entwirren lässt. Massenhaft staubartig vertheiltes Magneteisen bewirkt eine ziemlich dunkle Färbung, aus der die schön rostroth gefärbten Chrysolithe grell hervorleuchten. Rundliche Hohlräume sind mit faserigen Aggregaten von nach Zonen mitunter verschiedenartig gefärbten Zeolithen erfüllt.

Besonderes Interesse erregen die sehr lichten mittelkörnigen und unregelmässig begrenzten Parthieen, welche an der dichten Grundmasse scharf absetzen.

Sie bestehen zum grössten Theil aus einem farblosen Mineral, dessen rissige Beschaffenheit, Polarisationsverhalten und Spaltungsrichtungen keine andere Deutung wie die als Sanidin zulassen. Daneben findet sich eine weitere farblose Substanz, welche mehr homogen erscheint und sich mit Salzsäure unter Gallertbildung und Lösung von Kalk und Natron zersetzt, also sicher Nephelin ist. Sehr sporadisch liegen zwischen diesem grüne Augitsäulen und grosse Magneteisenoctaeder. Das Gesammtaussehen dieser Parthieen erinnert lebhaft an den unmittelbar oberhalb davon anstehenden Phonolith (Nr. 4 vergl. S. 35) und dieser

Umstand, sowie die Art und Weise ihres Auftretens in der Grundmasse veranlasst mich, in ihnen wirkliche Einschlüsse von Phonolithfragmenten zu erblicken.

Die normalen Feldspathbasalte zeigen in ihrer Structur mannigfache Unterschiede. Von den gleichmässig körnigen zeichnet sich

20) Der Basalt von der Kuppe nördlich von Sign. 794 auf dem Plateau der Langen Rhön bei Leubach sowohl was die Dimensionen und die Ausbildungsweise der constituirenden Gemengtheile als auch die Art der Verwitterung anlangt, durch eine ausserordentliche Aehnlichkeit mit den sog. „blauen Basalten“ des Vogelsbergs aus.

Die Handstücke, die ich schlagen konnte, sind sämmtlich stark zersetzt; sie sind von hellgrauer Farbe und besitzen durch das Herauswittern der Chrysolithe und Magneteisenkörnchen ein ganz poröses Aussehen. Daneben finden sich auch noch rundliche Hohlräume, deren Oberflächen mit einem blaugrauen Zersetzungsprodukte bedeckt sind. Trotzdem war es, allerdings mit grösster Vorsicht, möglich, brauchbare Präparate von diesem Gestein anzufertigen.

Unter dem Mikroskop besteht die Grundmasse aus Augitkryställchen und dicht gesäeten Magnetitkörnchen, zwischen denen meist an den Längsseiten scharf begrenzte Feldspathleisten, Chrysolithkrystalle und grössere, hübsch schalig gebaute Augite liegen. Die triklinen Feldspathe sind äusserst frisch, noch ganz wasserklar und lassen die Viellingsstreifung gut erkennen; einige wenige Glaspartikel, Magneteisenkörnchen und Augitmikrolithe ausgenommen sind sie frei von fremden Einschlüssen.

Sehr stark zersetzt sind dagegen die Chrysolithe; sie sind sämmtlich in trübe, vollständig undurchsichtige braunrothe Eisenhydroxydmassen verwandelt, was auf einen sehr eisenreichen Chrysolith (Hyalosiderit) schliessen lässt.

Ein sehr eigenartiger Feldspathbasalt ist

21) Der Basalt von der oberen Kuppe des Stellbergs Sign. 888,9 bei Wüstensachsen.

Schon im Handstücke zeigt sich die mittelkörnige, ausgezeichnet krystallinische Structur dieses Gesteins, welche im Verein mit der dunkelgrünen Farbe eine gewisse Aehnlichkeit mit den Doleriten bewirkt.

Unter dem Mikroskop dagegen erweist sich dasselbe als echter Feldspathbasalt, der neben dem vorherrschenden triklinen auch eine auffallend reichliche Menge von monoklinem Kalifeldspath führt. Recht vereinzelt treten Spuren einer farblosen Glasbasis mit trichitischer, häufiger noch körniger Entglasung auf. Der Augit ist grünlichbraun, niemals in gut entwickelten Kristallen, sondern nur körnig vorhanden. Durch die Grössenverhältnisse sich nicht sonderlich auszeichnend, ist in grosser Menge Chrysolith eingesprengt; nur die Kerne sind noch frisch, während von den Rissen und Sprüngen ausgehend eine Umwandlung in grüne und schwarze Substanzen (Nigrescit) stets ziemlich vorgeschritten ist. Magneteisen in regelmässigen Octaedern und sehr seltene zerhackte Titaneisentäfelchen, welche sich durch ihren stahlblauen Glanz von im Querschnitt ähnlich aussehenden Magneteisenzwillingen unterscheiden, kommen neben einander in dem Gestein vor.

Mit Salzsäure behandelt gelatinirt dasselbe nicht; im groben Pulver finden sich farblose Splitterchen, welche offenbar dem schon mikroskopisch aufgefundenen Sanidin angehören.

Etwas feinkörnigere, aber immer noch gleichmässig körnige Grundmasse besitzen:

22) Der Basalt von der kleinen Kuppe Sign. 851 nördlich vom Rucksberg bei Reussendorf und

23) Der Basalt von den Ottersteinen.

Die Ottersteine bilden die nördlichen Ausläufer der Dammersfelder Kuppe und werden durch einen ungefähr in N—S verlaufenden Basaltgang gebildet, dem 3 kleine Kuppen, der nördliche, mittlere und südliche Otterstein, aufgesetzt sind. Besonders der letztere ist reich an Olivinfelseinschlüssen.

24) Der Basalt von dem Gang westlich unter der Dalherdaer Kuppe.

25) Der Basalt vom Dreyfeldtplateau gegen die Dalherdaer Kuppe hin (Grenzstein Nr. 171.)

26) Der Basalt von der Kuppe unterhalb Sign. 812,2 am „Langen Schacht“ östlich von Sandberg bei Gersfeld.

27) Der Basalt vom Hüppberg Sign. 591 östlich von Ginolfs.

28) Der Basalt vom Kressberg Sign. 351 bei Schondra.

Die Grundmasse dieser Gesteine ist auch unter dem Mikroskop äusserst feinkörnig und durch massenhaft vertheiltes Mag-

neteisen dunkel gefärbt, so dass die Präparate nur an den Rändern gut durchsichtig sind. Trikliner Feldspath ist nur in No. 22 in reichlichem Maasse vorhanden, in den übrigen tritt er gegen Augit etwas zurück. Eingestreut sind theils noch sehr frische, theils zersetzte Chrysolithe und in einigen der Gesteine auch grössere Augite.

Eine durch ihre eigenthümliche Structur wohl charakterisirte Gruppe bilden die folgenden Basalte:

- 29) Der Basalt vom Saltenberg Sign. 707 nordwestlich von Fladungen.
- 30) Der Basalt von der Kuppe Sign. 723 bei Roth.
- 31) Der Basalt von dem kleinen Gang am linken Südufer südlich von Kothlen, gegenüber dem Eisenhammer.
- 32) Der Basalt von der kleinen Kuppe südwestlich unter der Dalherdaer Kuppe.
- 33) Der Basalt vom Mittelberg Sign. 647 bei Oberbach (vergl. S. 47.)
- 34) Der Basalt vom Mittelberg Sign. 627 bei Oberbach.
- 35) Der Basalt vom Schachenberg Sign. 825,5 bei Oberweissenbrunn.
- 36) Der Basalt von dem kleinen Gange am Bildstock w. s. w. von Oberweissenbrunn (Abhang des Arnbergs).
- 37) Der Basalt von dem Gange westlich unterhalb des Arnbergs im „Hönig Schlag.“
- 38) Der Basalt vom östlichen Hachtskopf zunächst dem Rothen Moor bei Gersfeld.
- 39) Der Basalt vom Kesselstein Sign. 800 östlich von Gersfeld.
- 40) Der Basalt vom Fuchsstein nördlich vom Rothen Moor.
- 41) Der Basalt von der unteren Kuppe des Stellbergs südöstlich von Wüstensachsen.

Diese Gesteine zeigen unter dem Mikroskop einen eigenartig körnigen und zugleich porphyrartigen Habitus. Die Grundmasse besteht nämlich aus einem ausserordentlich feinkörnig bis dicht erscheinenden Gemenge von winzigen Plagioklasleisten, Augitsäulchen und staubartig vertheilten Magnetiseinkörnchen. Meist ziemlich parallel gelagert, also eine förmliche Stromstructur bedingend, leuchten aus derselben grössere wasserhelle, schön gestreifte Plagioklaskrystalle porphyrartig heraus, scharf begrenzt an den beiden Längsseiten, mit den kurzen dagegen in

der Grundmasse verschwindend; ferner sieht man, wie immer, Chrysolithkrystalle und -Körner in den verschiedenen Zersetzungsstadien und grössere Augite mannichfach verwachsen und verzwillingt.

Auch das Magneteisen tritt ausser in winzigen Partikelchen in grösseren Dimensionen und gut ausgebildeten Octaedern auf.

Kann unter dem Mikroskop Nephelin auch nicht sicher erkannt werden, so ist es doch höchst wahrscheinlich, dass er sich, wenn auch nur in minimaler Menge, in diesen Gesteinen findet; denn aus dem verhältnissmässig geringen Chrysolithgehalt allein würde das schwache Gelatiniren mit Salzsäure, wie es manche zeigen, nicht erklärt werden können. Auch enthält die Lösung Spuren von Kalk und Natron. Ist es aber wirklich der Fall, so bildeten diese Gesteine den Uebergang zu den

Nephelinführenden Feldspath-Basalten oder kurzweg: Nephelin-Plagioklas-Basalten.

Ich stelle dem seither eingehaltenen Gebrauche gemäss auch hier an die Spitze jene Varietäten, welche neben den beiden genannten feldspathigen Gemengtheilen noch eine deutlich erkennbare Glasbasis in der Grundmasse führen.

42) Der Basalt vom Kellerstein Sign. 706.

Derselbe bildet am äussersten Nordende der Schwarzen Berge einige schön säulenförmige Absonderung zeigende Felsköpfe, welche steil zum Kellerbachthale abfallen.

Unter dem Mikroskop zeigt dieses Gestein eine reichliche braune Glasbasis, stellenweise mit farblosen Augitnadelchen und schwarzen Trichitgebilden, der gegenüber die meist unregelmässig begrenzten Augitkrystalle der Grundmasse an Menge etwas zurücktreten. Zwischen derselben kommen wasserhelle Nephelinparthieen und -Querschnitte, sehr vereinzelt auch einige scharf begrenzte Leistchen von triklinem Feldspath zum Vorschein.

Die zahlreich eingestreuten Chrysolithe zeigen, abgesehen von Rissen und Sprüngen, beinahe noch keine Spur von Zersetzung.

43) Der Basalt von dem Gange westlich unterhalb der Spitze des Büchlbergs Sign. 447,3 bei Hammelburg.

44) Der Basalt von der östlichen Kuppe des Hegkuppels Sign. 516,1 südlich von Schönderling.

Diese beiden Gesteine, schön säulenförmige Absonderung zeigend, sind unter dem Mikroskop etwas feinkörniger; das Glas tritt etwas mehr zurück; desto reichlicher sind trikliner Feldspathe in der Grundmasse zu beobachten.

- 45) Der Basalt von Gross Schildeck Sign. 598 (nördlicher Abhang) bei Geroda.

Die Grösse der an der Grundmasse beteiligten Augite ist eine sehr wechselnde. Neben spärlichen Nephelinparthieen findet sich schmutzig braunes Glas, das theils körnige, theils Entglasung durch trichitische Gebilde aufweist. Auffallend lange wasserhelle Feldspathleisten treten aus der Grundmasse hervor.

- 46) Der Basalt von der kleinen Kuppe am Südwestabhang des Oettershauk bei Oberbach.

Zwischen der ziemlich dichten Grundmasse, aus Augitsäulchen, Feldspathleisten und Nephelinkörnchen zusammengesetzt, kommt braunes homogenes Glas vor, welches auch grössere Nester bildet. In solchen findet man zierliche Entglasungsprodukte, meist farblose Mikrolithe, welche mitunter zu büschelförmigen Aggregaten verbunden sind.

- 47) Der Basalt vom Mitzenberg Sign. 582 bei Brückenaau.

- 48) Der Basalt vom Hillenberg Sign. 675 bei Roth.

- 49) Der Basalt vom untersten Gang im Eisgraben bei Hausen.

Die Structur dieser Gesteine ist unter dem Mikroskop eine grobkörnige zu nennen. Nephelin und trikliner Feldspath sind ungefähr in gleicher Menge vorhanden, während die andere Hälfte der Grundmasse aus Augit und bräunlichem Glas besteht. Das letztere ist bei No. 45 sehr dunkel, in den beiden anderen hellbraun bis gelblich und lässt hier reichliche Trichitbildung beobachten.

Magneteisen ist sowohl in winzigen Körnchen auch als grösseren Octaedern gleichmässig vertheilt. Vielfach zersprungene und mit Glaseinschlüssen versehene Augite, sowie zahlreiche weisse, auch wasserhelle Chrysolithkrystalle verleihen den Dünnschliffen ein porphyrtartiges Aussehen.

- 50) Der Basalt vom Steinernen Haus Sign. 773 bei Oberelzbach¹.

¹) Proescholdt zählt a. a. O. vom Ostrande der Langen Rhön noch einige Basaltpunkte auf, wie Lahrberg, Dachsberg, Stettener Höhe u. a. m., zu deren Aufsuchung mir leider die Zeit nicht mehr ausreichte.

- 51) Der Basalt vom vorderen Gangolphsberg bei Oberelzbach.
- 52) Der Basalt von der Eisenhand bei Wildflecken.
- 53) Der Basalt vom Bartenstein Sign. 708 bei Oberriedenberg.
- 54) Der Basalt vom Farnsberg Sign. 757,3 bei Oberriedenberg.
- 55) Der Basalt vom mittlern Pilsterkopf Sign. 615 bei Brückenau.
- 56) Der Basalt vom Ottilienstein, östlich vom Rothen Moor.
- 57) Der Basalt von dem Gange zwischen Ressberg und Mittelberg Sign. 886 bei Kippelbach.

Diese Gesteine weisen im Schlitze sämmtlich neben Plagioklas und Nephelin eine in mehr oder weniger reichlicher Menge vorhandene farblose und schwach trübe Basis auf, welche durch Salzsäure leicht zersetzbar ist, jedoch eine so unbedeutende (mitunter auch gar keine) Wirkung auf das polarisirte Licht besitzt, dass sie füglich nicht als Nephelin betrachtet werden kann.

Ganz frei von Glas oder wenigstens dasselbe nur in minimalen Spuren führend, sind folgende Gesteine:

- 58) Der Basalt vom Volkersberg Sign. 554,2 bei Brückenau.

Derselbe ist durch einige Steinbrüche aufgeschlossen, welche die plattige Absonderung des Gesteins gut beobachten lassen. Die Kluftflächen sind mit Carbonaten, zeolithischen Neubildungen und in vorgeschrittenen Verwitterungsstadien mit Eisenhydroxyd überzogen. Der Bruch ist splitterig, die Farbe des frischesten Gesteins grünlichgrau; von Bestandtheilen sind mit der Lupe nur einzelne Feldspathleistchen, durch ihren Glanz hervorblitzend, zu erkennen; sehr seltene grössere muschelrig brechende metallglänzende Körner erweisen sich bei der Löthrohrprobe als hochtitanhaltiges Magnet Eisen.

Auch unter dem Mikroskop bestätigt sich die ausserordentliche Armuth des Gesteins an Chrysolith. Die wenigen vorhandenen, bei ihrer Kleinheit aus der Grundmasse kaum hervortretenden Körnchen sind fast vollständig in schmutzig grüne Zersetzungsprodukte verwandelt.

Neben dem Augit, der in sehr schwach gefärbten säulenförmigen Krystallen auftritt, setzen noch Feldspath und Nephelin die Grundmasse zusammen. Ersterer findet sich wie ge-

wöhnlich in langgestreckten leistenförmigen Durchschnitten, deren kürzere Seiten in mannichfacher Weise ausgezackt sind, was in dem ungleichen Wachsthum der einzelnen zu Viellingen vereinigten Individuen begründet zu sein scheint. Der Nephelin, der zum überwiegenden Theile in unregelmässig begrenzten Parthieen die Zwischenräume zwischen Plagioklas und Augit ausfüllt, zeigt sich allenthalben schon ziemlich zersetzt. Diese Umwandlung äusserst sich in einer Trübung, an manchen Stellen finden sich auch radialstrichlige und büschelförmige Ansätze von Zeolithen.

Magneteisen ist in gut entwickelten Octaederformen gleichmässig vertheilt. Ganz lange farblose, durch starke Lichtbrechung ausgezeichnete Nadelchen dürfen sicher dem Apatit zugerechnet werden.

Zu bemerken ist noch, dass das Gestein von der Spitze der Kuppe etwas grobkörniger und feldspathreicher ist, als jenes von den tiefer gelegenen Steinbrüchen an der Westseite.

Das Gestein gelatinirt gut mit Salzsäure. Seine sehr basische Zusammensetzung ist aus folgender Analyse, zu welcher natürlich nur das frischeste zu erlangende Material aus den im Betriebe stehenden Brüchen an der nördlichen Klostermauer verwendet wurde, ersichtlich.

SiO ₂	=	40,73
TiO ₂	=	0,46
Al ₂ O ₃	=	20,70
Fe ₂ O ₃	=	4,26
FeO	=	8,38
CaO	=	10,78
MgO	=	5,32
K ₂ O	=	0,60
Na ₂ O	=	7,28
H ₂ O	=	2,00
P ₂ O ₅	=	0,49
		<hr/>
		101,00

Qualitativ konnten ferner nachgewiesen werden:

As, Cu, Sn, Mn, Co, Ni, S, CO₂, Cl.

Der Sauerstoffquotient beträgt 0,9122.

Das spec. Gewicht = 3,141.

- 59) Der Basalt vom Steinrücken östlich vom Schwarzen Moor bei Hausen.

- 60) Der Basalt vom westlichen Hachtskopf bei Sandberg (östlich von Gersfeld).
- 61) Der Basalt vom Ostabhang des Himmeldankbergs bei Bischofsheim.
- 62) Der Basalt von Sign. 797 „in der Kohlgrube“ bei Rüdenschwinden (westlich von Fladungen).

Diese Gesteine führen reichlich Nephelin, der mitunter an manchen Stellen so überwiegt, dass man im Gesichtsfelde kaum einen triklinen Feldspath beobachten kann, während dagegen in andern dieser Gemengtheil den Nephelin wiederum verdrängt. Häufig finden sich Sanidintäfelchen von rissiger, hier und da die charakteristische Spaltbarkeit verrathender Beschaffenheit. Chrysolith ist nur in kleinen Kryställchen und Körnchen eingesprengt, meist sehr stark in grünliche faserige Substanzen umgewandelt und tritt wenig aus der Grundmasse hervor. Die Augite derselben sind körnig oder säulig ausgebildet und zeigen in letzterem Falle an sehr plagioklasreichen Stellen im Verein mit den Feldspathen hübsche Stromstructur. Das Magneteisen ist in äusserst scharf ausgebildeten Octaedern gleichmässig durch die Gesteinsmasse vertheilt.

Charakteristisch für diese Basalte ist noch die plattige Absonderung und die gelblichgrüne Farbe auf den frischen, sehr flachmuscheligen Bruchflächen.

- 63) Der Basalt vom Mittelberg Sign. 886 südlich von Kippelbach.
- 64) Der Basalt vom Holzberg nördlich von Bischofsheim.
- 65) Der Basalt von der mittleren Kuppe des Thürmleins nördlich von Bischofsheim.
- 66) Der Basalt von der „Querbrücke“ (zwischen Sign. 780 und „beim Ahornbrunnen“ Sign. 796) nördlich vom Schwarzen Moor.

Diese vier Gesteine zeichnen sich durch ausserordentlich geringe Menge von Magneteisen aus und besitzen deshalb eine helle Färbung. Die Grundmasse besteht aus schwach bräunlichem Augit, sehr viel Nephelin und triklinem Feldspath, denen sich an Menge beinahe ebenbürtig Chrysolith zugesellt. In No. 64 tritt auch in geringer Menge eine trübe, körnig entglaste Basis auf, deren chemisches Verhalten auf nahe Verwandtschaft mit Nephelin deutet. Magneteisen findet sich nur in einigen wenigen Octaedern und unregelmässigen Krystallaggregaten; dem

Titaneisen dürften vereinzelte rhomboedrisch begrenzte stahlblaue Körnchen zuzurechnen sein. Braune stark dichroitische Glimmerblättchen und Apatitnadelchen sind nicht selten zu beobachten.

Eine eigene Abtheilung der Feldspathbasalte bilden die sogenannten

Hornblende-Basalte.

Dieselben spielen in der Rhön eine besondere Rolle, auf welche an anderer Stelle noch zurückzukommen sein wird.

H. Sommerlad hat diese Basalte, welche sporadisch auch noch im Vogelsberg, Westerwald und im böhmischen Mittelgebirge auftreten, eingehend chemisch und mikroskopisch untersucht; ich verweise des Weiteren auf seine Arbeit¹⁾ und beschränke mich darauf, den bereits dort genannten Fundpunkten dieser Gesteine noch einige neue hinzuzufügen.

Im frischesten Zustande sind es mattschwarze Basalte, denen zahlreiche, oft über 1 cm grosse, stark glänzende Hornblende-krystalle ein prachtvolles porphyrtartiges Aussehen verleihen.

Die Hornblenden zeigen die gewöhnlichen Formen:

$$P. \propto P. \propto P \propto . o P;$$

mitunter kommen auch Zwillingsskrystalle (mit $\propto P \propto$ als Zwillingsebene) vor.

Von den übrigen Bestandtheilen tritt nur noch der Chrysolith in gelben Körnern dem unbewaffneten Auge entgegen.

Unter dem Mikroskop besteht die Grundmasse dieser Basalte aus einem ziemlich feinkörnigen Gemenge von triklinem Feldspath, Augit und reichlichem Magneteisen, wozu sich in farblosen, unregelmässig begrenzten Massen hier und da noch etwas Nephelin gesellt.

Die schön gestreiften Plagioklasleisten überschreiten niemals eine gewisse Grösse und treten nur als Bestandtheile der Grundmasse auf. Sie sind immer wasserhell, sehr arm an fremden Einschlüssen und unterscheiden sich von den bei grosser Kleinheit auch häufig farblos erscheinenden Augitsäulchen durch ihre scharfe Begrenzung an den Längsseiten und die schon erwähnte, auch bei den kleinsten Individuen meist noch beobacht-

¹⁾ Ueber Hornblende führende Basaltgesteine, N. Jahrb. f. Min. 1892 II. Beil. Band, S. 139.

bare Zwillingstreifung. Ihr Verhalten gegen Salzsäure lässt einen Unterschied den Plagioklasen der übrigen Feldspathbasalte gegenüber nicht erkennen; erst bei längerer Aetzung mit heisser Säure werden sie angegriffen und getrübt.

Die gelblichbraunen säulenförmigen Augite der Grundmasse zeigen selten so scharfe Umrisse, wie es bei den zahlreichen grösseren porphyrartig eingewachsenen der Fall ist. Wie auch anderwärts finden sich unter diesen solche mit ausgezeichnet zonalem Bau, sowie mit hellen, theils lichtgelb, theils grün gefärbten, an Einschlüssen reichen Kernen.

Der nicht sehr reichlich vorhandene Chrysolith zeigt stets mehr oder weniger weit vorgeschrittene Zersetzungsstadien in graugrünen und gelblichen Umwandlungsprodukten. Gut ausgebildete Krystalle sind verhältnissmässig in diesen Basalten selten; meist tritt das Mineral nur in Form von rundlichen Körnern auf.

Die eigenthümliche mikroskopische Ausbildung der Hornblende hat *Sommerlad* in sehr anschaulicher Weise beschrieben.

Man kann zwei Erscheinungsweisen unterscheiden, welche jedoch derart in Zusammenhang zu stehen scheinen, dass die gleich zu schildernde erstere nur ein Stadium der zweiten darstellt.

Bei jener haben nämlich die Hornblenden im Innern ihre Homogenität bewahrt, während die Ränder von einem mehr oder weniger breiten Saume von dicht gehäuften Magnetisen- und Augitkryställchen, auch länglichen keulenförmigen Stäbchen eines rothbraunen dichroitischen Körpers umgeben werden. Diese Dinge sind in einer farblosen Masse eingebettet, welche sich optisch sehr ähnlich der Nephelinsubstanz erweist, eine solche dagegen wegen ihres Verhaltens gegen Salzsäure, welche sie nicht anzugreifen vermag, nicht sein kann.

In sehr seltenen Fällen fehlt dieser „Opacitsaum“, wie ihn neuere Petrographen gern nennen, ganz; häufig ist er aber so breit, dass von dem Hornblendekrystall, in dessen ehemaligen Umrisen er sich aus der Gesteinsgrundmasse deutlich abhebt, nur mehr ein rundlich oder elliptisch gestalteter Kern übrig ist, welcher noch alle charakteristischen Kennzeichen der unveränderten Hornblende, wie Spaltbarkeit und Dichroismus (bräunlichgrün, gelbbraun bzw. hellgelb) aufweist.

Mitunter — und dies ist der zweite Fall — ist aber selbst dieser Hornblenderest verschwunden und an Stelle des Krystalls ein Haufwerk von Magnetisenkörnern, länglichen Augit tafelförmigen

und den bereits erwähnten braunen Stäbchen getreten, zwischen dem noch die farblose Basis in mehr oder weniger reichlichem Maasse hindurchschimmert.

Auf den ersten Blick scheinen diese Körperchen einen ordnungslosen Wirrwarr zu bilden; bei näherer Betrachtung — und wenn die äusseren Krystallumrisse derart scharf sind, dass sie einen Schluss auf die Lage des betreffenden Durchschnittes im Präparate ermöglichen, — erkennt man jedoch, dass einerseits die Hauptaxen der licht röthlichbraunen Augite mit jener der ursprünglichen Hornblende zusammenfallen und dass andererseits auch die dichroitischen stäbchenförmigen Gebilde, wie *Sommertad* sagt, „nach 3 Richtungen orientirt sind, welche einen Winkel von ungefähr 60° mit einander bilden.“

Ohne auf die Umstände näher einzugehen, welche eine Wiedereinschmelzung bewirkt haben können, muss doch zugegeben werden, dass es sich hier augenscheinlich um eine solche, d. h. um eine Contactwirkung des basaltischen Magmas auf die in diesen Basalten sehr frühzeitig ausgeschiedenen Hornblendekrystalle handelt.

Doelters und *Hussaks* ¹⁾ interessante Versuche haben ganz ähnliche Gebilde zum Resultat gehabt, als sie einen Hornblendekrystall der Schmelzung im Magma eines chrysolithfreien basaltischen Gesteins, des Augitits von Waltsch in Böhmen, unterwarfen.

Allerdings sprechen diese Autoren bloß von neu gebildetem Augit, während sie die dunklen dichroitischen Stäbchen und ihre systematische Anordnung nicht beobachteten und in Folge dessen auch die Möglichkeit einer Neubildung von Hornblende in Zweifel zogen. Eine solche scheint jedoch thatsächlich vorzuliegen, nachdem brauner Glimmer, der allenfalls in Frage kommen könnte, sicher ausgeschlossen ist.

Ein Umstand, der ebenfalls für die Auffassung der eigenthümlichen Veränderung der Hornblende als Einschmelzungs-Contactwirkung sprechen mag, ist, dass ich im Allgemeinen die Beobachtung machen konnte, dass die Hornblendesich randlich um so weniger umgewandelt erweisen, je feinkörniger, d. h. rascher erstarrt die Grundmasse des sie enthaltenden Gesteins ist.

Von typischen Hornblendebasalten mit porphyrtartigem Habitus sind aus dem Untersuchungsgebiete zu nennen:

¹⁾ Ueber die Einwirkung geschmolzener Magmen auf verschiedene Mineralien. N. Jahrb. f. Min. 1884 Bd. I S. 24 ff.

1) Der Basalt von Hauk bei Dalherda.

Derselbe bildet östlich von Dalherda eine kleine Kuppe, welche gegen das Gichenbachthal steil abstürzt.

Das Gestein ist sehr feinkörnig. Die ausgeschiedenen Hornblenden erreichen nicht sehr grosse Dimensionen; ausser denselben sind nur sparsam vertheilte Olivinkörnchen dem blossen Auge sichtbar.

Auch unter dem Mikroskope erweist sich die Grundmasse schwer auflöslich; sie besteht aus ziemlich viel triklinen Feldspathleisten, Augitsäulchen und massenhaftem, staubförmig vertheiltem Magneteisen. Porphyrtartig treten auf grüne körnige Augite, farblose Chrysolith-Krystalle und -Körner, sowie zahlreiche, meist wohl erhaltene Hornblenden. Eines meiner Präparate zeigt in höchst instructiver Weise zwei Krystalldurchschnitte dicht neben einander, von denen der eine aus der Säulenzone in einfachen den Langseiten parallel verlaufenden Rissen, der andere, ungefähr einem basischen Schnitte entsprechende, die prismatische Spaltbarkeit in einer rautenartigen Linirung seiner Fläche prächtig beobachten lässt. Bei den Querschnitten letzterer Art ist häufig eine Lagerung der secundären Hornblendemikrolithe parallel zur Klinodiagonale zu erkennen, d. h. so, dass dieselben die spitzen Winkel der Rauten gerade durchschneiden.

2) Der Basalt vom Todtenköpfchen bei Gersfeld.

Das Todtenköpfchen bildet am Nordfusse des Grossen Nallen eine kleine aus dem Buntsandstein sich erhebende Kuppe; ein kleiner Aufschluss im Sandstein lässt den Eruptionsweg in Form eines 1,5 m breiten Basaltganges beobachten.

Der Habitus ist (gross-) porphyrtartig; grosse Hornblendekrystalle, daneben auch einige Augite treten aus der dicht erscheinenden Grundmasse hervor, der auch zahlreiche Chrysolithkörner eingestreut sind.

Unter dem Mikroskop sind die Dimensionen der die Grundmasse bildenden Bestandtheile nicht so klein wie im vorigen Gesteine; Nephelin in unregelmässig begrenzten farblosen Partheen lässt sich ziemlich häufig beobachten, grossentheils zeigt er schon beginnende Umwandlung in feinfaserige schmutzig graue Zeolithaggregate. Als accessorische Gemengtheile treten Glimmer in braunen stark dichroitischen Blättchen und Apatitnadelchen von der bereits öfters erwähnten Beschaffenheit auf. Die reichlich vorhandenen Hornblendekrystalle sind randlich stark um-

gewandelt, stets aber findet sich bei den grösseren Krystallen noch ein unveränderter oder höchstens mit einigen Glaseinschlüssen versehener Kern.

Das Gestein gelatinirt schwach beim Behandeln mit Salzsäure; nach *Sommerlad's* Analyse ¹⁾ ist die chemische Zusammensetzung desselben folgende:

SiO ₂	=	42,68	
TiO ₂	=	0,51	
Al ₂ O ₃	=	9,42	
Fe ₂ O ₃	=	11,55	
FeO	=	7,23	
CaO	=	13,15	
MgO	=	10,09	
K ₂ O	=	1,16	
Na ₂ O	=	2,71	
H ₂ O	=	1,06	
P ₂ O ₅	=	1,29	(= 3,15% Apatit)
		<hr/> 100,85	

Der Sauerstoffquotient beträgt 0,796.

Das spezifische Gewicht = 3,114.

3) Der Basalt vom Eschbornköpfchen.

Es ist dies eine kleine Kuppe, ebenfalls am Nordabhang des Grossen Nallen, bergaufwärts etwa in halber Höhe zwischen Todtenköpfchen und dem Ostgipfel des Nallen gelegen.

Die porphyrartig eingewachsenen Hornblenden besitzen bei diesem Gestein nur sehr kleine Dimensionen.

Unter dem Mikroskop erscheint die Grundmasse sehr feinkörnig und dunkel gefärbt durch massenhaft staubförmig vertheiltes Magneteisen; die winzigen Plagioklasleistchen bedingen eine deutliche Stromstructur.

Die Hornblenden zeigen die nämliche Ausbildung wie beim Gestein des Todtenköpfchens.

Salzsäure bewirkt kein Gelatiniren des Gesteinspulvers.

4) Der Basalt von dem kleinen Gange einige hundert Schritte westlich vom Eschbornköpfchen.

5) Der Basalt von der kleinen Kuppe oberhalb Sparbrod.

Diese Gesteine, besonders das letztere sind bei ihrem porphyrartigen Habitus dem Vorkommen vom Todtenköpfchen sehr ähnlich. Sie sind ausserordentlich reich an Hornblende; auch der Chrysolith tritt in gelben Körnern wieder häufiger hervor.

¹⁾ A. a. O. Seite 155.

Unter dem Mikroskop erweisen sich die Hornblenden fast sämmtlich in hohem Grade umgewandelt; doch lässt stets ein mehr oder weniger breiter Magneteisensaum die ehemaligen Krystallformen wohl erkennen. Innerhalb derselben sind die gewöhnlichen Neubildungen vertheilt; unter denselben finden sich auch ziemlich grosse wasserhelle triklone Feldspathe.

Die Grundmasse ist etwas deutlicher körnig als in den bisher geschilderten Basalten. Neben der Hornblende finden sich häufig auch porphyrtartig eingewachsene Augite, während Chrysolith nur in kleinen rundlichen, noch recht frischen Körnern vorkommt. Auf die Anwesenheit von etwas Nephelin, den ich im Schlicke allerdings nicht beobachten konnte, deutet ein geringes Gelatiniren bei der Behandlung mit Salzsäure.

Sommerlad's Analyse des Gesteins von Sparbrod ergab:

SiO ₂	=	41,01	
TiO ₂	=	0,48	
Al ₂ O ₃	=	11,58	
Fe ₂ O ₃	=	12,54	
FeO	=	7,60	
CaO	=	12,20	
MgO	=	8,67	
K ₂ O	=	1,45	
Na ₂ O	=	2,57	
H ₂ O	=	1,87	
P ₂ O ₅	=	0,75	(= 1,83 % Apatit)
		<hr/> 100,72	

Der Sauerstoffquotient beträgt 0,848.

Das specifische Gew. = 3,024.

Aeusserlich und mikroskopisch von der gleichen Beschaffenheit, nur schon viel stärker verwittert sind:

6) Der Basalt vom Simmetsberg Sign. 839,4 südöstlich von Gersfeld.

7) Zwei etwas verschiedene Varietäten von Hornblende-basalt finden sich unmittelbar nebeneinander am Westabhange des I. (nördlichen) Pilsterkopfs Sign. 638 bei Brückenau, etwa 25 m unterhalb der Kuppe.

Auf die interessanten Lagerungsverhältnisse dieser Localität wird später zurückzukommen sein.

Die Gesteine sind plattig abgesondert, ziemlich verwittert und auf den Kluftflächen stark mit Eisenoxydhydrat überzogen.

(6*) 6*

Man hat Mühe, für die Untersuchung frisches Material aus dem Innersten von grösseren Blöcken herauszuschlagen.

Auf den Bruchflächen fallen sofort die stark glänzenden Hornblendekryställchen auf, welche selten grössere Dimensionen als einige Millimeter in der Länge erreichen. Sehr vereinzelt sind rostrothe Chrysolithkörnchen zu erkennen.

Unter dem Mikroskop ist das Gestein aus dem obersten der früher einmal zu Abbauszwecken angelegten Steinbrüche sehr feinkörnig und wegen der eigenthümlichen Vertheilung des Magneteisens jenem vom Eschbornköpfchen Nr. 3 sehr ähnlich; wie dort konnte ich auch hier Nephelin nicht beobachten, was durch das negative Resultat der Prüfung mit Salzsäure bestätigt wird.

Auch die reichlich vorhandenen Hornblenden zeigen die nämliche Ausbildung, insoferne stets ein Rest von unveränderter Hornblende sich in der Mitte der Perimorphosen befindet.

Auffallend ist noch das ausserordentlich seltene Auftreten von Chrysolith, der, wie schon im Stücke zu bemerken ist, vollständig in undurchsichtige rothbraune Substanz verwandelt erscheint. Neben den winzigen Magneteisenkörnchen der Grundmasse finden sich auch noch recht häufig grössere regelmässig gebildete Krystalle und Krystallaggregate in derselben zerstreut.

Etwa 25 Schritte schräg abwärts ist ein weiterer kleiner Bruch, dessen Gestein eine von dem vorigen insoferne etwas verschiedene Beschaffenheit zeigt, als die Grundmasse desselben ein sehr gleichmässiges, nicht sehr feinkörniges Gemenge von viel triklinem Feldspath und Augit mit verhältnissmässig wenig Magneteisen und Chrysolith darstellt. Die Hornblenden sind bis auf die letzte Spur ihrer ehemaligen Substanz umgewandelt und die an ihre Stelle getretenen Haufwerke lassen nur mehr in ihren Krystallumrissen die Natur des vorher existirenden Körpers erkennen.

8) Der Basalt vom Bremerkopf.

Derselbe bildet den nördlichsten Ausläufer der Dammersfelder Kuppe, bzw. der Ottersteine und erhebt sich dicht bewaldet und in Folge dessen schwer zugänglich auf einem Vorsprung, den das Dammersfeld in den Haderwald entsendet.

Das Gestein war mir nur in einigen stark verwitterten Stücken zugänglich; es zeigt wie das Vorkommen am Pilsterkopf plattige Absonderung; auf verhältnissmässig frischen Bruchflächen erkennt man hier und da glänzende Hornblendekryställchen.

Auch im Schiffe gibt sich grosse Aehnlichkeit mit dem zum Vergleiche herangezogenen Gesteine kund, besonders was die totale Einschmelzung der Hornblenden anlangt. In der Grundmasse, die auch etwas Nephelin enthält, finden sich dagegen zahlreiche goldgelbe Chrysolithkörner und mitunter bräunliche Glimmerblättchen eingestreut, die sich von der oft nicht minder stark dichroitischen Hornblende durch ihren bronzegelben Schiller und die feine Linirung ziemlich sicher unterscheiden lassen.

Ich reihe hier nur noch einige Feldspathbasalte an, welche ebenfalls Hornblende, aber nur in mikroskopischer Kleinheit und in vollständig umgewandeltem Zustande führen; doch möchte ich dieselben nicht mehr zu den eigentlichen Hornblendebasalten gerechnet wissen.

- 1) Der Basalt von der kleinen Kuppe dicht am Nordfusse des Grossen Auersbergs Sign. 805.
- 2) Der Basalt von der östlichen Kuppe des Grossen Nallen Sign. 767,0.
- 3) Der Basalt, welcher einen gratförmigen Gang zwischen Grosse und Kleinem Nallen bildet.

Auf den muscheligen Bruchflächen dieser sehr dichten Gesteine lassen sich nur vereinzelte Chrysolithkörner erkennen. Plattige Absonderung zeigt das schon sehr der Verwitterung anheimgefallene Gestein Nr. 3, welches auf einer Verwerfungsspalte im Wellenkalk zum Durchbruch gelangt ist.

Unter dem Mikroskop besteht die Grundmasse dieser einander sehr ähnlichen Gesteine aus einem äusserst feinkörnigen Gewirr von winzigen Plagioklasleistchen, Augitsäulchen und Magneteisenkörnchen, zwischen welchen in Nr. 1 und 2 ziemlich reichlich, in 3 dagegen spärlich im Innern zum Theil noch frische Chrysolith-, Krystalle und -Körner hervorleuchten. Auf verschwundene Hornblende deuten vereinzelte, unregelmässig rundliche Haufwerke, von Magneteisenkörnchen; sehr selten lassen sich in diesen, wie bei den Hornblendebasalten, ausserdem auch noch an den neu gebildeten Körpern Augite und besonders die charakteristischen dichroitischen Stäbchen beobachten.

Mit dem Buchonit von Poppenhausen hat das Gestein Nr. 3 auch nicht die geringste Aehnlichkeit.

Nach einer gütigen Mittheilung hat Herr Professor v. Sandberger sich bereits 1874 an Ort und Stelle von der Unrichtigkeit der Angabe Möhls überzeugt, welche ihn seinerzeit veranlasste¹⁾, von Buchonit an dieser Stelle zu sprechen.

4) Der Basalt von dem Gange am SW-Fusse des Dreistelz bei Brückenau.

Es findet sich hier, von dem die Kuppe bildenden Nephelinbasalt durch einen Wellenkalkstreifen getrennt, eine in mehreren Felsköpfen zu Tage anstehende Basaltmasse, welche unzweifelhaft mit einem sie theilweise überlagernden hornblendereichen Tuff in engster Beziehung steht, während auch die den Basalt unmittelbar allenthalben bedeckende Humusschicht reich an ausgewitterten, oft über 1 cm langen Hornblende-Krystallen und -Fragmenten ist.

Im Basalte selbst vermag man jedoch nur auf den (allerdings selten frisch zu erlangenden) Bruchflächen noch im Dünnschliffe dieses Mineral oder wenigstens Reste davon zu entdecken. Es erweist sich das Gestein als ein sehr feinkörniger Feldspathbasalt mit ziemlich wenig Chrysolith. Das beim Behandeln mit Salzsäure eintretende Gelatiniren möchte ich weniger einem versteckten Nephelingealt als vielmehr der Zersetzung in Zeolithe zuschreiben.

5) Der Basalt von dem Gange westlich von Reussendorf.

Dieser Gang tritt in einem Vorsprung, welchen das Dammersfeld in das kleine Sinnthal entsendet, zu Tage.

Das äusserst dichte Gestein ist schwarzgrau und hat muscheligen Bruch. Unter dem Mikroskop fällt das Vorhandensein einer braunen Glasbasis auf, welche sowohl gleichmässig vertheilt als Untergrund der krystallinisch ausgeschiedenen Bestandtheile der Grundmasse, des Augits und triklinen Feldspaths, als auch nesterweise und adernartig in grösseren Parthieen erscheint, welche häufig durch farblose Augitmikrolithe entglast sind. Noch sehr frische wasserhelle Krystallkörner von Chrysolith sind porphyrartig in der eine hübsche Stromstructur aufweisenden Grundmasse eingebettet; hier und da sind stark veränderte Hornblenden zu erkennen, bei welchen auch die dichroitischen Stäbchen in dem Gewirr von Magneteisenkörnchen u. s. w. manchmal noch deutlich hervortreten.

Als chrysolithfreie Gesteine sind noch anzuführen:

6) Der Basalt vom Stein Sign. 753 bei Altglashütte,

¹⁾ Vorläufige Bemerkungen über den Buchonit, eine Felsart aus der Gruppe der Nephelingeite. Sitz. Ber. d. math. phys. Classe der k. b. Academie der Wissenschaften 1872. S. 203.

7) Der Basalt vom Zornberg Sign. 843 bei Wildflecken.

Durch die graue Farbe, ausserordentlich dünnplattige Absonderung und den sehr flachmuscheligen Bruch unterscheiden diese Basalte sich von den übrigen schon im Handstücke so sehr, dass man sie leicht mit Phonolithen verwechseln könnte. Die Anwesenheit von Nephelin bekundet die deutliche Gallertbildung und Lösung von Kalk und Natron, welche beim Behandeln des Gesteinspulvers mit Salzsäure erfolgt.

Unter dem Mikroskop bietet sich bei Nr. 6 ein sehr feinkörniges Gewirr von prismatischen, schwach braun gefärbten Augitkryställchen dar, zwischen denen eine farblose, häufiger aber schon etwas getrübbte Basis, deren Polarisationserscheinungen und Verhalten gegen Salzsäure sie als Nephelin ansprechen lassen, und nicht sehr reichlich Feldspathleistchen auftreten. Sehr fein vertheiltes Magnet Eisen und vielfach gebildete Zersetzungsprodukte lassen die Grundmasse sehr dicht und nur an den Rändern des Präparats durchsichtig erscheinen. Formlose rothbraune Parthieen von Eisenoxydhydrat und rothe Eisenoxydblättchen rühren bei dem Mangel von Chrysolith wahrscheinlich von der Zersetzung des Augits her. Hin und wieder finden sich krystallähnlich begrenzte, äusserst dicke Haufwerke von Magnet Eisen, welche, obgleich sie sonst nichts von anderen Neubildungen erkennen lassen, sicher als umgewandelte Hornblenden zu deuten sind.

Im Gestein vom Zornberg, welches unter dem Mikroskop als eine etwas grobkörnige Modification des vorigen und durch das Vorwalten der Nephelinsubstanz im Allgemeinen etwas heller gefärbt erscheint, treten zu den bereits aufgezählten Gemengtheilen noch dick säulenförmige Krystalle eines schmutzig grauen Körpers, welche im Schlicke rechteckige und sechsseitige Querschnitte liefern. Der Vergleich mit den ganz ebenso aussehenden Apatiten der Phonolithe liess mich die anfängliche Ansicht, dass es sich um Nephelinkrystalle handle, als irrig erkennen, und die starke Reaction auf Phosphorsäure bestätigte dies auch.

Die Mineralcombination Augit - Plagioklas - Nephelin würde den Namen Tephrit allerdings rechtfertigen. Wenn ich auch denselben hier anzuwenden noch Bedenken trage, so möchte ich doch darauf hinweisen, dass hier offenbar Gesteine vorliegen, welche sich sowohl durch das Fehlen von Chrysolith als auch durch ihre Structurverhältnisse sehr wesentlich von den übrigen Nephelin-Plagioklas-Basalten der südlichen Rhön unterscheiden.

Was die Art und Weise des Auftretens der Hornblende-basalte anlangt, so haben schon *v. Sandberger* und *Sommerlad* die Beobachtung gemacht, dass dieselben mit auffallender Regelmässigkeit immer nur kleine Kuppchen und Kegel — man könnte sie parasitisch nennen, wäre damit nicht ein genetischer Nebengriff verknüpft, welcher hier ausgeschlossen ist — in der Umgebung von grösseren, aus dichtem hornblendefreiem Basalt bestehenden Kuppen bilden. So die Vorkommen am Nordfusse des Grossen Nallen und am Bremerkopf, die kleinen Gänge bei Sparbrod und am I. Pilsterkopf, während allerdings Simmetsberg (und Teufelsberg) bedeutendere Eruptionspunkte von Hornblendebasalt darstellen.

C. Die Dolerite.

Unter echten Doleriten verstehe ich nach *v. Sandberger's* Definition Gesteine, welche neben Plagioklas und Augit Titaneisen als vollständigen oder wenigstens sehr vorwiegenden Vertreter des Magneteisens und in wechselnder Menge Chrysolith enthalten.

Während diese Dolerite auf der sog. Breitfirst zwischen Vogelsberg und Rhön und auch bei Schwarzenfels nahe der preussisch-bayerischen Grenze ein ansehnliches Areal einnehmen, treten sie im Untersuchungsgebiete, soweit mir bekannt¹⁾, nur an zwei, räumlich von einander sehr entfernten Punkten auf, nämlich:

- 1) Am Windbühl Sign. 480 südlich von Zeitlofs.
- 2) Auf dem Plateau des Strutberges Sign. 726 bei Oberelzbach.

In ihrer Beschaffenheit stimmen, wie ich schon früher bemerkte, diese Gesteine vollständig mit den mittelkörnigen Varietäten der oben genannten Gebiete überein, welche durch *v. Sandberger*²⁾ und *Knapp*³⁾ bereits zum Gegenstand ausführlicher Untersuchungen gemacht worden sind.

¹⁾ Ob der von *Proescholdt*, Geol. und petrogr. Beitr. z. Kenntn. d. Langen Rhön. Jahrb. d. k. pr. geol. Landesanstalt 1884, S. 252 aus der Nähe des Rothkuppels bei Roth erwähnte „Plagioklasdolerit“ hieher gehört, vermag ich nicht zu sagen. Da jedoch *Proescholdt* blos von Magneteisen spricht, scheint es nicht der Fall zu sein. Ich selbst habe an der bezeichneten Localität ein derartiges Gestein nicht gefunden und bedauere, zu spät in den Besitz obiger Abhandlung gelangt zu sein, um mich nochmals an Ort und Stelle überzeugen zu können.

²⁾ Ueber Dolerit. Sitz. Ber. d. math. phys. Classe der k. b. Academie der Wissenschaften 1873 S. 140.

³⁾ Die doleritischen Gesteine des Frauenberges bei Schlüchtern in Hessen. Inaugural-Dissertation. Würzburg 1880.

Die hier zu besprechenden Dolerite sind von schwarzgrüner Farbe, besitzen muscheligen Bruch und finden sich sowohl ganz frisch als auch — besonders instructiv am Windbühl — in verschiedenen Stadien der Verwitterung.

Die Structur ist ausgezeichnet körnig, am Strutberg etwas gröber und mit der Lupe erkennt man unschwer, dass die wohl ausgebildeten Leisten des triklinen Feldspaths im Verein mit den stahlblau glänzenden Titaneisenblättchen den frischen Gesteinen das prächtige vollkrystalline Aussehen verleihen.

Bei der Verwitterung wird die Farbe anfangs dunkelgrau und geht dann in ein helles Grau über, während gleichzeitig die Chrysolithe auswittern und die dadurch entstehenden Hohlräume dem Gestein ein poröses Aussehen verleihen. Die Chrysolithe entziehen sich im Handstück einmal wegen ihrer Kleinheit und geringen Betheiligung, andererseits aber auch aus dem Grunde der Beobachtung, weil sie immer nur dunkelgrüne Umwandlungsprodukte liefern und deshalb niemals, wie so häufig im dichten Basaltgestein, als gelbliche Körner aus der Grundmasse hervortreten.

Um so besser lassen sich aber im verwitterten Dolerit die Titaneisenblättchen erkennen, welche der zersetzenden Wirkung der Atmosphäre offenbar energischen Widerstand entgegen zu setzen vermögen. Auch die Feldspathe erscheinen wenig oder gar nicht getrübt und bei den grösseren derselben ist selbst die Viellingsstreifung noch deutlich zu erkennen.

Im Dünnschliffe fällt natürlich zunächst dieser Bestandtheil in die Augen. Stets noch sehr frisch zeigen die Plagioklase schon im gewöhnlichen Lichte die charakteristische Streifung, welche bei den etwas grösseren Krystallen des Gesteins vom Strutberge im polarisirten Lichte die bekannten prachtvollen Farbeffecte hervorruft; die kleinen Plagioklase lassen diese dagegen vermissen, sie zeigen in der Mitte gewöhnlich nur einige hell- und dunkelblaue Linien, während die Ränder von zwei breiteren, gleichheitlich orientirten Krystallhälften gebildet werden.

Der Mangel an Einschlüssen, sowie die meist allseitig scharfe Begrenzung berechtigt wohl zu der Annahme, dass die Plagioklase die ersten Erstarrungsprodukte des doleritischen Magmas darstellen. Bemerkenswerth ist noch die eigenthümlich fingerförmige Anordnung, welche mehrere von einem Punkte ausstrahlende Individuen häufig beobachten lassen.

Was das chemische Verhalten des Feldspaths betrifft, so

lässt die Anwendung heisser Salzsäure bei dünnen Splittern nur eine sehr geringe Einwirkung constatiren; stärker ist dieselbe jedoch beim Kochen des nicht allzu feinkörnigen Pulvers, nach welchem unter dem Mikroskop die vorher schön gefärbten Feldspath-partikelchen stark getrübt und kaum wieder zu erkennen waren.

Dr. *Petersen's* Analyse eines derartigen Feldspathes aus einem Dolerite des Frauenberges führte auf die Formel des Andesins¹⁾; es muss weiteren Untersuchungen vorbehalten bleiben, zu entscheiden, ob auch der Plagioklas unserer Dolerite mit jenem identisch ist. Das Verhalten gegen Salzsäure spricht jedenfalls sehr dafür.

Dem Feldspath an Menge nicht nachstehend, aber niemals so gut individualisirt, tritt Augit auf. Zwischen die Feldspathe eingedrängt, hat dieser Gemengtheil augenscheinlich nur sehr unvollkommen Gelegenheit zu freier Formentwicklung gefunden; manchmal ist er beinahe farblos, meist jedoch hellbraun mit einem Stich in's Grüne und in den centralen Theilen mit mannigfachen Einschlüssen versehen. Immer sind die Augite von zahlreichen unregelmässigen Sprüngen durchzogen, welche im Verein mit den je nach der Lage entweder einfach parallelen oder sich rechtwinkelig kreuzenden Spaltrissen denselben das Aussehen von förmlichen Körneraggregaten verleihen.

Als ein weiterer Bestandtheil der Grundmasse — eine Bezeichnung, welche insoferne kaum unberechtigt erscheint, als ja im Gegensatze dazu porphyrtartige Einsprenglinge den Doleriten vollständig fehlen — tritt schmutzig braunes körniges Glas zwischen Feldspath und Augit eingedrängt auf. Kleine Gasporen und winzige Trichite sind die Einschlüsse, welche dicht gehäuft diesen im Gestein nicht sehr reichlich vorhandenen Glasparthieen das trübe Aussehen verleihen.

Im Verhalten gegen Salzsäure zeigt dieses Glas jenem der basaltischen Gesteine gegenüber eine wesentliche Verschiedenheit. Denn während letzteres, wie oben mehrfach hervorgehoben wurde, durch die Säure vollkommen zersetzbar ist, lässt das Glas der Dolerite nicht die geringste Wirkung auch bei intensiver Behandlung erkennen und erweist sich somit als von viel kiesel-säurereicherer Mischung.

Die Betheiligung des Chrysoliths ist im Allgemeinen eine

¹⁾ Sitz. Ber. d. math. phys. Cl. der k. b. Academie der Wissenschaften 1873 S. 145.

geringe; ganz fehlt er jedoch nie. Er tritt weniger in scharf begrenzten Krystallen als vielmehr in rundlichen, theils farblosen, theils grünlichen Körnern auf, die sich im frischen Zustande sowohl durch ihre lebhaften Polarisationsfarben als auch durch die auf den Sprüngen angesetzten dunkelgrünen faserigen Umwandlungsprodukte gut von den, wie gesagt mitunter auch farblosen, aber doch immer wenigstens eine Spaltbarkeit aufweisenden Augiten unterscheiden. Die fremden Einschlüsse der Chrysolithe sind auf wenige Picotit- und Magnet-eisenoctaederchen beschränkt.

Ueber die Umwandlungserscheinungen berichtet *Knapp* ausführlich; wie in den meisten von ihm beschriebenen Doleriten scheint auch bei den Gesteinen vom Windbühl und vom Strutberg der graugrüne undurchsichtige *Nigrescit* das Endprodukt der Verwitterung des Chrysoliths zu sein.

Im Verein mit den Plagioklasleisten bedingen die eigenthümlichen, wie zerhackt aussehenden Formen des Titaneisens die charakteristische Structur der Dolerite. Im Schlicke zeigen die stahlblauen, metallisch glänzenden Blättchen dieses Minerals die mannigfachste Lage; bald — im Querschnitt — erscheinen sie als dünne Stäbchen, die oft über das ganze Gesichtsfeld reichen, bald treten sie — in mehr horizontaler Lage — als rhomboedrisch begrenzte Erzparthieen auf.

In den vorliegenden Gesteinen vom Strutberg und vom Windbühl erscheint das Titaneisen selbst in den dünnsten Blättchen stets völlig undurchsichtig. Als ein allgemein gültiges Erkennungszeichen für das Titaneisen kann somit die in anderen Gesteinen angeblich beobachtete theilweise Durchsichtigkeit nicht anerkannt werden.¹⁾

Bei Abblendung des durchfallenden Lichtes, sowie geeigneter Drehung des Objecttisches zeigen die Titaneisenblättchen auf ihrer Oberfläche sehr häufig zarte Liniensysteme, welche wohl als die Negative von unmittelbar daran gelegenen, beim Schleifen verloren gegangenen gestreiften Plagioklasleisten zu betrachten sind.

Besonders interessant und in den Gesteinen der Breitfirst noch nicht beobachtet ist die beginnende Umwandlung des Titaneisens vom Strutberg in eine matt weissliche Substanz (d. h. Titanit). Es ist nicht zu bezweifeln, dass hier derselbe Umwandlungsprozess

¹⁾ *B. Doss*, Die basaltischen Laven und Tuffe der Provinz Haurân und vom Direct et-Tulâl in Syrien. Mineralog und petrogr. Mitth. VII. 1886 S. 501.

vorliegt, wie er in den älteren Diabasen und Kersantiten von ähnlicher Zusammensetzung eine ganz gewöhnliche Erscheinung ist.

Im Gegensatze zum Titaneisen treten Octaeder und rundliche Körner von Magneteisen in den Doleriten vom Strutberg und vom Windbühl nur sehr vereinzelt auf. Der Hauptsache nach, ich möchte fast sagen ausschliesslich, sind sie secundärer Natur und rühren von der Zersetzung der Chrysolithen her, wie die Beschränkung solch' kleiner Kryställchen auf die grün gewordenen Parthieen beweist.

Im Anschlusse an seine Untersuchungen über die Dolerite des Frauenbergs hat Dr. *F. Knapp* auch den Dolerit vom Windbühl einer quantitativen Analyse unterworfen. Dieselbe ergab:

SiO ₂	=	50,75
TiO ₂	=	1,26
Al ₂ O ₃	=	14,15
Fe ₂ O ₃	=	8,28
FeO	=	4,58
CaO	=	7,72
MgO	=	6,61
K ₂ O	=	1,18
Na ₂ O	=	2,67
P ₂ O ₅	=	1,52
H ₂ O	=	1,03
CO ₂	=	0,97
		<hr/>
		100,72

Qualitativ wurde ferner nachgewiesen:

As, Cu, Mn, Co, Ni, Ba, Cl.

Der Sauerstoffquotient beträgt 0,5744.

Das spec. Gewicht = 2,843 bei 4° C.

Am Windbühl bildet der Dolerit eine von N nach S langgestreckte kleine Kuppe von der Sargform, wie sie *v. Sandberger* als charakteristisch für die Dolerite von der Breitfirst und besonders für die Gegend von Oberzell beschreibt.

Die kleinen Kuppchen am Strutberg scheinen mehreren rasch auf einander gefolgtten Eruptionen ihr Dasein zu verdanken. Leider war es mir nicht möglich, mich nochmals genauer von den Lagerungsverhältnissen daselbst zu überzeugen und insbesondere das relative Alter der Dolerite den benachbarten Ba-

salten gegenüber festzustellen; mit allem Vorbehalte möchte ich nur bemerken, dass mir beim ersten Besuche der Dolerit als das jüngere Gestein erschien.

Ein diesen Doleriten ziemlich nahe stehendes Gestein findet sich als räumlich beschränkter Durchbruch durch den S. 55 erwähnten Nephelinbasalt „am Thürmlein“ nördlich von Bischofsheim.

Auf der frischen, dunkelgrün mit einem Stich ins Bräunliche gefärbten Bruchfläche zeigt das Gestein ein schön krystallines Aussehen. Dünne Splitter, längere Zeit mit Salzsäure geätzt, werden hellgrau und porös, die dann besser hervortretenden Feldspathe erweisen sich als wenig angegriffen.

Unter dem Mikroskop besteht die Grundmasse aus einem sehr lichten Gemenge von triklinem Feldspath, der in der gewöhnlichen leistenförmigen Gestalt häufig eine hübsche Stromstructur bewirkt, und sehr kleinen, niemals krystallographisch gut ausgebildeten Augitkörnchen von hellgrüner Farbe. Dazwischen lässt sich eine farblose mitunter sehr schwach lichtbrechende Basis in geringer Menge, sowie verhältnissmässig nicht gar selten Sanidin beobachten.

Der letztere unterscheidet sich von dem triklinen Feldspath durch eine mehr tafelartige Ausbildung. Die Polarisationsfarben sind nicht sehr lebhaft, die Krystalle selten scharf begrenzt, von zahlreichen Rissen durchkreuzt und manchmal zu Zwillingen nach dem Karlsbader Gesetze verwachsen. Bei der Behandlung des groben Pulvers mit kochender Salzsäure zeigen die Sanidinfragmente natürlich keine Veränderung, während jene des Plagioklases mehr oder weniger getrübt erscheinen.

Der Chrysolith ist sehr reichlich in kleinen, oft Krystallflächen aufweisenden Körnern vorhanden und befindet sich in einem ziemlich vorgeschrittenen Zersetzungsstadium in grünliche Substanzen und Nigrescit. Die Umwandlungsprodukte sind nicht mehr auf den Raum der Chrysolithe allein beschränkt, sondern sie haben die Grundmasse förmlich durchtränkt und sich auf feinen Spalten abgesetzt. Die stabförmigen und blättchenartigen schwarzen undurchsichtigen Partikel, welche nur einer sehr energischen Einwirkung von heisser Salzsäure weichen, sind von dem Titan-eisen der Dolerite nicht zu unterscheiden und demgemäss als solches zu betrachten. Bei horizontaler Lage zeigen die Blättchen, so-

fern sie nicht gerade von der Schlifffläche getroffen sind, auch den eigenthümlichen stahlblauen Glanz des Titaneisens.

In deutlichen und wohl ausgebildeten grösseren Octaedern kommt auch Magneteisen und zwar sehr reichlich vor. Es ist dies ein Gegensatz zu den Doleriten, den ich besonders hervorheben möchte.

D. Die vulkanischen Trümmergesteine.

Dieselben sind sowohl in Form von geschichteten Tuffen als auch von sog. Schlackenagglomeraten entwickelt.

Die ersteren beschränken sich im Untersuchungsgebiete, soweit meine Beobachtungen reichen, ausschliesslich auf den nordöstlichen Theil der (bayerischen) Langen Rhön und stehen hier, wie die Seite 23 und 24 mitgetheilten Profile darthun, in engster Beziehung zu den tertiären Braunkohlenablagerungen.

Es ist meist sehr feines Zerstäubungsmaterial, theils grau, theils braun, mitunter auch roth von Farbe, in welchem sich massenhaft kleine Augitkryställchen, Glasfragmente und Feldspathpartikelchen, kurz die Bestandtheile eines dichten Basalts im losen Zustande finden. Kleine Bröckchen von sehr porösem Gestein bilden zuweilen dünne Zwischenlagen. Die Zersetzung zu kohlensauren Salzen ist häufig schon so weit vorgeschritten, dass kleine Proben mit Salzsäure ein lebhaftes Aufbrausen zeigen.

Es ist oft recht schwierig, derartige Tuffbildungen von dem Schutt und Grus, welcher bei gänzlicher Verwitterung von Basaltströmen resultirt, scharf abzutrennen. So findet sich am Kreuzberg nordöstlich vom Kloster, in gleicher Höhe mit diesem, ein hochrother Tuff, dessen Farbe nach unten an Intensität merklich verliert und in welchem neben schlackigen Basaltbröckchen sich bis hühnereigrosse Knollen von weisser Farbe und erdiger Beschaffenheit vorfinden. Bei näherer Untersuchung ergab sich, dass dieselben zum grössten Theil aus phosphorsaurem Kalk bestanden, welchem kleine Mengen von Kaolin und kohlensaurem Kalk beigemengt waren. Besonders interessant ist die starke Reaction auf Jod, welche beim Erhitzen mit concentrirter Schwefelsäure beobachtet werden kann.¹⁾

¹⁾ Vergl. v. Sandberger N. Jahrb. f. Min. 1887 Bd. I S. 95.

Es unterliegt keinem Zweifel, dass diese Osteolithknollen Concretionen darstellen, welche von der Zersetzung des Apatits, welcher, wie sich aus der Schlämmanalyse ergibt, sehr lange der Verwitterung zu widerstehen vermag, herrühren. Genetisch entsprechen dieselben also genau den Phosphoriten in den zersetzten Diabasen Nassau's und Hessen's; dagegen ist an eine technische Verwerthbarkeit bezw. rentable Ausnützung dieses Mineralvorkommens wegen zu geringer Menge wohl kaum zu denken.

Weiter verbreitet sind die Ablagerungen von grobem ungeschichtetem Auswurfsmaterial, die Schlackenagglomerate, welche mitunter aber auch derart verfestigt sind, dass sie förmliche Breccien darstellen. Sie umgeben ringförmig einzelne Eruptionspunkte in einer Weise, welche den Gedanken an Reste ehemaliger Kraterwände naheliegend erscheinen lässt.

Als ein Beispiel hiezu möchte ich den zierlichen Rodenbacher Küppel anführen, welcher sich südlich von Gersfeld aus dem Röthplateau bezw. einer Wellenkalkscholle erhebend, in seiner unteren Hälfte von einem solchen Schuttmantel beinahe ringsum bedeckt ist. Theils lose, theils verkittet liegen in demselben neben Basaltbrocken massenhaft Bruchstücke von durchbrochenem Gestein, von Granit, Gneiss und anderen Fremdlingen, auf welche später zurückzukommen sein wird.

Auch am Rabenstein findet sich ein derartiges Conglomerat, welches, wie schon *v. Sandberger* hervorgehoben hat, sehr den Eindruck eines Schuttkegels macht.

Von den zahlreichen Vorkommen der Gegend von Oberelzbach-Fladungen ganz abgesehen, treten solche Ablagerungen noch am Rössberg, am Rückenstein, am Westabhange der Schwarzen Berge, am Bühlberg in ziemlich bedeutender Entwicklung auf.

Die Breccien vom Silberhof (an der Westseite des Grossen Auersbergs), sowie östlich von den Schildeckhöfen (zwischen Römershag und Geroda) weisen die Eigenthümlichkeit auf, dass sie, obwohl unmittelbar auf Röth lagernd, doch massenhaft Bruchstücke von Wellenkalk¹⁾ führen.

Die Erklärung für diese Thatsache ist hier offenbar in der Wucht zu suchen, mit welcher vom nächstgelegenen Eruptionspunkte (im ersten Fall der Grosse Auersberg, im zweiten die

¹⁾ Kalke aus der Zechsteingruppe, welche allenfalls noch in Frage kommen könnten, sind bei dem minimalen Magnesiumgehalte ausgeschlossen.

Gross Schildeckkuppe) aus Fragmente des dort anstehenden Wellenkalkes beim Ausbruche abgerissen, auf beträchtliche Entfernungen fortgeschleudert und schliesslich auf dem offenbar damals schon durch Abwaschung freigelegten Röth abgelagert wurden.

Durch ein gelbweisses oder bräunliches Bindemittel, dem Bol vom Sodenberge sehr ähnlich, ist der undeutlich geschichtete Tuff am Südwestfusse des Dreistelz zu einer Breccie verfestigt; derselbe zeichnet sich durch auffallend viele Hornblendekrystalle aus.

Ob seines ausserordentlichen Reichthums an fremden Gesteinsbruchstücken ist endlich noch das Schlackenagglomerat von dem Nordabhang des Kreuzbergs zu erwähnen. Neben der massenhaften Granit-, Gneiss-, Buntsandstein- etc. Fragmenten sind besonders zahlreiche Olivinfelsbrocken, sowie grosse isolirte Chromdiopside von Interesse. Die letzteren sind stets von einer einige Millimeter dicken Schmelzrinde überzogen, welche der Einwirkung der Verwitterung offenbar weniger zu widerstehen vermag als das frische Mineral und deshalb meist durch Auslaugung des Eisens eine hellgraue Farbe und fein poröse Beschaffenheit aufweist. In den Fällen, wo diese Rinde ganz weggeführt worden ist, zeigen die freigelegten Flächen der Diopside eine höchst interessante Beschaffenheit; sie erscheinen nämlich rauh und gestreift. Bei näherem Zusehen gewahrt man, dass diese scheinbare Streifung durch zahllose neu gebildete Kryställchen hervorgerufen wird, welche bei völlig gleichheitlicher Orientirung und ziemlicher Längenerstreckung die dem Diopsid eigenthümliche vorherrschende Ausbildung der Fläche $\infty P \infty$, sowie an den Enden oP und ein Doma $m P \infty$ beobachten lassen.

Es liegt hier offenbar eine merkwürdige Schmelzwirkung zu Grunde, welche man sich vielleicht in der Weise vorstellen darf, dass die in Folge der Schmelzung in ihren physikalischen (und wahrscheinlich auch chemischen) Eigenschaften veränderte Rindenschicht durch schlechte Wärmeleitung eine langsame Erstarrung der mehr nach dem Innern zu gelegenen Theile und zugleich ein Wiederkrystallisiren in den dem Diopsid charakteristischen Formen ermöglichte¹⁾.

¹⁾ Ganz dasselbe Verhalten zeigt bekanntlich auch der sehr leicht schmelzbare Pyromorphit, dessen Oberfläche beim Erkalten sich mit zahlreichen säulenförmigen Kryställchen bedeckt.

Herrn Professor *v. Sandberger*, welcher so gütig war, meine besondere Aufmerksamkeit auf diese Erscheinung zu lenken, ist dieselbe bereits vor Jahren nicht nur am Kreuzberge in der Rhön aufgefallen, sondern auch an Diopsidfragmenten, welche er in einem Basalttuffe von Mauenheim in der Gegend von Engen (Hegau) sammelte und mir zur Vergleichung freundlichst überliess.

Die an Chromdiopsiden hier und da beobachtete Spaltbarkeit nach $\infty P \infty$ ist stets vollständig verschwunden, auch die prismatische ist mehr oder weniger durch den muscheligen Bruch unendlich geworden.

Zum Vergleich mit den Chromdiopsiden aus Olivinfels anderer Localitäten war es von Interesse, die chemische Zusammensetzung zu ermitteln. Zu diesem Zwecke wurden ganz frische Splitterchen ausgelesen, mit verdünnter Salzsäure von den daran haftenden Carbonat- und Eisenhydroxydüberzügen befreit und zur Analyse verwendet. Dieselbe ergab:

SiO ₂	=	54,50
Al ₂ O ₃	=	6,46
Cr ₂ O ₃	=	1,98
FeO	=	4,00
MnO	=	0,70
CaO	=	17,87
BaO	=	0,23
MgO	=	14,58
		<hr/>
		100,32.

Das specifische Gew. = 3,300.

E. Fremde Einschlüsse.

Haben schon bei der Betrachtung der vulkanischen Tuffe die zahlreichen Trümmer fremdartiger, im Rhöngebiete nirgends zu Tage anstehender Felsarten unser Interesse erregt, so ist dies um so mehr der Fall an jenen Punkten, wo sich diese Bruchstücke im dichten Basalt eingeschlossen finden und auf diese Weise der Weg, auf welchem sie an die Erdoberfläche gelangt sind, unzweifelhaft erkennbar ist.

Solcher Punkte sind es im Untersuchungsgebiete allerdings nicht sehr viele, doch haben diese insofern manches Gemein-

same, als es nämlich schmale Gänge oder sehr kleine Kuppen sind, deren äusserst feinkörniges Gestein in mehr oder weniger reichlichem Maasse Glas führt; es lässt sich hieraus mit einem hohen Grade von Wahrscheinlichkeit der Schluss auf eine sehr rasche Erstarrung und dadurch verminderte Einschmelzungsfähigkeit des Magmas ziehen. Wir verdanken diesem Umstande die Conservirung jener Gesteinsproben, welche so überaus wichtige Folgerungen auf die geologischen Verhältnisse der Tiefe gestatten.

In dieser Beziehung liefern ergiebige Ausbeute: der Sodenberg, Büchlberg, Dreistelz, Pilsterstein bei Kotheln, der Maria Ehrenberg, die Ottersteine, der Ressenberg, Arnsherg, der Rodenbacher Küppel, Schwarzenberg Südhang von Sign. 825 (Nephelinbasalte No. 31), sowie mehrere Punkte der Langen Rhön.

Die Contactwirkung des basaltischen Magmas äusserst sich am stärksten bei den glimmerführenden sauren Gesteinen, also den Graniten und Gneissen, indem hier der Glimmer stets eine vollständige Schmelzung erfahren hat. Der Orthoklas hat sich stark getrübt und an den randlichen Parthieen, wo Quarzkörner direkt mit dem Magma in Berührung kamen, findet sich der bouteillenglasfarbige grüne Saum von Augitnadelchen, auf welchen später zurückzukommen Gelegenheit sein wird.

Soweit meine Beobachtungen reichen, scheinen bis jetzt nur Quarz-Orthoklas-Gesteine mit einem — und zwar eisenreichen dunklen — Glimmer als Einschlüsse aus der südlichen Rhön bekannt geworden zu sein; weiter nördlich, so besonders in den hoch interessanten Tuffablagerungen von Schackau kommen indessen wie auf der Breitfirst auch zahlreiche Bruchstücke von ein- und zweiglimmerigen Gneissen und Glimmerschiefern vor.

Einen sehr merkwürdigen Graniteinschluss fand ich im Glasbasalte des Sodenbergs. Ihm fehlt der Augitsaum vollständig; dagegen besitzt er bei scharfer Abgrenzung gegen die umhüllende Gesteinsmasse ähnlich wie ein Flussgeröll abgerundete Kanten und ist von einer dünnen gelben Ockerschicht überzogen. Mit Tertiärgeröllen der Rhön hat das Stück keine Aehnlichkeit; sollte es sich vielleicht um ein Conglomerat aus dem Rothliegenden handeln?

Von echten Hornblendeschiefern hat sich nur ein Bruchstück in dem Basalt vom Südhang der Schwarzen Berge Sign. 825 (Nephelinbasalte No. 31) vorgefunden. Es besteht aus strahliger, in Splittern braungrün durchscheinender Hornblende, welche in

den peripherischen Theilen des Einschlusses ähnliche Einschmelzungserscheinungen zeigt, wie sie ausführlich bei den Hornblende-basalten geschildert wurden. Sehr häufig sind dagegen grosse, oft mehrere Centimeter im Durchmesser aufweisende isolirte Bruchstücke dieses Minerals von meist elliptischer Form. Auf den Spaltungsflächen findet man nicht selten einen weissen feinkrystallinischen Ueberzug, welcher durch Salzsäure nur zum Theil angegriffen wird, wobei etwas Kalk in Lösung geht, von Flusssäure jedoch völlig zersetzt wird und deutliche Reactionen auf Thonerde und Kalium gibt. Solche Hornblenden finden sich besonders zahlreich in dem Nephelinbasalt vom Maria Ehrenberg (No. 15), vom Arnsberg (No. 1) und auch an anderen Punkten.

Sogenannter muscheliger Augit tritt sowohl selbstständig in bis zu nussgrossen Individuen, als auch in Verbindung mit einer sehr merkwürdigen Mineralcombination: Titaneisen und Apatit auf (im Basalte vom Südhang des Schwarzenbergs Sign. 825 No. 31). Er ist stets von tiefschwarzer Farbe, zeigt starken Glanz und den charakteristischen Bruch; vor dem Löthrohr schmilzt er ruhig zu einem braunschwarzen Glase. Das schlackige Titaneisen besitzt ebenfalls muscheligen Bruch und einen violetschwarzen Metallglanz; es ist nur schwer durch Behandlung mit heisser Salzsäure zu zersetzen, wobei stets ein skelettartiger Rückstand bleibt, welcher nach dem Auswaschen der in Lösung gegangenen Titansäure für sich in der Perle noch eine schwache Titanreaction gibt. Was endlich den Apatit anlangt, so gleicht er auf's Täuschendste der „Elaelolith“ genannten Varietät des Nephelins. Violet- oder blaugraue sechsseitige Säulchen von über 1,5 cm Länge und mitunter bis 5 mm Dicke bildend, zeigt er charakteristischen Fettglanz und eine undeutliche basische Spaltbarkeit. Mit Salzsäure zersetzt er sich natürlich vollständig; die starke Reaction auf Phosphorsäure belehrte mich erst über die wahre Natur des Minerals. Dasselbe Gemenge hat Herr Professor v. Sandberger¹⁾ im Basalt von Naurod gefunden und war so gütig, mir die wirkliche Identität beider Vorkommen zu bestätigen.

Von Augit-Plagioklas-Gesteinen tritt mit auffallend gleichbleibendem Habitus ein etwas Olivin führender Gabbro in den

¹⁾ Ueber den Basalt von Naurod bei Wiesbaden und seine Einschlüsse. Jahrb. k. k. geol. Reichsanstalt 1883. 33. Band 1. Heft S. 54.

Schwarzen Bergen am Bühlberg, am Pilster bei Kothen, am Silberhof, Kreuzberg und an der kleinen Kuppe im Guckassattel unterhalb des Kellersteins auf.

Der Diallag ist unter dem Mikroskop mit brauner oder schmutzig grüner Farbe durchsichtig und weist in zahlreichen, durch die ganzen Körnchen parallel verlaufenden Rissen die orthodiagonale Spaltbarkeit auf; unregelmässig, meist bogenförmig angeordnete Reihen von Gasporen wie Glaseinschlüssen sind hier und in den Plagioklasen sicher secundären Ursprungs. Der bläuliche Plagioklas ist in den meisten Stücken noch sehr frisch und zeigt schon dem blossen Auge die Viellingsstreifung, während er unter dem Mikroskop wasserklar erscheint und im polarisirten Lichte prächtige Farbenwirkung hervorruft. Sein Verhalten gegen Salzsäure, von welcher das Pulver vollständig zersetzt wird und wobei relativ viel Kalk in Lösung geht, deutet auf Labradorit, der ja der gewöhnliche Plagioklas der Gabbros ist.

Von ähnlicher Zusammensetzung scheinen die oft wallnussgrossen Bruchstücke von triklinem Feldspath zu sein, welche sich isolirt häufig in den Basalten des Rodenbacher Küppels bei Gersfeld finden. Dem spez. Gewicht = 2,733 gemäss entspricht er ebenfalls dem Labradorit, während ein trikliner Feldspath aus dem Basalte des Pilstersteins bei Kothen nach Herrn Prof. v. Sandberger's gütiger Mittheilung sich als ein Andesin erwies.

Die auch in den Rhönbasalten ausserordentlich häufig auftretenden Einschlüsse von Olivinfels sind schon vielfach Gegenstand von so eingehenden Untersuchungen gewesen, dass es im Rahmen dieser kleinen Arbeit kaum möglich ist, auf diese in der letzten Zeit ihrer Entscheidung wesentlich näher gerückte Frage tiefer einzugehen.

Ich möchte nur auf einige Punkte verweisen, an welchen sie sowohl durch ihr massenhaftes Auftreten, als auch besonders durch scharfkantige polyedrische Formen ihren fragmentaren Charakter deutlich verrathen. Es sind dies die kleine Kuppen oder Gänge bildenden Basalte vom Bühlberg, Sodenberg, Kellerstein, vom Guckassattel, vom Arnsberg, Rodenbacher Küppel, von der Köthtrift bei Motten, sowie von den Ottersteinen, welche mit Ausnahme des letzteren sämmtlich sehr feinkörnige glasreiche Gesteine darstellen, deren rasche Erstarrung einerseits

die Einschmelzung der übrigen fremden Felsarten, andererseits die Zertrümmerung der Olivinfelsbruchstücke verhinderte.

Die Zusammensetzung ist die gewöhnliche, bald wiegt jedoch Olivin vor, bald Chromdiopsid; Bronzit tritt stets anderen Vorkommen gegenüber sehr zurück.

Der Olivin ist kalkreich und steht vielleicht dem Monticellit schon sehr nahe. Er ist, wie schon *Bleibtreu*¹⁾ hervorhebt, im Gegensatz zu dem aus dem Basalt abgeschiedenen sehr arm an Picotiteinschlüssen und enthält gleich den übrigen Gemengtheilen nur zahlreiche Bläschenreihen, theils mit, theils ohne Libelle, welche sicher als eine Contactwirkung des gluthflüssigen Magmas zu erklären sind. Der Chromdiopsid bildet nächst dem Olivin stets den am reichlichsten vorhandenen Bestandtheil. Seine Grösse ist eine sehr wechselnde; im Basalte des Arnbergs sind Bruchstücke von Eigrösse gerade so wie in dem Schlackenagglomerat am Kreuzberg nicht selten. Ueber seine chemischen und physikalischen Eigenschaften habe ich das Nähere S. 96 mitgetheilt. Bronzit²⁾ findet sich meist nur in kleinen, auf dem Bruche stark glänzenden Körnchen und lässt sich mit der Lupe besser erkennen, als im Dünnschliff unter dem Mikroskop. Ferner lassen sich jene zahllosen Sprünge beobachten, welche die Bronzitindividuen regellos durchkreuzen; eine deutliche Spaltbarkeit jedoch erscheint sehr selten. Grünliche, parallel gelagerte Stäbchen sind die einzigen Einlagerungen, welche ich häufiger beobachten konnte. Picotit endlich tritt nur in sehr vereinzelt Octaedern mit abgerundeten Kanten auf; er ist stets braun durchsichtig und auf Bronzit und Olivin beschränkt oder zwischen diesen Gemengtheilen eingeklemmt, während er dem Chromdiopsid zu fehlen scheint.

Es ist erklärlich, dass die grösste Zahl von Einschlüssen in den Basalten jenen Gesteinen angehört, welche wir heute als das unmittelbare Nebengestein derselben finden. So sind es zunächst die massenhaften Buntsandsteineinschlüsse, welche nicht allein wegen ihrer oft recht beträchtlichen Grösse, sondern

1) Beiträge zur Kenntniss der Einschlüsse in Basalten mit besonderer Berücksichtigung der Olivinfelseinschlüsse. Zeitschr. d. d. g. Ges. 1883 S. 508; vergl. auch A. Becker, Schmelzversuche mit Pyroxenen und Amphibolen und Bemerkungen über Olivinknollen. Ebenda 1885. S. 10.

2) Vergl. F. Becke. Ueber die Unterscheidung von Augit und Bronzit in Dünnschliffen. Mineralog u. petrogr. Mitth. V 1882. S. 527.

namentlich wegen der interessanten Contacterscheinungen¹⁾, welche sie aufweisen, die Aufmerksamkeit erregen. Sie sind sämmtlich gegen die umgebende Basaltmasse von einem mehr oder weniger breiten glasigen Rande von tief dunkelgrüner Farbe abgegrenzt, welcher bei grösseren Dimensionen der Einschlüsse mitunter auch in dünnen Adern sich im Innern fortsetzt. (Sodenberg).

Die Zertrümmerung der Sandsteinstücke ist jedoch manchmal bis zu einer vollständigen Auflösung in die einzelnen Quarzkörner vorgeschritten und diese letzteren zeigen dann im Kleinen dieselbe Verglasungserscheinung, wie die Gesteinsfragmente.

Während nämlich die centralen Parthieen der Quarzkörnchen noch hell, aber einfach brechend, also ihrer krystallinischen Eigenschaft schon beraubt erscheinen, gehen sie nach aussen in eine dunkle, meist bräunlichgrüne Zone über, welche durch zahlreiche, meist farblose oder licht grüne, nach der Mitte des Quarzkorns convergirende Augitkryställchen entglast ist.

Im Basalt vom Silberhof (N. B. No. 54 S. 59), wie in dem vom Guckassattel (Gl. B. No. 8 S. 44) kann man diese Erscheinung in verschiedenen Stadien besonders hübsch beobachten. Die Breite des neu gebildeten Augitsaums hängt natürlich sowohl von der Grösse des Quarzkorns als auch von dem Hitzegrad und der Dauer ab, mit welcher das basaltische Magma einwirken konnte; als das Produkt der intensivsten Schmelzung sind jene beinahe kreisrunden Haufwerke von radial gestellten Augitnadelchen zu betrachten, zwischen denen Glas sich nur noch in minimalen Spuren entdecken lässt.

Nicht minder häufig wie von Sandstein finden sich Einschlüsse von den Schieferthonen des Röth. Die Contactwirkung an ihnen äussert sich in einer vollständigen Frittung, wobei die Schieferung gewöhnlich erhalten bleibt. Manchmal sind ganze Lagen in Porzellanjaspis umgewandelter Thone zwischen Basalt eingeschaltet, wie dies besonders gut am Ehrenberg Sign. 484 (Glasb. Nr. 3 S. 43) zu sehen ist.

Auffallend selten dagegen sind Bruchstücke von Kalk in Basalten eingeschlossen, wenngleich dieselben im Wellenkalk aufsetzen. Häufiger finden sie sich in den Breccien und zeigen auch hier schon tiefgreifende Veränderungen. Ein Fragment vom

¹⁾ Vergl. auch *J. Lehmann*, Untersuchungen über die Einwirkung eines feurigflüssigen basaltischen Magmas auf Gesteins- und Mineraleinschlüsse. Bonn 1874.

Bezeichnung	Nephelin-Basalte				Nephelinit	Dolerit
Ge						
Fur	reistelz	Kreuzberg			Höhl bei Leubach	Windhühl
Ana	lenk 1887	Bredemann Diss. 1874			Lenk 1887	Knapp Diss. 1880. S. 36.
Spec.	3,114	3,079			2,910	2,843
bel		Total	Löslich 79,33	Unlös. 21,25		
Si	40,31	35,77	26,66	9,11	39,08	50,75
Ti	0,89	0,46	—	0,46	0,85	1,26
Al	12,24	13,43	6,97	6,46	22,13	14,15
Fe	5,77	16,79	15,81	0,98	3,40	8,28
Fe	10,92	3,98	3,98	—	5,72	4,58
Mn	Spur	Spur	—	—	Spur	Spur
Co	Spur	—	—	—	Spur	Spur
Ni	Spur	—	—	—	Spur	Spur
Ca	12,12	15,04	11,03	4,01	12,56	7,72
Ba	—	—	—	—	—	Spur
Mg	9,10	8,84	8,73	0,11	5,44	6,61
K	1,08	0,71	}4,40	}0,12	1,77	1,18
Na	7,52	3,81			6,85	2,67
P	0,45	0,72	0,72	—	0,50	1,52
CO	Spur	—	—	—	—	0,97
As Cu Sn	As Cu Sn	As Sn Cu	—	—	As Sn Cu	—
SO Cr S Cl	Cr S Cl	Cr S Cl	—	—	Cr Cl S	—
H ₂	0,29	1,03	1,03	—	1,28	1,03
Sum	100,69	100,58	79,33	21,25	99,58	100,72
Sal	0,8746	1,097	—	—	0,9759	0,5744

Südwestfusse des Dreistelz, den eingeschlossenen organischen Resten nach offenbar der Dentalienbank des Wellenkalks entstammend, ist ganz weiss gebrannt, während die durch Oxydation des Eisens roth gefärbten Thonfasern dem Ganzen ein geflammtes Aussehen verleihen. Die Kohlensäure-Entwicklung bei der Behandlung mit Salzsäure ist eine sehr geringe.

In der beigegeführten Tabelle sind die Analysen der besprochenen Gesteine übersichtlich zusammengestellt.

Zum Vergleiche mit dem Plagioklas-Phonolith vom Käuling sind *Rammelsberg's* Analysen der Phonolithe von der Milseburg, vom Pferdkopf und vom Ebersberg beigegeführt und in Ermangelung einer Analyse von einem Feldspathbasalt ist jene des Plagioklas-Basalt von Schwarzenfels (*Knapp*) eingeschoben.

Die specifischen Gewichte beziehen sich auf die Temperatur von 40° C.

* bedeutet, dass bei der Analyse des in Salzsäure unlöslichen Theils die Kieselsäure aus der Differenz berechnet wurde.

F. Untersuchung der zersetzten Gesteine.

Im Hinblick auf die Ergebnisse von Dr. *Thürach's* Untersuchungen über das Vorkommen mikroskopischer Zirkone und Titanmineralien¹⁾ erschien es von Interesse, auch die gelegentlich gesammelten Proben von völlig zersetzten Basalten und von Tuffen der Schlämmanalyse nach Dr. *Thürach's* Methode zu unterwerfen. Wenn auch neue Resultate dabei nicht gewonnen wurden, so sei es doch verstatet, wenigstens auf die neuerdings hiedurch bestätigte allgemeine Verbreitung dieser Mineralien hinzuweisen.

Es würde zu weit führen, jedes einzelne Basaltvorkommen in dieser Beziehung nochmals speciell aufzuführen; es möge deshalb allgemein bemerkt werden, dass Zirkon in den gewöhnlichen Formen nirgends fehlt; er findet sich sowohl in langgestreckten Kryställchen ($\infty P. \infty P \infty. P. 3 P 3; \infty P \infty. P. 3 P 3$) oder auch mit starker Verkürzung der Hauptaxe und bedeutendem Vorwalten der steilen Pyramide $3P_3$, im letzteren Falle meist mit weniger scharfen Krystallkanten. Farblos mit schwach gelblichem oder graulichem Schimmer beherbergen sie oft eine be-

¹ Inaugural-Dissertation. Würzburg 1884.

trächtliche Menge von Einschlüssen, theils rundlich begrenzten Gasporen, theils stäbchenartigen Gebilden; die letzteren dürften hauptsächlich dem Apatit zuzurechnen sein, wie *Thürach* zeigte.

Weniger verbreitet ist Rutil in Form von gelbbraunen bis dunkelbraunen Nadelchen. Zum Unterschiede von Zirkon zeigt er selten scharfe Krystallflächen aus der Säulenzonenzone, dagegen ist meist die Pyramide deutlich zu erkennen. Zwillinge nach $P \propto$ sind nicht selten; sehr gewöhnlich ist eine dieser Fläche parallele Streifung, welche wohl mit der Viellingsbildung in Beziehung steht.

In dieser Form findet sich der Rutil vereinzelt in den zersetzten Basalten vom Pilsterstein bei Kotheln, vom Reussenberg, vom Farnsberg bei Oberriedenberg u. a. a. O.

Von Titanmineralien ist noch der seltene Brookit zu nennen, während Anatas bis jetzt in keinem Gesteine gefunden werden konnte. Brookit tritt immer in kleinen, durch das Vorwalten von $\propto \bar{P} \propto$ tafelförmig gestalteten Kryställchen auf, an denen ich ausserdem Prismen ($\propto P$) und Pyramidenflächen ($\bar{P}_2?$) beobachten konnte. Doch sind die Täfelchen nie allseitig begrenzt, sondern zeigen stets einen fragmentären Habitus. Charakteristisch ist ihnen die gelbe bis orangegelbe Farbe, sowie der starke Pleochroismus, welche Eigenschaften, ganz abgesehen von der äusseren Form, die Verwechslung mit Rutil ausschliessen. Am deutlichsten findet er sich noch im zersetzten Basalt des Pilstersteins bei Kotheln, sowie in jenem vom Dammersfeld-Plateau.

Durch einen glücklichen Zufall war es bereits Herrn Dr. *Thürach* gelungen, den Pseudobrookit im Basalte des Kreuzbergs und im Phonolith des Käuling zu entdecken. Derselbe hat sich in keinem weiteren geschlammten Gesteinsschutt wieder gefunden. Von den besagten Vorkommen hat Dr. *Thürach* eine ausführliche Beschreibung gegeben; ich verweise deshalb auf diese.

Etwas häufiger ist der Turmalin in schwarzgrauen und bräunlichen Nadelchen und Splittern mit äusserst lebhaftem Dichroismus; Krystallformen sind mit Ausnahme der Säulflächen nicht daran zu erkennen; er findet sich in einigen Basalten wie vom Heidelberg, vom Feuerberg, von der Platzer Kuppe, besonders aber auch in den Doleriten vom Strutberg und vom Windbühl.

Farblose oder schwach röthlich gefärbte, einfach polarisirende Körnchen aus dem Basalte des Dammersfelds (Plateau) hat Dr. *Thürach* für Granat angesprochen; ähnliche fand ich im Gestein

vom Rommerser Berg, vom Stürnberg bei Wüstensachsen und von Detter; auch in den beiden Doleriten treten sie vereinzelt auf. Krystallflächen konnte ich niemals beobachten. Von Salzsäure werden die Körnchen nicht angegriffen, wahrscheinlich gehört wenigstens ein Theil von ihnen einem licht gefärbten Glase, ein anderer auch einem hellen Spinell an.

Ausser dem schon bei den Nephelin-Basalten erwähnten Picotit, der fast in keiner der untersuchten Schuttproben fehlt, und nach Entfernung des beim Schlämmen natürlich gleichfalls in grosser Menge zurückbleibenden Magneteisens unschwer isolirt und chemisch untersucht werden kann, treten im zersetzten Gestein der Steinkuppe bei Völkersleier noch kleine gelbe bis orangegelbe, scharf ausgebildete Octaederchen auf, welche theils durchsichtig, theils schon stark getrübt vollständig den Habitus eines Spinells zeigen. Zur chemischen Prüfung wurden einige der Kryställchen in die Phosphorsalzperle gebracht, wobei eine äusserst schwache Reaction auf Eisen erfolgte. Die Härte ist eine sehr bedeutende, etwa = 7—8. Nach alledem scheinen mir diese Körper identisch zu sein mit jenen, welche Dr. *Thürach* im Phonolithuff von Schackau fand und nach Herrn Prof. v. *Sandberger* dem gelben Spinell, sog. Rubicell zurechnete.

Der Apatit ist im Schlämmrückstande eines jeden Gesteins in mehr oder weniger reichlicher Menge vorhanden und beweist damit seine Gegenwart auch in jenen Gesteinen, in deren Dünnschliffen vergeblich nach ihm gesucht wurde. Er findet sich meist in Säulchen oder Bruchstücken solcher, an denen pyramidale Endflächen selten noch deutlich erkennbar sind. Von ähnlich aussehenden Feldspath- oder farblosen Augitfragmenten unterscheidet ihn sowohl sein optisches Verhalten als auch die leichte Zersetzbarkeit mit verdünnter Salzsäure; mit molybdänsaurem Ammonium erhält man in der Lösung dann stets eine intensive Reaction auf Phosphorsäure.

Rückblick.

Fassen wir die Ergebnisse der vorliegenden Arbeit kurz zusammen, so muss zunächst constatirt werden, dass es nicht gelungen ist, in der südlichen Rhön ein bestimmtes Vertheilungssystem der verschiedenen Basaltvarietäten festzustellen; dafür hat sich jedoch ein anderes unerwartetes Resultat insoferne ergeben, als der Uebergang zwischen den beiden Haupttypen der

Nephelin- und der Plagioklas-Basalte nunmehr in einer Form nachgewiesen ist, welche eine exacte petrographische Trennung schwierig, ja fast unmöglich macht.¹⁾

Das Auftreten verschiedenartiger Gesteine an ein und derselben Kuppe (vergl. Werberg S. 48 und Platzter Kuppe S. 43) zwingt sogar, so unvereinbar dies auch mit unseren heutigen Ansichten über die sog. homogenen Vulkane erscheinen mag, förmlich zur Annahme einer Differenzirung im Körper eines geologischen Ganzen, wie es ja eine Kuppe oder ein Gang darstellt.

Derartige Beobachtungen konnte bereits auch *Luedecke* an einem Thüringer Basaltkegel machen, und sie werden sicher nicht verfehlen, die grösste Aufmerksamkeit sowohl des Petrographen als auch des im Terrain arbeitenden Geologen zu erregen. Ich möchte dazu — wohl zum Ueberfluss — bemerken, dass Durchbrüche oder Intrusivergüsse jüngerer Gesteine natürlich strenge von der erwähnten Erscheinung zu unterscheiden sind.

Bezeichnet man die verschiedenen Basaltvarietäten auf der Karte mit verschiedenen Farben, so erhält man ein Bild, wie es bunter nicht leicht gedacht werden kann.

Nur in dem gewaltigen NO—SW-Bogen der „Langen Rhön“ wiegen die Nephelinbasalte besonders vor, ebenso an der nord-südlichen Erstreckung der Schwarzen Berge. Im nördlichen Theile der letzteren liegen die Nephelinbasalte vom Feuerberg Sign. 833, 834, ferner Schwarzenberg Wald Sign. 816 und 833, sowie vom Oettershauk in der Verlängerung der Verwerfungslinie Motten-Altglashütte, welcher, wie bereits erwähnt, die gleichfalls aus Nephelinbasalt bestehenden Kuppen Maria Ehrenberg und Grosser Auersberg aufgesetzt sind. Der Umstand, dass diese in ihrem östlichen Theile durch einen Schwerspathgang ausgefüllte Spalte sich auch noch am Westabhang des Oettershauks mit Sicherheit beobachten lässt, legt die Vermuthung nahe, dass sie, noch weiter nach SW sich erstreckend, auch den oben genannten Basalten als Eruptionsweg gedient hat. Allerdings vermochte ich sie am östlichen Abhang bei Langenleiten nicht mehr nachzuweisen. Es wäre hiemit wenigstens eine 12 km lange Linie von Nephelin-Basalten gefunden, auf welcher Feldspath führende Gesteine zugleich nicht auftreten.

Typische Vertreter der Hornblendebasalte sind mir im Be-

¹⁾ Vergl. auch die Basalte des Fichtelgebirges in *C. W. v. Gümbel's Geognost. Beschreibung des Fichtelgebirges* S. 236, bes. S. 244.

reiche der Langen Rhön ¹⁾ nicht bekannt geworden, vom Hauk bei Dalherda und vom Simmetsberg bei Gersfeld abgesehen. Ihr Hauptverbreitungs-Gebiet ist augenscheinlich auf die nördliche Rhön beschränkt und es dürfte schwer fallen, die neuerdings aufgefundenen Vorkommen bei Brückenua (am I. Pilsterkopf und am Dreistelz) mit jenen jetzt schon in irgend welche Beziehung zu bringen.

In ähnlicher Weise muss auch die Gruppierung der Phonolithe, welche ebenfalls am grossartigsten und mannichfaltigsten in der nordwestlichen Rhön entwickelt sind, abgewartet werden, bevor es gestattet ist, aus ihrer geographischen Anordnung Schlüsse zu ziehen.

Bezüglich der Feldspathbasalte und ihrer Verwandten lässt sich nur soviel erkennen, dass die Hauptrichtung, in welcher sie auftreten, mehr in NNO—SSW verläuft als jene, welche die Nephelin-Basalte innehalten.

Was nun die Altersverhältnisse, d. h. die Reihenfolge, in welcher die Eruptivgesteine zu Tage traten, betrifft, so liegen nunmehr auch im Untersuchungsgebiete einige werthvolle Anhaltspunkte vor.

Dem hochverdienten Rhönforscher (*Gutberlet* ²⁾) verdanken wir in dieser Beziehung die ersten Beobachtungen; er stellte dieselben zumeist in der nördlichen kuppenreichen Rhön und an den klassischen Aufschlüssen am Pferdkopf an und gelangte auf diese Weise zur Aufstellung folgender Altersreihe:

I. Aelterer Phonolith (Milseburg-Phonolith).

II. Hornblendebasalt (nach *v. Sandberger* gleichzeitig auch Buchonit).

III. Jüngere, trachytische Phonolithe.

IV. Jüngerer dichter, hornblendefreier Basalt.

Auch *v. Sandberger*, welcher hier noch den Dolerit als das zuletzt eruptiv gewordene vulkanische Gestein anfügt, fand an zahlreichen Punkten der nordwestlichen Rhön diese Reihenfolge und eine um so grössere Freude ist es mir, nun auch aus den südlicheren Gebieten für dieselbe einige Belege bringen zu können.

¹⁾ *Proescholdt* gibt a. a. O. S. 251 ff. hornblendeführende Gesteine von mehreren Punkten der Langen Rhön an.

²⁾ *Jahrb. f. Min.* 1845 S. 129. — *Amtl. Ber. über die 25. Versammlung deutscher Naturforscher und Aerzte zu Aachen* 1847 S. 358. — *Zeitschr. d. d. Geolog. Ges.* 1852 S. 521 u. 687.

Der Milseburg-Phonolith fehlt in der südlichen Rhön; die dort auftretenden Phonolithe tragen sämmtlich den Habitus der jüngeren.

Dagegen findet sich ein echter Hornblendebasalt am Westabhang des I. Pilsterkopfs Sign. 638 bei Brückenua durch einige kleine Steinbrüche entblösst. Derselbe (Nr. 7 S. 83) ist plattig, zeigt schalige Verwitterung und ist, wie bereits bemerkt, stark zersetzt und durch oberflächliche Ueberzüge von Eisenhydroxyd intensiv gelbbraun gefärbt.

Grell davon, sowohl durch die Farbe, als durch die kugelig-schalige Absonderung abstechend, durchbrechen im untersten Bruche den Hornblendebasalt zwei kleine Gänge eines graugrünen, zum Theil mandelsteinartig ausgebildeten Gesteins, welches sich unter dem Mikroskop als ein glasführender feldspathfreier Nephelin-Basalt¹⁾ erweist. Wenige Schritte südlich davon steht in einem kleinen Aufschlusse dichter schwarzer Basalt an, welcher sich von dem vorigen unter dem Mikroskop nur durch die Führung einiger winziger Feldspathleistchen unterscheidet und deshalb sicher nur als eine locale Modification desselben zu betrachten ist. Das Verhältniss zum Hornblendebasalt ist hier nicht so deutlich; doch deutet unmittelbar daneben in einem weiteren Aufschlusse zu Grus zerfallener Hornblendebasalt an, dass hier ebenfalls ein späterer Durchbruch stattgefunden hat.

Am südwestlichen Fusse der Dreistelzkuppe bei Brückenua ist eine Ueberlagerung von hornblendeführendem Basalttuff durch Nephelinbasalt zu beobachten.

Geht aus diesen Beobachtungen das jüngere Alter des letzteren im Verhältniss zum Hornblendebasalt zur Evidenz hervor, so zeigen andererseits die Einschlüsse der Phonolithfragmente im glasführenden Nephelinbasalt vom Arnsberg²⁾, sowie in dem äusserst feinkörnigen Feldspathbasalt von Sign. 766 am Kreuzberg³⁾, dass auch in Bezug auf den Phonolith *Gutberlet's* Ansicht für die südliche Rhön Geltung hat.

Im Gestein vom Arnsberg fand ich neben den massenhaft eingebackenen Bruchstücken von Olivinfels und Chromdiopsid mehrere Cubikcentimeter haltende Fragmente von Phonolith, vollständig identisch mit dem Gestein des Käulings.

1) Vergl. S. 47 Nr. 18.

2) Vergl. S. 46 Nr. 1.

3) Vergl. S. 69 Nr. 13.

Auf die im Schiffe auffallenden Einschlüsse in dem Basalt des kleinen Kegels Sign. 766 am Kreuzberg habe ich bereits bei der mikroskopischen Schilderung hingewiesen; es erübrigt hier nur noch der rundlichen, bohnenähnlich abgeschmolzenen Körner zu gedenken, welche beim Zertrümmern des stark verwitterten Gesteins ob ihrer grösseren Härte herausfallen und bei näherer Untersuchung offenbar von dem oberhalb der kleinen Kuppe am Abhange des Kreuzbergs anstehenden Nosean-Phonolithe herührend sich erweisen.

Unterhalb des Rückensteins bei Oberweissenbrunn finden sich unter massenhafter Basaltbedeckung hellgraue Blöcke des Phonoliths, welcher S. 33 f. beschrieben wurde. Der Mangel an Aufschlüssen lässt nicht erkennen, ob es sich um einen wirklichen Durchbruch oder lediglich um eine Ueberlagerung analog jener vom Dreistelz handelt.

Höchst wichtig und beweiskräftig erscheint mir dagegen wieder die Beobachtung, welche Herr Prof. v. *Sandberger* gemacht und mir zur Verwerthung gütigst mitgetheilt hat. Bei seinem Besuche der Rabensteine fand er im südlichen Tuffkegel derselben Bruchstücke von Phonolith gleich jenem von der Dalherdaer Kuppe. Es ist dies um so interessanter, als im weiteren Umkreise jener Localität kein Phonolith zu Tage anstehend bisher gefunden wurde und somit die Vermuthung sehr nahe liegt, dass der Nephelinbasalt des Rabensteins bei seiner Eruption denselben Weg benützte, welchen bereits ein früher unvollendet gebliebener Phonolitherguss eingeschlagen hatte.

Ueber das Verhältniss von Feldspathbasalt zu Nephelinbasalt konnten entscheidende Beobachtungen leider nicht gemacht werden. Am Kreuzberge überlagert zwar typischer Nephelinbasalt (Nr. 88) ein Feldspath führendes Gestein (Nr. 89); dagegen findet sich über dem Nephelinbasalt des Bauersberges (Nr. 28) ein glasführender Feldspathbasalt (Nr. 6), welcher seinerseits allerdings wieder, wie es scheint, von Nephelinbasalt (Nr. 42) überdeckt wird; es sind jedoch hier die Aufschlüsse so ungenügend, dass ich diese Localität mehr anführe, um die Aufmerksamkeit auf sie zu lenken, als ihr Beweiskraft zuzuschreiben.

Untersuchungs-Methoden.

Zum Schlusse noch einige Bemerkungen über die angewandten Untersuchungs-Methoden.

Ich habe bei der petrographischen Schilderung vermieden, auf die zahlreichen mikroskopischen Details einzugehen, zu deren näherer Untersuchung das Studium der Dünnschliffe geradezu herausfordert.

Allein das Ziel der Arbeit war zunächst eine Gruppierung der Rhöngesteine vorzunehmen und dieselbe möglichst übersichtlich zu gestalten unter Vermeidung allzuvieler Abschweifungen, welche die Zusammengehörigkeit der einzelnen Varietäten unterbrechen würden.

Bei den chemischen Untersuchungen wurde der gewöhnliche analytische Gang eingehalten.

Zur qualitativen Nachweisung der in geringer Menge vorhandenen Elemente wurde eine grössere Menge Substanz, etwa 20—50 g, entweder mit Kalinatroncarbonat oder mit Fluss- und Schwefelsäure aufgeschlossen, die salzsaure Lösung stark verdünnt und, gewöhnlich unter Erwärmen, längere Zeit, oft mehrere Tage lang Schwefelwasserstoff eingeleitet. Die ausgeschiedenen Schwefelmetalle wurden, nachdem sie auf einem Filter gesammelt worden waren, mit heissem Schwefelkalium digerirt, wobei einerseits Antimon, Zinn, Arsen und meist etwas Kupfer in Lösung gingen, andererseits ein Rückstand verblieb, welcher grösstentheils aus Kupfer bestand, wie sich sowohl durch die blaue Färbung der ammoniakalischen Lösung als mittelst der Phosphorsalzperle constatiren liess.

Aus der ersteren Lösung wurden mit verdünnter Salzsäure die Metalle gefällt, der Niederschlag nach dem Trocknen mit concentrirter Salzsäure ausgelaugt und die erhaltene Lösung zum Trocknen eingedampft. Zinn wurde auf der Kohle durch Reduction zu Metallkörnchen nachgewiesen; Arsen verrieth sich durch seinen charakteristischen Geruch beim Glühen und zur Prüfung auf Antimon wurde der verbliebene Trockenrückstand in etwas Salzsäure gelöst und ein Tropfen der Lösung mit Zink auf das Platinblech gebracht.

Neben Kupfer wurde auf Blei mit Schwefelsäure, auf Wismuth mit Ammoniak geprüft, doch fanden sich diese Elemente in den Basalten nicht vor.

Nach Verjagung des Schwefelwasserstoffs und Entfernung des ausgeschiedenen Schwefels aus dem Filtrat wurde dasselbe mit Salpetersäure oxydirt und nach Zusatz von etwas Chlorammonium Thonerde, Eisen, Chrom, Mangan, Phosphorsäure und auch der Rest der Titansäure mit Ammoniak gefällt; die Trennung dieser Körper wurde auf die bekannte Weise vorgenommen.

Aus dem Filtrat wurden durch Schwefelammonium Kobalt, Nickel, Zink und Mangan abgeschieden und durch Specialreaktionen einzeln nachgewiesen, so Kobalt und Nickel durch die Perlenfärbung, letzteres durch Reduction, Zink durch grüne Färbung mit Kobaltsolution auf der Kohle, Mangan durch Schmelzen mit Soda und Salpeter.

Nach abermaligem Abdampfen und nach Abscheidung des Schwefels wurden aus der ammoniakalischen Lösung durch Kochen mit kohlensaurem Ammon Kalk, Baryt und Strontian, durch Zusatz von Natriumphosphat bezw. Barytwasser Magnesia gefällt. Nach Entfernung des überschüssigen Baryts durch Schwefelsäure wurden die erhaltenen Alkalisulfate stark eingeengt und mit dem Spectralapparate auf die Anwesenheit von Lithium untersucht.

Die quantitative Analyse hielt, abgesehen von den selteneren Elementen, denselben Gang ein. Ungefähr je 1 g bei 110° getrockneter Substanz wurde einmal mit Kalinatroncarbonat, das andere Mal mit Fluss- und Schwefelsäure aufgeschlossen.

In der ersteren Lösung wurden Kieselsäure, Titansäure, Thonerde, Eisenoxyd, Kalk und Magnesia, in der zweiten zur Controle dieselben Basen und ausserdem die Alkalien bestimmt.

Zur Trennung der Magnesia von den Alkalien bewährte sich die Methode mit Quecksilberoxyd am besten; die damit erhaltenen Resultate stimmten sehr gut mit den beim Fällen mit Natriumphosphat gewonnenen Magnesia-Mengen. Die Alkalien wurden als Sulfate gewogen, in salzsaurer Lösung Kaliumplatinchlorid unter Zusatz von Aether und Alcohol gefällt und Natron aus der Differenz berechnet.

Zur Bestimmung des Eisenoxyduls wurden etwa 0,5—0,8 g getrockneter Substanz mit verdünnter Schwefelsäure in zugeschmolzenen Glasröhren, aus welchen die Luft durch Einleiten von Kohlensäuregas verdrängt worden war, unter Erhitzen bis auf 170° aufgeschlossen, die Lösung mit Chamaeleon titirt und die erhaltene Eisenmenge von der ebenfalls durch Titiren bestimmten Gesamtisenmenge als Oxydul abgezogen.

Die Phosphorsäure wurde durch mehrmaliges Eindampfen von circa 2 g Substanz mit Salpetersäure in Lösung gebracht, mit molybdänsaurem Ammonium abgeschieden, wiederholt in Ammoniak gelöst und durch Magnesiamischung gefällt und schliesslich als Magnesiapyrophosphat gewogen.

Die Analysen der drei Basalte wurden im Winter 1887 von mir, jene des Phonoliths von Herrn *Scheidt* im chemischen Laboratorium der K. Universität ausgeführt. Es ist mir eine angenehme Pflicht, Herrn Professor Dr. *E. Fischer* und Herrn Privatdocenten Dr. *Knorr* für manchen freundlichen Rath meinen herzlichsten Dank zu sagen.

Die übrigen chemischen Untersuchungen wurden sämmtlich im Laboratorium des mineralogisch-geologischen Instituts vorgenommen.

Ich bin mir wohl bewusst, dass in mancher Richtung der Arbeit noch viele Mängel anhaften und hoffe deshalb zuversichtlich, dass es mir in nicht allzu ferner Zeit vergönnt sein möge, die bestehenden Lücken auszufüllen. Wenn es mir trotzdem möglich war, einen zwar kleinen, aber doch brauchbaren Beitrag zur geologischen Landesdurchforschung Bayerns zu liefern, so verdanke ich es in erster Linie meinem hochverehrten Lehrer, Herrn Professor Dr. *F. von Sandberger*, welcher mir nicht allein durch die Uebertragung dieser interessanten und vielseitigen Aufgabe sein hohes Vertrauen bekundete, sondern auch bei deren Durchführung mir, sei es durch Rath, sei es durch Ueberlassung der einschlägigen Literatur, stets in gütigster Weise zur Seite stand.

In nicht minder dankbarer Gesinnung sei es mir gestattet, auch des wohlwollenden Interesses und der werktätigen Förderung zu gedenken, deren sich meine Arbeit von Seite meines früheren Lehrers, Herrn Professors Dr. *A. Streng* in Giessen, sowie des Herrn Professors Dr. *A. Hilger* in Erlangen durch freundliche Ueberlassung einiger von ihm ausgeführter Analysen zu erfreuen hatte.

Beiträge zur Kenntniss der Wasser aus den geschichteten Gesteinen Unterfrankens

von

FRIEDRICH PECHER

aus Bayreuth.

Einleitung.

Welch' mächtigen Einfluss die Beschaffenheit der Wasser eines Landes auf die Gesundheit und den Wohlstand der Bevölkerung, sowie auf die Entwicklung der Industrie eines Staates ausübt, ist allgemein bekannt. — Selbstverständlich wurde deshalb eine grosse Anzahl von Untersuchungen der verschiedensten Gewässer mit Bezug auf Hygiene und Technik ausgeführt. Es sind sogar die Untersuchungsmethoden der Wasser ein eigener Zweig der chemischen Analyse geworden, über welchen sich eine ganze Litteratur verbreitet. Aber bis jetzt ist meines Wissens nur selten und in Bayern noch gar nicht versucht worden, eine Classification der Wasser nach ihren Ursprungsformationen herzustellen, wie dies in vorzüglicher Weise von *Regelmann*¹⁾ für Württemberg ausgeführt wurde. — Dass aber eine derartige Eintheilung der Wasser für das praktische Leben von grosser Bedeutung ist, ergibt sich leicht daraus, dass in der Technik sowohl, als in der Hygiene immer der Gehalt an Mineralbestandtheilen eines Wassers darüber entscheidet, ob es für diesen oder jenen Zweck brauchbar ist. Die chemische Zusammensetzung eines Wassers aber ist nichts anderes, als das Resultat der Anreicherung mit festen und gasförmigen Substanzen, welche dasselbe seit der Verdichtung aus der Atmosphäre während seines Laufes durch die verschiedenen Schichten der Erdrinde bis zu seinem Austritt aus denselben erfahren hat.

Da aber diese letzteren eine oft sehr ungleichartige chemische Zusammensetzung besitzen und das Wasser unter den mannigfaltigsten Bedingungen auf sie einwirkt, so zeigen die Wasser aus den verschiedenen Gesteinen natürlich auch verschiedene

¹⁾ C. Regelmann: Die Quellwasser Württembergs. Ein Beitrag zu ihrer Kenntniss. Stuttgart 1874.

chemische Bestandtheile. Diese sind nur dann gleich oder nahezu gleich, wenn die Wasser aus gleichen Gesteinsschichten entspringen. Demnach lässt sich, wenn eine Reihe von Wassern aus bestimmten Niveaus untersucht worden ist, schon aus den Gesteinen, aus welchen ein Wasser entspringt, auf die Brauchbarkeit für die verschiedensten Zwecke schliessen. Aber nicht nur von praktischer Bedeutung, sondern auch von hohem wissenschaftlichem Werth ist es, zu erfahren, in welchen Beziehungen die Wasser zu ihren Ursprungsgesteinen stehen, und welche Rolle sie bei den fortwährend in der Erdrinde stattfindenden Umsetzungen spielen. Deshalb wurde auch, angeregt von meinem hochverehrten Lehrer, Herrn Professor v. Sandberger, nachstehende Arbeit von mir durchgeführt.

Uebersicht der geologischen Verhältnisse Unterfrankens.

Unterfranken bildet den Nordwest-Theil der grossen Mulde, welche durch die Urgebirgsmassen des ostbayerischen Grenzgebirges, des Fichtelgebirges und Thüringerwaldes einerseits und jene der NO-Ausläufer des Odenwaldes und des Spessarts andererseits gebildet wird.

In der Gegend um Aschaffenburg zeigt das Urgebirg eine sehr reichgegliederte Ausbildung. Es besteht hauptsächlich aus Gneiss und Glimmerschiefer, vergesellschaftet mit Hornblendegesteinen, körnigen Kalken und Quarzschiefern, sowie Phyllit-Gesteinen. Als erste Sedimentbildung lagert sich auf dem Urgebirge die Zechsteinformation auf, wird aber ihrerseits meist vom Buntsandstein, dem untersten Gliede der Trias, in der Weise überdeckt, dass nur am Rande des Urgebirgs ein schmaler Streifen unverhüllt zu Tage tritt. Dass sich aber die Zechsteinformation weit unter den Triasgebilden hinzieht, beweisen uns Aufschlüsse bei Orb und die tiefen Bohrungen bei Kissingen, bei welchen Zechstein aufgeschlossen wurde. Ferner beweisen das Gleiche das Wiederzutagetreten derselben Schichten am Rande des Thüringerwaldes ¹⁾ und die von den Eruptivgesteinen der Rhön mit heraufgerissenen Brocken derselben. Ein grosser Theil der Heilquellen Unterfrankens gehört dieser älteren geschichteten For-

¹⁾ Gut zu übersehen ist dieser Zusammenhang auf der Geognostischen Karte von Kurhessen von *Adolph Schwarzenberg* und *Heinrich Reuss*. Cassel 1853.

mation an. Schon in der Nähe von Aschaffenburg beginnt sich, theilweise noch auf Gneiss, theilweise schon auf Zechstein, der Buntsandstein in Form der fast wasserdichten Leberschiefer aufzulagern. Darüber folgen dann zuerst weisse, dann rothe Sandsteine, welche, meist schwach nach Osten einfallend, mainaufwärts fortsetzen. In der Nähe von Wernfeld erscheint der Buntsandstein zuerst von dem Röth bedeckt. Derselbe stellt sich als ein dunkelrother, mergeliger Thon dar und bildet einen wichtigen Wasserhorizont der Trias. Auf dem Röth lagert sich demnächst der Muschelkalk auf. Dieser hat hier seine westlichste Grenze und zeigt, nachdem in Folge grossartiger Sattel- und Muldenbildung bei Karlstadt und Thüngersheim der Buntsandstein nochmals zu Tage getreten ist, zwischen letzterem Orte und Würzburg seine mächtigste Entwicklung. Als nächst jüngeres Glied der Trias erscheint auf den höchsten Punkten des Muschelkalks schon die Lettenkohlengruppe, welche nach Osten zu ihre mächtigste Entwicklung erreicht und sich fast ununterbrochen von Hildburghausen über Königshofen, Schweinfurt, Kitzingen bis nach Rothenburg o./Tauber fortzieht. Die Lettenkohlengruppe verschwindet im Osten unter den steil aufsteigenden Keuper-Bergen der Hassberge und des Steigerwaldes. Der unterste Theil des Keupers wird von lockeren dunklen Mergeln von eminenter Fruchtbarkeit und grosser Wasserhaltungsfähigkeit gebildet. In diesen Mergeln findet sich Gyps von den feinsten Aederchen an bis zu mächtigen Stöcken überall vertheilt. Nach oben nehmen im Keuper Sandsteine (Schilfsandstein, Semionotus- und Stuben-Sandstein) überhand, wechseln aber noch mehrmals mit rothen Schieferthonen und dolomitischen Kalken. Diese Wechsel bilden für den Keuper wichtige wassersammelnde Horizonte. Von Bamberg an, wo wir die Ost-Grenze Unterfrankens erreicht haben, beginnt sich dann der Lias und auf diesem der obere Jura aufzulagern. ¹⁾

Im Norden Unterfrankens lagern sich allenthalben Gesteine jungeruptiven Ursprungs auf die Trias auf und bilden die prächtigen Basalt-, Phonolith- und Dolerit-Kuppen des Rhöngebirgs.

¹⁾ Für genauere Orientirung über die geologischen Verhältnisse Unterfranken's eignen sich besonders:

v. Sandberger: Die Triasformation im mittleren Maingebiete. Gemeinnützige Wochenschrift. Würzburg 1882. S. 2 ff.

v. Gümbel: Die geognostischen Verhältnisse des fränk. Triasgebiets. Bavaria Bd. IV, Heft XI. München 1865.

I. Die Quellen der Zechsteinformation.

Mehrere von den in Unterfranken aus der Zechsteinformation entspringenden Quellen sind schon seit Jahrhunderten als Heilquellen bekannt und einige, wie namentlich Kissingen, geniessen mit Recht in Folge ihrer ausgezeichneten Wirkungen bei gewissen Krankheiten einen Weltruf. — Während man bei den einen den Austritt aus der Zechsteinformation unmittelbar beobachten kann, wie bei denen, die am Rande des Urgebirges zu Tage kommen, treten die anderen, welche gegen die Mitte der Zechstein-Mulde zwischen Spessart und Thüringerwald hin liegen, aus tief hinabsetzenden Verwerfungsspalten aus und es musste ihre wahre Ursprungsstätte erst durch später noch näher zu besprechende Bohrungen klargelegt werden. Zur ersteren Kategorie zählen die Quellen von Soden im Spessart, die des früher bayerischen Städtchens Orb und jene von Soden-Stolzenberg; zur letzteren Gruppe gehören die Quellen von Neuhaus bei Neustadt a/Saale und von Kissingen.

Um den Zusammenhang zwischen Quellen und Formations-schichten klar zu legen, ist es nothwendig, die Entwicklung des Zechsteins in Unterfranken etwas ausführlicher zu beschreiben. Nach v. Gümbel ¹⁾ zeigt der Zechstein am Rande des Urgebirgs folgende Gliederung:

Zu unterst liegen Conglomerate und Breccien des Rothliegenden. Auf diese folgen dann rothe, oft grüne fleckige, sog. Röthelschiefer mit zwischengelagertem feinkörnigem Sandstein, nach oben hin wieder durch Conglomeratlager abgegrenzt. Diese erscheinen dann überlagert von weisslichem bis graulichem Sandstein mit *Voltzia hexagona*, der das ächte Weissliegende repräsentirt. Ueber dem Weissliegenden zeigt sich eine lettige, schwarze Bank mit Einsprengungen von Kupfererzen, der Kupferschiefer. Die über diesem zunächst folgenden Bänke, obwohl dolomitisch und in höheren Lagen Spatheisenstein führend, scheinen dem eigentlichen Zechstein zu entsprechen, während die obersten plattenförmigen Dolomite mit *Schizodus obscurus* völlig mit dem allgemein verbreiteten Plattendolomit des oberen Zechsteins übereinstimmen. Die stellenweise zwischen beiden Abtheilungen in der Tiefe in grosser Mächtigkeit eingelagerten Salzthone, Anhydrit-

¹⁾ v. Gümbel: Geologische Skizze des bayerischen Spessarts in den Deutschen Geographischen Blättern, herausgegeben von der geographischen Gesellschaft in Bremen. Bd. IV Heft I S. 5 ff.

und Gypsmassen sind nur ausnahmsweise und in geringer Mächtigkeit über Tag sichtbar. Die auf diese Abtheilung folgenden Bänke sind rothe Letten mit Salzthonen und Gypslagern, nach oben mit Sandsteinbänkchen wechselnd. Sie gehen in die Leberschiefer des unteren Buntsandsteins fast unmerklich über und es findet daher hier ein unmerkbarer Uebergang von der Zechstein- in die Triasformation statt. Es ergibt sich hiernach folgendes Gesamtprofil:

- 1) Rothliegendes,
- 2) Weissliegendes,
- 3) Kupferschiefer,
- 4) Unterer Zechstein,
- 5) Salzthone mit Gypslagern (Anhydrit-Gruppe des Zechsteins),
- 6) Platten-Dolomit (Oberster Zechstein),
- 7) Rothe Letten mit Gyps, Salzthonen und Sandsteinbänkchen,
- 8) Leberschiefer der Buntsandsteinformation.

Die Soolquellen von Soden, Orb und Soden-Stolzenberg nehmen ihren Ursprung in den mit Nr. 5 bezeichneten Salzthonen oder der Anhydritgruppe des Zechsteins.

Für die Quellen von Neuhaus und Kissingen wurde das Gleiche von *v. Sandberger* an der Hand des Bohrloch-Profiles des Schönbornschachtes in Kissingen bewiesen.¹⁾

Dasselbe Profil ergab²⁾ von 461,1 m Tiefe an abwärts:

Benennung im Bohrregister:	
5,23 m Kalkstein	1. Leberschiefer des unteren Buntsandsteins mit Hornkalk und Gyps.
4,71 „ Körniger und krystallisirter Gyps	
1,19 „ Kalkstein	
0,81 „ Dichter Gyps	
19,64 „ Rother Schieferthon abwechselnd mit Kalk, Mergel und Gyps. (Gasquelle.)	
0,92 m Es scheint dichter Kalk mit Eisenkies in Schichten anzustehen.	2. Bituminöser Plattendolomit des obersten Zechsteins.
11,11 „ Blauschwarzer Kalk	
10,22 m Rother gesalzener Thon mit Gyps	3. Salzmergel des mittleren Zechsteins.
10,19 „ Blauer Salzthon	
0,58 „ Bräunlicher Thon mit Gyps, gesalzen	
3,58 „ Salzgebirge	
2,26 „ Salzgebirge mit Gyps	
15,18 „ Salzgebirge mit Gyps und Anhydrit	4. Anhydrit.
33,58 „ Anhydrit	
0,81 „ Anhydrit mit Gyps wechselnd	

¹⁾ *v. Sandberger*: Ueber die geologischen Verhältnisse der Quellen zu Kissingen. Verhandlungen der physik.-med. Gesellschaft zu Würzburg. Neue Folge Bd. I S. 159 ff.

²⁾ a. a. O. S. 165.

Die Mineralbestandtheile der Kissinger und der auf ähnlichen Verwerfungslinien liegenden Quellen der Gegend von Neustadt an der Saale werden sämmtlich aus den Schichten, welche oben als Salzmergel des mittleren Zechsteins bezeichnet sind, ausgelaugt.

Alle gehören zu jener Gruppe von Soolquellen, welche schwefelsaure Salze und eine grosse Menge freier Kohlensäure enthalten.

Die nachfolgenden Analysen derselben sind von *Scherer, Liebig, Gorup-Besanez* u. A. ausgeführt und neue erscheinen daher selbstverständlich nicht nöthig. Die Werthe sind in Originalzahlen aufgeführt. Letztere wurden dann zum besseren Vergleich mit der Zusammensetzung der Ursprungsgesteine in Procentzahlen der Oxyde und Säuren umgerechnet und zwar so, dass daraus der Gesamtgehalt an festen Mineralbestandtheilen in 1 Liter, sowie deren procentische Zusammensetzung sofort zu ersehen ist.

Die Soolquelle zu Soden (Bad Sodenthal) im Spessart.

Die von Dr. *F. Moldenhauer* ¹⁾ ausgeführte Analyse der Quelle, die unterhalb des Ortes Soden, 1½ Stunden südöstlich von Aschaffenburg, aus dem Zechstein austritt, ergibt folgende Zahlen:

KCl	=	0,495 g	Temperatur	=	10°C.
NaCl	=	14,572 "			
CaCl ₂	=	5,140 "	Halbgebundene und freie		
MgCl ₂	=	0,646 "	CO ₂	=	0,109.
MgBr ₂	=	0,067 "			
CaSO ₄	=	0,712 "	In Spuren vorhanden:		
CaCO ₃	=	0,117 "	MgJ ₂ , MnCO ₃ , P ₂ O ₅ ,		
MgCO ₃	=	0,005 "	B ₂ O ₃ , NH ₃ und org.		
FeCO ₃	=	0,004 "	Substanzen.		
SiO ₂	=	0,005 "			
<hr/>					
Sa. 21,768 g im Liter.					

Das entspricht im Liter: In 100 Thl. Rückstand sind

			enthalten:		
K ₂ O	=	0,3118 g	K ₂ O	=	1,26 ‰
Na ₂ O	=	7,6701 "	Na ₂ O	=	31,05 "
CaO	=	2,9378 "	CaO	=	11,89 "
MgO	=	0,2908 "	MgO	=	1,17 "
FeO	=	0,0020 "	FeO	=	0,008 "
MnO	=	Spur	MnO	=	Spur
Cl	=	12,8480 "	Cl	=	51,98 "
SO ₃	=	0,4190 "	SO ₃	=	1,69 "
CO ₂ geb.	=	0,0570 "	CO ₂ geb.	=	0,23 "
SiO ₂	=	0,0050 "	SiO ₂	=	0,02 "
Br	=	0,0580 "	Br	=	0,23 "
<hr/>			<hr/>		
Sa. 24,5995 g.			Sa. 99,52 ‰		

¹⁾ *Moldenhauer*: Analyse zweier Salzquellen des Spessarts. *Annal. Chem. Pharm.* Bd. 97 S. 353 ff.

Die Soolquelle (Philippsquelle) zu Orb.

Das bis zum Jahr 1866 bayerische Städtchen Orb liegt 139,2 m über der Meeresfläche. Es ist rings von bis gegen 300 m hohen, der Buntsandsteinformation angehörigen Bergen umgeben. Unter diesen steht der Zechstein an. — Bei im Orte vorgenommenen Bohrungen stiess man bereits in der Tiefe von 20 m auf Mofetten von Kohlensäure, die beim Anbohren letztere unter starkem Geräusch ausströmen liessen.¹⁾

Nach Professor v. Scherer,²⁾ welcher von den beiden Soolquellen, welche in Orb zu Tage treten, die Philippsquelle untersuchte, ergaben sich die Verhältnisse derselben wie folgt:

Die Quelle hat eine Bohrlochtiefe von etwa 60 m und springt aus einer etwa 10 cm breiten Büchse 0,5 m hoch heraus. In der Minute liefert dieselbe 15 Liter Wasser.

Das frisch geschöpfte Wasser ist vollkommen klar, entwickelt beim Stehen ziemlich viel Gasbläschen und schmeckt säuerlich-salzig. Schwefelwasserstoff oder Kohlenwasserstoffe sind nicht nachweisbar. Bei einer Lufttemperatur von 16° C hatte die unmittelbar aus dem Bohrloch kommende Soole 15° C. Lässt man das Wasser längere Zeit an der Luft stehen oder erwärmt man dasselbe, so entweicht viel Kohlensäure, die Flüssigkeit trübt sich und lässt einen reichlichen ockergelben Absatz fallen. Dieser enthält Eisenoxyd, Kalk, Magnesia, Spuren von Kieselsäure, Mangan, Thonerde und Strontian. Die von dem Niederschlag abfiltrirte Flüssigkeit enthält an Basen noch Kalk, Kali, Natron, Spuren von Lithion, an Säuren Schwefelsäure, Borsäure, sowie Chlor, Brom und Jod.

Die Zahlen der Analyse Scherer's sind folgende:

1 Liter enthält:	NaCl	=	17,783	g
	MgCl ₂	=	1,127	„
	K ₂ SO ₄	=	0,448	„
	Na ₂ SO ₄	=	0,228	„
	CaSO ₄	=	1,337	„
	CaCO ₃	=	1,641	„
	FeCO ₃	=	0,053	„
	MgCO ₃	=	0,017	„
	SiO ₂	=	0,015	„
	MgBr ₂	=	0,0044	„
	Sa	=	22,6534	g.

Temperatur: 15,5° C. In Spuren vorhanden: { SrO, B₂O₃, NH₃, MgSO₄,
MgJ₂, Al₂O₃, Li₂O.

¹⁾ v. Scherer: Untersuchung des in der Soolbadanstalt in Orb verwendeten Wassers der Philippsquelle daselbst. Verhandlungen der physik.-med. Gesellsch. zu Würzburg V. Bd. 1855 S. 333.

²⁾ Ebenda S. 334 ff.

Dies entspricht im Liter:		In 100 Thl. Rückstand sind enthalten:	
K ₂ O	= 0,2419 g	K ₂ O	= 0,95 ‰
Na ₂ O	= 9,5243 „	Na ₂ O	= 37,70 „
CaO	= 1,4684 „	CaO	= 5,81 „
MgO	= 0,4823 „	MgO	= 1,90 „
FeO	= 0,0328 „	FeO	= 0,12 „
MnO	= Spur	MnO	= Spur
Cl	= 11,6382 „	Cl	= 46,07 „
SO ₃	= 1,1222 „	SO ₃	= 4,44 „
CO ₂ geb.	= 0,7322 „	CO ₂ geb.	= 2,89 „
SiO ₂	= 0,0150 „	SiO ₂	= 0,06 „
Br	= 0,0038 „	Br	= 0,01 „
J	= Spur	J	= Spuren
Sa. 25,2611 g.		Sa. 99,95 ‰	

Die Quellen zu Soden-Stolzenberg

bei Saalmünster im hessischen Kinzigthal.

Die nachstehenden Analysen obiger Soolquellen sind von *v. Bunsen* und *Will* ausgeführt. Die Zahlen sind einem Prospekt der Badeverwaltung entnommen. Die beiden Quellen, die Barbarossaquelle, welche von *Will* analysirt wurde, und die Huttenquelle, untersucht von *v. Bunsen*, liegen sehr nahe bei Orb und treten unter gleichen geologischen Verhältnissen auf.

Es enthält 1 Liter der

Barbarossaquelle (Will)	Huttenquelle (Bunsen)
KCl = 1,8769 g	KCl = 1,4171 g
NaCl = 15,6571 „	NaCl = 14,6399 „
LiCl = Spur	LiCl = Spur
MgCl ₂ = 0,7028 „	CaCl ₂ = 0,3917 „
CaSO ₄ = 1,2592 „	MgCl ₂ = 0,5797 „
MgSO ₄ = 0,0166 „	CaSO ₄ = 1,1987 „
CaCO ₃ = 1,2105 „	CaCO ₃ = 0,7375 „
MgCO ₃ = 0,3411 „	MgCO ₃ = 0,3740 „
FeCO ₃ = 0,0218 „	FeCO ₃ = 0,0166 „
MnCO ₃ = Spur	MnCO ₃ = Spur
SiO ₂ = 0,0329 „	SiO ₂ = 0,0295 „
Sa. 21,1189 g.	Sa. 19,3847 g.

Freie und halbgebundene
CO₂ = 1,1631 g.
Spuren von
P₂O₅, Al₂O₃, J, Br.

Freie u. halbgebundene
CO₂ = 0,9646 g.
Spuren von
P₂O₅, Al₂O₃, J, Br.

Das entspricht in 1 Liter

Barbarossaquelle		Huttenquelle	
K ₂ O	= 1,1824 g	K ₂ O	= 0,8927 g
Na ₂ O	= 8,2982 „	Na ₂ O	= 7,7591 „
CaO	= 1,1962 „	CaO	= 1,0931 „
MgO	= 0,4627 „	MgO	= 0,4105 „
FeO	= 0,0135 „	FeO	= 0,0102 „
MnO	= Spur	MnO	= Spur
Cl	= 10,9169 „	Cl	= 10,4297 „
SO ₃	= 0,7519 „	SO ₃	= 0,7061 „
CO ₂ geb.	= 0,7198 „	CO ₂ geb.	= 0,5270 „
SiO ₂	= 0,0329 „	SiO ₂	= 0,0295 „
Br u. J	= Spuren	Br u. J	= Spuren

Sa. 23,5745 g.

Sa. 21,8588 g.

100 Theile Rückstand enthalten von der

Barbarossaquelle		Huttenquelle	
K ₂ O	= 4,99 %	K ₂ O	= 4,08 %
Na ₂ O	= 35,05 „	Na ₂ O	= 35,49 „
CaO	= 5,05 „	CaO	= 5,00 „
MgO	= 1,95 „	MgO	= 1,87 „
FeO	= 0,03 „	FeO	= 0,04 „
MnO	= Spur	MnO	= Spur
Cl	= 46,11 „	Cl	= 47,71 „
SO ₃	= 3,17 „	SO ₃	= 3,23 „
CO ₂ geb.	= 2,97 „	CO ₂ geb.	= 2,41 „
SiO ₂	= 0,13 „	SiO ₂	= 0,16 „

Sa. 99,45 %

Sa. 99,99 %

Die Quellen zu Neuhaus bei Neustadt a. d. Saale und zu Kissingen.

Wie schon oben erwähnt, strömen die Kissingener Quellen sowohl als die von Neuhaus aus Verwerfungsspalten zwischen Buntsandstein und Wellenkalk aus. Die geologischen Verhältnisse derselben wurden von *v. Gümbel* und *v. Sandberger* einer eingehenden Untersuchung unterzogen ¹⁾ und es ist nach dieser unzweifelhaft, dass die Quellen von Kissingen sowohl als auch die von Neuhaus ihren Ursprung aus der Zechsteinformation nehmen. — Die eine Verwerfungsspalte bezeichnet eine Linie, welche von der Bodenlaube nach dem Klaushof in der Richtung

¹⁾ *v. Gümbel*: Bavaria Bd. IV. 1865. Geol. Rundschau von Kissingen 1882.

v. Sandberger: Ueber die geologischen Verhältnisse der Quellen zu Kissingen. Verhandlungen der physik.-med. Gesellsch. zu Würzburg. Neue Folge Bd. I 159 ff.

von SSO nach NNW verläuft; auf ihr liegen die Quellen des Rakoczy-, Pandur- und Maxbrunnens. Aber auch nach SO lässt diese Verwerfungslinie sich verfolgen. Eine zweite, eben so wichtige Verwerfung, auf die ich später bei Besprechung der Quellen des Buntsandsteins und der der Anhydritgruppe der Trias zurückkommen werde, streicht rein von SO nach NW. Diese Spalte beginnt südöstlich vom Sinnberge und setzt von diesem unterhalb Hausen nach dem Walddistrict Eichenschlag hinüber, hat aber aller Wahrscheinlichkeit nach eine ungleich grössere Ausdehnung nach SO und NW, als bis jetzt angenommen wurde. Aus dieser Spalte entspringt die Schönbornquelle nebst den ihr unmittelbar benachbarten. Diese beiden Linien werden nun von einer weiteren Verwerfung, welche über Münnernstadt und Nüdlingen nach Garitz verläuft, fast rechtwinkelig durchkreuzt. Eine fernere erstreckt sich in der Richtung SW nach NO von Hausen bei Kissingen über Ebersbach nach Salz, Neuhaus und Herschfeld. Auf dieser Strecke steigen an allen oben genannten Orten und bei Gross- und Kleinbrach Quellen auf, während bei Ebersbach jetzt nur noch eine etwa $3\frac{1}{2}$ m mächtige stockförmige Ablagerung von Eisenocker sichtbar ist, der indess ganz dieselbe Zusammensetzung wie die Absätze der Kissinger Quellen zeigt, ein Beweis dafür, dass früher auch an dieser Stelle Quellen aufsprudelten. Die letzte und nördlichste dieser quellenführenden Spalten zieht von OSO nach WNW von Saal nach Hollstadt und Wechterswinkel und schneidet die vorhergehende bei Heustreu. Diese Verwerfungsspalten scheinen sich bis in den Zechstein hinab fortzusetzen und den in den Salzthonen und Zechsteindolomiten mit Mineralbestandtheilen gesättigten Lösungen den Weg nach oben zu öffnen, auf welchem sie dann durch zudringendes Süsswasser und Aufnahme von Kohlensäure die für die Kissinger Quellen so bewährte Zusammensetzung erhalten.

Die nachstehenden Analysen der Quellen von Neuhaus bei Neustadt sind von v. Liebig ¹⁾ ausgeführt. Das Wasser der Quellen von Neuhaus erscheint frisch geschöpft vollkommen klar. Es schmeckt sehr stark salzig, perlt stark und zeigt eine schwach saure Reaction. Bei längerem Stehen an der Luft trübt es sich allmählig. Beim Erhitzen findet lebhaft Gasentwicklung statt und es scheidet sich ein röthlichgelb gefärbter Niederschlag

¹⁾ v. Liebig: Ann. Chem. Pharm. Bd. 98 S. 351 ff.

aus. Die vom Niederschlag abfiltrirte Flüssigkeit reagirt schwach alkalisch. Der Niederschlag enthält Eisenoxyd, Manganoxyd, Thonerde, Kalk, Magnesia, Phosphorsäure, Kieselsäure und Kohlensäure. Das Filtrat enthält Kalk, Magnesia, Ammoniak, Lithion, Natron und Kali, ferner Chlor, Brom und Jod, Schwefelsäure und Borsäure.

Die Temperatur der Quellen beträgt für

Bonifaciussquelle	Mariensquelle	Elisabethenquelle	Hermannsquelle
8,80 C	8,80 C	8,60 C	8,70 C

1 Liter Wasser enthält in Gramm von der

	Bonifaciuss-	Marien-	Elisabethen-	Hermanns-Quelle.
KCl	= 0,4490 g	0,5652 g	0,2746 g	0,3631 g
LiCl	= 0,0009 „	0,0009 „	0,0009 „	0,0009 „
NaCl	= 14,7715 „	15,9482 „	9,0219 „	12,0806 „
CaSO ₄	= 0,8238 „	1,5195 „	0,8993 „	1,4009 „
MgSO ₄	= 1,4099 „	0,9684 „	0,7216 „	1,0446 „
CaCO ₃	= 1,0889 „	1,0400 „	0,9730 „	0,9827 „
MgCO ₃	= 0,0250 „	0,4258 „	0,3078 „	0,2567 „
FeCO ₃	= 0,0253 „	0,0085 „	0,0106 „	0,0193 „
MuCO ₃	= Spur	Spur	Spur	Spur
SiO ₂	= 0,0286 „	0,0266 „	0,0257 „	0,0356 „
Sa.	18,6229 g	20,5031 g	12,2354 g	16,1844 g.
Freie CO ₂	= 2,4212 „	2,4911 „	2,112 „	2,1482 „

In Spuren: Br, J, B₂O₃, NH₃, P₂O₅, Al₂O₃, organ. Subst., H₂S.

Das entspricht für 1 Liter der

	Bonifaciuss-	Marien-	Elisabethen-	Hermanns-Quelle
K ₂ O	= 0,2828 g	0,3560 g	0,1729 g	0,2287 g
Na ₂ O	= 7,8288 „	8,4525 „	4,7816 „	6,4027 „
CaO	= 0,9484 „	1,2069 „	0,9144 „	1,1260 „
MgO	= 0,4803 „	0,5221 „	0,3858 „	0,4824 „
FeO	= 0,0156 „	0,0052 „	0,0065 „	0,0116 „
MnO	= Spur	Spur	Spur	Spur
Cl	= 9,1562 „	9,9326 „	5,5979 „	7,4936 „
SO ₃	= 1,4156 „	1,5439 „	1,0108 „	1,5220 „
SiO ₂	= 0,0286 „	0,0266 „	0,0257 „	0,0356 „
CO ₂ geb.	= 0,5030 „	0,6841 „	0,5946 „	0,5747 „
Sa.	20,6593 g	22,7299 g	13,4902 g	17,8773 g.

100 Theile des Rückstandes enthalten:

	Bonifaciuss-	Marien-	Elisabethen-	Hermanns-Quelle
K ₂ O	= 1,36 %	1,56 %	1,28 %	1,26 %
Na ₂ O	= 37,89 „	37,18 „	35,44 „	35,41 „
CaO	= 4,59 „	5,30 „	6,77 „	6,22 „
MgO	= 2,32 „	2,29 „	2,85 „	2,66 „
FeO	= 0,07 „	0,02 „	0,04 „	0,06 „
MnO	= Spur	Spur	Spur	Spur
Cl	= 44,32 „	43,69 „	41,49 „	41,45 „
SO ₃	= 6,85 „	6,79 „	7,49 „	8,41 „
CO ₂ geb.	= 2,43 „	3,00 „	4,40 „	3,17 „
SiO ₂	= 0,13 „	0,11 „	0,19 „	0,19 „
Sa.	99,96 %	99,94 %	99,95 %	98,83 %

Die für Unterfranken wichtigsten Quellen sind die von Kissingen. Nachstehende Untersuchungen wurden von *Gorup-Besanez* ¹⁾ und *Liebig* ²⁾ ausgeführt und zwar die des Rakoczy-, Pandur- und Maxbrunnens von *Liebig* und die der öfter erwähnten Schönbornquelle von *Gorup*.

Das allgemeine Verhalten der Wasser dieser vier Quellen ist analog dem der Neuhauser und der anderen schon beschriebenen der Zechsteinformation. Das Wasser des Rakoczy-, Pandur- und Maxbrunnens, sowie des Schönbornsprudels ist, frisch aus der Quelle geschöpft, vollkommen klar. Es perlt stark und besitzt infolge seines Kohlensäuregehaltes schwach saure Reaction und einen salzigen Geschmack. Beim Stehen an der Luft trübt sich das Wasser und setzt einen gelblichen Niederschlag ab. Beim Erhitzen findet eine sehr reichliche Gasentwicklung statt und es scheidet sich ein ockerfarbener Niederschlag aus. Der Niederschlag enthält Eisenoxyd, Manganoxyd, Thonerde, Kalk, Magnesia, Fluor, Phosphorsäure, Kieselsäure und Kohlensäure. Das Filtrat enthält Kalk, Magnesia, Ammoniak, Lithion, Natron und Kali, ferner Chlor, Brom, Jod, Schwefelsäure, Salpetersäure und Borsäure.

Es enthält 1 Liter Wasser von

	Rakoczy	Pandur	Maxbrunnens	Schönborn-Sprudel
KCl	= 0,2869 g	0,2414 g	0,14-5 g	— g
NaCl	= 5,8220 „	5,5207 „	2,2819 „	9,3985 „
LiCl	= 0,0200 „	0,0168 „	0,0005 „	0,0157 „
MgCl ₂	= 0,3037 „	0,2116 „	0,0666 „	0,0256 „
CaSO ₄	= 0,3893 „	0,3004 „	0,1381 „	0,2907 „
MgSO ₄	= 0,5883 „	0,5977 „	0,2506 „	1,1429 „
CaCO ₃	= 1,0609 „	1,0148 „	0,6023 „	1,4084 „
MgCO ₃	= 0,0170 „	0,0447 „	0,0730 „	0,0724 „
FeCO ₃	= 0,0315 „	0,0277 „	Spur „	0,0266 „
SiO ₂	= 0,0129 „	0,0041 „	0,0091 „	0,0132 „
CaHPO ₄	= 0,0056 „	0,0052 „	0,0041 „	0,0029 „
NaBr	= 0,0083 „	0,0070 „	—	—
NaNO ₃	= 0,0093 „	0,0035 „	0,0852 „	—
NH ₃	= 0,0009 „	0,0038 „	0,0008 „	—
NH ₄ Cl	= —	—	—	0,0257 „
K ₂ SO ₄	= —	—	—	0,4143 „
MnCO ₃	= Spur	Spur	Spur	0,0018 „
MgBr ₂	= —	—	—	0,0009 „
Sa.	8,5566 g	7,9994 g	3,6607 g	12,8396 g.
Freie CO ₂	= 2,4335 g	2,80625 g	2,43822 g	2,325 g.
Temperatur	10,7° C	10,7° C	9,2° C	19,2° C.

In Spuren sind vorhanden: NH₃, P₂O₅, MnO, B₂O₃, Br, J, F, organische Substanzen.

¹⁾ v. *Gorup-Besanez*: Chem. Analyse der Schönbornquelle bei Kissingen. Braunschweig, 1878. Vieweg & Sohn.

²⁾ v. *Liebig*: Untersuchung des Wassers des Rakoczy, Pandur's und Maxbrunnens zu Kissingen. Ann. Chem. Pharm. 1856. Bd. 98. S. 145 ff.

Das entspricht in 1 Liter Wasser bei

	Rakoczy	Pandur	Maxbrunnen	Schönbornspr.
K ₂ O	= 0,2122 g	0,1786 g	0,1098 g	0,2236 g
Na ₂ O	= 3,9152 „	3,7107 „	1,5644 „	4,9812 „
CaO	= 0,7575 „	0,6949 „	0,3964 „	0,9094 „
MgO	= 0,3291 „	0,2927 „	0,1133 „	0,4269 „
FeO	= 0,0196 „	0,0172 „	Spuren	0,0164 „
MnO	= Spuren	Spuren	Spuren	0,0010 „
Cl	= 3,8994 „	3,6245 „	1,5004 „	5,7448 „
SO ₃	= 0,6187 „	0,5726 „	0,2472 „	1,1245 „
CO ₂ geb.	= 0,5672 „	0,4803 „	0,3025 „	0,6691 „
SiO ₂	= 0,0129 „	0,0041 „	0,0091 „	0,0132 „
F	= Spuren	Spuren	Spuren	Spuren
Br	= 0,0065 „	0,0055 „	Spuren	0,0079 „
P ₂ O ₅	= 0,0026 „	0,0024 „	0,0019 „	0,0013 „
B ₂ O ₃	= Spuren	Spuren	Spuren	Spuren
N ₂ O ₅	= 0,0059 „	0,0023 „	0,0590 „	—
Li ₂ O	= 0,0051 „	0,0026 „	0,0009 „	0,0045 „
NH ₃	= 0,0009 „	0,0038 „	0,0008 „	0,0087 „
SrO	= Spuren	Spuren	Spuren	Spuren
	Sa. 10,3508 g	9,5922 g	4,3057 g	14,1325 g.

Es enthalten 100 Theile Rückstand des Wassers:

	Rakoczy	Pandur	Maxbrunnen	Schönbornspr.
K ₂ O	= 2,05 %	1,86 %	2,55 %	1,58 %
Na ₂ O	= 37,82 „	38,69 „	36,38 „	35,26 „
CaO	= 7,31 „	7,24 „	9,21 „	6,40 „
MgO	= 3,17 „	3,05 „	2,63 „	3,02 „
FeO	= 0,27 „	0,17 „	Spur	0,11 „
MnO	= Spur	Spur	Spur	Spur
Cl	= 37,67 „	37,80 „	34,89 „	40,67 „
SO ₃	= 6,13 „	5,97 „	5,74 „	7,96 „
CO ₂ geb.	= 5,48 „	5,00 „	7,00 „	4,73 „
SiO ₂	= 0,12 „	0,04 „	0,21 „	0,09 „
Li ₂ O	= 0,02 „	0,02 „	Spur	0,02 „
Br	= 0,06 „	0,05 „	Spur	0,05 „
P ₂ O ₅	= 0,02 „	0,02 „	0,04 „	0,01 „
N ₂ O ₅	= 0,05 „	0,02 „	1,25 „	—
	Sa. 100,17 %	99,93 %	99,90 %	99,90 %

Bei Vergleichung der Zahlen der auf Seite 14 u. 15 folgenden Tabelle über die procentische Zusammensetzung der gelösten Mineralbestandtheile¹⁾ ergibt sich der gemeinsame Ursprung aus gleichen Gesteins-Schichten sofort. Soden zeigt einen grösseren Gehalt von Calciumchlorid, während die kohlen- und schwefelsauren Salze hinter jenen der andern Quellen stark zurückbleiben. Die Kissinger

¹⁾ In den Tabellen sind die nur in Spuren vorhandenen Substanzen Raum-mangels wegen nicht durchgehends angegeben und wird deshalb auf die jeweils vorhergehenden Analysen verwiesen.

1 Liter enthält Gramm		KCl	NaCl	K ₂ SO ₄	Mg SO ₄	Na ₂ SO ₄	CaCl ₂	MgCl ₂	MgBr ₂
Soden im Spessart		0,4950	14,5720	—	—	—	5,1400	0,6460	0,0670
Orb	Philippsquelle	—	17,7830	0,4480	Spur	0,2280	—	1,1270	0,0044
Soden bei Saalmünster	Barbarossaquelle	1,8769	15,6571	—	0,0166	—	—	0,7028	—
	Huttenquelle	1,4171	14,6399	—	—	—	0,3917	0,5797	—
Neuhaus bei Neustadt	Bonifaciusquelle	0,4490	14,7715	—	1,4099	—	—	—	—
	Marienquelle	0,5652	15,9482	—	0,9684	—	—	—	—
	Elisabethenqu.	0,2746	9,0219	—	0,7216	—	—	—	—
	Herrmannsquelle	0,3631	12,0806	—	1,0446	—	—	—	—
Kissingen	Schönbornspr.	—	9,3985	0,4143	1,1429	—	—	0,0256	0,0009
	Rakoczy	0,2869	5,8220	—	0,5883	—	—	0,3037	—
	Pandur	0,2414	5,5207	—	0,5977	—	—	0,2116	—
	Maxbrunnen	0,1485	2,2819	—	0,2506	—	—	0,0666	—

1 Liter enthält Gramm		K ₂ O	Na ₂ O	NH ₃	CaO	MgO	FeO	MnO
Soden im Spessart		0,3118	7,6701	Spuren	2,9378	0,2908	0,0020	Spuren
Orb	Philippsquelle	0,2419	9,5243	„	1,4684	0,4823	0,0328	„
Soden bei Saalmünster	Barbarossaquelle	1,1824	8,2982	—	1,1962	0,4627	0,0135	„
	Huttenquelle	0,8927	7,7591	—	1,0931	0,4105	0,0102	„
Neuhaus bei Neustadt	Bonifaciusquelle	0,2828	7,8288	—	0,9484	0,4803	0,0156	„
	Marienquelle	0,3560	8,4525	—	1,2069	0,5221	0,0052	„
	Elisabethenqu.	0,1729	4,7816	—	0,9144	0,3858	0,0065	„
	Herrmannsquelle	0,2287	6,4027	—	1,1260	0,4824	0,0116	„
Kissingen	Schönbornspr.	0,2236	4,9812	0,0087	0,9094	0,4269	0,0164	0,0010
	Rakoczy	0,2122	3,9152	0,0009	0,7575	0,3291	0,0196	Spuren
	Pandur	0,1786	3,7107	0,0038	0,6949	0,2927	0,0172	„
	Maxbrunnen	0,1098	1,5644	0,0008	0,3964	0,1133	Spuren	„

100 Theile Rück

		K ₂ O	Na ₂ O	NH ₃	CaO	MgO
Soden im Spessart		1,26	31,05	Spuren	11,89	1,17
Orb	Philippsquelle	0,95	37,70	„	5,81	1,90
Soden bei Saalmünster	Barbarossaquelle	4,99	35,05	„	5,05	1,95
	Huttenquelle	4,08	35,49	„	5,00	1,87
Neuhaus bei Neustadt	Bonifaciusquelle	1,36	37,89	„	4,59	2,32
	Marienquelle	1,56	37,18	„	5,30	2,29
	Elisabethenqu.	1,28	35,44	„	6,77	2,85
	Herrmannsquelle	1,26	35,41	„	6,22	2,66
Kissingen	Schönbornspr.	1,58	35,26	„	6,40	3,02
	Rakoczy	2,05	37,82	„	7,31	3,17
	Pandur	1,86	38,69	„	7,24	3,05
	Maxbrunnen	2,55	36,38	„	9,21	2,63

CaCO ₃	Mg CO ₃	FeCO ₃	CaSO ₄	LiCl	Na NO ₃	NaBr	(CaO) ₃ (P ₂ O ₅) ₂	NH ₃	SiO ₂	Freie u. halbgb. CO ₂	Tempe- ratur	Summa
0,1170	0,0050	0,0040	0,7120	—	—	—	—	Spur	0,0050	0,1090	10,0°C	21,7630
1,6410	0,0170	0,0530	1,3370	Spur	—	—	—	„	0,0150	3,6174	15,5°C	22,6534
1,2105	0,3411	0,0218	1,2592	„	—	—	—	—	0,0329	1,1631	nicht an- gegeben	21,1189
0,7375	0,3740	0,0166	1,1987	„	—	—	—	—	0,0295	0,9646	„	19,3847
1,0889	0,0250	0,0253	0,8238	0,0009	—	—	—	—	0,0286	2,4212	8,8°C	18,6229
1,0400	0,4258	0,0085	1,5195	0,0009	—	—	—	—	0,0266	2,4911	8,8°C	20,5031
0,9730	0,3078	0,0106	0,8993	0,0009	—	—	—	—	0,0257	2,1123	8,6°C	12,2354
0,9827	0,2567	0,0193	1,4009	0,0009	—	—	—	—	0,0356	2,1482	8,7°C	16,1844
1,4084	0,0724	0,0266	0,2907	0,0157	—	—	0,0029	0,0087	0,0132	2,3250	19,2°C	12,8396
1,0609	0,0170	0,0315	0,3893	0,0200	0,0093	0,0083	0,0056	0,0009	0,0129	2,4335	10,7°C	8,5566
1,0148	0,0447	0,0277	0,3004	0,0168	0,0035	0,0070	0,0052	0,0033	0,0041	2,8062	10,7°C	7,9994
0,6023	0,0730	Spuren	0,1381	0,0005	0,0852	—	0,0041	0,0008	0,0091	2,4382	9,2°C	3,6607

Cl	SO ₃	Ge- bund. CO ₂	SiO ₂	Br	J	F	P ₂ O ₅	Li ₂ O	N ₂ O ₅	B ₂ O ₃	Summa
12,8480	0,4190	0,0570	0,0050	0,0580	Spuren	—	Spuren	—	—	Spuren	24,5995
11,6382	1,1222	0,7322	0,0150	0,0038	„	—	„	—	—	„	25,2611
10,9169	0,7519	0,7198	0,0329	Spuren	„	—	„	—	—	„	23,5745
10,4297	0,7061	0,5270	0,0295	„	„	—	„	—	—	„	21,8588
9,1562	1,4156	0,5030	0,0286	„	„	—	„	—	—	„	20,6593
9,9326	1,5439	0,6841	0,0266	„	„	—	„	—	—	„	22,7299
5,5979	1,0108	0,5946	0,0257	„	„	—	„	—	—	„	13,4902
7,4936	1,5220	0,5747	0,0356	„	„	—	„	—	—	„	17,8773
5,7448	1,1245	0,6691	0,0132	0,0079	„	Spuren	0,0013	0,0045	—	„	14,1325
3,8994	0,6187	0,5672	0,0129	0,0065	„	„	0,0026	0,0031	0,0059	„	10,3508
3,6245	0,5726	0,4803	0,0041	0,0055	„	„	0,0024	0,0026	0,0023	„	9,5922
1,5004	0,2472	0,3025	0,0091	Spuren	„	„	0,0019	0,0009	0,0090	„	4,3057

stand enthalten %

FeO	MnO	Cl	SO ₃	Ge- bund. CO ₂	SiO ₂	Br	P ₂ O ₅	Li ₂ O	N ₂ O ₅	Summa
0,008	Spuren	51,98	1,69	0,23	0,02	0,23	Spuren	Spuren	—	99,52
0,12	„	46,07	4,44	2,89	0,06	0,01	„	„	—	99,95
0,03	„	46,11	3,17	2,97	0,13	Spuren	„	„	—	99,45
0,04	„	47,71	3,23	2,41	0,16	„	„	„	—	99,99
0,07	„	44,32	6,85	2,43	0,13	„	„	„	—	99,96
0,02	„	41,69	6,79	3,00	0,11	„	„	„	—	99,94
0,04	„	41,49	7,49	4,40	0,19	„	„	„	—	99,95
0,06	„	41,45	8,41	3,17	0,19	„	„	„	—	98,83
0,11	„	40,67	7,96	4,73	0,09	0,05	0,01	0,02	—	99,90
0,27	„	37,67	6,13	5,48	0,12	0,06	0,02	0,02	0,05	100,17
0,17	„	37,80	5,97	5,00	0,04	0,05	0,02	0,02	0,02	99,93
Spur	„	34,89	5,74	7,00	0,21	Spur	0,04	Spur	1,25	99,90

Quellen zeichnen sich von den andern dadurch aus, dass sie kohlen-sauren Kalk in grösserer Menge als die übrigen enthalten. Es dürfte dies daher rühren, dass in dem Zechstein des Kissinger Bohr-lochs der kohlen-saure Kalk die kohlen-saure Magnesia bedeutend überwiegt; v. Sandberger gibt folgende Zusammensetzung für den-selben an: CaCO_3 60,20 %, MgCO_3 17,22 %, Thon und Bitumen 22,58 % ¹⁾.

Was den Gesamtgehalt an Chlornatrium anbetrifft, so stellt er sich bei sämmtlichen Quellen als nahezu gleich heraus. Be-merken-swerth ist die verhältnissmässig geringe Menge von Chlor-kalium, was den Beweis liefert, dass die meisten Quellen nicht aus eigentlichen Mutterlaugenregionen abstammen. Nur bei Soden-Stolzenberg steigt der Gehalt von Kali etwa um 2 %, aber die anderen Zahlen stimmen mit den übrigen so gut, dass auch für diese Quellen keine andere Abkunft als aus den Salzmergeln der Anhydritgruppe des Zechsteins (No. 5 des ersten und No 3 des zweiten Profils) angenommen werden könnte. Nach v. Sand-berger ²⁾ liess sich aus einem Salzthone des Schönborn-Bohrlochs 3,5 % NaCl neben geringen Mengen von Chlorkalium auslaugen. Bei allen Soolquellen, wo später Steinsalzlager gefunden wurden, liess sich der Nachweis führen, dass dieselben ihren Kochsalz-Gehalt nicht aus Steinsalzlagern selbst, sondern aus den Schichten, welche das Salz in fein vertheiltem Zustande und mit Kali-, Kalk- und Magnesia-Salzen verbunden enthalten. ³⁾ Damit wäre auch die Herkunft der schwefelsauren Salze, des Gypses und des Bittersalzes erklärt. Baryumsulfat und das des Strontiums finden sich ja auch zuweilen, wenn auch selten, mit Anhydrit zusammen, dies erklärt das Vorkommen des Strontiums in den betr. Quellen. Dagegen haben die kohlen-sauren Salze ihren Ursprung entschieden nicht in den Salzmergeln, sondern werden aus dem Zechstein-dolomit ausgelaugt. Wichtig für die Lösung der kohlen-sauren Erdalkalien und des Eisenoxyduls ist der Gehalt an Eisenkies in dem Platten-Dolomite (siehe Profil der Kissinger Quellen S. 5). Bekanntlich setzt sich der Eisenkies sehr leicht in schwefel-saures Eisenoxydul und freie Schwefelsäure um nach der Gleichung $\text{FeS}_2 + 7 \text{O} + \text{H}_2\text{O} = \text{FeSO}_4 + \text{H}_2\text{SO}_4$. Die so gebildete Schwefel-

¹⁾ v. Sandberger: Geolog. Verhältnisse der Kissinger Quellen. Verhdlg. der phys.-med. Gesellschaft zu Würzburg. Neue Folge Bd. I. S. 160.

²⁾ v. Sandberger: Untersuch. über Erzgänge. Hft. I. S. 6.

³⁾ Roth, Chem. Geologie. I. Bd. S. 443.

säure entwickelt aus dem Dolomit freie Kohlensäure und bildet Gyps und Bittersalz. Ein Theil des Gehaltes der Quellen an diesen Sulfaten wird wohl auch hievon herrühren. Unter der Einwirkung der freien Kohlensäure gehen nun Kalk und Magnesia als Bicarbonate in Lösung, während das gebildete Eisensulfat sich andererseits wieder mit Kalk- und Magnesiacarbonat in kohlensaures Eisenoxydul und in die Sulfate des Calciums und Magnesiums umsetzt. Ersteres wird durch die freie Kohlensäure ebenfalls in Lösung gebracht.

Von der Ansicht¹⁾, dass die namentlich in den Kissinger Quellen in grosser Menge vorhandene Kohlensäure ihren Ursprung nur der Einwirkung der aus dem Eisenkies durch Oxydation entstehenden Schwefelsäure verdankt, ist *v. Sandberger* zurückgekommen, da dies doch nicht in dem Maassstabe vor sich geht, um die grossen vorhandenen Mengen von freier Kohlensäure erklärlich finden zu lassen. Die Einwirkung von kieselsäurehaltigen Flüssigkeiten in grosser Tiefe und also bei höherer Temperatur auf die kohlensäurehaltigen Gesteine ist nach ihm z. Z. noch die wahrscheinlichste aller Deutungen für die Herkunft des kohlensauren Gases.

Von den gelösten Carbonaten ist das des Calciums am reichlichsten vorhanden, dann folgt das des Magnesiums und hierauf das des Eisens. Mangancarbonat findet sich in allen Wassern in Spuren. Dies stimmt sehr gut mit dem Verhalten der betr. Salze, da CaCO_3 am leichtesten, MnCO_3 am schwersten in kohlensäurehaltigem Wasser löslich ist. Die Löslichkeit der sonst ziemlich leicht löslichen kohlensauren Magnesia wird durch den Gehalt an Chloriden im Wasser noch erhöht.

Von den in den Quellen in geringer Menge vorhandenen Körpern, wie Lithion, Baryt, Strontian, Phosphorsäure, Borsäure, Arsenige Säure, Antimonige Säure, Bleioxyd, Kupferoxyd und Zinkoxyd, welche sich natürlich nicht im Wasser selbst nachweisen lassen, sondern in den von demselben abgesetzten Ockern, rühren Li_2O , PbO , CuO , ZnO , As_2O_3 , Sb_2O_3 , SnO_2 und P_2O_5 ebenfalls von dem Zechsteindolomit her, da *v. Sandberger*²⁾ nachwies, dass alle diese Körper in dem betreffenden Gestein, wenn auch

1) *v. Sandberger*: Geol. Verhältn. d. Kiss. Quellen. Verhdlg. d. physik.-med. Gesellschaft zu Würzburg. N. Folge Bd. I. S. 163.

2) *v. Sandberger*: Untersuchungen über Erzgänge. I. Heft. Wiesbaden 1882. S. 6. Verhdl. der phys.-med. Gesellschaft. N. F. XXI. Bd.

nur in Spuren, vorkommen. Die anderen in geringen Mengen vorhandenen Bestandtheile, wie BaO, SrO, B₂O₃ und F sind Körper, welche in den Anhydrit-Gruppen aller Formationen Gyps und Anhydrit begleiten und in Ockern von Wassern aus Anhydrit-Gruppen jüngerer Formationen von Anderen und von mir für eine Quelle aus der Anhydrit-Gruppe des Muschelkalks nachgewiesen werden konnten. Dass As, Cu und Sn in den Ockern von Kissinger Quellen vorkommen, wies schon *Buchner*¹⁾ und *Keller*²⁾ nach.

Ocker und Absätze der Quellen der Zechsteinformation.

Von Ockerbildungen wurden von mir der Untersuchung unterzogen:

- 1) Der Ocker, welcher am 21. Oktober 1880 vom Boden des ausgepumpten Schönborn-Schachtes, den er fast 2 cm hoch bedeckte, entnommen war. Derselbe zeigte sich z. Th. aus incrustirten Algen zusammengesetzt.
- 2) Der Ocker, welcher sich während vieler Jahre im Becken des runden Brunnens in Kissingen abgesetzt hatte und demselben zu derselben Zeit entnommen worden war.
- 3) Der Ocker, welcher sich aus schon seit langer Zeit verschwundenen Quellen bei Oberebersbach abgesetzt hat und dort eine schon oben (S. 10) erwähnte stockförmige Ablagerung von etwa 3½ m Mächtigkeit bildet, welche seit Jahren in Schweinfurt zu Farben verarbeitet wird.

Sämmtliche drei Ocker verdanke ich der Güte des Herrn Professor v. *Sandberger*. Weitere Ocker zu erhalten, war mir zur Zeit nicht möglich.

Die chemische Analyse des auch schon von *Gorup* untersuchten Ockers von der Schönborn-Quelle, welcher eine braunrothe pulverige Masse darstellt, ergab in vorwiegender Menge Eisenoxydhydrat, CaCO₃, MgCO₃, ferner As₂O₃, Sb₂O₃, PbO, CuO, MnO, ZnO, CoO und Spuren von SrO. Das von *Keller*³⁾ in den Quellabsätzen des Pandurs und Rakoczys gefundene SnO₂ konnte ich nicht entdecken. Auch *Gorup-Besanez*⁴⁾ fand diesen

¹⁾ *Buchner*: Journ. f. pract. Chem. XL. S. 445.

²⁾ *Bischoff*: Chem. Geologie I. Aufl. Bd. II. S. 2080.

³⁾ *Bischoff*: Chem. Geologie I. Aufl. Bd. II. S. 2079 ff.

⁴⁾ v. *Gorup-Besanez*: Chem. Analyse der Schönbornquelle b. Kissingen. Braunsch. 1871. S. 17.

Körper nicht in dem Ocker der Schönbornquelle. Dagegen gelang es mir, die Gegenwart von ZnO in dem untersuchten Absatz unzweifelhaft festzustellen, wovon meines Wissens bis jetzt Nichts bekannt war; *Gorup* gibt nur eine zweifelhafte Spur an.

Der dem Pitticit ähnliche Körper vom runden Brunnen bildet Streifen von dunkelrothbrauner Farbe und starkem Fettglanz, einer eingetrockneten Gallerte gleichend, in dem erdigen Ocker dieser Quelle. Erstimmt im Aussehen ganz mit dem auf Klüften im tertiären Kalke von Nördlingen vorkommenden Pitticit und jenem von den Freiburger Gängen überein. Seine Zusammensetzung ist aber nicht die des letzteren, da er keine Schwefelsäure enthält und daher nicht direkt als Pitticit, sondern nur als ein diesem ähnliches amorphes Eisenoxyd-Arseniat bezeichnet werden kann. Die Metalle, welche dieser Körper ausserdem enthält, sind dieselben wie in dem Ocker No. 1; nur herrscht As_2O_3 und Fe_2O_3 in ganz grossem Maassstabe vor, während die anderen Elemente, wie Sb, Pb, Cu, Mn und Ca nur in Spuren vorhanden sind.

Dagegen stimmt der Ocker Nr. 3 von Oberebersbach mit dem des Schönborn-Schachtes vollständig überein. Er wurde demnach auch von einer Quelle von gleicher Zusammensetzung abgesetzt.

Diese aus zusammengesetzten Lösungen erfolgten Niederschläge vervollständigen in erwünschter Weise die Liste der durch die Analyse in dem Wasser selbst nachgewiesenen Körper.

Kalkcarbonat fällt als Aragonit oder Kalkspath, je nachdem die Lösung heiss oder kalt, verdünnt oder concentrirt ist. Kohlensäure Magnesia findet sich selten in grösserer Menge, da das Magnesiumcarbonat bei Gegenwart von anderen Salzen, namentlich Chloriden, viel leichter löslich ist als Kalkcarbonat.¹⁾ Es wird demnach viel später und weiter von der Quelle entfernt abgesetzt. Ganz besonderen Antheil aber an der Bildung von Ockern, den ersten Niederschlägen an den Quellenmündungen, hat das Eisenoxydulcarbonat. Dasselbe hat das Bestreben, bei Gegenwart von Sauerstoff sich sofort zu oxydiren und Eisenoxydhydrat zu bilden. Es wird deshalb niemals Ferroc carbonat abgesetzt, sondern immer Eisenoxydhydrat. Das Manganoxydulcarbonat dagegen fällt wieder als solches, oxydirt sich aber

¹⁾ *Roth*: Chem. Geologie I. S. 51.

auch sehr rasch und in den Absätzen finden sich daher verschiedene Oxydationsstufen desselben, wie Manganoxoxydul und Manganoxdyhydrat, welche sich später noch in Manganhyperoxyd höher oxydiren können. Immer aber fällt das Eisen früher als das Mangan, nie gleichzeitig.

Mit den ersten Niederschlägen des Eisenoxdyhydrats wird ferner die Phosphorsäure und die Kieselsäure ausgefällt. Erstere ist an Eisenoxyd oder Thonerde gebunden, letztere setzt sich theilweise als solche oder gebunden an Eisenoxyd, Thonerde, Kalk oder Magnesia ab¹⁾. Die Arsensäure ist in den Ockern an Eisenoxyd gebunden, dürfte aber im Wasser als arsensaurer Kalk gelöst sein.²⁾

Mit den weiter oben genannten Carbonaten fallen aber ferner noch die des Strontiums und Baryums, letzteres jedoch häufiger als schwefelsaures Salz, d. h. Schwerspath. Ist Gyps in den Quellen enthalten, so wird dieser als solcher abgeschieden, jedoch erst, nachdem Carbonate, Phosphate und Arseniate gefallen sind. Auch Fluorverbindungen, welche ja auch in den Kissinger Quellen in Spuren vorhanden sind, fallen als Calciumfluorid. Die Elemente Cu, Pb, Co, Zn, Sb, Ni und Sn fallen als Oxyde. Kupfer und Arsen finden sich nach *Walchner* in den Eisenabsätzen so häufig, dass er Spuren davon, namentlich Arsen, in allen Brauneisensteinen und Bohnerzen der Juraformation, sowie in den Sumpferzen und Raseneisenerzen jüngeren geologischen Alters nachweisen konnte.³⁾

Im Allgemeinen kann man behaupten, dass in dem Maasse, als sich die Niederschläge entfernter von der Quelle absetzen, Eisenoxyd, Kieselsäure, Phosphorsäure, Arsensäure und die schwermetallischen Oxyde, Kalk- und Magnesiacarbonat und Gyps zunehmen.⁴⁾

Welch' ausserordentliche Menge von Mineralbestandtheilen von derartigen Quellen im Innern der Erdrinde ausgezogen und an der Oberfläche wieder abgesetzt werden, zeigt die kleine nachstehende Tabelle.

1) *Roth*: Chem. Geologie I. S. 567.

2) *v. Sandberger*: Unters. über Erzgänge I. Heft S. 9.

3) *Ann. Chem. Pharm.* 61. S. 206.

4) *Bischoff*: Chem. Geologie Bd. II. S. 2088.

Es gehen in 24 Stunden	In 1 Liter sind feste Bestand- theile		Feste Bestandtheile in Kilogramm			Dividirt durch das spec. Gewicht = 2,2 gibt	
	Liter	in Gramm	in 24 Stunden	in 1 Jahr*)	1) seit 1854 (32 J.) 2) „ 1822 (64 „) 3) „ 1737 (149 „)	Cubikdeci- meter	Cubik- meter
Schön- bornsprdl.	1073995,20	14,1325	15178,237	5540056,565	177281810,080	80582640,94	80582,640
Runder Brunnen	430095,30	14,2994	6150,104	2244788,227	143666446,528	65302930,24	65302,930
Rakoczy u. Pandur.	80549,64	19,9430	1606,401	586336,537	87364144,013	39710974,55	39710,974

*) Mit Berücksichtigung weiterer Decimalstellen bei den Zahlen der vorhergehenden Columne.

II. Die Quellen der Trias.

A. Wasser der Buntsandstein-Gruppe.

Die aus dem Buntsandstein zu Tage tretenden Quellen Unterfrankens sind zum Theil berühmte Heilquellen, meistens aber Wasser von ganz vorzüglichen Eigenschaften.

Wie schon in der allgemeinen geologischen Uebersicht angedeutet, hat der Buntsandstein seine mächtigste Entwicklung im westlichen und nordwestlichen Unterfranken, im Spessart und in der Rhön; im östlichen und südöstlichen Theile dagegen ist er überdeckt von den jüngeren Gliedern der Trias.

Die Schichtenfolge des Buntsandsteins ist nach den Arbeiten Professors v. Sandberger ¹⁾ im Spessart und in der Rhön folgende: Von unten nach oben folgen:

- I. Dunkelrothe Schieferletten (Leberschiefer) mit localen Einlagerungen von Rotheisenerz und (nach oben) von Sandsteinbänkchen 64,0 m
- II. Weisser feinkörniger Sandstein (Heigenbrückener Schichten) 11,6 „
- III. Rother und bunter thoniger Sandstein, nach oben weiss mit quarzigem Bindemittel und Geröllen . 226,0 „
- IV. Blauer, violeter und grüner Sandstein mit Dolomitputzen und Carneol (Carneolbank) 6,0 „
- V. Rother thoniger Buntsandstein mit Voltzien und Equiseten 31,5 „

¹⁾ v. Sandberger: Die Triasformation im mittleren Maingebiete. Würzb. Gemeinnützige Wochenschrift 1882, S. 7.

VI. Weisslicher grobkörniger Sandstein mit Fährten von Chirotherium	0,6 „
VII. Dunkelrother Schieferthon (Röth)	27,0 „
<hr/>	
Total 366,7m.	

Die Schichten des nur wenig oder gar kein thoniges Bindemittel führenden Sandsteins sind mehr oder weniger porös, sehr häufig stark zerklüftet. Für die Wasser sind deshalb zahllose ungehemmte Circulationswege geöffnet, d. h. der Sandstein ist im hohen Grade wasserdurchlassend. Dagegen sind alle stark thonigen Bänke für das Wasser undurchlässig. Es werden deshalb überall da Quellen aus den Schichten des Buntsandsteins austreten, wo ein Wasserhorizont, wie diese Schichten genannt werden, zu Tage geht, oder mittelst Spalten mit der Erdoberfläche in Verbindung steht. Dagegen kann an Orten, die dem grobkörnigen Buntsandstein angehören, zeitweise empfindlicher Wassermangel eintreten. Der Hauptwasserhorizont des Buntsandsteins sind die Leberschiefer (No. I des Profils). Die oberste Schicht (No. VII des Profils), der Röth, ist nicht minder wasserhaltend und die Quellen, welche hier zu Tage treten, geben an Stärke denen, die über den Leberschiefern hervorbrechen, nichts nach. Der Roth sammelt aber nicht die Wasser des Buntsandsteins, sondern die des aufliegenden Wellendolomits und Wellenkalks, welche sich noch mit Mineralbestandtheilen von der Oberfläche des Röths selbst anreichern und viel härter als die Buntsandsteinwasser sind. — Da der Sandstein, der die auszulagenden Schichten bildet, überwiegend aus Schutt von Urgesteinen, namentlich aus Quarzkörnern, besteht, welche durch Eisenoxyd oder Thon verbunden sind, und ferner nur lokal Kieselsäure oder kohlenaurer Kalk als Bindemittel auftritt, ist es leicht begreiflich, dass das Wasser des Buntsandsteins ein ausserordentlich gutes und fast chemisch reines ist; wird doch im Laboratorium der Universität Heidelberg dasselbe als destillirtes gebraucht. Enthält dagegen der Sandstein eine grössere Menge von Feldspath- und Glimmer-Resten, so steigert sich natürlich der Gehalt an Mineralbestandtheilen; dies findet aber auch statt, wo das Wasser längere Zeit mit den Schichten der Leberschiefer in Berührung ist, da letztere viel mehr Bestandtheile enthalten, welche bei der Verwitterung im Wasser lösliche Körper entstehen lassen, als die fast nur aus Quarzkörnern be-

stehenden Sandsteine. Schon aus älterer Zeit liegt eine Menge von Analysen von unterfränkischem Buntsandstein aus verschiedenen Niveaus vor. ¹⁾ Neuere wurden von Herrn Professor *Hilger* in Erlangen ausgeführt. Ich führe hier einige derselben an, welche Herr Professor *v. Sandberger* die Güte hatte mir mitzutheilen.

Ein Schieferthon (Leberschiefer) des untersten Buntsandsteins von Schweinheim bei Aschaffenburg enthält:

43,4 % in HCl Unlösliches,

56,6 % in HCl Lösliches.

Lösliches in %	Unlösliches in %
SiO ₂ = 24,5	SiO ₂ = 34,7
Al ₂ O ₃ = 3,3	CaO = 0,6
Fe ₂ O ₃ = 12,7	Fe ₂ O ₃ = 0,5
CaO = 1,0	Al ₂ O ₃ = 6,2
MgO = 1,3	K ₂ O = 1,2
Na ₂ O = 0,7	Na ₂ O = 0,9
K ₂ O = 1,0	Li ₂ O = Spuren.
P ₂ O ₅ = 1,2	
SO ₃ = 0,9	
Cl = 1,2	

Eine Analyse von rothem oberem oder Voltzien-Sandstein von Erlabrunn ergab dagegen:

in HCl {		Lösliches	8,665 %
		Unlösliches	91,335 %
Lösliches in %	Unlösliches in %		
SiO ₂ = 1,726	SiO ₂ = 79,077		
Al ₂ O ₃ = 1,258	Al ₂ O ₃ = 6,975		
Fe ₂ O ₃ = 1,752	Fe ₂ O ₃ = 1,643		
CaO = 0,209	K ₂ O = 2,845		
FeO = 0,470	Na ₂ O = 0,827		
MgO = 0,581	Gesamt		
K ₂ O = 0,654	SiO ₂ = 80,793		
Na ₂ O = 0,531	Al ₂ O ₃ = 8,233		
SO ₃ = 0,159	Fe ₂ O ₃ = 3,395		
P ₂ O ₅ = 0,524	CaO = 0,119		
Cl = 0,095	MgO = 0,581		
H ₂ O = 1,037	CaSO ₄ = 0,291		
	P ₂ O ₅ = 0,524		
	NaCl = 0,156		
	K ₂ O = 3,490		
	Na ₂ O = 1,275		
	H ₂ O = 1,037		
		99,903.	

¹⁾ *Freiherr v. Bibra: Erdmann's Journ. f. pract. Chemie. XXVI. S. 21 ff.*

Nach diesem lassen sich die Wasser des Buntsandsteins in zwei Gruppen eintheilen, in Wasser, die der Leberschiefer-Region angehören, und solche, welche aus dem eigentlichen Sandstein ausbrechen. Daran schliessen sich dann die Quellen des Röhls.

Der Eisensäuerling von Memlos.

Zwischen Lütter und Memlos an der Rhön, unweit Fulda, entspringt im Lütter-Thale eine seit mehr denn 400 Jahren bekannte Mineralquelle, jene vom Memlos, und beträchtlich höher eine zweite, jene des Weikartshofes. Ungefähr 10 m nordwestlich von der ersten liess der Besitzer einen neuen Schacht graben, da auch hier Mineralwasser hervordrang. In einer Tiefe von 3 m traf man auf eine aus uralter Zeit stammende Fassung in Form eines ausgehöhlten Eichstammes von 1,25 m Durchmesser. Derselbe war ganz mit Sinter bedeckt. Nach Ausheben des Stammes fand sich eine stark fliessende, aus NO kommende Quelle. — Die Thalsole liegt hier 251 m über dem Meeresspiegel, während das Gebirge bis auf 319 m aufsteigt und aus Buntsandstein aufgebaut ist. Die Quellen kommen aus Verwerfungsspalten im Buntsandstein und die Wasser der Memloser Mineralquellen, die in ihrer Zusammensetzung vollständig übereinstimmen, haben ihre festen Bestandtheile aus den Leberschiefern entnommen, welche in der Rhön Gyps- und Kalk-Einlagerungen führen.¹⁾

Die vorliegenden Analysen sind von Dr. G. C. Wittstein²⁾ in München ausgeführt und gebe ich nachstehend die Zahlen der Hauptquelle (neuen), da die der anderen nahezu dieselben sind (nur in der vierten Stelle verschieden).

In einem Liter sind enthalten:

NaCl	=	0,05874 g	
K ₂ SO ₄	=	0,04311 "	
Na ₂ SO ₄	=	0,05620 "	
CaSO ₄	=	0,78231 "	
(Li ₂ O)P ₂ O ₅	=	0,00030 "	
Na ₂ O (CO ₂) ₂	=	0,33000 "	oder Na ₂ CO ₃ = 0,23001 g
CaO (CO ₂) ₂	=	1,13158 "	CaCO ₃ = 0,78994 "
MgO (CO ₂) ₂	=	0,04293 "	MgCO ₃ = 0,02704 "
FeO (CO ₂) ₂	=	0,00041 "	FeCO ₃ = 0,00029 "
MnO (CO ₂) ₂	=	0,00023 "	MnCO ₃ = 0,00017 "
SiO ₂	=	0,01916 "	

Sa. 2,46499 g resp. 2,00727 g.

Temperatur = 9,8° C.

Freie CO₂ = 1,77895 g

Spuren: org. Subst., P₂O₅.

¹⁾ S. Bohrlochprofil der Schönborn-Quelle. S. 5.

²⁾ Wittstein: Chem. Untersuch. d. Memloser Kohlensäuerlinge. Fulda bei Uth 1877.

Das entspricht im Liter Wasser:

K ₂ O	=	0,02328 g
Na ₂ O	=	0,18115 "
CaO	=	0,76205 "
MgO	=	0,01288 "
FeO	=	0,00018 "
MnO	=	0,00010 "
Cl	=	0,03559 "
SO ₃	=	0,51289 "
CO ₂ geb.	=	0,45774 "
SiO ₂	=	0,01916 "
<hr/>		
Sa.		2,00502 g.

In 100 Theilen Rückstand sind enthalten:

K ₂ O	=	1,16 ‰
Na ₂ O	=	9,05 "
CaO	=	38,09 "
MgO	=	0,64 "
FeO	=	0,09 "
MnO	=	0,06 "
Cl	=	1,77 "
SO ₃	=	25,63 "
CO ₂ geb.	=	22,8 "
SiO ₂	=	0,96 "
<hr/>		
Sa.		100,33 ‰

Die Quelle des Stahlbades Bocklet.

In dem von üppigen Wiesen bedeckten, von dichtbewaldeten Bergen, den SO-Ausläufern des Rhöngebirges begrenzten Saalethal liegt 1½ Stunden oberhalb Kissingen 209,7m über dem Meere Bocklet. Die das Thal umschliessenden Berge, der Heiligenberg und Stellberg, gehören der Buntsandsteinformation an. Die Quelle selbst tritt aus den schon öfter erwähnten Leberschiefern des unteren Buntsandsteins in einer Schachtfassung zu Tage. Die unten stehende Analyse rührt von Professor *Kastner* vom Jahre 1837 her; neuere Analysen sind nicht bekannt und kann ich für die Genauigkeit der Zahlen nicht einstehen.

Kastner ¹⁾ fand in 1 Liter

KCl	=	0,0184 g
NaCl	=	0,8190 "
MgCl ₂	=	0,5540 "
Na ₂ SO ₄	=	0,3177 "
MgSO ₄	=	0,4038 "
MgCO ₃	=	0,4200 "
CaCO ₃	=	0,8181 "
FeCO ₃	=	0,0763 "
MnCO ₃	=	0,0001 "
SiO ₂	=	0,0276 "
Al ₂ O ₃	=	0,0063 "
Extractiv St. =:		0,0025 "
<hr/>		
Sa.		3,4578 g.

Temperatur = 100 C.

Freie CO₂ = 1312,9 ccm

= 2,4945 g.

In Spuren: P₂O₅, Li₂O.

¹⁾ Dr. Scherpf: Das Stahlbad Bocklet und seine Heilmittel. Würzburg 1880 bei Stahel S. 76.

Das entspricht in 1 Liter :		In 100 Theilen Rück- stand sind enthalten :	
K ₂ O	= 0,01159 g	K ₂ O	= 0,32 ‰
Na ₂ O	= 0,57385 "	Na ₂ O	= 15,67 "
CaO	= 0,45813 "	CaO	= 12,51 "
MgO	= 0,56470 "	MgO	= 15,43 "
FeO	= 0,04730 "	FeO	= 1,30 "
MnO	= Spar	MnO	= Spar
Cl	= 0,92060 "	Cl	= 25,15 "
SO ₃	= 0,44860 "	SO ₃	= 12,25 "
CO ₂ geb.	= 0,60740 "	CO ₂ geb.	= 16,60 "
SiO ₂	= 0,02760 "	SiO ₂	= 0,77 "
Org. Subst.	= 0,00250 "		
Sa. 3,66227 g.		Sa. 100,00 ‰.	

Die Quellen des Haupt-Buntsandsteins.

Zu dieser Gruppe gehören die Mineralquellen von Brückenau, Kothen und Riedenberg in der Rhön. Ausserdem erhält eine Reihe von Städten des Spessarts und der Rhön ihr Trinkwasser aus dieser Region. Alle diese zeichnen sich durch ihre Reinheit aus.

Als Repräsentant dieser Trinkwasser liefernden Quellen wurde jene Lohr's gewählt, deren Analyse, sowie die der Sauerlinge von Kothen und Riedenberg von mir ausgeführt wurde, während für Brückenau die vorzüglichen des Professors v. Scherer vorlagen.

Die Stadtquelle von Lohr.

Das Städtchen Lohr liegt zwischen Aschaffenburg und Gemünden am Main 167,8 m über dem Meeresspiegel, umgeben von Buntsandsteinbergen des östlichen Spessarts. Die städtische Wasserleitung wird von Quellen aus wenig thonigem Sandstein gespeist; das Wasser ist vollständig klar, geschmack- und geruchlos und ohne Einwirkung auf Reagenspapier. Die Temperatur desselben war bei einer Lufttemperatur von 19° C = 10° C.

1 Liter Wasser enthält :	Dies entspricht in 1 Liter	In 100 Theilen Rück- stand sind enthalten :
KCl = 0,00374 g	K ₂ O = 0,00274 g	K ₂ O = 10,13 ‰
NaCl = 0,00284 "	Na ₂ O = 0,00194 "	Na ₂ O = 7,20 "
CaCO ₃ = 0,00947 "	CaO = 0,00531 "	CaO = 19,63 "
MgCO ₃ = 0,00100 "	MgO = 0,00043 "	MgO = 1,60 "
SiO ₂ = 0,00790 "	Cl = 0,00352 "	Cl = 13,02 "
	SiO ₂ = 0,00790 "	CO ₂ geb. = 18,49 "
	CO ₂ geb. = 0,00500 "	SiO ₂ = 29,21 "
Sa. 0,02495 g.	Sa. 0,02684 g.	Sa. 99,28 ‰.

Die Quellen des Bades Brückenau.

Etwa $\frac{1}{2}$ Stunde vom Städtchen Brückenau entfernt liegt im romantischen Thale der vorderen Sinn 297,9 m über dem Meere das Bad Brückenau. Das Thal ist nach SW offen, während es in W und N vom Fondsberg und Harthwald, im S vom Sinnberg und dem majestätischen Dreistelz begrenzt wird. Drei Mineralquellen, schon seit dem vorigen Jahrhundert bekannt, treten aus einer Verwerfungsspalte des Buntsandsteins, der dort den Untergrund bildet, zu Tage. Die mit prächtigen Waldungen bestandenen Höhen der oben genannten Berge bauen sich ebenfalls aus Buntsandsteinmassen auf, welche mit Wellenkalk und Basalt überdeckt sind. — Von den drei Heilquellen ist eine ein Eisensäuerling, während die beiden anderen den sog. erdig-alkalischen Säuerlingen zuzuzählen sind. Dieselben wurden von *v. Scherer*¹⁾ untersucht, welcher in denselben Ameisensäure, Propionsäure, Essigsäure und Buttersäure nachwies, deren Abkunft er dem Humusboden der umgebenden dichten Waldungen zuschreibt. Nach *Scherer* gestalten sich die Verhältnisse dieser drei Quellen wie folgt:

1 Liter enthält von der

Stahlquelle:	Wernarzer Quelle	Sinnberger Quelle
NaCl = — g	0,0041 g	0,0101 g
MgCl ₂ = 0,0109 "	—	—
K ₂ SO ₄ = 0,0190 "	0,0096 "	0,0045 "
Na ₂ SO ₄ = 0,0107 "	—	—
MgSO ₄ = 0,0612 "	—	—
K ₂ O (CO ₂) ₂ = — "	0,0020 "	0,0038 "
Na ₂ O (CO ₂) ₂ = — "	0,0085 "	—
CaO (CO ₂) ₂ = 0,2276 "	0,0552 "	0,0568 "
MgO (CO ₂) ₂ = 0,0207 "	0,0332 "	0,0275 "
FeO (CO ₂) ₂ = 0,0120 "	0,0016 "	} 0,0007 " mit P ₂ O ₅ und Al ₂ O ₃
MnO (CO ₂) ₂ = 0,0048 "	0,0004 "	
SiO ₂ = 0,0138 "	0,0177 "	0,0168 "
P ₂ O ₅ = 0,0005 "	0,0009 "	Spuren
Al ₂ O ₃ = Spuren	0,0002 "	Spuren
Extract u. org.		
Stoffe = 0,0636	0,0215 "	0,0230 g
Ameisensäure = Spuren	0,0007 "	Spuren
Butter-, Propion- u. Essigsäure = Spuren.	0,0019 "	0,0012 g
Sa. 0, 448 g.	0,1575 g.	0,1444 g.
Freie u. halbgeb. CO ₂ = 2,289 g.	2,3012 g.	1,8326 g.
Temperatur: 9,75 ° C.	10,25 ° C.	9,5 ° C.

¹⁾ *v. Scherer*: Die Mineralquellen zu Brückenau in Bayern etc. Ann. Chem. Pharm. 99, S. 257.

Das entspricht an Oxyden und Säuren in 1 Liter der

	Stahlquelle	Wernarzer Quelle	Sinnberger Quelle
K ₂ O	= 0,01030 g	0,00620 g	0,00490 g
Na ₂ O	= 0,00470 "	0,00380 "	0,00535 "
CaO	= 0,08870 "	0,02180 "	0,02210 "
MgO	= 0,04090 "	0,01040 "	0,00886 "
FeO	= 0,00320 "	} 0,00110 "	0,00005 "
MnO	= 0,00220 "		
Cl	= 0,00260 "		
SO ₃	= 0,05550 "	0,00440 "	0,00210 "
CO ₂ geb.	= 0,11924 "	0,06020 "	0,05520 "
SiO ₂	= 0,01380 "	0,01770 "	0,01680 "
P ₂ O ₅	= 0,00030 "	0,00050 "	Spuren
Sa.	0,34153 g	0,12860 g	0,12181 g.

In 100 Theilen Rückstand sind enthalten:

	Stahlquelle	Wernarzer Quelle	Sinnberger Quelle
K ₂ O	= 2,99 0/0	4,82 0/0	4,02 0/0
Na ₂ O	= 1,36 "	2,95 "	4,38 "
CaO	= 25,81 "	16,95 "	18,15 "
MgO	= 11,90 "	8,08 "	7,27 "
FeO	= 1,59 "	} 0,85 "	Spur
MnO	= 0,64 "		
Cl	= 0,76 "		
SO ₃	= 16,14 "	3,42 "	1,72 "
CO ₂ geb.	= 34,69 "	46,81 "	45,33 "
SiO ₂	= 4,01 "	13,76 "	12,79 "
P ₂ O ₅	= Spur	0,49 "	Spur
Sa.	99,89 0/0	100,07 0/0	99,95 0/0

Die Stahlquelle liegt am rechten Ufer der Sinn inmitten der Kurgebäude. Sie hat eine Schachtfassung und entspringt aus einem etwa 5 m tiefen Bohrloch zwischen den Platten des bunten Sandsteins. Die Oberfläche des Wassers ist durch aufsteigende Gasblasen in fast fortwährender Bewegung. Die beiden anderen Quellen, die Wernarzer und Sinnberger, finden sich auf dem linken Ufer der Sinn, dicht am Fusse des Sinnberges.

Denkt man sich die auf S. 10 erwähnte, rein von SO nach NW streichende, vom Fusse des Sinnberges über Hausen nach dem Walddistrict Eichenschlag sich erstreckende Verwerfungsspalte nach NW verlängert, so treten auf ihr zwei altbekannte Eisensäuerlinge, der eine im Thale der grossen Sinn bei Unterriedenberg, der andere im Thale der kleinen Sinn bei Kothen, zu Tage. Es ist deshalb anzunehmen, dass diese Spalte viel

weiter nach NW fortsetzt, als bis jetzt bekannt ist, und oben genannten Quellen den Austritt gestattet; nur setzt dieselbe hier nicht so tief hinab, wie bei Kissingen. Leider ist es bis jetzt nicht gelungen, die Spalte in diesem Verlaufe am Tage nachzuweisen. Sicher ist aber, wie mir von Herrn *Dr. Thürach* in München gütigst mitgetheilt wurde, dass oben erwähnte Spalte in ihrer Richtung nach SW ganz Unterfranken durchsetzt und bei Hassfurt und Wonfurt, den Main kreuzend, mächtige Quellen ausbrechen lässt. (Siehe S. 44). Aber auch hier setzt die Spalte nicht bis in den Zechstein hinab, sondern die Wasser der Quellen Hassfurts und Wonfurts gehören der Anhydritgruppe der Muschelkalkformation an.

Der Sauerling von Unterriedenberg bei Brückenau.

In nächster Nähe der Stadt Brückenau, etwa 1 Stunde thalwärts, entspringt direkt unterhalb des Dorfes Unterriedenberg im Thale der breiten Sinn obenerwähnte Mineralquelle, welche früher schon als kräftiger Eisensäuerling bekannt war, neuerdings aber durch ungeschickte Fassung und dadurch bedingten Zutritt von Tagwasser ausserordentlich verschlechtert worden ist.

Das Wasser ist farb- und geruchlos, schwach prickelnd und schmeckt nach Eisen. Auf Reagenspapier wirkt es nicht ein. Beim Kochen setzt es einen Ocker ab. Die Temperatur ist 10° C. Die Quelle liefert in der Sekunde 1 Liter Wasser. An festen Bestandtheilen enthält nach meiner Analyse:

1 Liter Wasser		In 100 Theilen Rückstand sind enthalten:	
KCl = 0,00283 g	oder K ₂ O = 0,00178 g	K ₂ O = 0,95 %	
NaCl = 0,00547 "	Na ₂ O = 0,00290 "	Na ₂ O = 1,55 "	
CaSO ₄ = 0,07213 "	CaO = 0,05780 "	CaO = 31,04 "	
CaCO ₃ = 0,04268 "	MgO = 0,03370 "	MgO = 8,06 "	
MgCO ₃ = 0,07077 "	FeO = 0,00172 "	FeO = 0,92 "	
FeCO ₃ = 0,00275 "	Cl = 0,00433 "	Cl = 2,32 "	
SiO ₂ = 0,00870 "	SO ₃ = 0,03831 "	SO ₃ = 20,53 "	
Sa. 0,20533 g	SiO ₂ = 0,00870 "	SiO ₂ = 4,66 "	
Freie u. halbg.	CO ₂ geb. = 0,05729 "	CO ₂ geb. = 30,71 "	
geb. CO ₂ = 0,1496 g	Sa. 0,20653 g		
Temperatur 10° C		Sa. 100,74 g.	
In Spuren: MnO, P ₂ O ₅			

Der Sauerling von Kothén.

Wie erwähnt, entspringt am Fusse einer mächtigen und hohen Gruppe von Basaltfelsen, Pilster genannt, im kleinen Sinn-

thal in nächster Nähe des Dorfes Kothen, ein Eisensäuerling, der sich durch ziemlich hohen Gehalt an Kohlensäure auszeichnet und dem Buntsandstein angehört. Das Wasser ist farblos, riecht sehr schwach nach Schwefelwasserstoff und hat einen prickelnden angenehmen Geschmack nach Kohlensäure und Eisen. Roth's Lackmuspapier wird von ihm schwach gebläut. Beim Kochen setzt das Wasser einen rothen Ocker ab, der aus Eisenoxyd, kohlen-saurem Kalk und Spuren von Manganoxyd besteht. Die Quelle läuft sehr schwach und liefert nur 1 Liter in der Minute.

In 1 Liter Wasser fand ich:				In 100 Theilen Rück- stand sind enthalten:	
KCl	= 0,00254 g	oder K ₂ O	= 0,00160 g	K ₂ O	= 1,50 ‰
NaCl	= 0,00646 "	Na ₂ O	= 0,00321 "	Na ₂ O	= 2,99 "
CaSO ₄	= 0,00395 "	CaO	= 0,01600 "	CaO	= 14,92 "
CaCO ₃	= 0,02509 "	MgO	= 0,00671 "	MgO	= 6,25 "
MgCO ₃	= 0,01409 "	FeO	= 0,00450 "	FeO	= 4,66 "
FeCO ₃	= 0,00714 "	MnO	= Spur	Cl	= 4,33 "
SiO ₂	= 0,04740 "	SO ₃	= 0,00205 "	SO ₃	= 1,91 "
Sa. 0,10667 g.			Cl	= 0,00465 "	CO ₂ geb. = 19,67 "
Freie u. halb-			SiO ₂	= 0,04740 "	SiO ₂ = 44,21 "
geb. CO ₂ = 0,34379 g.			CO ₂ geb.	= 0,02109 "	
Spuren: Org. Subst.,			Sa. 0,10721 g.		
MnO, P ₂ O ₅ .					
Temperatur 10° C.					
			Sa. 100,44 ‰		

Die Quellen des Röths.

Wie bereits (S. 22) erwähnt, sammelt der Röth, die oberste Abtheilung des Buntsandsteines (VII d. Prof. S. 22), das Wasser des aufliegenden Wellenkalks. Daraus ergibt sich schon, dass das Wasser desselben an Kalk ziemlich reich sein muss. Dazu kommt aber noch, dass der Röth an und für sich neben seinem Thon-gehalt auch lösliche, seine Fruchtbarkeit bedingende Mineral-bestandtheile enthält, welche von den Wassern ausgelaugt werden. Es ist deshalb gar nicht zu verwundern, dass die Wasser des Röths zu den härtesten gehören, welche man kennt, und eine Anzahl von Verbindungen gelöst enthalten, welche anderen Quellen fehlen. Die chemische Zusammensetzung des Röths, sowie die der Hauptwellenkalk-Bänke ist nach Analysen des Herrn Prof. Hilger¹⁾ folgende.

1) Mittheilungen aus dem chemischen Laboratorium v. Dr. Hilger. Würzburg b. Stuber. 1873. S. 92 u. 93.

Röht:

In HCl Lösliches		9,044 ‰
" " Unlösliches		91,956 ‰
Lösliches in ‰		Unlösliches in ‰
CaCO ₃	= 4,821	SiO ₂ = 82,761
MgCO ₃	= 0,021	CaO = 0,016
Fe ₂ O ₃ u. Mn ₂ O ₃	= 1,726	MgO = 1,246
SiO ₂	= 0,024	Al ₂ O ₃ = 4,165
(P ₂ O ₅) ₂ (CaO) ₃	= 0,775	FeO u. MnO = 1,246
CaSO ₄	= 0,0017	K ₂ O = 2,461
K ₂ O	= 0,416	Na ₂ O = 0,061
Na ₂ O	= Spuren	

Wellen-Dolomit von Thüngersheim:

Lösliches in HCl		= 61,963 ‰
Unlösliches " "		= 38,248 ‰
Lösliches in ‰		Unlösliches in ‰
CaCO ₃	= 30,560	SiO ₂ = 26,245
MgCO ₃	= 16,240	Al ₂ O ₃ = 6,124
Fe ₂ O ₃	= 15,160	K ₂ O = 0,041
P ₂ O ₅	= 0,001	Na ₂ O = 0,024
K ₂ O	= 0,002	FeO = 5,814
SiO ₂ + Al ₂ O ₃	Spuren	

Haupt-Wellenkalk von Würzburg (Neubaustrasse)
2 m unter Tag.

In HCl Lösliches		95,048 ‰
" " Unlösliches		4,913 ‰
Lösliches in ‰		Unlösliches in ‰
SiO ₂	= 1,726	SiO ₂ = 2,712
Al ₂ O ₃	= 1,015	Al ₂ O ₃ = 1,134
Fe ₂ O ₃	= 0,517	Fe ₂ O ₃ = Spuren
CaO	= 49,697	FeO = 0,450
MgO	= 0,505	K ₂ O = 0,410
K ₂ O	= 0,248	Na ₂ O = 0,364
Na ₂ O	= 0,140	CaO = 0,331
SO ₃	= 0,212	
P ₂ O ₅	= 0,486	
Cl	= 0,076	
H ₂ O	= 1,386	
CO ₂	= 39,020	

Nachstehende Analysen, von denen die eine von Hrn. Dr. *Langhans* in Fürth, die andere von mir ausgeführt wurde, sind

solche von Wassern aus Bohrlöchern, welche Eigenthum der Aktiengesellschaft „Brauhaus Würzburg vormals Hofbrauhaus“ sind.

Das Bohrloch Nr. I befindet sich in der ehemaligen Bauch'schen Brauerei und wurde im Jahre 1831 bis auf den Röth gestossen, während das andere Nr. II sich im Anwesen der oben genannten Gesellschaft am Wege nach Höchberg und der Zeller Waldspitze befindet und erst im Jahre 1884 ausgeführt wurde.

Die Bohrlochprofile sind folgende:

Bohrloch Nr. I im ehemal. Bauch'schen
Brauhaus vom Jahre 1831.
10,50 m Sand und Kies,
43,77 „ Wellenkalk, (obere Grenze 8,26 m
unter der Terebratulbank.)
4,08 „ aufgelöster Wellendolomit.
Temperatur d. W. 12,5 ° C.

Bohrloch Nr. II im Brauhaus Würzburg
vom Jahre 1884 (Durchmesser 0,25 m).
87,0 m Wellenkalk, B. angesetzt in der
Mitte der Schichten mit *Myophoria*
orbicularis.
6 „ Wellendolomit.
10 „ Röth.
Temperatur d. W. 13,6 ° C.

I. Analyse (Langhans).	
K ₂ O	= 0,011 g
Na ₂ O	= 0,075 „
CaO	= 0,801 „
MgO	= 0,124 „
FeO + Al ₂ O ₃	= 0,003 „
SiO ₂	= 0,010 „
SO ₃	= 1,305 „
Cl	= 0,063 „
N ₂ O ₅	= 0,002 „
CO ₂ geb.	= 0,088 „
NH ₃	= — „
Org. Subst.	= 0,012 g

Sa. 2,494 g.

II. Analyse (Pecher).	
K ₂ O	= 0,01619 g
Na ₂ O	= 0,09990 „
CaO	= 0,60430 „
MgO	= 0,08057 „
FeO	= 0,00040 „
SiO ₂	= 0,00375 „
SO ₃	= 0,69792 „
Cl	= 0,06382 „
N ₂ O ₅	= 0,04000 „
CO ₂ geb.	= 0,08360 „
NH ₃	= 0,02000 „
Org. Subst.	= 0,01425 „

Sa. 1,72470 g.

Dies entspricht für 100 Theile Rückstand:

I.		II.	
K ₂ O	= 0,44 ‰	0,94 ‰	
Na ₂ O	= 3,02 „	5,84 „	
CaO	= 32,26 „	35,33 „	
MgO	= 4,99 „	4,71 „	
FeO	= 1,20 „	0,02 „	
MnO	= Spuren	Spuren	
Cl	= 2,54 „	3,73 „	
SO ₃	= 52,55 „	40,81 „	
N ₂ O ₅	= 0,08 „	2,33 „	
CO ₂ geb.	= 3,54 „	4,88 „	
SiO ₂	= 0,40 „	2,19 „	
P ₂ O ₅	= Spuren	Spuren	
NH ₃	= — „	1,16 „	
Sa. 101,02 ‰		Sa. 101,94 ‰	

Bemerkenswerth ist, dass es nicht gelingt, bei beiden Analysen die Oxyde und Säuren auf Salze umzurechnen. Schon *Tiemann und Kubel*¹⁾ erwähnen, dass bei dem Stande der jetzigen Wasseruntersuchungsmethoden wohl der Gehalt an mineralischen Basen und Säuren bestimmt wird, aber derjenige der organischen Basen und Säuren, welche in Wassern, die N_2O_5 und NH_3 sowie organische Substanzen enthalten, als intermediäre Produkte wohl immer vorhanden sind, nicht genau festgestellt werden kann und daher eine Umrechnung nicht gut möglich ist.

Eine ähnliche gute Uebereinstimmung wie die der Wasser der Zechsteinformation zeigen die Analysen der Quellen des Buntsandsteins (siehe Tabellen auf S. 34 und 35) nicht. Zwar lassen die Quellen des eigentlichen Buntsandsteins ihren gemeinschaftlichen Ursprung deutlich erkennen, aber in den einzelnen Gliedern zeigen sich doch Unterschiede. Zu verwundern ist es nicht, da die Zusammensetzung der Ursprungsgesteine, namentlich der Leberschiefer und des Röths, aber auch des Sandsteins verschieden ist und auch die Bedingungen, unter welchen das Wasser auf das Gestein einwirkt, nicht dieselben sind.

Die Wasser der Leberschiefer zeichnen sich durch hohen Gehalt an Na_2O und an SO_3 aus, beide gehen aber in dem Gehalt an CaO und MgO und namentlich dem des Chlors auseinander. Sehr häufig sind in die Leberschiefer Gyps und Steinsalzlager eingebettet und es scheint, dass Bocklet mit einer Kochsalz und Gyps führenden, Memlos nur mit einer gypsführenden Schicht in Berührung steht. — Die Lohrer Stadtquelle zeigt einen verhältnissmässig hohen Gehalt an Kali, über 2% mehr als Natron. Es dürfte deshalb der Sandstein, welchen die Quelle auslaugt, eine grosse Menge Glimmer- und Feldspathreste führen. In der That überwiegt auch der Gehalt an Kali den an Natron in der angeführten Analyse des rothen Sandsteines ebenfalls um ein Bedeutendes, nämlich um 2%. Die Brückenauer Quellen zeigen das Gleiche. Der Brückenauer Stahlquelle steht Kothen am nächsten, enthält aber etwas mehr Eisen, Riedenberg dagegen mehr schwefelsaure Salze.

Gemeinsam ist den Wassern des eigentlichen Sandsteins der hohe Gehalt an SiO_2 , während die Wasser, welche aus den

1) *Tiemann-Kubel*: Anleitung zur Untersuchung von Wasser. Braunschweig, 1874. II. Aufl. S. 165 ff.

Verhandl. der phys.-med. Gesellschaft. N. F. XXI. B.

1 Liter enthält Gramm		KCl	NaCl	MgCl ₂	K ₂ SO ₄	Na ₂ SO ₄	MgSO ₄	CaSO ₄	K ₂ CO ₃	Na ₂ CO ₃
Leberschiefer	Memlos	—	0,05874	—	0,04311	0,05620	—	0,78231	—	0,23001
	Bocklet	0,01840	0,81900	—	—	0,31770	0,40380	—	—	—
	Lohr	0,00374	0,00284	0,55400	—	—	—	—	—	—
Haupt-Bunt-sandstein	Stahlquelle	—	—	0,01090	0,01900	0,01070	0,06120	—	—	—
	Wernarzer	—	0,00410	—	0,00960	—	—	—	0,00152	0,00595
	Sinnberger	—	0,01010	—	0,00450	—	—	—	0,00288	—
	Riedenberg	0,00283	0,00547	—	—	—	—	0,07213	—	—
	Kothen	0,00254	0,00646	—	—	—	—	0,00395	—	—
Röth	Würzburg	I II nicht								

1 Liter enthält Gramm		K ₂ O	Na ₂ O	NH ₃	CaO	MgO	FeO
Leberschiefer	Memlos	0,02328	0,18115	—	0,76205	0,01288	0,00018
	Bocklet	0,01159	0,57385	—	0,45813	0,56470	0,04730
	Lohr	0,00274	0,00194	—	0,00531	0,00043	—
Haupt-Buntsandstein	Stahlquelle	0,01030	0,00470	—	0,08870	0,04090	0,00329
	Wernarzer Q.	0,00620	0,00380	—	0,02180	0,01040	0,00110
	Sinnberger Q.	0,00490	0,00535	—	0,02210	0,00886	0,00006
	Riedenberg	0,00178	0,00290	—	0,05780	0,03370	0,00178
	Kothen	0,00160	0,00321	—	0,01600	0,00671	0,00450
Röth	Würzburg	I 0,01100	0,07500	—	0,80100	0,12400	0,00300
	II	0,01619	0,09990	0,02000	0,60430	0,08057	0,00040

100 Theile

		K ₂ O	Na ₂ O	CaO	MgO	FeO
Leberschiefer	Memlos	1,16	9,05	38,09	0,64	0,09
	Bocklet	0,82	15,67	12,51	15,43	1,30
	Lohr	10,13	7,20	19,63	1,60	—
Haupt-Buntsandstein	Stahlquelle	2,99	1,36	25,81	11,90	1,59
	Wernarzer Q.	4,82	2,95	16,95	8,08	0,95
	Sinnberger Q.	4,02	4,38	18,15	7,27	Spur
	Riedenberg	0,95	1,55	31,04	8,06	0,52
	Kothen	1,50	2,99	14,92	6,25	4,66
Röth	Würzburg	I 0,44	3,02	32,26	4,99	1,20
	II	0,94	5,84	35,33	4,71	0,02

CaCO ₃	MgCO ₃	FeCO ₃	MnCO ₃	SiO ₂	Al ₂ O ₃	P ₂ O ₅	N ₂ O ₅	Org. Subst.	Temperatur	Freie u. halbg. CO ₂	Summa
78994	0,02704	0,00029	0,00017	0,01916	—	0,00030 (Li ₂ O) ₃ P ₂ O ₅	—	Spuren	9,8°C	1,77895	2,00727
81810	0,42000	0,07630	0,00010	0,02760	0,00030	Spuren	—	0,00250	10,0°C	2,49450	3,45780
00947	0,00100	—	—	0,00790	—	—	—	—	10,0°C	—	0,02495
15932	0,01395	0,00840	0,00032	0,01380	Spuren	0,00050	Spur	0,06360	9,75°C	2,28900	0,36169
03364	0,02158	0,00112	0,00028	0,01770	0,00020	0,00090	„	0,02410	10,25°C	2,30120	0,12069
08976	0,01787	0,00040	Spur	0,01680	Spuren	—	„	0,16740	9,50°C	1,83260	0,25971
04268	0,07077	0,00275	„	0,00870	—	Spur	—	—	10°C	0,14960	0,20533
02509	0,01409	0,00714	„	0,04740	—	„	—	Spur	10°C	0,34379	0,10667

berechenbar.

MnO	Cl	SO ₃	CO ₂ gebund.	SiO ₂	P ₂ O ₅	N ₂ O ₅	Organ. Subst.	Temperatur	Summa
0,00010	0,03559	0,51289	0,45774	0,01916	Spuren	—	Spur	9,8° C	2,00502
Spuren	0,92060	0,44860	0,60740	0,02760	„	—	0,00250	10,0° „	3,66227
—	0,00352	—	0,00500	0,00790	—	—	—	10,0° „	0,02684
0,00220	0,00260	0,05550	0,11924	0,01380	0,00030	Spuren	0,06360	9,75° „	0,40513
ei FeO	0,00250	0,00440	0,06020	0,01770	0,00005	0,00090	0,02150	10,25° „	0,15100
ei FeO	0,00645	0,00210	0,05520	0,01680	Spuren	Spuren	0,02300	9,50° „	0,14811
Spuren	0,00433	0,03831	0,05729	0,00870	„	„	Spuren	10,0° „	0,20653
„	0,00465	0,00205	0,02109	0,04740	„	„	„	10° „	0,10721
„	0,06300	1,30500	0,08800	0,01000	„	0,00200	0,01200	12,5° „	2,49400
„	0,06382	0,69792	0,08360	0,00375	„	0,04000	0,01425	13,6° „	1,72470

Rückstand enthalten %

MnO	Cl	SO ₃	CO ₂	SiO ₂	P ₂ O ₅	N ₂ O ₅	NH ₃	Summa
0,06	1,77	25,63	22,88	0,96	Spuren	—	—	100,33
Spur	15,25	12,25	16,60	0,77	„	—	—	100,00
—	13,02	—	18,49	29,21	„	—	—	99,28
0,64	0,76	16,14	34,69	4,01	„	—	—	99,89
ei FeO	1,94	3,42	46,81	13,76	0,49	—	—	100,07
Spuren	5,29	1,72	45,33	13,79	Spuren	—	—	99,95
„	2,32	20,53	30,71	4,66	„	—	—	100,74
„	4,33	1,91	19,67	44,21	„	—	—	100,44
„	2,54	52,55	3,54	0,40	„	0,08	—	101,02
„	3,73	40,81	4,88	2,19	„	2,33	1,16	101,94

(10*) 3*

Leberschiefern und dem Röth austreten, ärmer daran sind. Auch dies erklärt sich, denn die durch die Kohlensäure in Lösung gehaltene Kieselsäure wird bei Hinzutritt von kohlensaurem Kalk, kohlensaurer Magnesia und Ferrocarbonat, die hier ja stark vortreten sind, ausgeschieden.

Eine gute Uebereinstimmung zeigen die beiden Analysen des Röthwassers. Auch diese enthalten viel Schwefelsäure. Bemerkenswerth ist der Gehalt an Salpetersäure, der auch bei den Wassern der nächstfolgenden Glieder der Trias nicht fehlt. Derselbe erklärt das Vorkommen von Kalisalpeter in Tuffen, welche von Quellen, die an der Grenze von Wellendolomit und Röth entspringen, abgesetzt wurden. Bei Homburg a/Main findet sich ein derartiger Tuff, in dessen Hohlräumen Kalisalpeter in haarförmigen Krystallaggregaten reichlich getroffen wird. Nies¹⁾ erhielt beim Auslaugen des eben erwähnten Kalktuffes 87,29 % Kalisalpeter neben 2,59 % Bittersalz und 5,14 % Gyps.

In allen Wassern der Buntsandstein-Gruppe finden sich Spuren von Phosphorsäure, welche, wenn sie sich nicht direkt im Wasser, so doch in Ockern der Quellen sicher nachweisen lassen. Zuweilen reichert sich die Phosphorsäure in den Sintern an; so fand Herr Professor *Kunkel*, nach eigener gütiger Mittheilung, in einem Sinter des Erlenbachs bei Marktheidenfeld 0,2 % P_2O_5 .

Auch der hohe Gehalt an freier Kohlensäure, der den Quellen des Sandsteins eigen ist, findet seine naturgemässe Erklärung in der schon erwähnten, von Professor *v. Sandberger* aufgestellten Annahme, dass die Kohlensäure durch Einwirkung von kieselsäurehaltigen Flüssigkeiten auf kohlensäurehaltige Gesteine entsteht. Kieselsäure ist in den Sandsteinen in ausserordentlicher Menge vorhanden und wird in Masse gelöst.

Ocker- und Tuffbildungen der Wasser der Buntsandsteinformation.

Die Art und Weise, sowie die Reihenfolge der Absätze aus diesen Quellen ist genau dieselbe, wie bei den schon beschriebenen. Während in den Ockern aus Röth- und Leberschiefer-Wassern kohlensaurer Kalk und Gyps den Hauptbestandtheil bilden, bestehen die Ocker der aus Buntsandstein kommenden hauptsächlich aus Eisenoxydhydrat.

Leider war es mir trotz aller Bemühung nicht möglich, von den von mir untersuchten Quellen Ockerabsätze zu erhalten;

¹⁾ Der Kalktuff von Homburg a/M. und sein Salpetergehalt. Mittheilungen aus dem Laboratorium von Dr. *Hilger*. Würzburg b. Stuber 1873. S. 72 ff.

ich musste deshalb die Untersuchung auf einen Kesselstein, der sich aus dem Röthwasser Nr. II abgesetzt hatte, und auf den Sinter des Brückenauer Stahlbrunnens beschränken; letzterer wurde mir von Herrn Prof. v. Sandberger gütigst zur Verfügung gestellt.

In dem Kesselstein fand ich neben CaO , MgO , Fe_2O_3 , SiO_2 , CO_2 , SO_3 , P_2O_5 auch B_2O_3 ; auf schwere Metalle konnte ich nicht Rücksicht nehmen, da es sich nicht entscheiden liess, ob solche aus dem Wasser oder etwa aus dem Kessel und den Zu-
leitungsröhren herrührten.

In dem Brückenauer Sinter liessen sich folgende Körper nachweisen: As_2O_3 , Sb_2O_3 , PbO Spur, CuO , Fe_2O_3 , CoO , Al_2O_3 Spur, MnO , CaO , MgO . Schon Keller¹⁾, der den gleichen Absatz untersuchte, fand PbO , Sb_2O_3 und SnO_2 , letzteres sicher nachzuweisen gelang mir nicht. Auch in diesen Absätzen lassen sich noch diejenigen Körper nachweisen, welche, wenn auch in geringer Menge vorhanden, in den Glimmern der Urgebirgs-Gesteine, deren Trümmer die Sandsteine zusammensetzen, nie fehlen. Die überall verbreitete Phosphorsäure muss man auf Rechnung des ausserordentlich weit verbreiteten Apatits setzen. Sie bedingt mit dem Kali die grosse Fruchtbarkeit der Leberschiefer und des Röths.

B. Wasser der Muschelkalk-Gruppe.

1. Wasser des Wellenkalks.

Als nächst höheres Glied der Trias folgt auf den Röth der Muschelkalk, der sich mit seiner unteren Abtheilung, dem Wellenkalk, direct auf demselben auflagert. Die Entwicklung des Wellenkalks in Unterfranken zeigt nach Prof. v. Sandberger²⁾ folgende Abtheilungen:

- I. Wellendolomit, Mergelschiefer oben mit einer erbsengelben Dolomitbank (Leitbank) . . . 7,0 m
- II. Region der Pseudo-Conglomeratbänke, oben abgeschlossen durch die Dentalienbank . . 17,0 m
- III. Wellenkalk mit einzelnen versteinerungsführenden Bänken (der Lima- und Pleuromyen-Bank) und einer harten oolithischen Bank 35,0 m

¹⁾ Repertor. d. Pharm. (2) Bd. XLVIII S. 289.

²⁾ Die Triasformation im mittleren Maingebiete. Würzburger gemeinnützige Wochenschrift 1882 S. 18.

- IV. Region der Brachiopoden-Bänke, zu unterst die Terebratel-, zu oberst die Spiriferinen-Bank 17,6 m
 V. Region der Schaumkalk-Bänke 13,5 m
 VI. Region der Mergelschiefer mit *Myophoria orbicularis* 6,0 m

Wie hieraus ersichtlich, ist in dem Wellenkalk ein eigentlicher Wasserhorizont nicht vorhanden. Jedoch ist es möglich, durch Anlegen von Brunnen das Wasser, welches durch denselben fortwährend hindurchsickert, local zu sammeln. In Würzburg und Umgegend ist eine ganze Reihe von Brunnen angelegt, welche ihr Wasser auf solche Weise aus dem Wellenkalk erhalten; sie besitzen aber die unangenehme Eigenschaft, dass sie niemals gleiche Wassermengen geben, ja zuweilen, namentlich in sehr trockenen Jahren, ganz versiegen. — Selten gehen diese Brunnen tiefer, als bis in den eigentlichen Wellenkalk, sie enthalten also meistens das Wasser, das durch *Myophoria orbicularis*-Schichten (VI), durch die Brachiopoden-Bänke (IV) und die obersten Schichten des Wellenkalks (III des Profils S. 37) hindurchsickerte, während das Wasser der unteren Abtheilungen des Wellenkalks vom Röth gesammelt wird und über diesem ausbricht. — In Folge des fortwährenden Wechsels der Wassermenge und der oft sehr ungleichen Tiefe derartiger Brunnen, sowie der Verschiedenheit der chemischen Zusammensetzung der durchsickerten Schichten zeigen die Wasser des Wellenkalks natürlich grosse Unbeständigkeit in Bezug auf Menge und Art der gelösten Bestandtheile. Alle aber haben grosse Härte und hohen Gehalt an organischer Substanz gemein. Dies erklärt sich leicht, wenn man bedenkt, dass fast alle Schichten des Wellenkalks 90% CaCO_3 enthalten und ferner alle Bänke ohne Ausnahme so stark mit organischer Substanz durchdrungen sind, dass frisch gebrochene Stücke fast schwarz aussehen und erst unter dem Einfluss der Atmosphärrilien ausbleichen. Die chemische Zusammensetzung einzelner Wellenkalk-Bänke ergibt sich nach schon erwähnten Analysen des Herrn Prof. Hilger folgendermassen:

Terebratel Bank IV. des Profils.	Schaumkalk sog. Asphalt-Bank V. des Profils. In 100 Theilen:	Mergel mit <i>Myophoria orbicularis</i> VI. des Profils.
Lösliches in HCl 194,26 ‰	84,14 ‰	83,97 ‰
Unlösliches „ 5,73 „	19,83 ‰	16,03 ‰

Lösliches :		
SiO ₂	= 0,18	0,92
Al ₂ O ₃	= 0,41	0,54
Fe ₂ O ₃	= 1,36	2,59
CaO	= 48,85	35,82
MgO	= 0,24	2,96
FeO	= 0,59	—
K ₂ O	= 0,08	0,95
Na ₂ O	= 0,53	1,47
P ₂ O ₅	= 0,10	0,82
SO ₃	= 0,18	1,42
Cl	= 0,05	0,05
H ₂ O	= 2,93	1,48
CO ₂	= 38,76	30,25
Unlösliches :		
SiO ₂	= 0,75	9,21
Al ₂ O ₃	= 1,47	2,08
Fe ₂ O ₃	= 2,89	5,24
CaO	= 0,05	—
K ₂ O	= 0,11	1,05
Na ₂ O	= 0,17	0,51

Asphaltähnliche Masse der sog. Asphaltbank

C = 0,50

H = 0,10.

Zur Untersuchung benützte ich ein Wasser, welches ebenfalls aus einem Brunnen der Aktiengesellschaft „Brauhaus Würzburg“ geschöpft wurde. Die Sohle des Brunnens befindet sich etwa unter der Terebratelbank, er selbst ist nicht viel über 30 m tief, so dass in demselben Wasser gesammelt wird, welches die Schichten IV, V und VI des Profils ausgelaugt hat. Ich erhielt als Bestandtheile des farb-, geschmack- und geruchlosen Wassers, welches eine Temperatur von 9,8° C hat, Folgendes:

1 Liter ergab:			100 Theile Rückstand enthalten:		
KCl	= 0,01609 g oder	K ₂ O	= 0,01524 g	K ₂ O	= 2,33 ‰
NaCl	= 0,04742 „	Na ₂ O	= 0,02427 „	Na ₂ O	= 3,72 „
NH ₄ NO ₂	= 0,00084 „	NH ₃	= 0,00050 „	NH ₃	= 0,07 „
NH ₄ NO ₃	= 0,00136 „	CaO	= 0,25130 „	CaO	= 38,53 „
Ca(NO ₃) ₂	= 0,01100 „	MgO	= 0,03716 „	MgO	= 5,69 „
CaSO ₄	= 0,14052 „	FeO	= 0,00360 „	FeO	= 0,55 „
CaCO ₃	= 0,33993 „	Cl	= 0,03546 „	Cl	= 5,43 „
MgCO ₃	= 0,07803 „	SO ₃	= 0,08266 „	SO ₃	= 12,70 „
FeCO ₃	= 0,00579 „	CO ₂ geb.	= 0,19306 „	CO ₂ geb.	= 29,60 „
SiO ₂	= 0,00750 „	N ₂ O ₃	= 0,00842 „	N ₂ O ₃	= 0,07 „
		N ₂ O ₅	= 0,00048 „	N ₂ O ₅	= 1,29 „
		SiO ₂	= 0,00750 „	SiO ₂	= 1,10 „
Sa. 0,64848 g.			Sa. 101,08 ‰		
Freie und halbgebundene CO ₂ = 0,22043 g.					
Sauerstoff z. Oxydiren = 0,00026 g.					

Nicht unerwähnt möchte ich lassen, dass das im Wellenkalk gerade nicht in grosser Menge, aber überall vorhandene Kochsalz an manchen Orten im Wasser concentrirt werden kann und dadurch schwache Soolen entstehen können. So befindet sich nach Akten des ehemaligen kgl. Salinenamts Kissingen im Keller des Hauptgebäudes der Universität Würzburg ein 52 Fuss tiefer Brunnen, welcher eine 0,51 procentige Soole enthält. Welche Umstände dies bewirken, entzieht sich bis jetzt der Beurtheilung.

Die Absätze aus den Quellen des Wellenkalks bestehen hauptsächlich aus kohlensaurem Kalk und kohlenaurer Magnesia; ausserdem finden sich auch zuweilen die in geringeren Mengen vorhandenen Körper, wie SrSO_4 , Fe_2O_3 , Al_2O_3 und SiO_2 , in den Sintern mit niedergeschlagen.

Für die Technik und als Trinkwasser ist das Wasser des Wellenkalks nicht empfehlenswerth, ja unter Umständen, namentlich bei hohem Gehalt an organischen Stoffen direkt unbrauchbar.

2. Das Wasser der Anhydrit-Gruppe.

Die wasserreichste und fast alle starken Quellen Unterfrankens liefernde Abtheilung der Muschelkalkformation ist die auf dem Wellenkalk sich auflagernde Anhydritgruppe. Eine grosse Anzahl von Trinkwasser liefernden Brunnen bezieht ihr Wasser aus ihr, nicht minder aber haben auch Heilquellen, wie bei Hassfurt ihren Ursprung in derselben. Auch durch Auswaschung hervorgerufene Erdfälle sind seither in Unterfranken nur im Bereiche dieser Gruppe bei Hammelburg und Würzburg beobachtet worden.¹⁾ Die Anhydritgruppe ist zu betrachten als grösstentheils aus chemischen Niederschlägen von Salzen, Kochsalz, schwefelsaurem Kalk und Mutterlaugensalzen, entstanden. Der schwefelsaure Kalk, der ursprünglich Anhydrit war, ist in der fränkischen Trias meist schon in Gyps umgewandelt, während das Steinsalz oft vollständig weggeführt ist und die Mutterlaugensalze zum Theil durch Einwirkung von neu eingeführtem kohlensaurem Kalk in Dolomit und Gyps umgesetzt und daher theilweise auch verschwunden sind. Auch hier ist aus den eben gesagten Gründen eine Verschiedenheit der chemischen Zusammensetzung der Wasser an verschiedenen Orten von

¹⁾ v. Sandberger: Gemeinnützige Wochenschrift 1881 S. 305 f. u. 1882 S. 20.

der jeweiligen Schichtenfolge der Anhydritgruppe abhängig. Da, wo kein oder nur sehr wenig Gyps und Steinsalz mit den begleitenden anderen Salzen vorhanden ist, werden Wasser zu Tage treten, welche den Muschelkalkwassern nahe stehen, an Orten dagegen, wo obige Salze noch vorhanden, finden sich Quellen von complicirter Zusammensetzung, im allgemeinen an Kochsalz und Gyps reiche Wasser, wie dies bei Friedrichshall in Württemberg (siehe Analyse desselben in den Tabellen S. 50 und 51) der Fall ist.

Die Schichtenfolge der Anhydritgruppe bei Unterzell in der Nähe Würzburgs zeigt folgendes von Prof. v. Sandberger¹⁾ gegebenes Profil:

I. Blauer dichter Kalk	2,00 m
II. Zellendolomit	3,43 „
III. Glimmerreiche graue Mergelschiefer mit feinkörnigen Sandsteinbänkchen, leicht zu Schutt zerfallend	0,90 „
IV. Zellendolomit	4,29 „

Der Wasserhorizont der Anhydritgruppe befindet sich auf der Grenze zwischen No. II und III des obigen Profiles und zwar zeigt sich der Zellendolomit gleich einem mächtigen Schwamme mit Wasser angefüllt.

Nachstehende Analyse der aus der Anhydritgruppe stammenden Würzburger Stadtquelle ist von Herrn Scriba²⁾ ausgeführt.

1 Liter enthält:		100 Theile Rückstand enthalten:	
KCl	= 0,00573 g oder K ₂ O	= 0,00360 g	K ₂ O = 0,54 %
NaCl	= 0,01742 „	Na ₂ O = 0,02042 „	Na ₂ O = 3,09 „
Na ₂ SO ₄	= 0,02547 „	CaO = 0,22376 „	CaO = 33,90 „
MgSO ₄	= 0,10000 „	MgO = 0,05824 „	MgO = 8,82 „
CaSO ₄	= 0,17762 „	FeO = 0,00162 „	FeO = 0,24 „
CaCO ₃	= 0,26954 „	Cl = 0,01330 „	Cl = 2,01 „
MgCO ₃	= 0,04352 „	SO ₃ = 0,18576 „	SO ₃ = 28,15 „
FeCO ₃	= 0,00261 „	N ₂ O ₅ = 0,01098 „	N ₂ O ₅ = 1,66 „
MgON ₂ O ₅	= 0,01504 „	CO ₂ geb. = 0,14224 „	CO ₂ geb. = 21,55 „
SiO ₂	= 0,01140 „	SiO ₂ = 0,01140 „	SiO ₂ = 1,69 „
Sa.	0,66835 g	Sa.	0,67132 g
		Sa.	101,65 %

¹⁾ Die Triasformation im mittleren Maingebiete. Gemeinnützige Wochenschrift Jahrg. 1882 S. 20.

²⁾ Das. S. 20.

Das Wasser der Würzburger Stadtquelle ist farb-, geschmack- und geruchlos, ohne Einwirkung auf Reagenspapier und hat eine constante Temperatur von 12°C ; trotz seiner ziemlich hohen Härte wird es als Trinkwasser gerne benützt und ist auch als solches ganz angenehm und unschädlich.

Ein weiteres der Anhydritgruppe angehörendes Wasser ist das der sogenannten Horaquelle. Dieselbe entspringt zwischen Würzburg und Heidingsfeld auf dem linken Ufer des Maines am Fusse des Nikolausberges aus einer Verwerfungsspalte zwischen der Anhydritgruppe mit dem Wellenkalk. Durch seine Frische und gute Beschaffenheit hat das Wasser eine gewisse Berühmtheit erlangt. Die Temperatur beträgt, bei einer Lufttemperatur von 16°C gemessen, $9,9^{\circ}\text{C}$. Das Wasser ist äusserst klar, farblos, geschmack- und geruchlos und wirkt nicht auf Reagenspapier ein. Die von mir ausgeführte Analyse ergab Folgendes:

1 Liter enthält in	Dies entspricht in	100 Theile Rückstand
Gramm:	1 Liter:	enthalten:
KCl = 0,00198	K ₂ O = 0,00145 g	K ₂ O = 0,36 ‰
NaCl = 0,00341	Na ₂ O = 0,00269 „	Na ₂ O = 0,66 „
CaCl ₂ = 0,01869	NH ₃ = Spur „	NH ₃ = Spur
CaSO ₄ = 0,06436	CaO = 0,11430 „	CaO = 28,38 „
CaCO ₃ = 0,13496	MgO = 0,07117 „	MgO = 17,67 „
MgCO ₃ = 0,14945	FeO = 0,00360 „	FeO = 0,89 „
FeCO ₃ = 0,00579	SO ₃ = 0,03786 „	SO ₃ = 9,40 „
CaON ₂ O ₅ = 0,00895	Cl = 0,01418 „	Cl = 3,52 „
SiO ₂ = 0,01035	N ₂ O ₅ = 0,00597 „	N ₂ O ₅ = 1,48 „
Sa. 0,39794	SiO ₂ = 0,01035 „	CO ₂ geb. = 35,04 „
Freie und halbgebundene	CO ₂ geb. = 0,14110 „	SiO ₂ = 2,57 „
CO ₂ = 0,15950 g.	Sa. 0,40267 g.	Sa. 99,97 ‰
Sauerstoff z. Oxydation		
0,000018 g im Liter.		

Die Quellen zu Hassfurt a. Main und Wonfurt.

Sehr interessante Quellen der Anhydrit-Gruppe sind die Hassfurter Badequelle und die Quelle zu Wonfurt bei Hassfurt.

Das Wildbad Hassfurt liegt etwa 20 Minuten vom Städtchen entfernt an der Nassach, welche direkt unterhalb des Bades in den Main mündet, etwa 221 m über dem Meere. Zwei Quellen treten dort zu Tage, von denen eine als Trinkquelle, die andere als Badequelle benützt wird. Beide unterscheiden sich in der

chemischen Zusammensetzung nicht. Die nachstehende Analyse wurde von Herrn Dr. *List* ausgeführt. Die Temperatur und freie, sowie halbgebundene Kohlensäure wurden von mir selbst an Ort und Stelle nochmals bestimmt und stimmen die Zahlen vorzüglich mit denen, die Herr Dr. *List* erhalten hat.

Das Wasser ist farblos, schmeckt nicht unangenehm nach Eisen und lässt deutlich den Geruch nach Schwefelwasserstoff erkennen. Lackmuspapier wird schwach geröthet. Die Temperatur ist genau, wie die der Quelle zu Wonfurt, $12,4^{\circ}\text{C}$. Beim Erhitzen, sowie beim längeren Stehen setzt das Wasser einen rothgelben Ocker ab, der Eisen, Spuren von Mangan, Kalk, Kohlensäure und Schwefelsäure enthält. Ueberall, wo dasselbe auf seinem Laufe mit grösseren Mengen atmosphärischer Luft in Berührung kommt, wurde ein gleicher Ocker abgesetzt. Ich sammelte denselben sowohl in dem Abzugsgraben der Trinkquelle, als auch an dem Mühlrad, welches durch die Badequelle getrieben wird. Die chemische Untersuchung ergab gleiche chemische Zusammensetzung der beiden Ocker und Uebereinstimmung mit jenem, welcher von Wonfurt stammt.

Nach Dr. *List* enthält die Trinkquelle Hassfurts:

In 1 Liter:			100 Theile Rückstand enthalten:		
KCl	= 0,00986 g	oder	K ₂ O	= 0,00621 g	K ₂ O = 0,23 ‰
NaCl	= 0,21606 „		Na ₂ O	= 0,17324 „	Na ₂ O = 6,41 „
LiCl	= 0,00162 „		CaO	= 1,02777 „	Li ₂ O = 0,02 „
NH ₄ Cl	= 0,00217 „		BaO	= 0,00035 „	NH ₃ = 0,02 „
Na ₂ SO ₄	= 0,13349 „		SrO	= 0,00110 „	CaO = 38,07 „
CaSO ₄	= 1,88174 „		Li ₂ O	= 0,00056 „	MgO = 2,08 „
SrSO ₄	= 0,00198 „		NH ₃	= 0,00074 „	BaO = 0,01 „
BaSO ₄	= 0,00053 „		MgO	= 0,05615 „	SrO = 0,04 „
CaCO ₃	= 0,27970 „		FeO	= 0,01300 „	FeO = 0,48 „
MgCO ₃	= 0,11791 „		MnO	= 0,00087 „	MnO = 0,03 „
FeCO ₃	= 0,01993 „		Cl	= 0,13845 „	Cl = 5,12 „
MnCO ₃	= 0,00128 „		SO ₃	= 1,08605 „	SO ₃ = 40,32 „
SiO ₂	= 0,00231 „		CO ₂ geb.	= 0,19265 „	CO ₂ geb. = 7,10 „
Al ₂ O ₃ +P ₂ O ₅	= 0,00017 „		SiO ₂	= 0,00231 „	SiO ₂ = 0,08 „
H ₂ S	= 0,00698 „		P ₂ O ₅	= 0,00017 „	P ₂ O ₅ = 0,006 „
Sa. 2,67573 g			Sa. 2,69962 g		Sa. 100,016 ‰
Freie CO ₂ = 0,02340 g					
Temperatur = $12,4^{\circ}\text{C}$.					

Dicht unterhalb Hassfurt, fast gegenüber der Einmündung der Nassach in den Main, geht auf dem anderen, linksseitigen

Mainufer in nächster Nähe des Dorfes Wonfurt eine Quelle zu Tage, welche mit der Hassfurter vollständige Uebereinstimmung zeigt. Beide Quellen, die Hassfurter und die Wonfurter, treten aus der auf S. 29 ausführlich beschriebenen, Unterfranken in der Richtung SO nach NW durchstreichenden Verwerfungsspalte, die hier nur bis zur Anhydritgruppe hinabsetzt, aus. Bei Wonfurt treten noch mehrere, höchst wahrscheinlich durch Unterwaschung und Nachstürzen der aufliegenden Muschelkalkschichten, welch' letztere auch oberhalb der Hassfurter Bade-Quelle anstehen, entstandene Spalten auf, aus welchen Wasser hervortritt. Die überaus mächtige Quelle, welche früher eine Mühle trieb, bildet am Austritt einen kleinen See und verschwindet nach kurzem Laufe etwa 100 Schritte unweit des Mainuferrandes in einer weiteren Spalte. Aber ihr kurzer Weg genügte, um einen mächtigen Kalktuffhügel abzusetzen, der stellenweise mit Conchylien und Pflanzen vollgepfropft erscheint. Die von *v. Sandberger* ausgeführte Untersuchung¹⁾ der Conchylien des meist recht harten, geschichteten, aus sehr lichten, meist eisenarmen und braunrothen, durch Eisenoxydhydrat stark gefärbten Lagen zusammengesetzten Tuffes ergab folgende Arten:

<i>Hyalinia nitida</i>	<i>Pupa pusilla</i>
<i>Patula rotundata</i>	<i>Clausilia dubia</i>
<i>Helix obvoluta</i>	<i>Limneus ovatus</i>
„ <i>strigella</i>	„ <i>palustris</i> var. <i>fuscus</i>
„ <i>fruticum</i>	<i>Planorbis marginatus</i>
„ <i>incarnata</i>	„ <i>rotundatus</i> .
„ <i>arbustorum</i>	
„ <i>hortensis</i>	

Ausserdem konnten in den von mir gesammelten Handstücken des Tuffes Blätter von

- Corylus avellana* L. (Haselstrauch)
- Salix aurita* L. (Geöhrte Weide)
- Quercus pedunculata* Ehrh. (Stieleiche)
- Fagus sylvatica* L. (Buche)

Alnus glutinosa L. (Erle), sowie ein Blättchen eines Brombeerstrauches (*Rubus* sp.) nachgewiesen werden.

¹⁾ *v. Sandberger*: Die Verbreitung der Mollusken in den einzelnen natürlichen Bezirken Unterfrankens und ihre Beziehungen zu der pleistocänen Fauna. Verhandlungen der physik.-med. Gesellschaft zu Würzburg. NF. XIX Bd. Nr. 9. S. 12.

Die Temperatur des Wassers ist genau wie bei Hassfurt 12,4°C und das chemische Verhalten stimmt mit dem des dortigen, wie schon erwähnt, vollständig überein. Auch die Zusammensetzung lässt nur ganz geringe Abweichungen bemerken und weist deutlich auf eine gemeinsame Ursprungsstätte hin. Ausserordentlich interessant ist es aber, dass wieder auf der anderen Seite des Mains (Hassfurter Seite) etwa 200 Schritte mainabwärts, von der Stelle aus, wo die Wonfurter Quelle verschwindet, gerechnet in einem Wasserdurchlass der Würzburg-Bamberger Bahn eine Quelle zu Tage tritt, die früher hier ausfloss, beim Bahnbau aber gefasst wurde. Dieselbe weist genau dieselbe Temperatur, allgemeine chemische und physikalische Beschaffenheit auf und setzt auch denselben Ocker ab, wie die oben beschriebenen Quellen Hassfurts und Wonfurts.

Die Wonfurter Quelle ergab:

In 1 Liter:	Dies entspricht:	100 Theile Rückstand enthalten:
KCl = 0,01212 g	K ₂ O = 0,00763 g	K ₂ O = 0,27 %
NaCl = 0,22606 „	Na ₂ O = 0,18333 „	Na ₂ O = 6,62 „
NH ₄ NO ₃ = 0,00442 „	CaO = 0,94969 „	NH ₃ = 0,03 „
Na ₂ SO ₄ = 0,14210 „	MgO = 0,05761 „	Li ₂ O = Spuren
CaSO ₄ = 1,92446 „	FeO = 0,01304 „	CaO = 34,31 „
FeCO ₃ = 0,02104 „	MnO = 0,00008 „	MgO = 2,08 „
CaCO ₃ = 0,28526 „	Cl = 0,14280 „	FeO = 0,47 „
MgCO ₃ = 0,12004 „	SO ₃ = 1,21309 „	MnO = Spuren
MnCO ₃ = 0,00014 „	CO ₂ geb. = 0,19601 „	Cl = 5,16 „
SiO ₂ = 0,00120 „	N ₂ O ₅ = 0,00354 „	SO ₃ = 43,83 „
Sa. 2,73684 g	NH ₃ = 0,00008 „	CO ₂ geb. = 7,08 „
Freie und halbgebundene	SiO ₂ = 0,00120 „	N ₂ O ₅ = 0,12 „
CO ₂ = 0,22023.	Sa. 2,76810 g.	SiO ₂ = 0,05 „
H ₂ S quantitativ nicht bestimmt.		P ₂ O ₅ = Spuren
In Spuren: P ₂ O ₅ , B ₂ O ₃ , SrO, BaO, Li ₂ O.		Sa. 100,02 %

Zum Vergleich mit der Hassfurter und Wonfurter Quelle möge die Analyse des Wilhelmsbrunnens bei Cannstatt in Württemberg, welcher ebenfalls sein Wasser aus der Anhydritgruppe erhält, hier Platz finden. Dieselbe wurde von Prof. Sigwart¹⁾ ausgeführt; derselbe fand in 1 Liter:

¹⁾ Württemberg. naturw. Jahreshäfte XV S. 354.

NaCl = 2,0104 g	oder	K ₂ O = 0,0229 g	100 Theile Rückstand
K ₂ SO ₄ = 0,0425 „		Na ₂ O = 1,2349 „	enthalten:
Na ₂ SO ₄ = 0,3850 „		CaO = 0,9409 „	K ₂ O = 0,44 %
MgSO ₄ = 0,5007 „		MgO = 0,1652 „	Na ₂ O = 24,03 „
CaSO ₄ = 0,8509 „		FeO = 0,0107 „	CaO = 18,31 „
CaCO ₃ = 1,0574 „		Cl = 1,2183 „	MgO = 3,21 „
FeCO ₃ = 0,0173 „		SO ₃ = 1,0728 „	FeO = 0,20 „
SiO ₂ = Spuren		CO ₂ geb. = 0,4719 „	Cl = 23,71 „
Br u. J = Spuren		Sa. 5,1376 g.	SO ₃ = 20,94 „
			CO ₂ geb. = 9,16 „
Sa. 4,8642 g.			Sa. 100,00 %
Freie und halbgebundene			
CO ₂ = 1,522 g.			
Temperatur 18.2° C			

3. Das Wasser des eigentlichen Muschelkalks.

Auf die Anhydrit-Gruppe folgt zunächst der Muschelkalk im engeren Sinne, der im Franken von unten nach oben folgende Gliederung zeigt.

- I. Geradschiefrige Mergel und Kalksteine mit Hornsteinknauern und gelber Mergelkalk . . 4,00 m
- II. Wulstige Kalke mit *Pecten Albertii* . . . 2,85 „
- III. Aschgraue Kalksteine mit *Myophoria vulgaris* und *Gervillia costata*, wechselnd mit Schieferthon, in der Mitte die untere 0,5 m dicke Enkriniten-Bank . . . 5,75 „
- IV. Blaue Plattenkalke und Pflastersteinbänke mit *Pecten discites*, vielfach mit Schieferthon wechselnd, in der Mitte die obere 0,30 m dicke Enkriniten-Bank mit *Spiriferina fragilis* . . 12,56 „
- V. Bank der *Terebratula vulgaris* var. *cycloides* 0,27 „
- VI. Kalkstein und Schieferthon mit zahlreichen Exemplaren von *Ceratites nodosus typus* . . 15,11 „
- VII. Kalkstein und Schieferthon mit *Ceratites semipartitus* . . . 2,50 „
- VIII. a) Quaderkalk mit *Trigonodus* }
SO u. S von Würzburg
b) Schieferthone mit *Ostracoden* } . . . 2,50 „
NW u. N von Würzburg

Die Gesteine des Muschelkalkes erscheinen demnach in vieler Beziehung verschieden von jenen des Wellenkalks. In Folge des

häufigen Zwischenlagern von thonigen Schichten und seiner grösseren Verwitterungsfähigkeit gibt er für die Landwirthschaft einen vorzüglichen Boden ab. Dagegen ist der Muschelkalk für die Ansammlung von Wasser im Ganzen ungünstig. Es werden zwar durch die Schieferthone einige Wasserhorizonte gebildet, aber die Menge, die in ihnen angesammelt wird, ist nicht sehr bedeutend. Es treten hier Wasser zu Tage, die an Mineralbestandtheilen den Wassern der unteren Glieder der Muschelkalk-Gruppe nicht nachstehen, doch tritt in ihrer Zusammensetzung der kohlensaure Kalk mehr in den Vordergrund, die Schwefelsäure aber zurück. — Zu bemerken ist, dass die obersten Schichten des Muschelkalks, die Trigonoduskalke, vollständig wasserarm und daher von Wohnstätten gemieden sind, aber als schwer verwitterbares Material zu Bausteinen in grossem Maassstabe Verwendung finden.

Zur Untersuchung wählte ich ein Wasser, welches in einem Seitenthale des Maines, dem Alandsgrunde, zwischen Würzburg und Randersacker entspringt. Die Quelle tritt am Wechsel von Schieferthonen mit kalkigen Bänken der Zone des *Ceratites nodosus* (Nro. VI des Profils) zu Tage. Das Wasser selbst wird wegen seiner Klarheit und gleichmässigen, nicht allzu hohen Temperatur gerne getrunken und der Weg zur Quelle, die sehr hübsch gelegen ist, bildet daher einen beliebten Spaziergang der Einwohner Würzburgs.

Die Analyse der Schichten des *Ceratites nodosus*, ausgeführt von Herrn Professor *Hilger*, zeigt folgende Zahlen:

In 100 Theilen:			
In HCl Lösliches		= 96,97 %	
In HCl Unlösliches		= 3,023 %	
Lösliches:		Unlösliches:	
SiO ₂	= 0,319	SiO ₂	= 2,669
Al ₂ O ₃	= 0,257	Al ₂ O ₃	= 0,062
Fe ₂ O ₃	= 0,673	Fe ₂ O ₃	= 0,077
CaO	= 51,272	CaO	= 0,007
MgO	= 0,928	K ₂ O	= 0,143
K ₂ O	= 0,258	Na ₂ O	= 0,181
Na ₂ O	= 0,353		
P ₂ O ₅	= 1,150		
Cl	= 0,113	In Spuren: Li ₂ O.	
CO ₂	= 41,390		
HO ₂	= 1,410		

Alle die Körper, welche in der Gesteinsanalyse angeführt sind, finden sich auch in dem Wasser wieder, davon aber P_2O_5 und SiO_2 nur in Spuren. Das Wasser ist farb-, geschmack- und geruchlos, ohne Wirkung auf Reagenspapier und hat eine Temperatur von 10^0 C, welche das ganze Jahr constant bleibt. Die Alandsquelle liefert in der Stunde 600 Liter.

In 1 Liter fand ich:

NaCl	= 0,0111 g	oder K_2O	= 0,0012 g
KCl	= 0,0059 „	Na_2O	= 0,0055 „
$CaCl_2$	= 0,0067 „	CaO	= 0,1200 „
$(NH_3)HNO_3$	= 0,0012 „	MgO	= 0,0584 „
$Ca(NO_3)_2$	= 0,0051 „	FeO	= 0,0015 „
$CaSO_4$	= 0,0367 „	NH_3	= 0,0002 „
$CaCO_3$	= 0,1784 „	SiO_2	= 0,0012 „
$MgCO_3$	= 0,1227 „	N_2O_5	= 0,0046 „
$FeCO_3$	= 0,0021 „	N_2O_3	= 0,0001 „
SiO_2	= 0,0042 „	SO_3	= 0,0216 „
Sa.	0,3741 g.	Cl	= 0,0140 „
Freie u. halbgebundene		CO_2 geb.	= 0,1418 „
CO_2	= 0,1908.	Sa.	0,3761 g.

Sauerstoff z. Oxydation 0,000059 g.

Spuren: Li_2O , BaO , P_2O_5 .

100 Theile Rückstand enthalten:

K_2O	= 1,11 %
Na_2O	= 1,46 „
CaO	= 31,90 „
MgO	= 15,42 „
FeO	= 0,39 „
NH_3	= 0,05 „
Cl	= 3,72 „
SO_3	= 5,74 „
CO_2 geb.	= 37,70 „
N_2O_5	= 1,22 „
N_2O_3	= Spur „
SiO_2	= 1,11 „

Sa. 99,82 %

Auch Heilquellen nehmen aus dem Muschelkalk Unterfrankens ihren Ursprung, wie die Quellen des Bades Sennfeld bei Schweinfurt. Dieselben wurden schon des öfteren untersucht, aber leider liegt keine Analyse aus neuerer Zeit vor. Ich muss mich, da ich zu einer eigenen Analyse aus Mangel an Zeit nicht mehr kommen konnte, mit der vom ehemaligen Rector der Schweinfurter Realschule *Juch* ausgeführten und vom Freiherrn von *Bibra*¹⁾ veröffentlichten Analyse begnügen.

¹⁾ v. *Bibra*. Erdmann, Journ. f. prakt. Chemie. XXVI. Bd. S. 16 ff.

Juch fand in 1 Liter der

	Quelle I.	Quelle II.
CaCO_3	= 0,70	0,60
MgCO_3	= 0,02	—
CaSO_4	= 0,20	0,50
MgSO_4	= 0,08	0,10
KCl	= 0,02	0,05
NaCl	= 0,20	Spur
MgCl_2	= 0,04	—
$(\text{MgO})_3(\text{P}_2\text{O}_5)_2$	= 0,01	0,05
FeCO_3	= 0,10	0,05
Quells. CaO	= 0,13	0,15
	1,50	1,50

CO_2 u. H_2S

Freiherr v. *Bibra* gibt an derselben Stelle¹⁾ für die Schichten des Muschelkalks, aus welchen obige Quellen hervorbrechen, nachstehende Resultate seiner Analysen:

I. Mergelige Schicht (mit hier und da eingesprengtem Schwefelkies).

Spec. Gew. 2,695.

SiO_2	= 5,8
CaCO_3	= 41,1
MgCO_3	= 44,8
Al_2O_3	= 3,7
FeO	= 1,3
H_2O	= 2,4
H_2SO_4 , Na_2O , Cl + Verlust	= 0,9
	100,0

II. Lage festen Kalksteins

1 Fuss mächtig.

Spec. Gew. 2,731.

SiO_2	= 6,5
$\text{Fe}_2\text{O}_3 + \text{Al}_2\text{O}_3$	= 1,9
CaCO_3	= 88,0
MgCO_3	= 1,3
H_2O	= 0,6
K_2O , Na_2O , SO_3 , Cl	= 1,7
	100,0

Der ziemlich hohe Gehalt des Wassers an CaSO_4 ergibt sich daraus, dass der Eisenkies der Schichten oxydirt wird und Schwefelsäure und Ferrosulfat bildet; erstere zersetzt den kohlen-sauren Kalk in Gyps und Kohlensäure, letzteres wandelt sich mit CaCO_3 in FeCO_3 und CaSO_4 um.

¹⁾ v. *Bibra*: Erdmann Journ. f. prakt. Chem. XXVI. Bd. S. 14.

Verhandl. der phys.-med. Gesellschaft. N. F. XXI. Bd.

Wasser der

1 Liter enthält in Gramm:		KCl	NaCl	LiCl	CaCl ₂	Na ₂ SO ₄	MgSO ₄	CaSO ₄	CaCO ₃
Wellenkalk	Hofbrauhaus	0,01609	0,04742	—	—	—	—	0,14052	0,33954
Anhydrit- gruppe	ausgelangt {	Würzb. Stadtqu.	0,00573	0,01742	—	0,02547	0,10000	0,17762	0,26954
		Horaquelle	0,00198	0,00341	—	0,01869	—	0,06436	0,13498
		Hassfurt	0,00936	0,21606	0,00162	—	SrSO ₄ 0,00198	1,88174	0,27974
	nicht ausgelangt {	Wonfurt	0,01212	0,22606	Spur	—	—	1,92446	0,23528
		Cannstadt	—	2,01040	—	—	0,38500	0,50070	0,85090
		Friedrichshall	—	19,30000	—	MgCl ₂ 0,60000	—	1,80000	6,20000
Muschelkalk i.e.S.	Alandsquelle	0,00590	0,01110	Spur	0,00670	—	—	0,03670	0,17840

1 Liter enthält in Gramm:		K ₂ O	Na ₂ O	CaO	MgO	FeO	MnO
Wellenkalk	Hofbrauhaus	0,01524	0,02427	0,25130	0,03716	0,00360	—
Anhydrit- gruppe	ausgelangt {	Würzb. Stadtqu.	0,00360	0,02042	0,22376	0,05824	0,00162
		Horaquelle	0,00145	0,00269	0,11430	0,07117	0,00360
		Hassfurt	0,00621	0,17324	1,02777	0,05615	0,01300
	nicht ausgelangt {	Wonfurt	0,00763	0,18333	0,94969	0,05761	0,01304
		Cannstadt	0,02290	1,23490	0,94090	0,16520	0,01070
		Friedrichshall	—	10,22900	2,54200	0,85020	—
Muschelkalk i.e.S.	Alandsquelle	0,00420	0,00550	0,12000	0,05840	0,00150	—

100 Theile Rückstan

		K ₂ O	Na ₂ O	CaO	MgO	FeO	Mn
Wellenkalk	Hofbrauhaus	2,33	3,72	38,53	5,69	0,55	—
Anhydrit- gruppe	ausgelangt {	Würzb. Stadtqu.	0,54	3,09	33,90	8,82	0,24
		Horaquelle	0,36	0,66	28,38	17,67	0,89
		Hassfurt	0,23	6,41	38,07	2,08	0,48
	nicht ausgelangt {	Wonfurt	0,27	6,62	34,31	2,08	0,47
		Cannstadt	0,44	24,03	18,31	3,21	0,20
		Friedrichshall	—	33,40	8,30	2,77	—
Muschelkalk i.e.S.	Alandsquelle	1,11	1,46	31,90	15,42	0,39	—

Muschelkalkformation.

FeCO_3	MnCO_3	$\text{Ca(NO}_3)_2$	NH_4NO_3	NH_4NO_2	$(\text{Al}_2\text{O}_3)_2$ $(\text{P}_2\text{O}_5)_3$	SiO_2	MgON_2O_5	Freie u. halbgeb. CO_2	H_2S	Tem- peratur	Summa
0,00579	—	0,01100	0,00136	0,00084	—	0,00750	—	0,22043	—	9,8° C	0,64848
0,00261	—	—	—	—	—	0,01140	0,01504	nicht an- gegeben	—	120° C	0,66835
0,00579	—	0,00895	—	—	—	0,01035	—	0,15950	—	9,9° C	0,39794
0,01993	0,00128	—	NH_4Cl 0,00217	—	0,00017	0,00231	BaSO_4 0,00053	freie 0,02340	0,00698	12,4° C	2,67573
0,02104	0,00014	—	0,00442	—	Spur	0,00120	—	0,22023	nicht be- stimmt	12,4° C	2,73684
0,01730	—	—	—	—	—	Spuren	K_2SO_4 0,04250	1,52200	—	18,2° C	4,86420
—	—	—	—	—	—	—	—	—	—	nicht an- gegeben	27,90000
0,00210	—	0,00510	0,00120	—	Spur	0,00420	—	0,19080	—	10,0° C	0,37410

Li_2O	Cl	SO_3	CO_2 gebund.	N_2O_5	N_2O_3	SiO_2	P_2O_5	BaO	SrO	Summa
—	0,03546	0,08266	0,19306	0,00842	0,00048	0,00750	—	—	—	0,65965
—	0,01330	0,18576	0,14224	0,01098	—	0,01140	—	—	—	0,67132
—	0,01418	0,03786	0,14110	0,00537	—	0,01035	—	—	—	0,40267
0,00056	0,13845	1,08605	0,19265	—	—	0,00231	0,00017	0,00035	0,00110	2,69962
Spur	0,14250	1,21309	0,19601	0,00354	—	0,00120	Spur	Spur	Spur	2,76810
—	1,21830	1,07250	0,47190	—	—	Spur	—	—	—	5,13760
—	12,14400	4,85900	—	—	—	—	—	—	—	30,62400
Spur	0,01400	0,02160	0,14180	0,00460	0,00010	0,00420	Spur	Spur	—	0,37610

halten %

Li_2O	Cl	SO_3	CO_2 gebund.	N_2O_5	N_2O_3	SiO_2	P_2O_5	BaO	SrO	Summa
—	5,43	12,70	29,60	1,29	0,07	1,10	—	—	—	101,08
—	2,01	28,15	21,55	1,66	—	1,69	—	—	—	101,65
—	3,52	9,40	35,04	1,48	—	2,57	—	—	—	99,97
0,02	5,12	40,32	7,10	—	—	0,08	0,006	0,01	0,04	100,01
Spur	5,16	43,83	7,08	0,12	—	0,05	Spur	Spur	Spur	100,02
—	23,71	20,94	9,16	—	—	Spur	—	—	—	100,00
—	39,66	15,86	—	—	—	—	—	—	—	99,99
Spur	3,72	5,74	37,70	1,22	Spur	1,11	Spur	Spur	—	99,82

C. Wasser der Lettenkohlen-Gruppe.

Direkt auf den Trigonodus-Kalken oder, wo diese nicht vorhanden sind, auf den Ostracoden-Thonen baut sich, mit den Glaukonit- oder Bairdien-Kalken beginnend, die Lettenkohlen-Gruppe auf. Ein prächtiger Aufschluss am Faulenberg nordöstlich von Würzburg gibt Zeugnis von der glänzenden Entwicklung dieses Gliedes der Trias in Unterfranken. Das Profil desselben lässt nebenstehende Schichtenfolge erkennen:

I. Glaukonit-Kalke und harte Dolomite mit Myophoria Goldfussii und Gervillia subcostata, mit grünlichen Schieferthonen und Ockerkalken mit Lingula wechselnd . . .	12,0 m
II. Weissgraue harte Schiefer und Ockerkalke	3,5 „
III. Thoniger Sandstein mit Anoplophora, wechselnd mit Schieferthon, Lettenkohle und Ockerkalk, zu oberst gelber Dolomit mit Drusen von Kalkspath und Aragonit . .	10,0 „
IV. Hauptsandstein (Baustein) unten roth, oben gelbgrau	15,0 „
V. Schieferthone und Lettenkohle mit Ockerkalk wechselnd	5,5 „
VI. Grenz-Dolomit und oberster Zellenkalk . .	2,6 „
	<hr/> 48,6 m

Die Lettenkohlengruppe enthält verschiedene Bänke, welche Wasser zurückhalten. Der Hauptwasserhorizont ist jedenfalls die Schicht, welche die Wasser des Hauptsandsteins sammelt. Aus den schon bei der Besprechung des Buntsandsteins entwickelten Gründen kann man im Voraus annehmen, dass das Wasser des Lettenkohlen-sandsteins ein gutes und wenig hartes sein werde. Aber hier wird das Bindemittel nicht allein von Thon und unlöslichem Eisenoxyd gebildet, sondern dasselbe ist oft auch reich an kohlensaurem Eisenoxydul, Kalk und Bittererde. Es ist deshalb der Gehalt an gelösten Mineralbestandtheilen natürlich viel grösser als beim härtesten Buntsandstein-Wasser. Können kieselsäurehaltige Flüssigkeiten auf das Bindemittel einwirken, so wird eine grössere Menge des letzteren gelöst und es entstehen Sauerlinge von ganz ausgezeichneter Zu-

sammensetzung. Dies ist der Fall bei einer Quelle, die bei Lendershausen, einem Dorfe unweit des Städtchens Hofheim in Unterfranken entspringt.

Nachstehend bringe ich die Analyse des Wassers, welches am Faulenberg bei Würzburg in einem Bahneinschnitt direkt unter dem Hauptsandstein (No. IV. des vorstehenden Profils) austritt, sowie die der eben erwähnten Quelle von Lendershausen.

Das Wasser des Faulenbergs bei Würzburg.

Dasselbe ist farb-, geschmack- und geruchlos, ohne Einwirkung auf Reagenspapier, und zeigte 11,2° C bei 15° C Lufttemperatur. Absätze wurden bei der Quelle nicht vorgefunden. Die in der Stunde gelieferte Wassermenge beträgt 30 Liter.

In 1 Liter fand ich feste Bestandtheile				100 Theile Rückstand	
in Gramm:				enthalten:	
KCl	=	0,00221	oder	K ₂ O	= 0,71 %
NaCl	=	0,00379		Na ₂ O	= 0,84 „
CaCl ₂	=	0,01143		CaO	= 35,23 „
Ca(NO ₃) ₂	=	0,00324		MgO	= 13,60 „
CaSO ₄	=	0,01179		FeO	= 0,67 „
CaCO ₃	=	0,12159		MnO	= Spur
MgCO ₃	=	0,06518		NH ₃	= Spur
FeCO ₃	=	0,00246		Cl	= 4,65 „
SiO ₂	=	0,00450		SO ₃	= 2,67 „
Sa. 0,22619				CO ₂ geb.	= 38,68 „
Freie u. halbgebundene				N ₂ O ₅	= 0,94 „
CO ₂ = 0,2223.				N ₂ O ₃	= Spur
Sauerstoff z. Oxydation				SiO ₂	= 1,97 „
0,00081.				Sa. 99,96 %	
				Sa. 0,22817.	

Der Säuerling von Lendershausen bei Hofheim.

In nächster Nähe des Dorfes Lendershausen, ungefähr $\frac{1}{2}$ Stunde westlich von dem zwischen Hassfurt und Königshofen gelegenen Städtchen Hofheim, entspringt mitten im Walde auf einer in nächster Nähe nachweisbaren Verwerfungsspalte eine in Sandsteinquadern gefasste Mineralquelle aus dem Lettenkohlen-sandstein. Das Wasser wird von den Bewohnern der Umgegend wegen seines vorzüglichen Geschmacks sehr gerne getrunken und seiner ausgezeichneten Wirkung wegen gerühmt.

Dasselbe ist durch ausgeschiedenes Eisenoxydhydrat etwas gelblich gefärbt, stark perlend, schmeckt nach Kohlensäure und

in nicht unangenehmer Weise nach Eisen. Beim Stehen entwickelt es an den Wandungen des Gefässes eine Unzahl von Kohlensäurebläschen und es entsteht bei längerem Verweilen an der Luft ein gelblicher Niederschlag. Auch beim Kochen entsteht derselbe. Er enthält Fe_2O_3 , CaO , Spuren von MgO und MnO nebst CO_2 . Die Temperatur mass ich zu 10°C bei $7,5^\circ \text{C}$ Lufttemperatur. Leider war es auch hier durch die Art der Fassung unmöglich gemacht, Ocker zu erhalten.

1 Liter enthält nach meiner Analyse:				100 Theile Rückstand enthalten:		
NaCl	= 0,00385 g	oder	K ₂ O	= 0,00449 g	K ₂ O	= 1,04 %
KCl	= 0,00606 "		Na ₂ O	= 0,00335 "	Na ₂ O	= 0,78 "
CaCl ₂	= 0,02441 "		CaO	= 0,14280 "	CaO	= 33,22 "
CaSO ₄	= 0,02384 "		MgO	= 0,05575 "	MgO	= 13,00 "
CaCO ₃	= 0,21144 "		FeO	= 0,00729 "	FeO	= 1,70 "
MgCO ₃	= 0,11707 "		Cl	= 0,02237 "	SO ₃	= 2,88 "
FeCO ₃	= 0,31173 "		SO ₃	= 0,01235 "	Cl	= 5,21 "
N ₂ O ₅	= Spur "		CO ₂ geb.	= 0,15841 "	CO ₂ geb.	= 36,94 "
SiO ₂	= 0,02200 "		N ₂ O ₅	= Spur "	N ₂ O ₅	= Spur "
	Sa. 0,42040 g		SiO ₂	= 0,02200 "	SiO ₂	= 5,13 "
Freie u. halbgebundene				Sa. 0,42881 g.		Sa. 99,90 %
CO ₂ = 1,6343 g.						
Sauerstoff z. Oxydation — Spur.						

Eine von v. Bibra¹⁾ ausgeführte Analyse von Lettenkohlen-sandstein von Waigoldshausen ergab:

SiO_2	=	81,1
Al_2O_3	=	10,0
Fe_2O_3	=	5,7
H_2O	=	2,3
CaO	=	Spuren
Verlust	=	0,9
Sa. 100,0		

Schon diese Analyse zeigt, wie wenig die Wasser, welche durch diesen Sandstein circuliren, lösen können. Nur durch Zutritt grösserer Mengen von Kohlensäure ist es möglich, dass Bestandtheile des Bindemittels in das Wasser übergehen, wie dieses hauptsächlich bei der Lendershauser Quelle der Fall ist. Dieselbe zählt zu den an Kohlensäure reichsten Quellen Unterfrankens. Ihr Gehalt an FeO , sowie der an SiO_2 wird von keiner anderen erreicht; derselbe wird aber bedingt durch die grossen Mengen freier Kohlensäure, welche beide in Lösung hält.

¹⁾ v. Bibra: Erdmann Journal f. prakt. Chem. XIX. Bd. S. 81.

Wasser der Lettenkohlen-Gruppe.

1 Liter enthält in Gramm:

	KCl	NaCl	CaCl ₂	CaSO ₄	CaCO ₃	MgCO ₃	FeCO ₃	Ca(NO ₃) ₂	N ₂ O ₅	SiO ₂	Tempe- ratur	Freie und abgeb. CO ₂	Summa
Faulenberg	0,00221	0,00379	0,01143	0,01179	0,12159	0,06518	0,00246	0,00324	—	0,00450	11,20 C	0,22230	0,22619
Sendershausen	0,00606	0,00385	0,02441	0,02384	0,21144	0,11707	0,01173	—	Spur	0,02200	100 "	1,63430	0,42040

Das entspricht in 1 Liter:

	K ₂ O	Na ₂ O	CaO	MgO	FeO	NH ₃	SO ₃	Cl	CO ₂ geb.	SiO ₂	N ₂ O ₅	Na ₂ O ₃	Summa
Faulenberg	0,00162	0,00183	0,08049	0,03104	0,00153	Spur	0,00610	0,01063	0,08827	0,00450	0,00216	Spur	0,22817
Sendershausen	0,00449	0,00335	0,14280	0,05575	0,00729	—	0,01235	0,02237	0,15841	0,02200	Spur	—	0,42881

100 Theile Rückstand enthalten %

	K ₂ O	Na ₂ O	CaO	MgO	FeO	NH ₃	SO ₃	Cl	CO ₂ geb.	SiO ₂	N ₂ O ₅	Na ₂ O ₃	Summa
Faulenberg	0,71	0,84	35,23	13,60	0,67	Spur	2,67	4,65	38,68	1,97	0,94	Spur	99,96
Sendershausen	1,04	0,78	33,22	13,00	1,70	—	2,88	5,21	36,94	5,13	Spur	—	99,90

D. Wasser des Keupers.

Der Keuper, die nach oben abschliessende Gruppe der Trias, zeichnet sich durch grossen Wasserreichthum aus. Die Entwicklung desselben gibt Professor v. Sandberger¹⁾ folgendermassen an:

I. Bunte Mergel mit Gypsstöcken und Steinmergel-Bänken: von letzteren zeichnen sich aus: in der Unterregion eine Bleiglanz und Kupferkies führende mit <i>Myophoria Raibiana</i> und <i>Corbula</i> , höher mehrere mit <i>Estheria laxitexta</i> , Sauriern und Fischen, ganz oben eine letzte mit <i>Modiola subdimidiata</i> Sandb. (Prappach, Zeil, Hochwand)	181,5 m
II. Schilfsandstein	12,5 „
III. Bunte Mergel mit einer Kalkbank voll <i>Murchisonia Theodorii</i> , <i>Trigonodus</i> und <i>Avicula gansingensis</i> (Lehrberger Schicht <i>Gümbels</i>), Gypsstöcke nur vereinzelt . .	29,0 „
IV. Semionotus-Sandstein, kieseliger Sandstein und dolomitische Arkosen nebst bunten Mergeln und selten auch Gyps (Brühl b/Castell, Kleinerlenbach b/Neustadt an der Aisch). Mächtigkeit wechselnd, ungefähr .	58,0 „
V. Grobkörniger Sandstein mit bunten Mergeln und lokalen Dolomitbänken (Stubensandstein). Mächtigkeit wechselnd ungefähr .	60 „
VI. Dunkelrother Schieferletten (Region des Zancloclodon). Mächtigkeit wechselnd, ungef.	25,0 „
	<hr/> 366,0 m

Die wichtigste und mächtigste Schichten-Gruppe des Keupers ist diejenige der Gypsmergel (I. d. Profils). Dieselbe ist unzweifelhaft eine Ablagerung von in Gyps umgewandeltem Anhydrit, der von Mutterlaugensalzen begleitet wird.

¹⁾ Die Triasformation im mittleren Maingebiete. Gemeinn. Wochenschrift 1882 S. 38.

Das Wasser, das aus dieser Region zu Tage tritt, ist mit Salzen beladen und sehr häufig fast ungeniessbar. Neben grossen Mengen von Gyps treten auch schwefelsaure Magnesia und Chloride der Alkalien und des Calciums auf. Es ist deshalb durchaus nicht zu verwundern, dass diese Wasser nicht gerne getrunken werden, und da, wo Menschen auf dieselben allein angewiesen sind, Krankheiten der verschiedensten Art, z. B. Kropf, auch Cretinismus, durch den längeren Genuss hervorgerufen werden.

Dagegen liefern die oberen Schichten des Keupers, der Schilfsandstein, der Semionotus- und der Stubensandstein, Wasser von fast chemischer Reinheit, die in ihrer Verwendbarkeit für Haus- und Küchegebrauch, sowie für jeden technischen Zweck nur von den Buntsandsteinwassern erreicht werden.

Zuweilen finden sich indessen zwischen den Lagen des Sandsteins solche von Gyps und Salzmergel eingebettet, aus welchen dann natürlich Wasser entspringen, die reich an schwefelsauren Salzen und Chloriden sind. Dies ist der Fall bei den Quellen von Friedrichshall in Meiningen und der Badequelle des Wildbades Burgbernheim. Erstere tritt aus dem Semionotus-Sandstein aus, während die Burgbernheimer Quelle dem Schilfsandstein angehört. Bei letzterer trägt zur Erhöhung des Gehaltes an schwefelsauren Salzen auch noch das Vorkommen von Eisenkies in den oberen Schichten des Sandsteins viel bei. Der Eisenkies zersetzt sich bei Einwirkung von Luft und Wasser in FeSO_4 und freie Schwefelsäure. Letztere wirkt direct auf das Bindemittel des Schilfsandsteins, welches zum grössten Theil aus FeCO_3 , CaCO_3 mit viel MgCO_3 ¹⁾ besteht, ein. Das Eisensulfat dagegen setzt sich seinerseits wieder mit CaCO_3 und MgCO_3 in CaSO_4 resp. MgSO_4 und FeCO_3 um.

Ueber die chemische Zusammensetzung von Keuperschichten liegt eine Reihe von v. Bibra²⁾ ausgeführten Analysen vor, doch sind in denselben leider die in Wasser löslichen Bestandtheile der Gesteine meist nicht berücksichtigt.

1) Nach eigener Untersuchung; Freiherr v. Bibra scheint dies bei den citirten Untersuchungen übersehen zu haben.

2) v. Bibra: Chem. Untersuch. einiger Formen d. fränk. Keupergebirges Erdmann Journ. f. pract. Chem, XIX. Bd. S. 21 ff. u. 80 ff.

Bunter Mergel von Grettstadt:
(graugrüne Varietät)

SiO ₂	=	32,5
CaCO ₃	=	26,5
MgCO ₃	=	13,8
Al ₂ O ₃	=	9,9
Fe ₂ O ₃	=	11,7
H ₂ O	=	5,3
Cl und Verlust	=	0,3

Sa. 100,0

Der Gyps zwischen diesem Mergel
bei Sulzheim enthielt:

CaO	=	31,657
SO ₃	=	45,164
Al ₂ O ₃ + Fe ₂ O ₃	=	1,400
H ₂ O	=	20,200
Na ₂ O und Verlust	=	1,379
SiO ₂	=	0,200

Sa. 100,000

Rother Mergel von Traustadt:

SiO ₂	=	44,1
CaCO ₃	=	12,3
MgCO ₃	=	11,3
Al ₂ O ₃	=	15,0
Fe ₂ O ₃	=	11,2
H ₂ O	=	5,1
Cl und Verlust	=	1,0

Sa. 100,0

Schilfsandstein von Zeil:

SiO ₂	=	75,4
CaO	=	2,8
MgO	=	1,4
Al ₂ O ₃	=	11,7
Fe ₂ O ₃	=	3,0
H ₂ O	=	3,5
Cl, Na ₂ O und Verlust	=	2,2

Sa. 100,0

Semionotus-Sandstein vom Zabelstein:

SiO ₂	=	92,2
CaO	=	0,7
MgO	=	1,1
Al ₂ O ₃	=	4,0
Fe ₂ O ₃	=	1,0
H ₂ O	=	0,5
Verlust	=	0,5

Sa. 100,0

Stubensandstein von Bamberg:

SiO ₂	=	31,4
CaO	=	1,7
MgO	=	0,4
Al ₂ O ₃	=	2,6
Fe ₂ O ₃	=	1,6
H ₂ O	=	1,9
Cl und Verlust	=	0,4

Sa. 100,0

Dass aus diesen letzteren Sandsteinen das Wasser nichts oder nur geringe Mengen von CaO und MgO auslaugen kann, ist aus diesen Analysen klar ersichtlich. Dagegen bieten die Mergel und die zwischen diesen liegenden Bänke und Gypsschnüre dem Wasser reichlich lösliche Mineralbestandtheile dar und der schon besprochene hohe Gehalt an solchen in den Wassern, welche aus dieser Region des Keupers austreten, erklärt sich daher leicht.

1. Das Wasser des unteren oder Gyps-Keupers.

Zur Untersuchung eines der letzteren Kategorie angehörigen Wassers benützte ich das des Hofheimer Stadtbrunnens; derselbe ist trotz der schlechten Beschaffenheit des gelieferten Wassers bis heutigen Tages noch der Hauptwasserversorger des Städtchens Hofheim bei Hassfurt.

Der Hofheimer Stadtbrunnen.

Das Wasser ist farb- und geruchlos, schmeckt schwach bitter und gibt keine Reaction mit Reagenspapier. Die Temperatur beträgt 10,8° C bei 12,5° C Lufttemperatur.

1 Liter enthält nach meiner Analyse:

KCl	= 0,04535 g
NaCl	= 0,02705 "
CaCl ₂	= 0,06429 "
Ca(NO ₂) ₂	= 0,03473 "
NH ₄ NO ₃	= Spur "
Ca(NO ₃) ₂	= 0,04555 "
CaSO ₄	= 0,28233 "
MgSO ₄	= 0,01318 "
MgCO ₃	= 0,28169 "
SiO ₂	= 0,00740 "
FeCO ₃	= 0,00188 "

Sa. 0,80345 g.

Freie und halbgebundene CO₂ = 0,15778.

Spuren von P₂O₅, B₂O₃ u. H₂S.

Sauerstoff zur Oxyd. der org. Subst. = 0,000161 g per Liter.

Das entspricht in 1 Liter Wasser:

K ₂ O	= 0,03330 g
Na ₂ O	= 0,01384 "
NH ₃	= 0,00002 "
FeO	= 0,00117 "
CaO	= 0,17910 "
MgO	= 0,14732 "
N ₂ O ₃	= 0,02000 "
N ₂ O ₅	= 0,03010 "
Cl	= 0,07801 "
SO ₃	= 0,17348 "
CO ₂ geb.	= 0,15006 "
SiO ₂	= 0,00740 "

Sa. 0,83380 g.

100 Theile Rückstand enthalten:

K ₂ O	=	3,95	°
Na ₂ O	=	1,64	"
NH ₃	=	Spur	
CaO	=	21,29	"
MgO	=	17,51	"
FeO	=	0,13	"
N ₂ O ₃	=	2,37	"
N ₂ O ₅	=	3,56	"
Cl	=	0,27	"
SO ₃	=	20,38	"
CO ₂ geb.	=	18,95	"
SiO ₂	=	0,19	"
<hr/>			
Sa.		99,24	°

Die Quellen des Ludwigsbades bei Wipfeld.

Einer Versenkungsspalte, die von Essleben in der Richtung von W nach O zieht und in welcher die Schichten der unteren Gypsregion des Keupers zwischen Muschelkalk eingeklemmt liegen, entspringen die Quellen des Bades Wipfeld. Dasselbe liegt in dem engen, in O, N und W durch vorgelagerte Berge geschützten Mainthale, ungefähr in der Mitte zwischen den Städten Schweinfurt und Kitzingen.

Die schon seit längerer Zeit bewährten Heilquellen wurden verschiedene Male untersucht und gebe ich nachstehend die Analysen, welche Professor v. Scherer¹⁾ s. Z. ausführte.

1 Liter der Schwefelquelle enthält in Gramm:

H ₂ S	=	0,117		
CO ₂	=	0,520		
CaSO ₄	=	1,04000	oder	CaO = 0,58838
MgSO ₄	=	0,19838		MgO = 0,07948
CaCO ₃	=	0,28925		FeO = Spuren
MgCO ₃	=	0,02925		Cl = Spuren
FeO	=	Spuren		SO ₃ = 0,74652
Cl	=	Spuren		CO ₂ geb. = 0,14250
Extract	=	0,00390		Extract = 0,00390
<hr/>				
Sa. d. festen Bestandtheile 1,56078 g.				Sa. 1,56078 g.

¹⁾ Das Ludwigsbad Wipfeld von Dr. Gregor Schmitt. Würzburg bei Stahl 1875. S. 50.

Für die Schilfquelle erhielt v. Scherer in 1 Liter:

CaSO ₄	= 1,13243 g	oder	K ₂ O	= 0,00229 g
MgSO ₄	= 0,27196 „		CaO	= 0,56960 „
CaCO ₃	= 0,18824 „		MgO	= 0,11626 „
MgCO ₃	= 0,05525 „		FeO	= 0,00169 „
FeCO ₃	= 0,00273 „		Cl	= 0,00174 „
KCl	= 0,00364 „		SO ₃	= 0,85046 „
Extract	= 0,00416 „		CO ₂ geb.	= 0,11260 „
	Sa. 1,65841 g.		Extract	= 0,00416 „

Freie CO₂: nicht bestimmt.

Sa. 1,65880 g.

100 Theile Rückstand enthalten:

Schwefelquelle:		Schilfquelle:	
K ₂ O	= —	K ₂ O	= 0,13 %
CaO	= 37,69 %	CaO	= 34,34 „
MgO	= 5,09 „	MgO	= 7,00 „
FeO	= Spur „	Cl	= 0,10 „
Cl	= Spur „	FeO	= 0,10 „
SO ₃	= 47,83 „	SO ₃	= 51,26 „
CO ₂ geb.	= 9,12 „	CO ₂ geb.	= 6,77 „
Extract	= 0,24 „	Extract	= 0,25 „
Sa.	99,97 %	Sa.	99,95 %

Die grösseren oder geringeren Mengen von Schwefelwasserstoff, welche hier sowohl als in den Quellen der Anhydritgruppe, wie Hassfurt, Wurfurt und Sennfeld, vorkommen, dürften ihre Entstehung den reducirenden Eigenschaften organischer Stoffe auf die schwefelsauren Salze des Wassers verdanken. In der That findet überall da, wo das Wasser, welches schwefelsaure Salze in grösserer Menge gelöst enthält, mit organischen Stoffen in genügender Menge zusammentrifft, eine starke Schwefelwasserstoffbildung statt.

Ich erhielt Beweise dafür durch den Ortsbrunnen von Lendershausen. Dieser Pumpbrunnen gehört dem Gypskeuper an, in seiner nächsten Nähe befinden sich Dungstätten, welche organische Substanz dem Boden in Masse zuführen. Beim Aufschlagen des Wasserstrahls auf den Brunnenstein verbreitet sich ein solch intensiver Geruch nach Schwefelwasserstoff, dass ich denselben noch in einer Entfernung von 3—4 m vom Brunnen wahrnahm. Eine weitere Stütze erhält diese Ansicht durch folgende Thatsache. Bei der in jüngster Zeit vorgenommenen Untersuchung der Quellen des Wildbades Burgbernheim, welche auch Schwefelwasserstoff, aber nur wenig, dagegen viel schwefelsaure Salze enthalten, fand ich, dass das Wasser, welches längere Zeit in dem hölzernen alten Pumpenstiefel gestanden war, viel mehr Schwefelwasserstoff enthielt, als das im Brunnen direkt geschöpfte.

2. Das Wasser des Schilfsandsteins.

Die einzige mir bekannte Quelle des Schilfsandsteins in Unterfranken, diejenige, welche am Schwanberg entspringt, war durch schlechte Fassung und durch Zufluss von Tagwasser so verunreinigt, dass sie einer Untersuchung nicht unterzogen werden konnte. Es wurde deshalb die Badequelle des unfern der unterfränkischen Grenze in Mittelfranken gelegenen Wildbades Burgbernheim untersucht. Dieses Wildbad liegt etwa $\frac{1}{2}$ Stunde von der Station Burgbernheim der Würzburg-Münchener Staatsbahn, mitten in einem mit dichten Wäldern umgebenen Thale. Fünf Quellen von nahezu gleicher Zusammensetzung entspringen dort aus dem anstehenden Schilfsandstein.

Zur chemischen Untersuchung benützte ich das Wasser der Trinkquelle. Dasselbe ist klar und farblos. Es besitzt schwachen Geruch nach Schwefelwasserstoff (s. o.) und hatte eine Temperatur von $8,1^{\circ}$ C bei einer Lufttemperatur von 18° C. Beim Erwärmen zeigt es geringe Spuren von freier Kohlensäure und gibt einen Niederschlag, der aus Gyps und kohlensaurer Magnesia mit Spuren von kohlensaurem Kalk besteht.

In 1 Liter fand ich:

KCl	= 0,01335 g oder	K ₂ O	= 0 00841 g	100 Theile Rückstand
NaCl	= 0,01000 „	Na ₂ O	= 0,00530 „	enthalten:
CaCl ₂	= 0,00762 „	CaO	= 0,21760 „	K ₂ O = 1,13 „
CaSO ₄	= 0,44898 „	MgO	= 0,08769 „	Na ₂ O = 0,72 „
CaCO ₃	= 0,05519 „	FeO	= 0,00198 „	CaO = 29,76 „
MgCO ₃	= 0,18900 „	SO ₃	= 0,26411 „	MgO = 12,17 „
FeCO ₃	= 0,00316 „	Cl	= 0,01730 „	FeO = 0,27 „
SiO ₂	= 0,00700 „	CO ₂ geb.	= 0,12515 „	SO ₃ = 35,72 „
		SiO ₂	= 0,00700 „	Cl = 2,34 „
Sa.	0,73430 g.			CO ₂ geb. = 16,93 „
Freie CO ₂	= 0,00249 g.	Sa.	0,73454 g.	SiO ₂ = 0,94 „
Spuren von H ₂ S u. org.				
Subst.				Sa. 99,98 „

3. Das Wasser des Semionotus-Sandsteins.

In Unterfranken selbst war mir z. Z. keine der Quellen, welche aus dem Semionotus-Sandstein entspringen, zugänglich. Deshalb möge mir gestattet sein, die Analyse der bekannten Bitterwasser-Quelle zu Friedrichshall im Herzogthum Meiningen, welche ganz nahe an der unterfränkischen Grenze liegt, anzu-

fügen, umso mehr als schon *v. Gümbel* 1864 die Wahrscheinlichkeit betont hat, dass dasselbe Wasser auch diesseits der Grenze werde erlangt werden können. Die Analyse ist von *v. Liebig* ausgeführt¹⁾. Der Ursprung aus dem Semionotus-Sandstein und die Gründe für den hohen Gehalt an Mineralbestandtheilen sind schon S. 57 besprochen worden.

Die Temperatur des Wassers beträgt 8,1° C. Dasselbe ist klar, farblos, zeigt kaum Spuren von freier CO₂; es ist geruchlos und hat einen stark salzigen bitterlichen Geschmack; an der Luft trübt es sich nicht. Beim Erhitzen setzt es einen Niederschlag von MgCO₃ mit Spuren von CaCO₃ und Gyps ab.

In 1 Liter sind enthalten:	Das entspricht:	100 Theile Rückstand enthalten:
Na ₂ SO ₄ = 6,0560 g	K ₂ O = 0,10703 g	K ₂ O = 0,43 0/0
K ₂ SO ₄ = 0,1982 „	Na ₂ O = 6,88130 „	Na ₂ O = 27,82 „
MgSO ₄ = 5,1502 „	CaO = 0,56029 „	CaO = 2,26 „
CaSO ₄ = 1,3465 „	MgO = 3,03885 „	MgO = 12,28 „
NaCl = 7,9560 „	SO ₃ = 7,71188 „	SO ₃ = 31,14 „
MgCl ₂ = 3,9390 „	Cl = 6,05709 „	Cl = 24,49 „
MgBr ₂ = 0,1140 „	Br = 0,09918 „	Br = 0,40 „
MgCO ₃ = 0,5198 „	CO ₂ geb. = 0,27677 „	CO ₂ geb. = 1,20 „
CaCO ₃ = 0,0147 „		
Sa. 25,2944 g.	Sa. 24,73239 g.	Sa. 100,02 0/0
In Spuren vorhanden: Fe ₂ O ₃ , Al ₂ O ₃ , SiO ₂ , NH ₃ .		
Freie CO ₂ = 0,402 „		

Bemerkenswerth ist die vollständige Abwesenheit von Jod bei ziemlich grosser Menge von Brom, ein Beweis dafür, dass Jod und Brom nicht immer zusammen vorkommen müssen. Nach *Liebig* sind Na₂SO₄ und MgSO₄ im Wasser als Doppelsalze vorhanden. Es wäre demnach mit Berücksichtigung der Anwesenheit von MgCl₂, CaCl₂ und K₂SO₄ das Wasser eine Lösung von Mutterlaugensalzen, wie sie in Steinsalz führenden Ablagerungen verschiedener Formationen auch vorkommen. Dass sich solche Schichten bei der Ablagerung des Semionotus-Sandsteins mit niedergeschlagen haben, ist ein weiterer sicherer Beweis dafür, dass derselbe unter Mitwirkung meerischer Gewässer gebildet worden ist.

¹⁾ *v. Liebig*: Analyse des Bitterwassers von Friedrichshall. Ann. Chem. Pharm. LXIII. S. 127 ff.

Wasser der
1 Liter enthält

		KCl	NaCl	CaCl ₂	Ca(NO ₂) ₂	Ca(NO ₃) ₂	CaSO ₄	MgSO ₄
Unterer oder Gyps-Keuper	Hofheim	0,04535	0,02705	0,06429	0,03473	0,04555	0,28233	0,01318
	Wipfeld Schwefelquelle	—	—	—	—	—	1,04000	0,19838
	Wipfeld Schilfquelle	0,00364	—	—	—	—	1,13243	0,27196
Schilfsandstein	Burgbernheim	0,01335	0,01000	0,00762	—	—	0,44898	—
Semionotus-Sands.	Friedrichshall Meiningen	—	7,95600	—	—	—	1,34650	5,15020

Das entspricht

		K ₂ O	Na ₂ O	NH ₃	CaO	MgO	FeO
Unterer oder Gyps-Keuper	Hofheim	0,03330	0,01384	0,00002	0,17910	0,14732	0,00117
	Wipfeld Schwefelquelle	—	—	—	0,58838	0,07948	Spur
	Wipfeld Schilfquelle	0,00229	—	—	0,56960	0,11626	0,00169
Schilfsandstein	Burgbernheim	0,00841	0,00530	—	0,21760	0,08769	0,00198
Semionotus-Sands.	Friedrichshall Meiningen	0,10703	6,88130	Spur	0,56029	3,03885	Spur

100 Theile Rück

		K ₂ O	Na ₂ O	NH ₃	CaO	MgO	FeO
Unterer oder Gyps-Keuper	Hofheim	3,95	1,64	Spur	21,29	17,51	0,13
	Wipfeld Schwefelquelle	—	—	—	37,69	5,09	Spur
	Wipfeld Schilfquelle	0,13	—	—	34,34	7,00	0,10
Schilfsandstein	Burgbernheim	1,13	0,72	—	29,76	12,17	0,27
Semionotus-Sands.	Friedrichshall Meiningen	0,43	27,82	Spur	2,26	12,28	Spur

Keuperformation.

n Gramm:

MgCO ₃	SiO ₂	FeCO ₃	CaCO ₃	H ₂ S	Na ₂ SO ₄	K ₂ SO ₄	MgCl ₂	MgBr ₂	Extract	Freie u. halbgb. CO ₂	Tempe- ratur	Summa
0,28169	0,00740	0,00188	—	Spur	—	—	—	—	—	0,15778	10,8°C	0,80345
0,02925	—	Spur	0,28925	0,11700	—	—	—	—	0,00390	0,52000	—	1,56078
0,05525	—	0,00273	0,18824	—	—	—	—	—	0,00416	nicht bestimmt	—	1,65841
0,18900	0,00700	0,00316	0,05519	sehr deut- lich	—	—	—	—	—	0,00249	8,1°C	0,73430
0,51980	Spur	Spur	0,01470	—	6,05600	0,19820	3,93900	0,11400	—	0,40200	8,1°C	25,29440

n 1 Liter:

N ₂ O ₃	N ₂ O ₅	Cl	SO ₃	Ge- bund. CO ₂	SiO ₂	P ₂ O ₅	B ₂ O ₃	H ₂ S	Br	Extract	Summa
0,0200	0,03010	0,07801	0,17348	0,15006	0,00740	Spur	Spur	Spur	—	—	0,83380
—	—	Spur	0,74652	0,14250	—	—	—	0,11700	—	0,00390	1,56078
—	—	0,00174	0,85046	0,11260	—	—	—	—	—	0,00416	1,65880
—	—	0,01730	0,26411	0,12515	0,00700	—	—	sehr deut- lich	—	Spur	0,73454
—	—	6,05709	7,71188	0,27677	Spur	—	—	—	0,09918	—	24,73239

stand enthalten %

N ₂ O ₃	N ₂ O ₅	Cl	SO ₃	Ge- bund. CO ₂	SiO ₂	P ₂ O ₅	B ₂ O ₃	Br	Extract	Summa
2,37	3,56	9,27	20,38	18,95	0,19	Spur	Spur	—	—	99,24
—	—	Spur	47,83	9,12	—	—	—	—	0,24	99,97
—	—	0,10	51,26	6,77	—	—	—	—	0,25	99,95
—	—	2,34	35,72	16,93	0,94	—	—	—	Spur	99,98
—	—	24,49	31,14	1,20	Spur	—	—	0,40	—	100,02

Anhang

Ein Wasser des Basalts.

Unter den Basalt-Bergen der Rhön nimmt der Kreuzberg in Bezug auf Höhe und landschaftliche Schönheit eine der ersten Stellen ein. Er erhebt sich 930,3 m über die Nordsee und an der Westseite liegt 96 m tiefer ein Franziskanerkloster nebst Kirche, ein im ganzen Frankenland bekannter Wallfahrtsort. Zwischen der mit einem Observatorium und einem hohen Kreuze gekrönten Spitze des Berges, zu welcher vom Kloster ein mit Stationen versehener Wallfahrtsweg führt, und dem Kloster selbst tritt eine Quelle zu Tage, welche ungefähr 70 m basaltischen Bodens durchsickert hat. Dieselbe wird von den Franziskanern als Trinkquelle benützt und ist zu dem Zweck durch eine Leitung mit dem Kloster verbunden.

Es war nun von grossem Interesse zu erfahren, wieviel und welche Bestandtheile das Wasser aus dem Basaltboden auf seinem kurzen Laufe aufgelöst hat, weshalb ich auch eine Analyse des Wassers ausführte. Herrn Kgl. Pfarrer *Millemann* in Bischofsheim v. d. Rhön, durch dessen Güte und Bemühungen ich eine genügende Anzahl Flaschen des unter den erforderlichen Sicherheitsmassregeln geschöpften Wassers zugesendet erhielt, bin ich zu grossem Danke verpflichtet; es möge mir gestattet sein, denselben auch an dieser Stelle auszusprechen.

Der Basalt des Kreuzberges ist ein Nephelinbasalt und hat nach den Analysen von *H. H. Schmid* und *Bredemann* folgende Zusammensetzung.

E. E. Schmid 1)		Bredemann 2)
SiO ₂	= 36,68 %	35,77 %
TiO ₂	= —	0,46 „
Al ₂ O ₃	= 14,34 „	13,43 „
Fe ₂ O ₃	= 22,30 „	16,79 „
FeO	= —	3,98 „
MnO	= —	Spur
CaO	= 15,59 „	15,04 „
MgO	= 9,18 „	8,84 „
Na ₂ O	= 3,93 „	3,81 „
K ₂ O	= 0,77 „	0,71 „
P ₂ O ₅	= —	0,72 „
Cl	= —	Spur
H ₂ O	= —	1,03 „
Sa. 102,79 %		Sa. 100,58 %

1) *E. E. Schmid*. Pogg. Ann. 89. 1853. S. 291.

2) *Bredemann*: Basalte der Rhön. Inaug.-Diss. Jena 1874.

Aus dem gepulverten Basalt erhielt ich beim Auslaugen mit Wasser Reactionen auf Schwefelsäure und Chlor.

Die Analyse des Kreuzberg-Wassers ergab Folgendes: Die Temperatur beträgt 7,5° C. Das Wasser ist klar, farblos, geruch- und geschmacklos, welche Eigenschaften es auch beim Erhitzen beibehält. Es lässt weder saure noch alkalische Reaction wahrnehmen.

1 Liter enthält:	Gefunden:	100 Theile Rückstand enthalten:
NaCl = 0,00310 g	Na ₂ O = 0,00164 g	Na ₂ O = 7,29 %
CaSO ₄ = 0,00650 „	CaO = 0,00310 „	CaO = 13,78 „
CaCO ₃ = 0,00078 „	MgO = 0,00100 „	MgO = 4,44 „
MgCO ₃ = 0,00210 „	FeO = 0,00144 „	FeO = 6,40 „
FeCO ₃ = 0,00231 „	Cl = 0,00276 „	Cl = 12,27 „
SiO ₂ = 0,00640 „	SO ₃ = 0,00384 „	SO ₃ = 17,07 „
Sa. 0,02119 g.	SiO ₂ = 0,00640 „	SiO ₂ = 28,45 „
Freie u. halbgebundene	CO ₂ geb. = 0,00231 „	CO ₂ geb. = 10,26 „
CO ₂ = 0,01489 g.	Sa. 0,02249 g.	Sa. 99,96 %

Die in dem Wasser vorhandenen Mengen von Chlor und Schwefelsäure verdanken ihren Ursprung wohl dem im Basalt vorhandenen löslichen Chlornatrium und dem in demselben leicht nachweisbaren Magnetkiese.

Rückblick.

Zum Schlusse möge es mir gestattet sein, die Ergebnisse der Arbeit nochmals kurz zu erörtern.

Unterfranken ist im Grossen und Ganzen ein an Quellen reiches Gebiet; aber die meisten und namentlich alle Heilquellen haben ihren Ursprung in den geschichteten Gesteinen, während das Urgebirge im Ganzen an Quellen arm ist. Die geologische Thätigkeit dieser Quellen ist eine ungeheure, denn viele Tausende von Kilogramm fester Bestandtheile werden jährlich durch dieselben aus dem Innern des Erdbodens auf die Oberfläche geschafft, wovon Ablagerungen von Tuffen und Ockern Zeugniß geben.

Sämmtliche Wasser einer Formationsgruppe lassen, namentlich in der procentischen Zusammensetzung des Rückstandes den gemeinschaftlichen Ursprung erkennen. Es lässt sich deshalb eine Classification der Wasser unter Zugrundelegung ihrer geologischen Ursprungsorte durchführen, ja dieselbe scheint geboten.

Es ergibt sich alsdann, dass sämmtliche Heilquellen Unterfrankens und gerade die wichtigsten, wie die Kissinger, dem Zechstein und der Anhydritgruppe der Muschelkalkformation, sowie dem unteren Keuper angehören, also solchen Schichten-complexen, welche sich durch Einlagerungen von Steinsalz und Gypsmergeln auszeichnen. Die hier circulirenden Wassermassen sind ausserordentlich grosse.

Eine zweite Reihe von ganz anderen, aber vorzüglichen Quellen liefern die Sandsteine der Buntsandstein-Formation, der Lettenkohlen-Gruppe und des oberen Keupers. Hier ist es das Bindemittel, namentlich das eisenreiche der letzteren, welches unter der Einwirkung von Kohlensäure den Quellen die Mineralbestandtheile liefert und treffliche eisenhaltige Sauerlinge ergibt, wie die von Brückenau und Lendershausen.

Dass demnach die Quellen der Zechsteinformation, der Anhydritgruppe des Muschelkalks und der Sandsteine der Trias einen wahren Schatz des betr. Gebietes bilden, darf mit Grund behauptet werden. Der Werth der Quellen letzterer Kategorie, namentlich des Buntsandsteins, wird noch dadurch erhöht, dass sie überall, wo nicht gerade durch örtliche Verhältnisse grosse Mengen von Kohlensäure vorhanden sind, ein fast chemisch reines Wasser liefern, welches für jeden Zweck der chemischen Industrie verwendbar, für die meisten sogar unentbehrlich ist. — Aus diesem Grunde findet man im Gebiete des Buntsandsteins am Untermain eine Anzahl von Gewerben, namentlich Gerbereien und Färbereien, in lebhaftem Gange, welche in anderen Theilen des Kreises nur bei Verwendung von weichem Flusswasser betrieben werden können.

Dagegen bieten der Zechstein, der Röth, der Wellenkalk, der Muschelkalk, die Anhydritgruppe und der untere Keuper, wenn nicht gerade bei letzteren durch glückliches Zusammen-treffen verschiedener Umstände Heilquellen zu Tage treten, Wasser dar, die durch ihren hohen Gehalt an gelösten Salzen (hohen Härtegrad) für technische Zwecke unbrauchbar sind und nur bedingungsweise als Trinkwasser und zum Hausgebrauche zugelassen werden sollten.

Bemerkenswerth ist, dass fast alle Heilquellen Unterfrankens auf Verwerfungsspalten austreten, namentlich alle die, welche grosse Mengen von freier Kohlensäure enthalten. Höchst wahrscheinlich liegen die Quellen von Kothen, Riedenberg, ein Theil

der Kissinger, die Hassfurter und Wonfurter Quellen auf einer einen grossen Theil von Unterfranken in der Richtung NW nach SO quer durchziehenden Verwerfungsspalte, die sich vielleicht auch noch nach Mittelfranken fortsetzt.

Was die gelösten Mineralbestandtheile anbetrifft, so lassen sich alle Körper, wenn auch in Spuren, in dem Wasser nachweisen, die im Ursprungsgestein vorhanden sind. Dieselben sind somit einerseits abhängig von der Beschaffenheit der auszulaugenden Schichten, also von den geologischen Verhältnissen und andererseits von den zur Verfügung stehenden Mengen von Kohlensäure. Es lässt sich daher aus der geologischen Beschaffenheit des Ursprungsortes auf das Wasser und aus der chemischen Beschaffenheit des Wassers auf den Ursprungsort schliessen. Der Gehalt an festen Bestandtheilen nimmt aber auch mit dem Gehalte an Chlornatrium zu, indem die schwefelsauren und kohlensauren Salze in solchen Wassern leichter löslich sind, als in davon freien.

Fast alle Quellen setzen Ocker ab, in welchem Eisenoxydhydrat und die kohlensauren Salze vorherrschen. Dies ist hauptsächlich der Fall in der Nähe des Austritts der Quelle, während schwefelsaure und andere Verbindungen erst weiter von der Quelle entfernt abgesetzt werden. In den Ockern selbst erscheinen auch alle jene Bestandtheile concentrirt, welche in den Ursprungsgesteinen nur in Spuren vorhanden sind, namentlich Arsen, Antimon und die schweren Metalle.

Die chemische Analyse.

Bei der Untersuchung der verschiedenen Wasser wurde im Allgemeinen Rücksicht genommen auf alle jene Bestandtheile, welche in den von denselben durchsickerten Gesteinen vorhanden sind; ausserdem wurde noch Temperatur, Menge, Klarheit, Färbung, Geruch, Geschmack und Reaction des zu untersuchenden Wassers festgestellt.

Dem Gange der Analyse wurden die Untersuchungsmethoden zu Grunde gelegt, welche sich in den Arbeiten von *Fresenius*,

Classen, Kubel-Tiemann, Bunsen u. A. ¹⁾ über Wasseruntersuchungen vorfinden. Dabei wurde immer jener Methode der Vorzug gegeben, welche bei Einfachheit der Manipulationen die genauesten Werthe ergibt.

Reagentien.

Auf die Reinheit der Reagentien wurde mit grösster Sorgfalt geachtet. Die zur Untersuchung angewendeten Lösungen wurden genau nach Vorschrift von *Tiemann* hergestellt und auf ihre Reinheit geprüft. Der Darstellung der titrirten Lösungen, sowie den nöthigen Vorsichtsmassregeln bei Aufbewahrung derselben wurde ebenfalls das Werkchen *Tiemann's* neben den analytischen Lehrbüchern von *Fresenius* und *Classen* und Arbeiten Anderer zu Grunde gelegt.

Gang der Untersuchung.

Der Gang der Untersuchung gliedert sich in zwei Abtheilungen: in Arbeiten an der Quelle und Arbeiten im Laboratorium. An der Quelle wurden bestimmt: Genaue geologische Herkunft der Quelle, Temperatur der Luft und des Wassers, Reaction des Wassers gegen Lackmus-, Curcuma-, Blei- und Jodkaliumstärke-Papier, Geruch und Geschmack, sowie Farbe und womöglich die in der Minute gelieferte Menge des Wassers; dem schloss sich die Bestimmung der Gesamtkohlensäure durch Fällung an.

Alle anderen Bestimmungen wurden im Laboratorium des mineralogisch-geologischen Instituts der Universität Würzburg ausgeführt und zwar die Untersuchung auf Ammoniak, salpetrige und Salpeter-Säure und organische Substanzen sofort nach Einbringung des Wassers ins Laboratorium.

Bestimmung der Temperatur.

Dieselbe wurde mit einem in Zehntelgrade getheilten und nach einem Normalthermometer des physikalischen Instituts der

¹⁾ *Fresenius*: Quantitative Analyse, II Bd. S. 153 ff.

Classen: Quantitative Analyse, S. 211 u. ff.

Kubel-Tiemann: Anleitung zur Untersuchung v. Wasser, 2. Aufl. 1874.

List: Periodische Untersuchungen über Wasser. Studien z. Statistik der Wasser. Heidelberg 1873.

Langhans: Die Wasser Fürths. Fürth 1870.

Vereinbarungen betreffs der Untersuchung von Nahrungs- und Genussmitteln. Berlin 1885.

Universität corrigirten Thermometer ausgeführt und zwar so, dass die Temperatur der Luft 1 m über dem Erdboden und die des Wassers in möglichst grosser Tiefe, womöglich direkt beim Zutagetreten der Quelle, gemessen wurde. Bei Pumpbrunnen wurde zunächst eine grosse Menge Wasser ausgepumpt, um den Einfluss der Brunnenröhren zu beseitigen; erst dann wurden mehrere Bestimmungen ausgeführt und aus diesen das Mittel genommen.

Bestimmung der Gesamt-Kohlensäure.

Zur Bestimmung der Gesamt-Kohlensäure wurden genau tarirte Flaschen mit 250 ccm des zu untersuchenden Wassers, möglichst aus der Tiefe, gefüllt und mit einer Lösung von Chlorbaryum, der 10 Theile Ammoniak zugesetzt waren, gefällt. Die Flaschen wurden beinahe bis zum Rande angefüllt, gut verkorkt und zur weiteren Untersuchung ins Laboratorium verbracht. Nachdem der Niederschlag durch längeres Stehen krystallinisch geworden war, wurde derselbe filtrirt und die Kohlensäure durch Zersetzung mit Salzsäure ausgetrieben und durch die Gewichtszunahme einer gewogenen, mit Natronkalk gefüllten Röhre bestimmt. (Der hiezu verwendete Apparat wurde von *Kolbe* vorgeschlagen und von *Fresenius* wesentlich modificirt; er findet sich beschrieben und abgebildet in der Quantitativen Analyse v. *Classen* S. 20). Die festgebundene Kohlensäure wurde mit dem gleichen Apparate bestimmt und zwar so, dass 500—1000 ccm oder mehr bis beinahe zur Trockene verdampft, der Rückstand mittelst Salzsäure zersetzt und die ausgetriebene Kohlensäure wie oben gewogen wurde.

Bestimmung der organischen Substanzen.

Zur Bestimmung der organischen Substanzen existirt eine ganze Reihe von Methoden, von denen die am häufigsten angewendeten wohl die von *Kubel* und *Schulze* sind. Beide beruhen auf der Oxydirbarkeit der organischen Substanzen durch Kaliumpermanganat; nur wendet *Kubel* saure Lösung an, während *Schulze* die Bestimmung der organischen Stoffe in alkalischer Lösung vornimmt. Beide Methoden wurden von mir angewendet, indem ich eine Prüfung nach der von *Kubel* angegebenen Weise, die Controll-Bestimmung dagegen nach *Schulze* ausführte.

Als Titrirflüssigkeiten dienten Chamäleon-Lösung, welche 0,32—0,34 g krystallisirtes Kaliumpermanganat auf das Liter und Oxalsäurelösung, welche 0,63 g Oxalsäure im Liter gelöst enthielt. Der Herstellung der Titrirflüssigkeiten und der Aus-

führung der Versuche ward die grösste Sorgfalt gewidmet und vor Ausführung einer jeden neuen Bestimmung wurden die Titres der Normallösungen nach bekannten Methoden auf ihre Richtigkeit geprüft. Bei der Bestimmung selbst wurden 100 ccm des zu prüfenden Wassers mit 5 ccm verd. Schwefelsäure (1:3) versetzt und zum Kochen erhitzt. Nach einigem Kochen wurden aus einer Tropfbürette 3—4 ccm Normal-Chamäleonlösung zugefügt und das Kochen noch etwa 5 Minuten fortgesetzt, worauf nach Entfernen von der Lampe 10 ccm $\frac{1}{100}$ Normal-Oxalsäure hinzugefügt wurden. Der Ueberschuss der Oxalsäure wurde mit Chamäleon-Lösung bis zur bleibenden Röthe zurücktitrirt. Bei der Methode von *Schulze* wurde die Oxydation des Wassers so bewerkstelligt, dass man anstatt der Schwefelsäure $\frac{1}{2}$ ccm Natronlauge (1 Thl. NaOH in 2 Thl. H_2O) zu den 100 ccm des zu untersuchenden Wassers gab und die Schwefelsäure zusetzte, bevor man zurücktitrirt.

Die Berechnung bei beiden Methoden ergibt sich wie folgt: 10 ccm der Normal-Oxalsäurelösung enthalten 0,0063 g Oxalsäure ($C_2H_2O_4 + 2 H_2O$) und diese entsprechen 0,0031 g Kaliumpermanganat oder 0,0008 g Sauerstoff, welche zur Oxydation verbraucht werden. Der Mehrverbrauch von Chamäleonlösung, als zur Oxydation der 10 ccm Oxalsäure erforderlich ist, ergibt die Menge von Kaliumpermanganat, welche die organischen Substanzen des Wassers zersetzt haben. Bezeichnet x die Anzahl ccm, welche 10 cc Oxalsäure entsprechen, y die durch die org. Substanz des Wassers zersetzten ccm Chamäleonlösung, so ergibt sich der Sauerstoff, welcher nöthig ist, um die organischen Substanzen in 1 Liter Wasser zu oxydiren, durch folgende Gleichung:

$$O = \frac{0,008 \cdot y}{x}.$$

Bestimmung des Ammoniaks.

Von den drei üblichen Methoden von *Frankland* und *Armstrong*, von *Fleck* und von *Miller*¹⁾ benützte ich die erstere. Die Bestimmung des Ammoniaks ist nach dieser eine colorimetrische, d. h. man ermittelt den Gehalt an NH_3 oder seinen Verbindungen durch die verschiedenen Intensitäten der Färbung, welche hervorgerufen wird durch Hinzufügen einer titrirtten Kaliumquecksilberjodid-Lösung (*Nessler's* Reagens) und Vergleichung der erhaltenen Farbensnuancen mit solchen von Lösungen mit bekanntem

¹⁾ *Kubel-Tiemann*: Anleitung z. Unters. v. Wasser. 1874. S. 83 ff.

Ammoniakgehalt. — Es ist aber zu beachten, dass sämtliche durch die alkalische *Nessler'sche* Lösung fällbaren Verbindungen (Eisen, Kalk, Magnesia u. s. w.) zu entfernen sind. Dies wird dadurch erreicht, dass man 300 ccm des zu untersuchenden Wassers in gut verschlossener Flasche zuerst mit 2 ccm Na_2CO_3 und 1 ccm NaOH behandelt. Je nach Gehalt an NH_3 werden von der über dem Niederschlag befindlichen klaren Flüssigkeit 50—100 ccm mit 1 ccm Kaliumquecksilberjodid-Lösung versetzt; zum Vergleich hat man zuvor 4—5 gleich hohe und weite Cylinder mit 0,2—2 ccm einer Chlorammonium-Lösung von bekanntem Gehalt (1 ccm = 0,00005 g NH_3) und 100 ccm destillirten Wassers gefüllt und mit der gleichen Menge Kaliumquecksilberjodid versetzt.

Bestimmung der salpetrigen Säure.

Auch zur Bestimmung der salpetrigen Säure wurde eine vergleichend colorimetrische Methode und zwar die von *Trommsdorff* benützt. Versetzt man die Lösung eines Nitrits mit Jodkalium-Stärke-Lösung und verd. Schwefelsäure, so entsteht die blaue Farbe der Jodstärke ($\text{N}_2\text{O}_3 + 2 \text{HJ} = 2 \text{J} + \text{H}_2\text{O} + 2 \text{NO}$), welche je nach der Menge der vorhandenen salpetrigen Säure unter gleichen Bedingungen mehr oder weniger intensiv erscheint. Zum Vergleich wurde eine Lösung von Kaliumnitrit verwendet, von welcher 1 ccm = 0,00001 N_2O_3 entsprach. Da die Kaliumjodid-Lösung sich nur kurze Zeit unzersetzt aufbewahren lässt, so benützt man eine Zinkjodid-Stärke-Lösung, bezüglich deren Herstellung ich auf die schon angeführten Handbücher von *Fresenius*, *Classen* u. A. verweisen möchte, da sie zu umständlich ist, um hier beschrieben werden zu können.

Zur Ausführung der Bestimmung wurden 4—6 gleich hohe (18—20 cm) und gleich weite ($2\frac{1}{4}$ cm) Cylinder mit 100 ccm destillirten Wassers gefüllt und 0,5—5 ccm der Kaliumnitritlösung und 1 ccm verd. Schwefelsäure nebst 3 ccm der Zinkjodidstärke-Lösung hinzugefügt. Die so erhaltenen Farbentöne dienten zum Vergleich mit demjenigen, den man erhielt, wenn man (je nach Gehalt) 50—100 ccm des zu untersuchenden Wassers in gleich-großem Cylinder genau so behandelte.

Zu bemerken ist, dass bei der Bestimmung der organischen Substanzen für jeden Theil salpetriger Säure in 100000 Theilen Wasser 1,66 Theile Kaliumpermanganat abzuziehen sind, da dieselbe auch zersetzend auf Chamäleon einwirkt.

Bestimmung der Salpetersäure.

Zur Bestimmung der Salpetersäure benützte ich die Methode, welche sich auf die Oxydation der Indigodischwefelsäure und dadurch hervorgerufene Entfärbung derselben durch die im Wasser vorhandene Salpetersäure gründet. Diese ursprünglich von *Trommsdorf*¹⁾ vorgeschlagene, neuerdings von Dr. *Mayerhofer*²⁾ verbesserte Methode liefert, namentlich bei einiger Uebung, ganz gute Resultate und hat den Vorzug, rasch und öfters ausgeführt werden zu können.

Die Titration selbst wird in kleinen Glaskölbchen von 25—30 ccm Inhalt in der Weise vorgenommen, dass man zu 5 ccm des zu untersuchenden Wassers rasch 5 ccm concentrirter Schwefelsäure und aus einer Gay-Lussac-Bürette solange titrirte Indigolösung (5 ccm ungefähr 0,006 NO_3H im Liter) hinzufügt, bis eine einige Zeit bleibende grüne Färbung der Flüssigkeit eintritt. Es ist nöthig, den Versuch des Oefftern zu wiederholen, um Fehlerquellen zu vermeiden. Mit einiger Uebung und unter Zugrundelegung der von Dr. *Mayerhofer*³⁾ bearbeiteten graphischen Darstellung erhält man sehr genaue Resultate, wovon ich mich durch Ausführung von Controll-Bestimmungen nach der Methode von *Schulze*⁴⁾ bei einigen Wassern überzeugen konnte.

Bestimmung des Gesamt-Rückstandes.

500 oder 1000 ccm Wasser wurden in einer gewogenen Platinschale auf dem Wasserbade bis zur Trockene verdampft und bei 100° bis zum constanten Gewicht getrocknet.

Bestimmung der Kieselsäure, des Eisenoxyduls, des Kalks und der Magnesia.

1000 oder 2000 ccm Wasser wurden unter Zusatz von verd. HCl auf dem Wasserbade bis zur staubigen Trockene verdampft, wieder gelöst und nochmals verdampft, so dass sich die Kieselsäure pulverig ausschied. Letztere wurde filtrirt, gewaschen und zuerst über der *Bunsen'schen* Lampe, hierauf über dem Gebläse

1) Zeitschr. f. analyt. Chem. 1870. S. 171.

2) Die Indigomethode. Vereinbarungen betr. d. Untersuch. u. Beurtheil. von Nahrungs- u. Genussmitteln. Herausgeg. von Prof. *Hilger*. 1885. S. 248. ff.

3) A. a. O. S. 248 u. 249.

4) *Tiemann-Kubel*: Anleitung z. Trinkwasser-Untersuchung. S. 54 ff.

geglüht ¹⁾ und gewogen. Das Filtrat wurde zur Bestimmung des Eisens mit HNO_3 oxydirt und mit Ammoniak und Chlorammonium gefällt. Hierbei ist ein Ueberschuss von NH_3 zu vermeiden. Der so erhaltene Niederschlag wurde nach dem Auswaschen von Neuem gelöst und gefällt; dies ist nöthig, um die Spuren von eventuell mitgefälltem Kalk zu entfernen. Das Filtrat der nochmaligen Fällung wird zu dem der ersten gegeben.

Nachdem der Eisenniederschlag gewogen war, wurde derselbe auf Mangan, Phosphorsäure und Kieselsäure geprüft und, wenn solche genügend vorhanden waren, dieselben bestimmt.

In der vom Eisenoxydhydrat abfiltrirten Flüssigkeit wurde der Kalk mittelst oxalsauren Ammons gefällt und auf dem Wasserbade erwärmt, bis er körnig geworden war, und abfiltrirt. Nach dem Trocknen wurde der Niederschlag durch Glühen vor dem Gebläse in CaO übergeführt und als solches gewogen.

Das Filtrat vom Kalkniederschlag wurde zur Bestimmung der Magnesia mit phosphorsaurem Ammon und Ammoniak versetzt und 24 Stunden stehen gelassen; der entstandene krystallinische Niederschlag wurde aufs Filter verbracht, mit ammoniakhaltigem Wasser gewaschen, getrocknet und unter bekannten Vorsichtsmassregeln verascht und gewogen.

Bestimmung der Alkalien.

1000—5000 oder mehr Cubikcentimeter Wasser wurden bis beinahe zur Trockene verdampft, filtrirt und mit Barytwasser versetzt. Das hievon erhaltene Filtrat wurde zur Entfernung des Baryts mit kohlensaurem Ammon behandelt; hierbei ist aber ein grosser Ueberschuss des letzteren zu vermeiden. Nach dem Filtriren wurde die klare Flüssigkeit in der Platinschale zur Trockene verdampft und die Ammonsalze abgeraucht. Durch mehrmaliges Glühen bis zur Schmelzung der kohlensauren Alkalien und erneutes Lösen und Filtriren gelang es, dieselben rein zu erhalten. Nach Ueberführen in die Chloride wurden die Alkalien als solche gewogen und in der Lösung derselben das Kalium als Kaliumplatinchlorid abgeschieden und auf einem bei 100° gewogenen Filter bestimmt. Das Filtrat hievon wurde mittelst nascirenden Wasserstoffs reducirt, um das Platin abzuschcheiden, und auf Magnesia geprüft.

¹⁾ Das Glühen über dem Gebläse ist nöthig, da die Kieselsäure sonst immer noch Wasser zurückhält und mit dem Steigen des Wassergehalts auch um so hygroskopischer wird.

Die Prüfung ergab meist keine oder nur ausserordentlich geringe Spuren von Magnesia.

Bestimmung der Schwefelsäure.

Dieselbe wurde stets gewichtsanalytisch bestimmt, indem 200 ccm oder mehr Wasser mit HCl angesäuert, durch Chlorbaryum in der Siedhitze gefällt und die Schwefelsäure als Baryumsulfat gewogen wurde.

Bestimmung des Chlors.

Zur Bestimmung des Chlors wählte ich die gute Resultate liefernde, dabei aber ausserordentlich rasche und einfache Methode der volumetrischen Bestimmung mittelst titrirter Höllestein-Lösung. 50–200 ccm wurden mit 3 Tropfen Kaliumchromat-Lösung (Indicator) versetzt und mit einer Silberlösung, von der 1 ccm = 0,00355 g Cl entsprach, bis zum Eintreten der rothen Färbung titrirt. Bei einigen Wassern wurde zur Controlle das Chlor ausserdem auch noch gewichtsanalytisch bestimmt.

Die Wägung.

Die Wägungen, welche im Verlaufe dieser Arbeit vorgenommen wurden, sind alle Schwingungswägungen ¹⁾. Ich wählte diese Methode der Wägung, weil sie genauere Zahlen und Unabhängigkeit von den Nullpunkts-Veränderungen der Waage gewährt.

Eine liebe und angenehme Pflicht ist es mir, meinem hochverehrten Lehrer, Herrn Professor Dr. *F. von Sandberger*, in dessen Laboratorium und unter dessen Leitung ich vorstehende Arbeit ausführte, für die mir jederzeit in so reichem Maasse gewährte Unterstützung durch Rath und That meinen tiefgefühltesten und wärmsten Dank auszusprechen.

Auch Herrn Regierungs- und Kreis-Medizinal-Rath Dr. *G. Schmitt*, sowie den Herren Professoren Dr. *A. Hilger* und Dr. *A. J. Kunkel*, sowie Herrn Dr. *E. List* bin ich für das warme Interesse und die Unterstützung, welche genannte Herrn der Arbeit zu Theil werden liessen, zu grossem Danke verpflichtet.

¹⁾ Ausführliches in *Kohlrausch's* Leitfaden der prakt. Physik, S. 25 ff.

Ueber die Folgen der Kropfoperationen

VON

DR. ALBERT HOFFA

Docent für Chirurgie.

Mit Tafel I—III.

Meine Herren! Bei meiner Habilitation stellte ich als These auf: Eine Cachexia strumipriva gibt es nicht! Es geschah dies damals mit gutem Grund, indem die Untersuchungen *Rotters* über 34 von *Maas* ausgeführte Kropfoperationen kein einziges Beispiel einer solchen Erkrankung ergeben hatten, man aber verlangen musste, dass wirklich jeder Totalexstirpation, die im jugendlichen Alter der Patienten ausgeführt wurde, die Cachexie folgen musste, wenn sie wirklich den Namen strumipriva verdienen sollte. Wir werden nun nachher sehen, dass dem in der That so zu sein scheint. Weitere Nachforschungen, nach den von *Maas* später operirten Patienten, haben mich dessen belehrt, und ich ergreife gern die Gelegenheit, Ihnen im Anschluss an die neuliche Demonstration des Herrn Prof. *Fick* einige Fälle zu zeigen, die an dieser Erkrankung leiden.

Ehe ich Ihnen jedoch die Patienten vorführe, lassen Sie mich Ihnen diese hochinteressante Frage, welche fast sämtliche Gebiete der Medicin gleichmässig berührt, etwas näher beleuchten.

Es sind nunmehr 20 Jahre her, dass *Sick* in Stuttgart bei einem Falle von Totalexstirpation der Schilddrüse die erste Beobachtung machte, dass dem Wegfalle dieses Organs beim Menschen eigenthümliche Störungen folgten. Es blieb diese Beobachtung jedoch vereinzelt, da zu jener Zeit Kropfoperationen noch zu den Seltenheiten gehörten. Erst als diese, Dank der antiseptischen Wundbehandlungsmethode, ihre Gefahren verloren hatten, damit die Technik der Operation besser ausgebildet werden konnte und jetzt von einzelnen Chirurgen allein gerade so viel Kröpfe exstir-

pirt wurden, als früher vielleicht nicht in 50 Jahren, kam man wieder auf diese krankhaften Störungen zurück, welche im Gefolge der Kropfoperationen eintreten können. Es waren zuerst die Gebrüder *Reverdin* in Genf und vor Allem *Kocher* in Bern, welche die Aufmerksamkeit der Chirurgen auf diese Störungen lenkten, Störungen die *Kocher* unter dem Namen „*Cachexia strumipriva*“ zusammenfasste.

Nach diesen ersten Mittheilungen aus den Jahren 1882 und 1883 folgten nun mit einem Male eine ganze Reihe einschlägiger Beobachtungen, so dass ich jetzt schon 45 Fälle aus der Literatur zusammenstellen konnte.

Es handelt sich im Grossen und Ganzen in den mitgetheilten Krankengeschichten um eine schwere progressive Cachexie, welche unter dem Bilde eines cretinoiden Zustandes, verbunden mit einer charakteristischen Gedunsenheit des Gesichtes, Alteration der Haut, Schwäche und Schwerfälligkeit der körperlichen Bewegungen bei erhaltener Muskelkraft, sowie endlich Abnahme der geistigen Regbarkeit einhergeht. Unterzieht man das *Kocher'sche* Krankheitsbild einer näheren Analyse, so verläuft die Erkrankung etwa in folgender Weise.

In der Regel bald nach der Entlassung aus dem Hospital, in einzelnen Fällen erst nach 4—5 Monaten, beginnen die Operirten über Müdigkeit, ganz besonders über Schwäche und Schwere in den Gliedern zu klagen. In vielen Fällen gehen diesem Schwächegefühl eigentliche Schmerzen, Ziehen in den Armen und Beinen, öfter auch blos in den Armen voraus. Die Muskulatur ist dabei meist gut entwickelt, ja ihre pseudohypertrophieähnliche Ausbildung contrastirt oft seltsam mit den Klagen über ihre Müdigkeit und Unfähigkeit zu arbeiten. Die meisten Patienten klagten über Kälte in den Extremitäten, die im Winter anschwellen und Sitz von Frostbeulen wurden. Die geistige Regsamkeit nimmt ab. Diese Abnahme spricht sich besonders in einer Langsamkeit der Gedanken aus, so dass die betreffenden Individuen sich besinnen und länger als gewöhnlich überlegen müssen, bis sie Antwort geben. Kinder, welche zu den besten Schülern gehörten, kamen allmählich so zurück, dass die Lehrer darauf verzichten mussten, sich um sie zu kümmern. Zu dieser Langsamkeit des Denkens gesellt sich allmählich auch eine Langsamkeit des Sprechens und der übrigen Bewegungen. Die Patienten merken dies oft selbst, ziehen sich daher zurück

und werden auffallend schweigsam und in sich gekehrt. Mit dem Auftreten der Müdigkeit, der Schwerfälligkeit im Denken und in den Bewegungen stellen sich im Gesicht, an den Händen und Füßen Anschwellungen ein, die anfänglich vorübergehen, später aber dauernd bestehen bleiben. Das Gesicht wird gedunsen, die Lider sind durchscheinend geschwollen, so dass man unwillkürlich zuerst eine Nierenkrankheit vermuthet, die Nase wird dick, die Lippen sind gewulstet und aufgeworfen, Hände und Füße werden plump, der untere Thoraxumfang weitet sich aus. Die Haut verliert dabei ihre Geschmeidigkeit, wird infiltrirt, trocken und schilfert ab. Sämmtliche Kranke, die zur Zeit der Operation noch in der Periode des stärkeren Wachsthum standen, bleiben in auffälliger Weise in der Längsentwicklung des Körpers zurück. Der Kopf erhält dabei ein auffallend altes Aussehen und trägt wesentlich dazu bei, die Kranken cretinenhaft erscheinen zu lassen, da der Körper einem Kinde, der Kopf einem Erwachsenen anzugehören scheint. Sie erkennen dies gut aus dieser Photographie, welche den von *P. Bruns* untersuchten *Sick'schen* Patienten darstellt. (Tafel I, 3.)

Auffallend ist weiterhin eine hochgradige Anämie. Genauere Blutuntersuchungen ergaben in evidenten Weise eine Abnahme der rothen Blutkörperchen, und zwar stand dieselbe im Verhältniss zur Intensität der übrigen Erscheinungen.

Die wenigsten Patienten klagten über ihren Hals, es bestanden keine stärkere Athembeschwerden. Die Stimme war zuweilen schwächer, die Stimmbänder dabei entweder normal oder theilweise gelähmt. Selten wurden dazu noch epileptische Anfälle gefunden. Die wenigen Sectionen, die wir bis jetzt nach Cachexia strumipriva besitzen (*P. Bruns, Grundler*) ergaben eine chronische Leptomeningitis mit Betheiligung der Rinde, im Ganzen Veränderungen, die nach *Ziegler's* Erklärung an gewisse Fälle von progressiver Paralyse erinnerten.†

Kurz nachdem man den eben geschilderten Symptomencomplex in Zusammenhang mit der Kropfexstirpation gebracht hatte, wies *H. Semon* in der Sitzung der London Clinical Society vom 23. November 1883 darauf hin, dass die neue Krankheit, welche damals in England viel von sich reden machte, das *Ord'sche* Myxödem genannt, bei der in allen Fällen die Schilddrüse total degenerirt oder atrophisch gefunden wurde, die grösste Aehnlichkeit darböte einerseits mit gewissen Formen des Creti-

nismus, andererseits mit der *Kocher'schen Cachexia strumipriva*. Beim Myxödem bildet sich durch Ablagerung einer besonderen, halbflüssigen, gelatinösen Substanz, die man ihrer chemischen Zusammensetzung nach als Mucin erkannt hat, eine starke ödemähnliche Schwellung der Körperhaut, besonders aber wieder im Gesicht aus, welche den Patienten ein charakteristisches Aussehen verleiht, wie Sie aus den beifolgenden Abbildungen ersehen können. (Tafel I, 1, 2 und 4) Hand in Hand mit diesem Gedunsenwerden der sonst rauhen, trockenen, kleinrunzeligen Haut gehen dann auch wiederum Veränderungen des Centralnervensystems einher, die sich vornehmlich als Apathie und Energielosigkeit kund geben und bei gleichzeitig sich entwickelnder Trägheit in der Ausführung aller Bewegungen und einer fortschreitenden Anämie das Bild einer hochgradigen Cachexie voll zu machen im Stande sind.

Die Aehnlichkeit zwischen dem Myxödem und der *Cachexia strumipriva* ist hiernach unverkennbar; wie sehr aber beide wiederum dem Cretinismus nahe stehen, erhellt wohl am Besten aus einer Tabelle, die *Horsley* zusammengestellt hat.

	Cretinismus	Myxoedem (Ord)	Cachexia strumipriva (Kocher)	Cachexia nach Drüsen- exstirpation beim Affe (Horsley)
Nervensystem.				
Denkvermögen	verringert	verringert	verringert	
Auffassungs- vermögen	langsame Auf- fassung	langsame Auf- fassung	langsame Auf- fassung	langsame Auf- fassung
Erregbarkeit	verringert	verringert	verringert	verringert
Motilität	Parese, Epilepsie	Parese, Zittern	Parese, Zittern u. Tetanus	Parese, Zittern
Sensibilität	verlangsamte Empfindung	verlangsamte Empfindung	verlangsamte Empfindung	verlangsamte Empfindung
Gesicht	starr, breit u. dick	starr, breit u. dick	starr, breit u. dick	starr, breit u. dick
Hände u. Füße	breit u. dick, kalt	breit u. dick, kalt	breit u. dick, kalt	— kalt
Haut und Haar	trocken und atrophisch, gedunsen	trocken und atrophisch, gedunsen	trocken und atrophisch gedunsen	atrophisch, gedunsen
Blut	—	Oligämie	Oligämie	Oligämie
Urin	normal	normal	normal	normal
Temperatur	niedrig	niedrig	niedrig	niedrig
Todesart	—	Coma	Coma	Coma

Wenn nun beim Myxödem die Schilddrüse degenerirt gefunden wird, wenn sie bei der Cachexia strumipriva künstlich entfernt wurde, und wenn sie beim Cretinismus degenerirt oder hypertrophirt sein kann, so fragt es sich, ob wirklich ein Zusammenhang zwischen den genannten Erkrankungen und dem Ausfall der Schilddrüsenfunction besteht.

Einige Chirurgen haben diesen Zusammenhang bestritten und zwar desshalb, weil sie trotz der grossen Anzahl ihrer Operationen niemals eine derartige Cachexie gesehen hatten. So berichtet *Wölfler*, dass *Billroth*, der bisher allein 230 Kröpfe exstirpirt, die Cachexie niemals antraf — allerdings hat *Billroth* auch nie ganz junge Individuen operirt, und so glaubte auch *Maas* nach den vorher citirten *Rotter'schen* Untersuchungen nicht an die Cachexie, d. h. er zweifelte nicht an ihrem Vorkommen, sondern er bezweifelte den Zusammenhang zwischen ihr und der Kropfoperation. Er hielt ebenso wie der Schweizer Chirurg *Bircher*, dem wir eine sehr werthvolle Arbeit über dies Thema verdanken, Cachexie und Cretinismus für identisch. Beide sollten aber nicht in Folge des Mangels der Schilddrüse entstehen, sondern in Folge einer chronischen Allgemeininfection des Körpers, welche im ersten Stadium die Entwicklung des Kropfes, im zweiten die Symptome des Cretinismus hervorruft. Die Strumectomirten würden also nicht desshalb cretinisch, weil ihnen die Schilddrüse exstirpirt wurde, sondern weil dieselben in jener Gegend, in welcher der Kropf endemisch vorkommt, fortleben und einer weitem Infection anheimfallen. Es musste diese Ansicht fallen gelassen werden, als *Hans Schmidt* und *Fuhr* auch aus sonst kropffreien Gegenden Fälle der Cachexie mittheilten.

Ein anderer Chirurg, *Baumgärtner* in Baden-Baden, hält die Cachexie nicht für die Folge der Entkropfung selbst, sondern hält sie für bedingt durch einige den Operationsact complicirende Nebenumstände und zwar durch die Verletzung sympathischer Nerven. Es soll sich von den in der Wunde mechanisch oder chemisch gereizten Sympathicusfäden ein neuritischer Process auf die Halsganglien und von hier aus auf die Centralorgane fortpflanzen. Abgesehen davon, dass solche Veränderungen der Nerven anatomisch nicht nachgewiesen wurden, werden dieselben Nerven bei andern Operationen am Hals z. B. der Kehlkopfexstirpation ebenso verletzt, ohne dass sich später eine Cachexie entwickelt, und kann daher auch diese Theorie nicht

bestehen bleiben. Einen Sauerstoffmangel des Gehirns bedingt durch Verengerung der Trachea, wie dies ebenfalls *Baumgärtner* und theilweise auch *Kocher* will, können wir ebensowenig als ätiologisches Moment anschuldigen, da ja auch bei noch viel hochgradigeren Stenosen der Luftwege aus andern Gründen die Cachexie ausbleibt.

Führt uns so schon Alles dazu, die Cachexie mit dem Ausfall der Schilddrüse selbst in Verbindung zu bringen, so wird diese Vermuthung zur Gewissheit durch die Thatsache, dass die Cachexie ausbleibt, wenn man genügende Theile der Schilddrüse bei der Operation zurücklässt, also nur eine partielle Exstirpation derselben vornimmt. Es haben dies alle klinischen Erfahrungen sicher constatirt und haben dieselben ebenso gezeigt, dass bei den Total-exstirpationen bei jugendlichen Individuen, nach denen keine Cachexie auftritt, Nebenschilddrüsen vorhanden waren, welche die Function der exstirpirten Drüse übernahmen. Die Entgegnung aber, dass man ja beim Kropf kein gesundes, sondern ein im Parenchym verändertes, functionsuntüchtiges Organ entferne, widerlegt sich schon von selbst im Hinblick auf die Hydronephrose.

Wenn wir nun zu der Annahme gelangen, dass die Cachexie durch den Ausfall der specifischen Schilddrüsenfunction entstehe, so sind unsere Kenntnisse über die Physiologie der Thyreoidea noch sehr im Argen. Hier hilft uns das Thierexperiment und sind wir durch zahlreiche Versuche, die von *Schiff*, *Wagner*, *Colzi*, *Tizzoni* und *Albertoni*, *Sanquirico* und *Canalis*, *Fuhr*, *Horsley*, *Ewald* u. A. unternommen wurden, doch schon etwas näher in der Erkenntniss ihrer Functionen gerückt. Diese Thierversuche haben zunächst die alte *Schreger'sche* Theorie, dass die Schilddrüse ein Regulationsorgan für das Blut des Gehirnes sei unhaltbar gemacht, und haben ebenso die von *Zesas* und *Crédé* befürwortete Annahme eines vicariirenden Verhältnisses zwischen Milz und Schilddrüse nicht bestätigt, trotzdem *Horsley* im Stroma der Thyreoidea Lymphfollikel nachweisen konnte. Es einigen sich die neuern Experimentatoren wohl dahin, die Function der Schilddrüse als eine chemische anzuerkennen, sei es nun, dass sie gewisse Stoffe verarbeitet, deren Anhäufung im Blut von deletärem Einfluss ist, oder dass sie Substanzen producirt, welche innerhalb des Blutes für die normale Ernährung des Nervensystems unentbehrlich sind. Für die erstere Annahme scheinen überraschende Erfahrungen zu sprechen, die *Ewald* kürzlich mit-

getheilt hat. Wenn er Hunden die zu einem feinen Brei zerkleinerte Masse der Schilddrüse eines andern Hundes subcutan injicirte, so trat nach etwa 3 Stunden ein eigenthümlicher narcotischer oder besser hypnotischer Zustand bei diesen Thieren ein, der $1\frac{1}{2}$ –2 Stunden lang andauerte. In gleicher Weise vergleicht *Colzi* die Symptome der Cachexie mit der Urämie wie sie sich zuweilen nach Nierenexstirpationen entwickelt. Wie dem nun auch sei, die Thierversuche haben gezeigt, dass wenigstens bei Hunden die Thyreoidea unbedingt nothwendig zur Existenz der Thiere ist.

Exstirpirt man Hunden die Drüse, so erkrankten sie ausnahmslos mehrere Tage nach der Operation unter schweren nervösen Erscheinungen und sterben innerhalb kurzer Zeit. Ich will auf diese Thierversuche nicht näher eingehen, da uns ja Herr Prof. *Fick* einen Vortrag darüber versprochen hat. Nur so viel will ich erwähnen, dass die Thiere zunächst ängstlich in ihren Bewegungen werden, einen schwankenden Gang annehmen, dass ihr Appetit verringert ist, dass sie dann Schmerzen beim Schlucken, erschwertes Oeffnen des Mundes erkennen lassen, dass sich dann Speichelfluss, fibrilläre Muskelzuckungen, starkes Zittern am ganzen Körper, auch wohl tonische und klonische Krämpfe einstellen, dass die Athmung erschwert und keuchend wird, dass die Glieder steif werden, so dass die Gelenke nicht gebeugt werden können, dass sich dann allmählich ein comatöser Zustand entwickelt, in dem sie zu Grunde gehen, oder dass der Tod durch einen Glottis- oder Zwerchfellskrampf eintritt.

Da nun auch die Hunde gesund bleiben, wenn ihnen eine Hälfte der Thyreoidea gelassen wird, oder wenn alle Nerven derselben durchschnitten werden, da sie aber sterben, wenn die Schilddrüse in einer oder in zwei Sitzungen ganz entfernt wird, so ist bei ihnen sicher ein causaler Zusammenhang zwischen den nach der Exstirpation eintretenden nervösen Störungen mit der Function der Drüse selbst nicht zu bezweifeln. Aber auch auf den Menschen sind diese Versuche wohl übertragbar, zumal da es *Horsley* neuerdings gelungen ist, bei Affen auch das Myxödem experimentell durch Exstirpation der Schilddrüse zu erzeugen.

Nachdem ich Sie so in den Gegenstand eingeführt habe, erlaube ich mir nun, Jhnen, meine Herren, 3 Patienten zu demonstrieren, und möchte Ihrem Urtheil die Entscheidung überlassen, ob nicht bei denselben das Bild der Cachexia strumipriva zu erkennen ist.

Fall 1) Lorenz Scheuring, 10 Jahre alt, aus Veitshöchheim, aus gesunder Familie, aber aus kropffreier Gegend stammend, ein Knabe von guter Intelligenz und anziehendem Wesen wurde am 19./XII./85 wegen einer grossen retroösophagealen Struma, die hochgradige Athem- und Schlingbeschwerden verursachte, von Prof. Maas der totalen Kropfoperation unterworfen.

Der Fall ist genauer in der Dissertation von F. Brüning, Würzburg, 1886 beschrieben. Die Wundheilung erfolgte per primam intentionem, so dass Patient schon am 10. Januar 1886 geheilt entlassen werden konnte. Die Erkundigung nach diesem Knaben nun und die nachträgliche persönliche Untersuchung am 20. Juli 1887 also etwa 1½ Jahre nach der Operation haben Folgendes ergeben:

Der Knabe ist seit der Entlassung aus dem Spital kaum mehr gewachsen, die Musculatur ist dagegen gut entwickelt. Sein Gesicht hat sich seit der Operation so verändert, dass er kaum wiederzuerkennen ist. Anstatt des früheren muntern Ausdrucks, zeigt er nunmehr ein ausserordentlich blödes Aussehen. Leider besitze ich von der Zeit vor der Operation keine Photographie, das jetzige Antlitz wird jedoch durch Tafel II, 2 gut illustriert. Das Gesicht ist viel zu alt für den jugendlichen Körper, es erscheint gedunsen, besonders an der Nase, Lippen und Lidern, ist fahlgelb und fühlt sich teigig, geschwollen an, ohne dass der Fingerdruck bestehen bleibt. Auch am übrigen Körper ist dieses „Ödem“, wenn auch nicht so ausgedehnt, vorhanden. Am Hals nichts Abnormes, keine Spur der Schilddrüse mehr fühlbar. Leichter inspiratorischer Stridor, sonst unbelästigte Athmung. Sprache rau, hoch, langsam. Die laryngoscopische Untersuchung (Dr. O. Seifert) sehr erschwert durch eine sehr grosse Zunge, ergibt nichts Abnormes bei der Phonation; die Respirationsstellung der Stimmbänder trotz Cocains nicht erkennbar. Lungen und Herz gesund. Urin ohne Eiweiss. Hochgradige Anämie; rothe Blutkörperchen anscheinend an Zahl vermindert, weisse nicht vermehrt. Milz nicht vergrössert.

Die geistigen Fähigkeiten haben abgenommen, so dass Patient in der Schule nicht mitkommt, während er früher ein guter Schüler war. Er ist jetzt ausserdem scheuer, ängstlicher geworden, so dass er bei jeder Kleinigkeit zu weinen anfängt. Antworten erfolgen prompt, wenn auch erst nach längerem Besinnen.

Fall 2) Emilie Müller, 17 Jahre alt, aus Randesacker

(kropfige Gegend) wurde am 1. Juli 1886 eine grosse substernale Struma, die fast ständige Erstickungsanfälle verursachte, von mir selbst total exstirpirt. Die Wunde heilte nicht ganz per primam, so dass Patientin erst nach 4 Wochen geheilt entlassen werden konnte. Die Stimme war zur Zeit der Entlassung, in Folge einer beiderseitigen Recurrensaffektion sehr belegt, die Heiserkeit besserte sich jedoch, so dass Patientin nach 3 Monaten in einer Tabakfabrik zu arbeiten begann.

Es wollte jedoch nicht recht gehen mit der Arbeit. Patientin war immer müde, bekam bald die Eingangs beschriebenen ziehenden Schmerzen in den Armen und Beinen und wurde dann ganz unerwartet — 4 Wochen nach der Entlassung aus dem Spital von einem epileptischen Anfall überrascht. Sie fiel um, bekam heftige Krämpfe, die fast 10 Minuten lang anhielten, während sie das Bewusstsein verloren hatte und war dann noch etwa $\frac{1}{4}$ Stunde ganz von Sinnen. Nachher war sie am ganzen Körper zerschlagen, konnte aber nach Hause gehen.

Solche Anfälle haben sich noch 5 Mal im Laufe der nächsten 3 Monate wiederholt. Patientin hatte mittlerweile, während die geistigen Funktionen scheinbar nicht sehr gelitten hatten, ein gedunsenes Gesicht bekommen, das auch noch jetzt vorhanden ist, wenn schon nach Angabe der Mutter die Schwellung nachgelassen hat. Tafel II, 1. Es ist augenscheinlich, dass Patientin auf dem Wege der Besserung begriffen ist, und es ist nun äusserst interessant, dass der Beginn der Besserung fast genau zusammenzufallen scheint mit dem Beginn eines localen Recidives der Struma.

Ich habe höchst wahrscheinlich einen kleinen Rest der Struma beim Abpräpariren von der Trachea stehen lassen, und von diesem aus ist eine Wucherung eingetreten. Seit 3 Monaten etwa bemerkt Patientin wieder ein kleines Knötchen gerade auf der Mitte der Trachea, und dieses ist seitdem ständig gewachsen, so dass es jetzt (20. Juli 1887) über wallnussgross ist. Es unterliegt keinem Zweifel, dass es sich hier um eine Neubildung von Schilddrüsengewebe handelt, da die Geschwulst nicht schmerzhaft, weich ist, und sich bei Schluckbewegungen mit der Trachea verschiebt.

Wenn man die beschriebenen Symptome dieses Falles als eine Folge der Kropfexstirpation anerkennt, so steht der Nachlass der störenden Erscheinungen mit dem Eintreten des Recidivs in

schönstem Einklang mit den Thierexperimenten, bei denen man ja Aehnliches ebenfalls constatirt hat.

Wollen wir nun ja als grosse Skeptiker die beiden eben beschriebenen Fälle nicht als „Cachexia strumipriva“ auffassen, wozu wir glaube ich keine Berechtigung haben — und ich als Schüler von *Maas* hätte doch am wenigsten Grund, den Wunsch den Vater des Gedankens werden zu lassen — so liefert doch der folgende Fall ein so ausgesprochenes Bild der *Kocher'schen* Krankheit, dass an ihm jeder Zweifel erlischt.

Fall 3) Katharina Landherr, 18 Jahre alt, aus Steinekirch bei Augsburg, stammt aus gesunder Familie, war selbst stets gesund und ist schon seit ihrem 9. Jahr im Dienst. Schon seit früher Jugend leidet sie an einem Kropf, der allmählich, aber stetig wuchs und ihr hochgradige Athemnoth verursachte. Sie wurde deshalb in das Juliusspital aufgenommen und ihr der Kropf am 26. September 1885 von Prof. *Maas* total exstipirt. Die Wundheilung erfolgte per secundam intentionem. Patientin hatte nach der Operation mehrere Anfälle hochgradiger Dyspnoe, welche mit dem Auswurf zähen Schleimes ihr Ende fanden. Seit dem 5. October häufige Anfälle von Tetanie, besonders der oberen Extremitäten.

Vom 16. October an bessert sich der Verlauf, am 14. November wird nach vollendeter Wundheilung mit Faradisation des Halses begonnen. Wegen einer heftigen Bronchitis, die Patientin acquirirte, wurde sie am 7. Dezember 1885 auf die medicinische Abtheilung transferirt. Hier hielt sich die Patientin körperlich ganz gut, sie zeigte dagegen bald ein eigenthümlich kindisches, läppisches Wesen, das man vor der Operation nicht an ihr bemerkt hatte. Es stellten sich dann weiterhin noch andere psychische Störungen ein. Zu leichten Tetanieanfällen gesellte sich häufiges Verlassen des Bettes, Klagen über Angstgefühl, Hallucinationen, „Ihr Vater würde im Hofe abgeschlachtet, das ganze Haus stehe in Flammen, sie müsse fort, um zu helfen etc.“ unruhiger Schlaf, geringe Nahrungsaufnahme.

Da diese Erscheinungen ständig zunahmen, so dass Patientin laut aufschrie, nicht mehr im Bett zu halten war, wurde sie am 1. Januar 1887 auf die Irrenabtheilung verbracht. Hier ergab sich Folgendes: Patientin befindet sich in ziemlich bedeutender ängstlicher Erregung, sieht scheu um sich, klammert sich wie Hülfe suchend an die Wärterin an und hat Gesichts- und Gehörshallucinationen. Antworten erfolgen langsam, mit leiser Stimme.

Diese Symptome liessen unter passender Behandlung etwas nach, so dass Patientin, nachdem sie noch ein akutes Exanthem überstanden hatte, am 8. Februar 1887 in ihre Heimat entlassen werden konnte. Während mir nun ihre frühere Dienstherrin über ihr Befinden und Verhalten vor der Operation folgende Mittheilung machte: „Das Mädchen war 3 Jahre bei mir im Dienst. Während dieser Zeit war ich in jeder Beziehung mit demselben zufrieden; es war treu, zuverlässig, sehr geschickt in allen Haushaltungsarbeiten, sowie im Verrichten von Handarbeiten wie Stricken, Sticken, Nähen, Bügeln, begriff Alles leicht, kurz war zu Allem gut zu gebrauchen“, schrieb mir ihr Vater (Förster) jetzt, also fast 2 Jahre nach der Operation: „Ihrem Wunsche gemäss erlaube ich mir Ihnen Nachricht über das Befinden meiner Tochter zu geben. Ihr Zustand hat sich leider eher verschlimmert als gebessert. Tagelang ist sie sehr aufgereggt, widerspenstig, zornig und gereizt, sodass sie für ihre Umgebung geradezu gefährlich wird. Dann tritt das Gegentheil ein, die äusserste Erschlaffung, Arbeitsscheu und eine wahre Manie das Verkehrte zu thun und jegliche Arbeit zu ruiniren.“

Die gleichen Erfahrungen konnte ich während der 8 Tage machen, in denen ich die zur Untersuchung zu mir bestellte Patientin in meiner Privatklinik beobachtete und müssen diese Zustände wohl ohne Zweifel in Zusammenhang mit der Operation gebracht werden, da ja die Patientin vorher durchaus gesund war und sich die ersten psychischen Störungen kurze Zeit nach der Entkropfung geltend machten.

Wenn Sie nun selbst die Patientin ansehen, wie sie hier vor Ihnen steht, so macht dieselbe unverkennbar den Eindruck einer Jdiotin. (Tafel III.) Sie steht da mit gebeugtem Kopfe, krummen Knien und einem auffallend dicken Leib. Sie ist seit ihrem Austritt aus dem Spital nicht mehr gewachsen, hat ihre Menses ganz verloren und ist auch sonst in ihren Genitalien zum kindlichen Typus zurückgekehrt, indem die Schamhaare grösstentheils ausgefallen sind. Ihr Gesicht erscheint im Verhältniss zum Körper viel zu alt. Es ist gedunsen; die untern Augenlider haben ein wachsartig durchscheinendes Aussehen; die Lippen sind aufgeworfen, gewulstet, die Zunge sehr gross. Das Gesicht ist dabei eigenthümlich dunkel pigmentirt, ähnlich dem Cloasma uterinum. Von diesem Pigment sind nur die obere Grenze der Stirn, die untern Augenlider, die Gegend um die Nasenflügel und

unter der Unterlippe befreit, so dass es den Anschein hat, als ob an dieser Stelle die Haut Sitz eines Leucoderma wäre. Die Haut des Gesichtes sowie des ganzen Körpers ist eigenthümlich teigig geschwollen, trocken, rauh, schilfert ab. Fingerdruck in derselben bleibt nicht bestehen. An der vorderen Seite des Halses ist eine starke Einziehung des Jugulum vorhanden. Die Lungen sind gesund mit Ausnahme einer mässigen Bronchitis. Die Herztöne sind rein, der Urin enthält weder Eiweiss noch Zucker. Der Augenhintergrund zeigt nichts Abnormes. Die Sprache ist leise, rauh, hoch und sehr monoton, bei tiefer Inspiration ist ein mässiger Stridor hörbar, Athembeschwerden sind nicht vorhanden. Laryngoskopisch (Dr. O. Seifert) ist R eine nahezu vollständige Recursenslähmung, L eine Parese des Cricoarytenoideus posticus nachweisbar. Bei jeder stärkern Anstrengung der Stimme stellt sich ein eigenthümlich meckernder Husten ein, ohne dass eine Expectoration von Schleim folgte.

Die Blutuntersuchung, die wegen der hochgradigen Anämie gemacht wurde, ergibt eine Abnahme der rothen Blutkörperchen, so dass das Blut schon macroscopisch ganz serös aussieht; die weissen Blutzellen sind nicht vermehrt.

Die Untersuchung der geistigen Fähigkeiten liefert nun ein äusserst interessantes Resultat. Patientin muss sich zunächst immer länger besinnen, ehe sie auf gestellte Fragen antwortet, die Antwort erfolgt aber bei Dingen, die in ihrem Ideenkreis gelegen sind, verständig. Lesen — auch lateinischer Schrift, — geht langsam, aber sicher von Statten. Beim Rechnen verräth sich eine bedeutende Urtheilsschwäche. Wenn ich die Patientin frage, wie viel gibt 3 mal 4, so antwortet sie, wie Sie hören, 27, und frage ich sie gleich weiter, wie viel gibt 4 mal 3, so sagt sie 18; sie wird sich dabei gar nicht bewusst, dass ich sie dasselbe gefragt habe. Sie können sich weiter überzeugen, dass ihr das Einmaleins ganz verloren gegangen ist. Ihr Anschauungsvermögen ist relativ gut erhalten, indem sie vorgelegte Bilder und einfache Gegenstände richtig bezeichnet, ebenso wie sie nicht zu complicirte Worte und Zahlen aus einzelnen Buchstaben oder Ziffern exact zusammenstellt.

Das Gedächtniss für frühere Erlebnisse ist erhalten, es fehlt dagegen für die Gegenwart, so dass man ihr Alles aufschreiben muss, wenn sie es nicht vergessen soll. Vollständig abnorm ist nun ihre Art Gelesenes zu reproduciren. Ich will Ihnen davon eine Probe ablegen lassen. Mag ich ihr deutsche,

französische oder englische Bücher in die Hand geben, deren Inhalt sie ganz unmöglich verstehen kann, so liest sie Alles — die fremden Sprachen natürlich mit deutschem Accent — und antwortet dann auf die Frage, ob sie das Gelesene auch verstanden hat, stets mit Ja. Ich lasse sie jetzt z. B. etwas Französisches lesen: Quand le rhumatisme, et c'est le cas le plus frequent, atteint le périoste et se fixe sur cette membrane u. s. f.; wenn ich sie nun auffordere, das Gelesene wiederzugeben, so hören Sie, wie sie vom Nordlicht und der Sonne erzählt, also das unsinnigste Zeug und ganz unzusammenhängend redet und nicht eher aufhört, als bis ihr Stillschweigen befohlen wird. Findet sie in dem Gelesenen ein ihr bekanntes Wort, so knüpft sie ihre Wiedergabe oft an dieses an. Es macht das eben Gehörte doch ganz den Eindruck, als ob man es mit einer Verrückten zu thun hätte. Was ihr wirklich bekannt ist, z. B. einzelne Stellen des Gebetbuches, das Vaterunser wiederholt sie, ihrem Bildungsgrad entsprechend ganz gut.

Meine Herrn! Sie haben sich nun selbst von dem Zustande der drei Patienten überzeugt und werden mir wohl Recht geben, wenn ich die zwei ersten Fälle für Erkrankungen leichter Art, den letzten jedoch als eine schwere progressive Cachexia strumipriva erkläre. Angesichts dieser traurigen Consequenzen der Operation müssen wir aber die Totalexstirpation des Kropfes als eine physiologisch unstatthafte Operation bezeichnen.

Glücklicherweise sind wir Chirurgen nun aber nicht der Lage ausgesetzt, die armen Patienten, die an hochgradigem Kropföbel mit all' dessen Beschwerden leiden, ihrem Schicksal überlassen zu müssen, sondern es haben uns die Fortschritte unserer Erkenntniss heutzutage Methoden kennen gelehrt, welche alle Störungen zu beseitigen gestatten, ohne die Patienten den Gefahren einer Cachexie entgegenzuführen. Auf diese Methoden jetzt näher einzugehen, hiesse die mir zugeschriebene Zeit überschreiten, sie seien daher hier nur erwähnt. Es sind die Resection des Kropfes nach *Miculicz*, die Unterbindung der zuführenden Arterien nach *Wölfler*, die Exstirpation beliebiger Theile nach *Hahn*, vor Allem aber die von *Socin* gelehrt intraglanduläre Ausschälung der Kröpfe, die Operationsverfahren der Zukunft!

Literaturverzeichniss.

A. Ueber die „Cachexia strumipriva.“

1867.

1. *P. Sick*, Med. Correspondenzblatt des Würt. ärztl. Vereins, 14. Aug. 1867. F. 199. 1883.
2. *J. L. & A. Reverdin*. Revue med. de la Suisse romande No. 4—5. 1883 und Vingt deux operations de goitre, Geneve 1883. (Siehe dazu auch *E. Rapin*. Revue med. de la Suisse Tom XXX. 1883.)
3. *Kocher*. Arch. f. klin. Chir. 1883. S. 254.
4. Verhandlungen der deutschen Gesellschaft für Chirurgie. 1883.
5. *Julliard*. Revue de Chir. 10. Aug. 1883 und Trente et une exstirpations de goître Genève 1883.
6. *Bardeleben*. Charitéannalen 1883. Berl. 1885, X, 400—404.
7. *Bircher*. Der endemische Kropf und seine Beziehungen zu Taubstumm- und Cretinismus. Basel 1883.

1884.

8. *Baumgärtner*. Arch. f. klin. Chir. XXXI, 1884, S. 119.
9. *P. Bruns*. Sammlung klin. Vorträge. No. 244.
10. *R. Grundler*. Zur Cachexia strumipriva, Mittheilungen aus der chir. Klinik zu Tübingen, herausgegeben von *P. Bruns* 1884.

1885.

11. *Pietrzikowski*. Prager med. Wochenschr. 1885 No. 1, S. 5. (Gussenbauer.)
12. *J. Rakowitz*. Dissertation. Berlin 1885. (J. Wolff.)
13. *Miculicz*. Centralblatt f. Chir. No. 51. 1885.
14. *Zesas*. Deutsche Medicinalzeitung 1885. No. 55 u. 56.
15. *J. Rotter*. Arch. f. klin. Chirurgie. XXXI. Bd., 1885. S. 683.

1886.

16. *Schmidt*. Berliner klinische Wochenschr. 1886. No. 31. S. 509.
17. *Wölfler*. Die operative Behandlung des Kropfes durch Unterbindung der zuführenden Arterien. Wiener med. Wochenschr. 1886. No. 29.
18. *Baumgärtner*. Deutsche med. Wochenschr. 1886. No. 50.
19. *L. Garré*. Correspondenzblatt für Schweizer Aerzte. 1 Nov. 1886 und Centralblatt für Chirurgie 6. Nov. 1886.
20. *König*. Verhandlungen der deutschen Gesellschaft für Chirurgie 1884. S. 76—77.
21. Verhandlungen des II. Congresses französischer Chirurgen. Paris Oktober 1886. (ref in der deutschen Medicinalzeitung 1886. S. 973.)
22. *Schill E.* Referat in Schmidt's Jahrb. Leipzig 1886. S. 187—201.
23. Verhandlungen der Versammlung Deutscher Naturforscher und Aerzte zu Berlin. 1886.
24. *Fuhr*. Arch. f. exp. Pathologie und Pharmakolog. 1886. S. 387 ff.
24. a *Bradmuell*, Brit. med. Journ. 29. Mai 1886,

1887.

25. *Wölfler*. Die Chirurgische Behandlung des Kropfes. Berlin 1887 und Wien. med. Wochenschr. 1887. S. 159.
26. *Fuhr*. Münch. med. Ztschrift. 1887. No. 26 u. 27.
27. *Lehmann*. Münch. med. Wochenschr. 1887. No. 11.
28. *J. L. Reverdin*. La Semaine méd. 23. Fevr. 1887.
29. *A. Köhler*. Deutsche Zeitschr. f. Chir. 1887, Bd. XXVI, Heft 2.
30. *v. Nussbaum*. Die Amputation des Kropfes. Münch. med. Woch. 1887, Nr. 34, S. 273.

B. Ueber das „Myxödem“.

1873.

1. *W. Gull*. A Cretinoid state supervening in the adult. The Brit. med. Journ. 1875. II. S. 528.

1878.

2. *M. W. Ord*. On Myxödema. Med. chir. Transactions. 1878. II. Ser. vol. 43. S. 57.

1881.

3. *M. Charcot*. Myödème, cachexie pachydermique ou état cretinoïde. Gazette des hopitaux 1881. S. 73.

1883.

4. *Drewitt, Semon, Gull, Ord, Cavafz*. Discussion in the London clinical Society. The Lancet 1883. II. S. 951.

1884.

5. *Horsley*. (V.) On the function of the thyreoid gland. Proceedings of the Roy. Soc. of Lond. XXXVIII. 1884. 5.
6. *Drewitt*. (F. D.) Case of myxödema. Tr. Clin. Soc. London 1884. XVII.
7. *Harley*. (J.) The pathologie of myxödema as illustrated in a typical case. Med.-Chir. Tr. London 1884. I, XVII.

1885.

8. *Horsley*. (V.) The thyreoid gland; its relation to the pathologie of myxödema and cretinism, to the question of the surgical treatment of goitre, and to the general nutrition of the body. Brit. M. J. London 1885. I. und Lancet, London 1884.
9. *Kinner*. (D. F.) The history of myxödema with the report of a case Med. Rec. N. J. 1885. XXVII.
10. *Wadsworth*. (O. F.) A Case of myxödema with atrophy of the optio nerves. Boston M. u. S. J. 1885. CXII. 5.
11. *Müller*. (W. B.) A Case of myxödema. Brit. med. J. London 1885. I. 429.
12. *White*. (W. H.) A Case of myxödema with a post mortem examination Brit. med. Journ. London 1885. I. 381 und Tr. Clin. Soc. Lond. 1885. XVIII. 159—163.
13. *Suckling*. (C. W.) Case of myxödema in a woman aged seventy six Lancet, London 1885. I. 889.
14. *Hamilton*. (A. McL.) A Case of myxödema in the male J. Nerv. und Ment Dis. N. Y. 1885. n. s. x., 180—182.
15. *Jeanselme*. (E.) et *Lermoyez*. Du myxödème et de ses modifications ches les cholériques. Gaz. hebdom. de méd. Par. 1885. 2. 5. XXII.
16. *Robinson*. (T.) Case of myxödema Tr. Willan Soc. London (1883—84) 1885. I. 56.

17. *Savill*. (T. D.) Case of myxödema in a male aged Twenty nine *Lancet*, London 1885 II, 899 und *Brit. med. J.* 1885 II, 916 und *Tr. Clin. Soc. Lond.* 1886. XIX. 306—308.
18. *Anderson*. (J.) A Case of myxödema *Tr. Clin. London* 1885. XVIII. 21—24.
19. *Hopekins*. (J.) To cases of myxödema. *Tr. Clin. Lond.* 1885. XVIII. 332—334.
20. *De Barbieri*. (A.) Un caso di myxödema. *Salute: Italia med.* Genova 1885. XIX. 650—657.

1886.

21. *Suckling*. (C. W.) Sequel to a case of myxödema in a woman aged seventy six. *Lancet*, London 1886, I, 918.
22. *Abott*. (C. E.) A case of myxödema. *Brit. med. J.* London 1886, I 1212.
23. *Gordon*. (J.) Myxödema following upon removal of the thyreoid gland. *Lancet* Lond. 1886 II, 65—67.
24. *Horsley* (V.) and *J. Gordon*. Myxödema. (Rév.) *Asclepiad*, London 1886, III, 281—84.
25. *Horsley* (V.) The pathology of the thyreoid gland. *The Lancet* 18. XII 1886
26. *Verriest*. Cas de myxödém (cachexie pachydermique de Charcot), avec presentation de malade. *Art. med. Brux.* 1886—87, XXII, 185—190 und *Rev. med.*; *Louvain*, 1886, V. 193—199 und *Cas de myxödème*. *Bull. Soc. de méd. ment. de Belg.*, Gand et *Leipz.* 1886, no. 41, 61—63.
27. *Bryant* (W. H.) A case of myxödema. *Med. Rec. N. G.* 1886, XXX, 545.
28. *Stokes* (W.) A case myxödema following thyreoidectomy *Brit. med. J.*, London. 1886, II, 709—711 und *The Lancet* 1. Jan. 1887 p. 25.
29. *Barling* (G.) Necropsy of a case of myxödema, *Lancet*, Lond. 1886, II, 970.
30. *Chevallereau* (A.) Myxödème aigu consécutif à l'exstirpation du corps thyroïde, *France med*, Par., 1886, II, 1493, 1505.
31. *Handford* (H.) A Case for diagnosis; Myxödém on elephantiasis. *Tr. Clin. Soc. Lond.* 1886, XIX, 327—329.
32. *Lusanna* (F.) Myxoedema o sclerodermia. *Ann. univ. di med. e chir.*, Milano, 1886, CCLXXVII, 214—243.
33. *Brayton Ball*. *New-York med Record* 1886, Juli (Bericht über 121 Fälle.) citirt nach *Riess* siehe Nr. 38 dieses Verzeichnisses.)
34. *Hadden*. (W. B.) Fatal cases of myxödema. *St. Thomas's Hosp. Rep.* 1885. London, 1886, XV, 276.
35. *Marcus*. (C.) Contribution à l'étude clinique du myxödème. *Par.* 1886. 49 p. 4^e. Nr 7.
36. *Brandes*. (L. I.) Un cas de myxödème. *Cond. périod. internat. g. sc. med.* *Compt.-rend.* 1884, Copenh., 1886, II, Sect. de méd, 66—69.
37. *Hadden*. (W. B.) Myxödema and its pathology. *Cong. périod. internat. d. sc. méd.* *Compt.-rend.* 1884, Copenh. 1886, II, Sect. de méd, 61—66.
38. *Riess*. (L.) Ueber einen Fall von Myxödém. *Berl. klin. Woch.* 1886, 881. Nr 51.
39. *Westphal*. Demonstration eines Falles von Myxödém, *Berl. klin. Woch.* Nr. 42 1886.

1887.

40. *Erb*. (W.) Ueber Myxödema, *Berl. klin. Woch.* 1887, Nr. 3.
41. *Senator*. Ein Fall von Myxödém. *Berl. klin. Woch.* 1887, Nr. 9.
42. *Landau*. Ueber Myxödema, *Berl. klin. Woch.* 1887, Nr. 11.

43. *C. J. Nixon.* A case of Myxödema. (Dnblin journ. of med. science 1887, Januar.)
44. *Virchow.* (R.) Ueber Myxödema, Wiener med. Blätter, 1887, X 201—205 und Berl. klin. Woch. 1887 Nr. 8.
45. *v. Noorden.* Referat über die Entwicklung der Myxödemfrage. Münch. med. Woch. 1887 Nr. 13.
46. *Shelswell.* (O. B.) Cases of hämorrh. Academy in myxödema. Lancet 1887, Nr. 14 p. 675.
47. *Zielewicz.* Ein Fall von Myxödema mit starker Stomatitis und Hepatitis interstitialis. Berl. klin. Woch. 1887, Nr. 22, p. 400.
48. *A. Fuchs.* Myxöem. Prag. med. Woch. 1887, N. 12, p. 125.
49. *Reverdin* (J. L.) Contribution à l'étude du myxodème consecutif à l'exstirpation du corps thyroïde. Rev. méd. de la Suisse Rom. Genève 1887, VII. 275—291.

C. Ueber Thierversuche zur Ermittlung der Schilddrüsenfunction.

1. *Cooper* siehe bei *Hofrichter.* Meckel's Archiv für Physiologie, VI Bd. 1820 S. 189.
2. *v. Rapp. C. A. F. Bopp.* Ueber die Schilddrüse, Diss. Tübingen 1840. S. 15.
3. *Schwager-Bardleben.* Observationes microscopicae de glandularum ductu excretorio carentium structura, deque earundem functionibus experimenta. Diss. Berlin 1881.
4. *M. Schiff.* Untersuchungen über die Zuckerbildung in der Leber und den Einfluss des Nervensystems auf die Erzeugung des Diabetes. Würzb. 1859 S. 61 u. f.
5. *Lacauchie.* Traité d'hydrotomie p. 120, citirt bei Schiff S. 62.
6. *Hegar und Simon.* G. Simon, Die Exstirpation der Milz am Menschen etc. S. 139.
7. *M. Schiff.* Revue méd. de la Suisse romande, 15. Febr. 1884 p. 65.
8. *Zesús, D. G.* Archiv für klin. Chir. XXVIII. Bd. und XXX. Bd., 1884 S. 395, Wiener med. Woch. 1884, Nr. 52, Deutsche Medicinalzeitung 1885, Nr. 55 u. 56.
9. *M. Schiff.* Revue médicale de la Suisse romande Nr. 8, 1884.
10. *Colzi.* Sulla estirpazione della tiroide. La sperimentale. Juli 1884 p. 36.
11. *Wagner.* Wiener med. Blätter 1884 Nr. 25 und 30.
12. *Sanguirico und Canalis.* Sur l'exstirpation du corps thyroïde Archives Italiennes de Biologie T. V, 1884 S. 390.
13. *Albertoni und Tizzoni.* Centralblatt für die med. Wissensch. 1885 Nr. 24.
14. *Tauber.* Virchow's Archiv 1884, 96 Bd., I. Heft S. 29.
15. *Kaufmann.* Archiv für exp. Pharmac. und Patholog. 1884, Bd. XVIII, S. 260.
16. *A. Herzen* (Lausanne.) A quoi sert la thyroïde. La semaine médicale. W. 32, 1886.
17. *F. Fuhr.* Arch. für exp. Patholog. und Pharmac. 1886 Bd. XXI p. 387 (Beste Arbeit mit ausführlicher Literaturangabe und kritischer Sichtung der bisherigen Arbeiten.)
18. *V. Horsley.* The pathology of the thyroid gland. The Lancet 1886 Dec. und Proceedings of the Royal Society of London. 1884, XXXVIII p. 5.
19. *N. Rogowitsch.* Zur Physiologie der Schilddrüse. Medizinische obščenje 1886. Nr. 14 (Ref. im Centralbl. f. Chir. 1887 Nr. 2.)
20. *J. R. Ewald.* Versuche über die Function der Thyroidea. Berl. klin. Woch. 1887 S. 177.





Taf. 3.



Verhandlungen d. Würzb. Phys. med. Gesellsch. Neue Folge. XXI. Bd.

(2)

(3)

(4)

(5)

Das Ulcus molle.

Historisch - kritische Studie

von

Dr. med. LUDWIG FRIEDHEIM

aus Leipzig.

Cancer im Lateinischen, Sjänkert im Deutschen früherer Zeit liegen dem jetzt gebräuchlichen Worte Schanker zu Grunde. Schanker nannte man ehemals jedes ansteckende Genitalgeschwür, das durch den Coitus direct erzeugt war. Diese localen Geschwüre waren scheinbar den Autoren des Altertums bekannt; hierfür sprechen Angaben von *Juvenal*, *Martial* u. A. Diejenige allgemeine Erkrankung indessen, welche der modernen Syphilis entspricht, gelangte erst am Ende des XV. Jahrhunderts zur genaueren Kenntnis; mit ausserordentlicher Bösartigkeit durchseuchte sie im Jahre 1494 das Heer Carl d. VIII v. Frankreich, der nach Italien zog, um Neapel seinem Scepter zu unterwerfen. Hieraus erklären sich Bezeichnungen der Syphilis wie *morbus gallicus*, *Franzosenkrankheit*, *mal d'Italie*, *mal de Naples*. Historische Färbung zeigt ferner ein Teil der Namen, die man den Genitalgeschwüren gab. Nannte man *caroli pudendorum* die local verlaufenden, so sprach man von *caries gallica* hinsichtlich der Geschwüre, an die eine constitutionelle Erkrankung sich anschloss; in ihrer Gesamtheit nannte man sie, wie oben erwähnt, Schanker. Diese Ungenauigkeit der Benennung fand schon von Seiten älterer Autoren eine ungünstige Kritik. *Becket* und *Boerhave* äusserten sich tadelnd. (Zeissl pag. 82.)

Zu einer totalen Verwirrung auf diesem Gebiete war es im Jahre 1767 gekommen, als der englische Chirurg *John Hunter* auf Grund eines Impfversuches Tripper und Syphilis für identischen Ursprungs erklärte, die Lehre von der Identität der Syphilis verkündete.

Es war ihm anscheinend gelungen, durch Einimpfung von Trippersekret einen Schanker mit den nachfolgenden Symptomen

der allgemeinen Syphilis zu erzeugen. So überzeugend wirkte der Versuch und dessen Interpretation, dass die Mehrzahl der Aerzte mit *Hunter* dem Tripper- und Schankersekret die Fähigkeit zusprach, Schanker und Syphilis sowie Tripper wechselseitig hervorrufen zu können. Im einzelnen hingegen gab derselbe *John Hunter* Klarheit, indem er zuerst eine scharfe klinisch-anatomische Definition des Wortes Schanker gab. *Hunter* nannte nur diejenigen Geschwürsformen noch Schanker, welche durch Härte des Randes und des Grundes sich auszeichneten und von den allgemeinen Zeichen der Syphilis gefolgt wurden. Alle übrigen Genital-Erkrankungen nannte die *Hunter'sche* Schule pseudosyphilitisch oder bezeichnete sie als venerische Krankheiten.

Es war der Franzose *Ricord* im Jahre 1838, der auch weiche Geschwürsformen als Schanker ansprach, der einen weichen oder einfachen Schanker von einem harten oder inficirenden unterschied. Die letztere, dem *Hunter'schen* Schema entsprechende Form nannte man *Hunter'schen* Schanker, *Hunter'sche* Induration oder Sclerose, syphilitische Initial-sclerose. Es war fernerhin *Ricord*, der die Identitätstheorie *Hunter's* stürzte; bei seinen zahlreichen Impfungen gelang es ihm, mit Trippersekret stets Tripper allein, mit Geschwürsekret stets Geschwüre allein zu erzeugen. Den erwähnten Impfversuch *Hunter's* enthüllte *Ricord* als einen Fall von Urethrschanker (chancre larvé, uréthral). Drittens formulierte *Ricord* die Lehre von der Unität der Syphilis, d. h. er supponirt einen einheitlichen Ansteckungsstoff, aus dem harte wie weiche Geschwüre hervorgehen. Das weiche Geschwür ist eine Lokalerkrankung; dem harten folgt Syphilis nach. Die Verhärtung selbst entspricht nur einem spätern Stadium des weichen Geschwürs. Der harte Schanker ist ursprünglich ein weiches Geschwür. Letztere Behauptung modificirte *Ricord* selbst indessen dahin, dass er die Induration nur als eine gelegentlich eintretende Metamorphose des weichen Schankers hinstellte. Die Hauptbedingung für den Eintritt derselben liegt in der Individualität des Erkrankten.

Ein Schüler *Ricord's*, *Bassereau*, durchbrach den Anschauungskreis seines Lehrers. *Bassereau* in Frankreich, v. *Bärensprung* in Deutschland, entscheiden sich für die Dualität der Contagien.

Während aber *Bassereau* ein Contagium dem weichen, ein anderes dem harten Schanker zuschreibt, beansprucht *v. Bärensprung* einen Ansteckungsstoff für diejenige Erkrankung, welche er überhaupt als Schanker bezeichnet und welche er unter allen Umständen als eine ansteckende Lokalaffection aufgefasst wissen will. Das zweite Contagium ruft Syphilis hervor; die Induration ist nach *v. Bärensprung* bereits ein Product der Syphilis. So divergiren von dem gemeinsamen Ausgangspunkte die Richtungen beider Schulen! Interessant sind die Methoden der Beweisführung. *Ricord* hatte Impfungen zur Methode gemacht, *Bassereau* confrontirte, d. h. er ging vom vorliegenden Falle bis auf die Infectionsquelle zurück. Indem er hier und dort verglich, gelang es ihm in einer grossen Zahl von Fällen, die *Hunter*'schen Indurationen oder Sclerosen auf Infection zurückzuführen durch Individuen, welche entweder mit hartem Schanker oder mit den Zeichen constitutioneller Syphilis behaftet waren. Für die weichen Geschwüre fand *Bassereau* als Ursprungsquellen Genitalaffectionen von analogem Charakter, mit ausgesprochen localem Verlauf.

Die scharfsinnigen Argumentationen *Bassereau*'s überzeugten *Ricord*. Er sah sich ausser Stande an der Unität festzuhalten. Indem *Ricord* auf Grund der neuen Theorie weiter forschte, lehrt er den harten Schanker in doppelter Weise jetzt kennen — als den inficirenden Schanker einerseits, als entzündliche Induration andererseits: er zeigt, wie entzündliche Processe einem weichen Geschwür dieselbe Härte verleihen können, durch welche der *Hunter*'sche Knoten charakterisirt ist. Seinen neuen Standpunkt kennzeichnet *Ricord* durch den Cardinalsatz, dass jede Geschwürsform nur in ihrer Eigenart sich fortpflanzt.

Aus seinen neugewonnenen Anschauungen entwickelt der nunmehrige Dualist *Ricord* die Lehre von der Unicität der Syphilis. Syphilitische erklärt er für immun gegen eine spätere neue Infection mit Syphilis; der harte Schanker tritt an demselben Individuum nur einmal auf. Gegen das weiche Geschwür gibt es keine Immunität. Weiterhin hatten zahlreiche Inoculationsversuche *Ricord*'s mit dem Secrete weicher Schanker als Resultat der Impfung nach 24 Stunden eine Rötung, am 3. Tage ein Bläschen, bald darauf das Geschwür ergeben.

Inoculationen *Waller's*, *v. Rinecker's*, *v. Bärensprung's*, *Hebra's* mit dem Secrete harter Schanker hatten erst nach Wochen die Entwicklung des syphilitischen Primäraffectes gezeigt. Mehrwöchentliche Incubationszeit hier — überaus schnelle Manifestation der Erkrankung dort!

Das Immunitätsgesetz konnte in seiner ursprünglichen Form, die ihm *Ricord* gegeben hatte, nicht lange bestehen. *Lee*, *Puche*, *v. Rinecker* und *Pontoppidan* gelang es, trotz eines bereits bestehenden syphilitischen Primäraffectes bei demselben Individuum durch Impfung nach spätestens 6 Wochen an der Impfstelle ein neues positives Resultat zu erzielen.

Dasselbe entsprach entweder der Induration eines Geschwürs, welches ohne Incubation an der Impfstelle entstanden war, oder es bedeutete die Entwicklung einer Papel nach einer Incubation von mehreren Wochen. Waren die Impfpersonen schon vor der Impfung constitutionell erkrankt, so blieb das Resultat entweder negativ oder es ergab im einen Falle eine kleine uncharakteristische Pustel, im andern Falle eine deutliche Impfpustel mit Geschwürsbildung. Impfte man wiederum von einem derartigen Geschwür ab, so konnte man in einer langen Reihe von Generationen analoge Geschwürsformen erzeugen. Das Immunitätsgesetz erhielt also nach mindestens einer Seite hin eine wichtige Einschränkung: während des Bestehens einer syphilitischen Initialsclerose sind die Träger derselben wenigstens nicht in allen Fällen immun.

Innerhalb des Sclerosen-Stadiums, im sog. primären Stadium der Syphilis, kann durch eine neue syphilitische Infection ein neuer syphilitischer Primäraffect entstehen.

Wie aber sind die übrigen Resultate zu deuten? nämlich

- 1) die spätere Induration der weichen Geschwüre, welche durch frische Syphilisinoculation auf primär syphilitischen ohne Incubation sich entwickelt hatten?
- 2) diejenigen Processe, welche eine neue Impfung mit Syphilis-Gift an constitutionell Syphilitischen hervorgerufen hatte; Krankheitsvorgänge, welche theils uncharakteristisch verliefen, theils sich wie weiche Geschwüre verhielten?

Diesen Fragen traten *Clerc* und *Rollet* näher. Die weichen Geschwüre der constitutionell-syphilitischen nannte *Clerc* „Chancroïde“; er bezeichnete dieselben als Derivate der Syphilis, als

modificirte *Hunter'sche* Schanker. Den Grund für diese Modification des syphilitischen Giftes sucht er in dem Körperzustande der Kranken, in der syphilitischen Durchseuchung derselben. Er erinnert an das analoge Verhältniß zwischen einer voll ausgebildeten und einer rudimentären Vaccinepustel, zwischen variola vera und variolois.

Für die indurirenden weichen Geschwüre gab *Rollet* eine Erklärung. *Rollet* erinnert an Fälle, in denen die Urethra eine Doppelerkrankung darbot: an Tripper und Schanker zugleich. Nach dieser Analogie entwickelt er die Möglichkeit einer Doppelinfection mit den Contagien beider Schankerarten. Eine derartige Infection kann irgendwo am Körper, an den Genitalien, ein und dieselbe Stelle gleichzeitig treffen; die Erkrankungen selbst aber werden zu verschiedener Zeit je nach der Eigentümlichkeit der Contagien sich manifestiren.

In diesem Sinne spricht *Rollet* von einem chancre mixte, chancre mulet. Der Einwirkung des Schankereiters folgt an der Impfstelle schnell die Entwicklung eines weichen Geschwürs; dieses indurirt. Der Beginn der Induration fällt zusammen mit dem zeitlichen Ablaufe des Incubations-Stadiums, dessen das gleichzeitig inoculirte syphilitische Gift zu seiner ersten Manifestation bedarf.

Ungezwungen erklärt sich hieraus die Induration eines weichen Geschwürs. Betrifft aber der Fall einen constitutionell Erkrankten, an dessen Körper infolge einer Impfung ein weiches Geschwür ohne Incubation sich bildete, so ist auch hier die Möglichkeit einer Mischinfection in gewissem Sinne gegeben. Es ist denkbar, dass beide Ansteckungsstoffe auch hier den Körper trafen. Da nun hier die allgemeine Durchseuchung des Körpers denselben gegen Syphilis immun machte, so wird im gegebenen Falle der Ansteckungsstoff des weichen Schankers allein seine Wirksamkeit entfalten. Eingepflicht waren möglicherweise beide Gifte zugleich. Eine andere Erklärung wird einer zweiten Reihe hierhergehöriger Fälle zur Erläuterung dienen.

Man hat für jede Schankerinfection eine Gewebläsion vorausgesetzt. Wenn ein gesundes Individuum einen chancre mixte acquirirt, so sind folgende Umstände in Betracht zu ziehen:

- 1) es können beide Contagien gleichzeitig einwirken,
- 2) sie können nacheinander einwirken,
- 3) es kann eine einzige Läsion Doppelinfection ermöglichen,

- 4) jedem Ansteckungsstoff kann eine besondere, der anderen benachbarte Eingangspforte offen stehen, so dass jedes Contagium zu verschiedener Zeit und an verschiedenem Orte Zutritt finden kann.

Hat sich nun der chancre mixte durch die Induration als solcher enthüllt, so sieht von jetzt ab der Kranke dem gewöhnlichen Verlaufe der Syphilis entgegen mit Ausschlägen, Drüenschwellungen u. s. w.

Welcher Art sind die Infectionsquellen für den chancre mixte?

Die einfachste Infectionsquelle ist hier wiederum ein chancre mixte, ein indurirtes weiches Geschwür, so dass chancre mixte durch chancre mixte erzeugt wird.

Anderseits können mit plaques muqueuses und weichem Schanker zugleich behaftete Individuen an anderen einen typischen chancre mixte hervorrufen. Es ist nicht selten der Fall, dass eine mit plaques behaftete Person weichen Schankeracquirirt. Dass nun von hier aus nicht ganz so häufig Fälle von chancre mixte erzeugt werden, erklärt die jetzt an den kranken Genitalien hervortretende Schmerzhaftigkeit, welche dem weichen Schanker oft in hohem Grade eigentümlich ist.

Wegen dieser grossen Empfindlichkeit, wegen der Belästigung, ferner durch reichliche Absonderung und so fort, wird ein mit weichem Schanker allein behaftetes Individuum vor neuen Cohabitationen zurückschrecken; der Kranke wird sich selbst also gewissermassen vor einem chancre mixte bewahren, die Möglichkeit indess ist immerhin gegeben, sobald durch einen zweiten möglichst schnell — noch während des weniger schmerzhaften Anfangsstadiums — nachfolgenden Coitus eine syphilitische Infection sich hinzugesellt.

Tatsächlich tritt aber der umgekehrte Fall viel häufiger ein: die oft nur geringe Schmerzhaftigkeit der Induration, ja die bisweilige Unkenntnis ihrer Existenz von Seiten des Trägers machen es begreiflich, wie sie durch einen neuen Coitus so leicht zu einem chancre mixte sich compliciren kann.

Der Typus eines derartigen chancre mixte, in dessen einfachster Form die Doppelinfection an Einheit des Ortes und der Zeit zugleich gebunden ist, erhält ein Analogon aus dem Gebiete der Impfsyphilis. Man versteht unter Impfsyphilis, Vaccinationssyphilis oder Syphilis vaccinata eine Erkrankung, die

durch gleichzeitige Uebertragung von Vaccine- und Syphilisgift entsteht. Es ist

- 1) sicher, dass Syphilis mit der Vaccination überhaupt übertragen werden kann; es ist
- 2) sicher, dass die Vaccinepusteln eines syphilitischen Kindes ein Material liefern, dessen weitere Benutzung bald positive, bald negative Impfresultate gibt.

Im ersteren Falle entsteht dann entweder Syphilis oder die Vaccinepustel allein, oder es wirkten Vaccine und Syphilis zugleich.

Die Syphilisübertragung findet nach *v. Rinecker* und *Köbner* nur dann statt, wenn auf dem Grunde der benutzten Vaccinepustel ein indurirtes Geschwür sich entwickelte. Diese Geschwüre entstehen nach 8—10 Tagen.

Es existirt also ein Zeitpunkt, bis zu dem die Vaccinepustel nur reine Vaccine enthält. So erklärt es sich, warum in Italien die meisten Fälle von Vaccinations-Syphilis vorkommen. Dort wird erst sehr spät, zwischen 10. und 14. Tage abgeimpft. *Viennois* glaubte, dass in der gleichzeitigen Einimpfung von Blut die Ursache der Syphilisinfection liege. Seine Theorie erklärt jedoch nicht alle Fälle.

Nach *Hutchinson* kann Serum, Transsudat aus den dem Bläschen nächstliegenden Blutgefässen dem letzteren das syphilitische Virus zuführen. Eine derartige Transsudation hält er bei zufälligen Reizzuständen namentlich für sehr wahrscheinlich.

Weisse und rote Blutkörper sind von *Bäumler* in der klarsten Lymphe gesehen worden; möglicherweise sind die weissen Blutkörper Träger des syphilitischen Virus (*Lustgarten's* Bacillen). Die Anschauungen von *v. Rinecker* und *Köbner* erhalten eine typische Illustration durch eine Krankengeschichte, welche ersterer veröffentlichte:

3 Wochen nach der Vaccine-Impfung eines hereditär-syphilitischen Kindes fielen die Krusten der anscheinend normalen Impfpusteln ab; zu Tage trat ein „tiefes kraterförmiges Geschwür mit anhaftendem, spärlichem, serös-eiterigem Secret“, mit hartem Grunde und mit indurirten aufgeworfenen Rändern. Das Geschwür heilte nach 2 Wochen mit Narbenbildung (*Vierteljahrsschrift für Dermatologie und Syphilis* 1878 pag. 265).

Ein 2. Fall, der dem Verfasser durch die Güte des Herrn Dr. *Th. Kölliker* in Leipzig übermittelt ward, mag an dieser

Stelle zur öffentlichen Kenntniss gelangen; derselbe entstammt der chirurgischen Poliklinik in Halle:

Im Jahre 1875 wurde in der v. Volkmann'schen Klinik eine Frau an breiten Condylomen behandelt. Im November 1878 gebar sie einen kräftigen ausgetragenen Knaben, der erst nach 4 Monaten, im März 1879 erkrankte und am 26. Mai 1879 mit einem ausgedehnten papulösen Hantsyphilid an Gesicht, Hals, Rumpf- und Gürtelgegend in die Behandlung der chirurgischen Poliklinik kam. 5 Tage vorher war das Kind mit Vaccine aus der Pustel eines gesunden Kindes, und zwar mit 4 Einstichen auf jedem Arm geimpft worden. 6 derselben entwickelten sich zu Pusteln, 4 am rechten und 2 am linken Arme, und boten dieselben in den ersten Tagen der Behandlung durchaus nichts auffallendes dar. Am 31. Mai jedoch begannen die Pusteln sich zu verbreitern; ihr Rand rötete sich und fühlte sich hart an. Am 1. Juni, nach Abfall der Krusten, sind die Pusteln in deutliche syphilitische kraterförmige Ulcerationen mit harten Rändern und indurirtem Grunde verwandelt. Unter innerlicher Darreichung von Calomel und äusserlicher Anwendung von Ferrum citr. Lösung vernarben die zu Bohnengrösse ausgedehnten Geschwüre rasch unter Hinterlassung einer mässigen Härte.

In diesem Falle war die Gelegenheit zur Syphilis-Uebertragung zwischen 29. Mai und 1. Juni gegeben. Für derartige Affectionen haben die Franzosen die Bezeichnung: *chancre mixte vaccino-syphilitique*.

Clerc hatte seiner Lehre vom *chancroïde* zwei allerdings sehr auffallende Beobachtungen zu Grunde gelegt:

1) In dem einen Falle wurde der Träger eines harten Schankers mit dem Secrete eben desselben geimpft; es entstand ein weiches Geschwür ohne Incubation, ohne spätere Induration.

2) Die zweite Beobachtung bezieht sich auf eine Induration der Scrotalhaut. An derjenigen Hautpartie des penis, welche der Induration auflag, entstand ein weiches Geschwür ohne Induration. Die allgemeinen Symptome der Syphilis traten in der gewöhnlichen Zeitfolge ein. Auf Grund dieser Fälle sprach sich *Clerc* folgendermassen aus:

„Vermöge der durch die Krankheit erlangten Immunität bekomme ein Syphilitischer durch wiederholte Einimpfung des syphilitischen Giftes kein indurirtes Geschwür mehr, sondern, wenn die Impfung überhaupt anschlägt, nur ein weiches Geschwür u. s. w.“ Diesen beiden Beobachtungen reihte sich eine dritte *Fournier's* an. *Henry Lee*, *Köbner*, *Pick* erweiterten diesen Kreis. Durch Aufstreichen von Sabinasalbe, durch Einlegen von Haarseilen führten sie Indurationen und breite Condylome in den Zustand reichlicher Eiterung über. Mit dem Secret dieser

stark eiternden syphilitischen Affectionen gelang es ihnen nun leicht, auf dem Träger incubationslose überimpfbare weiche Geschwüre zu erzeugen, welche nachträglich nicht indurirten. *Pick* ging einen Schritt weiter: er überimpfte den Inhalt von Acne-Scabies- und Pemphigus-Pusteln auf syphilitische mit demselben Resultate.

Santurri benutzte den Inhalt von Ekthyma- und Impetigo-Pusteln sowie das Secret geschwürig entarteter Transplantationswunden. *Vidal* rief auf dem Körper von Ekthymakranken selbst mit dem Pusteleiter analoge weiche Geschwüre hervor. Dieselben Geschwüre, einmal mit nachfolgendem Bubo, erzeugte *Finger* in Wien mit dem Secrete, das er nach künstlicher localer Reizung von der Schleimhaut einer nicht syphilitischen Person entnahm. Das Secret bei eiteriger Vaginitis benutzte mit gleichem Erfolge *Boeck*.

Noch einen Schritt weiter ging endlich *Kaposi*: zur Abimpfung und Impfung wählte er nicht syphilitische Personen. Und nun gelang es ihm mit dem Eiter, den ihm Acne- und Scabies-Pusteln lieferten, auf den Trägern, sowie auf anderen nicht syphilitischen Individuen die gleichen Geschwürsformen zu erzeugen. Das Secret dieser letzteren war mit langsam abnehmender Deutlichkeit auf eine zwar begrenzte aber lange Reihe von Generationen überimpfbar.

Nun war es weiterhin in einem allerdings einzigen Falle gelungen, durch Abimpfung von den Inoculationsschankern eines Syphilitischen gleichzeitig Syphilis zu übertragen. *Bidencap* hat den Fall beobachtet. *Bäumler* gibt ihn (pag. 100) wieder:

„Ein mit Ekzem des Vorderarmes behaftetes Mädchen, welches nie an venerischen Affectionen gelitten, hatte sich aus Muthwillen 18 Schanker eingeimpft, zu denen, da ihre Entstehungsweise anfangs nicht bekannt war, noch durch Probenimpfung von den zuerst entstandenen Pusteln 12 andere hinzukamen. Die Geschwüre, aus denen sie sich geimpft hatte, stammten ebenfalls ursprünglich von dem Secret inficirender Geschwüre, welches jedoch viele Generationen und Individuen schon passirt hatte, her. Die Pusteln bildeten sich in ziemlich grosse Geschwüre um. Zwei fühlten sich etwas hart an, aber an den meisten war keine Spur von Induration. In einigem Abstand von einzelnen Geschwüren fühlte man eine kleine etwas schmerzhaft Drüsenanschwellung. Am 27. Januar alle Geschwüre in Heilung. Zwei der grössten sassen auf einer härtlichen Schwellung, die ziemlich begrenzt war und sich wie eine Halbkugel anfühlte. Noch 4 andere waren härtlich, aber ihre Härte war nicht so genau begrenzt.“

Am 17. Februar traten Fieber- und Rachenerscheinungen hinzu, am 23. deutliche Drüsenanschwellung in der rechten Achselhöhle. —

Am 25. April wurde ein pustulöses Exanthem an Brust, Rücken, Unterleib bemerkt. Die Kranke klagte namentlich gegen Abend über Kopfschmerzen. Einige Cervicaldrüsen wurden fühlbar. Impfungen mit Pustelinhalt blieben erfolglos. Nach einigen Tagen verloren sich die Symptome; die Geschwüre waren inzwischen vernarbt, an 2 Stellen mit deutlicher Induration. Die Patientin wurde nach 4 Wochen, 5 Monate nach der Impfung als geheilt entlassen.

Die Kritik dieses isolirten, höchst bemerkenswerthen Falles ist sehr schwierig. In einem zweiten analogen Falle *Bidencaps* blieb das Resultat negativ. *Bidencap* selbst hält die Folgeerscheinungen nicht für Syphilis; *Boeck*, der an den Beobachtungen teil genommen hatte, spricht von einem Missverständnis. *Köbner* hingegen ist entschieden der Ansicht, dass es sich um Syphilis hier handelt.

Der specielle Modus der Uebertragung im gegebenen Falle ist in mehrfacher Weise denkbar: es ist erstens die Möglichkeit vorhanden, dass im Pusteleiter, sei es auch nur eines der Inoculationsschanker, welche das Mädchen benutzt hat, Syphiliskeime — die dem Secrete des ursprünglichen inficirenden Schankers entstammten —, ihre Lebensfähigkeit Generationen hindurch bewahrt hätten; es ist denkbar, dass diese Keime in einer vorhergehenden Reihe von durchseuchten Individuen ihre Wirksamkeit nicht entfalten konnten, bei der endlichen Inoculation des bis dahin syphilisfreien Mädchens ihre ursprüngliche Lebensfähigkeit geltend machten.

Zweitens ist an die Möglichkeit zu denken, dass das Mädchen mit dem Schankereiter zugleich Blut der syphilitischen Person sich inoculirt hat. Davon ist freilich in der Krankengeschichte nichts ausdrücklich angegeben. Der anfängliche Verlauf aber entbehrte ja der ärztlichen Beobachtung. Dass Blut syphilitischer Personen die Krankheit übertragen kann, steht fest. Das wesentliche der Doppelinfection des Mädchens würde nach letzterer Auffassung gegeben sein

1. durch den Pustelinhalt,

2. durch das Blut;

nach der ersteren Ansicht

1. durch den Pustelinhalt,

2. durch die Anwesenheit lebensfähig gebliebener Keime im Pustelinhalt, welche dem Secrete des primären inficirenden Schankers entstammten.

Diese Bluttheorie im Sinne von *Rollet* und *Laroyenne* erinnert an diejenige von *Viennois*.

„Der auf dem Träger oder einem bereits syphilitischen Individuum erzeugte ‚weiche‘ Schanker könnte nun auf ein gesundes Individuum auf doppelte Weise übertragen werden. Als weicher, ohne Syphilis zu erzeugen, wenn eben nur reiner Schankereiter eingepflegt wurde. Oder als gemischter Schanker, wenn nebst dem Schankereiter auch etwas ‚Blut‘ des Syphilitischen mit übertragen wurde.“

3) Das ursprünglich syphilitische Secret hatte eine grössere Anzahl von Personen passiert; vielleicht hat es seine spezifische Virulenz auf diesem Wege eingebüsst; — vielleicht hat es aber die etwa verlorene Ansteckungskraft auf diesem Wege wieder neu gewonnen:

Analog den Fällen von Vaccinationssyphilis, analog der Erklärung *Hutchinson's* konnte innerhalb des Impfkreises an den Impfstellen eines der durchseuchten Individuen die gleiche Reaction entstehen — congestive Hyperämie, Transsudation aus den mit syphilitischem Blute strotzend gefüllten Gefässen — kurz, es konnte eine Infection „von innen her“, das Secret eines Inoculationsschankers zu einem spezifisch syphilitischen machen. Es ist bekannt, dass *Clerc* selbst ursprünglich Dualist war; auch durch Behauptung des Chancroïde ward er der Lehre nur bis zu einem gewissen Grade untreu; nannte er zwar auch den weichen und harten Schanker Varietäten des syphilitischen Schankers, so lässt er doch immerhin:

- 1) nur unter besonderen Umständen den einfachen Schanker aus dem harten hervorgehen;
im allgemeinen aber betont er
- 2) die Eigenart in der Fortpflanzung beider Varietäten;
am chancroïde selbst hebt er hervor
- 3) in jedem Falle den durchaus localen Charakter desselben.

Trotzdem benutzten die Unitarier das chancroïde als eine Waffe gegen die Dualität wegen dieser nur partiellen Beschränkung der Fortpflanzungs-Spezifität. Diese Waffe wurde den Unitariern jedoch bald wieder entrissen,

- 1) wider seinen Willen durch *Kaposi* selbst, einen ihrer bedeutendsten Vertreter, auf Grund seiner oben angeführten Versuche,
- 2) im Jahre 1858 durch *Rollet* in Lyon mit seiner Lehre vom chancre mixte.

1859 war die Contagiosität der breiten Condylome, der constitutionellen Affectionen überhaupt, zum 1. Male durch Impfungen bewiesen. Die Befunde bestätigte in Paris *Ricord*; und bei dieser Gelegenheit trat er 1860 noch einmal unbedingt für die Dualität der Contagien ein.

Der bis dahin noch strittige Punkt, ob durch das Blut Syphilitischer die Krankheit übertragen werden kann oder nicht, wurde im bejahenden Sinne durch einen Fall beantwortet, den *Pellizari* in Florenz 1862 beobachtet hat. Derselbe betraf einen jungen Arzt, der nach 3 Wochen durch Impfung eine Papel, nach 2 Monaten ein Exanthem bekam.

Im Jahre 1859 gelangte man auch nach anderer Seite hin zu grösserer Klarheit. *Hunter* hatte bekanntlich in der Induration [das wesentliche des syphilitischen Primäraffects gesehen. Man nahm aber an, dass ein weiches Geschwür der Induration vorausgehe. Erst durch *Babington* in London und durch *v. Bärensprung* in Berlin wurde man vom Gegentheil überzeugt: „Die Induration, d. h. die Bildung eines syphilitischen Products“, sagt *v. Bärensprung*, „geht der Bildung des Geschwüres voraus“ (*Charité Annalen* 1860 Bd. IX pag. 186). Induration eines weichen Geschwüres betrifft entweder einen chancre mixte oder unter besonderen Umständen ein einfaches Geschwür allein. Ein weicher Schanker kann unter gewissen Verhältnissen hart sein oder werden: Syphilis tritt weder in dem einen noch in dem andern Falle ein.

1) Ein einfacher Schanker ist hart durch seinen Sitz; die natürliche Derbheit des Grundes lässt hart erscheinen die Schanker des sulcus coronarius, des orif. urethrae, sowie des margo praeputii und des margo labiorum pudendi.

2) Ein einfacher Schanker wird hart durch äussere Irritanten, durch gewisse therapeutische Eingriffe. Aus diesen Erfahrungen zog man zwei practisch wichtige Schlüsse: 1) Man hörte einmal auf, in so rein schematischer Weise die Induration als das differentiell-diagnostische Hauptmerkmal der Schanker anzusehen, vielmehr das letztere in dem Eintreten oder Ausbleiben von Allgemeinerscheinungen zu suchen. 2) Man wurde vorsichtiger im Diagnosticiren und Prognosticiren.

Analog den Versuchen *Kaposi's* war eine weitere Reihe von Impfungen an gesunden Personen ausgeführt: sie bezweckten im allgemeinen, die Contagiosität der constitutionellen Syphilis-

producte zu constatieren. Bewiesen wurde die Contagiosität des Blutes, der breiten Condylome, syphilitischer Tonsillitiden.

Sehr wichtig für die allgemeine Aetiologie der venerischen Krankheiten sind die Beobachtungen, welche sich auf pathologische, an sich nicht syphilitische Secrete constitutioneller Kranker beziehen. Beschrieben ist nach dieser Richtung:

1) das Verhalten der weichen Geschwüre syphilitischer, ferner 2) die Vaccinationsfrage. Aehnlich — wechsellvoll in ihren Impfungsresultaten verhalten sich 3. Acne- und Ekzem-Erkrankungen Syphilitischer; in gleicher Weise verliefen 4) die Versuche, die man mit Trippereiter machte.

Man hatte, wie erwähnt, durch *von Bärensprung* erfahren, dass der syphilitischen Initialsclerose die Geschwürsbildung nachfolgt. Man hatte früher durch *Ricord*, später durch *Bärensprung* von nicht syphilitischen Indurationen gehört. Die Syphilis beginnt als spezifisches Infiltrat; dieses kann bestehen: 1. in einer typischen Sclerose, 2. in einer dünneren Pergament-induration, 3 in einem indurativen Oedem, 4. in einer Impfpapel. In seltenen Fällen wird die Syphilis eingeleitet durch ein 5. weiches Geschwür. Bisweilen ist die Stätte der Infection 6. nur durch eine oberflächliche Rhagade, eine seichte Erosion gekennzeichnet. Endlich sollen alle äusseren Merkmale 7. angeblich fehlen können — Syphilis d'emblée. Den Gegensatz zur letzterer Form bilden diejenigen Fälle, in denen es zur Entwicklung eines typischen Primäraffects zwar kommt, die allgemeine Symptome der Syphilis aber ausbleiben. Endlich hat man Gesunde mit syphilitischem Secret inficirt, und es kam 8. zu einer sehr heftigen bis brandigen localen Reaction ohne allgemeine Symptome.

Alle diese Beobachtungen und Fälle sind von wissenschaftlichen Autoritäten vertreten.

Trotzdem werden Fälle wie die der Syphilis d'emblée einerseits, der durch typische, ja sehr stark ausgebildete Primäraffecte gekennzeichneten Form andererseits, in welchen letzteren die constitutionellen Symptome ausblieben — alle diese Fälle werden nie ganz einwurfsfrei sein; die Verkenennung der geringfügigsten, aber sehr bedeutungsvollen Symptome lässt sich eben nicht ganz ausschliessen. Gegenstand einer überaus heftigen Polemik wurden diejenigen Fälle von constitutioneller Syphilis, die mit incubationslosen Pusteln und weichen Geschwüren begonnen hatten.

1) In erster Linie steht hier der schon mehrfach erwähnte Syphilisationsfall von *Danielssen* in Bergen, der sich auf einen Leprakranken bezieht. Nach nahezu 400 Schankerinoculationen wurde der Patient mit dem Secrete eines Schankers geimpft, „der später indurirte.“ (*Bäumler* pg. 103). Nach 3 Tagen entstand eine Pustel, mit deren Inhalt man weiter impfte. Der Patient wurde „immun“. Alle Geschwüre verheilten. Da brach eine Narbe auf und verwandelte sich in ein hartes Geschwür; nach einem Monat heilte dasselbe, hinterliess aber eine harte Narbe. Nach einigen Wochen erkrankte der Patient mit den allgemeinen Symptomen der Syphilis. Hier hat es sich allem Anschein nach in Bezug auf die letzte Impfquelle um einen chancre mixte gehandelt.

2) Ferner gehören hierher ältere Fälle von *Wallace*; aber sie sind nicht stichhaltig, weil sie einer Zeit angehören, die von der Identitätslehre *Hunter's* beherrscht ward. Ein Anhänger derselben — unterschied *Wallace* die Impfquellen gewiss nicht mit genügender Schärfe. Zudem soll es sich nach *Bäumler* um indurierende weiche Geschwüre hier handeln.

3) Endlich hat *Vidal* ein Inoculationsexperiment gemacht mit dem Pustelinhalte eines secundären Products. Schon am Tage der Impfung zeigten sich örtliche Reizerscheinungen; nach 2 Wochen heilten die Ulcerationen; nach weiteren 3 Wochen bildeten sich wiederum Pusteln, und jetzt folgte allgemeine Syphilis nach. Offenbar hatte es sich hier um eine exquisit eiterige Impfmaterie gehandelt. Dass aber ein stärkerer Eitergehalt die Wirkungen der Impfung beeinflusst, zeigten schon oben die Versuche von *Lee*, *Köbner*, *Pick*. *Kaposi* u. s. w.

4) Der Fall von Syphilisation eines Lupuskranken auf der Klinik *Hebra's* ist ebensowenig vollgiltig. Hier wurde der Kranke vor Eintritt der Immunität nach 369 Inoculationen von einem ausgesprochen syphilitischen Exanthem befallen; „auch da haben wir keine Garantie dafür, dass die venerischen Geschwüre nie ein syphilitisches Individuum passirten.“ (*Lang*).“

Durch diese Fälle: syphilis d'emblée, weiches Geschwür mit oder ohne nachfolgender Syphilis, indurirendes weiches Geschwür — Fälle, in denen es sich um Einimpfung syphilitischen Giftes auf nicht syphilitische handelt, — glaubten nun die Unitarier die Dualität wirksam bekämpfen zu können. Mit diesem Material, dem sie das chancroide *Clerc's* hinzufügten, wandten sie sich

gegen das Fortpflanzungsgesetz *Ricord's* — die Lehre in ihrem Kerne angreifend. Sie stützen sich hierbei auf Impfungen, Confrontationen, Klinik, Anatomie. So berufen sie sich auf die Beobachtung *Morgan's* in Dublin, der harte Geschwüre seiner weiblichen Spitalranken für eine sehr grosse Seltenheit erklärt, der ferner weiche Geschwüre solcher Frauen als sehr häufige Infektionsquelle für exquisit harte Schanker männlicher Individuen ansieht.

Die Hauptgedanken der Unitarier giebt *Kaposi* wieder: Der Schanker verläuft in der Regel local, hat aber gar nicht selten allgemeine Syphilis zur Folge; er beginnt sodann weich und indurirt;

2. der harte Schanker beginnt meist weich, oft schon am 3.—5. Tage, indurirt meist von der 2.—3. Woche an, ruft in der Regel, aber nicht stets, allgemeine Syphilis hervor, mehrere Sclerosen können sich gleichzeitig oder kurz hintereinander an demselben Individuum entwickeln.

3. Spricht *Kaposi* von einer Transformatio in situ in dem Sinne, dass weiche Schanker und Pusteln an Ort und Stelle in charakteristische Papeln sich umwandeln können, mit regionärer Vermehrung der letzteren durch Antoinoculation sowie mit nachfolgender allgemeiner Syphilis;

4. Spricht er von den mit weichen Schankern identificirten Geschwüren, die man durch Abimpfung von stark eiternden syphilitischen Knoten und Papeln hervorrufen kann, er erwähnt das chancroide Clerc's, die Impfungen mit secundären Producten und Blut, die zumeist ein papelartiges Knötchen zur Folge haben; er betont die grosse Häufigkeit des syphilitischen Primäraffects in Gestalt einer Papel, eines sogen. breiten Condyloms;

5. Endlich hebt *Kaposi* die syphilis d'emblée hervor; er erwähnt das häufige Vorkommen von Genitalaffectionen als phagedänische, diphtheritische Geschwüre, als Erosionen — érosion chancreuse. Diese Gedanken giebt *Kaposi* in 14 Lehrsätzen wieder — die Hauptangriffspunkte bilden die scheinbaren Abweichungen von der Specificität der Fortpflanzung. In Betreff des weichen Schankers stimmen beide Parteien in dreifacher Beziehung überein; diese bedeutet: 1. Contagiosität, 2. Incubationslosigkeit der Affection, 3. lokalen Verlauf derselben — mindestens in der Regel.

Wenn man in die Haut einen punktförmigen Einstich mit Schankereiter macht, so zeigt sich an der Impfstelle oft schon nach wenigen Stunden eine umschriebene Rötung. Am 1.—2. Tage entsteht ein Knötchen von der Grösse eines Hirsekorns dessen Spitze sich gelblich verfärbt. Aus dem Knötchen entsteht eine bis erbsengrosse Pustel: diese platzt; so entsteht am 3.—5. Tage das Schankergeschwür. Der Impfschanker ist ein rundes, scharfrandiges Geschwür; er erscheint wie gemeisselt, wie „mit dem Locheisen herausgeschlagen“ aus dem Gewebe. Seine Ränder sind bisweilen leicht gezackt, wie angenagt, steil abfallend, oft unterminirt. Sie sind entzündlich gerötet, leicht verdickt und vorgewölbt. Eine rote Zone umgibt sie. Bei der Berührung schmerzen und bluten sie leicht. Die Verdickung der Ränder wird hervorgerufen durch eine zellige Infiltration namentlich der Hauptpapillen. Durch Zerfall der Zellen kommt es zu Auszahnung und Unterminirung der Ränder. Der Geschwürsgrund ist uneben, höckerig, gleichfalls wie zernagt. Ränder und Grund sind von einer graugelben Farbe. Die Oberfläche des Geschwürs ist nekrotisch; die Nekrose greift um so tiefer je weniger Widerstand ihr die Gewebe bieten. Aus der verschiedenen Grösse dieser letzteren erklärt sich die Unebenheit des Grundes. Dem Grunde entstammt das Secret. Dasselbe pflegt anfangs ziemlich flüssig zu sein, namentlich bei Gegenwart von Borken und Krusten, welche die Verdunstung des wässerigen Secretanteils verhindern. Oft ist es etwas blutig tingirt. Es enthält vor Allem verfettete zerfallende körperliche Elemente, weisse Blutkörper, Detritus. Am Ende der 1. Krankheitswoche ist das Geschwür etwa linsengross; es wächst bis zum Ablauf der 6. Woche: die Zerstörung greift um sich peripher und in die Tiefe. Der Defect ist oft von Pfennigstückgrösse. Im Anfang der 7. Woche, oft schon früher beginnt Tendenz zur Heilung sich geltend zu machen. Das Gewebe, dem das Geschwür aufsitzt, wird eine Stätte reicher Gefässbildung. Von hier aus steigen zahlreiche Gefässschlingen herauf. In immer grösserer Zahl sprossen rote Fleischwärtchen hervor. Die Masse des Secrets nimmt ab, seine Consistenz nimmt zu. Innerhalb des fleischroten Geschwürmantels, der das Niveau des Grundes erhöht und die Tiefe des Defects ausgefüllt hat, sind nur noch vereinzelte, winzige, graugelbliche, zurückgesunkene Stellen sichtbar, die einen spärlichen, dicken Eiter absondern. Die Rän-

der werden abgeflacht; waren sie unterminirt, so legen sie sich jetzt dem Grunde an; Granulationen machen sie an den letzteren adhaerent.

Mit den entzündlichen Vorgängen im Papillarkörper der Ränder geht jetzt ein epidermales Wachstum Hand in Hand. Von der Peripherie aus schreitet die Ueberhäutung zum Centrum fort; das Geschwür heilt mit Hinterlassung einer weichen Narbe. Gleich der Secretmasse nahmen vom Beginne der Reinigung an Schwellung, Rötung und Schmerzhaftigkeit successive ab. Die Verheilung des Impfschankers fällt etwa mit dem Ende der 8. Krankheitswoche zusammen. „Un ecthyma à tendance destructive et à pus contagieux“, so nennt ihn Ricord.

Der acquirirte Schanker bringt in das Schema des Impfschankers viele Erweiterungen und Defecte. Immer aber handelt es sich um einen entzündlichen contagiösen Gewebsprocess mit Tendenz zum Zerfall. Man unterscheidet zwei Hauptstadien, deren Erklärung in ihrem Namen liegt:

1. ein stadium destructionis.
2. „ „ reparationis.

Ersteres dauert 4—6 Wochen, letzteres nur 2 Wochen im Durchschnitt.

Jullien unterscheidet eine:

- I. période de préparation,
- II. „ „ début,
- III. „ d'état,
- IV. „ de déclin.

Das allererste Stadium entzieht sich meist der Beobachtung. Die Kranken kommen in der Regel erst dann zum Arzt, wenn sie die Affection selbst wahrgenommen haben, oder gar erst dann, nachdem sie Beschwerden, Schmerzen hatten. Wenn nun Fournier und Le Fort den Krankheitsbeginn zumeist auf das Ende der 1. Woche verlegen, so ist die Incubation trotzdem nur eine scheinbare — „cette apparente incubation ne serait donc, suivant le mot de Ricord, une période d'inobservation (*Jullien* pg. 349)“.

Schon im Beginne der Erkrankung sieht man eine nicht unerhebliche Verschiedenheit. Verletzungen an den Genitalien — seien sie nun schon vor dem Coitus, seien sie erst durch Vollziehung desselben entstanden — eine Wunde, eine Zerreissung geben den Geschwürs-Boden ab. Da derartige Laesionen offene

Defecte darstellen, beim Impfschanker aber die Materie zwischen die oberen Schichten der Haut eingeführt ward, so ist es begreiflich, dass hier an epidermisberaubten Stellen von einer epidermalen Abhebung, von Pustelbildung nicht die Rede sein wird.

Da der Zufall ferner hier freier peripheriewärts fortschreiten kann, so werden die Ränder weniger steil, das Geschwür selbst oft flacher erscheinen. Die Form der zu Grunde liegenden Verletzung wird massgebend sein für die Form des Geschwüres. So entspricht einem scharfen Riss beispielsweise ein längliches Geschwür.

Die initiale Pustelform kommt am regelmässigsten dort vor, wo seine Entstehungsstätte ein Follikel ist. In der Fossa coronaria glandiserkranken leicht die Ausführungsgänge der Drüsen: es entsteht eine Pustel, ähnlich einer acne-Pustel. Follikulargeschwüre mit initialer Pustelbildung sieht man ferner an der Innenfläche der grossen Labien. Schon diese beiden Beispiele leiten auf die Bedeutung der Lokalität für den Schanker hin.

Der Schanker sitzt weitaus am häufigsten an den Genitalien;

1) beim Manne vorzüglich an Vorhaut und Eichel, und zwar erscheinen hier besonders bevorzugt: a) Vorhaut, Rand-, Innen Blatt, Bändchen einerseits, b) Oberfläche der Eichel und sulcus coronarius anderseits.

2) Beim Weibe sieht man den Schanker im allgemeinen am häufigsten dort, wo die direkte Berührung des penis die Infektion vermittelt; — im speciellen vorzüglich a) in fossa navicularis, vestibulum vaginae, b) an den kleinen, am innern und untern Teile der grossen Schamlippen, am frenulum labiorum. Fernerhin findet man den Schanker nicht selten an der Haut des penis, am mons Veneris, am scrotum und anus, an der Oberschenkelhaut. Brustwarzen der Frauen; Finger der Aerzte und Hebammen werden zuweilen inficirt; seltner Lippe, Gesichtshaut, Zunge; überaus selten Wangen- und Gaumenschleimhaut.

Von diagnostischer Bedeutung ist die Multiplicität des Schankers. Der chancre multiple ist zumeist Folge von Anuroinfection.

Secretmasse, Zartheit der Haut, Reinlichkeit, Localität spielen hier eine Rolle. Am meisten gefährdet sind diejenigen

Körperteile, welche der Geschwürsgegend an- oder gegenüber liegen.

Besonders günstig für die Vermehrung sind:

1. die einander berührenden Schamlippen,
2. inneres Vorhautblatt und Eichel,
3. sulcus coronarius,
4. gegenüber- oder anliegende Flächen von penis und scrotum,
5. von scrotum und Oberschenkelhaut.

Die Schanker vermehren sich gewöhnlich in grösseren Zahlen und in Generationen. Abgesehen von der Autoinfection kommt es zur Multiplicität durch mehrere primäre Laesionen, die theils vor dem Coitus, theils durch ihn entstanden. Eine besonders bemerkenswerthe Ursache ist der herpes genitalis.

Die Vermehrungsziffer der Schanker nimmt gegen Ende des destructiven Stadiums ab, proportional etwa dem Schwunde der Contagiosität des Eiters.

Im ganzen findet man bei Frauen höhere Zahlen als bei Männern; weit über 70 werden angeführt. Berühmt ist ein Fall, in dem ein therapeutischer Missgriff zur Vermehrung der Schanker Anlass gab. Bei Paraphimose und starkem Oedema praeputii sacrificirte ein Charlatan, der das zu Grunde liegende Schanker-geschwür übersah, die Vorhaut. Jede Wunde ward ein Schanker; die Geschwüre confluirten; der Kranke verlor ein grosses Stück seines praeputiums.

Der Schanker kann recrudesceiren, Wie man von einer Recrudescenz des Typhus spricht, wenn während der Deferrescenz die Temperatur wieder aufsteigt, so gebraucht man hier diesen Ausdruck, wenn im Reparations-Stadium der Schanker von neuem zum Zerfall tendirt. Noch nach ausgedehnter Bildung von Granulations-, ja von Narbengewebe kann ein einziger Eitertropfen — sei es desselben, sei es eines Nachbargeschwüres — Anlass einer Recrudescenz werden. Als Eiter-Réservoirs sind bevorzugt die Drüsen des collum uteri; hier recrudesceiren Geschwüre sehr leicht.

Nach Lösung eines Aetzschorfes kommt es bisweilen zu einer noch beträchtlicheren Geschwürsentwicklung wegen des grösseren Umfanges der neu inficirten Cauterisationsfläche.

Man sprach von einer Chronicität des Schankers. Das

Wesentliche liegt hierbei in einer grossen Ausdehnung des destructiven Stadiums.

Sonstige Anomalien fehlen hierbei;

Hemmungsursachen der Heilung sind nicht bekannt. Man beschrieb den chronischen Schanker bei Frauen — namentlich in der Gegend der hinteren Commissur und der Harnröhrenausmündung. Urethralperforationen, Anus- und Rectalfisteln giebt man als Folgezustände an. Contagiosität soll fehlen. Sperino in Mailand hat diese Formen beobachtet. Jullien denkt an Verwechslungen mit Ekzem, syphilitischen Spätformen, Epitheliomen u. s. w.

Der Schanker kann auf Haut und Schleimhaut mit oder ohne Pustelstadium beginnen. Bisweilen fängt er als Folliculargeschwür an.

Die Schleimhautpusteln platzen meist ausserordentlich schnell; überhaupt erreicht der Schankerprocess auf Schleimhäuten meist eine geringere Tiefe. Selten ist ein bullöser Beginn — wie ihn *Fournier* an der äusseren Fläche der grossen Schamlippe beschreibt. Die abscessartige cystirte, phlegmonoese Form lässt *Jullien* nicht gelten: er vermutet hier eine abscedirende Lymphangitis allerdings chancrösen Urprungs. Ricord hat sie veröffentlicht (Ricord: Lettres sur la Syphilis.)

Das Verhalten der Granulationen wirkt bestimmend auf den Charakter des Geschwürs. 1) Erheben sie sich in üppigem Wachstum über das Niveau der Umgebung — so spricht man von einem *ulcus elevatum*,

Die Contagiosität eines derartigen *ulcus* ist von längerer Dauer. Der verzögerte Heilungsprocess kommt erst dann zum Abschluss, wenn nach neuem Eintritt des destructiven Stadiums schliesslich an Stelle der Wucherungen normale Granulationen sich entwickeln.

Fungöse Geschwüre hat man mehrfach am *collum uteri* beobachtet.

2. Langsame Entwicklung trockner, leicht blutender Granulationen, spärliche dünne Secretion, Abwesenheit fast aller Zeichen der Entzündung — dieser Symptomencomplex ist charakteristisch für die sogen. Atonie des Schankergeschwürs.

3. Sprossen endlich unter den Rändern die Granulationen auffallend üppig hervor, so dass erstere wallartig emporgeschoben

werden, gewinnt dieser Saum durch massigere Infiltration an Derbheit — so spricht man von einem ringförmigen Geschwür.

Die Tiefe der Zerstörung ist selbstverständlich verschieden. Kraterförmige Geschwüre sieht man in dem lockeren fettreichen Gewebe des mons veneris. Flache Formen in dem derben dichten Integumentum penis. Bei seichter Geschwürsbildung zerfällt der Papillar-Körper nur in seinen oberen Lagen; tiefe Ulcerationen zerstören cutis und mucosa, subcutanes und submucöses Gewebe bis zum totalen Schwunde einzelner Organtheile selbst. Die flachen Geschwüre hinterlassen weichere Narben. 1. Anatomie des Bodens, 2. Tiefe der Laesion, 3. Constitution und Verhalten des Kranken, 4. Dauer und Behandlung der Affection, 5. — vielleicht auch eine specifische Eigenthümlichkeit des inficirenden Secrets — sind hier die einflussreichen Momente. Häufig sieht man die tiefen Formen bei herabgekommenen unreinlichen Kranken.

1. Der Flächenschanker, *ulcus laeve specificum*, die seichte Form des Schankers ist von mittlerer Grösse. Man sieht ihn meist am Integument des penis und der labia maiora, sowie im vestibulum vaginae. Er besteht oft monatelang; er ist bald rundlich, bald unregelmässig geformt. Sein Grund ist intensiv roth und sondert ein spärliches dünnes Secret ab.

Die Ränder sind wenig erhaben, aber scharf. Lebhaftes Granulirung leitet schliesslich seine Vernarbung ein.

2. Der seichteste Schanker ist der verbrühungsähnliche Schanker — *ulcus ambustiforme*. Er gleicht einer Abschilferung oder einer leichten Verbrennung: er stellt eine rothglänzende, nässende, scharf abgesetzte bis thalergrosse Schrunde dar. Er ist von hartnäckiger Dauer. Man findet ihn im introitus vaginae, an der Eichel, am praeputium.

Bisweilen bleibt der Heilungsprocess andauernd räumlich beschränkt. Nach oben oder unten, central- oder peripherwärts schreitet der Zerfall in Bogenlinien weiter, im übrigen granulirt und vernarbt das Geschwür. Ein derartiges *ulcus serpiginosum* kann sich jahrelang in Schlangenwindungen über einen grossen Theil des Körpers schliesslich dahinziehen. Bisweilen kehrt es zum Ausgangspunkt zurück. Man spricht von wahrer oder falscher Serpiginosität, je nachdem die Zone des Zerfalls nach oben oder unten gerichtet ist. Letzteren Fall betrachtet man als Antoinoculation und macht diese in hohem Grade von der Reinlichkeit des Kranken abhängig.

Dem atonischen Schanker steht die erethische Form gegenüber. Dort fehlen die Symptome der Entzündung fast gänzlich — hier treten sie auffallend hervor:

1. äusserste Schmerzempfindlichkeit,
2. dunkle Röthung der Affection selbst wie ihrer Umgebung,
3. Schwellung,
4. erhöhte Derbheit der ganzen Gewebspartie,
5. Neigung zu Blutungen. Letztere sind zuweilen sehr beträchtlich. Das Geschwür wächst schnell.

Die Symptome kommen, schwinden und kehren in rascher Reihenfolge wieder. An erethischem Schanker leiden namentlich vollblütige, leidenschaftliche, excedirende, unreinliche Menschen; auch unzeitige Aetzungen hat man als Ursache beschuldigt.

Im Beginn der Reparation, bei noch spärlicher Granulirung bedecken sich zuweilen Grund und Ränder mit einem grauen bis gelbweissen zähen, der Unterlage fest adhärennten Belage von membranartiger Beschaffenheit. Diese Eigenthümlichkeit kann sich monatelang erhalten. Man spricht von einer Diphtherie des Schankers. Das spärliche dünne rasch eintrocknende Secret ist nicht überimpfbar. Bisweilen kommt es zu einer stärkeren Infiltration von Grund und Rändern. Schliesslich leitet Einschmelzung der Membranen die Heilung ein. Eine sehr ernste Complication ist Gangraen und Phagedaenismus des Schankers. Hier kommt es zu einem massenhaften Zerfall, sowohl der Affection selbst, wie ihrer Umgebung.

Oft treten schwere fieberhafte Allgemein-Erscheinungen hinzu. Von einem phagedaenischen, von einem fressenden Schanker spricht man, wenn der Zerfall rapid peripherwärts fortschreitet.

In einem Theil der Fälle spielt eine Rolle locale Ischaemie durch Phimose, Paraphimose; ferner Constitution, Lebensweise, Beruf. Man findet diese Affectionen auffallend häufig bei Potatoren — von einem *ulcus vino* — phagedaenicum spricht *Ricord*; bei Fleischern, bei Leuten überhaupt, die viel mit thierischen Abfällen zu thun haben (*Finger*, pag. 200), bei anämischen und tuberculösen. Eine Mercurialbehandlung soll besonders prädisponirend wirken. Auffallend häufig sind diese Formen beim Weibe. Der Vorgang ist folgender: Die Eitersecretion eines scheinbar normalen Geschwürs versiegt. Grund und Ränder bedecken sich mit einer schwärzlich-grünen, zunderartig-mürben Masse, die sich von ihrem Boden nicht abziehen lässt — trockene

Gangraen. Die centrale Masse erweicht zu einer misfarbigen Schmiere; ein dünnes stinkendes Secret wird abgesondert — feuchter Brand. Die umgebenden Gewebe sind oedematös, geröthet, schmerzhaft. Innerhalb der demarkirenden Zone stösst sich der Schorf in Fetzen ab. Von allen Seiten erfolgt Granulationsbildung und Vernarbung.

Unter den gefürchteten Blutungen bei Gangraen und Phagedaen ist berüchtigt die der schwer zu unterbindenden art. dorsalis penis. Die Impferfolge bei Phagedaen sind negativ wie bei Diphtherie. Folgezustände sind die hochgradigsten Defecte im weiblichen Genitalapparat, beim Manne Verlust der glans und so fort.

Zwischen Gangraen, Phagedaen, Diphtherie und Serpiginosität gibt es allerlei Uebergänge. So spricht man von einfach phagedaenischem, phagedaenisch-diphtheritischem, serpiginös-phagedaenischem Schanker.

Und auch hier unterscheidet man wieder Formen mit falscher und wahrer Serpiginosität. *Zeissl* sagt, dass erstere namentlich in der fossa coronaria und an der Innenfläche der grossen Schamlippen vorkommt (*Zeissl*, pag. 93).

Kaposi macht darauf aufmerksam, dass aus dem serpiginösen Schanker, wie aus dem Flächenschanker zuweilen Epithelialcarcinom hervorgeht (*Kaposi*).

Bisweilen wird ein ulcus molle durch ein hinzutretendes Erysipel complicirt. Eigenthümliche Röthung, Schwellung, Spannung, Glanz, fieberhafte und gastrische Symptome werden die Diagnose ermöglichen. Complicationen eines ausgebildeten destruirenden Schankers durch eine frische gonorrhoeische Infection ist wegen Schmerzhaftigkeit u. s. w. des ersteren im umgekehrten Verhältnisse häufiger, immerhin — namentlich im Anfange und gegen Ende des Processes recht wohl möglich.

Möglich ist auch eine mehr oder weniger gleichzeitige doppelte Complication durch Syphilis und Gonorrhoe. Complicirende Ausflüsse der urethra müssen den Verdacht an einen Harnröhrenschanker erwecken. Handelt es sich um eine Doppelinfection desselben Ortes mit Schanker und Syphilis zugleich — so wechselt das anatomische Bild je nach der zeitlichen Differenz der Ansteckungstermine. Fallen diese beiden zusammen, so manifestirt sich die Syphilis noch im Destructions- oder im Reparationsstadium: Grund und Ränder werden hart. Das Geschwür

heilt. Die Verhärtung nimmt zu. War das Geschwür schon verheilt, so indurirt die Narbe.

Gar nicht selten aber wird der Schanker zu einer Complication der Sclerose. Das Geschwürscontagium kann einen oberflächlichen, tiefen, gangränösen Zerfall der Induration bewirken. Bisweilen wird das indurirte Gewebe ausgehöhlt von dem Schankergeschwür, so dass letzteres „wie von einer harten Schale umgeben wird“ (Zeissl).

Unter den Folgeerscheinungen des weichen Schankers steht in erster Linie die Lymphadenitis — der Schankerbubo. Ihre Entstehung wird durch die Lymphgefässe vermittelt. Trotzdem erkranken die Lymphgefässe selbst seltner als die Drüsen. Bei der schankrösen Lymphangitis handelt es sich um einen exquisit entzündlichen Process. Es erkranken Capillaren wie grössere Stämme. Lieblingsstätten sind:

1. dorsum, Seitentheile des penis, frenulum praeputii;
2. grosse Schamlippen beim Weibe;
3. extragenital — obere Extremität.

Auf dem Rücken des penis sieht und fühlt man deutlich einen oft ungleichmässig gerötheten und geschwollenen Strang; häufig gleicht er einem Rosenkranz. Bisweilen ist seine Umgebung infiltrirt — Perilymphangitis. Mit den isolirten Anschwellungen, bubonuli, verlötet die Haut; erstere können abscediren. Durchbruch nach aussen enthüllt ein typisches Schankergeschwür — Nisbeth'scher Schanker. Oft tritt Resorption ein. Ein abscedirendes Lymphgefäss braucht im ganzen längere Zeit zu seiner Heilung, als eine abscedirende Drüse. Das Dorsalgefäss des penis theilt sich an seiner Wurzel in zwei Stränge; diese verlaufen zu den Leistendrüsen.

Beim Weibe nehmen letztere die beiden Stränge der labia maiora auf. Die Lymphadenitis inguinalis stellt den Typus des Schankerbubo dar. Seine Ursache ist jedesmal ein Schanker der Peripherie; er entsteht fast stets innerhalb der ersten Wochen, selten nach Vernarbung des Geschwürs. Das idiopathische Vorkommen von Schankerbubonen ohne periphere Laesion als bubons d'emblée nach Vidal de Cassis, Diday u. a. ist nach Virchow unmöglich. Der Leistenbubo entwickelt sich von Erbsengrösse zu einer ansehnlichen, schmerzhaften, harten Geschwulst. Die darüberliegende Haut röthet sich. Der Tumor verlötet mit ihr wie mit Unterlage und Umgebung. Die zellig infiltrirte Drüsen-

substanz schmilzt eiterig ein; die Kapsel, das Gewebe der Peripherie zerfällt.

Höhere Fieberbewegung, stärkere Rötung, Fluctuation kennzeichnen diesen Process. Vorwölbung, circumscripte livide Verfärbung, Abschilferung der Epidermis signalisiren die Perforation. Der perforirte Bubo bildet sich zum Hautschanker um. Sein weiterer Verlauf dauert mindestens noch einen Monat; alle Complicationen des Schankers können auch ihn treffen und seine Heilung verzögern.

Die Vernarbung erfolgt theils inselartig, theils von den Rändern her. Impfversuche sind meistens nur dann positiv, wenn man die Materie den tiefgelegenen Einbuchtungen des Grundes entnimmt. Eine ganze Reihe von Drüsengruppen kann von dieser Krankheit ergriffen werden.

Die Drüsen oberhalb und unterhalb des Poupart'schen Bandes, ausser- und innerhalb der Fascie, sowie an der inneren Fläche des Oberschenkels, um die Einmündungsstelle der vena saphena durch die lamina cribrosa (Kaposi, pag. 75); die Drüsen längs der grossen Gefässe, die Psoasdrüsen; fast alle können bald nach einander erkranken. Extragenital sind wichtig Submaxillar-, Axillar- und Cubitaldrüsen. Der Schankerbubo heisst auch „Drüsenschanker“, acuter eiternder, suppurativer, virulenter Bubo. Die syphilitischen, chronischen, indolenten Bubonen verhalten sich zum Drüsenschanker wie die syphilitische Lymphangitis zu der schankkrösen. Von den indolenten Bubonen hat *Ricord* gesagt, dass man aus ihnen die syphilitische Natur des Primäraffects erschliessen könne (*Ricord*, Lettres sur la Syphilis). Für sie ist charakteristisch ihre auffallende Härte ohne Tendenz zur Abscedirung, ihr doppelseitiges Auftreten. Der Schankerbubo tritt einseitig auf und zwar auf der dem Schanker gleichgerichteten Seite. Hiervon gibt es aber Ausnahmen:

1. Die Communication der Lymphbahnen erklärt ein gekreuztes Vorkommen;
2. zweitens gibt es doppelseitige Schankerbubonen — auch mit indolentem Verlauf;
3. andererseits gibt es einseitige syphilitische Bubonen;
4. doppelseitige indolente Bubonen können jederzeit ihren Charakter verändern, in ein acut eiteriges Stadium eintreten. Diese Ausnahmen sind selten.

Die Schankerbubonen Tuberculöser sind meist sehr umfangreich und erstrecken sich über ganze Drüsengruppen.

Bisweilen betrifft die Einschmelzung vorwiegend das peri- und interglanduläre Gewebe: es entstehen die an Fistelgängen reichen strumösen Bubonen. Isolirte Durchbruchsstellen eines Bubo's täuschen multiple Bubonen vor. Fistelgänge sind im ganzen gefürchtet. Gangraenöse Bubonen können durch Arrosion der art. cruralis den Tod herbeiführen. Andererseits können sehr grosse Defecte granuliren und heilen. Constitution, Tuberculose, Cachexien jeder Art, allgemeine hygienisch-diätetische Verhältnisse beeinflussen den Verlauf der Erkrankung. Namentlich scheint die Beschaffenheit der Wohnräume von Bedeutung; Ricord glaubte hier sogar einen causalen Zusammenhang mit Nosocomialgangraen zu sehen. Wenn man eine inficirte isolirte Drüse betrachtet, so sieht man die Kapsel incirrt, die Rinde zuweilen geröthet. Die Medullarsubstanz ist markig, oft von Haemorrhagien durchsetzt. Späterhin erscheinen Cortical- und Medullargewebe in eine gleichförmige Masse umgewandelt (Birch-Hirschfeld II. pg. 121, 122). Bei Abscedirung und Durchbruch tritt wie beim Schankergeschwür die Gewebsmortification in den Vordergrund. Dem abgesonderten Secrete hat man ätzende Eigenschaften zugeschrieben; hierauf bezog man die eigenthümliche Ausnagung der Hautränder.

Die Schanker der verschiedenen Localitäten zeichnen sich zum Theil durch besondere Eigenthümlichkeiten aus. Die Vorhautschanker sind gekennzeichnet durch Multiplicität, Neigung zur Gangraen, complicirende Phimose und Paraphimose.

Die Randgeschwüre zeigen oft die Symptome der entzündlichen Induration ausserdem; ihre Narben ziehen den margo praeputii oft nach innen. Am innern Blatte sieht man hin- und wieder ein ulcus elevatum mit indurirtem Grunde, häufig ambustiforme Geschwüre.

Die Vorhaut-Fensterung wurde erwähnt. Der Schanker des frenulum sitzt meist in einer seitlichen Krypte desselben — oft wird das frenulum durchbohrt — ulcus perforans.

Das frenulum kann wieder vernarben. Häufiger ist seine Zerstörung; nicht selten bildet die Zerreißung des Bändchens die Gelegenheitsursache zur Infection. Zu berücksichtigen ist hier die art. frenuli.

Die Geschwüre des *integumentum penis* — namentlich an der Wurzel — sind seltner als die der Vorhaut. An 2. Stelle sind sie mit Furunkeln zu verwechseln. Weiter vorn beobachtet man ziemlich ausgedehnte, meist ovale Flächenschanker.

Die Geschwüre der Eichel sind theils primäre, theils secundäre, letztere sind Inoculationsproducte der Praeputialschanker. Hier wie im *sulcus coronarius* sieht man multiple Folliculargeschwüre, im *sulcus* oft perlschnurartig. Vom letzteren Orte aus dehnt sich der ulceröse Process im subcutanen Gewebe bis zur Wurzel des penis aus. Im *sulcus* und auf der Eichel kommen vielerlei Complicationen in Betracht; vorzüglich Gangraen, Blutungen u. s. f. Flache Formen sind hier häufig. Der Schanker des Harnröhreneingangs sitzt bald an einer, bald an beiden Lippen; er kann in die *fossa navicularis* hineinragen oder dort allein localisirt sein. Diese im ganzen nicht seltenen Schanker, wie die der *glans*, des *margo* und *frenulum praeputii* werden bisweilen mit syphilitischen Indurationen verwechselt. Die vorderen Harnröhrenschanker ziehen den Eingang trichterförmig nach innen.

Der seltene endo-urethrale chancre larvé macht wie der soeben beschriebene die Symptome eines Trippers. Die Scrotalschanker haben wenig charakteristisches.

Die weiblichen Genitalschanker sind sehr tief in *mons veneris* und *labia maiora*; an letzterer Stelle sind sie oft Folliculargeschwüre, nach der Inguinalfalte zu sind sie meist längsoval in der Axe der Lippen. Die Schanker der *labia minora* verursachen geringeres Oedem als die zuletzt genannten; sie fühlen sich zuweilen hart an.

Die Schanker der *vulva* tendiren zur Gangraen. Selten sind die Schanker im vorderen Theile der Scheide; häufiger sind die des *collum uterinum*. Hier wie auf den grossen Schamlippen beginnen sie als Pusteln; sie verlaufen sehr schnell; sie sitzen meist auf beiden Lippen der *portio*, bisweilen auch intracervical. Oft sind sie klinisch fast symptomlos; sie sind leicht zu übersehen. Ihre Absonderung ist spärlich. Sie sehen gelblich aus; nur die Ränder sind lebhaft geröthet. Bisweilen treten heftige Entzündungserscheinungen mit Blutungen hinzu; hin und wieder Metritis.

Der Analschanker ist beim Weibe häufiger als beim Manne; er entsteht theils durch widernatürlichen Coitus, theils durch Antoinoculationen. Meist sitzt er in den radiären Falten

des anus. Seine obere Grenze pflegt den m. sphincter internus nicht zu überschreiten. Nach der Breite zu kann er beträchtliche Ausdehnung gewinnen. Oft entsteht in seiner Umgebung ein Kranz kleiner folliculärer Schanker. Er hinterlässt eine weiche Narbe. Seine Heilung wird bisweilen durch Varicen verzögert. *Péan* und *Malassez* behaupten, dass weiche Schanker der regio analis breite Condylome der Rectalschleimhaut hervorrufen können. (Jullien pg. 382.)

Die Oberschenkelgegend ist eine Lieblingsstätte der Autoinoculationen. Intertrigo, Ekzem werden letztere sehr begünstigen. Derartig veränderte Flächen werden übrigens nicht in toto, sondern an isolirten Stellen zunächst inficirt. Im allgemeinen zeichnen sich die extragenitalen Schanker durch eine gewisse Stärke des Grundes aus. So kam es, dass *Ricord* seinen chancre céphalique nur im Sinne der Hunter'schen Indurationen aufgefasst wissen wollte (*Ricord: Lettres sur la Syphilis.*) Die wahre Natur dieser Affectionen wurde erst durch Bassereau, Puche und andere richtig beleuchtet.

Interessant ist der casuistische Beitrag von Ulcus molle Labii inferioris aus der Praxis des Herrn Dr. *Kölliker* (Leipzig).

„Am 26. V. 87 stellte Frä. K., 19 Jahre alt, sich mir vor. Die rechte Hälfte der Unterlippe war von einem etwa 10 Pfennigstück grossen Geschwür bedeckt. Der Grund des Geschwürs erschien fleckig belegt, die Ränder gerötet, leicht intumescirt, die Umgebung des Geschwürs etwas infiltrirt. Das Geschwür sonderte wenig serös-eiteriges Secret ab, das zu Krusten vertrocknet z. T. Geschwür und nächste Umgebung bedeckte. Bei Entfernung der Krusten heilte der Geschwürsgrund etwas. Die erkrankte Stelle ist schmerzhaft, druckempfindlich; eine submentale Drüse ist etwa nussgross angeschwollen, desgl. sind die rechten Submaxillardrüsen bis zu Nussgrösse angeschwollen. Die Drüsenschwellung ist eine dolente, behindert jedoch Sprache und Nahrungsaufnahme nicht.

Anamnestisch liess sich erheben, dass das Geschwür aus einem kleinen Bläschen sich entwickelt hatte und langsam im Zeitraume von 6 Wochen seine bisherige Grösse erreicht hatte. Aetiologisch war nichts positives zu eruiren.

Verordnung: Reinigung des Geschwürs und Auflegen einer Salbe von Borsäure und Quecksilberpraecipitat.

Bei den nächsten Consultationen 31. V., 8. VI., war erst eine geringe Veränderung eingetreten. Am 17. VI. hatte sich das Geschwür wesentlich verkleinert, die Drüsenschwellung war bedeutend zurückgegangen. Vollständige Heilung am 29. VI. Alle Drüsen abgeschwollen.“

Weit schwieriger als die einem immerhin einheitlichen Grundtypus entsprechenden makroskopischen Bilder sind die hierauf bezüglichen mikroskopischen Untersuchungen des ulcus molle zu

verstehen. Viel klarer liegen die histologischen Verhältnisse der syphilitischen Initialsclerose. Hier sehen wir

- 1) Infiltration,
- 2) Bindegewebsneubildung.
- 3) nach *Auspitz* und *Unna* Einlagerung einer amorphen oder collagenen Substanz.

Bindegewebsneubildung findet statt central und peripher.

Infiltrirt sind rete Malpighi, cutis, Adventitia der Blutgefässe, der Capillaren, teilweise der Lymphgefässe. Die Blutgefässe sind zuweilen bis zur Solidisation verengt. Die Lymphgefässe sind oft abnorm weit. Die mechanisch notwendige Anämie erklärt die Blässe der Sclerose. Oberhalb der Infiltrationsgrenze liegt das dünne stratum corneum; zerfällt es, so wird aus der Sclerose ein Schankergeschwür.

Von diesem Bilde unterscheidet *Buhl* beim weichen Schanker scharf

- 1) spärlichere Infiltration,
- 2) Erweiterung der Blutgefässe.

Cornil findet die Gefässe

- 1) im weichen Schanker durchaus normal,
- 2) das Gewebe gelockert, die Fibrillen auseinandergedrängt, zum Teil im Zustande molekularen Zerfalls.

Auch *Jullien* unterscheidet scharf. Er legt das Hauptgewicht darauf, dass beim Zerfall des weichen Geschwürs alle Schichten der Haut, auch das Unterhautfettgewebe, beteiligt sind. „C'est là un point capital, et que nous tenons bien à établir, car il vous aidera surtout à distinguer le chancre simple du chancre syphilitique“.

Dahingegen sind v. *Bisiadecki* und *Kaposi* der Ansicht, dass beide Schanker unter dem Mikroskop nicht wesentlich different erscheinen. Im speciellen beschreibt *Kaposi* das infiltrirte Gewebe als ein Maschenwerk mit gleichmässig eingelagerten grösseren und kleineren Zellen. Die Zellen der Geschwürsfläche und in der tieferliegenden sog. pyogenen Schicht fand er klein, unregelmässig, kernhaltig, gekörnt, die Papillen nur zum Teil erhalten, theils verbreitert und infiltrirt. Die Epithelien in der Nähe der Ränder fand er getrübt, gekörnt, im Zerfall. (*Kaposi* pg. 64, 65.) Den vermeintlich geringen mikroskopischen Unterschied verwertet *Kaposi* zu gunsten seiner Lehre.

Bäumler endlich erklärt die Verschiedenheit der Befunde durch die zeitliche Differenz der Untersuchungen. Er hält es für sehr wesentlich, jedesmal das Stadium des Processes auch histologisch zu berücksichtigen. Als das wesentlichste hebt er einen acut verlaufenden Process der Gefässscheiden hervor, der in Infiltration besteht und der wegen seines raschen Verlaufs schon bei geringen Abständen der Untersuchungszeit sehr abweichende Bilder liefern kann. (*Bäumler* pg. 115 116). Die Contagiosität des Schankers ist demonstrirbar durch Eiter-Inoculationen verschiedener Concentration.

Zu vernichten ist dieselbe durch Carbolsäure, Eisessig, Sublimat, 5fache Verdünnung mit rectificirtem Alcohol, 200fache mit Glycerin und Harn machen den Eiter wirkungslos. Verdünnungen mit Kochsalz oder gewöhnlichem Eiter geben aber noch im Verhältniss von 1: 700 oder 1: 1100 positive Resultate nach *Boeck*.

Frisches Blut oder destillirtes Wasser zerstören die Reaction schon in 35 = bezüglich 10facher Verdünnung. Hierbei beobachtete *Köbner* eine gewisse Gesetzmässigkeit; die Incubationszeit nahm zu, die Intensität der Geschwürsbildung, die Ueberimpfbarkeit nahmen ab, proportional dem Grade der Verdünnung (*Köbner*, Klinische und experimentelle Mittheilungen aus der Dermatologie und Syphilidologie pg. 86.) Thermische Versuche gaben als obere Grenze nicht ganz 40° R.

In der Umgebung der Pole einer constanten Batterie sah *Boeck* die Contagiosität des Eiters vernichtet (*Zeissl*, pg. 86—88). *Ricord* fand in verschlossenen Glasröhren aufbewahrten Eiter noch nach 19 Tagen contagiös. Eintrocknetes, mit Wasser aufgeweichtes Secret, ist noch nach langer Zeit wirksam. „Beim Schanker“, sagt *Ricord*, „hat die Chemie nur den alkalischen Zustand seines Eiters nachweisen können; aber das Mikroskop hatte Herrn *Donné* in ihrer Form veränderte Kügelchen gezeigt; einige waren wie aufgelöst in der Flüssigkeit, in welcher ihre Trümmer zu schwimmen schienen, und endlich, was der Culminationspunkt der Entdeckung ist, die constante Existenz einer grossen Anzahl von Tierchen von der Form des *Vibrio Lineola Müller's* im Schankereiter.“ (*Ricord*: Untersuchungen über die Anwendung der Inoculation pg. 38).

Die Contouren dieser Eiterkügelchen sind nach *Donné* weniger glatt als die typischen Formen; zwischen ihnen beschreibt er

seinen feinverteilten Staub „une poussière interstitielle.“ Von den Vibrionen wusste *Donné*, dass sie in faulenden tierischen Geweben und in vielen Aufgüssen zu finden sind; trotzdem legt er auf ihre Anwesenheit im Schankereiter sehr grossen Wert. *Donné* hat sie nur in den Schankern der Eichel und vulva gefunden, nicht im Buboneneiter, ferner sah er sie in einem Falle von ulcus cruris, das eine „venerische Frau“ betraf und die Symptome der Nosocomialgangraen darbot. In einem Falle künstlicher Balanitis vermisste sie *Donné*. *Donné* glaubt, dass die Anwesenheit der Vibrionen nicht durch die Localität, sondern durch die Natur des Eiters bedingt sei. Aber warum dann nur an Eichel und vulva? Wie ist der negative Befund des Buboneneiters zu erklären? *Ricord* tadelt:

- 1) die Incorrectheit der Benennung — venerisch, syphilitisch,
- 2) betont er die complicirende Nosocomialgangraen,
- 3) hebt er das schwankende in den Inoculationsresultaten *Donné's* hervor. Er betrachtet
- 4) die Vibrionen nur „als ein Werk der Zersetzung ohne Bezug zum venerischen Element.“ Er weist hin
- 5) auf ihre Abwesenheit im cauterisirten Geschwür: „ist dies in der That etwas anderes; als den veränderten stagnirenden Eiter von der Oberfläche einer Wunde hinwegzunehmen?“ (*Ricord* *ibid.* p. 42, 43).

Vielfach wurde die Frage erörtert, ob das Serum oder die zelligen Elemente des Eiters die Krankheitsursache darstellen, oder ob beider Einfluss in Betracht kommt. *Robin* wies auf das Serum hin, *Chauveau* auf die Eiterzellen. *Chauveau* isolirte die im Serum gelösten Körper und fand sie indifferent, sodann isolirte er die Eiterzellen und inoculirte sie — der Erfolg war positiv. *Rollet* filtrirte Schankereiter; das Filtrat war indifferent; der Rückstand aber ergab positive Resultate. Nun sind im Rückstande die Eiterzellen, folglich stellen letztere nach *Rollet* die Krankheitsursache dar. *Rollet* konnte sich eben damals noch keine Vorstellung davon machen, dass im Rückstande kleinere, aber vielleicht bedeutungsvollere Elemente enthalten sein könnten. Die Ursache der Krankheitsbegrenzung sieht *Rollet* im Körperlichen der Zellen. Er glaubt, dass die Maschen und Netze der Drüsensubstanz die Eiterzellen zurückhalten (*Physiologie générale*

du virus et des maladies virulentes (Lyon médical) tome VIII. pg. 590).

Den Ausgangspunkt zu neuen Untersuchungen bildete 1884 die Arbeit *Lustgarten's*. In Gumma, Sclerosen, Papeln, syphilitischen Secreten und in einem Bubo wies *Lustgarten* Bacillen nach von 3--7 mm Länge, mit deutlicher Sporenbildung, in spärlicher Zahl, in weissen Blutkörpern eingeschlossen. Fast gleichzeitig sprachen *Doutrelepoint* und *Schütz* von Bacillen, die sie in einer Papel, in einer Sclerose und in einem Gumma fanden. Sie glichen in Form und Grösse den Lepra = und Tuberkelbacillen; sie waren leicht gekrümmt und liessen sich mit Gentianaviolett färben. Reincultur mislang. *Giacomi* und *Gottstein* färbten mit Fuchsin.

Durch Eisenchlorid wurden alle Mikroorganismen ausser den betreffenden und den Tuberkelbacillen entfärbt. Weiche Geschwüre waren von *Lustgarten* vergebens durchsucht worden. Im Blut syphilitischer wies sie *Doutrelepoint* nach; ihm gelang eine Impfung aus einer Oberlippensclerose in erstarrte Hydrocelenflüssigkeit. *Matterstock* untersuchte mit positivem Erfolge das Genitalsecret von Personen, die mit Gonorrhoe und spitzen Condylomen behaftet waren; ein Teil derselben erkrankte an Syphilis — bei ihnen bildeten sich nachträglich breite Condylome u. s. w. aus; ein anderer Teil blieb andauernd frei von Syphilis.

Matterstock fand die Bacillen in allen Stadien der Syphilis, *Köbner* hat sie in syphilitischen Gewebsschnitten gesehen. *Alvarez* und *Tarel* fanden in 3 weichen Geschwüren Bacillen; ausserdem in Smegma praeputii, im Schleimhautsecret der äusseren weiblichen Genitalien, in Fällen von herpes praeputii und pemphigus vulgaris. Sämmtliche Personen waren und blieben frei von Syphilis. Als feststehend ist jetzt folgendes anzusehen: die der Syphilis, zugesprochenen Bacillen sind gefunden

- 1) in allen III Stadien der Syphilis, in syphilitischen Localaffectionen und Producten, im Blut und in den Geweben,
- 2) sie fehlten in allen nicht syphilitischen Gewebsschnitten,
- 3) in gleicher Weise lassen sich die in Form und Grösse sehr ähnlichen sog. Smegmabacillen färben; die Entfärbung der letzteren mit Salpetersäure geschieht nur sehr langsam; die sog. Syphilisbacillen werden durch Salpetersäure auffallend schnell entfärbt.
- 4) Die Reincultur = Erfolge waren positiv mit ersteren,

negativ mit letzteren. Diese Tatsachen und Unterschiede hält *Doutrelepont* für ausreichend, um an der Selbständigkeit der Syphilisbacillen festzuhalten. Die Mehrzahl der Autoren verhält sich reservirt; nicht wenige — ablehnend: so u. a. *Létoir*, *Cornil* in Frankreich — in Wien *Zeissl*: *Zeissl* hält die Mikroorganismen nur für Zeichen von Verunreinigung; er nimmt ihnen jegliche Bedeutung.

Zu durchaus verschiedenen Resultaten gelangten *Disso* und *Taguchie* in Japan, *L. H. Marcus* und *Haberkorn*. Auch in Betreff dieser Befunde verhält man sich zurückhaltend bis ablehnend (*Birch-Hirschfeld* I. pg. 451). Die Resultate von *Alvarez-Tarel* in Betreff weicher Geschwüre wurden von *Schill* in Dresden bestätigt.

Von Italien aus war es *R. di Luca*, der in der *gazzetta degli ospitali* „il micrococco dell' ulcera molle“ (?) beschrieb. *Luca* benutzte ein ulcus molle des ostium vaginale. Er überimpfte das Secret erfolgreich auf die Bauchhaut. Mit positivem Erfolge machte er Nährgelatineculturen. Er isolirte

- 1) Colonien pyogener Micrococcen,
- 2) eine schmutzig gelbe Colonie, die sehr kleine einzelne doppelte zoogloeenartige Coccen enthält.

Aus letzterer impfte er einen Menschen erfolgreich — anderseits inoculirte er Gelatineculturen, züchtete in ihnen gleichartige Colonien und rief von hier aus — wiederum weiche Schanker hervor.

Dem hier wirkenden Coccus gab er obigen Namen. Die Uebersetzung *Grassi's* gibt über den *Bubo* folgendes wieder: „Wenn in einer lymphatischen Drüse zusammen mit den pyogenen Micrococcen der *micrococcus ulceris* vorkommt, so kann sich dieser, welcher in hohem Grade aërob ist, aus Mangel an Luft nicht entwickeln, so lange der Bubon geschlossen ist, und, da sich dieser erst nach 2—3 Tagen öffnet, folglich erst nach dieser Zeit in Communication mit der Luft tritt, so erlangt der *micrococcus ulceris* auch erst nach dieser Zeit seine selbständige Entwicklung und gibt dem Bubon seine ulceröse Eigenschaft (veröffentlicht im Centralblatt für Bacteriologie und Parasitenkunde 1887.)“

Man hegte die allgemeine Ansicht, dass ein weicher Schanker nur auf lacdirtem Gewebe sich entwickeln kann. Man wusste ferner, dass gewisse Personen besonders praedisponirt für die Erkrankung sind: solche Personen im allgemeinen, deren Geni-

talien sich im Zustande chronischer abnormer Reizung befinden

- 1) Arthritiker, Diabetiker mit ihren häufigen Balanitiden und Ulcerationen,
- 2) Leute mit Phimose,
- 3) gonorrhöische Kranke mit reichlicher Secretion und secundärem Ekzem.
- 4) Die verschiedenen Ekzeme können sich leicht am Genitalapparat entwickeln — namentlich die impetiginöse Form;
- 5) ebenso herpes und lupus,
- 6) Sodann können exorierte syphilitische Roseolen, andere luctische Processe,
- 7) endlich die pathologischen Veränderungen an Haarbälgen und Drüsenapparat (acne u. s. w.) der Infection als Eingangspforte dienen.
- 8) Schliesslich verdient hier jede incontinentia urinae Berücksichtigung.

Die ätzenden Eigenschaften des Schankereiters sind von verschiedenen Seiten bestätigt, von *Ricord* besonders hervorgehoben worden. *Ricord* behauptet sogar, dass gewöhnliches Schankersecret nach längerer Einwirkung auf zuvor normalem intactem Körpergewebe durch Anätzung desselben einen Schanker hervorrufen kann. In diesem Sinne spricht *Ricord* von einer contagion retardée.

Die Hypothese *Ricord's* wird von *Jullien* widerlegt. *Jullien*, zerrieb auf der Vorderfläche des Oberschenkels Schankereiter; er liess dann das Secret unter Pflaster-Schutz längere Zeit einwirken; ja er epilirte zuvor die Haut, um dem Gifte, wie er meinte, ein Foramen contagiosum zu erschliessen. Selbst nach zufälligen gleichzeitigen Abschilferungen der Epidermis blieben die Resultate negativ. „Eh bien, ce pus si âcre, si irritant, a témoigné dans cette nouvelle série d'expériences de l'innocuité la plus complète.“ *Jullien* ist übrigens gerecht genug, um die Verschiedenheit der Localität mit ihrer verschiedenen Resistenz gelten zu lassen. Anderseits aber hebt er die grosse anamnestische Unzuverlässigkeit der Patienten hervor. „Les cas dans lesquels l'insouciance des sujets permet au pus de séjourner plusieurs jours, même plusieurs heures sur la peau, ne sont pas à tout prendre, hormis les cas de phimose, assez nombreux, assez bien constatés, pour qu'il ne nous soit pas permis de ne les accepter que sous bénéfice de l'inventaire“ (*Jullien*, pg. 37.)

Wichtiger, sicherer, auch experimentell nachgewiesen ist die Contagion médiante. Hierunter versteht man den Uebertragungsmodus durch ein gesundes Individuum, gleichsam durch einen Zwischenwirt, der aber selbst von der Krankheit verschont bleibt. Die Gonorrhoe bietet hierfür Analogie. Schon die Alten waren von dieser Tatsache unterrichtet: „novi mulieres, sagt Vella, „sanas, quae coiverunt cum infectis, in quos tale genus aegritudinis non transivit et tamen transivit in viros alios coeuntes cum illis.“ Berühmt ist der Fall *Ricord's*:

„Ein junger Mensch hatte mit einer mit Schankern behafteten Person Umgang und an demselben Tage mit seiner gewöhnlichen Maitresse, welche von der selben Krankheit angesteckt wurde, ohne dass er selbst sie bekam.

Zu bemerken ist, dass sich der junge Mensch nicht nach dem Coitus gewaschen hatte, auch das Praeputium sehr lang bei ihm war.“ *Ricord* ibid. pg. 64.

Einen zweiten Fall von *Pudic* gibt *Jullien* wieder:

„une jeune fille épouse par amour un jeune homme qu'elle enrichit. Ce dernier. le jour même de son mariage, rencontre une ancienne maitresse et pratique le coït avec elle. Puis immédiatement après il reut chez lui et accomplit ses devoirs conjugaux. A quelques jours d'intervalle le chancre se déclare chez sa femme. Le mari reste indemne; il avait le prépuce très-long et n'avait pris aucun soin de propreté après le premier rapport. Quant à sa femme aucun soupçon d'infidélité ne pouvait être élevé contre elle. (*Jullien* pg. 308. 309).

Die Contagion médiante steht in einem gewissen Widerspruche zur contagion retardée; denn sie zeigt, wie der Schankereiter unbeschadet eine geraume Zeit mit der zarten Genitalschleimhaut in Berührung bleiben kann. „Wenn diese Fälle nicht so häufig wären, könnte man an die Möglichkeit der Erzeugung der Lustseuche zwischen gesunden Personen glauben.“ (*Ricord* ibid. pg. 64).

Das Vorkommen der Contagion médiante macht den Uebertragungsmodus durch unbelebte Gegenstände — Wäsche, Kleidungs- und Verbandstücke, Instrumente etc. — wahrscheinlicher. Einen classischen Fall hat Hilden veröffentlicht; er bezieht sich auf eine Maskerade, bei der die Mädchen sich in die Kleider der Männer hüllten. Eines der Mädchen wurde bei dieser Gelegenheit inficirt. Der Eigentümer der Kleidungsstücke war nachweislich krank. Sehr häufig aber wird mit diesem toten Material Misbrauch getrieben von Seiten der Kranken, vor allem, um den Arzt zu täuschen. Ohne die Wahrheit absolut negiren zu können, wird man in der Mehrzahl der Fälle etwas skeptisch sein.

Ein kurzer Rückblick auf alle diese Betrachtungen ergibt den weichen Schanker 1) als eine hochgradig contagiöse Erkrank-

ung. Die Contagiosität des Eiters nimmt gegen Ende des Verlaufs hin ab. Eine contagion retardée ist mindestens zweifelhaft, sicher ist eine contagion médiante. 2) Der weiche Schanker besitzt kein Stadium der Incubation. 3) Der Process wird eingeleitet durch umschriebene Rötung, oft durch Pustelbildung. 4) Das Geschwür entwickelt sich bald aus einer geplatzten Pustel, bald direct aus einer offenen inficirten Laesion. 5) Das Geschwür vergrößert sich 4—6 Wochen lang unter Zunahme des Zerfalls. Bis zur Vernarbung verlaufen noch weitere 2—3 Wochen. 6) Die Form des Geschwürs hängt ab von der Form der Laesion. 7) Unter den Folgezuständen ist bemerkenswert Multiplicität, Lymphangitis und Lymphadenitis, Nisbeth'scher Schanker und Bubo. 8) Unter den Complicationen sind besonders wichtig Phimose, Paraphimose, Diphtherie, Gangraen, Phagedaen; bestehende Hautaffectionen wie Ekzem u. s. w.; andere Infektionskrankheiten: namentlich Syphilis, Gonorrhoe, Erysipel. 9) Man unterscheidet atonische und crethische, tiefe und flache Schanker; ulcus laeve, ambustiforme, elevatum, fungosum, serpiginosum, perforans.

Differentiell-diagnostisch kommen namentlich in Betracht

1. Syphilis, 2. Carcinom, 3. Herpes.

ad 1. — Syphilis.

a) Der syphilitische Primäraffect ist eine hyperplastische Neubildung; der Schanker ist ein destructiver Process.

b) Ersterer tritt meistens nach 3 Wochen erst auf, letzterer spätestens am 3. Tage.

c) Dort handelt es sich meist um ein deutliches Infiltrat: Papel, Sclerose, Pergamentinduration: seltner um ein induratives Oedem; die Fälle, in denen der syphilitische Primäraffect nur durch eine Rhagade, Erosion oder ein weiches Geschwür repräsentiert wird, oder in denen er zu fehlen scheint — syphilis d' emblée — sind gewiss überaus selten.

Der weiche Schanker beginnt als Rötung, Pustel oder direkt als Geschwür; selten bullös, encystirt.

d) Hier geringer Widerstand, dort Resistenz bis zu der des Knorpels und Knochens bei der Betastung.

e) der harte Schanker tritt einzeln auf, der weiche oftmultipel.

f) Ersterer hat seinen Lieblingssitz an der Eichel, im sulcus coronarius; letzterer kommt in weiterer Verbreitung (Vorhaut etc.) vor.

g) Den weichen Schanker charakterisiert Zerfall, reichliche Eiterung, den harten spärliche Secretion und Blässe.

h) Die Beteiligung des Lymphgefäßsystems besteht bei der Syphilis in indolenten doppelseitigen Bubonen und in einer indolenten sclerosirenden Lymphangitis; — beim weichen Schanker im einseitigen eiternden dolenten Bubo und in der exquisit entzündlichen Lymphangitis eventuell mit Abscedirung und Nisbeth'schen Schankern.

i) Die Ueberhäutung erfolgt bei einem exulcerirten syphilitischen Primäraffect schneller als bei einem weichen Schanker, der den mehrwöchentlichen Reinigungsprozess zuvor durchmacht.

k) Eine syphilitische Narbe bricht nicht selten wieder auf, die weiche Narbe eines ulcus molle ist dauerhaft.

l) Zur Ausschliessung secundärer, tertiärer Affectionen gehört eine allgemeine Inspection auf Narben, Exantheme u. s. w. ad 2. — Carcinom.

Zur Verwechslung mit Carcinom kann bisweilen verführen:

a) Uebereinstimmung im Sitz-margo praeputii, glans. scrotum;

b) höheres Alter;

c) Cachexie;

d) Drüsenaffectionen; wichtig ist eine gewisse

e) Trockenheit selbst zerfallender Krebse; nur jauchende Carcinome sind von grösseren Flüssigkeitsmassen bedeckt.

f) *Krebs* betont, die Pfröpfe, die man aus den peripheren frischen carcinomatösen Wucherungen auspressen kann, — sowie

g) das Fortschreiten der Erkrankung in den Rändern;

h) das vernarbende Carcinom übt einen Zug auf die Haut aus.

e) Die beste Entscheidung gibt schliesslich das Mikroskop.

Der herpes tritt auf:

a) in einer Gruppen-Eruption;

b) die Gruppen stehen auf einem gemeinsamen gerötheten Boden.

c) den Herpesefflorescenzen fehlt der jedesmalige periphere Entzündungsring der Schankerpustel;

d) die Herpesbläschen platzen, trocknen ohne Substanzverlust;

e) sie vernarben rasch;

f) ihre Narbe verschwindet ungemein schnell.

Der alte Streit — ob Unität, ob Dualität — ist heute noch nicht erloschen, aber hat an Heftigkeit verloren. Die weitaus grössere Mehrzahl hat sich für die Dualität entschieden. Der

Hauptvorwurf, den man letzterer Lehre machte, lag in der scheinbaren Thatsache, dass in einer Reihe von Fällen Syphilis von weichen Geschwüren eingeleitet würde — dieser Vorwurf ist entkräftet

1. durch den chancre mixte,
2. durch den experimentell gestützten Hinweis auf die geschwürrzeugende Eigenschaft stark eiternder syphilitischer Primäraffecte.

Die Dualität findet einen mächtigen Halt

- 1) an dem in sich abgeschlossenen selbständigen Charakter des weichen Schankers mit seiner lokalen Begrenzung;
- 2) in der jahrelangen Beobachtung phagedaenischer Schanker, die nie zur allgemeinen Syphilis führten;
- 3) in der Thatsache, dass es nie gelang, mit Schankereiter nicht syphilitischer Personen allein Syphilis hervorzurufen.
- 4) Die Syphilis d'emblée, der syphilitische Primäraffect ohne allgemeine Erscheinungen sind zu sehr Gegenstand (unbeabsichtigter) Täuschungen, um als Waffe dienen zu können;
- 5) die transformatio in situ ist durch Misch-Infection erklärbar;
- 6) ebenso der von Kaposi behauptete Beginn des harten Schankers als weiches Geschwür überhaupt.

Könnte hier nicht zudem eine zufällige Verunreinigung der gebildeten Excoriation eine Rolle spielen? Bietet nicht ferner die Haut der verschiedenen Individuen an den verschiedenen Partien eine verschiedene Reactionsfähigkeit gegen äussere Reize dar?

- 7) Die Anführungen *Morgan's* in Dublin von dem ungemein seltenen Vorkommen syphilitischer Schanker bei Frauen, seine auffallenden Confrontationsresultate — sind sie nicht erklärbar vielleicht durch die sicher beobachteten, aber oft ganz versteckten, völlig symptomlosen syphilitischen Schanker des cervix?
- 8) Das chancroide *Clerc's* bildet keine Ausnahme von dem Fortpflanzungsgesetze. Es wird dies erläutert durch die Versuche von *Köbner*, *Pick*, *Tanturri* und *Kaposi*. Der Unitätstheorie selbst sollte aber das chancroïde des Dualisten *Clerc's* zusammen mit den Versuchen *Kaposi's*

und denen der anderen Autoren verhängnisvoll werden. Identificirt man nämlich die Geschwürsformen, die unter einander bald mehr bald weniger übereinstimmen — identificirt man sie mit dem weichen Schanker — so weist man dem Contagium des Schankers selbst eine neue Stellung zu:

- 1) Erstens löst man den Schanker noch mehr aus dem Zusammenhange mit der Syphilis heraus — in den Versuchen *Kaposi's* besteht gar keine ätiologische Beziehung zur Syphilis.

Damit betont man aber auch

- 2) gleichzeitig auf das schärfste das Dualitätsprincip.
- 3) Drittens raubt man derjenigen Affection, die man bisher Schanker nannte — a) dem Impfschanker, b) dem Schanker in

α) unmittelbarer

β) mittelbarer Beziehung zum Coitus,

dem Contagium dieser Affection raubt man seine Specificität.

Man hatte jetzt einen umfangreichen Kreis von Krankheitsfällen beschrieben; ihm sprach man nunmehr auch eine grössere Mannigfaltigkeit der Ursachen zu. Man spricht nicht mehr von einer specifischen Schankerinfection — sondern von einer Eiterinfection. Der Eiter war ja bei allen Versuchen (*Pick, Köbner, Tantarri, Finger, Vidal, Kaposi*) das gemeinsame Moment. Man hat pyogene Coccen im Schankereiter gefunden (Luca).

Der weiche Schanker stellt sich dar als Rötung, Pustel, Geschwür — denselben Vorgang kann man mit einer nicht aseptischen Nadel nachahmen.

Der weiche Schanker sondert ab, granulirt — d. h. er unterliegt den gewöhnlichen Gesetzen der Wundheilung mit den gewöhnlichen Folgeerscheinungen jeder gewöhnlichen Wunde: Lymphangitis, Lymphadenitis. Die Contagiosität des Schanker-secrets ist am intensivsten im Anfange auf der Höhe des Zerfalls; im weiteren Verlaufe nimmt sie ab — für die Hände des Chirurgen sind am gefährlichsten Panaritien und Phlegmonen in der ersten Zeit ihres Bestehens; die Gesundheit des Anatomen ist am meisten bedroht durch die Obduction ganz frischer „warmer“ Leichen.

Wenn die geschilderten chirurgisch-anatomischen Berufserkrankungen vielleicht häufiger einen bösartigen Verlauf anneh-

men als der Schanker, dann liegt hierin kein principieller, sondern ein qualitativer Unterschied — dann handelt es sich beim Schanker eben um eine im ganzen mildere septische Infection.

Es ist eine auffallende Tatsache, dass Prädispositionsstellen des weichen Schankers diejenigen Teile des Genitalapparats sind, die unter geradezu continuirlichen Irritationen und Verunreinigungen leiden — margo, frenulum präputii. Es fällt ferner auf, dass die Schankerinoculationen einen besonders eclatanten Erfolg stets bei Säuglingen zeigten, deren zarte blutreiche Haut für äussere Reize besonders empfänglich ist. Die Schanker der mammae sitzen an einer Lokalität, die beim Säugungsgeschäft ausserordentlichen Zerrungen, auch sonst vielfachen Verunreinigungen ausgesetzt ist, sehr leicht wund wird. Auch diese Schanker erwecken den Gedanken an eine septische Infection lebhaft. Hierfür scheint fernerhin zu sprechen, dass Personen, die ihren Körper vernachlässigen, oder solche, deren Beruf besondere Gelegenheit zu Verunreinigungen gibt, häufiger und an schwereren Schankerformen erkranken.

Die Strassenprostitution liefert einen grösseren Prozentsatz an Schankererkrankungen als die Bordelle; Fleischer erkranken auffallend häufig an phagedaenischen Schankern; letztere sind überhaupt im ganzen relativ häufiger bei Frauen als bei Männern. Gerade diese Complication gibt der Affectiou einen besonders septischen Charakter. Endlich beobachtet man an den Genitalien Geschwüre, die dem weichen Schanker in seinen verschiedenen Stadien täuschend ähnlich sehen, für die sich aber aetiologisch absolut nichts eruiren lässt. Es sind nur Fälle gemeint, bei denen die Kranken durchaus frei von jedem Verdachte der Lüge sind. Die Geschwüre sitzen an den Lieblingsstätten des Schankers, d. h. an den Hauptreizungsstellen der Genitalien. Namentlich in diesen Fällen tritt der septische Ursprung deutlich hervor.

Diese antispezifische Theorie hat etwas ungemein bestechendes; sie enthält sicher viele wahre Züge — aber sie ist doch nicht über jeden Zweifel erhaben.

Denn es ist

1. unverkennbar, dass für die Mehrzahl der Fälle das Schankergeschwür als solches in seiner Configuration (Ränder, Grund, Belag) Eigentümlichkeiten zeigt, die anderen Affectionen in einer so fast stetigen Vereinigung nicht zukommen; es ist

2. nicht zu bestreiten, dass die Mehrzahl der Fälle ihre Entstehung dem Coitus verdankt — eine Thatsache, die schon deshalb Beachtung verdient, als es nur wenige Krankheiten gibt mit einer derartigen speciellen aetiologischen Beziehung.

3. Sodann ist für die Specifität des Schankers von fast erschöpfender Beweiskraft die Umwandlung des einseitigen, dolenten, suppurativen Bubo in ein typisches grosses Schankergeschwür,

4. die Wiederholung dieses Vorgangs im Nisbeth'schen Schanker.

5. Man kann endlich nicht verkennen, dass die Versuche *Luca's* (il micrococco dell' ulcera molle) — mögen sie auch noch auf allgemeine Bestätigung harren, ihre Reinheit zweifelhaft sein — den Gedanken an die Specifität des Schankers bedeutend auffrischten.

Es ist somit wahrscheinlich, 1. dass im allgemeinen das Schankercontagium eine Specifität in der that besitzt; es lässt sich aber nicht leugnen, dass 2. eine septische Beeinflussung des Schankers von aussen her stattfindet.

Für einen Theil der Fälle

a) mag dieser letztere Einfluss nur im weiteren Verlaufe hervortreten, eine Complication herbeiführen;
eine zweite Reihe von Fällen

b) kann von vornherein — unabhängig von einem specifischen Contagium — durch diese Einwirkung entstehen.

Jedenfalls ist anzunehmen, dass die Aetiologie des ulcus molle unter der Herrschaft zweier nicht syphilitischer Contagien steht, vielleicht ist die Zahl derselben eine noch grössere. Von einer Specifität des Schankers kann man nur in einem beschränkten Sinne des Wortes sprechen.

L i t t e r a t u r.

1. *Auspitz*, die Lehren vom syphil. Contagium und ihre thatsächliche Begründung, Wien 1866.
- 2) *Bäumler*, Syphilis, Leipzig 1866.
- 3) *Birch-Hirschfeld*, pathol. Anatomie. III. A. Leipzig 1886.
- 4) *Boeck (Bidencap)*, Recherches sur la Syphilis. 1862.
- 5) *Caspary J.*, Anatomie des ulcus durum et molle (Vierteljahrsschrift für Dermatologie und Syphilis 1876.)
- 6) Centralblatt für Chirurgie. 1887. Nr. 13.
- 7) Charité Annalen 1860 Bd. IX.
- 8) *Clerc*, du chancroïde syphilitique. Paris 1854.
- 9) *Cornil*, Leçons sur la Syphilis, Paris 1876.
- 10) *Finger E.*, die Syphilis und die Venerischen Krankheiten, Wien 1886.
- 11) *Fournier*, du pseudo-chancro induré des sujets syphilitiques. Arch. gén. de médecine. Paris 1860.
- 12) *Hunter*, Abhandlung über vener. Krankheiten, aus dem Englischen, Leipzig 1787.
- 13) *Jullien*, Traité pratique des maladies vénériennes. Paris 1879.
- 14) *Kaposi*, Pathologie und Therapie der Syphilis I. Stuttgart 1881.
- 15) *Klebs*, die allgemeine Pathologie I. Jena 1887.
- 16) *Köbner*, klin. und experim. Mittheilungen aus der Dermatologie und Syphilidologie. Erlangen 1864.
- 17) *Lang*, Vorlesungen über Pathologie und Therapie der Syphilis, Wiesbaden 1886.
- 18) *Langlebert*, Traité des maladies vénériennes. Paris 1864.
- 19) *Léloir M. H.*, Leçons sur la Syphilis. Progrès méd. 1885.
- 20) *Lesser, E.*, Geschlechtskrankheiten. Leipzig 1886.
- 21) Physiologie générale du virus et des maladies virulentes. (Lyon médical Tome VIII.)
- 22) *Ricord*, Untersuchungen über die Anwendung der Inoculation, aus dem Französischen. Reutlingen 1838.
- 23) *Ricord*, Lettres sur la Syphilis, 3ième édition 1863.
- 24) *Rollet, J. M.*, de la pluralité des maladies vénériennes. Paris 1860.
- 25) Vierteljahrsschrift für Dermatologie und Syphilis. 1876, 77, 78. 1885.
- 26) *Zeissl*, Grundriss der Pathologie und Therapie der Syphilis. Stuttgart 1876.
- 27) *Ziegler*, Lehrbuch der allg. und speciellen pathol. Anatomie. IV. A. Jena 1885.

Ueber Mischinfection bei Gonorrhoe.

Von

Dr. MAX GERHEIM

aus Wiesbaden.

Die Lehre von der Mischinfection ist noch verhältnissmässig jungen Datums. Wohl war es längst einzelnen Beobachtern aufgefallen, dass gewisse wohl charakterisirte Krankheitsprocesse mitunter einen Ablauf nehmen, wie er nicht dem gewöhnlichen Typus entspricht, aber man begnügte sich, Erscheinungen, wie den Uebergang der croupösen und lobulären Pneumonie in Abscess und Gangrän oder den Ausgang des Erysipels und in manchen Fällen der Vaccinepusteln in Phlegmone als Complicationen zu bezeichnen, ohne nach einer Erklärung zu suchen, woran dies liegen könnte.

Nachdem es aber gelungen war, für eine Reihe von Krankheiten specifische Organismen als *causa peccans* nachzuweisen und die Wirkung einzelner genauer zu studiren, lag der Gedanke nicht mehr ferne, ob die sogenannten Complicationen nicht als das Werk gemeinsamer Thätigkeit von mehreren derselben anzusehen seien.

Im Jahre 1882 erbrachten *Brieger*¹⁾ und *Ehrlich* bestimmte Anhaltspunkte für diese Annahme, indem sie den Nachweis von dem thatsächlichen Nebeneinandervorkommen einzelner Mikroben führten. Es handelte sich um zwei letale Fälle von Typhus abdominalis, bei welchen in Folge einer Moschusinjection ein malignes Oedem zum Ausbruch kam. Im Anschluss hieran und an zahlreiche Beobachtungen ähnlicher Art bei anderen Erkrankungen stellten sie die Lehre von der Mischinfection auf.

¹⁾ *Brieger*, Zeitschrift für klin. Medicin Bd. XI. 1882.

Nach ihnen sind die Fälle von doppeltem Parasitismus in der Weise aufzufassen, dass hier durch die bestehende Krankheit das Wuchern einer zweiten Pilzart erst ermöglicht wird, welche dem gesunden Organismus an und für sich unschädlich ist. Bei all' derartigen Fällen muss man voraussetzen, dass durch die Thätigkeit der primären Infectionsträger eine specifische Schwächung des Körpers, eine Praedisposition, geschaffen wird, welche es an und für sich nicht kampffähigen Pilzen ermöglicht, in den menschlichen Organismus einzudringen und dort eine pathogene-tische Wirkung auszuüben.

Es würde also hier ein ähnliches ätiologisches Verhältniss obwalten, wie wir es zwischen Diabetes und Tuberculose beobachten.

Diese Anschauung warf ein neues klärendes Licht auf das häufige Auftreten von bestimmten Nachkrankheiten im Gefolge von verschiedenen Affectionen, welche sich in der That am besten durch das gleichzeitige Eindringen differenter Mikroorganismen in die Gewebe des Körpers deuten lassen. Bald wurden auch von allen Seiten stützende Beweise für die Richtigkeit dieser Lehre erbracht.

*R. Koch*¹⁾ berichtete über das gleichzeitige Vorkommen von Tuberkelbacillen und Mikrococcen, von Tuberkel- und Milzbrandbacillen, sowie über die Invasion von Mikrococcen bei Abdominaltyphus. In dem ersteren Falle sucht er die Erklärung in der zuvor vorhanden gewesenen Tuberculose, welche den Organismus in seinem Kräftezustand sehr herabgesetzt und damit wahrscheinlich den Boden für die Mikrooccocceinwanderung vorbereitet habe.

*Samter*²⁾ entdeckte im pneumonischen Auswurf eines 65jährigen Mannes, der zuvor an einem latenten Bronchialkatarrh gelitten hatte, neben Pneumonicoccen auch reichlich Tuberkelbacillen. Die Autopsie ergab links ältere, rechts frischere Tuberculose, an letzterem Orte überdies pneumonische Anschoppung. Hierin sieht er den günstigen Boden für die Entwicklung der Bacillen.

¹⁾ Mittheilungen aus dem Reichsges.-Amt Bd. II 1884: Die Aetiologie der Tuberculose p. 26 u. 27.

²⁾ *Samter*, Berliner klin. Wochenschrift 1884. Nr. 25.

*Heubner und Bahrdt*¹⁾ beschreiben einen Fall von schwerer Scharlachdiphtherie, an die sich Vereiterung der rechten Tonsille mit Fortsetzung auf das benachbarte Gewebe und consecutive eitrige Thrombophlebitis anschloss, welche von foudroyanter multipler eitriger Gelenkentzündung begleitet war. Es fanden sich im Eiterherd der Tonsille, in den Thromben der Vena jugularis, im Gelenkinhalt, im Blute selbst reichliche „kettenbildende Coccen, in morphologischer Beziehung vollkommen einander und den *Löffler'schen*²⁾ Coccen ähnlich“, welch' letztere, aus Membranen der Scharlachdiphtherie rein gezüchtet und die Reinkulturen ins Blut übertragen, schwere eitrige Entzündung zahlreicher Gelenke wie hier hervorriefen. Man wird wohl nicht fehl gehen, wenn man in ihnen jene Mikroorganismen sucht, welche *Rosenbach*³⁾ in einer sorgfältigen Untersuchungsreihe bei verschiedenen Eiterungen, bei Pyämie und septischen Processen constatiren konnte. Es waren hauptsächlich Staphylococcen- und Streptococcenarten.

Einen weiteren Beleg lieferten *Fränkel und Freudenberg*⁴⁾, denen es gelang, bei drei letal verlaufenden Fällen von Scarlatina in den inneren Organen Reinkulturen von *Streptococcus pyogenes* zu erzielen. Die beiden Autoren sehen diesen Pilz als den Träger einer Secundärinfection an, welche mit einer an Bestimmtheit grenzenden Wahrscheinlichkeit von den erkrankten Rachenorganen aus erfolgte.

Solche Beobachtungen berechtigen zu der Annahme, dass es sich bei anderen Complicationskrankheiten um Aehnliches handelt, und dass Derartiges besonders für eine Reihe, in das Gebiet der Infectionskrankheiten gehörender, pathogener Processe häufiger herangezogen werden muss, als man bisher annahm. Warum nun gerade bestimmte Infectionskrankheiten einen günstigen Boden für die Ansiedelung gewisser Bakterienarten schaffen, das werden erst Experimente über die Symbiose dieser kleinsten Lebewesen aufklären. Unsere Kenntnisse sind in dieser Beziehung leider noch sehr geringe, und hier kann blos die klinische Beobachtung constatiren, dass sich die Mischinfection nicht weglegnen lässt.

1) Berliner klin. Wochenschrift 1884. Nr. 44.

2) *Löffler*, Mitth. aus dem Reichsges.-Amt 1884. Bd. I p. 421 ff.

3) *Rosenbach*, Mikroorganismen bei den Wundkrankh. d. Menschen. 1884.

4) Centralllatt für klin. Medicin 1885. Nr. 45.

Besonders bei dem nicht so seltenen Uebergang der Pneumonie in Tuberculose drängt sich der Gedanke an eine Mischinfection mit unabweisbarer Logik auf. *Strümpell*¹⁾ kann sich den Zusammenhang beider Krankheiten nur in der Weise deuten, dass die erste derselben einen günstigen Boden zur Infection mit dem tuberculösen Virus vorbereitet, dass also das Haften der Tuberkelbacillen auf einer schon vorher erkrankten Schleimhaut leichter stattfinden kann als unter normalen Verhältnissen.

Was den Modus der Mischinfection betrifft, so weist *Huber*²⁾ mit Recht darauf hin, dass die Krankheitsstoffe überall da eindringen und leicht combinirte Krankheiten hervorrufen, wo sie möglichst bequem an bereits erkrankte Stellen gelangen können. Dies wird in hervorragender Weise der Fall sein bei Erkrankungen der äusseren Bedeckungen, des Darmtractus, der Respirationswege und der Genitalorgane. In der That sehen wir häufig im Anschluss an eine Gonorrhoe derartige Mischinfectionen auftreten. Freilich war man bisher vielfach geneigt, diese auf Rechnung des specifischen Mikroorganismus der Gonorrhoe zu setzen — eine Anschauung, die auf den ersten Anblick etwas Bestechendes hat: die Krankheitserreger gelangen von dem Sitz der Erkrankung in die nächsten Lymphbahnen, von dort in den Blutkreislauf und werden dann an verschiedene Praedilectionstellen verschleppt, wo sie jene typischen Affectionen hervorrufen, die wir als Complicationen des Trippers kennen.

Dagegen liesse sich schon vom rein speculativen Standpunkt der Einwand geltend machen, warum wir jene Complicationen nicht viel häufiger, als es thatsächlich der Fall ist, beobachten. Bei dem grossen Leichtsinne, mit dem die Gonorrhoe vielfach behandelt wird, wäre ja hinreichend Veranlassung vorhanden. Der Grund ist eben darin zu suchen, dass der Mikroorganismus der Gonorrhoe in seinem ganzen Verhalten den Geweben gegenüber durchaus nicht geeignet ist, jene Folgeerscheinungen, die wir beim Tripper beobachten, hervorzurufen.

Bevor wir den Versuch wagen, die Complicationen des Trippers mit der Lehre von der Mischinfection in Einklang zu bringen, dürfte es sich empfehlen, auf das Verhalten des Trippercontagiums im Gewebe etwas näher einzugehen.

¹⁾ Lehrbuch der spec. Pathologie u. Therapie d. innern Krankheiten. Bd. I 3. Aufl. 1886.

²⁾ *Huber*. Virchow's Archiv 106.

*Bumm*¹⁾ hat dasselbe ausführlich an Schnittpräparaten der Bindehaut des Auges studirt, und man wird das Ergebniss dieser Untersuchungen *ceteris paribus* ohne Anstand auf die Veränderungen an der Harnröhrenschleimhaut übertragen dürfen. Die Gonococcen dringen, wie *Bumm* angiebt, mit einer eminent invasiven Kraft ausgerüstet, in die Kittsubstanz zwischen die obersten Epithelzellen und auch in die weiche Protoplasmasubstanz dieser selbst ein, um dann weiterhin zwischen den epithelialen Elementen in die Tiefe zu wuchern und so schliesslich bis an den Papillarkörper der Schleimhaut zu kommen. Haben die Coccen einmal auf diesem Wege das blut- und nervenreiche Parenchym der eigentlichen Schleimhaut erreicht, so beginnt eine heftige katarrhalische Entzündung mit abundanter Auswanderung von farblosen Blutkörperchen aus stark hyperämischen Gefässen. Diese Leucocyten dringen in die obersten Strata des Bindegewebes ein, um von da aus durch das Epithellager hindurch an die Oberfläche zu gelangen, indem sie das in seiner Regelmässigkeit und Festigkeit gestörte Epithelstratum entweder einfach auseinander fasern oder in grösseren Schollen abheben. Aber nun scheint ihre Kraft gebrochen zu sein; denn ihre weitere Ausbreitung beschränkt sich auf die oberflächlichsten Schichten des subepithelialen Bindegewebes, manchmal in einer Anordnung, nach welcher sie den capillären Lymphgefässen zu folgen scheinen.

Während die Entzündungserscheinungen an Intensität noch zunehmen (eitriges Stadium der Blennorrhoe), beginnt bereits von den spärlichen Resten des ursprünglichen Epithelüberzugs aus eine rasch fortschreitende Regeneration. Sie setzen der weiteren Ausbreitung der Coccen ein undurchdringliches Hinderniss entgegen, indem 2—3 Schichten mehr platter Zellen sich bilden, welche, dachziegelförmig übereinandergreifend, eine schützende Hülle für die darunter liegenden Theile darstellen. Erst wenn die Schwellung und Wucherung des Papillarkörpers zurückgegangen ist, verliert der Epithelüberzug den Character eines Pflasterepithels und formt sich in ziemlich directem Uebergang in das normale Cylinderepithel um.

¹⁾ Der Mikroorganismus der gonorrhoeischen Schleimhaut-Erkrankungen.
2. Aufl. 1887.

Es war nothwendig, auf das Verhältniss des Gonococcus zum Gewebe näher einzugehen, weil wir bei der Beurtheilung der Aetiologie der Trippercomplicationen auf diesen Umstand immer wieder zurückgreifen müssen. Vor allem müssen wir die Eigenthümlichkeit der Gonococcen, die *Bumm* an der Conjunctiva festgestellt hat, im Auge behalten: dass die Gonococcen nur in das Cylinder- nie in das geschlossene Plattenepithel einzudringen im Stande sind, und dass sie sich nur innerhalb der oberflächlichsten Schichten des Bindegewebskörpers vermehren.

Greifen wir nach dieser kurzen Abschweifung unser eigentliches Thema wieder auf, so haben wir schon oben auf die vermehrte Gefahr combinirter Erkrankungen bei den Affectionen der Genitalorgane hingewiesen. Besonders gilt dies von solchen Ansteckungstoffen, welche Eiterungen erzeugen, einmal weil sie weitaus am häufigsten unter ihresgleichen, ja man möchte sagen, überall sich vorfinden, vielleicht auch weil ihnen der Organismus leichter wie anderen derartigen die nöthigen Mittel zur Ansiedelung gewährt. Darauf ist zum grossen Theil zurückzuführen die, wie schon erwähnt, so häufige Complication von Eiterungen jeder Art und jeden Grades. Die Eitercoccen sind im gonorrhoeischen Secret häufig nachzuweisen, und es ist mehr als wahrscheinlich, dass die Eitercoccen, welche im gonorrhoeischen Eiter einen überaus günstigen Nährboden finden, an der erkrankten, vielleicht hier und da erodirten Schleimhaut aufgenommen werden. Von dort brechen sie in die Lymphbahnen und wohl auch in die Blutgefässe ein, werden in die nächsten und in die entfernten Körpertheile getragen, wo sie gewissermassen metastatische Vorgänge hervorrufen.

Wir gehen nun zu den einzelnen Complicationen des Trippers über und wenden uns zunächst zu den Entzündungen der Schwellkörper.

Nach *Lesser*¹⁾ entsteht ein periurethrales Infiltrat und weiter durch eitrige Schmelzung der Periurethralabscess, wenn der durch die Tripperinfection hervorgerufene Entzündungsprocess von der Harnröhrenschleimhaut auf das submucöse Gewebe und auf die tieferen Theile, also auf das Gewebe des Schwellkörpers der Urethra oder derjenigen des Penis übergreift. Er giebt an, dass im Eiter der periurethralen Abscesse Gonococcen nachgewiesen

¹⁾ *Lesser*, Haut- und Geschlechtskrankheiten. 2. Aufl. 1886.

seien. In dieser Beziehung stimmt er mit *Welander*¹⁾ und *Bockhart*²⁾ überein. Letzterer fand bei einem künstlich hervorgerufenen Tripper in den Bluträumen der Pars cavernosa der Fossa navicularis eine grosse Anzahl weisser Blutzellen; auch das bindegewebige Balkenwerk der Pars cavernosa war auf's reichlichste von ausgewanderten Leucocyten durchsetzt, und diese waren — was das punctum saliens ist — ungefähr zur Hälfte mit Gonococcen erfüllt, welche nur in den Kernen, nicht im Zellleib selbst lagen. Die Epithelien der Schleimhaut dagegen enthielten weder in diesem noch in irgend einem anderen Theil der Harnröhre Gonococcen. Die coccenhaltigen Wanderzellen waren indess nicht gleichmässig über das ganze Gewebe des Schwellkörpers der Harnröhre vertheilt; am wenigsten reichlich im Balkenwerk und in den Bluträumen des an die Albuginea stossenden Theils des Corpus cavernosum urethrae, nahmen sie an Zahl zu in der Uebergangszone zwischen cavernösem und submucösem Gewebe, um in der Submucosa und Mucosa in dichten Scharen zusammen zu liegen. Die Lymphgefässe und Bindegewebsspalten waren geradezu thrombosirt von Gonococcen, während das umliegende Gewebe grosse, freiliegende Zellen enthielt, die rund oder oval und drei- bis fünfmal so gross wie gewöhnliche Wanderzellen, in ihren Leibern und Kernen vollgepfropft waren von Gonococcen.

Bockhart erklärt sich die periurethralen Abscesse in der Weise, dass die Gonococcen in die Lymphgefässe einwandern, durch ihre massenhafte Vermehrung eine Thrombose hervorrufen, welche in letzter Instanz zu einer lebhaften Entzündung und Auswanderung farbloser Blutkörperchen führt.

Schon kurze Zeit darauf bestritt *Arning*³⁾ die Ansicht, dass die Coccen sich in den Kernen der Eiterzellen vorfänden, und nimmt auf Grund der *Bockhart*'schen Abbildungen an, dass er sich durch die Körnelung in den zerfallenden Kernen habe täuschen lassen, wozu die von *Bockhart* angewandte Färbung mit Methylviolett viel beitrage. Auch den Befund von grossen coccen erfüllten Zellen erklärt er für einen Irrthum; es sind dies die im Trippereiter regelmässig, ferner im submucösen Bindegewebe vorkommen-

1) Gazette médicale 1884 p. 267 und Nord. med. Archiv. Bd. XVI. Nr. 2.

2) Vierteljahresschrift f. Dermatol. und Syphilis 1883 p. 3.

3) Vierteljahresschrift f. Dermatol. und Syph. 1883 p. 371.

den *Ehrlich'schen* Mastzellen. Dieselben lassen unter Umständen auch nach Platzen des Zellleibs ihre Körner austreten und geben so zu Vortäuschung bakterieller Befunde Veranlassung.

Aber abgesehen hiervon widerspricht auch das Vorkommen des Gonococcus in dem Schwellkörper der Harnröhre dem Fundamentalgesetz, das *Bumm* für das Verhalten des Gonococcus im Gewebe aufgestellt hat, wonach er nur in Cylinderepithel oder nahe verwandtes Gewebe einzudringen vermag, und hierzu kann man das Corpus cavernosum gewiss nicht rechnen. Zieht man überdies noch in Rechnung, dass die Gonococcen in den tieferen Partien der Mucosa nicht mehr die Bedingungen zu einer gedeihlichen Entwicklung vorfinden; giebt man selbst zu, dass die Pilze ausnahmsweise einmal etwas tiefer in das Gewebe, sei es bis in die Lymphbahnen, vordringen: so wird man doch durch das massenhafte Vorkommen der Coccen im Corpus cavernosum und seiner Umgebung, wo sie sich nach *Bockhart's* Darstellung offenbar ausserordentlich wohl fühlen, zu der Annahme gedrängt, dass es sich in diesem Falle doch um die Invasion einer anderen Bakterienart als die des Gonococcus gehandelt hat. Da wir an anderer Stelle auf den *Bockhart'schen* Fall näher eingehen müssen, so sei hier nur so viel erwähnt, dass es *Bumm* durch seine Züchtungsversuche gelungen ist, diesen Fall als das typische Bild einer Mischinfection klar zu stellen.

Die Bakterien, welche diese weitgehenden Veränderungen im Schwellkörper hervorgerufen hatten, stammten zwar aus dem Urethralsecret, waren aber sicher keine Gonococcen. Vielleicht lag hier die Invasion des *Staphylococcus aureus* vor, der zwar von der unverletzten Schleimhaut ohne weitere Reactionerscheinungen eliminirt wird, aber innerhalb des Bindegewebes ausge dehnte Abscessbildungen erzeugt. Da die von *Bockhart* ausgeführte Impfung etwas gewaltsam war, so ist die Annahme gerechtfertigt, dass die genannten Diplococcen durch eine verletzte Stelle in das Bindegewebsstroma eindringen und hier die oben beschriebenen Veränderungen herbeiführten.

Bei der nicht seltenen Entzündung der Lymphgefässe des Penis im Verlauf eines acuten Trippers setzt sich der Erkrankungsprocess in manchen Fällen bis auf die nächstgelegenen Lymphdrüsen fort und ruft hier eine zur Vereiterung führende Entzündung hervor (Tripperbubo). Oft erscheint die ganze Partie von der Symphyse fast bis zur Spina anterior superior infiltrirt,

so dass die ganzen Inguinaldrüsen ergriffen sind. *Wolf* hat im abscedirenden Tripperbubo die Gonococcen nachgewiesen, *Leistikow*¹⁾ ist dagegen der Nachweis daselbst nicht gelungen. Die Aetiologie erklärt sich *Bockhart* durch die Verbreitung der Gonococcen auf die höher gelegenen Lymphbahnen, von wo sie in das Drüsenparenchym gelangen und durch Thrombosirung reactive Entzündungserscheinungen hervorrufen. Indessen sind die Untersuchungen, welche bei den Tripperbubonen einen Gonococcenbefund ergaben, mit aller Reserve aufzunehmen, da bei der grossen Aehnlichkeit der Eitercoccen mit den Gonococcen sehr leicht Täuschungen möglich sind. Jedenfalls ist die Eventualität in's Auge zu fassen, ob nicht durch irgend welchen Umstand pyogene Pilze in die Urethra gelangen und, eine erodirte Stelle der Schleimhaut als Eingangspforte benutzend, in die Lymphbahnen eindringen. Die Entfaltung ihrer pathogenen Kraft hätten wir dann in den entzündlichen Processen der Lymphdrüsen zu suchen. An der Eintrittsstelle brauchen sie deshalb keine Veränderungen zu hinterlassen, beobachtet man doch in manchen Fällen nach Entbindungen oder noch häufiger nach Aborten eine septische resp. pyaemische Infection durch die Uteruswunde als Eingangspforte, ohne dass er selbst in seinem normalen Verhalten alterirt erscheint.

Bedenkt man, dass alle Schleimhäute, an denen mit absoluter Sicherheit Gonorrhoe constatirt wurde, einfaches Cylinder-epithel oder doch eine demselben nahestehende Epitheldecke tragen, welche sich durch geringe Dicke des Zelllagers und grosse Zartheit des Protoplasmas der zelligen Elemente auszeichnet; ruft man sich ferner in's Gedächtniss zurück, dass die Pilzinvasion am Uebergangsepithel scharf abschneidet; haben weiterhin Experimente an der v. Rinecker'schen Klinik gezeigt, dass Gonococcenculturen, in das subcutane Bindegewebe injicirt, spurlos zu Grunde gehen: so scheint es zum mindesten zweifelhaft, ob die Gonococcen ihren Einfluss auf solch' ausgedehnte Strecken geltend machen können — ganz abgesehen davon, dass zu der Zeit als *Wolf* seine Entdeckung machte, über die Bedeutung des Gonococcus in klinisch-diagnostischer Beziehung keine genügende Klarheit herrschte. Der Gedanke ist nicht so fernliegend, dass

¹⁾ Ueber Bakterien bei den venerischen Krankheiten, Charité-Annalen VII. Jahrgang.

sich *Wolf* ebenso gut durch eine dem *Gonococcus* ähnliche *Diplococcenart* hat täuschen lassen, wie dies bei *Bockhart* der Fall war. Und wirklich ist es später der vervollkommenen Färbetechnik gelungen, in dem frisch entleerten Eiter eines Tripperbubo durch die Gram'sche Tingirungsmethode den *Staphylococcus aureus* in grossen Mengen absolut sicher nachzuweisen.¹⁾

Was nun die im Anschluss an eine Gonorrhoe auftretenden Prostatitiden betrifft, so erscheint es doch gewagt, dieselben auf die Einwirkung des specifischen Trippervirus zurückführen zu wollen. Wir werden zum Beleg eine Reihe von Fällen mittheilen, die von so schweren Folgeerscheinungen, sogar von tödlichem Verlauf, begleitet waren, dass wir zur Erklärung nothwendig eine secundäre Infection mit septischen oder pyaemischen Stoffen heranziehen müssen. Vorzüglich die französischen Aerzte scheinen sich mit dem Studium der Prostatitiden beschäftigt zu haben — und ihnen sind auch die folgenden Angaben entnommen — wenigstens ist es mir nicht geglückt, in der deutschen Literatur irgend welche Mittheilungen über diesen Punkt zu finden.

Die Aetiologie der Prostatitis war in 46 Fällen nur 20 Mal angegeben. Bei 10 Fällen war die Ursache in Excessen jeder Art zu suchen: starke körperliche Anstrengungen, übermässiger Alkoholgenuss, Extravaganzen in Venere etc. In einem Fall war ausser Ausschweifungen ein Trauma nachzuweisen (Fusstritt in die Perinealgegend). Zehn weitere Fälle waren durch unzumuthbare therapeutische Massregeln (Abortivkuren, Kurfuschereien) veranlasst.

Martin,²⁾ der, durch einen interessanten Fall von Prostatitis mit nachfolgender Pyaemie angeregt, die Literatur daraufhin studirte, hat 46 Fälle von Prostatitis im Anschluss an Gonorrhoe aufgezeichnet, die alle mit Eiterung endigten. 15 von diesen gingen theils durch spontane Eröffnung in die Urethra oder in's Rectum theils infolge eines chirurgischen Eingriffs ohne andere Complicationen in Heilung über. In 2 Fällen — aphoristisch mitgetheilt in der Gazette des Hôpitaux 1878 p. 941 und von *Conche* im Bulletin de la société anat. 1867 p. 183 — schloss

¹⁾ Bamm, a. a. O. p. 118 Anm.

²⁾ *Martin*, Rech. s. les inflamm. métastat. suppur. à la suite de la gonorrhée Genf 1882.

sich eine Tuberculose des Genitalapparats an. Die Möglichkeit ist nicht zu leugnen, dass, wenn bei prädisponirten Individuen durch gonorrhoeische Processe die vitale Energie der Gewebe herabgesetzt wird, nun die Tuberkelbacillen einen günstigen Boden für ihre Entwicklung finden.

Ich schliesse hier gleich eine Mittheilung von *Simmonds* ¹⁾ an, wonach die anamnesticen Daten für die Entstehung der Genitaltuberculose in 26 Fällen ergaben, dass 11 Patienten an Gonorrhoe gelitten hatten, wovon 4 mit gleichzeitiger Epididymitis. Acht von diesen waren hereditär belastet. *Simmonds* entnimmt aus diesen anamnesticen Angaben, dass bei hereditär belasteten Individuen irgend eine auf den Genitaltractus wirkende Schädlichkeit, wie z. B. eine gonorrhoeische Entzündung, den Ausbruch der Genitaltuberculose veranlassen kann.

Die restirenden Fälle theilt *Martin* in Prostatitiden mit Folgeerscheinungen durch Fortschreiten der Entzündung auf die Nachbarorgane ohne Metastasen und solche mit pyaemischen oder der Pyaemie ähnlichen Metastasen.

Die ersteren sind die häufigsten und bestbekannten. Die Entzündung verbreitet sich längs der Mucosa (Blase, Ureteren, Nieren, Samenbläschen, vasa deferentia), oder aber sie geht durch Vermittlung des Bindegewebes auf die Nachbarorgane über — Periprostatitis, Peritonitis, subperitoneale Phlegmonen, perinephritische Abscesse. Alle diese phlegmonösen Periprostatitiden zeichnen sich durch tiefgreifende Abscedirungen aus und führen bald zum Durchbruch nach der Urethra, bald nach dem Rectum oder dem Perineum. In zwei Fällen nahm die Prostatitis einen tödtlichen Verlauf; in dem ersten durch eitrige Infection, in dem zweiten durch consecutive Peritonitis.

Diesen letzteren Fall hat *Peter* (Union médicale 1856) ausführlich mitgetheilt. Der Mann war mit gonorrhoeischer Epididymitis eingetreten und bald darauf verschieden. Die Autopsie ergab folgenden Befund: Allgemeine Peritonitis mit Pseudomembranen und eitrig-seröser Flüssigkeit. Digestionstractus gesund, Leber und Milz geschwollen, ein wenig hyperämisch. Blase und Nieren

¹⁾ Ueber Tuberculose des männl. Genitalapp. Deutsch. Arch. f. klin. Med. Band 38,6.

normal. Urethra im vorderen Theil auf eine Strecke von 4 cm. entzündet. Die eingeschnittene Prostata entleert auf Druck Eiter. Die linke Samenblase enthält Eiter und Epithelzellen. Das umgebende Zellgewebe ist verdickt und injicirt. Das darüber liegende Peritoneum ist stark entzündet. Vas deferens und sein Zellgewebe injicirt und indurirt, Mucosa blass. Epididymis dick und roth, Testikel anaemisch, Tunica vaginalis zeigt Adhäsionen, die Serosa ist roth. Doppelte diaphragmatische Pleuritis (sicher Fortsetzung durch das Diaphragma). — Die Entzündung musste sich gleichzeitig auf Prostata und Vesicula seminalis verbreitet haben. In diesen beiden Organen hatte die Entzündung wahrscheinlich ihren Sitz in der Mucosa aufgeschlagen, bevor sie sich auf das umgebende Zellgewebe ausbreitete. Das benachbarte Peritoneum hat in gleicher Weise an der Entzündung Theil genommen, und diese letztere, zunächst rein local, hat, allgemein werdend, den Tod verursacht. Die Thatsache dieser Ausdehnung eines prostatistischen Entzündungsprocesses auf's Peritoneum steht nicht vereinzelt da: *Ricord* hat 2 Fälle gesehen, bei denen sich die Prostatitis auf's Peritoneum ausbreitete; auch *Lallemant* sah eine Prostatitis sich mit vorübergehenden Symptomen einer Peritonitis äussern.

Faber ¹⁾ erwähnt einen Prostataabscess, der sich in die Blase entleerte, sich aber wieder bildete und einen Weg in's Rectum bahnte; es lag hier eine periprostatistische Phlegmone vor mit bedeutender Anschwellung des Schenkels. *Laforge* (*Gazette des Hôpitaux* 1877) sah Eitergänge von grosser Ausdehnung und richtige subperitoneale Phlegmonen in einem Fall, wo zu einer Prostatitis eine Cystitis kam. Unter peritonitischen Symptomen bildete sich ein perinephritischer Abscess, nach dessen Eröffnung Heilung eintrat.

Jubiot theilt in der *Gazette des Hôpitaux* 1872 folgenden Fall mit: Ein junger Mann sucht wegen einer Gonorrhoe das Hospital auf und stirbt nach 10 Tagen, „unter den Symptomen einer Pyämie herrührend von einer heftigen Urethralentzündung.“ Die Obduction ergiebt: Urethra intact, Corpora cavernosa entzündet, Phlebitis des Plexus prostaticus. Metastatische Abscesse der Leber und Lunge, Eiteransammlung in den Muskeln des rechten Arms und dem Ellbogengelenk der rechten Seite.

¹⁾ Nouv. observ. s. les malad. vénér. 1879.

Es erübrigt mir noch nachstehende Beobachtung *Lallemant's* (des abcès chauds de la prostate et du phlegmon périprostatique 1880) zu erwähnen: M. G. . . ., Artilleriehauptmann, zog sich zum zweiten Male eine Gonorrhoe zu. Während einer Reise tritt Urinretention und Priapismus ein. Katheterisation schwierig. Die Miction sehr schwierig, aber möglich. Der Durchtritt der ersten Urintropfen sehr schmerzhaft und mit heftigen Erectionen verbunden. Spontane Eröffnung eines Prostataabscesses in die Harnröhre. Besserung. Nach einigen Tagen entzündlicher Nachschub von seiten der Prostata mit einem Anfall von Gelenkrheumatismus. Spontane Eröffnung in's Rectum. Nach vier Monaten war die Gesundheit im Allgemeinen wieder hergestellt, doch erfolgte noch fortwährend intermittirende Eiterentleerung durch's Rectum von 3—4tägiger Dauer.

Zu der Zeit, wo alle diese Erkrankungen veröffentlicht wurden, konnte von einer bakteriellen Untersuchung noch nicht die Rede sein. Die Sectionsbefunde beschränken sich deshalb nur auf die groben pathologisch-anatomischen Veränderungen, welche bei der Obduction zu Tage traten. Indess gestützt auf die neuesten Untersuchungen über das Verhalten des Gonococcus im Gewebe können wir mit Bestimmtheit die Annahme von der Hand weisen, dass es sich bei diesen complicirten und nicht complicirten Prostatitiden um eine einfache Fortleitung des gonorrhoeischen Processes handelte. Das beweist schon die Angabe von *Martin*, dass die Urethralaffection schon zum grossen Theil verschwunden war. *Jubiot* betont ausdrücklich, dass die Urethra vollständig intact war, dagegen eine Entzündung der Schwellkörper und Venenplexus der Prostata bestand. Es unterliegt keinem Zweifel, dass wir es hier mit einer Secundärinfection zu thun haben, welche der ursprünglichen Affection fremd gegenüber steht. Es wird sich wohl in den vorliegenden Fällen um die Invasion der durch *Rosenbach* als die Erreger der Eiterung erkannten Mikroorganismen handeln. Ueber den Modus der secundären Cocceninvasion können wir auf die in der Einleitung entwickelten Anschauungen über Mischinfection verweisen.

Eine der häufigsten Complicationen des Trippers ist der Blasenkatarrh. *Lesser*¹⁾ ist der Meinung, dass sich derselbe durch das Weiterschreiten des specifischen Entzündungsprozesses

¹⁾ a. a. O. p. 24.

der Harnröhrenschleimhaut nach hinten entwickelt — oft ohne erkennbare Ursache, in anderen Fällen im unmittelbaren Anschluss an eine Kathetereinführung. Von der Blase aus kann sich dann der gonorrhoeische Process weiter auf die Ureteren, die Nierenbecken und die Nieren fortpflanzen.

*Stoll*¹⁾ erwähnt einen solchen mit Prostatitis combinirten Fall. Bei der mikroskopischen Untersuchung wurden in den Harnsedimenten Eiter, rothe und weisse Blutzellen, Harncylinder sowie Nierenepithelien nachgewiesen. Der Nachweis von Bakterien konnte selbstverständlich — die Arbeit erschien im Jahre 1877 — nicht versucht werden. Der Beweis für die gonorrhoeische Natur der Blasen- und Nierenerkrankungen im Verlaufe eines Trippers erschien mit einem Male erbracht, als *Bockhart*²⁾ im Jahre 1883 eine Arbeit veröffentlichte, in der er mittheilte, dass sich im Anschluss an eine Impfgonorrhoe eine Cystitis und Nierenabscesse entwickelt hätten.

Die Section ergab für die rechte Niere folgenden Befund: Nach Ablösung der Kapsel zeigt sich in der Mitte eine grössere Gruppe von Abscessen, welche eine ganze Malpighi'sche Pyramide einnehmen, daneben 2 kleinere Abscessgruppen. Schleimhaut des Nierenbeckens hyperaemisch; sie sondert einen dünnen, schleimigen Eiter ab. An der Spitze der genannten Pyramide mehrere zum Durchbruch reife Abscesse. Die eben erwähnte Hauptgruppe von Abscessen entspricht einer völligen Confluenz von Eiterherden. Rings um die Abscesse ist das Nierenparenchym deutlich geschwellt und hyperaemisch. Linke Niere normal. Die Schleimhaut der Harnblase deutlich hyperaemisch, besonders am Trigonum Lieutaudii, mit deutlicher Nekrose einiger hervorragender Punkte. In der Pars prostatica verliert sich die Entzündung, welche auch den oberen Theil der Harnblase schwächer betroffen hat.

Die weiteren Ergebnisse der Obduction gehören nicht mehr hierher. Auch *Bockhart* war überrascht, dass die gonorrhoeische Entzündung in so kurzer Zeit bis auf die Blase und rechte Niere übergriff. Für ihn unterlag es keinem Zweifel, dass es sich um eine gonorrhoeische Cystitis und Nephritis handele, das bewies

¹⁾ Diss. inaug. 1877.

²⁾ A. a. O.

die mikroskopische Untersuchung des Eiters der Nierenabscesse, der eine ungemein grosse Zahl von Gonococcen aufwies, theils innerhalb des Zellprotoplasmas zu den charakteristischen Haufen angeordnet, theils in freien Gruppen von 2–8 Coccen.

Die Entstehung der Nierenabscesse erklärt sich *Bockhart* in diesem Fall durch die ungeheuere Menge der in die Harnröhre injicirten Gonococcen, die demgemäss auch eine sehr viel intensivere und ausgedehntere Entzündung wie nach einer gewöhnlichen Infection hervorrufen mussten. Durch diese Deutung sucht er dem Einwand *Zeissl's* ¹⁾ und *Tarnowsky's* ²⁾ zu begegnen, welche nie eine durch Tripper bedingte abscedirende Nephritis beobachtet haben. Die Verbreitung der Gonococcen von der Harnröhre aus nach den Nieren erfolgt nach seiner Ansicht durch Vermittlung der weissen Blutzellen, In das Protoplasma aufgenommen, dringen sie mit diesen nach mancherlei Schicksalen in die Blutgefässe ein. Gewöhnlich werden sie im Gewebe und in der Blutbahn zerstört; ist aber ihre Menge eine sehr grosse, so kann der Organismus keinen rechten Widerstand leisten, und sie vermögen sich durch die ganze Harnröhre und Blase hindurch bis in die Niere zu verbreiten und in diesem weichen Drüsengewebe Abscedirung zu veranlassen.

Schon bald darauf wurde die Arbeit *Bockhart's* von *Arning* ³⁾ angefochten, der mit Recht betonte, dass die Gonococcen niemals in den Kernen der weissen Blutzellen selbst liegen, und schliesslich auf Grund der *Bockhart's*chen Abbildungen zu der Ansicht kam, dass sich derselbe durch die Körnelung in den zerfallenen Kernen habe täuschen lassen. Auch seine grossen mit Gonococcen vollgepfropften Zellen seien nichts Anderes als die im gonorrhoeischen Eiter regelmässig, ferner im submucösen Bindegewebe vorkommenden sog. *Ehrlich's*chen Mastzellen, welche schon öfters und wohl auch hier zur Vortäuschung bakterieller Befunde Veranlassung gegeben hätten. Aber wenn auch *Bockhart* wirklich Diplococcen gesehen hat, so ist doch die Möglichkeit vorhanden, dass der von *Bumm* entdeckte pathogene gelbweisse

1) Lehrb. d. Syph. 1875.

2) Vort. über vener. Krankh. 1872.

3) Vierteljahresschr. f. Dermatol. und Syph. 1883, p. 371.

Diplococcus vorlag, der bei Cystitis vorkommt und sehr leicht zu Verwechslungen mit Tripperbakterien Veranlassung geben kann.

Waren so gewichtige Bedenken gegen die *Bockhart'schen* Angaben laut geworden, so ergaben die Resultate der später angestellten Züchtungsversuche mit aller Bestimmtheit, dass *Bockhart* bei seinen Injectionen in die Harnröhre eines Paralytikers keine Gonococcen sondern einen anderen formähnlichen Coccus benutzt hatte.

Das geht schon aus dem Verhalten der Reincultur von *Fehleisen* hervor, die *Bockhart* zu seiner Impfung anwandte. Dieselbe stammte zwar aus dem gonorrhoeischen Urethralsecret, ging aber bei Körpertemperatur auf Fleischinfusgelatine an und war bis zur vierten Generation fortgeführt. Im Anschluss an meine weiter oben gethane Bemerkung will ich kurz einschalten, dass der im gonorrhoeischen Eiter vorkommende pathogene gelbweisse Diplococcus bei Körpertemperatur, auf Nährgelatine geimpft, rasch wächst und sich auch leicht weiterimpfen lässt.

Unter dem Einflusse von *Fehleisen's* Cultur benutzte *Bumm* zu seinen Züchtungsversuchen, deren Impfmateriale aus möglichst coccenhaltigem Eiter bestand, Fleischinfuspeptongelatine von verschiedener Concentration und Reaction. Bei einer Temperatur zwischen 15° und 20° R. gingen die Gonococcen schon nach kurzer Zeit zu Grunde; bei Körpertemperatur liess sich wohl zu verschiedenen Malen eine Vermehrung der Coccen bis zu kleinen Colonien constatiren, allein eine weitere Entwicklung fand nicht statt; geschweige denn, dass man eine Reincultur bis zur vierten Generation hätte fortführen können.

Aber auch vom klinischen Standpunkt aus lässt sich durch die Differenz in der Wirkungsweise des fraglichen *Bockhart'schen* Coccus und des Mikroorganismus der Gonorrhoe nachweisen, dass der *Bockhart'sche* Fall nicht dem Bild des gonorrhoeischen Erkrankungsprocesses entspricht.

Hören wir, was *Bumm* ¹⁾ darüber sagt: „Während meine Präparate übereinstimmend ergaben, dass das ursprüngliche Schleimhautepithel schon in den ersten Tagen der Erkrankung abgestossen wird und zu Grunde geht, bildet *Bockhart* noch am 10. Tage ein fast normal aussehendes Cyliinderepithel ab; während

¹⁾ A. a. O. p. 121.

ich um diese Zeit Coccen nur in den oberflächlichsten Gewebsschichten vorfand, waren sie bei *Bockhart* bis tief in die Submucosa und sogar in das Corpus cavernosum vorgedrungen. Aber auch abgesehen von diesen Verschiedenheiten der Ausbreitung, die sich am Ende noch auf die Besonderheiten des *Bockhart'schen* Falls zurückführen lassen, ist auch das Verhalten der Mikroorganismen zum Gewebe und zu den Zellen bei *Bockhart* ein total anderes als in meinen sämtlichen Fällen. Jenes Eingeschlossensein der Coccen in die Zellkerne, wie es *Bockhart* angiebt und so häufig sah, habe ich bei der Durchmusterung von hunderten von Schnittpräparaten nur ein einziges Mal, und auch da nicht an einer grossen epitheloiden Zelle, zu Gesicht bekommen und darf deshalb wohl behaupten, dass ein derartiges Verhalten der Gonococcen höchst selten ist und nur ganz ausnahmsweise vorkommt.“

Ich glaube diese Beweise in bakterieller und klinischer Hinsicht sind überzeugend genug, um sagen zu können, dass die von *Bockhart* erzeugte Krankheit keine Gonorrhoe gewesen sein kann. Wohl aber hat uns der *Bockhart'sche* Versuch gezeigt, dass durch Cocceninvasion Blasen- und Nierenerkrankungen hervorgerufen werden. Welcher Natur diese Pilze waren, darüber kann man nur Vermuthungen hegen, doch ist es nicht unwahrscheinlich, dass sie mit dem mehrfach erwähnten gelb-weissen *Diplococcus* identisch waren. Dieser auf unverletzte, für das gonorrhoeische Contagium empfängliche Schleimhäute gebracht, wird zwar ohne weitere Reactionerscheinungen eliminirt, ruft aber, unter die Haut injicirt, Abscesse, in der Blase deponirt, Cystitis hervor.

Somit hat *Bockhart* wider Willen bewiesen, dass der im Anschluss an Tripper auftretende Blasenkatarrh nicht gonorrhoeischer Natur sein kann, sondern dass er erst secundär durch Pilze hervorgerufen wird, die im gonorrhoeischen Secret den günstigen Boden für ihre Entwicklung finden. Auf welche Weise diese Mischinfection erfolgt, ist klar: Die Infectionsträger werden entweder durch Katheterisation in die Blase verschleppt, oder aber man hat sich den Vorgang so zu denken, dass die Coccen an den Schleimfäden längs der Urethra emporkriechen und bei günstiger Gelegenheit in die Blase eindringen.

Wenden wir uns zu einer weiteren, im Ganzen seltenen Complication der Gonorrhoe, zum Tripperrheumatismus.

Ueber sein Abhängigkeitsverhältniss vom Tripper stehen sich zwei Ansichten schroff gegenüber. Während die eine Partei jeden genetischen Zusammenhang mit dem Tripper leugnet und den „sogenannten Tripperrheumatismus“ dem Gelenkrheumatismus vollständig gleichstellt, betonen die Anderen die specifische Natur des gonorrhoeischen Rheumatismus.

Dass die rheumatischen Krankheitserscheinungen direct vom Tripper abhängig sind, dürfte jetzt mit Sicherheit anzunehmen sein, wenn auch in anderem Sinne als dies früher geschehen ist. Die Ansicht, dass es sich in diesen Fällen um gonorrhoeische Metastasen handle, müssen wir als irrig zurückweisen, wohl aber sind wir zu der Vermuthung berechtigt, dass das Eindringen anderer Mikroorganismen diese rheumatischen Erkrankungen hervorruft. „Der Tripper würde dann nur insofern die Ursache des Rheumatismus sein, als durch die Entzündung der Harnröhrenschleimhaut die Aufnahme der Infectionskeime ermöglicht wird.“ (*Lesser.*)¹⁾

Für die Abhängigkeit der rheumatischen Erkrankungen von der Gonorrhoe wollen wir zunächst die Thatsache anführen, dass gewisse Individuen bei jeder Gonorrhoe regelmässig von Rheumatismus befallen werden. *Löb*²⁾ sah dies 4 Mal, *Fournier* 5 Mal, *Brandes* 6 Mal, *Volkman* sogar 7 Mal eintreten. *Nolen* hat dagegen geltend gemacht, dass die Gonorrhoe durch eine Reaction auf den Gesamtorganismus den physiologischen Widerstand verschiedener Gewebe aufhebe und infolgedessen bei dazu disponirten Personen rheumatische Erkrankungen hervorrufen könne. Mit vollem Recht hält dem *Loeb* gegenüber, dass dann Personen, welche wiederholt an Polyarthrits rheumatica gelitten hätten, durch eine Gonorrhoe ganz besonders gefährdet seien. Dass dem nicht so ist, beweist die Thatsache, dass wiederholt von gewöhnlichem Gelenkrheumatismus befallene Patienten später zu verschiedenen Malen eine Gonorrhoe acquirirten, ohne an Tripperrheumatoid zu erkranken.

Es ist demnach ein pathogenetischer Zusammenhang zwischen Gonorrhoe und dem sogenannten Tripperrheumatismus nicht zu leugnen. Keinesfalls aber ist der Tripperrheumatismus

¹⁾ A. a. O. p. 51.

²⁾ Die Rheumatoiderkrank. d. Gonorrhoe. Deutsch. Arch. f. klin. Med. Band 38, 12.

ein gewöhnlicher, den Tripper lediglich complicirender Rheumatismus.

Für diese Entscheidung sprechen hauptsächlich folgende Thatsachen:

1) Während der Rheumatismus acutus in der Regel von hohem Fieber begleitet ist, fehlt dasselbe bei der Arthritis gonorrhoeica entweder vollständig oder ist nur von geringer Dauer und Höhe.

2) Trägt der gonorrhoeische Erkrankungsprocess einen viel torpideren Charakter.

3) Ist der Tripperrheumatismus fast stets nur auf wenige, meist nur ein Gelenk beschränkt, ist stabiler und springt nicht von einem Gelenk auf das andere. Wird aber ein neues Gelenk befallen, so wird das früher afficirte nicht frei, wie wir es sonst beim gewöhnlichen Gelenkrheumatismus wahrnehmen. Ausserdem beschränkt sich die Entzündung meistens auf das Kniegelenk, während der Rheumatismus acutus keine solche Vorliebe für ein bestimmtes Gelenk zeigt.

4) Nimmt *Löb* für die Eigenartigkeit der Arthritis gonorrhoeica die häufige Complication einer Augenentzündung in Anspruch, die sich vor der Blennorrhoe durch ihren gutartigen Verlauf und die weniger heftigen Symptome auszeichnet. Diese Ophthalmie verschwindet häufig im Verlauf des Tripperrheumatismus, um nach einiger Zeit wieder zu erscheinen, ein Verhalten wie wir es bei Blennorrhoea gonorrhoeica niemals beobachten.

5) In der Mehrzahl der Fälle fehlen beim Tripperrheumatismus Complicationen von seiten des Herzens: das Freibleiben des Peri- und Endocards ist fast charakteristisch für diesen Process.

6) Häufiger als beim Rheumatismus acutus kommen Entzündungen der Sehnenscheiden und Schleimbeutel vor, hie und da auch Ischias. *Loeb* theilt einen Fall mit, wo er bei einem 29jährigen Arbeiter Arthritis gonorrhoeica, links eine Sehnenscheidenentzündung des Extensor hall. long. und rechtsseitige Ischias constatirte.

7) Die Verschiedenheit beider Krankheitsprocesse documentirt sich am deutlichsten durch ihr Verhalten den Salicylsäurepraeparaten gegenüber. Während beim vulgären Rheumatismus die Salicyldarreichung fast stets vom besten Erfolg begleitet ist, kürzen beim gonorrhoeischen Rheumatismus selbst grosse Dosen

die Krankheitsdauer nicht ab, noch beeinflussen sie die Gelenkaffection in günstiger Weise.

Dass nicht auch einmal bei einer Gonorrhoe ein multipler acuter Gelenkrheumatismus auftreten kann, hebt *Loeb* ausdrücklich hervor. „Ein Gonorrhoeiker, der schon verschiedene Attacken von Rheumathritis durchgemacht hat, kann gerade so gut während des Trippers oder Nachtrippers einmal an der gleichen Affection erkranken.“ Aber dieser Umstand beweist nichts gegen die principielle Verschiedenheit des acuten Gelenkrheumatismus und der Rheumatoiderkrankung.

Was nun die Aetiologie des Tripperrheumatismus betrifft, so fragen wir uns mit *Loeb*: Wie sollen wir uns die ganze Stufenleiter gonorrhoeisch-arthritischer Erkrankungen von der einfachen Synovitis, die den Patienten kaum am Gehen hindert, bis zu den fieberhaften multiplen Gelenkentzündungen, die den Kranken monatelang auf's Lager werfen und in manchen Fällen schliesslich mit Gelenkvereiterung endigen, erklären? Wir finden nur eine Erklärungsmöglichkeit.

Nach dem Stande unserer heutigen Kenntnisse ist es das Wahrscheinlichste, dass der Tripperrheumatismus infectiöser Natur ist. Wir dürfen uns vorstellen, dass sich diese Mikroorganismen neben den Gonococcen entwickeln und von der erkrankten, hie und da erodirten Schleimhaut aufgenommen und nach entfernten Körpertheilen transportirt werden. Beobachtungen von *Zeissl* (Lehrbuch der Syphilis 1871) und *Struppi* (Wien. med. Presse 1883, 37—41) legen die Vermuthung nahe, dass die Secundärinfection in den hinteren Harnröhrenabschnitten, als an denjenigen Localitäten, an welchen die unter dem Namen Trippergeschwüre bekannten Follicularverschwürungen ihren Sitz haben, die Eingangspforte findet.

Was nun die Art der entzündungserregenden Mikroben anlangt, so stehen sich hier zwei Ansichten gegenüber. *Kammerer*¹⁾ glaubt im Gelenkexsudat eines Tripperkranken Gonococcen vorgefunden zu haben, eine Beobachtung, die durch *Petrone* (*Rivista clinica* 1883, 2) bestätigt wurde, der ebenfalls die Trippercoccen in dem Inhalt zweier an Tripperrheumatismus erkrankten Gelenke nachgewiesen hatte. Allerdings waren bei einer zweiten, 13 Tage später erfolgten Punction die Mikroorganismen verschwunden, aber diesem negativen Befund legt *Kammerer* kein

¹⁾ Ueber gonorrh. Gelenkentz. Centralbl. f. Chir. 1884 No. 4 p. 164

grosses Gewicht bei. Es sei offenbar von Wichtigkeit, in welcher Zeit nach dem Auftreten des Ergusses die Untersuchung vorgenommen werde. Wenn man bei anderen infectiösen Krankheiten die Entzündungserreger am zahlreichsten im floriden Stadium, nachdem sie aber schwere Veränderungen hervorgerufen haben, spärlich, meist gar nicht mehr finde, so sei die Vorstellung gerechtfertigt, dass die Gonococcen in dem Exsudat der gonorrhoeischen Gelenkentzündung bald zu Grunde gingen und daher nicht mehr gefunden würden. Leider passt dieser Vergleich nicht ganz; denn trotz der pathologischen Veränderungen finden wir bis zuletzt im gonorrhoeischen Eiter die specifischen Mikroorganismen. *Kammerer* hält es also für höchst wahrscheinlich, dass der Tripperrheumatismus einer Gonococceninvasion seine Entstehung verdankt.

Auf der anderen Seite wird aber mit Recht betont, dass diese wenigen, nur auf die morphologische Aehnlichkeit gestützten Befunde nicht als absolut entscheidend angesehen werden dürfen.

Kammerer weist ja selbst darauf hin, dass auch bei nicht specifischen Urethritiden Gelenkentzündungen vorkommen, und vermuthet, dass diese ebenfalls durch irgend welche Entzündungserreger hervorgerufen werden, indem letztere von der Schleimhaut zur Resorption gelangen. Warum soll dies nicht auch bei einer Tripperaffection Geltung haben können?

Wenn *Bergmann* ¹⁾ im Gelenkeiter einer gonorrhoeischen Rheumatoiderkrankung Diplococcen gefunden hat, die sich nach der Gram'schen Methode färben lassen, so hat er ja damit bewiesen, dass diese Mikroben eben keine Gonococcen waren, und zweitens, dass von der blennorrhoeisch erkrankten Schleimhaut sehr wohl andere Pilze aufgenommen werden können, die in die Gelenke wandernd jene Complication verursachen.

Auch *Loeb* ist der Ansicht, dass die von *Kammerer* gesehenen Mikroparasiten keine specifischen sondern Eitercoccen waren. Gegen eine Gonococceninvasion spricht einigermassen die Seltenheit der rheumatischen Complication, sowie das Auftreten derselben in einem vorgerückteren Stadium des blennorrhoeischen Processes und zwar häufig zu einer Zeit, in welcher die speci-

¹⁾ Gonitis gonorrh. mit Coccen. Petersburg. med. Wochenschrift N. F. II, 35. 1885.

fischen Coccen sehr spärlich sind und nur mit grosser Mühe entdeckt werden können. Zum Beweis, dass nicht specifische Pilze als Krankheitserreger anzusehen sind, zieht auch er das Auftreten von Gelenkentzündungen bei nicht virulenten Urethralkatarrhen und nach Katheterisation heran. Hierbei muss die Aufnahme der pathogenen Organismen von der verletzten resp. erkrankten Schleimhaut aus erfolgt sein und dies um so mehr, als eine Anzahl der bezüglichen Arthropathien zweifelsohne pyaemischer Natur war. Gerade bei der Harnröhrengonorrhoe gelingt es den nicht specifischen Spaltpilzen leicht, von dem verklebten Orificium externum aus durch das den besten Boden für ihre Vermehrung und Weiterwanderung abgebende Secret hindurch in die hinteren Harnröhrenabschnitte zu gelangen. Dass diese thatsächlich im Trippersecret vorhanden sind, das beweisen die Untersuchungen *Fürbringer's*, der neben den specifischen Coccen anderweitige Mikroorganismen beim chronischen Tripper stets, beim acuten Stadium fast immer gefunden hat.

Erinnern wir uns schliesslich, dass in neuester Zeit *Heubner* ¹⁾ und *Bahrdt* für die im Gefolge von Scarlatina auftretenden Gelenkerkrankungen ebenfalls andere, nicht für den betreffenden Erkrankungsprocess specifische Mikroorganismen gefunden haben, so können wir nur die Anschauung *Löb's* theilen, der seine Untersuchungen dahin zusammenfasst, dass: „Die gonorrhöische Rheumatoiderkrankung eine Wundinfectionskrankheit ist, bei welcher der Tripperprocess nur insofern eine pathogenetische Rolle spielt, als er den Eitercoccen günstige Bedingungen für ihre Entwicklung und durch Schaffung einer geschwürigen Stelle ein Atrium zum Eindringen in die Lymph- und Blutbahn herstellt.“

Nicht minder heftig umstritten ist die Frage, ob die Perimetritis und die eitrige Parametritis gonorrhöischen Ursprungs sind, oder ob sie lediglich als Folgezustände einer Tripperinfection anzusehen sind.

Noeggerath ²⁾ war es, der zuerst auf den aetiologischen Zusammenhang der acuten Perimetritis mit der Gonorrhoe hingewiesen hat. Er stellte den Begriff „latente Gonorrhoe“ auf, d. h. nach seiner Meinung ist der Tripper des Mannes unheilbar und steckt, auch wenn er scheinbar geheilt ist, die Frau regel-

¹⁾ Berl. klin. Wochenschr. 1884, No. 44.

²⁾ Die latente Gonorrhoe 1872.

mässig an, weil er eben nur latent geworden ist. Die Gonorrhoe des Weibes tritt nach ihm auf als acute, recidivirende und chronische Perimetritis. Der Tubenkatarrh spielt dabei die Hauptrolle, indem durch plötzliches Ueberfließen nur weniger Tropfen des Secrets die verschiedenen Formen der Perimetritis bis zur acuten, schnell tötenden Peritonitis entstehen.

Schröder ¹⁾ hat die Anschauungen *Noeggerath's* zu den Seinigen gemacht, allerdings mit der Einschränkung, dass der männliche Tripper diese Folgen wohl haben kann, aber durchaus nicht regelmässig hat.

Auch *Fritsch* ²⁾ ist der Meinung *Noeggerath's* beigetreten. Nach ihm kann der Zusammenhang einer durch Tripperinfection entstandenen Perimetritis ein dreifacher sein. Entweder entzündet sich der Lymphraum der Peritonealhöhle, wie sich die Leistendrüsen bei einem Geschwür an der Vulva resp. dem Penis entzünden. Er hält es aber auch ferner für möglich, dass bei einem virulenten Katarrh der Tubenschleimhaut die Entzündung sich durch die dünne Tubenwand hindurch fortsetzt auf den peritonealen Ueberzug. Oder aber der virulente Eiter des Tubenkatarrhs gelangt direct durch Ueberfließen in die Peritonealhöhle und bewirkt eine durch Ueberimpfung entstandene Perimetritis.

Der hervorragendste Verfechter ist den *Noeggerath's*chen Ansichten in neuester Zeit in *Sänger* ³⁾ erstanden. Er vertritt in schärfster Weise die Lehre, dass die gonorrhoeische Infection das wichtigste und häufigste, aber immer noch nicht genügend bekannte aetiologische Moment für die schweren Erkrankungen der Uterusadnexe sei. Besonders wichtig ist eine Combination der puerperalen mit der gonorrhoeischen Infection. *Sänger* ist der Ansicht, dass die letztere bei Uebertragung während des Involutionsstadiums besonders rasch in die Tuben und weiter vordringt, ebenso wenn sie schon während der Schwangerschaft bestand. Dass sie die Schwangerschaft überdauern kann, das schliesst *Sänger* aus einem von *Donat* und ihm verfolgten Fall, bei dem die gonorrhoeisch erkrankte Uterusschleimhaut bei zutretender

¹⁾ Krankheiten d. weibl. Geschlechtsorgane 1886.

²⁾ Die Krankheiten d. Frauen, 1886 p. 364.

³⁾ Ueber gonorrh. Erkrankung der Uterusadnexe etc. Arch. f. Gynaekol. XXV. p. 126 ff.

Schwangerschaft die Umwandlung in Decidua durchzumachen schien, ohne dass Fortbestand der Erkrankung in Gestalt eitriger Infiltration ihre Entwicklung hemmte. Aber während die Anderen den gonorrhoeischen Process nur auf das Perimetrium beschränkten, hat *Sänger* auch noch die eitrige Parametritis in das Gebiet der Trippererkrankungen gezogen. Für die Diagnose ist in den meisten Fällen gonorrhoeischer Erkrankung der Sexualorgane Anamnese und klinischer Befund, „ja dieser ganz allein völlig ausreichend.“ Zumal da nach seiner Ansicht sich die Hoffnung, in dem Nachweise des Neisser'schen Gonococcus ein Mittel zu besitzen für die Erkenntniss der chronischen Gonorrhoe, als eitel erwiesen habe. Ihm gilt es als ausgemachte Thatsache, dass Gonorrhoe bestehen kann, wo keine Gonococcen sich finden, während das Vorhandensein von Diplococcen in Anbetracht des Vorkommens nicht pathogener Formen nichts für die Gonorrhoe beweist. *Sänger* ¹⁾ erklärt daher in Erwiderung auf eine Frage *Kroner's* ²⁾ ausdrücklich, dass eine Untersuchung auf Gonococcen in seinen Fällen nicht stattgefunden habe, weil sie zur Stellung der Diagnose überflüssig war.

Wer daher eine Erkrankung der Tuben, der Uterusadnexe und des Beckenbauchfells kurz nach einer Entbindung, einem Abortus zur Behandlung bekommt, der wird sicher, wenn er bis zur Aetiologie vordringt, nach *Sänger* weitaus in den meisten Fällen gonorrhoeische Infection dafür verantwortlich machen können.

Demgegenüber macht *Bumm* ³⁾ mit Recht geltend, dass es ungerechtfertigt und willkürlich wäre, anzunehmen, ein später bei der Frau auftretendes Genitalleiden beruhe auf gonorrhoeischer Basis, bloß deshalb weil der Mann einmal an einer Blennorrhoe gelitten.

Nicht einmal aus der Art des Ausflusses glaubt *Bumm* einen Schluss auf Tripperinfection zulassen zu können, weil man auf der einen Seite trotz des scheusslichsten Ausflusses Frauen ohne Gonorrhoe beobachtet, während anderseits nur ein kleines Tröpfchen ganz klaren Schleimes des Cervix so viele

¹⁾ Verhandl. d. Gynaekol. Gesellschaft 1886.

²⁾ Ibidem.

³⁾ Ibidem.

infectiöse Mikroorganismen beherbergen kann, dass Dutzende von Männern inficirt werden können.

Was nun die Parametritis betrifft, so ist *Sänger* selbst auf dem gynaekologischen Congress 1886 von seiner früheren Ansicht zurückgekommen und leugnet in Uebereinstimmung mit *Bunn*, aber im Gegensatz zu *Kaltenbach* das Vorhandensein einer Parametritis gonorrhoeica. Die Ansicht des Letzteren, dass die Gonococcen vermöge einer eminent diastatischen Eigenschaft tiefer in das Gewebe eindringen und manche schwer erklärliche Fälle von sporadischer Parametritis erzeugen könnten, erledigt sich durch die unerschütterlich festgestellte Thatsache, dass die Gonorrhoe eine Oberflächenerkrankung der Schleimhaut ohne tiefer greifende Wirkung ist. Ausserdem ist auf der früheren v. Rinecker'schen Klinik auf experimentellem Wege nachgewiesen worden, dass die Gonococcen im Bindegewebe nicht mehr die Bedingungen zu einer gedeihlichen Fortentwicklung vorfinden, sondern sehr rasch spurlos zu Grunde gehen. Kommen aber wirklich Parametritiden — was übrigens selten der Fall ist — im Verlaufe eines Trippers zur Beobachtung, so sind sie jedenfalls auf Rechnung einer gleichzeitigen Einwanderung des *Staphylococcus aureus* oder *albus* zu setzen, der von Erosionen der Schleimhaut aus in die Lymphgefässe eindringt. Das Vorhandensein einer gonorrhoeischen Infection wird um so eher vorgetäuscht, als die Formähnlichkeit des *Staphylococcus* bei flüchtigem Ansehen eine Verwechselung mit dem *Gonococcus* besonders nahe legt.

Auch für die Perimetritis muss die gonorrhoeische Infection von der Hand gewiesen werden. Schon das histologische Verhalten des Peritoneums spricht gegen eine Gonococceninfection; das Bauchfell besteht aus Plattenepithel, und für dieses ist die vollständige Immunität gegenüber dem specifischen Trippermikrobion nachgewiesen. Ueberall, wo Cylinder- und Plattenepithel zusammenstossen, schneidet der Erkrankungsprocess scharf ab, und das normale Verhalten des Gewebes erscheint in nichts gestört. Aber auch eine Entzündung des Lymphraums der Peritonealhöhle kann für die Invasion der specifischen Mikroben als Argument nicht herangezogen werden, da wir einen analogen Vorgang nicht kennen, im Gegentheil für die sog. Tripperbubonen eine Secundärinfection nachgewiesen ist.

Die zweite Möglichkeit einer Infection des Peritoneums in Folge directer Fortleitung des virulenten Katarrhs durch die dünne Tubenwand hindurch lässt sich ebenfalls erfolgreich anfechten, da nachgewiesen ist, dass die Pilze wohl zwischen den oberflächlich gelegenen Bindegewebsbündeln noch mit einer gewissen Intensität sich zu vermehren im Stande sind, dass aber ihre Kraft nicht mehr ausreicht, um die tieferen Partien der Mucosa zu durchbrechen.

Die Perimetritis kann nur durch Ueberfließen des Tubeneiters in das Cavum peritonei erklärt werden, allein auch dann dürfen wir sie nicht als eine durch Impfung entstandene spezifische Erkrankung ansehen. Es handelt sich vielmehr um eine durch den Reiz des virulenten Eiters bedingte einfache Entzündung, die sich durch eine reichliche Exsudation äussert. Dabei aber an eine gonorrhoeische, direct durch die Gonococcen hervorgerufene Perimetritis zu denken, wäre ebenso unrichtig, als wenn man die durch die ätzende Wirkung des Eiters hervorgerufenen Entzündungserscheinungen der äusseren Genitalien als den Ausdruck einer Gonococceninvasion bezeichnen wollte. Es liegt hier derselbe Vorgang vor, den wir bei Einwirkung einer scharfen Säure auf das Peritoneum beobachten. Auch da kommt es zu einer entzündlichen Exsudation, und hier wie dort kapselt sich das Exsudat ab, ohne dass es zu einer Verallgemeinerung des Entzündungsprocesses käme, wie es doch bei einer Pilzinvasion auf einem so günstigen Nährboden zu erwarten wäre.

Die Bartholin'schen Drüsen, auf deren Wichtigkeit für eine gonorrhoeische Infection besonders französische Autoren hingewiesen haben, sind durch ihre Lage besonders geeignet, der Ort einer Mischinfection zu werden, da sie der Einwanderung von eitererregenden Mikroorganismen sehr leicht zugänglich sind.

Zwar hat *Arning*¹⁾ auf den constanten Befund von Gonococcen in dem Eiter sowohl acuter als chronischer Formen von Bartholinitis hingewiesen, indessen haben die Untersuchungen von *Bumm*²⁾ und *Welander*³⁾ ergeben, dass die Entzündungen der

¹⁾ Ueber d. Vorkommen von Gonococcen bei Bartolinitis Vierletjahresschrift f. Dermatol. u. Syph. 1883.

²⁾ A. a. O.

³⁾ A. a. O. c. oben.

Bartholin'schen Drüsen nicht nothwendig virulenten Ursprungs sein müssen. *Bumm* sah im Verlauf einer Gravidität die Drüse zur Vereiterung kommen, wo von einer gonorrhoeischen Infection bestimmt keine Rede sein konnte, auch Gonococcen sich nicht nachweisen liessen. Und *Weland* vermisste — was für uns von besonderer Tragweite ist — bei 12 Frauen mit chronischer Bartholinitis und sogar in Fällen acuter Erkrankung den Gonococcus. Auch für den einen von *Arning's* acht Fällen möchte ich eine specifische Entzündung annehmen, da weder eine Scheidenblennorrhoe noch eine Urethritis bestand, auch das glasige Cervicalsecret frei von Bakterien war. Man ist hierzu um so mehr berechtigt, als die Beobachtung lehrt, dass bei der Aetiologie der Bartholinitis auch die durch den Abusus genitalium bedingten Irritationen — es handelte sich grösstentheils um Prostituirte — eine gewisse Rolle spielen.

Dass sich auf dem Boden einer gonorrhoeischen Bartholinitis eine durch Secundärinfection bedingte Eiterung entwickeln kann, bin ich durch folgende zwei Fälle zu erhärten in der Lage. Beide Patientinnen kamen in der Privatpraxis des Herrn Privatdocenten Dr. *Bumm* zur Behandlung, der auch die dankenswerthe Güte hatte, mir beide Krankengeschichten zur Veröffentlichung zu überlassen.

I. Marie O., 20 Jahre alt, hat mit 18 Jahren einmal ausser-ehelich geboren. Geburt verlief normal, ebenso das Wochenbett, Ausfluss blieb nicht zurück. Ein Jahr lang fand kein geschlechtlicher Verkehr statt. Dann 2. Juli 1884 mehrmaliger Coitus. Darauf am 10. Juli starker Ausfluss und Brennen beim Uriniren. Infolgedessen stellte sich Patientin zur Untersuchung den 12. ejusd. Diagnose: Gonorrhoe des Cervix und der Urethra. Scheide ist etwas geröthet, ebenso Vulva. Therapie: Ausspülung der Vagina, Sitzbäder. 28. Juli: Absonderung noch in geringem Masse vorhanden, ebenso Gonococcen im Secret des Cervix; Urethra frei. Patientin tritt aus der Behandlung aus. 15. August: In der linken Seite der Vulva stellen sich Schmerzen ein. Untersuchung ergiebt eine gonorrhoeische Infection des Ausführungsganges der Bartholin'schen Drüse, aus dem sich viel gonococcenhaltiger Eiter entleert. Ordination: Warme Bäder und häufige Abspülungen der Vulva. Darauf mindern sich die Schmerzen; die Secretion ist bis zum 17. Sept. gering geworden, trägt aber noch immer einen eitrigen Charakter. Am 22. Sept. stellt sich

Patientin wieder vor. Die linke Bartholin'sche Drüse ist stark geschwollen, die Haut darüber geröthet, die Drüse und ihre Umgebung sehr empfindlich. Fiebertemperatur bis 39.2°. Offenbar ist die Barthol. Drüse in Abscedirung begriffen. Dieselbe wird am 23. Sept. in toto extirpirt.

Die Untersuchung ergibt: Die Drüsenbläschen ausgeweitet, mit Eiter gefüllt. Das Epithel fast völlig zu Grunde gegangen, im Eiter und im Gewebe keine Gonococcen, sondern überall im Eiter sowohl als in den innersten Schichten der Drüsenbläschen der *Staphylococcus aureus*, wie sich durch die Gram'sche Färbung und die Reincultur nachweisen lässt.

II. Chr. M., 22 Jahre alt, seit 5 Wochen verheirathet. Bekam bereits 8 Tage nach der Hochzeit Brennen beim Uriniren und heftigen eitrigen Ausfluss. Derselbe wurde nach Ausspülung mit Alaunwasser und täglichen Sitzbädern etwas schleimiger.

Seit acht Tagen beim Gehen in der linken Seite Schmerzen, die allmählich auch in ruhiger Lage bestehen bleiben und in den letzten zwei Nächten den Schlaf geraubt haben.

Die Untersuchung ergibt:

- 1) Gonorrhoe des Cervix;
- 2) Vagina intact,
- 3) Gonorrhoe der Urethra (Secret nur spärlich)
- 4) Gonorrhoe der rechten Barthol. Drüse (schleimigeitrig,) viel Gonococcen;
- 5) Abscedirung der linken Barthol. Drüse.

Incision: Der Eiter enthält keine Gonococcen, wohl aber sehr reichlich *Staphylococcus aureus* und *albus*, daneben auch längliche Stäbchencolonien.

Die Anamnese des Mannes ergibt, dass derselbe vor $\frac{1}{2}$ Jahre einen frischen Tripper acquirirte und bei der Hochzeit noch einen geringen schleimigen Ausfluss des Morgens hatte, der zur Zeit der Abscedirung bei der Frau noch viele Gonococcen enthielt.

Typischere Fälle einer Mischinfection lassen sich kaum anführen. Beide Patientinnen litten an einer gonorrhoeischen Bartholinitis; bei der ersteren verringern sich bei der Behandlung die Symptome; das vorher stark gonococcenhaltige Secret verliert seinen virulenten Charakter, aber die specifische Entzündung hat für die Eitercoccen einen günstigen Nährboden geschaffen, der ihnen die Entwicklung auf der in ihrer Wider-

standsfähigkeit herabgesetzten Schleimhaut ermöglicht. Auch bei der anderen Patientin liefert den Eitercoccen das in seinem normalen Verhalten gestörte Gewebe und die Aenderung der Secrete die Möglichkeit einer reichen Vermehrung, die zur Invasion und nachfolgenden Destruction der durch die Entzündung ihrer Umgebung irritirten Drüse führt.

Es erübrigt uns noch, über jene Fälle zu sprechen, bei denen die Gonorrhoe den Ausgangspunkt einer Endocarditis bildet, welche nicht selten von Erscheinungen einer pyaemischen Allgemeininfection begleitet ist. Dass wir es in diesen Fällen mit einer Infection und zwar einer solchen, der erst secundär durch die von der Gonorrhoe gesetzten Veränderungen die Bahn zum Eindringen geebnet wurde, zu thun haben, darf als sicher angenommen werden. Zu solch' schweren Störungen im Allgemeinbefinden, zu solch' weitgehenden destructiven Veränderungen zahlreicher histologisch ganz verschieden gebauter Organe, kann der Gonococcus, selbst sein gelegentliches Eindringen in die Blutbahn angenommen, nicht führen. Das sogenannte Trippervirus kann wohl von der ursprünglich afficirten Stelle auf benachbarte Schleimhäute, die für seine Entwicklung geeignet sind, überwandern und hier denselben Entzündungsprocess hervorrufen, aber niemals tritt eine Allgemeininfection des Körpers ein, die sich etwa mit der Syphilis und anderen allgemeinen Infectionskrankheiten vergleichen liesse. Dasselbe gilt für die Herzklappenentzündungen. Da jede Endocarditis infectiöser Natur, aber ihre Aetiologie eine verschiedene ist, so müssen wir für eine befriedigende Erklärung zur Annahme einer Secundärinfection unsere Zuflucht nehmen.

Bis die Bakteriologie durch Experimente über die Symbiose dieser kleinsten Lebewesen Licht in ein bis dahin dunkles Gebiet gebracht hat, müssen klinische Beobachtungen vorläufig das viel gestaltige Bild der Mischinfection zu fixiren suchen.

Ich lasse nunmehr einen von *Meuriot* in der Gazette des Hôpitaux 1868 veröffentlichten Fall folgen; soweit mir die Literatur zurückzuverfolgen möglich war, die erste Beobachtung von Endocarditis: Ein junger Mann acquirirt eine heftige Gonorrhoe, hält sich schlecht, macht eine weite Reise und wird auf dem Rückweg von Fieber und Schmerzen aller Gelenke nach einander ergriffen. Der Status praesens beim Eintritt in's Spital

ist: Delirien, Benommenheit, röchelndes, schabendes Geräusch an der Herzspitze, Schmerz in der linken Schulter. Nach acht Tagen treten auf der Haut multiple schwarze Flecken auf, von denen sich einige unter der Form mehr weniger tiefer Brandschorfe ablösen. Einige Tage später zweimal Haemoptöe, Nasenbluten, Erbrechen, Tod. Bei der Obduction findet sich: Serosität der Gelenke, engouement bronchique der einen Lunge. Der freie Rand der Mitralis ist bedeckt mit Auflagerungen, ebenso die Tricuspidalis. Bei der mikroskopischen Untersuchung lassen sich darin nachweisen: Blutgerinnsel, Fibrin und Zellproliferation des Endocards. Unter der Magenschleimhaut findet sich eine Ecchymose; Nieren in fettiger Degeneration, kein Infarct. Urethra gesund.

Es folgt erst im Jahre 1877 in derselben Zeitschrift eine bestätigende Mittheilung von *Desnos*: Ein Maurer tritt wegen einer heftigen Bronchitis in das Spital ein. Da Schmerzen in der rechten Schulter bis zum Sterno-claviculargelenk auftraten, deren Aetiologie zunächst dunkel blieb, so wurde an eine Gonorrhoe gedacht, die sich auch in der That constatiren liess. Dazu trat eine Endocarditis; der Tod erfolgte durch Herzlähmung. Autopsie: Blutstauung und Oedem beider Lungen. Pericard gesund. Auf der vorderen Mitralklappe eine linsengrosse Auflagerung. An den Aortenklappen ebenfalls Auflagerungen auf beiden Seiten. Aorteninsuffizienz.

Ein interessantes Krankheitsbild bietet ein von *Martin*¹⁾ 1882 veröffentlichter Fall: M. H., 24 Jahre alt, litt anfangs November an einer Gonorrhoe. Er verlor ohne Ursache den Appetit, fühlte sich unwohl und hatte häufig besonders gegen Abend kleine Schüttelfröste. Am 21. abends heftiger Schüttelfrost; am 22. beginnt Patient zu husten und hat Schmerzen in der rechten Seite. Den 27. Eintritt in die Klinik. Die Untersuchung ergibt: Multiple Arthritiden, beiderseitige Parotitis, rechtsseitige Pleuropneumonie, Haematurie, eitrige Schmelzung des linken Auges, hohes Fieber. Diagnose: Pyaemie.

In den nächsten Tagen Fortschreiten der Pleuropneumonie. Leichter Icterus, Leber auf Druck empfindlich. Urin blutig-roth, eiweisshaltig, Miction mit Brennen verbunden. Nach wenigen

¹⁾ A. a. O. c. oben.

Tagen Schmerzhaftigkeit des linken Schulter- und Kniegelenks. Am 30. bereits nachts Delirien. Bedeutende Anschwellung der Parotiden. Leichte Symptome von Collaps. Delirien. Mehr Eiweiss im Urin, fortwährend hohes Fieber. Erguss in's linke Knie. Den 3. December: Rückgang der Parotitis, Schlingbeschwerden. Aphonie, doppelseitige Conjunctivitis. Beginn eines Hypopyons, Das Tibio-tarsalgelenk ist ebenfalls befallen. Am 9. Dec. die Cornea vollständig mit Eiter infiltrirt, Erguss ins rechte Knie. Dyspnoë, Angstgefühl, Erbrechen. Herztöne immer noch rein. Am 10. Verschlimmerung des Allgemeinzustandes, obwohl die Zeichen der Pleuritis abnehmen. Die Palpation ergiebt an der Herzspitze deutliches systolisches Schwirren, am Herzohr sehr deutliches pericardiales Reiben, circumscribt an der Spitze, vermehrt auf Druck mit dem Stethoskop. Urin spärlich, trüb und etwas eiweisshaltig. Bedeutende Temperaturschwankungen, kleiner fadenförmiger Puls. Tod.

Die Autopsie ergab: Zahlreiche metastatische Abscesse beider Lungen, zum grössten Theil an der Peripherie und unter der Pleura gelegen. Eitrige Pleuritis mit Membranenbildung. In den Nieren circumscripte grosse Eiterherde, haemorrhagischer Infarct. Der linke Prostatalappen ist in einen Herd mit schmutzig-grauem Eiter umgewandelt. Unter der hyperaemischen Blasen-schleimhaut stellenweise in Bildung begriffene Abscesse. Die linke Kniegelenkhöhle enthält etwas Eiter. Im Herzen zahlreiche kleine Eiterherde, die oft Mikrococcencolonien enthalten. Im Muskel-fleisch und am vorderen Papillarmuskel haben sich überall Mikrococcen festgesetzt, ebenso namentlich an den Klappenrändern und -Krümmungen. Nieren fettig degenerirt, Mikrococcen. Die Milz zeigt am oberen Rand zahlreiche Colonien in den Gefässen. Leber stark infiltrirt, theilweise fettig degenerirt, stellenweise kleine Abscesse. Man kann bei der Autopsie Schritt für Schritt verfolgen, dass die Allgemeininfection durch die Urethral- und Prostataerkrankung vermittelt wurde.

Fast gleichzeitig berichtete *Leyden* ¹⁾ über eine Endocarditis und intermittirendes Fieber im Anschluss an eine Gonorrhoe. Die Krankengeschichte ist kurz folgende:

Der 22jährige Kürschner Reinus, stets gesund, zog sich im Sommer 1880 einen Tripper zu, der auf Einspritzungen bald ver-

¹⁾ Ueb. intermittirendes Fieber u. Endocarditis. Zeitschrift f. klin. Med. IV.

schwand; dafür bekam er aber eine Orchitis, welche nach 3 Wochen ebenfalls geheilt war. Nach wenigen Tagen schon wurde indessen das linke Schultergelenk schmerzhaft; von hier zogen sich die Schmerzen den Arm herunter und localisirten sich, während das Ellbogengelenk frei blieb, in allen Gelenken der Hand. Nach dreiwöchentlicher Behandlung war Patient auch von dieser Krankheit wiederhergestellt und befand sich bis zum 13. März wohl, wo er Brechneigung, keinen Appetit und Kopfschmerzen hatte. Am 15. trat ziemlich starkes Frösteln, am 16. ein intensiver Schüttelfrost ein. Patient suchte deshalb die Charité auf.

Der Allgemeinzustand ist ziemlich gut; eine leichte Insufficienz der Aorta lässt sich constatiren; Milzdämpfung erheblich vergrößert; Leber vergrößert. Kein Oedem, keine Albuminurie.

Im weiteren Verlauf hatte er fast täglich einen, manchmal auch zwei Schüttelfröste. In den Intervallen fühlt Patient sich wohl. Das Chinin ist vollkommen wirkungslos. Die Fröste treten in ganz unverminderter Weise auf. Die Kräfte verfallen merklich; der Kranke magert zusehends ab. Am 14. April klagt er zum ersten Male über Beklommenheit, die sich bis zum 17. öfters wiederholt, an welchem Tage er an Lungenoedem ad exitum kommt.

Autopsie: Im Herzbeutel ungefähr 40 grm. klarer Flüssigkeit, Herz vergrößert, beide Ventrikel erweitert, vornehmlich der linke. Die Klappen des rechten Herzens sind normal; links ist die Mitralis bis auf eine schwache fibröse Verdickung ihres freien Randes unverändert. Die Aortenklappen betreffend, so ist die rechte Hälfte des hinteren Segels, sowie das rechte Segel von einer 3 mm. dicken polypösen Excrescenz eingenommen, welche aus einem etwas zähen, gelblichweissen, z. Th. durch frische Blutniederschläge rothgefärbten Material besteht, dessen höckerige Oberfläche in den Ventrikelraum prominirt. Das Herzfleisch ist sehr anaemisch, in den Papillarmuskeln haemorrhagische Infiltration. Der Anfangstheil der Aorta dünnwandig, Kranzarterien frei. Die Lungen oedematös. Milz ausserordentlich gross und blutreich; sie enthält mehrere dunkelrothe, scharf umschriebene Infarcte. Leber vergrößert. Nieren derb, starke Trübung der Rinde.

Die beiden vorstehenden Fälle erregen dadurch unser Interesse, dass die Infection von einer Gonorrhoe ausging. Man

kann sich demnach den Vorgang so denken, dass Infectionsstoffe durch Vermittlung der verletzten Harnröhrenschleimhaut in den Körper eindringen, während an den vielleicht vorher erkrankten Klappen Gerinnungen — bisher unschuldiger Natur — bestehen, in denen sich die Mikroorganismen festsetzen, fortentwickeln und zu den geschilderten fieberhaften Symptomen führen. Die Möglichkeit, dass auf solche Weise verschiedene Infectionsorganismen eindringen und sich auf den ulcerirten Klappen festsetzen, scheint *Leyden* nicht fern zu liegen. Nach seiner Anschauung kann sich der Organismus nur schwer dieser Mikroparasiten entledigen, und gerade die Fibringerinnsel auf der ulcerirten Klappe sind in hohem Grade für die Fortentwicklung der Organismen geeignet.

In dem *Leyden*'schen Falle hat eine Untersuchung auf Bakterien in den polypösen Gerinnseln nicht statt gefunden, doch glaubt *Leyden* dieselben auch ohne Nachweis mit genügender Sicherheit voraussetzen zu dürfen.

Martin hat in den verschiedenen Organen seines Patienten Mikroccoen nachgewiesen, die eine grosse Aehnlichkeit mit den Neisser'schen Gonococcen haben. Ja, er ist fast geneigt, sie für identisch mit den Tripperbakterien zu erklären. Dass Letzteres nicht der Fall ist, bedarf nach den Untersuchungen, die in dieser Hinsicht angestellt worden sind, kaum noch der Bestätigung. Der Gonococcus ist seiner ganzen Natur nach nicht geeignet, solche schweren Störungen in den differentesten Organen hervorzurufen.

Das ganze Krankheitsbild drängt uns in jedem Falle zu der Annahme, dass wir es mit der vernichtenden Thätigkeit von secundär in den Körper eingedrungenen Pilzen zu thun haben; welcher Art aber dieselben sind, darüber lässt sich kein Urtheil fällen. Diese Frage wäre nur an der Hand der Präparate zu entscheiden gewesen.

Wollen wir zum Schluss das Resultat unserer Untersuchungen noch einmal kurz zusammenfassen, so lässt sich dasselbe in wenigen Worten dahin präcisiren: I) Die Gonorrhoe ist eine rein locale Erkrankung, die nur auf Cylinderepithel zur Entwicklung kommt; II) Alle Entzündungsprocesse, die im Anschluss an Gonorrhoe auftreten, beruhen auf Mischinfection, soweit sich die erkrankten Gewebe in ihrem histologischen Bau nicht eng an das Cylinderepithel anschliessen.

Ueber *Ankylostomum duodenale*

von

Dr med. Otto Seifert,
Privatdocent in Würzburg.

(Mit Tafel IV.)

Durch Untersuchungen und Beobachtungen, die in den letzten Jahren gemacht sind, scheint *Ankylostomum duodenale* auch für unser gemässigttes Klima eine gewisse Bedeutung erlangt zu haben, die uns die Verpflichtung auferlegt, uns eingehender mit dem Studium dieses Parasiten zu beschäftigen. Ein glücklicher Zufall hat mich in die Lage versetzt, Ihnen den Parasiten demonstrieren zu können, der den Meisten von Ihnen wohl noch unbekannt war bis jetzt, es müsste denn sein, dass Sie seinerzeit (1885) Gelegenheit hatten, die Eier desselben zu sehen, als Dr. *Fr. Müller* (jetzt Privatdocent in Berlin) und ich gemeinschaftlich Untersuchungen anstellten über das Vorkommen von *Ankylostomum duodenale* unter den Ziegelfeldarbeitern auf den Ziegelfeldern bei Heidingsfeld.

Allgemeiner ist die Kenntniss von dem genannten Parasiten erst seit dem Bau des Gotthardtunnels geworden, als unter den dort beschäftigten Arbeitern eine eigenthümliche und ziemlich mörderische Epidemie von schweren Formen der Anämie ausbrach, deren Ursache man lange Zeit nicht ergründen konnte. Die dort beobachtete Krankheit nannte man Gotthardkrankheit, Tunnelanämie, anémie du St. Gotthard, l'anemia del Gottardo. Auf das Vorkommen von *Ankylostomum duodenale* bei den Tunnelarbeitern wurde zuerst von *Perroncito* und *Concato* (1880) aufmerksam gemacht, während das Verdienst, die eminente Verbreitung dieses Parasiten im Tunnel constatirt zu haben, *Bozzolo* und *Pagliani* (1880) zuzuschreiben ist. Von dem Infectionsherde des Tunnels aus gelangten einzelne Kranke in verschiedene Städte der Schweiz und nach Süddeutschland, woher eine Reihe von Mittheilungen über unseren Gegenstand stammen, von *Sonderegger*, *Bäumler*, *Schönbächler*, *Immermann*, *Sahli*, *Schulthess*.

Es wurde nun die Tunnelanämie in eine Parallele gestellt zu der schon länger bekannten tropischen Chlorose, als deren Ursache ebenfalls das zuerst von *Dubini* (1838) in Mailand bei der Sektion einer weiblichen Leiche aufgefundene *Ankylostomum duodenale* angesehen werden musste. *Dubini* fand den Parasiten in geringer Zahl im Duodenum, die erstgefundenen Exemplare waren sämmtlich weibliche, allerdings wurden nachher auch männliche gefunden. Im Jahre 1847 wurde der Parasit in Aegypten durch *Prunner*, 1852 in Kairo durch *Bilharz*, 1854 in Aegypten durch *Griesinger*, 1866 in Bahia durch *Wucherer*, 1867 in Mayotta durch *Grenet* und *Monestier*, 1871 in Cayenne durch *Rion de Kérangel*, 1872 in der Provinz von Rio Janeiro durch *Rodriguez de Moura*, 1872 in Wien (aus Italien eingeschleppt) durch *Kundrath* nachgewiesen. Aus den folgenden Jahren haben wir Befunde aus Oberitalien, Indien, Abessinien, Java und Borneo, aus den Antillen zu verzeichnen, deren nähere Beschreibung ich mir ersparen kann, sie finden sich chronologisch geordnet in der Arbeit von Schulthess (Zeitschrift f. wissensch. Zoologie, XXXVII. Bd.). Von den italienischen Forschern wird hervorgehoben, dass die Orte, wo die Ankylostomen heimisch sind, gewöhnlich sehr missliche hygienische Verhältnisse aufzuweisen haben.

Eine weitere Parallele mit einer eigenthümlichen schon seit dem Anfang dieses Jahrhunderts unter den Bergwerksarbeitern zu Fresnes bei Valenciennes bekannten Form der Anämie konnte gezogen werden, als auf Veranlassung *Perroncito's* in verschiedenen Bergwerken Ungarn's (Schemnitz und Kremnitz), Sardiniens und in den Kohlengruben von Südfrankreich nach Ankylostomen bei den Fällen von Bergwerkskachexie gefahndet wurde. Die Untersuchungen ergaben nun auch das erwartete Resultat, für eine der bis dahin noch so dunklen Krankheiten der Bergleute war die Ursache in dem *Ankylostomum* gefunden worden. *Masius* und *Francotte* zeigten dann (1885), dass auch bei den Bergleuten in den Kohlengruben in der Nähe von Lüttich, *Mayer* und *Völkers* (1885), dass bei den Kohlenhäuern in den Gruben bei Aachen der Parasit heimisch sei, während ihn *van Beneden* bei den Kohlenarbeitern von Mons nachweisen konnte.

Wie nun diese Untersuchungen festgestellt haben, dass die Tunnelanämie in ihrer Ursache als identisch mit der tropischen

Chlorose und mit der Bergwerkskachexie angesehen werden muss, so haben weitere Untersuchungen ergeben, dass noch eine vierte Form der Anämie hierher gerechnet werden muss: die Ziegelerbeiteranämie. Schon im Jahre 1879 hatte *Graziadei* bei 4 Ziegelerarbeitern bei Turin Ankylostomum gefunden. Von diesen starb einer und die Sektion konnte die Diagnose bestätigen. *Bozzolo* hatte schon 1881 an *Bugnon* (Lausanne) geschrieben, er zweifle nicht, dass der Wurm nicht allein in Italien, sondern auch in Frankreich, Deutschland und in der Schweiz verbreitet sei und *Bäumler* hat ziemlich zu gleicher Zeit schon Warnungsrufe an die Behörden, der weiteren Invasion dieses Parasiten Einhalt zu thun, erschallen lassen. Und in der That, Ankylostomum duodenale ist auch bei uns zu finden. *Menche*, der in der Klinik von *Bäumler* mehrfach Gelegenheit gehabt hatte, Ankylostomen zu sehen, kam auf den Gedanken, bei allen Anämien, die in der Bonner medicinischen Klinik zur Aufnahme kamen und für die kein Grund gefunden werden konnte, nach Ankylostomen zu suchen. Vergeblich war sein Suchen bei der Chlorose einer jungen Frau und der eines jungen Ackerers, dessen Leiden man trotz der Seltenheit bei jungen Männern als solche bezeichnen musste, ferner bei einer perniziösen Anämie und einem blassen Italiener, der wegen Syphilis in der Bonner Klinik für Hautkrankheiten aufgenommen war. Endlich gelang es ihm (1882), bei einem anämischen Ziegelerbeiter den Parasiten zu finden.

An der Ziegelerbeiteranämie, *Maladie de terre*, die zuerst von *Heise* (1860) beschrieben ist, erkranken nicht die Brenner, sondern nur Diejenigen, welche mit den Händen in nassem Thon arbeiten oder die geformten nassen Ziegel zu den Trockenplätzen tragen.

Späterhin hat sich *Leichtenstern* ganz besonders mit der Ankylostomiasis der Ziegelerbeiter beschäftigt und seit dem 15. September 1882 bis Juni 1887 im Ganzen 152 Fälle zu Gesicht bekommen, von denen 9 zur Sektion gelangten.

Die Arbeiter auf den zahlreichen Ziegelfeldern in der Umgebung Köln's sind grösstentheils Wallonen, und diese sind die Ankylostomenträger $\alpha\alpha^2$ $\xi\chi\eta$, ganze Familien derselben, Väter, Mütter, Töchter, Söhne, ja auch Kinder von $4\frac{3}{4}$ —8 Jahren beherbergen den Parasiten. Da hingegen, wo Deutsche (oder Holländer) in geschlossenen Gruppen arbeiten, fehlt auch Ankylostomum. Diese Wallonen nun, Väter und erwachsene Söhne,

arbeiten während des Winters in den Kohlenbergwerken von Lüttich oder Mons, wo sie wahrscheinlich den Parasiten aquiriren, da er ja unter den dortigen Arbeitern von *Masius* und *Francotte*, sowie von *Ed. van Beneden* nachgewiesen ist. Zieht der Wallone im Frühjahr mit seiner ganzen Familie auf die Ziegelfelder am Rheine, so inficirt der mit *Ankylostomum* behaftete Wallone seine Familie und seine Mitarbeiter. Nach den belgischen Bergwerken ist der Parasit vielleicht durch Italiener eingeschleppt. Bei dem vielfachen Verkehr der belgischen Gruben mit den in der Nähe von Aachen (Grube Maria zu Höngen) ist es nicht auffallend, dass auch hier *Ankylostomen* gefunden wurden. Auf den Ziegelfeldern in der Umgebung von Köln sind niemals Italiener thätig gewesen, so dass die vorhin geschilderte Art und Weise der Infection der Ziegelfelder Kölns, wie sie uns *Leichtenstern* gibt, wohl die richtige sein wird.

Die Untersuchungen, die *Leichtenstern* über die Verbreitung von *Ankylostomum* auf den Ziegelfeldern anstellte, waren mit grossen Schwierigkeiten verbunden, *Müller* und ich hatten mit den gleichen zu kämpfen, als wir unsere Untersuchungen bei den Arbeitern auf den Ziegelfeldern bei Heidingsfeld anstellten. Am Meisten macht zu schaffen das Misstrauen, das solche Fremde jedem Einheimischen, am lebhaftesten aber einem Arzte entgegenbringen, zumal man nicht im Stande ist, die Arbeiter von den Gefahren zu überzeugen, denen sie auf einem inficirten Ziegelfelde ausgesetzt sind. Auch wenn die Arbeiter schon inficirt sind, treten die Erscheinungen der Anämie doch nicht immer stürmisch auf oder die Patienten arbeiten trotz ihrer Anämie und ihres Schwächegefühls immer noch weiter, wenn auch mit vieler Anstrengung.

Aehnlich wie auf den Ziegelfeldern bei Köln scheinen auch die Verhältnisse auf den Ziegelfeldern bei Heidingsfeld zu liegen und wahrscheinlich würde sich ein Gleiches auch auf vielen anderen grossen Ziegelfeldern Deutschlands finden, wenn man den Ausspruch *Bozzolo's* beherzigen würde, „il ne faudra que les chercher.“ *Müller* und ich haben uns genau auf den Ziegelfeldern umgesehen und dabei Folgendes gefunden.

Eine grosse Ziegelei, nahe dem Orte gelegen und einem Würzburger Baumeister gehörig, ist zum Maschinenbetrieb eingerichtet, so dass die hier beschäftigten Arbeiter mit dem nassen Lehm fast gar nichts zu thun haben. Die Arbeiter und Arbeiterinnen dieser Ziegelei

sind ausschliesslich Einheimische aus den zunächst gelegenen zwei Orten und arbeiten nie mit Ausländern zusammen, sie sehen Alle gut und blühend aus, es konnte kein Fall von Anämie konstatiert werden, auch sollen nach Angabe des Arztes (Dr. *Gesslein*), der so freundlich war uns zu begleiten, früher keine solchen vorgekommen sein.

Ganz anders liegen die Verhältnisse in der tiefer und weiter vom Orte weg gelegenen Ziegelei, die ebenfalls einem Würzburger Baumeister gehört, aber nicht zum Maschinenbetrieb eingerichtet ist. Hier sind nur Italiener beschäftigt, welche im Frühjahr aus ihrer Heimath kommen und im Herbst wieder wegziehen. Diese nehmen die Arbeit in Accord und arbeiten ohne Maschinenhülfe. Sie rühren den in der nächsten Nähe gegrabenen Lehm zusammen, d. h. treten ihn unter Wasserzuguss zu einem knetbaren Brei zusammen und bringen ihn in hölzerne Formen, die von den jüngeren Mitgliedern der Gesellschaft (Knaben im Alter von 13–15 Jahren) nach dem nächsten Trockenplatze getragen werden. Alle diese Arbeiter sind von oben bis unten mit Lehm bespritzt (natürlich auch Gesicht und Hände).

Die Frage von der Bedeutung des Ankylostomum deckt sich so ziemlich mit der Frage nach der Art der Verbreitung auf den Ziegelfeldern und dem Wege der Invasion.

Die Eier, welche der geschlechtsreife Parasit in grosser Anzahl innerhalb des Darmrohres ausstösst, werden mit den faeces nach Aussen befördert und mit diesen am Rande des Ziegelfeldes deponirt. Im Freien, unter günstigen Bedingungen, entwickeln sich die Eier alsbald zu Larven, welche sich einkapseln und wie *Leichtenstern's* Versuche erwiesen haben, lange Zeit beweglich bleiben können. Bei der weiteren Bearbeitung des Ziegelfeldes kommt dieser larvenhaltige Lehm zur Verwendung und ins Bereich des Gesichtes und der Hände der Arbeiter. Da diese nun, ohne sich vorher zu reinigen, auf dem Ziegelfelde selbst ihre Mahlzeiten zu sich nehmen, so können sie sehr leicht das Infectionsmaterial in ihren Verdauungstractus bringen, wo die Larven zu geschlechtsreifen Thieren auswachsen. Da kommt es dann vor, dass ein solcher Arbeiter kaum von seinen Ankylostomen befreit, sich von Neuem bei der Wiederaufnahme der früheren Beschäftigung auf dem gleichen Felde inficirt. *Leichtenstern* hat direct durch Untersuchung der faeces solcher Arbeiter nachgewiesen, dass sie Lehmesser sind. Mit dem Trinkwasser

wird wahrscheinlich weniger häufig die Infection zu Stande kommen. Unseren Winter überleben solche Larven gewiss nicht, so dass wir sicher sein können, dass sich unter den Einflüssen unseres Klima's die Ziegelfelder von selbst reinigen. Sie müssen also im Frühjahr immer wieder von Neuem inficirt werden, wenn Gefahren für die dort Beschäftigten sich ergeben sollen. Die Infection erfolgt, wie aus dem vorher Gesagten sich ergibt, auf den Ziegelfeldern am Rhein durch die Wallonen, bei uns in Süddeutschland durch die Italiener.

Anders steht es mit den Bergwerken in Belgien und bei Aachen, hier kann der Infectionsherd ununterbrochen seine Wirksamkeit entfalten, weil in den auch im Winter hochtemperirten feuchten Gruben alle Lebensbedingungen für die gedeihliche Entwicklung der Ankylostomen-Larven gegeben sind.

Was nun die hygienischen Massregeln für unsere einheimische Bevölkerung anlangt, so liessen sich nach dem Vorschlage *Leichtenstern's* folgende Vorkehrungen treffen:

1. müssten jedes Frühjahr die fremden Arbeiter, die für die Ziegelarbeit sich melden, auf Ankylostomiasis untersucht und nur jene zugelassen werden, welche frei hievon befunden sind;
2. Herstellung gemeinsamer Aborte, die häufig desinficirt werden müssen;
3. Beschaffung guten reinen Trinkwassers.

Die erste Forderung lässt sich gewiss ebenso schwer erfüllen, wie die zweite, während die dritte am Leichtesten erfüllt werden könnte.

Nun scheinen mir aber für unsere süddeutschen Verhältnisse die Dinge viel einfacher zu liegen. Ich glaube kaum, dass unsere einheimische Bevölkerung einer Gefahr der Infection ausgesetzt ist und zwar einmal deshalb, weil die Italiener nahezu ausschliesslich in geschlossenen Gruppen auf streng begrenztem Gebiete (nicht nur in Heidingsfeld, sondern auch an anderen Orten) arbeiten, somit immer nur ihr eigenes Arbeitsfeld inficiren und zweitens weil durch die klimatischen Einflüsse die durch die fremden Arbeiter inficirten Gebiete immer wieder vom Infectionstoff befreit werden.

Nichtsdestoweniger beansprucht die Ankylostomiasis unser Aller Interesse in hohem Grade, da die Möglichkeit der Infection Einheimischer nicht vollkommen ausgeschlossen werden kann.

Die Symptome der einmal entstandenen Ankylostomiasis entwickeln sich meist allmählig zu dem Bilde hochgradiger Anämie, wenn auch hie und da die Erscheinungen sehr rasch einsetzen können, wenn die Parasiten zur Zeit der Begattung (5 oder 6 Wochen nach stattgehabter Infection) häufig ihren Sitz wechseln und dabei immer wieder neue Wunden und Blutungen in den Darm machen. Nach erfolgter Begattung bleiben die Parasiten nahezu gleichmässig an Ort und Stelle und entziehen dem Wirth nicht überflüssig Blut.

In den letzteren Fällen können die einmal anämisch gewordenen wieder einigermaßen sich erholen, auch ohne Abtreibungskur.

Ausser den Erscheinungen der Anämie treten bei den Kranken gastrointestinale Beschwerden auf, schlechter Appetit, unangenehmes Gefühl von Druck und Vollsein in der Oberbauchgegend, Diarrhoen, hie und da auch Hunger nach unverdaulichen Sachen. Nur selten ist bei in unseren Breiten vorkommenden Fällen von Ankylostomiasis den Stühlen Blut beigemischt, während in den Tropen blutige Diarrhoen öfters beobachtet werden.

Die zwei Fälle von Ankylostomiasis, welche Dr. Müller und ich unter den 12 auf dem Ziegelfelde bei Heidingsfeld beschäftigten italienischen Arbeitern auffanden, betrafen Arbeiter, die nach Angabe des Vorarbeiters schon Jahre lang das gleiche Aussehen haben sollten.

Der Eine derselben war ein für seine 20 Jahre ausserordentlich wenig entwickelter Mann von knabenhafter Gestalt und von gealtertem, runzeligem, wie vertrocknetem Gesichtsausdruck. Der Andere stand im Alter von 27 Jahren und fiel uns sofort auf wegen seiner wachsgelben Hautfarbe und der blassen Färbung seiner Schleimhäute.

Beide Arbeiter verrichteten ihre Arbeit gerade so wie die Anderen, trotz der grossen Mattigkeit, die man ihnen beim Karrenschieben schon auf die Entfernung ansah und wollten von der Einleitung einer ärztlichen Behandlung absolut nichts wissen. Wir mussten uns damit begnügen, bei ihnen die Diagnose auf Ankylostomiasis gestellt zu haben.

Den Fall, der mir die Veranlassung zu dem heutigen Vortrag und zur Demonstration der Präparate gegeben hat, durfte ich mit Herrn Dr. Bamberger, Assistent der Nothnagel'schen Klinik in Wien, gemeinschaftlich beobachten. Es

handelte sich um einen Bergwerksarbeiter aus Ungarn, der schon mit dem Verdachte auf Ankylostomiasis von seinem Arzte nach Wien geschickt worden war. Wir untersuchten den aufs Höchste anämischen, etwa 35jährigen Mann, und fanden in den faeces in grosser Massenhaftigkeit die charakteristischen Eier des Ankylostomum duodenale.

Die Diagnose stützte sich in diesen drei Fällen, ebenso wie das in jedem anderen Falle zu geschehen hat, auf den Nachweis der Eier, die mit den faeces entleert wurden.

Sie finden unter dem Mikroskope solche Eier eingestellt, an denen Sie die charakteristischen Merkmale erkennen können.

Bei einer mittleren Vergrösserung (100 fache) erscheint das Ei mit einem scharfen, einfachen Contour, welcher das wasserklare, hyaline Perivitellin nach Aussen begrenzt und dem Ei seine charakteristische Gestalt gibt. Durch diese einfache scharfe Contourirung allein schon unterscheidet sich das Ankylostomen-Ei vollständig von dem Oxyuren-Ei, mit dem allein es vielleicht noch verwechselt werden könnte. Es dürfte zweckmässig sein, Zeichnungen von beiden Arten von Eiern Ihnen zu demonstrieren (s. Taf. Fig. 1: Ei von *Oxyuris vermicularis*, Figur 2 a u. b: Ei von *Ankylostomum duodenale*). Ausser dem scharfen Contour, (einen doppelten Contour, wie ihn *Schulthess* abbildet, konnte ich niemals bei meinen Untersuchungen nachweisen, weder bei schwacher, noch bei starker Vergrösserung), gibt aber auch das Verhalten des Eidotters noch weitere Anhaltspunkte zur Erkennung des Ankylostomen-Eies. Der Dotter erscheint nämlich mehrfach gefurcht, nur ganz ausserordentlich selten sind Eier mit einheitlicher Dottermasse in den faeces zu finden, ich für meinen Theil habe immer nur Eier mit gefurchter Dottermasse gesehen. Die feinkörnigen, bräunlich gefärbten Dotterkugeln haben oft ein bläschenartig aufgehelltes Centrum. Eier mit 3, 4, 8 und mehrfachen Dotterkugeln bilden die Mehrzahl, Eier, mit noch weiter vorgeschrittener Theilung des Dotters sind in den frischen faeces äusserst selten. Die Länge der Eier schwankt zwischen 56 und 73 μ , die Breite zwischen 36 und 40 μ . Die Zahl der Eier ist in der Regel eine sehr grosse, *Leichtenstern* fand, dass mehr als 4 Millionen Eier in einem einzigen Stuhlgang nichts ungewöhnlich Seltenes sind. Aus der Zahl der im Kothe gefundenen Eier kann man einen Rückschluss auf die Zahl der im Darmkanale be-

findlichen Weibchen machen, je mehr Eier im Koth, um so zahlreichere Weibchen kann man im Darne erwarten.

Leichtenstern stellte die Formel auf: $x = \frac{a}{47}$, wobei x die Zahl der Ankylostomenweibchen im Darm und a die Zahl der Eier in 1 gr Koth bedeutet.

Will man die weitere Entwicklung der Eier beobachten, so braucht man nur die die Eier enthaltenden faeces bei genügendem Luftzutritt und genügender Feuchtigkeit im Wärmekasten einer Temperatur von 25–30° anzusetzen, um nach 1–4 Tagen aus der Dottermasse die Embryonen sich entwickeln zu sehen, die als in der Eischale zusammengekrümmte Würmchen, mit glänzenden Körnchen besetzt erscheinen, an denen man Kopf und spitzes Schwanzende unterscheiden kann. *Leichtenstern* hat sich auch mit der Frage der Weiterentwicklung der Parasiten besonders beschäftigt und gefunden, dass der Embryo stets an dem einen Eipole und nicht nur mit dem Kopf, sondern auch oft mit dem spitzen Schwanzende vorantretend die Eischale durchbricht. An den nun frei gewordenen Larven kann man eine erste und eine zweite Encystirung verfolgen. In dem Stadium dieser Chitinumhüllung werden sie wahrscheinlich in den Menschen (ohne Zwischenwirth) aufgenommen und entwickeln sich im Darmkanal zu geschlechtsreifen Parasiten.

Die geschlechtsreifen Thiere halten sich weniger im Duodenum auf, so dass sie eigentlich ihren Namen mit Unrecht führen, als im Jejunum und selbst in den oberen Theilen des Ileum. Auf der Darmschleimhaut saugen sich die Parasiten fest, entziehen ihr Blut und es hat den Anschein, als ob sie sich mehr von dem Blutplasma nähren, da die rothen Blutkörperchen grösstentheils den Darmkanal der Ankylostomen unverändert passiren. Die Weibchen brauchen viel mehr Blut als die Männchen, sie sind daher als die Blutsauger *μαρτίβοι* anzusehen. Die Zahl der Weibchen überwiegt in der Regel die der Männchen ganz erheblich, sie verhalten sich durchschnittlich wie 3:1.

Die Anzahl sämmtlicher in einem Darmkanal befindlichen Ankylostomen ist eine sehr verschiedene, von 15–3000, in der Regel sind es zwischen 300 und 500 Stück, die bei den Abtreibungskuren entfernt werden.

In dem Falle, den ich mit *Bamberger* gesehen habe, wurden 650 Stück abgetrieben.

Der Bau der Parasiten wird Ihnen klar werden aus den unter den Mikroskopen aufgestellten Präparaten resp. aus den herungereichten Zeichnungen.

Das Weibchen Fig. 3 erscheint von spindelförmiger, ziemlich plumper Gestalt, walzenförmig, entweder gerade gestreckt oder in flachem Bogen verlaufend, hat eine Länge von 10—12 mm, ausnahmsweise von 18 mm. Das Männchen hat eine viel schlankere, mehr fadenförmige Gestalt und sieht fast rein weiss aus, während die Weibchen meist schmutzigweiss oder bräunlich aussehen. Das Männchen ist 6—8, seltener bis zu 10 mm lang.

Das Kopfbende beider Geschlechter ist nach hinten umgebogen. Sie sehen in dem einen Präparate Fig. 4 das Kopfbende eingestellt und werden daran finden: den Saugapparat, die glockenförmig vertiefte, bauchige Mundkapsel, welche mit kurzen, gedrunghenen, glänzenden Chitinzähnen (6 im Ganzen) ausgerüstet ist.

In einem weiteren Präparat ist die weibliche Geschlechtsöffnung eingestellt, welche etwas hinter der Leibesmitte gelegen ist. In der vielfach geschlungenen Genitalröhre liegen die Eier parallel neben einander, bei stärkerer Vergrösserung sehen Sie die in der Entwicklung am Weitersten vorgeschrittenen mit glasheller Chitinhülle umgeben. Dass die Angaben *Leichtenstern's* von der Dotterfurchung bereits in der Genitalröhre richtig sind, werden Sie unschwer an dem einen Präparat erkennen, an welchem Sie bis zu 3 Dotterkugeln in einzelnen Eiern erkennen können.

Ein anderes Präparat Fig 5. zeigt Ihnen das eigenthümliche schüssel- oder glockenförmig erweiterte Leibesende des Männchens mit der schirmartig ausgespannten bursa, mit dem birnförmigen penis und den breiten, feinen, glänzenden Chitinstacheln (spiculae).

Die Parasiten haben eine durchschnittliche Lebensdauer von 5 Jahren, so dass wohl auch eine spontane Heilung von Ankylostomiasis vorkommen kann, wenn sich das betreffende Individuum nicht mehr der Gefahr neuer Infection aussetzt.

Die Abtreibung der Männchen ist im allgemeinen schwieriger als die der Weibchen, wahrscheinlich deshalb, weil die ersteren in Folge ihrer zarteren Beschaffenheit mehr unter den Dünndarmfalten und im Darmschleim verborgen sind, und so den Anthelminthieis weniger Angriffspunkte darbieten als die längeren, dickeren Weibchen. Dementsprechend erscheinen bei den Abtreibungskuren in den ersten Stühlen sehr oft nur Weibchen oder doch in der grossen Ueberzahl, während die Zahl der Männchen erst

in den späteren Stühlen oder bei wiederholten Kuren eine grössere wird. Freilich kann man auch hie und da das Umgekehrte beobachten, so war in dem von *Bamberger* und mir beobachteten Falle in den ersten Stühlen die Zahl der Männchen eine ungleich grössere als die der Weibchen, auch für dieses Vorkommniss hat *Leichtenstern* wohl die richtige Erklärung gefunden. Man findet nämlich zuweilen in verschiedenen Darmabschnitten recht erhebliche Unterschiede im Verhältniss der beiden Geschlechter, rein zufällige Differenzen, ohne Gesetz, ohne Regel. Trifft es sich nun einmal, dass die Anzahl der Männchen in dem oberen Dünndarmabschnitte eine erheblich grössere ist, so werden in einem solchen Falle in den ersten Stühlen relativ mehr Männchen zum Vorschein kommen, als in den späteren, weil die Ankylostomen in den obersten Darmabschnitten von den Anthelminthicis in einer concentrirteren Dosis getroffen werden als in den tieferen. Die Tödtung der Würmer erfolgt in dem Verhältniss leichter, als sie von einer concentrirteren Dosis des Vermifugiums getroffen werden.

Die Abtreibung geschieht am Besten mittels Extractum filicis maris aethereum, doch sind auch für dieses an und für sich ausgezeichnete Mittel noch einige Punkte zu beachten. Das Haupterforderniss ist ein gutes wirksames Präparat, wie es ja auch für die schwer abzutreibende taenia mediocanellata unumgänglich nothwendig ist. Wie viele Bandwurmkuren sind schon an der Unzuverlässigkeit des Präparates gescheitert! Die Herstellung des Extractes geschieht am Besten in der Weise, wie ich das früher schon für die Abtreibung der Taenien empfohlen habe, dass die frischen grünen Wurzeln von filix mas im Oktober gesammelt, sofort geschnitten und mit Aether extrahiert werden. Das Extract muss dickflüssig, von grüner Farbe und stark ätherisch riechend sein.

Ein weiteres Erforderniss ist, dass die Dosis nicht zu klein genommen wird; eine Dosis von 15,0 ist nicht zu hoch, hat doch *Perroncito* bis zu 40 gr pro die gegeben; ich für meinen Theil möchte über eine Tagesdosis von 20,0 nicht hinausgehen. Als Vorbereitungskur schickt man eine oder zwei Dosen Ricinusöl voraus, um den Darm möglichst leer zu machen, insbesondere um den zähen Schleim, der die Würmer vor der Einwirkung des Mittels schützen könnte, zu entfernen. Jenem Falle in Wien haben wir 15,0 Extr. fil. maris aeth. des Morgens gegeben und

hatten nicht nöthig, die Kur zu wiederholen, da nach mehrwöchentlichem Spitalaufenthalt Eier in den faeces nicht mehr nachzuweisen waren.

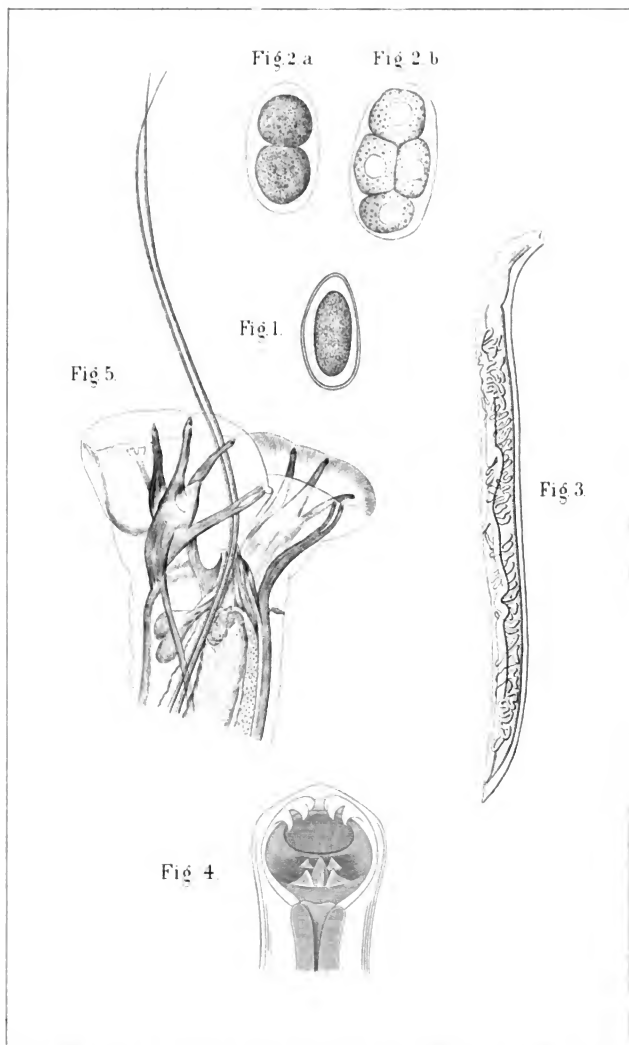
Nicht immer gelingt es, mit einer einzigen Dosis des besten Präparates die sämmtlichen *Ankylostomen* abzutreiben. Es sind manchmal mehrere Kuren mit diesem Mittel nothwendig.

Andere Mittel, die empfohlen sind, aber weitaus weniger zuverlässig sich erwiesen haben, sind das Thymol (15,0 und mehr pro die), das hauptsächlich von Italienern (*Bozzolo, Graziadei*) angewandt und auch von Anderen versucht wurde, dann die *Doliarina*, ein Mixtum compositum aus dem Milchsafte von *figus doliaria* mit aromatischem und Eisenpulver in Dosen von 3,0 und 4,0 pro die. Auch die anderen Anthelminthica, wie Granatwurzel, Kousso, Santonin, *Pelletierinum tannicum* wurden versucht, aber ohne jeden Erfolg.

An die eigentliche Abtreibungskur hat sich dann ein zweckmässiges therapeutisches Verfahren anzuschliessen, das zur Aufgabe hat, die Anämie zu heben und die Patienten wieder arbeitsfähig zu machen.

Erklärung der Abbildungen.

- Fig. 1. Ei von *Oxyuris vermicularis* (nach *Bizzozero*).
Fig. 2 a. Ei von *Ankylostomum duodenale* mit 2 Dotterkugeln (nach *Bizzozero*).
Fig. 2 b. Ei von *Ankylostomum duodenale* mit 4 Dotterkugeln (nach *Bizzozero*).
Fig. 3. Weibchen von *Ankylostomum duodenale* (nach *Leuckart*).
Fig. 4. Mundkapsel von *Ankylostomum duodenale* (nach *Leuckart*).
Fig. 5. Leibesende des Männchens (nach *Schulthess*).
-



Medicinische Statistik der Stadt Würzburg

für das Jahr 1885 (mit Einschluss des Jahres 1884)

bearbeitet von

Dr. JULIUS RÖDER,

k. Bezirksarzt in Würzburg.

• (Mit Tafel V. und VI.)

I Meteorologischer Abschnitt.

1. Witterungsverhältnisse der Jahre 1884 und 1885.

(Vergleiche Tafel V. Fig. c. und d.)

Das Material zu diesem Abschnitte danke ich ausser eigenen Zusammenstellungen der meteorologischen Station dahier, Herrn Medicinalrath Dr. *Escherich* (Residenzbrunnen), Herrn kgl. Hofgärtner *Heller* (Bodentemperatur), dem inzwischen leider allzufrüh verstorbenen Herrn Apotheker *Philipp Mohr* und dessen Nachfolger *Ernst Friedlein* (Brunnenstände und Bodentemperatur im Garten der Marienapotheke), dem kgl. Strassen- und Flussbauamte (Mainpegelstände), sowie der Stadtbauinspektion (Brunnen im Viertelhofe und Neumünster) und benütze ich mit Freuden diese Gelegenheit, genannten Herren und Behörden für gütige Unterstützung verbindlichsten Dank zu erstatten.

Aus den folgenden Tabellen sind die wöchentlichen sowie die monatlichen Durchschnittswerthe für Würzburg während der beiden Jahre bezüglich des Luftdrucks, der Temperatur, der relativen Feuchtigkeit sowie die Menge der Niederschläge ersichtlich; zum Vergleiche sind die Mittel nach *Schön* und *Hofmann* beigesetzt.

	Woche	Januar					Februar				März			
		1	2	3	4	5	6	7	8	9	10	11	12	13
Luftdruck in mm	1884	754,2	51,5	57,6	48,6	42,1	52,9	50,0	47,3	43,4	46,6	47,0	48,2	45,7
	1885	749,3	37,2	46,1	46,4	40,2	49,7	39,5	50,4	40,1	48,0	45,9	46,8	45,2
Temperatur in ° C.	1884	-1,1	4,2	4,4	3,1	6,5	1,7	3,2	3,9	2,4	2,9	8,4	8,5	4,0
	1885	-2,1	-0,07	-6,1	-2,3	3,9	1,5	5,4	4,3	4,5	2,0	4,3	2,6	7,8
Relative Feuchtigkeit in %	1884	86	78	92	81	78	90	83	72	78	82	69	68	79
	1885	90	85	82	88	86	89	80	87	80	78	71	74	66
Niederschlag in mm	1884	4,1	5,2	2,6	14,2	20,9	0,6	14,8	10,5	6,3	5,5	0,1	4,9	7,1
	1885	4,5	9,0	—	0,7	16,8	9,3	21,9	1,2	31,3	12,8	1,5	1,5	1,6
	Woche	Juli				August					September			
		27	28	29	30	31	32	33	34	35	36	37	38	39
Luftdruck in mm	1884	747,6	45,0	46,0	46,3	48,1	48,9	46,9	47,2	45,1	41,3	50,1	51,4	49,6
	1885	749,3	47,3	50,4	46,3	44,3	47,9	43,8	43,8	43,3	44,1	48,6	48,0	44,7
Temperatur in ° C.	1884	20,9	20,9	22,9	17,0	17,4	21,2	20,8	18,6	15,1	16,6	15,1	16,6	12,8
	1885	19,8	19,8	17,8	17,1	18,9	16,3	14,4	14,7	14,3	14,0	17,4	13,1	10,5
Relative Feuchtigkeit in %	1884	57	54	61	66	66	60	65	63	67	77	67	69	86
	1885	70	70	61	63	63	60	68	81	78	81	80	82	84
Niederschlag in mm	1884	—	0,2	46,5	14,7	3,4	3,0	14,5	7,9	11,4	20,4	3,6	—	0,6
	1885	22,7	11,0	2,9	—	4,1	0,6	8,7	34,5	9,1	17,3	0,5	12,9	26,8

April				Mai						Juni				
14	15	16	17	18	19	20	21	22	23	24	25	26		
40,3	41,2	41,3	40,1	42,0	46,3	48,1	48,9	46,8	39,7	46,2	46,5	47,6		
34,2	41,3	46,2	38,9	39,1	43,0	42,5	48,3	49,2	47,7	43,7	46,9	45,8		
11,1	9,3	5,9	4,2	10,3	11,3	17,5	14,3	12,5	13,6	15,6	11,9	16,1		
6,6	9,8	14,6	16,1	10,7	8,2	10,6	16,5	16,4	20,7	18,2	18,1	19,7		
58	60	70	71	63	70	60	56	48	73	68	73	67		
65	52	48	70	68	61	69	62	58	49	68	63	76		
—	5,2	10,3	—	17,3	8,0	0,3	4,9	3,3	18,4	9,1	26,7	0,1		
3,1	0,1	—	23,7	5,8	8,3	11,1	45,7	1,8	4,0	10,2	2,4	35,3		
October				November				December				In den einzelnen Jahreswochen.		
40	41	42	43	44	45	46	47	48	49	50	51	52	Maxim.	Minim.
49,4	42,6	48,6	50,3	48,5	51,3	57,8	46,9	45,0	44,6	48,0	41,3	42,7	757,8	739,7
39,9	45,4	41,8	37,3	47,9	50,8	48,5	37,2	46,9	45,7	56,8	54,5	49,3	756,8	734,2
12,5	9,5	8,4	8,2	6,1	7,2	3,3	-0,3	-1,6	1,0	6,8	3,2	-0,5	22,9	-1,6
9,8	9,6	7,1	5,8	3,7	4,1	-0,8	5,0	5,4	-4,6	0,2	0,2	-0,2	20,7	-6,1
91	83	83	75	86	90	81	85	90	89	81	86	91	92	54
83	87	84	86	91	89	84	92	85	88	94	91	88	94	48
10,6	15,3	4,4	—	20,0	3,9	0,4	4,3	15,2	26,5	17,6	24,8	13,7	46,5	0 in 4 Wochen
33,0	10,1	1,5	23,8	0,2	4,8	2,5	31,6	39,9	18,5	8,0	6,4	44	39,9	0 in 3 Wochen

Meteorologische Verhältnisse in der Stadt Würzburg
in den Jahren 1884 und 1885 und die Mittel nach *Schoen* und
Hoffmann.

Monatliche Werthe und Jahresdurchschnitt.														
	Jahr	Januar	Febr.	März	April	Mai	Juni	Juli	August	Septbr	Octbr.	Novbr.	Deabr.	Jahres- Durch- schnitt
Luftdruck in mm	1884	750,75	748,33	746,05	740,80	746,87	745,22	746,42	746,99	748,43	747,30	750,29	744,36	746,82
	1885	746,59	744,57	746,20	740,52	743,14	746,38	749,09	744,80	745,50	740,70	745,90	751,40	745,40
Mittel n. <i>Schoen</i>		744	744	743	744	743	744	745	745	744	745	744	743	744
Temperatur in °C	1884	3,22	2,57	5,16	6,96	13,56	14,12	19,51	18,18	14,77	8,21	1,83	2,13	9,13
	1885	— 3,11	3,18	3,26	10,14	10,82	18,00	18,14	15,13	13,22	7,87	3,11	— 0,72	8,25
Mittel n. <i>Schoen</i>		+ 0,27	1,48	5,30	11,2	16,1	19,3	20,1	19,5	16,2	10,5	4,1	+ 0,83	10,4
Relative Feuch- tigkeit in %	1884	80,9	80,4	73,8	64,1	59,0	69,5	57,6	64,0	70,6	82,8	85,6	87,6	73,1
	1885	86,9	85,4	75,5	57,9	67,4	59,4	68,4	68,8	80,9	84,3	87,7	89,3	76,0
Dreijähriges Mit- tel nach <i>Hof- mann</i>		79	78	75	66	59	67	71	70	78	81	82	84	71
Niederschlag in mm	1884	45,2	34,7	18,1	15,2	31,2	57,6	64,8	37,1	24,3	51,0	23,9	75,6	478,7
	1885	13,6	48,0	50,0	4,2	94,4	18,9	69,6	48,8	55,9	68,4	58,3	56,0	586,1
Mittel n. <i>Schoen</i>		38,25	41,17	40,27	29,70	33,75	42,97	32,17	32,40	33,42	24,52	27,22	23,85	399,69
Regentage	1884	21	18	14	9	11	17	13	15	8	21	21	26	194
	1885	9	19	20	5	21	10	9	15	18	21	13	18	178

Luftdruck: Das Mittel im Jahre 1884 betrug 746,82 mm, der höchste Stand mit 757,8 fiel auf die 46. Woche (November), der niederste mit 739,7 auf die 23. Woche (Juni). Das Jahresmittel nach *Schoen* mit 744 wurde nur wenig überschritten.

Im Jahre 1885 war das Mittel 745,40 nur wenig von dem des Vorjahres und dem nach *Schoen* verschieden. Der höchste Stand mit 756,8 mm fiel auf die 50. Woche (December) der niederste mit 734,2 mm auf die 14. Woche (im April).

Temperatur: Das Mittel für 1884 war 9,13° C, etwas unter dem Mittel *Schoen's* (10,4). Die höchste Temperatur fiel mit 22,9 auf die 29. Woche (Juli), die geringste mit — 1,6 auf die 48. (im November).

Für 1885 betrug das Mittel 8,25° C, sowohl unter dem des Vorjahres als unter dem *Schoen'schen* zurückbleibend. Mit 20,7° fiel die höchste Temperatur auf die 23. Woche (Juni), die niederste mit — 2,3 auf die 4. Woche (Januar).

Relative Feuchtigkeit: deren Mittel für 1884 betrug 73,1 %, während das 3 jährige Mittel nach *Hofmann* 47 beträgt. Den höchsten Stand erreichte sie mit 92 in der 3. Jahreswoche, den geringsten mit 54 % in der 28. Woche (Juli).

Das Mittel für 1885 war 76 %, am höchsten war sie in der 50. Woche (December) mit 94, am geringsten mit 48 % in der 16. Woche (im April).

Menge der Niederschläge: Dieselbe belief sich 1884 auf 478,7 mm, während das Mittel *Schoen's* nur 399,7 beträgt. Die meisten Niederschläge erfolgten mit 46,4 mm in der 29. Woche (Juli), auf welche gleichzeitig auch die höchste Temperatur des Jahres traf. In 4 Jahreswochen sind keine Niederschläge zu verzeichnen.

Noch höher war die Menge der Niederschläge im Jahre 1885 mit 586,1 mm. Die meisten fielen mit 39,9 mm auf die 48. Woche (December), während drei Wochen (die 3., 16. und 30.) ganz ohne solche blieben.

Regentage: Deran Zahl war 194 im Jahre 1884 und 178 im Jahre 1885.

Was das Verhalten der einzelnen Jahresmonate betrifft, so zeigen diese

1. bezüglich des Luftdrucks im Jahre 1884 vom Mittel nach *Schoen* nur geringe Abweichungen, vom Jahresdurchschnitt 746 entfernen sie sich nach oben nur bis zu 750, nach unten bis zu 744 mm.

Aehnlich verhält sich auch das Jahr 1885 im Ganzen gegen das *Schoen'sche* Mittel, nur der December zeigt mit 751,40 mm eine etwas abweichende Ziffer von jener *Schoen's*, welche nur 743 beträgt. Vom Jahresmittel für 1885 mit 745,40 entfernen sich die einzelnen Monatsziffern nach unten bis 740,52 im April, nach oben bis 751,40 im December.

2. Die Temperatur (vergleiche Tafel V d) der Monate Januar, Februar und December war im Jahre 1884 höher als das *Schoen'sche* Mittel, etwas unter demselben blieb sie in den Monaten Mai mit November, bedeutend unter demselben war sie im April und kam im April dem Mittel am nächsten.

Im Jahre 1885 war sie in allen Monaten, nur Februar ausgenommen, niedriger als bei *Schoen*, auch blieb sie in 8 Monaten unter den entsprechenden Temperaturen des Vorjahres. Am niedersten war sie im Januar mit $-3,11$, am höchsten im Juli mit $18,14^{\circ}$ C.

3. Die relative Feuchtigkeit des Jahres 1884 steht dem 3jährigen Mittel *Hofmann's* in allen Monaten ziemlich nahe, nur im August und namentlich im Juli bleibt sie unter demselben.

Im Jahr 1885 übertraf sie in 8 Monaten die Mittel, und blieb nur im April, Juni, Juli und August unter diesem. Die geringste relative Feuchtigkeit 57,9, zugleich mit dem niedersten Luftdruck, fällt auf April, die höchste 89,3 mit dem höchsten Luftdruck auf December.

4. Die Menge der Niederschläge (vergl. Tafel V c) war 1884 gering im April und März, hoch im Juni, Juli und insbesondere im December. Auf letzteren Monat fielen 26 Regentage, auf September nur 8.

Im Jahre 1885 war sie am grössten im Mai und am geringsten im April. 20 Regentage trafen auf den März, nur 5 auf den April.

5. Windrichtung in Procenten der Gesamtsumme eines jeden Monats.

1884.

	N.	NE.	E.	SE.	S.	SW.	W.	NW.	Wind- stille
Januar	—	—	1,1	—	—	9,7	43,2	15,1	31,3
Februar	1,2	9,3	13,8	2,3	—	5,8	28,8	—	39,1
März	2,1	9,7	24,7	—	—	2,1	22,6	7,5	21,2
April	—	16,7	33,3	—	—	—	7,8	2,2	40,0
Mai	3,2	4,3	24,7	2,1	—	—	47,3	2,1	16,1
Juni	6,7	12,2	8,9	—	—	2,2	26,7	23,3	20,0
Juli	11,8	6,4	7,5	1,1	1,1	3,2	24,7	12,9	31,2
August	7,5	16,1	12,9	3,2	—	1,1	18,3	11,8	29,0
September	2,2	2,2	17,8	—	1,1	3,3	24,4	6,7	42,2
October	12,9	8,6	5,4	—	—	8,6	41,9	9,7	12,9
November	—	7,8	23,3	—	—	5,6	21,1	10,0	32,2
December	9,7	17,6	4,3	5,4	3,2	16,5	28,4	5,3	9,6

1885.

Januar	5,4	4,3	24,7	—	2,1	5,4	17,2	3,2	37,6
Februar	1,2	7,1	14,3	—	3,6	2,4	26,2	8,3	36,9
März	16,1	20,4	8,6	—	—	—	24,7	10,7	19,4
April	4,4	12,2	21,1	1,1	1,1	1,1	26,7	7,8	24,4
Mai	5,4	4,3	1,1	—	4,3	10,7	48,4	9,7	16,1
Juni	16,7	22,2	11,1	—	2,2	1,1	18,9	8,9	18,9
Juli	31,2	9,7	2,1	—	—	2,1	5,4	19,4	30,1
August	14,0	9,7	2,1	—	—	—	39,8	9,7	24,7
September	2,2	—	6,7	—	1,1	5,6	42,2	8,9	33,3
October	2,1	2,1	11,8	4,3	2,1	17,2	32,3	8,6	19,4
November	1,1	4,4	34,4	2,2	1,1	2,2	16,7	5,3	34,4
December	7,5	15,0	—	—	—	1,1	25,8	14,0	36,6

Im Jahre 1884 war wie immer die westliche Richtung vorherrschend, welche in einzelnen Monaten im Januar, Mai und Oktober über 40 % der Gesamtsumme der Windrichtungen dieser Monate ausmachte. Oestliche Winde waren häufig im März, Mai und November besonders aber im April. Die meisten windstillen Tage fielen auf September, April und Februar, die wenigsten auf den Oktober und December.

Im Jahre 1885 hatten Januar, Februar, December, November, September und Juli am meisten Windstille aufzuweisen, während die meisten Nordostwinde auf

Juni und März, die meisten Ostwinde auf November, Januar und April trafen. Mai und Februar hatten die meisten Südwinde, Südwest war häufig im Oktober, während wie auch sonst immer Westwind vorherrschte, der im Mai 48,4 % und im September 42,2 % der Gesamtsumme der Windrichtungen der betreffenden Monate ausmachte.

2. Bodenuntersuchungen.

a) Bodentemperaturen.

(Vergl. Tafel V. Fig. e. und f.)

Die Bodentemperatur wurde im Hofgarten täglich, im Polizeihofe und in der Marienapotheke wöchentlich gemessen und zwar in der Tiefe von 1.5 m, sowie in jener von 3 m. Die Beobachtungen im Polizeihofe sind häufig durch eindringendes Wasser alterirt. Jene der Marienapotheke erlitten eine zeitweise Unterbrechung, dagegen eignen sich die Messungen des Hofgartens gut zur Verwerthung.

Das Mittel betrug in den einzelnen Monaten:

	1884		1885	
	in 1.5 m Tiefe	in 3 m Tiefe	in 1.5 m Tiefe	in 3 m Tiefe
Januar	6.5	9.3	6.5	9.5
Februar	6.3	7.7	5.0	8.2
März	6.3	8.0	5.7	7.6
April	7.6	7.9	6.6	7.7
Mai	8.6	8.6	9.0	8.5
Juni	10.6	9.7	10.3	9.0
Juli	12.1	11.4	12.7	10.4
August	14.1	11.7	14.1	11.0
September	14.1	12.5	12.8	12.2
October	13.1	10.5	11.9	12.0
November	10.6	11.8	10.1	11.5
December	8.3	10.3	8.1	10.8
Die Jahresmittel	9.9	9.8	9.4	9.9

waren annähernd gleich; im Jahre 1884 zeigte sich die Temperatur in 1.5 m Tiefe am höchsten im August und September; im Jahre 1885 gleichfalls im August. 1884 war sie am niedersten im Februar und März; 1885 gleichfalls im Februar. In 3 m Tiefe war sie 1884 am höchsten im August, am geringsten

im Februar; im Jahre 1885 zeigte sie den höchsten Stand im September, den niedersten im März.

b) Brunnen- und Mainpegelstände.

(Vergleiche Tafel V. Figur a. und b.)

Die Brunnen wurden halbmonatlich gemessen, die Mainpegelstände täglich und hieraus das halbmonatliche Mittel berechnet.

	Mittel.	Höchster Stand.	Tiefster Stand.	
Residenzbrunnen	646 c über 0 Pegel	698 $1/III.$	602 $1/XII.$	1884
	—	—	—	1885
Kiliansbrunnen	679	715 $1/VII.$	634 $1/VIII.$	1884
	695	755 $16/XII.$	634 $16/VII.$	1885
Viertelhofbrunnen	594	625 $1/I.$	583 $1/VII.$	1884
	596	618 $1/XII.$	587 $1/V.$	1885
Brunnen der Marien- apotheke	292	357 $1/II.$	250 $1/X.$	1884
	294	376 $16/III.$	241 $1/IX.$	1885
	Mittel.	Höchster Stand.	Niederster Stand.	
Mainpegelstände	0.19	149 Dec. 83 bis 1 Jan. 84	0.32 1. bis 16. Aug.	1884
	0.12	130 16. Febr. bis 1. März	0.43 1. bis 16. Aug.	1885

In die Zeit vom 1. bis 16. August 1885 fällt der niederste bisher beobachtete Stand mit — 0.53, nämlich auf den 8. August.

Die Niederschlagsmengen im Jahre 1884 betrugen 478.7 mm im Jahre 1885 586.1 mm. Die mittleren Stände sind im letzteren Jahre bis auf den Mainpegelstand etwas, aber nicht viel höher als im vorhergehenden. Die einzelnen Brunnen erreichten ihren höchsten und tiefsten Stand zu sehr verschiedenen Zeiten.

II. Statistischer Abschnitt.

1. Stand der Bevölkerung.

Die Zählung vom 1. December 1885 ergab eine Bevölkerung von 55010 Seelen, von denen 26972 männlich und 28038 weiblich waren.

Die Zunahme der Bevölkerung betrug im Quinquennium 1875/80 13.4 % der Bevölkerung, in jenem von 1880/85 dagegen nur 7.9 % und zwar 8.3 % des männlichen und 7.5 % des weiblichen Geschlechts. Im Königreich Bayern betrug die Mehrung

in den letzten 5 Jahren im Ganzen 2.5 ‰, 2.3 ‰ beim männlichen und 2.7 ‰ beim weiblichen Geschlecht.

Die Ausscheidung nach Geschlecht und Altersklassen pro 1885 ist zur Zeit noch nicht erfolgt, es müssen daher den einschlägigen Berechnungen interpolirte Zahlen zu Grunde gelegt werden.

Für die Mitte des Jahres 1884 wurde unter Voraussetzung gleicher Zunahme der Bevölkerung wie in den Jahren 1875/80 eine Bevölkerungsziffer von 55 343 interpolirt, die sich jedoch in der Folge als etwas zu hoch gegriffen herausstellte. Für den 1. Juli 1885, als die Mitte des Jahres, wurde die Bevölkerung auf rund 54 700 Seelen berechnet.

Die natürliche Zunahme der Bevölkerung (Geburten und Sterbefälle) auf 1000 Einwohner war im Jahre 1884 3.5, im Jahre 1885 2.1, im Durchschnitte der 5 letzten Jahre 2.4 ‰.

2. Bewegung der Bevölkerung.

A. Eheschliessungen.

Eheschliessungen erfolgten 1884 365 oder 0.7 ‰ der Bevölkerung, 1885 419 oder 0.8 ‰. Wenn auch das letzte Jahr eine kleine Zunahme erkennen lässt, so ist doch deren Zahl im Allgemeinen im Abnehmen begriffen; 1871/75 war sie 1.08 ‰, 1875/80 0.8 ‰, 1880/85 0.7 ‰. Die Brautpaare waren 1884 in 226 Fällen katholischer, in 24 protestantischer, in 18 israelitischer und in 67 gemischter Religion; 1885 in 281 Fällen katholischer, in 51 protestantischer, in 19 israelitischer und in 68 gemischter Religion. Legitimirt wurden durch diese Ehen im ersteren Jahre 100, in letzterem 142 ausser der Ehe geborene Kinder.

B. Geburten.

1. Lebendgeborene.

Lebend wurden geboren:	1884	1885
in der Gesamtbevölkerung	1557	1471
hievon treffen	{	{
auf die Stadtbevölkerung		
auf die kgl. Kreisentbindungsanstalt	1219	1184
	338	287

Es treffen	in der Gesamtbevölkerung					in der Stadtbevölkerung				
	1871/75	1876/80	1881/85	1884	1885	1871/75	1876/80	1881/85	1884	1885
Auf 1000 Einw. Geburten	31,6	33,1	28,1	28,1	26,9	26,3	27,8	22,7	22,0	21,6
Auf 1 getrautes Paar Ehelich Geborene	—	—	—	—	—	2,1	2,9	2,9	2,9	2,6
Auf 100 lebend Geborene Unehelich Geborene	24,9	26,4	27,0	29,9	26,4	10,0	13,9	12,5	13,4	11,6
Auf 100 lebend Geborene Zwillinge	—	—	—	—	—	—	1,0	1,2	1,5	0,7
Auf 100 lebend Geborene Knaben	51,5	50,9	51,3	52,9	50,1	51,3	50,6	51,2	51,6	49,9
Auf 100 lebend Geborene Mädchen	48,5	49,1	48,7	47,1	49,9	48,7	49,4	48,8	48,4	50,1
Geburtsüberschuss in % der Bevölkerung	—	0,32	0,24	0,35	0,21	0,1	0,32	—0,06	—0,027	0,06

Die Geburtsziffer in der Gesamtbevölkerung ist im Jahre 1884 gegen das Vorjahr um 0,9 ‰ gestiegen, im Jahre 1885 dagegen um 1,2 ‰ gefallen. Gegen die Quinquennien 1871/75, 1876/80 hat sie in beiden Berichtsjahren abgenommen, gegen das Quinquennium 1881/85 verhält sich die Ziffer des Jahres 1884 gleich hoch, jene des Jahres 1885 ist um 1,2 ‰ niedriger.

Die Ziffer der Stadtbevölkerung ist 1884 gegen das Vorjahr um 0,3 ‰, im Jahre 1885 abermals um 0,4 ‰ gefallen. Die Ziffern beider Berichtsjahre sind nicht unbedeutend kleiner, als jene der Jahre 1871/75 und 1876/80, nähern sich aber der Durchschnittsziffer für die Jahre 1880/85.

Auch in den deutschen Städten (mit mehr als 15 000 Einwohnern) ist die Geburtsziffer im Fallen begriffen. 1882 sank sie um 0,4 ‰ auf 36,1, 1883 um 2,1 ‰ auf 34.

Das Maximum der Geburtsziffer fiel unter den deutschen Städten: 1884 mit 56,0 ‰ auf Ludwigshafen, 1885 mit 52,9 auf Gelsenkirchen; das Minimum: 1884 mit 21,6 auf Ludwigsburg, 1886 mit 23,4 auf Darmstadt.

Die 16 bairischen Städte mit 15 000 Einwohnern und darüber zeigen pro 1884 eine Durchschnittsziffer von 34,9 ‰, pro 1885 (17 Städte) von 33,0 ‰; die höchste Ziffer pro 1884 hat Ludwigshafen mit 56,0, die geringste Passau mit 22,5, dann folgt Landshut mit 25,9 und auf dieses Würzburg, so dass es mit 28,1 auf der drittniedersten Stufe steht; die höchste Ziffer pro 1885 hat Ludwigshafen mit 49,7, die geringste Passau mit 24,2 ‰, auf dieses folgt Bayreuth mit 25,7, dann Bamberg mit 26,1, dann Würzburg mit 26,9 auf der viertniedersten Stufe.

Der Geburtsüberschuss in der Gesamtbevölkerung sank von 0,35 ‰ (im Jahre 1884) im folgenden auf 0,21 herab. In der Stadtbevölkerung (d. h. ohne Berücksichtigung der in der Entbindungsanstalt Geborenen und der im Spital verstorbenen Ortsfremden) betrug der Geburtsüberschuss 1876/80 0,32, in den beiden Berichtsjahren und im Quinquennium 1880/85 überwogen die Sterbefälle.

Die eheliche Fruchtbarkeit, d. h. die Zahl der ehelich Geborenen auf ein getrautes Paar, im Jahre 1883 3,0 betragend, blieb 1884 mit 2,9 annähernd gleich, fiel 1885 auf 2,6 herab, während das Mittel für 1881/85 2,9 beträgt.

Berechnet man die Zahl der gebärfähigen Frauen im Alter von 15—45 Jahren auf 13000, so ergibt sich für dieselben ein Fruchtbarkeitscoefficient von 11,9 für 1884 und von 11,3 für 1885 bezüglich der Lebendgeborenen und von 12,5 beziehungsweise 11,8 % bezüglich aller Geburten (inclusive Todtgeburten). Es zeigt demnach 1885 eine Abnahme von 0,6 bei den ersteren und von 0,7 % bei den letzteren gegen das Vorjahr.

Die Zahl der unehelich Geborenen auf 100 Lebende, in der Gesamtbevölkerung im Jahre 1883 26,9 % betragend, stieg 1884 um 3 % auf 29,9, fiel aber 1885 um 3,5 %. — In der Stadtbevölkerung hatte sie 1883 12,9 % betragen, war 1884 um 0,5 % auf 13,4 gestiegen und fiel 1884 um 1,8 % auf 11,6.

Nach Quinquennien betrug sie 1876/80 13,9 % in der Stadtbevölkerung und 26,4 in der Gesamtbevölkerung, 1881/85 12,5 % in der Stadtbevölkerung und 27,0 in der Gesamtbevölkerung, hat demnach im letzteren in der Stadtbevölkerung um 1,4 % ab, in der Gesamtbevölkerung um 0,6 % zugenommen.

Die Differenz zwischen Stadt- und Gesamtbevölkerung bezüglich der unehelichen Geburten, 1884 16,5 % und 1885 14,8 % betragend, fällt bei der letzteren selbstverständlich der kgl. Entbindungsanstalt zur Last.

Während das Jahr 1884 23 Zwillings- und 1 Drillingsgeburt aufweist, wurden 1885 nur 12 Zwillinge geboren.

Die Zahl der Knaben, welche im Quinquennium 1876/80 in der Gesamtbevölkerung 50,9 % der Lebendgeborenen betrug, war im Jahre 1884 52,9, im Jahre 1885 50,1, im Durchschnitt der Jahre 1881/85 51,3.

Die zeitliche Vertheilung der sämtlichen Geburten (incl. Todtgeburten), ausgeschieden nach lebend und todt, ehelich und unehelich, männlich und weiblich Geborenen ist ersichtlich aus den Tabellen I. und II. Seite 61.

Graphisch dargestellt ist die Vertheilung der Lebendgeborenen auf die einzelnen Jahresmonate auf Tafel V g.

Die Zahlen für sämtliche Geburten jeden Monats, auf ein Jahr und 1000 Einwohner berechnet, gibt die folgende Tabelle:

Monate	Auf 1 Jahr und 1000 Einwohner		Zahl der Geburten		Darunter im Entbindungshaus	
	1884	1885	1884	1885	1884	1885
Januar	32,5	28,1	150	128	31	26
Februar	31,2	26,8	144	122	39	21
März	30,1	29,4	139	134	29	27
April	27,1	30,3	125	138	28	28
Mai	35,3	26,8	163	122	39	30
Juni	31,0	25,9	143	118	31	21
Juli	27,1	26,8	125	122	26	26
August	26,0	28,9	120	132	20	21
September	29,0	27,4	134	125	34	25
October	26,9	26,5	124	121	20	20
November	28,2	30,3	130	138	30	31
December	25,9	31,6	119	144	31	30
	29,0	28,2	1616	1544	358	306

Eine Stabilität ist aus obigen Zahlen nicht abzuleiten, 1884 fiel das Maximum auf Mai, 1885 auf December, 1884 fiel das Minimum auf December, 1885 auf den Juni.

Die örtliche Vertheilung der Geburten ergibt sich aus der Tabelle auf der nächsten Seite. (Siehe graphische Darstellung Tafel VI. Fig. A und B.)

Die Distrikte folgen sich von der höchsten Ziffer zur geringsten absteigend

1884		1885	
I. Distr.	27,6	V. Distr.	25,7
IV. "	27,2	IV. "	23,3
V. "	24,9	I. "	22,8
III. "	19,9	II. "	22,1
II. "	19,4 ‰	III. "	17,1

Eine Uebereinstimmung ist für beide Jahre insoferne ersichtlich, als der I. IV. und V. in beiden Jahren hohe, der II. und III. Distrikt dagegen niedere Ziffern aufweisen.

Districte	Bevoh- nerzahl *)	G e b u r t e n							
		ehelich	un- ehelich	Summa	auf 1000 Bewohner		uneheliche auf 100 Geburten		
					1884	1885	1884	1885	
I. Obere Abtheilung . .	7526	121	5	126	25,4	16,7	8,5	4,0	
Untere Abtheilung . .	4527	84	17	101	22,0	22,3	16,3	16,8	
Rennweg und Pleicher Glacis	950	12	1	13	9,6	13,7	0,0	7,7	
Grombühl etc.	2504	92	16	108	50,6	43,2	13,4	14,8	
Lehuleite, Faulenberg, Rottendorfer Strasse .	1926	39	10	49	34,1	25,4	23,6	20,4	
	17433	348	49	397	27,6	22,8	13,2	12,3	
II. Obere Abtheilung . .	3957	67	12	79	17,8	19,9	8,2	15,2	
Untere Abtheilung . .	6155	122	12	134	20,4	21,8	7,2	9,0	
	10112	189	24	213	19,4	21,1	7,5	11,3	
III. Obere Abtheilung . .	2176	30	1	31	12,7	14,3	3,7	3,3	
Untere Abtheilung . .	5437	88	11	99	22,9	18,2	15,0	11,1	
	7613	118	12	130	19,9	17,1	12,9	9,2	
VI. Obere Abtheilung . .	2474	42	2	44	20,8	17,8	9,5	4,5	
Untere Abtheilung . .	4355	98	14	112	25,6	25,7	21,3	12,5	
Sanderau	3588	79	9	88	30,7	24,5	5,7	10,2	
Sander Glacis, Friedens- strasse etc.	1012	17	2	19	3,1	18,8	—	10,5	
Kantstrasse, Zwergböglein	212	7	1	8	17,9	37,7	37,5	12,5	
	11641	243	28	271	23,7	23,3	14,6	10,3	
V. Obere Abtheilung . .	1556	33	3	36	30,2	23,4	9,6	8,2	
Untere Abtheilung . .	3285	71	18	89	26,6	27,1	26,4	20,2	
Frankfurter Strasse . .	1314	27	3	30	19,2	22,8	3,5	10,0	
Jägerstr., Talavera, Höch- bergerstr., Marienberg									
Mergentheimer-, Leisten- strasse, Nikolausberg	579	17	1	18	25,1	31,1	30,8	5,0	
	6734	148	25	173	29,4	25,7	30,8	14,5	
Ganze Stadt . . .	53533	1046	138	1184	23,7	22,1	13,4	11,7	
Innen	41448	756	95	851	—	20,5	—	11,0	
Aussen	12085	290	43	333	—	27,6	—	12,9	

*) Militär nicht mitgezählt. — Geburten im Entbindungshause nicht be-

Innerhalb des I. Distr. zeichnet sich in beiden Jahren das Grombühl durch hohe Geburtsziffern aus: 50,6 und 43,2 ‰; dessen Bevölkerung wird vorzugsweise von Arbeitern gebildet. Geringe Ziffern zeigen in beiden Jahren Sanderglaci- und Friedensstrasse, sowie Rennweger- und Pleicherglaci, Stadttheile mit meist privatisirender Bevölkerung, in welchen die Arbeiterbevölkerung stark zurücktritt.

Bezüglich der unehelichen Geburten auf 100 Geburten verhalten sich die einzelnen Distrikte folgendermassen:

1884			1885		
II. Distr.	7,5 ‰		III. Distr.	9,2 ‰	
III. "	12,9		IV. "	10,3	
I. "	13,1		II. "	11,3	
IV. "	14,6		I. "	13,1	
V. "	17,9		V. "	14,5	

In beiden Jahren zählt der V. Distrikt die meisten unehelichen Geburten.

Was die Lage betrifft, in der sich die Kinder zur Geburt stellten, so geben die Hebammen-Tabellen folgenden Ausweis:

Von allen geborenen Kindern (incl. Todtgeburten) stellten sich zur Geburt:

	1884		1885	
	absolut	in ‰	absolut	in ‰
in Hinterhauptslage	1557	96,3	1504	97,4
in Scheitel-, Stirn- u. Gesichtslage	10	0,6	9	0,6
in Steisslage	26	1,5	17	1,1
in Fusslage	8	0,5	5	0,3
in Querlage	15	0,9	9	0,6

Für alle Kindeslagen ergibt sich in beiden Jahren annähernd dasselbe Verhältniss.

2. Todtgeburten.

Die Zahl der Todtgeburten war 1884 59, im Jahre 1885 dagegen 73, von denen 20 bzw. 19 auf die Entbindungsanstalt trafen.

In ‰ der Geborenen ergibt sich für

	1876/80	1881/85	1871/85	1884	1885
in der Gesamtbevölkerung	4,3	3,6	4,2	3,6	4,7
in der Stadtbevölkerung	3,8	3,3	3,8	3,1	4,4

Die Durchschnittsziffer für die Stadtbevölkerung, auf einen grösseren Zeitraum 1871/85 mit 3,8 berechnet, stimmt mit jener für Europa nach *Wappäus* 3,79 ‰ der Geburten gut überein, wenn auch die einzelnen Jahre eine Schwankung erkennen lassen. 1885 zeigte gegen das Vorjahr eine Zunahme von 1,1 bzw. 1,3 ‰.

	1884	1885
Es treffen in der Entbindungsanstalt auf 100 Geburten	5,6	6,2 Todtgeburten
in der Stadt auf 100 eheliche Geburten	2,9	4,2 „
„ auf 100 uneheliche Geburten	4,1	5,5 „
In der Stadt wurden von 100 Knaben todtgeboren	4,2	4,0 „
„ 100 Mädchen „	2,6	4,7 „

Als Ursachen der Todtgeburten werden den Hebammen-Tabellen entnommen:

	1884	1885
Faultodt	24 = 40,7 ‰	28 = 38,4 ‰ aller Todtgeburten
Frühgeburten	8 = 13,6	13 = 17,8 „
Querlagen	3 = 20,0	2 = 22,2 aller Querlagen
Steisslagen	3 = 8,0	2 = 11,9 aller Steisslagen
Fnsslagen mit Extraction	6 = 10,2	14 = 19,2 aller Todtgeburten
Zangen-Entbindungen	2 = 4,2	2 = 4,5 aller Zangen-Entb.
Vorfall der Nabelschnur	5	1
Placenta praevia	2	2
Perforation	3	8
Künstliche Frühgeburt	—	1
Nach Kaiserschnitt	3	—
	59	73

Faultodte und frühgeborene Früchte waren unter den Todtgeburten 1884 57,1 ‰, 1885 56,2 ‰; fehlerhafte Lage war 1884 in 20,4 ‰, 1885 in 24,7 ‰, schwere künstliche Entbindungen 1884 in 13,6, 1885 in 17,8 ‰ der Fälle die Ursache des Todes des Kindes.

3. Künstliche Entbindungen.

Von den 1884 geborenen Kindern kamen 5,1 ‰, von jenen des Jahres 1885 6 ‰ durch Kunsthilfe zur Welt.

Art der künstlichen Entbindung	Zahl		Die Mutter				Das Kind			
			lebt		starb		lebend		todd	
	1884	1885	1884	1885	1884	1885	1884	1885	1884	1885
Zaengeburt	48	44	48	44	—	—	46	42	2	2
Wendung	19	24	19	24	—	—	14	15	5	9
Extraction	6	15	6	15	—	—	5	10	1	5
Kaiser- f intra vitam	1	—	1	—	—	—	—	—	1	—
schnitt post mortem	2	—	—	—	2	—	—	—	2	—
KünstlicheFrühgeburt	3	1	3	1	—	—	1	—	2	1
Perforation	3	8	2	8	1	—	—	—	3	8
Embryotomie	—	1	—	1	—	—	—	—	—	1
Summa	82	93	79	93	3	—	66	67	16	26
Placenta praevia	2	4	2	4	—	—	1	2	2	2
Nachgeburts - Ope- rationen	25	43	24	42	1	1	24	43	1	—

Von den künstlich entwickelten Kindern kamen 1884 16 oder 19,5 %, im Jahre 1885 26 oder 27,9 % todt zur Welt; von den künstlich entbundenen Müttern starben 1884 3 oder 3,7 %, im Jahre 1885 gar keine.

Von diesen künstlichen Entbindungen trafen auf die Entbindungsanstalt im Jahre 1884 40 oder 11,8 % der Geburten, im Jahre 1885 35 oder 11,4 %. In der Stadt kamen 1884 auf 1219 Geburten 42 künstliche oder 3,4 %, im Jahre 1885 auf 1258 Geburten 58 oder 4,7 %.

Das Verhältniss der einzelnen geburtshilflichen Operationen stellte sich zur Zahl der Geburten in den letzten Jahren, wie folgt:

Entbunden wurden in % der Geburten	1884	1885
mit der Zange	2,9	2,8
durch Wendung	0,9	1,6
durch Extraction	0,3	1,0
durch Perforation	—	0,5

Das Jahr 1885 zeigt im Allgemeinen eine Zunahme der künstlichen Entbindungen sowie auch bezüglich der einzelnen Operationen mit Ausnahme der Zangenentbindungen.

C. Sterbefälle.

(Ohne Todtgeburten.)

1. Sterblichkeit im Allgemeinen.

(Vergleiche Tafel V.)

Im Jahre 1884 starben 1364 Personen, unter welchen 130 ortsfremd waren, d. h. vor ihrer Erkrankung nicht in Würzburg gewohnt hatten, im Jahre 1885 1357 Personen (oder um 7 weniger als im Vorjahre), darunter waren 140 Ortsfremde.

Im Vergleiche zu den Vorjahren ergaben sich folgende Sterbeziffern:

In ‰ der	71/75	73,80	71/80	81/85	1884	1885
Gesamtbevölkerung	—	29,4	28,4	25,6	24,6	24,8
Nach Ausschluss der Ortsfremden (Stadtbevölkerung)	27,4	25,1	26,3	22,8	22,3	22,2

Die Sterblichkeit hat demnach sowohl in der Gesamt- als in der Stadtbevölkerung im letzten Quinquennium gegen die beiden vorausgegangenen $\frac{71}{80}$ abgenommen, in der Gesamtbevölkerung um 2,8 und in der Stadtbevölkerung um 3,5 ‰. Gegen 1884 hat sie im Jahre 1885 in der Gesamtbevölkerung um 0,2 ‰ zu-, in der Stadtbevölkerung dagegen um 0,1 ‰ abgenommen.

In den grösseren deutschen Städten schwankte die Sterblichkeit (auf 10000 Einwohner berechnet)

1884

zwischen 160,8 (Ludwigsburg) und 446,4 ‰ (Neustadt bei Magdeburg),

1885

zwischen 172,3 (Remscheid) und 496,1 (Neustadt bei Magdeburg).

In den 16 grösseren bairischen Städten schwankte sie

1884

zwischen 205,0 (Bayreuth) und 355,7 (Ingolstadt), im Durchschnitt betrug sie 272,0 ‰, Würzburg steht mit 246,5 an der 6. Stelle (in aufsteigender Reihenfolge gezählt);

1885

(17 Städte) zwischen 207,9 (Kaiserslautern) u. 363,2 (Erlangen), der Durchschnitt war 247,9 ‰, Würzburg hat mit 248,2 dieselbe 6. Stelle, wie im Vorjahre.

1884		1885	
1. Bayreuth	205,8	1. Kaiserslautern	207,9
2. Bamberg	210,6	2. Bamberg	215,2
3. Speyer	227,1	3. Bayreuth	238,1
4. Kaiserslautern	230,4	4. Speyer	242,8
5. Hof	233,9	5. Nürnberg	244,2
6. Würzburg	246,5	6. Würzburg	248,2
7. Fürth	271,7	7. Fürth	253,9
8. Landshut	278,8	8. Hof	262,7
9. Ludwigshafen	282,4	9. Amberg	273,7
10. Nürnberg	283,9	10. Augsburg	276,5
11. Passau	286,7	11. Passau	277,5
12. Erlangen	297,5	12. Landshut	278,4
13. Augsburg	303,0	13. München	290,7
14. München	307,0	14. Regensburg	291,1
15. Regensburg	331,1	15. Ingolstadt	296,4
16. Ingolstadt	355,7	16. Ludwigsh./Rh.	318,4
		17. Erlangen	363,2

2. Sterblichkeit nach Altersklassen.

a. Sterblichkeit im 1. Lebensjahre.

(Kindersterblichkeit.)

(Vergleiche Tafel V. Figur m.)

Die Zahl der im 1. Lebensjahre gestorbenen Kinder betrug im Jahre 1881: 342 oder 22,4 % der lebend geborenen,

"	1882:	266	"	17,5	"
"	1883:	317	"	21,5	"
"	1884:	306	"	19,6	"
"	1885:	290	"	19,7	"

im Quinquennium 1881/85 20,1 %. Die Ziffern der beiden letzten Jahre nähern sich sehr der von Dr. *Wasserfuhr*¹⁾ für Deutschland angegebenen Normalziffer 19,0 % der Lebendgeborenen.

Berechnet man die Kindersterblichkeit der letzten 5 Jahre auf 10000 Lebende der Bevölkerung und auf 1000 der im 1. Lebensjahre Stehenden, so ergibt sich:

¹⁾ Sterblichkeit der Neugeborenen und Säuglinge von Dr. *H. Wasserfuhr* Vierteljahrsschrift für öffentliche Gesundheitspflege 1869 I. S. 533.

Jahre	Ein- wohner	Kinder im 1. Lebensj.	Sterbefälle		Es kommen		
			überhaupt*)	im 1. Lebensj.	Sterbefälle im 1. Lebensjahre		
					auf 10000 Lebende	auf 1000 im 1. Jahr Lebende	auf 100 Gestorbene
1881	51500	1234	1388	342	66,2	277	24,6
1882	52300	1159	1234	266	50,9	230	21,5
1883	53100	1192	1548	317	59,7	266	20,5
1884	53900	1176	1346	306	56,8	260	22,4
1885	54700	1203	1357	290	53,0	241	21,4

*) Ortsfremde eingerechnet.

Für den 10jährigen Durchschnitt der Jahre 1876/85 beträgt das Verhältniss 64,4 auf 10000 Lebende. Das Jahr 1884 zeigt eine Abnahme der Kindersterblichkeit gegen das Vorjahr sowohl im Verhältniss zu 10000 Einwohnern, als auch im Verhältniss zu 1000 im 1. Jahre Lebenden. Nur im Verhältniss zu 100 Gestorbenen zeigt sich eine kleine Zunahme, weil die Gesamtsterblichkeit im Jahre 1884 bedeutend mehr gesunken ist, als die Kindersterblichkeit. Das Jahr 1885 zeigt in allen Beziehungen eine Abnahme gegen das Vorjahr und namentlich gegenüber dem 10jährigen Durchschnitt mit 64,4 auf 10000 Lebende erscheint die Ziffer 53,0 als eine recht günstige. Es lässt sich somit constatiren, dass die Kindersterblichkeit in Würzburg zur Zeit in erfreulicher Abnahme begriffen ist.

Das günstige Verhalten Würzburgs zeigt sich namentlich durch einen Vergleich mit anderen Städten.

In den deutschen Städten starben von 10000 Lebenden im Durchschnitt der Jahre 1878/82 97,5 Kinder im 1. Lebensjahre, in Würzburg beträgt die Ziffer für denselben Zeitraum 63,2 ‰.

In den 16 bairischen Städten berechnet sich der Durchschnitt im Verhältniss zu 100 Lebendgeborenen

für 1884 auf 27,8 ‰.

Die Ziffern schwanken zwischen 50,3 (Ingolstadt) und 16,3 (Bayreuth): auf Bayreuth folgen Hof und Bamberg, dann Würzburg als die viertgünstigst gestellte Stadt des Königreichs.

für 1885 (17 Städte) auf 26,5 ‰.

Die höchste Ziffer ist 40,0 (Ingolstadt), die niederste 17,3 (Hof); dann folgt Bayreuth mit 18,2 und diesem Würzburg mit 19,7 als die drittgünstigst gestellte Stadt.

Ausgeschieden nach Geschlecht, ehelicher und unehelicher Abkunft starben in den letzten Jahren von 100 Lebendgeborenen:

	männlich	weiblich	ehelich	unehelich
1881	25,3	29,3	22,3	22,4
1882	18,6	21,2	15,7	22,9
1883	21,8	20,8	21,0	23,0
1884	22,2	16,8	19,8	19,4
1885	20,2	19,2	18,0	24,5

Das Jahr 1884 zeigt überall Abnahme, nur bei den Männlichen Zunahme, das Jahr 1885 Zunahme bei den Weiblichen und den Unehelichen.

Auf die einzelnen Monatsgruppen vertheilt sich die Kindersterblichkeit, wie folgt:

a) In absoluten Zahlen:

Die Gestorbenen standen im	männlich		weiblich		ehelich		unehelich		Zusammen	
	1884	1885	1884	1885	1884	1885	1884	1885	1884	1885
1. Monat	76	53	46	49	75	64	47	38	122	102
2. und 3. "	41	36	33	32	52	42	22	26	74	68
4. bis 6. "	26	29	16	31	33	44	9	16	42	60
7. " 12. "	40	31	28	29	56	44	12	16	68	60
im 1. Lebensjahr	183	149	123	141	216	194	90	96	306	290
Lebend Geborene incl. Entbind.-Haus	824	737	733	734	1092	1080	465	391	1557	1471

b) In % der Geborenen.

Die Gestorbenen standen im	männlich		weiblich		ehelich		unehelich		Zusammen	
	1884	1885	1884	1885	1884	1885	1884	1885	1884	1885
1. Monat	9,2	7,2	6,3	6,6	6,9	6,0	10,1	9,7	7,8	7,0
2. und 3. "	5,0	5,0	4,5	4,4	4,8	3,9	4,7	6,6	4,1	4,6
4. bis 6. "	3,2	3,9	2,2	4,2	3,0	4,0	2,0	4,1	2,7	4,1
7. " 12. "	4,9	4,2	3,8	3,9	5,1	4,0	2,6	4,1	4,4	4,1
im 1. Lebensjahr incl. Entbind.-Haus	22,2	20,2	16,8	19,2	19,8	18,0	19,4	24,5	19,6	19,7

Die grösste Sterblichkeit trifft in beiden Jahren auf den ersten Monat; im zweiten und dritten Monat sinkt sie, vom vierten bis sechsten abermals, im Jahre 1884 mehr als 1885, vom 7. bis 12. Monat steigt sie im Jahre 1884 wieder, während sie im Jahre 1885 mit dem 4. bis 6. Monat gleichen Stand hält.

Die Sterblichkeit der Knaben war in allen Monatsgruppen in beiden Jahren höher als jene der Mädchen mit einziger Ausnahme der Gruppe 4. bis 6. Monat im Jahre 1885.

Die Sterblichkeit der Unehelichen ist in beiden Jahren im ersten Monat am grössten, fällt im zweiten und dritten und im zweiten Halbjahre abermals.

Die Sterblichkeit der unehelichen Kinder verhält sich zur Sterblichkeit im 1. Lebensjahre, wie folgt:

Es starben unehelich Geborene von 100 in jeder Monatsgruppe des 1. Lebensjahres überhaupt gestorbenen Kindern:

	1871/75	1876/80	1881/85	1884	1885
Im 1. Monat	42,1	33,3	34,6	38,5	37,2
„ 2. u. 3. Monat	39,0	35,5	33,4	29,7	38,2
„ 4.—6. „	30,0	26,2	25,9	21,4	26,7
„ 7.—12. „	18,9	19,3	24,5	17,6	26,7
Im 1. Lebensjahre	33,7	29,6	30,9	29,4	33,1
Uneheliche Geburten in % der Geburten	24,9	25,9	27,0	29,9	26,4

Die Sterblichkeit der unehelichen Kinder war in beiden Berichtsjahren übereinstimmend mit den Quinquennien in den ersten 3 Lebensmonaten am grössten, wie sich dies aus dem in jene Zeit fallenden Uebergang zur künstlichen Ernährung ausreichend erklärt.

Veranlasst sind die Todesfälle im 1. Lebensjahre zumeist durch folgende Krankheiten:

Krankheitsformen	Zahl der im 1. Lebens- jahr Gestorbenen		Darunter			
			Eheliche		Uneheliche	
	1884	1885	1884	1885	1884	1885
A. Ernährungsstörungen	64	57	38	37	26	20
{ Lebensschwäche	23	13	15	13	8	4
{ Abzehrung	55	63	37	51	18	22
{ Durchfall						
Summa von A	142	137	90	101	52	46
B. Acute Erkrankungen der Athmungsorgane	52	36	46	27	6	9
C. Fraisen	67	56	47	34	20	22
D. Keuchhusten	12	23	11	16	1	7
E. Masern	—	5	—	2	—	3
F. Syphilis	6	6	2	1	4	5
Summa A mit F	279	263	196	181	83	92

In Procenten der Lebendgeborenen jeder Kategorie:

A. Ernährungsstörungen	{ Lebensschwäche Abzehrung Durchfall }		Summa von A	3,9	3,5	3,4	5,6	5,1
	4,1 1,5 3,5	1,2 4,3						
	9,1	9,3	8,2	9,4	11,2	11,8		
<hr/>								
B. Acute Erkrankungen der Athmungsorgane	3,3	2,5	4,2	2,5	1,3	2,3		
	4,3	3,8	4,3	3,2	4,3	5,6		
		
	D. Keuchhusten	1,6	1,0	1,5	0,2	1,8		
	E. Masern	0,3	0,0	0,4	0,0	0,8		
	F. Syphilis	0,3	0,4	0,18	0,2	0,9	1,3	
Summa A mit F	17,9	17,9	17,9	16,6	17,8	23,5		

Wie immer, hatten auch in beiden Berichtsjahren die Ernährungsstörungen überwiegend sich als Todesursachen geltend gemacht und zwar in etwas mehr als der Hälfte der Todesfälle; die Unehelichgeborenen sind 1884 3 %, 1885 2,4 % höher betheiligt als die Ehelichen.

An akuten Erkrankungen der Athmungsorgane starben 1884 3,3, 1885 2,5 %; die Ehelichen sind im ersten Jahre um 2,9 %, im zweiten um 0,2 % höher betroffen als die Unehelichen.

Knaben starben 1884 2,3 %, 1885 2,1 % mehr als Mädchen.

Diese 4 Beobachtungen: Ueberwiegen der Ernährungsstörungen als Todesursache, stärkeres Betroffenwerden der Unehelichen von Ernährungsstörungen, dagegen der Ehelichen von Erkrankungen der Athmungsorgane, sowie höhere Sterblichkeit der Knaben kehren jährlich wieder.

Nach Jahreszeit vertheilte sich die Kindersterblichkeit in beiden Jahren folgendermassen:

Es starben	im Allgemeinen:		an akuten Erkrankungen der Athmungsorgane:		an Durchfall:	
	1884	1885	1884	1885	1884	1885
durchschnittlich im Monat	25,5	24,2	4,3	3,0	4,9	6,1
Januar	27	24	10	4	1	2
Februar	26	16	10	3	1	2
März	23	26	8	6	3	3
April	34	28	6	3	7	5
Mai	30	30	3	4	8	5
Juni	24	30	2	3	3	9
Juli	30	30	2	3	8	16
August	32	35	2	0	18	21
September	20	15	0	1	4	2
Oktober	21	15	1	3	3	2
November	17	17	2	1	2	6
December	22	24	6	5	0	0

Im Jahre 1884 fiel das Maximum der Kindersterblichkeit überhaupt auf den April (akute Erkrankungen der Athmungsorgane und Durchfall zeigen hohe Ziffern), das Minimum auf den November (beide Todesursachen zeigen niedere Ziffern.)

Im Jahre 1885 traf das Maximum auf August, wobei die hohen Ziffern von Durchfall den Ausschlag gaben, das Minimum

auf September und Oktober (geringe Ziffern an Durchfall und an Erkrankungen der Athmungsorgane).

Es ist ersichtlich, dass hauptsächlich diese beiden Todesursachen für die Höhe der Sterbeziffer jeden Monats massgebend sind.

Bei örtlicher Ausscheidung der Kindersterblichkeit ergeben sich im Verhältniss zu 100 in derselben Oertlichkeit Lebendgeborenen folgende Zahlen: (vergleiche auch Tabellen 5 und 6 und graphische Darstellung Tafel VI. Fig. A und B.)

	1884		1885
V. Distr.	27,2 %	II. Distr.	29,6 %
II. "	25,3	III. "	26,9
III. "	23,1	IV. "	23,3
IV. "	22,4	V. "	23,1
I. "	20,8	I. "	21,4
Innere Stadt	24,6	Innere Stadt	26,1
Aeussere "	19,0	Aeussere "	18,9
Ganze "	23,1	Ganze "	24,2

In beiden Berichtsjahren war die Sterblichkeit in der äusseren Stadt geringer, als in der inneren und im I. District am geringsten.

Nach Unterabtheilungen folgen sich von hoher zu niederer Kindersterblichkeit.

	1884		1885
V. Distr.	unten	V. Distr.	unten
I. "	unten	IV. "	unten
II. "	oben	II. "	oben
IV. "	unten	III. "	unten
III. "	unten	II. "	unten
II. "	unten	I. "	unten
IV. "	oben	I. "	aussen
V. "	aussen	I. "	oben
V. "	oben	IV. "	aussen
I. "	aussen	IV. "	oben
III. "	oben	III. "	oben
IV. "	aussen	V. "	aussen
I. "	oben	V. "	oben

Die unteren Abtheilungen mit einziger Ausnahme der des II. Distrikts zeigen in beiden Jahren höhere Ziffern als die oberen und äusseren.

Nachdem die Art und Weise der Ernährung der Kinder mit der Sterblichkeit im engsten Zusammenhange steht, mag dieselbe an dieser Stelle Erörterung finden:

Nach Ausweis der Hebammentabellen wurden von den in der Stadt lebend geborenen Kindern wenigstens anfänglich von den Müttern gestillt 92,9 % im Jahre 1884 und 92,1 % im Jahre 1885. Als Ursache des Nichtstillens ist 47- beziehungsweise 25 mal Mangel an Milch, 36- beziehungsweise 22 mal allgemeine Schwäche oder Erkrankung der Mutter und 4- beziehungsweise 9 mal ungünstige Beschaffenheit der Brustwarzen angegeben.

Zieht man die in der ersten Wochen nach der Geburt an Lebensschwäche gestorbenen 64 beziehungsweise 43 Kinder ab, so wurden nach den Todtenscheinen:

1884	1885	
67	69	bis zum Tode gestillt,
11	11	zeitweise gestillt (mindestens 2 Monate)
163	167	künstlich genährt.
<hr/> 241	<hr/> 247	

Die hohe Sterblichkeit der künstlich Genährten ergibt sich aus diesen Ziffern, indem 67,0 und 67,6 % derselben gestorben sind.

Dem Alter nach standen

	im 1. Lebensmonat		im 2. und 3.		im 4.—6.		im 7.—12.	
	1884	1885	1884	1885	1884	1885	1884	1885
von den gestillten Kindern	30	19	20	20	10	14	22	16
von den zeitweise Gestillten	—	—	2	—	2	3	7	8
von den künstlich Genährten	90	37	54	52	29	42	40	36
	<hr/> 120	<hr/> 56	<hr/> 76	<hr/> 72	<hr/> 41	<hr/> 59	<hr/> 69	<hr/> 60

Von den gestillten Kindern starb 1884 die Mehrzahl im 1. Monate (Lebensschwäche), von den zeitweise Gestillten im 7. bis 12. Monat, von den künstlich Genährten im 1. und alsdann im 2.—3. Monate.

Im Jahre 1885 starb von den Gestillten die Mehrzahl im 2.—3. Monate, von den zeitweise Gestillten im 7.— 12., von den künstlich Genährten im 2.—3. Monat.

Mit Rücksicht auf Todesursachen (inclusive derjenigen Kinder, die in den ersten Wochen nach der Geburt an Lebensschwäche starben), ergibt sich folgendes Verhältniss:

Es starben an	Gestillte		Zeitweise Gestillte		Nicht-Gestillte		Summa	
	1884	1885	1884	1885	1884	1885	1884	1885
Lebensschwäche	14	7	—	—	50	54	64	61
Atrophie	4	2	—	1	19	14	23	17
Darmkatarrh	11	12	2	1	42	60	55	73
Eclampsie u. Hirnhautentzdg.	26	20	3	2	44	36	73	58
Akuten Krankh. d. Athm.-Organe	18	24	4	5	30	32	52	61
Keuchhusten	3	—	1	—	8	—	12	—
Syphilis	2	1	—	—	4	5	6	6
allen übrigen Krankheiten	4	—	1	—	16	—	21	—
	82	69	11	11	213	210	306	290

Abgesehen von Lebensschwäche starben die nicht Gestillten zumeist an Darmkatarrh, dann an Eklampsie; während die zeitweise Gestillten und die überhaupt Gestillten weniger in Folge von Darmkatarrh, dagegen verhältnissmässig häufig an akuten Erkrankungen der Athmungsorgane gestorben sind, ein Verhältniss, das sich alljährlich wiederholt.

Nach Jahreszeiten vertheilen sich diese Todesfälle wie folgt:

Es starben im	Gestillte		Zeitweise Gestillte		Nicht-Gestillte		Summa	
	1884	1885	1884	1885	1884	1885	1884	1885
December	5	8	—	1	17	11	22	20
Januar	7	5	2	—	18	12	27	17
Februar	7	2	2	—	17	13	26	15
Winter	19	15	4	1	52	36	75	52
März	8	3	2	1	13	17	23	21
April	10	6	2	1	22	17	34	24
Mai	6	10	1	2	23	16	30	28
Frühling	24	19	5	4	58	50	87	73
Juni	7	8	1	—	16	19	24	27
Juli	8	11	—	2	22	15	30	28
August	11	5	1	1	20	26	32	32
Sommer	26	24	2	3	58	60	86	87
Semptember	5	3	—	—	15	6	20	9
Oktober	2	3	—	1	19	6	21	10
November	6	5	—	2	11	9	17	16
Herbst	13	11	—	3	45	21	58	35
Sa. tot.	82	69	11	11	213	167	306	247*

* Im Jahre 1885 sind die 43 bald nach der Geburt an Lebensschwäche Gestorbenen nicht mit aufgeführt.

Im Allgemeinen, die zwei Jahre zusammengekommen, war der Sommer am gefährlichsten, dann der Frühling, nach diesem der Winter, am günstigsten war der Herbst; dies gilt sowohl für die Gestillten, als wie für die Nichtgestillten.

Bei Beurtheilung der Kindersterblichkeit fallen die Halte- oder Pflegekinder sehr ins Gewicht. Deren Zahl betrug im Jahre 1884 324, im Jahre 1885 403.

Hiervon waren gestorben	1884	1885
am Ende des Jahres	32	50
zu den Eltern zurückgebracht	71	85
in Pflege verblieben	221	268

Wie bisher stets, so wurden auch in den beiden letzten Jahren nach erfolgter Anmeldung, sowie auch später in geeigneten Zwischenräumen die Pflegekinder in den Wohnungen aufgesucht, über diese, sowie über Qualität der Pflege, Reinlichkeit u. s. w. Gutachten abgegeben und auf Grund derselben die magistratische Bewilligung ertheilt. Nur wenige Pflegen wurden als nicht geeignet beanstandet.

Gelegentlich dieser Besuche wurden die Pflegemütter über zweckmässige Art der Ernährung belehrt, auch wurde seitens des Magistrats eine gedruckte Anweisung über Pflege und Ernährung vertheilt. Ueber sämmtliche Pflegen, Todesfälle u. s. w. wurden genaue Listen geführt.

Gestorben sind von der Gesamtsumme im Jahre 1884 32 oder 9,9 %, im Jahre 1885 50 oder 12,4 %.

	im Jahre 1884		im Jahre 1885	
an Darmkatarrh starben	9	oder 28 %	13	oder 26 %
„ Fraisen u. Hirnhautentzündungen	9	„ 28 „	18	„ 36 „
„ akuten Erkrankungen der Athmungsorgane	2	„ 6,2 „	6	„ 12 „
„ Atrophie	7	„ 21,9 „	2	„ 4 „
„ Keuchhusten	1	„ 3,1 „	2	„ 4 „
„ Lebensschwäche	2	„ 6,2 „	—	„ — „
„ Syphilis	2	„ 6,2 „	2	„ 4 „
„ Masern	—	„ — „	2	„ 4 „
„ Skrophulose	—	„ — „	4	„ 8 „
„ Erschöpfung (Hasenscharte)	—	„ — „	1	„ 2 „

der Gestorbenen.

Gegen das Vorjahr hat 1885 eine kleine Zunahme der Sterblichkeit um 2,5 % aufzuweisen; berücksichtigt man jedoch, dass die überwiegende Anzahl der Pflegekinder den ersten zwei Lebensjahren angehören (so standen von den 268 am Ende des Jahres

1885 verbliebenen Kindern 225 im Alter von 0—2 Jahren und nur 43 im Alter von 2—7 Jahren), so erscheinen die Sterbeziffern beider Jahre als günstige, nachdem die Sterblichkeitsziffer im 1. Lebensjahre für 1884 26,0 und für 1885 24,1 auf 100 im 1. Jahre Lebende beträgt.

b. Sterblichkeit in den übrigen Altersklassen.

Die Sterbeziffern für die einzelnen Altersklassen sind folgende:

Altersklassen	Zahl der Gestorbenen				In ‰ der in jeder Altersklasse Lebenden					In ‰ aller Gestorbenen	
	1884		1885		1884		1885		Durchschnitt 1871, 80	1884 1885	
	Darunt. Ortsfremde		Darunt. Ortsfremde		mit Ortsfremde	ohne Ortsfremde	mit Ortsfremde	ohne Ortsfremde			
1. Jahr	306	1	290	4	260,2	250,9	241,0	237,7	228,1	22,4	21,4
2.—5.	129	5	162	4	29,3	28,2	33,7	32,9	50,3	9,5	11,9
6.—10.	36	1	32	5	7,2	7,0	6,7	5,7	8,2	2,6	2,4
11.—20.	54	14	57	14	5,2	3,9	5,6	4,2	6,1	4,0	4,2
21.—30.	115	19	83	19	9,1	7,6	7,1	5,5	7,1	8,4	6,1
31.—40.	112	21	96	18	13,8	11,0	12,2	9,7	11,9	8,2	7,1
41.—50.	138	28	141	24	21,8	17,4	22,6	18,8	16,2	10,1	10,4
51.—60.	136	21	147	23	30,4	25,7	33,2	28,0	29,8	10,0	10,8
61.—70.	143	14	147	19	68,8	62,1	57,2	45,5	47,6	10,5	10,8
71.—80.	130	6	142	7	123,7	117,9	132,5	125,9	117,1	9,5	10,5
81.—100.	65	—	60	3	243,4	243,4	274,0	260,3	217,7	4,8	4,4
	1364	130	1357	140							

Im Verhältniss zu 1000 in jeder Altersklasse Lebenden zeigt das Jahr 1885 gegenüber dem Vorjahre wesentlich geringere Ziffern im 1. Lebensjahre und im Alter von 61.—70. Jahren; wesentlich höhere dagegen im Alter von 81.—100 Jahren. Gegen den 10jährigen Durchschnitt 1871—1880 erscheinen die Ziffern der beiden letzten Jahre wesentlich höher im 1. Lebensjahre, im Alter von 61.—70. und von 81.—100. Jahren; wesentlich geringer erscheinen sie dagegen im Alter von 2.—5 Jahren.

Beim Vergleiche der Sterbeziffern Würzburgs und jener der Städte des deutschen Reichs ergibt sich:

Altersklassen	Auf 10000 Einwohner treffen Sterbefälle			
	in den deutschen Städten		in Würzburg	
	1878—1882		1878—1882	1884 1885
1. Jahr	97,5		63,2	55,3 53,0
2.—5.	36,9		30,7	23,3 29,6
6.—20.	16,2		17,2	16,3 13,3
21.—40.	35,6		43,9	41,0 32,7
41.—60.	35,8		50,8	40,9 52,7
61.—100.	42,7		67,2	61,1 63,8

Würzburg hat demnach gegenüber den deutschen Städten eine bedeutend geringere Kindersterblichkeit, im Alter von 2—40 Jahren annähernd gleiche Ziffern, hingegen im Alter von 41—100 Jahren eine wesentlich höhere Sterblichkeit; diese Thatsache findet ihren Grund in den zahlreichen Pfründeanstalten der Stadt, in welchen viele ältere auswärtige Personen Aufnahme finden; Ende 1885 zählte man 186 männliche, 307 weibliche, im Ganzen demnach 493 Pfründen.

Die Sterblichkeit beim männlichen Geschlechte war in Würzburg in beiden Berichtsjahren grösser als beim weiblichen; 26,5 beziehungsweise 24,7 ‰ gegen 22,4 und 24,6 ‰.

Das Durchschnittsalter aller Gestorbenen in Würzburg beziffert sich für 1884 auf 30,3 Jahre, für die über 15 Jahre alten Gestorbenen auf 55 Jahre, im Jahre 1885 für die ersteren auf 33,0 Jahre, für die Letzteren gleichfalls auf 55 Jahre.

3. Sterbefälle nach Todesursachen.

Bei Zusammenstellung der Todesursachen nach Virchow's System in grössere naturgemäss zusammenhängende Gruppen zeigt sich unter Berücksichtigung der Ortsfremden folgendes Ergebniss:

Gruppen der Todesursachen	Sterbefälle				Auf je 10000 Ein- wohner treffen				Von den Ge- storbenen waren	
	1884		1885		mit Ortsfremde		mit Ortsfremde		1884	1885
	davon Ortsfremde		davon Ortsfremde		1884	1885	1884	1885		
I. Lebensschwäche . . .	65	—	57	—	11,7	11,7	10,4	10,4	0 %	0 %
II. Altersschwäche . . .	94	3	84	2	16,9	16,4	15,4	15,0	3,2	2,4
III. Gewaltsame Todesarten	29	2	28	5	5,2	4,9	5,1	4,2	0,7	18,0
IV. Tod in Folge Schwangerschaft und Kindbett . .	6	—	3	—	1,1	1,1	0,5	0,5	0	0
V. Infektionskrankheiten .	74	4	111	1	13,4	12,6	20,4	20,1	5,4	1,0
VI. Constitutionelle Krankh.	105	17	98	20	18,9	15,7	17,9	14,3	16,2	20,4
VII. Krankh. d. Haut u. Muskeln	5	1	8	2	1,0	0,7	1,5	1,1	20,0	25,0
VIII. „ d. Knochen u. Gelenke	15	6	26	12	2,7	1,6	4,8	2,6	10,0	46,2
IX. „ d. Gefässsystems .	78	8	65	7	14,9	12,6	5,2	10,6	10,3	10,8
X. „ d. Nervensystems .	232	11	229	7	42,1	39,1	41,9	38,1	4,7	7,0
XI. „ d. Respirationsorgane	452	53	438	47	81,7	72,1	80,1	71,5	11,7	10,7
XII. „ d. Verdannungsorgane	156	17	145	11	28,2	25,1	26,5	24,5	10,9	7,4
XIII. „ d. Harnorgane . .	31	1	46	12	5,6	5,4	8,4	6,2	3,2	26,1
XIV. „ d. Geschlechtsorgane	22	7	19	5	4,0	2,7	3,5	2,4	3,2	2,6
	1364	130	1357	140	246,5	222,9	248,1	224,8	9,5	10,3

Wie immer, zeigen die Respirationsorgane die höchsten Ziffern 81,7 und 80,1 auf 10000 Einwohner. Die Infektions-

krankheiten zeigen im Jahre 1885 mit 20,4 etwas höheren Zahlen als im Vorjahre. Der Antheil der Ortsfremden ist in beiden Jahren besonders bei den Gruppen VIII, VII und VI, im Jahre 1885 namentlich bei Gruppe XIII bemerkbar. Zum grossen Theile waren dies chronisch Kranke, die von auswärts kamen, um im Juliusspitale Behandlung zu finden.

Die in hygienischer Beziehung wichtigeren Todesursachen finden sich hier noch besonders zusammengestellt:

Todesursachen	Zahl der Fälle				Auf 10000 Lebende treffen						Auf 100	
	1884		1885		in Würzburg				in der deutschen Stadt		in Würzburg	
	Darunter Ortsfremde		Darunter Ortsfremde		1884		1885		1875 mit Ortsf.	1875	1884	1885
					mit Ortsfremde	ohne Ortsfremde	mit Ortsfremde	ohne Ortsfremde				
1 Lebensschwäche	64	—	57	—	11,5	11,5	10,4	10,4	—	—	4,6	4,1
2 Durchfall der Kinder	62	—	78	1	11,0	11,0	14,3	14,3	—	—	4,5	5,8
3 Abzehrung d. Kinder	30	1	18	2	5,4	5,2	3,3	2,9	—	—	2,2	1,3
4 Friesen der Kinder	78	1	70	—	14,1	14,1	12,8	12,8	—	—	5,7	5,2
Summa von 1—4	234	2	223	3	42,2	42,1	40,8	40,2	—	—	17,1	16,4
5 Typhus . . .	10	2	6	1	1,8	1,4	1,1	0,9	2,6	4,1	0,73	0,4
6 Kindbettfieber .	3	—	3	—	0,5	0,5	0,5	0,5	1,3	1,4	0,2	0,2
7 Blattern . . .	—	—	—	—	—	—	—	—	—	0,2	—	—
8 Scharlach . . .	4	—	—	—	0,7	0,7	—	—	2,5	5,6	0,3	—
9 Masern . . .	—	—	17	—	—	—	3,1	3,1	1,0	2,7	—	1,3
10 Keuchhusten . .	20	—	38	—	3,6	3,6	6,9	6,9	2,9	3,7	1,5	2,8
11 Croup u. Diphtheritis	26	1	43	—	4,7	4,5	7,9	7,9	8,6	14,0	1,9	3,2
Summa 5—11	63	3	107	1	11,4	11,2	21,4	21,2	18,9	28,1	4,6	8,6
12 Pneumonie, Pleuritis, Bronchitis . .	151	8	168	10	27,3	25,8	30,7	28,9	26,4	27,4	11,1	12,4
13 Gastritis, Peritonitis, Enteritis . .	25	2	23	2	4,5	4,2	4,2	3,8	—	—	1,8	1,7
14 Tuberkulose der Lungen . . .	269	42	265	37	48,6	41,0	48,4	41,7	52,3	35,2	19,7	19,5
15 Chronische Herzkrankheiten . .	76	8	62	7	13,7	10,5	11,3	10,1	—	—	5,5	4,6
16 Magenkrebs . .	20	7	26	5	3,6	2,3	4,8	3,8	—	—	1,5	1,9
17 Gehirnschlag . .	64	2	72	4	11,6	11,2	13,2	12,4	10,4	8,8	4,6	5,3
18 Altersschwäche .	94	3	84	2	16,9	16,4	15,4	15,0	—	—	6,9	6,2

Die Zahl der im Jahre 1885 an Lebensschwäche, Abzehrung und Friesen verstorbenen Kinder ist etwas geringer als im Vorjahre, dagegen forderte der Durchfall mehr Opfer als im Jahre 1884. Die Zahl der an Infektionskrankheiten Verstorbenen war bedeutend höher 21,4 gegen 11,4 im Vorjahre, die Höhe ist

durch Masern, Keuchhusten, Croup und Diphtheritis bedingt. Die Typhusmortalität ist von 2,8 im Jahre 1883 auf 1,8 im Jahre 1884 und auf 1,1 im Jahre 1885 zurückgegangen, so dass diese Ziffern von der Durchschnittsziffer Würzburgs für die Jahre 1878—1882 2,6, noch mehr aber in jener für die deutschen Städte in der gleichen Periode 4,1 vortheilhaft abstechen.

In den deutschen Städten schwankte die Typhusmortalität bei Berechnung auf 10000 Lebende im Jahre

1884	1885
zwischen 0 (Schwerin und Viersen) und 16,1 (Neustadt-Magdeburg).	zwischen 0 (Bayreuth, Ulm, Giessen) und 12,1 (Prenzlau).

In der Reihenfolge der 172 deutschen Städte stand Würzburg an der 49. Stelle oder 123 Städte hatten eine grössere Sterblichkeit.

Unter den 16 bayerischen Städten schwankte sie 1884 zwischen 0,4 (Bayreuth) und 6,8 (Ludwigshafen), während der Durchschnitt für dieselben 2,2 betrug. 1878—1882 noch 3,1 also ist auch hier eine Abnahme zu constatiren.

Würzburg steht 1884 unter den bairischen Städten an der 9. Stelle, oder 7 Städte sind weniger günstig gestellt.

Unter den 17 bair. grösseren Städten schwankte die Sterblichkeit im Jahre 1885 zwischen 0 (Bayreuth) und 7,2 (Regensburg), während der Durchschnitt gleichfalls 2,2 wie im Vorjahre, betrug. Ausser Bayreuth haben nur noch Bamberg, Ingolstadt und Erlangen geringere Ziffern als Würzburg, während Nürnberg mit ihm gleiche Ziffer aufweist.

Das Puerperalfieber zeigte in beiden Jahren mit 0,5 ‰ günstige Ziffern gegenüber dem 5jährigen Durchschnitte 1878/82 für Würzburg mit 1,3 und jenem für die deutschen Städte mit 1,4.

Gering erscheint die Sterbeziffer an Scharlach im Jahre 1884 mit 0,7 gegen den 5jährigen Durchschnitt für Würzburg 1878/82 mit 2,5 und jenen für die deutschen Städte mit 5,6 ‰. Das Jahr 1885 zeigt gar keine Verluste an dieser Krankheit.

Die Masern erforderten 1884 kein Opfer gegen 27,2 ‰ im Jahre 1883, im Jahre 1885 war die Sterbeziffer 3,1, während sie in dem wiederholt genannten Quinquennium für Würzburg 1,0 und für die deutschen Städte 2,7 betrug.

Der Keuchhusten bleibt 1884 mit 3,6 bedeutend unter dem Vorjahre 9,4. Im Jahre 1885 war die Ziffer wieder höher, indem sie 6,9 betrug. In beiden Jahren überstiegen die Ziffern jene des Quinquenniums 1878/82 für Würzburg 2,9, in den deutschen Städten war sie für diese Zeit 3,7.

Croup und Diphtheritis stiegen im Jahre 1884 auf 4,7 (von 3,5 im Jahre 1883), im Jahre 1885 abermals und zwar auf 7,9‰; doch stehen diese beiden Ziffern noch unter jener des Quinquenniums 1878/82 für Würzburg 8,6 und noch mehr unter jener für die deutschen Städte mit 14,0‰ während des gleichen Zeitraums.

Unter den 172 deutschen Städten nimmt Würzburg im Jahre 1884 von der geringsten zur höchsten Sterblichkeit gerechnet die 34. Stelle ein. Sie schwankte zwischen 0 (Baden) und 69,8 (in Stolp). 1885 schwankte sie unter den deutschen Städten zwischen 0 (Düren) und 102,4 (Stolp).

Unter den bairischen Städten schwankte die Sterblichkeit:

1884	1885
zwischen 3,0 (Speyer) und 14,2 (Hof), im Durchschnitt betrug sie 6,3‰, Würzburg stand an der siebenten Stelle (in aufsteigender Reihenfolge).	zwischen 1,9 (Amberg und Regensburg) u. 54,6 (Erlangen); der Durchschnitt war 7,7‰. 10 Städte hatten eine weniger günstige Sterbeziffer als Würzburg.

Die Zahl der Todesfälle an akuten Erkrankungen der Athmungsorgane, welche 1884 von 30,7 auf 27,3 sich gemindert hatte, stieg 1885 wieder auf 30,7. Die Ziffern der beiden Jahre sind höher als die Quinquennialziffer für Würzburg mit 26,4, während für die deutschen Städte die Ziffer für diesen Zeitraum 27,4 betrug.

Unter den deutschen Städten schwankte die Sterbeziffer:

1884	1885
zwischen 6,3 (Ingolstadt) und 35,9 (Mühlheim a. Rh.). Würzburg stand an der 98. Stelle oder 74 Städte hatten eine noch höhere Sterblichkeit aufzuweisen.	bewegte sich die Ziffer zwischen 0,5 (Minden) und 65,6 (Gelsenkirchen).

Unter den bairischen Städten schwankte die Ziffer:

1884	1885
zwischen 6,3 (Ingolstadt) und 46,4 (Hof), während die Durchschnittsziffer 29,7 war. 10 Städte hatten eine höhere Sterbeziffer als Würzburg.	zwischen 4,9 (Ingolstadt) und 54,6 (Hof), die Durchschnittsziffer war 30,9 und nur 3 Städte unter 17 hatten geringere Ziffern als Würzburg.

Die Zahl der an Tuberkulose der Lungen Gestorbenen war in beiden Jahren wieder eine sehr hohe, sie betrug 1884 48,6, 1885 48,4; zwar sind diese Ziffern geringer als jene des Quinquenniums 1878/82 für Würzburg, welche 52,3 ‰ betrug, aber immer noch bedeutend höher als die für die deutschen Städte 35,2.

So steht auch unter den deutschen Städten Würzburg im Jahre 1884 an der 157. Stelle oder nur 15 Städte haben eine noch grössere Sterblichkeit.

Am geringsten war die Sterblichkeit in Ingolstadt mit 1,3, am höchsten mit 77,9 in Remscheid. 1885 schwankte die Sterbeziffer zwischen 3,7 (Ingolstadt) und 63,3 (Remscheid).

Unter den bairischen Städten schwankte die Sterblichkeit

im Jahre 1884	Im Jahre 1885
zwischen 1,3 (Ingolstadt) und 62,0 (Erlangen), während das Mittel 38,5 betrug. Nur 3 Städte, Fürth, Passau und Erlangen, hatten höhere Ziffern, Nürnberg gleiche Ziffer mit Würzburg.	schwankte sie zwischen 3,7 (Ingolstadt) und 60,3 (Erlangen). Das Mittel war 37,6. Nur Fürth und Erlangen hatten höhere Ziffern als Würzburg.

Nach Ausscheidung bezüglich des Alters, Geschlechts und der Jahreszeit ergaben sich für die beiden Jahre folgende Uebersichten:

a) nach Alter:

Es starben an	im Jahre	Summe	Lebensjahre											
			1	2—5	6—10	11—20	21—30	31—40	41—50	51—60	61—70	71—80	81 u. ff.	
akuten Erkrankungen	1884	151	52	34	4	2	1	3	10	8	22	10	5	
	1885	125	36	27	1	1	1	7	8	10	17	15	2	
Tuberkulose der Lungen	1884	269	—	4	2	24	69	66	53	30	17	3	1	
	1885	265	—	6	6	33	52	46	64	34	20	4	—	
										(22*)	3*			

(22*)

3*

b) nach Jahreszeit:

Es starben an	im Jahre	Januar	Februar	März	April	Mai	Juni	Juli	August	Septbr.	October	Novbr.	Decbr.
akuten Erkrank. d. Athm.-Organe	1884	18	21	17	22	13	9	8	14	1	3	9	16
	1885	26	14	13	9	11	11	7	5	2	8	6	13
Tuberkulose der Lungen	1884	26	25	28	23	32	29	15	24	18	16	13	20
	1885	21	28	21	29	22	22	17	30	13	13	16	33

Von der Sterblichkeit an akuten Erkrankungen der Athmungsorgane fiel das Maximum 1884 mit 52 auf das 1. Lebensjahr, 1885 mit 36 gleichfalls auf das 1. Jahr; das Minimum 1884 mit 1 auf das 21.—30. Jahr, 1885 gleichfalls mit 1 auf dasselbe Alter zugleich aber auch auf die Altersperioden 6—20.

Von der Sterblichkeit an Lungentuberkulose fiel das Maximum 1884 mit 69 auf das 21.—30. Lebensjahr, 1885 mit 64 auf das Alter von 41—50 Jahren; das Minimum: in beiden Jahren mit 0 auf das 1. Lebensjahr.

Im Jahre 1884 verhielten sich demnach diese beiden Todesursachen geradezu umgekehrt, indem das Maximum der einen mit dem Minimum der anderen zusammentraf.

Nach jahreszeitlicher Vertheilung fiel von den Todesfällen an akuten Erkrankungen der Athmungsorgane das Maximum 1884 auf den April, 1885 auf den Januar; das Minimum in beiden Jahren auf September.

Von den Todesfällen an Lungentuberkulose trifft das Minimum 1884 auf den Mai, 1885 auf December; das Minimum 1884 auf November, 1885 auf September und October.

Im Jahre 1884 zeigten diese beiden Todesursachen keinerlei jahreszeitliche Uebereinstimmung, im Jahre 1885 auch nur insofern, als die Minima für beide auf den September sich vereinigten.

Die Ursache der hohen Sterblichkeit an Lungentuberkulose dürfte für Würzburg zum Theil wenigstens darin zu suchen sein, dass namentlich in den älteren Stadttheilen die Bevölkerung dicht zusammengedrängt unter wenig günstigen sanitären Verhältnissen wohnt, noch dazu auf einem Boden der stark durch Auswurfs- und Fäulnisstoffe verunreinigt ist; wenigstens deuten die Ergebnisse zahlreicher Brunnenwasseruntersuchungen sehr darauf hin.

Die Zahl der Todesfälle an Gastritis, Peritonitis u. s. w. waren in beiden Jahren ziemlich gleich. Die Todesfälle an chronischen Herzkrankheiten zeigten 1885 eine um $2,4\frac{0}{1000}$ kleinere Ziffer als im Vorjahre.

Der Magenkrebs zeigte im Jahre 1885 eine Zunahme von $1,2\frac{0}{1000}$ gegen das Vorjahr; ebenso der Gehirnschlag um 2,4, die Ziffern beider Jahre sind höher als jene des Quinquenniums 1878/82, welche für Würzburg 10,4, für die deutschen Städte $8,8\frac{0}{1000}$ betragen. Die Zahl der an Alterschwäche gestorbenen war 1885 um etwas geringer als im Vorjahre 15,4 gegen $16,9\frac{0}{1000}$.

Tödliche Verunglückungen ereigneten sich im Jahre 1884 15, (1 Kind ertrank in einer Waschgelte, ein Knabe im Main, 3 Erwachsene fanden den Tod durch Hinabstürzen von Treppen, 1 Maurer durch Sturz vom Gerüste, 2 Personen stürzten von der Scheune herab, 1 Bahnarbeiter wurde zwischen zwei Puffern zerdrückt, 1 Knecht erlitt mehrfache Frakturen durch Scheuwerden der Pferde, 3 Arbeiter wurden in Steinbrüchen verschüttet, 1 Frau erlitt tödtliche Brandwunden und 1 Person stürzte im Delirium aus dem Fenster); im Jahre 1885 hingegen nur 9 (4 Männer wurden von der Bahn überfahren, 3 darunter im Dienste, 1 Mann stürzte aus dem Fenster, Einer starb durch Schussverletzung, 1 Frau stürzte im Delirium aus dem Fenster, 1 Mann gerieth im Rausche in den Main und ertrank und ein anderer zog sich im selben Zustande durch Sturz von einer Treppe einen Bruch der Schädelbasis zu.

Selbstmorde sind im Jahre 1884 10 zu verzeichnen (5 durch Ertränken, 3 durch Erschiessen, 1 durch Erhängen, 1 durch Vergiftung mit Salzsäure; dem Geschlechte nach waren 3 männlich und 7 weiblich; 4 waren ledig, 4 verheirathet und 2 verwittwet) im Jahre 1885 dagegen 18 (5 durch Ertränken, 5 durch Erschiessen, 3 durch Erhängen, 1 durch Phosphorvergiftung, 1 durch Ertränken im Bade unter gleichzeitiger Vergiftung mit Blausäure, 1 durch Stürzen aus dem Fenster, 1 durch Ueberfahrenlassen von der Bahn und 1 durch Eröffnen der Adern; 12 waren männlich, 6 weiblich; 9 waren ledig, 6 verheirathet, 3 verwittwet).

Das Verhältniss zwischen der Zahl der von Aerzten behandelten und der nicht behandelten Verstorbenen war in beiden Jahren folgendes: selbstverständlich werden hier Selbstmorde, Unglücksfälle, plötzliche Todesfälle bei Herzkranken

und in Folge von Schlagfluss, Tod an Lebensschwäche bald nach der Geburt, Tod durch Fraisen nach sehr kurzer Dauer, kurz alle jene Fälle, bei welchen eine ärztliche Behandlung nicht wohl Platz greifen konnte, ausgeschlossen. Unbehandelt verblieben alsdann noch im Jahre 1884 33 oder 2,4%. Von diesen 33 waren 26 Kinder und zwar starben 3 an Lebensschwäche, 15 an Fraisen, 4 an Durchfall, 3 an Atrophie und 1 an Syphilis. Von den 7 alsdann noch verbleibenden Erwachsenen starben 2 an Altersschwäche, 1 an Leberleiden, 1 an chron. Gelenkentzündung und 3 an Schwindsucht. Im Jahre 1885 blieben ohne Behandlung 16 oder 1,2%; unter diesen 16 waren 13 Kinder, von diesen starben 8 an Fraisen, 2 an Durchfall, 1 an Atrophie und 2 an Keuchhusten. Von den 3 alsdann noch übrigen Erwachsenen starben 2 an Altersschwäche und 1 an Phthisis.

Diese Ziffern sprechen wohl am besten dafür, dass in Würzburg ärztliche Hilfe für Jedermann leicht zugänglich ist.

4. Sterblichkeit nach der Jahreszeit.

(Vergleiche Tafel V. Fig. h, sowie Tabellen III. und IV. S. 62 und 64.)

Die Sterblichkeit jeden einzelnen Monats, pro Jahr und 1000 Einwohner sowie in % der Gesamtsterblichkeit berechnet, gibt folgende Ziffern:

Monate	Zahl der Sterbefälle									
	1884		1885		Auf 1 Jahr und 1000 Einwohner		In % der Gesamtsterblichkeit			
	im Ganzen	darunt. Ortsfremde	im Ganzen	darunt. Ortsfremde	1884	1885	1858-79	1880-84	1884	1885
Januar	122	8	133	16	26,5	29,2	8,8	8,6	8,9	9,8
Februar	128	10	110	6	27,8	24,1	7,7	8,5	9,3	8,0
März	118	14	115	12	25,6	25,2	8,5	10,5	8,7	8,4
April	129	7	137	10	28,0	30,1	9,4	9,8	9,5	10,1
Mai	132	17	128	10	28,6	28,1	9,9	10,2	9,7	9,4
Juni	120	13	109	15	26,0	23,9	8,5	7,8	8,7	8,0
Juli	115	13	111	10	24,9	24,4	8,7	8,5	8,4	8,1
August	111	11	125	14	24,1	27,4	8,0	7,8	8,1	9,2
September	94	12	68	5	20,4	14,9	7,0	6,5	6,9	5,0
October	98	9	78	15	21,2	17,1	6,8	6,8	6,3	5,7
November	86	7	122	15	18,7	27,1	7,5	6,8	8,1	9,0
December	111	9	121	12	24,1	26,5	8,7	7,3	8,2	9,0
im Jahre	1364	130	1357	140	24,6	24,8				

Es zeigt sich, dass im Jahre 1884 übereinstimmend mit dem 20jährigen Durchschnitte das Maximum auf den Mai fällt (Ausschlag gebend sind 32 Fälle von Lungenschwindsucht). Das Minimum des Jahres 1884 fällt auf November, welcher zugleich die geringste Sterblichkeit an Lungenschwindsucht (13 Fälle) aufweist.

Im Jahre 1885 fiel das Maximum auf den April (29 Todesfälle an Schwindsucht und 9 an akuten Erkrankungen der Athmungsorgane), das Minimum auf September (13 Fälle von Schwindsucht und nur 2 an akuten Erkrankungen der Athmungsorgane).

Diese beiden Todesursachen in ihrer Combination erweisen sich hauptsächlich massgebend für die Höhe der Sterblichkeit in den einzelnen Jahresmonaten.

Im 20jährigen Durchschnitt 1858/79 fällt das Maximum auf den Mai, das Minimum auf Oktober. Im 5jährigen Durchschnitt 1880/84 trifft das Maximum auf März, hiebei ist die hohe Sterblichkeit im März 1883, (54,5 aufs Jahr und 1000 Einwohner, durch Masern, Keuchhusten und akute Lungenkrankheiten bedingt), Ausschlag gebend. Das Minimum trifft im genannten Zeitraume auf September.

So viel lässt sich behaupten, dass das Maximum überwiegend in die Frühjahrs- und das Minimum in die Herbstmonate fällt.

5. Sterblichkeit nach Oertlichkeit.

Gut ersichtlich sind diese Verhältnisse aus den umstehenden Tabellen, sowie aus der graphischen Darstellung Tafel VI. Figur A und B.

Keine Berücksichtigung haben hiebei gefunden die in der Entbindungsanstalt Geborenen, die im Juliusspitale, Ehealtenhause und den sonstigen Anstalten Verstorbenen.

Bezüglich des 1. Lebensjahres ist bereits oben Seite 26 das Nöthige angeführt.

Die Zahl der Sterbefälle an Infektionskrankheiten auf 1000 Einwohner war

	1884		1885
nach Distrikten: im II. Distr.	1,7	im II. Distr.	2,2
III. "	1,2	I. "	2,1
I. "	1,0	V. "	1,9
V. "	0,9	III. "	1,8
IV. "	0,7	IV. "	1,6

Sterblichkeit nach der Oertlichkeit.

1884.

Distrikte	Ein- wohner	Geburten auf 1000 Einwohn.	Todesfälle im 1. Lebensjahr		Sterbefälle an Infectionskrankh.		Sterbef. an entz. Lungenkrankh.		Sterbefälle an Tuberkulose		Sterbefälle überhaupt	
			absolut	auf 100 Lebendgeb.	absolut	auf 1000 Einwohner	absolut	auf 1000 Einwohner	absolut	auf 1000 Einwohner	absolut	auf 1000 Einwohner
I. oben	6487	25,4	28	17,0 —	11	1,7	17	2,6	21	3,2	129	19,9
unten	4448	22,0	28	28,6	2	0,4	7	1,6	10	2,2	73	16,4
aussein	4364	36,7	32	20,0	3	0,7	8	1,8	15	3,4	82	18,7
Summa	15299	27,6	88	20,8 =	16	1,0	32	2,1	46	3,0	284	18,6
II. oben	3428	17,8	17	28,0	5	1,5	12	3,1	10	2,9	70	20,4
unten	6142	20,4	30	24,0	11	1,8 +	18	2,9	21	3,4	113	18,4
Summa	9570	19,4	47	25,3	16	1,7 ±	30	3,1	31	3,2	183	19,1 ±
III. oben	2123	12,7	5	18,5	1	0,5	4	1,9	4	1,9	27	12,7
unten	5249	22,9	29	24,2	8	1,5	9	1,7	24	4,5	98	18,7
Summa	7372	19,9	34	23,1	9	1,2	13	1,8 =	28	3,8 ±	125	16,9 =
IV. oben	2020	20,8	10	23,8	1	0,5	8	3,9	8	3,9	49	24,3
unten	4949	25,6	34	26,8	3	0,6	20	4,0 +	23	4,6 +	97	19,6
aussein	4297	23,0	16	17,7	4	0,9	12	2,8	8	1,9	61	14,2
Summa	11266	23,7	60	22,4	8	0,7 =	40	3,6 ±	39	3,5	207	18,4
V. oben	1723	30,2	10	19,2	3	1,7	1	0,6	6	3,5	36	20,9
unten	8418	26,6	32	35,2 +	3	0,9	13	3,8	12	3,5	74	24,6 +
aussein	2703	18,9	11	21,2	1	0,4 —	1	0,4 —	4	1,5 —	26	9,6 —
Summa	7844	24,9	53	27,2 ±	7	0,9	15	1,9	22	2,8 =	136	17,4
Innere Stadt	39987	22,7	223	24,6	48	1,2	109	2,7	139	3,6	764	20,0
Aeusserer Stadt	11364	27,4	59	19,0	8	0,7	21	1,8	27	2,3	169	14,9
Ganze Stadt	51351	23,7	282	23,1	56	1,1	130	2,5	166	3,2	933	18,2

± Maximum

= Minimum nach ganzen Distrikten.

+ Maximum

— Minimum nach den einzelnen Unterabtheilungen.

Sterblichkeit nach der Oertlichkeit. 1885.

Distrikte	Ein- wohner	Geburten auf 1000 Einwohn.	Todesfälle im 1. Lebensjahr		Sterbefälle an Infectionskrankheiten		Sterbefälle an entz. Lungen- krankheiten		Sterbefälle an Tuberkulose		Sterbefälle überhaupt		Durchschnittsalter	
			absol.	auf 100 Leb. hingend.	absol.	auf 1000 Einwohn.	absol.	auf 1000 Einwohn.	absol.	auf 1000 Einwohn.	absol.	auf 1000 Einwohn.	unter 15 Jahren	über 15 Jahren
I. oben	7526	16,7	24	19,0	13	1,7	8	1,1	20	2,7	117	15,5	19,9	2,2
unten	4527	22,3	25	24,8	12	2,7	4	0,9	12	2,7	78	17,2	16,4	1,4
aussein	5380	31,6 +	36	21,2	11	2,0	10	1,9	11	2,0 —	81	15,1	18,7	1,5
Summa	17433	22,8	85	21,4 =	36	2,1	22	1,3 =	43	2,5 =	276	15,8 =	18,6	1,7
II. oben	3957	19,9	25	31,6	10	2,5	9	2,3	15	3,8	85	21,5	20,4	2,2
unten	6155	21,8	38	28,4	12	1,9	10	1,6	19	3,1	114	18,5	18,4	1,4
Summa	10112	21,1	63	29,6 =	22	2,2 =	19	1,9	34	3,4	199	19,7	19,1	1,7
III. oben	2176	14,3 —	4	12,9	2	0,9	2	0,9	9	4,1	36	16,5	12,7	1,7
unten	5437	18,2	31	31,3	12	2,2	12	2,2	23	4,2	116	21,3	18,7	2,0
Summa	7613	17,1	35	26,9	14	1,8	14	1,8	32	4,2 =	152	20,0 =	16,9	2,0 =
IV. oben	2174	17,8	6	13,6	4	1,6	3	1,2	7	2,8	40	16,2	24,3	3,1 +
unten	4355	25,7	36	32,1	9	2,1	12	2,7	18	4,1	110	25,3 +	19,6	0,98 —
aussein	4812	23,1	21	18,2	5	1,0	11	2,3	13	2,7	83	17,2	14,2	1,1
Summa	11641	28,3	63	28,3	18	1,6 =	26	2,2	38	3,3	233	20,0 =	18,4	1,3 =
V. oben	1556	23,4	4	12,1 —	0	0 —	5	3,2	4	2,6	23	14,8	20,9	1,8
unten	3285	27,1	30	33,7 +	7	2,1	12	3,7 +	16	4,8 +	75	22,8	24,6	1,6
aussein	1893	25,3	6	12,5	6	3,2 +	1	0,5 —	4	2,1	22	11,6 —	9,6	1,5
Summa	6734	25,7	40	23,1	13	1,9	18	2,7 =	24	3,6	120	17,8	17,4	1,6
Innere Stadt	41448	20,5	223	26,1	81	2,0	77	1,9	143	3,5	794	19,2	20,0	1,7
Aeusserer Stadt	12085	27,6	63	18,9	22	1,8	22	1,8	28	2,3	186	15,5	14,9	1,4
Ganze Stadt	53533	22,1	286	24,2	103	1,9	99	1,8	171	3,2	980	18,0	18,2	1,6

± Maximum nach ganzen Distrikten.

± Maximum

= Minimum nach den einzelnen Unterabtheilungen.

+ Maximum

Der erste Distrikt zeigte in beiden Jahren die höchste, der vierte die geringste Sterblichkeit.

	1884	1885
in der inneren Stadt	1,2	2,0
in der äusseren „	0,7	1,8
in der ganzen „	1,1	1,9

Nach Unterabtheilungen:

	1884		1885
II. Distr. u.	1,8	V. Distr. a.	3,2
I. „ o.	1,7	I. „ u.	2,7
V. „ o.	1,7	II. „ o.	2,5
II. „ o.	1,5	III. „ u.	2,2
III. „ u.	1,5	IV. „ u.	2,1
IV. „ a.	0,9	V. „ u.	2,1
V. „ u.	0,9	I. „ a.	2,0
IV. „ u.	0,9	II. „ u.	1,9
I. „ a.	0,7	I. „ o.	1,7
III. „ o.	0,5	IV. „ o.	1,6
IV. „ o.	0,5	IV. „ a.	1,0
I. „ u.	0,4	III. „ o.	0,9
V. „ a.	0,4	V. „ o.	0,0

obere Abth. = o., untere Abth. = u. und äussere Abth. = a.

Bei den Unterabtheilungen ist eine Uebereinstimmung während der beiden Jahre nicht ersichtlich. Im Jahre 1885 scheinen die oberen Abtheilungen mit einziger Ausnahme jener des II. Distr. günstiger gestellt als die unteren.

Die Todesfälle an akuten Erkrankungen der Athmungsorgane betrugen auf 1000 Einwohner:

nach Distrikten

	1884		1885
IV. Distr.	3,6	V. Distr.	2,7
II. „	3,1	IV. „	2,2
I. „	2,1	II. „	1,9
V. „	1,9	III. „	1,8
III. „	1,8	I. „	1,3
in der inneren Stadt	2,7		1,9
in der äusseren „	1,8		1,8
in der ganzen „	2,5		1,8

Nach Unterabtheilungen:

1884	1885
IV. Distr. u. 4,0	V. Distr. u. 3,7
IV. „ o. 3,9	V. „ o. 3,2
V. „ u. 3,8	IV. „ u. 2,7
II. „ o. 3,1	IV. „ a. 2,3
II. „ u. 2,9	II. „ o. 2,3
IV. „ a. 2,8	III. „ u. 2,2
I. „ o. 2,6	I. „ a. 1,9
III. „ o. 1,9	II. „ u. 1,6
I. „ a. 1,8	IV. „ o. 1,2
III. „ u. 1,7	I. „ o. 1,1
I. „ u. 1,6	III. „ o. 0,9
V. „ o. 0,6	I. „ u. 0,9
V. „ a. 0,4	V. „ a. 0,5

In beiden Jahren hat die äussere Abtheilung des V. Distrikts die wenigsten Sterbefälle.

Die Zahl der Todesfällen an Lungenschwindsucht war im Verhältnisse zu 1000 Einwohnern:

Nach Distrikten:

1884	1885
III. Distr. 3,8	III. Distr. 4,2
IV. „ 3,5	V. „ 3,6
II. „ 3,2	II. „ 3,4
I. „ 3,0	IV. „ 3,3
V. „ 2,8	I. „ 2,5
in der inneren Stadt 3,6	3,5
in der äusseren „ 2,3	2,3
in der ganzen „ 3,2	3,2

In beiden Jahren zählt der III. Distrikt die meisten Sterbefälle; in beiden Jahren ist die innere Stadt mehr belastet als die äussere.

Nach Unterabtheilungen:

1884	1885
IV. Distr. u. 4,6	V. Distr. u. 4,8
III. „ u. 4,5	III. „ u. 4,2
IV. „ o. 3,9	IV. „ u. 4,1
V. „ o. 3,5	III. „ o. 4,1
V. „ u. 3,5	II. „ o. 3,8
I. „ a. 3,4	II. „ u. 3,1

Nach Unterabtheilungen:

1884		1885	
II. Distr.	u. 3,4	IV. Distr.	o. 2,8
I. „	o. 3,2	I. „	o. 2,7
II. „	o. 2,9	I. „	u. 2,7
I. „	u. 2,2	IV. „	a. 2,7
III. „	o. 1,9	V. „	o. 2,6
IV. „	a. 1,9	V. „	a. 2,1
V. „	a. 1,5	I. „	a. 2,0

Die äusseren Abtheilungen zeigen niedere Ziffern (mit einziger Ausnahme 1884 I. a.)

Die unteren Abtheilungen zeigen hohe Ziffern mit Ausnahme von I. u. in beiden Jahren.

Tiefe Lage und dichte Bevölkerung scheinen begünstigende Momente zu sein.

Die schwer gravirten unteren Abtheilungen

des II. Distrikts haben auf 1 Ar 5,21 Bewohner

„ III.	„	„	„	„	4,90	„
„ IV.	„	„	„	„	4,25	„
„ V.	„	„	„	„	3,79	„

Die einzige Unter-Abtheilung, welche bessere Verhältnisse erkennen lässt, ist jene des I. Distrikts, dieselbe hat nur 2,04 Bewohner auf 1 Ar.

Die Gesamtsterblichkeit zeigt auf 1000 Einwohner berechnet, folgendes Ergebniss:

Nach Distrikten:

1884		1885	
II. Distr.	19,1	III. Distr.	20,0
I. „	18,6	IV. „	20,0
IV. „	18,4	II. „	19,7
V. „	17,4	V. „	17,8
III. „	16,9	I. „	15,8
in der inneren Stadt	20,0		19,2
in der äusseren „	14,9		15,5
in der ganzen „	18,2		18,0

In beiden Jahren ist das Verhalten der inneren Stadt annähernd das gleiche und weniger begünstigte.

Nach Unterabtheilungen:

1884			1885		
V. Distr.	u.	24,6	IV. Distr.	u.	25,3
IV. "	o.	24,3	V. "	u.	22,8
V. "	o.	20,9	II. "	o.	21,5
II. "	o.	20,4	III. "	u.	21,3
I. "	o.	19,9	II. "	u.	18,5
IV. "	u.	19,6	IV. "	a.	17,2
I. "	a.	18,7	I. "	u.	17,2
III. "	u.	18,7	III. "	o.	16,5
II. "	u.	18,4	IV. "	o.	16,2
I. "	u.	16,4	I. "	o.	15,5
IV. "	a.	14,2	I. "	a.	15,1
III. "	o.	12,7	V. "	o.	14,8
V. "	a.	9,6	V. "	a.	11,6

Die äusseren Abtheilungen zeigen in beiden Jahren verhältnissmässig günstige Ziffern.

Das Durchschnittsalter der Gestorbenen, welches in den einzelnen Oertlichkeiten erreicht wurde, war folgendes:

Distrikte:	Durchschnittsalter der Gestorbenen:					
	Unter 15 Jahren		Ueber 15 Jahren		Insgesamt	
	1884	1885	1884	1885	1884	1885
I. oben	2,4	2,2	53,8	55	34,1	36
unten	0,8	1,4	54,9	60	29,6	26
aussen	1,9	1,5	53,7	57	22,2	20
Summa	1,8	1,7	56,6	56	29,7	29
II. oben	2,6	2,2	58,4	53	36,1	29
unten	1,9	1,4	56,3	56	30,8	30
Summa	2,2	1,7	57,2	55	32,1	30
III. oben	0,6	1,7	56,0	54	45,7	42
unten	1,6	2,0	51,0	55	28,3	30
Summa	1,4	2,0	52,5	55	32,0	33
IV. oben	1,4	3,1	58,6	58	39,1	39
unten	1,1	0,98	51,0	57	25,5	30
aussen	1,7	1,1	56,5	54	34,4	32
Summa	1,1	1,3	54,4	56	31,4	32
V. oben	2,6	1,8	43,6	61	27,0	31
unten	3,5	1,6	54,0	51	23,4	22
aussen	1,3	1,5	50,0	53	25,7	27
Summa	2,9	1,6	51,2	53	24,8	24
ganze Stadt	1,9	1,6	55,0	55	30,3	30
innere Stadt		1,4		55		27
äussere Stadt		1,7		54		31

Was das Durchschnittsalter im Ganzen betrifft, so wurden erreicht:

Nach Distrikten:

1884			1885		
II.	Distr.	32,1 Jahre	III.	Distr.	33 Jahre
III.	"	32,0 "	IV.	"	32 "
IV.	"	31,4 "	II.	"	30 "
I.	"	29,7 "	I.	"	29 "
V.	"	24,8 "	V.	"	24 "

Uebereinstimmung zeigt sich in sofern, als der III. Distrikt in beiden Jahren ein hohes Durchschnittsalter, der I. und V. dagegen in beiden Jahren das geringste Durchschnittsalter aufzuweisen haben.

Das erreichte Durchschnittsalter nach Unterabtheilungen war:

1884			1885		
III.	Distr.	o. 45,7 Jahre	III.	Distr.	o. 42 Jahre
IV.	"	o. 39,1 "	IV.	"	o. 39 "
II.	"	o. 36,1 "	I.	"	o. 36 "
IV.	"	a. 34,4 "	IV.	"	u. 32 "
I.	"	o. 34,1 "	V.	"	o. 31 "
II.	"	u. 30,8 "	II.	"	u. 30 "
I.	"	u. 29,6 "	III.	"	u. 30 "
III.	"	u. 28,3 "	IV.	"	u. 30 "
V.	"	o. 27,0 "	II.	"	o. 29 "
V.	"	a. 25,7 "	V.	"	a. 27 "
IV.	"	u. 25,5 "	I.	"	u. 26 "
V.	"	u. 23,4 "	V.	"	u. 22 "
I.	"	a. 22,2 "	I.	"	a. 20 "

In beiden Jahren zeigen übereinstimmend die obere Abtheilung des III. Distrikts und die obere des IV. Distrikts das höchste, die untere Abtheilung des V. Distrikts und die äussere des I. Distrikts das geringste Durchschnittsalter.

Das Durchschnittsalter der in den ersten 15 Lebensjahren Gestorbenen war 1884 am höchsten im V. Distrikt, am geringsten im IV. Distrikt, im Jahre 1885 am höchsten im III. Distrikt, am geringsten im IV. Distrikt.

Für die nach dem 15. Lebensjahre Gestorbenen war es in beiden Jahren am höchsten im II. Distrikt und am geringsten im V. Distrikt.

Distrikte	1884									1885								
	oben			unten			aussen			oben			unten			aussen		
	unt.	üb.	zus.	unt.	üb.	zus.	unt.	üb.	zus.	unt.	üb.	zus.	unt.	üb.	zus.	unt.	üb.	zus.
	15 Jahren			15 Jahren			15 Jahren			15 Jahren			15 Jahren			15 Jahren		
I.	2,4	58,8	34,1	0,8	56,3	29,6	1,9	53,7	22,2	2,2	55	36	1,4	60	26	1,5	57	20
II.	2,6	58,4	36,1	1,9	56,3	30,8				2,2	53	29	1,4	56	30			
III.	0,6	56,0	45,7	1,6	51,0	28,3				1,7	54	42	2,0	55	30			
IV.	1,4	58,6	39,1	1,1	51,0	25,5	1,7	56,5	34,4	3,1	58	39	0,98	57	30	1,1	54	32
V.	2,6	43,6	27,6	3,5	54,0	23,4	1,3	50,0	25,7	1,8	61	31	1,6	51	22	1,5	53	27
	1,9	55,0	36,4	1,8	53,4	27,5	1,6	53,4	27,4	2,2	56	35	1,5	56	28	1,4	55	26

Die oberen Abtheilungen haben im Ganzen ein höheres Durchschnittsalter, als die unteren Abtheilungen und gleichfalls ein höheres, als die äusseren. Auch innerhalb der einzelnen Distrikte lässt sich dies öfter constatiren, doch mit Ausnahmen.

Das Durchschnittsalter für die über 15 Jahre alten Gestorbenen war:

im Jahre 1880 51,2 Jahre im Jahre 1883 53,2 Jahre

„ 1881 51,5 „ „ 1884 55,0 „

„ 1882 51,5 „ „ 1885 55,0 „

dasselbe hat demnach in den letzten Jahren eine Zunahme erfahren.

Allgemeine Schlussfolgerungen.

Die Verhältnisse der beiden Berichtsjahre sind im Ganzen als günstige zu bezeichnen, während das Jahr 1883 unter verderblicher Masern- und Keuchhustenenepidemie zu leiden hatte.

Die Bevölkerung wächst jährlich um ca. 800 Seelen und hatte am 1. December 1885 die Zahl von 55 010 Seelen erreicht. Das Tempo der Zunahme war jedoch im letzten Quinquennium 1880/85 ein langsames (7,9 % der Bevölkerung) als in dem vorhergegangenen (13,4 %).

Die Zahl der Eheschliessungen nahm im Jahre 1884 gegen das Vorjahr um 0,1 % der Bevölkerung und im Jahre 1885 abermals so viel zu.

Die Zahl der Geburten, im Jahre 1883 27,2 auf 1000 Einwohner betragend, hatte sich im Jahre 1884 auf 28,1 ‰ gehoben, im Jahre 1885 dagegen um 1,2 ‰ vermindert.

Die allgemeine Sterblichkeitsziffer, im Jahre 1883 28,4 auf 1000 Einwohner, minderte sich 1884 auf 24,6, erfuhr aber 1885 eine kleine Erhöhung um 0,2 ‰, war jedoch noch um 0,8 ‰ geringer, als die Durchschnittsziffer für die Jahre 1881/85, welche 25,6 ‰ beträgt.

Die Kindersterblichkeit, d. h. das Verhältniss der Todesfälle im 1. Lebensjahre zu 100 Lebendgeborenen war 1883 21,5, minderte sich im Jahre 1884 auf 19,6 ‰, blieb im Jahre 1885 mit 19,7 ‰ nahezu gleich. Im Verhältniss zu 1000 Lebenden waren die Ziffern der Todesfälle im 1. Jahre für die Jahre 1884 und 1885 56,8 und 53,0 ‰, abgesehen vom Jahre 1882, die günstigsten seit 10 Jahren.

Während die Zahl der Todesfälle an Infectiouskrankheiten im Jahre 1883 44,4 auf 10000 Einwohner betrug, war sie 1884 auf 11,4 gesunken, stieg aber 1885 auf 21,4 an.

Was die einzelnen derselben betrifft, so ist:

Die Typhusmortalität von 2,8 im Jahre 1883 auf 1,8 im Jahre 1884 und auf 1,1 auf 10000 Lebende im Jahre 1885 gesunken.

Croup und Diphtheritis hingegen erfuhren 1884 eine Zunahme von 3,5 auf 4,7 ‰ und 1885 abermals eine solche auf 7,9.

Die Sterblichkeit an akuten Erkrankungen der Athmungsorgane minderte sich 1884 von 30,7 auf 27,3 ‰, hat jedoch im Jahre 1885 die Ziffer 30,7 wieder erreicht.

Die Sterblichkeit an Lungenschwindsucht fiel 1884 von 51,0 auf 48,6 und im Jahre 1885 abermals um ein geringes auf 48,4. Gegen den Durchschnitt der Jahre 1878/82 für Würzburg mit 52,3 ist dies allerdings ein kleiner Fortschritt, allein gegenüber der Durchschnittsziffer für die deutschen Städte während desselben Zeitraums 35,2 ‰ erscheinen diese Ziffern immer noch als viel zu hohe.

Die Höhe der Sterblichkeit in den einzelnen Jahresmonaten wird hauptsächlich von zwei Todesursachen, der Sterblichkeit an Lungenschwindsucht und an akuten Erkrankungen der Athmungsorgane beeinflusst.

Nach örtlicher Ausscheidung ergibt sich für die einzelnen Unterabtheilungen folgende Gesamtübersicht:

	Geburtenhäufigkeit		Gesamtsterblichkeit		Sterblichkeit an Lungentuberkulose		Sterblichkeit im 1. Lebensjahre	
	1884	1885	1884	1885	1884	1885	1884	1885
I. Distrikt oben	mittlere	geringe	mittlere	geringe	mittlere	mittlere	geringe	geringe
unten	mittlere	mittlere	geringe	geringe	mittlere	mittlere	mittlere	mittlere
aussen	hohe	hohe	mittlere	mittlere	mittlere	mittlere	mittlere	mittlere
II. " oben	geringe	geringe	mittlere	mittlere	mittlere	mittlere	mittlere	hohe
unten	mittlere	mittlere	mittlere	mittlere	mittlere	mittlere	mittlere	mittlere
III. " oben	geringe	geringe	geringe	geringe	geringe	hohe	geringe	geringe
unten	mittlere	geringe	mittlere	mittlere	hohe	hohe	mittlere	hohe
IV. " oben	mittlere	geringe	hohe	geringe	mittlere	mittlere	mittlere	geringe
unten	mittlere	mittlere	mittlere	hohe	hohe	hohe	mittlere	hohe
aussen	mittlere	mittlere	geringe	geringe	geringe	mittlere	geringe	geringe
V. " oben	hohe	mittlere	mittlere	geringe	mittlere	mittlere	geringe	geringe
unten	mittlere	mittlere	hohe	mittlere	mittlere	mittlere	geringe	geringe
aussen	geringe	mittlere	geringe	geringe	geringe	mittlere	mittlere	geringe

In 33 unter 52 Fällen zeigt sich Uebereinstimmung bezüglich der beiden Jahre.

Die Scala, welche obigen Bezeichnungen zu Grunde gelegt wurde, ist folgende:

	geringe	mittlere	hohe
Geburtenhäufigkeit auf 10 000 Einwohner	bis 199,9	von 200,0—299,9	300 u. mehr
Bezeichnung:	ohne Horizontalstrich	--	=
Gesamtsterblichkeit auf 10 000 Einwohner	bis 179,9	von 180,0—239,9	240 u. darüber
Bezeichnung:	ohne Vertikalstrich		
Kindersterblichkeit auf 100 in derselben			
Oertlichkeit Geborene	bis 19,9	von 20,0—29,9	30 u. darüber
Bezeichnung:	ohne Kreuz	+	++
Sterblichkeit an Lungenschwindsucht auf 10 000 Einwohner	bis 19,9	von 20,0—39,9	40 u. darüber
Bezeichnung:	ohne Ring	⊙	⊗

Es wurde auf Tafel VI. Fig. A u. B versucht, nach dem Muster des Gesundheitsamtes (Arthur Würzburg über die Bevölkerungsvorgänge in deutschen Städten mit 15 000 und mehr Einwohnern im Jahre 1884 in den Arbeiten des Kaiserl. Gesundheitsamtes, I. Band) diese Verhältnisse für die einzelnen Unterabtheilungen der Stadt Würzburg für die Jahre 1884 und 1885 übersichtlich darzustellen.

Morbidität.

A. Infectionskrankheiten.

(Vergl. hiezu Tafel V. Fig. p mit s und Tafel IV. A und B.)

Dank der von der unterfränkischen Aerztekammer im Jahre 1883 gegebenen Anregung und der Mitwirkung des hiesigen ärztlichen Bezirksvereins und der einzelnen Herren practischen Aerzte, ist es nun ermöglicht, eine Morbiditätsstatistik über Infectionskrankheiten für die Jahre 1884 und 1885 vorzulegen. Den sämtlichen sich betheiligenden Herren Collegen erstatte ich für ihre gütige Mitwirkung an dieser Stelle verbindlichsten Dank. Das zu Grunde liegende Schema wurde von einer Commission des Vereins, welcher u. A. auch Herr Geheimrath Gerhardt und Herr Kreismedicinalrath Dr. Gr. Schmitt angehörten, festgesetzt.

Für die Darlegung der einschlägigen Verhältnisse wurde die tabellarische Form als die übersichtlichere gewählt. (Siehe umstehende Tabelle.)

Die Anzahl der gemeldeten Infectionskrankheiten insgesamt war 1884 am grössten im Januar mit 214 Fällen (vorzugsweise Diphtheritis, Keuchhusten und Wasserblattern), am geringsten im September mit 70 Fällen, während im Durchschnitt auf 1 Monat 143 Erkrankungen treffen.

Ergebnisse der vom ärztlichen Bezirksvereine Würzburg bethä-
Würzburg. Auf Grund der wöchentlichen Anmel-

	Im Ganzen angemeldet im Jahre 1884	Nach Monaten:											
		Januar	Februar	März	April	Mai	Juni	Juli	August	Septbr.	October	Novbr.	Deabr.
Brechdurchfall	142	5	9	1	12	21	4	40	25	7	4	8	6
Diphtherie und Croup	433	53	42	43	44	44	34	26	19	15	33	40	40
Dysenteria	1	1	—	—	—	—	—	—	—	—	—	—	—
Erysipelas	92	8	2	5	17	13	5	2	6	8	6	9	14
Intermittens	1	—	—	—	1	—	—	—	—	—	—	—	—
Masern	43	—	2	2	5	2	4	4	—	4	—	7	13
Parotitis epidemica	115	6	9	29	17	13	13	7	3	2	7	8	1
Pneumonia crouposa	251	18	35	33	31	39	20	13	9	8	7	14	24
Puerperalfieber	9	—	1	2	1	1	1	—	—	1	—	—	2
Pyämia	—	—	—	—	—	—	—	—	—	—	—	—	—
Rubeola	28	4	2	2	4	2	—	—	—	—	—	1	13
Scarlatina	145	12	6	7	7	15	29	11	6	6	16	18	12
Tussis convulsiva	243	50	21	14	24	21	15	1	8	12	13	31	33
Typhus abdominalis	48	4	—	3	4	—	10	4	10	7	3	1	2
Varicella	164	53	21	27	24	8	10	—	—	—	—	5	16
	1715	214	150	168	191	179	145	108	86	70	82	142	173

tigten Morbiditätsstatistik der Infectiouskrankheiten in der Stadt
dungen tabellarisch zusammengestellt im Jahre 1884.

Nach Jahreswochen		Bemerkungen
am häufigsten	am seltensten oder fehlend	
12 Fälle in der 30. Woche (Juli). 10 in der 34. Woche (August)	in 11 Wochen fehlend	Die Steigerung im Juli fällt mit der höchsten Jahrestemperatur zusammen. Auf die 29. Woche fällt die höchste Wochentemperatur, 22,9° C., auf die 32. u. 33. Woche treffen hohe Temperaturen, 21,2 und 20,8° C.
15 Fälle in der 7. Woche (Februar) 1 Fall in der 1. Woche (Januar)	1 Fall in der 38. Woche (September) —	
6 Fälle in der 21. Woche (Mai) 1 Fall in der Woche vom 27. April bis 3. Mai	in 12 Wochen fehlend —	
7 Fälle in der 47. Woche (November)	in 35 Wochen fehlend	In den Frühlingsmonaten waren östl. u. nordöstl. Winde vorherr- schend, im März 24,7, im April 33,3, im Mai 24,7% der Gesamt- summe der Windrichtungen eines jeden Monats; im September da- gegen nur 17,8% im August 12,9 und im October 5,4% nordöstl. Windrichtung.
10 Fälle in der 12. Woche (März)	nur in 15 Wochen fehlend	
14 Fälle in der 10. Woche (März)	nur in der 31. Woche (Juli), 36. (Septbr.) und 42. (October)	
13 Fälle in der 8. und 19. Woche (Februar u. Mai).	fehlend	
2 Fälle in der 11. Woche (März)		
6 Fälle in der 49. Woche (December)		Am 16. August niederster Stand des Maines, 0,32 unter Null!
9 Fälle in der 47. Woche (November)	nur in 6 Wochen fehlend	
je 8 in der 24. u. 26. Woche (Juni)		
24 Fälle in der 48. Woche (November)	nur in 6 Wochen fehlend	
7 Fälle in der 34. Woche (August)	in 26 Wochen fehlend	
21 Fälle in der 1. Woche (Januar)	in 19 Wochen fehlend	

Nach örtlicher Auscheidung verteilen sich die wichtigeren Infektionskrankheiten:

1884.

Distrikte	Brech- durchfall	Diph- theritis	Mumps	Scharlach	Keuch- husten	Typhus	Wasser- blattern	Grippe Pneumonie	Andere Infektions- krankh.	Infektions- krankh. überhaupt	Zahl der Infektions- krankh. Einwohner	Fa treffen auf 1000 Einwohner
I. oben	17	91 +	23 +	21	31 +	5	32 +	37 +	38	295 +	6487	45,5
unten	6	26	15	15	6—	10 +	28	19	12	137	4448	30,8
ausen	23 +	28	7	12	12	1	14	24	11	132	4364	30,2
Summa	46 ±	145 ±	45 ±	48 ±	49	16 ±	74 ±	80 ±	61	564 ±	15299	36,9
II. oben	13	62	18	23 +	13	2	14	15	11	171	3428	49,9 +
unten	18	60	9	20	32	8	9	36	21	213	6142	34,7
Summa	31	122	27	43	45	10	23	51	32	384	9570	40,1 ±
III. oben	3	28	7	2—	17	—	7	9	6	79	2123	32,5
unten	13	27	9	17	23	3	10	23	23	148	5249	28,2
Summa	16 =	55	16	19	40 =	3 =	17	32 =	29	227	7372	30,8
IV. oben	2	14	3	2—	10	1	2	8	15	57	2020	28,2
unten	10	26	5	8	17	2	16	24	10	118	4949	23,8
ausen	8	42	10	14	30	1	17	15	15	152	4297	35,6
Summa	20	82	18	24	57 ±	4	35	47	40	327	11266	29,0
V. oben	4	8	2	3	9	3	2—	8	7	46	1728	26,7
unten	23	7	6	4	31	4	7	27	3	112	3418	32,8
ausen	2—	4—	1—	4	12	3	6	6—	2	40—	2703	14,8—
Summa	29	19 =	9 =	11 =	52	10	15 =	41	12	198 =	7844	25,2 =
Ganze Stadt	142	423	115	145	243	43	164	251	174	1700	51351	33,1

± Maximum
+ Maximum
= Minimum nach distriktweiser Zusammenfassung.
— Minimum nach den einzelnen Unterabteilungen.

Während für die ganze Stadt auf 1000 Einwohner 33,1 angemeldete Infectionskrankheiten im Jahre 1884 treffen, fallen auf den II. Distrikt 40,1, auf den I. 36,9, auf den III. 30,8, auf den IV. 29,0 und auf den V. nur 25,2.

Von den einzelnen Unterabtheilungen zeigen die höchste Ziffer:

(Vergl. Tafel VI, Fig. A.)

mit 49,9 die obere Abtheilung des	II. Distrikts	
45,5 die obere	" I.	"
35,6 die äussere	" IV.	"
34,7 die untere	" II.	"
32,8 die untere	" V.	"
32,5 die obere	" III.	" dann folgt
mit 30,8 die untere	" I.	"
30,2 die äussere	" I.	"
28,2 die untere	" III.	"
28,2 die obere	" IV.	"
26,7 die obere	" V.	"
23,8 die äussere	" IV.	"
14,8 die äussere	" V.	"

Was die einzelnen Erkrankungsformen betrifft, so fallen in absoluten Zahlen in den einzelnen Unterabtheilungen die meisten Erkrankungen

	an Brech- durchfall	Diph- theritis	Mumps	Schar- lach	Keuch- husten	Typhus	Wasser- blattern	Croup und Pneumonia	In- fections- krank- heiten über- haupt
auf	I. Distr. a.	I. o.	I. o.	II. o.	I. o.	I. u.	I. o.	I. o.	I. o.
a. aussen	V. u.	II. o.	II. o.	I. o.	V. u.	II. u.	I. u.	II. u.	II. u.
o. oben	II. u.	II. u.	I. u.	II. u.	II. u.	I. o.	IV. a.	V. u.	II. o.
u. unten	I. o.	IV. a.	IV. a.	III. u.	IV. a.	V. u.	IV. u.	IV. u.	IV. a.
	II. o.	I. a.	II. u.	I. u.	III. u.	III. u.	I. a.	I. a.	III. u.
	III. u.	III. o.	III. u.	IV. a.	IV. a.	V. o.	II. o.	III. u.	I. u.
	IV. u.	III. u.	I. a.	I. a.	III. o.	V. a.	III. u.	I. u.	I. a.
	IV. a.	IV. u.	III. o.	IV. u.	II. o.	II. o.	II. u.	IV. a.	IV. u.
	I. u.	I. u.	V. u.	V. u.	I. a.	IV. u.	III. o.	II. o.	V. u.
	V. o.	IV. a.	IV. u.	V. a.	V. a.	I. a.	V. u.	III. o.	III. o.
	III. o.	V. o.	IV. o.	V. o.	IV. o.	IV. a.	V. a.	IV. o.	IV. o.
die wenigsten	IV. o.	V. u.	V. o.	IV. o.	V. o.	IV. o.	IV. o.	V. o.	V. o.
auf	V. a.	V. a.	V. a.	III. o.	I. u.	III. o.	V. o.	V. a.	V. a.

Nach Distrikten zusammengefasst fallen die meisten Erkrankungen

	an Brech- durchfall	Diph- theritis	Mumps	Sebar- lach	Keuch- husten	Typhus	Wasser- blattern	Croup und Pneumonia	In- fections- krank- heiten über- haupt
auf den	I. Distr.	I.	I.	I.	IV.	I.	I.	I.	I.
	II.	II.	II.	II.	V.	II.	IV.	II.	II.
	V.	IV.	IV.	IV.	I.	V.	II.	IV.	IV.
die wenigsten	IV.	III.	III.	III.	II.	IV.	III.	V.	III.
auf den	III.	V.	V.	V.	III.	III.	V.	III.	V.

Aus diesen beiden Uebersichten ergibt sich, dass der I. Distrikt bei fast allen Erkrankungsformen obenan steht, während der V. Distrikt die wenigsten Infectiouskrankheiten aufweist.

Von den einzelnen Unterabtheilungen haben der I. und II. Distrikt oben hohe Zahlen bei den meisten Erkrankungsformen, der V. Distrikt oben und aussen niedere Ziffern.

1885. (Vergl. Tabelle V. Seite 65.)

Die Zahl der gesammten Infectiouskrankheiten war 1885 am höchsten:

im December	399,	vorherrschend	Masern (302) und Diphtheritis (44), dann folgt,
November	361,	"	Masern (276) und Diphtheritis (48),
Januar	143,	"	Erysipel (17), Diphtheritis (32) u. Pneumonien (23),
October	136,	"	Masern (54), Diphtheritis (49),
September	126,	"	Masern (41), Diphtheritis (30) u. Pneumonien (18),
April	126,	"	Keuchhusten (39) und Pneumonien (34),
Juli	118,	"	Brechdurchfall (64),
Februar	109,	"	Rötheln (27) und Wasserblattern (16),
Mai	98,	"	Pneumonien (25),
März	90,	"	Diphtheritis (23),
August	80,	"	Brechdurchfall (30),
Juni	60,	"	Diphtheritis (14) und Pneumonien (11).

Auf den Monat treffen durchschnittlich 154 Erkrankungen.

Dem Geschlecht nach waren:

910 oder 49,3 % männlich,

935 „ 50,7 % weiblich.

Dem Lebensalter nach standen

im 1. Jahre	2.—5.	6.—10.	11.—20.	21.—30.	31.—40.	41.—50.	51.—60.
125	557	589	210	134	74	73	44
		61.—70.		71.—80. und mehr			
		25		14			

Mithin gehörte die grösste Zahl oder 31,9 % der Erkrankten dem Alter von 6—10 Jahren, die nächst höchste Zahl oder 30,2 % dem Alter von 2—5 Jahren an. Diesen beiden Altersklassen zusammengenommen gehört die überwiegende Zahl aller Erkrankungen an, nämlich 62,1 %. (Vergl. Tafel VI. B.)

Nach örtlicher Vertheilung treffen die meisten Erkrankungen an Infektionskrankheiten mit 47,0 auf 1000 Einwohner auf die obere Abtheilung des II. Distrikts, die wenigsten mit 15,3 auf die äussere Abtheilung des V. Distrikts. Im Jahre 1884 zeigte die erstgenannte Abtheilung gleichfalls die höchsten Ziffern mit 49,9 und die letztere die niedersten mit 14,8 auf 1000 Einwohner. In der inneren Stadt ist die Durchschnittsziffer 34,3 (im Vorjahre 34,4), in der äusseren 28,1 (Vorjahr 28,5), in der ganzen Stadt 32,9 (Vorjahr 33,3) und zeigen die beiden Jahre demnach fast völlig gleiches Verhalten.

Die einzelnen Unterabtheilungen zeigen folgendes Verhältniss von den höchsten Ziffern zu den niedersten:

Durchschnitt	Dyphtheritis	Erysipel	Masern	Mumps	er. Pneumonia	Rotheln	Scharlach	Keuchhusten	Typhus	Wasserblattern	Infektionskrankheiten überhaupt	
											1885	1884
V. u.	IV. o.	III. o.	IV. a.	I. u.	V. u.	IV. a.	IV. a.	I. o.	V. a.	III. o.	II. o.	II. o.
III. u.	III. o.	II. o.	II. o.	II. u.	V. o.	I. o.	III. o.	II. o.	I. o.	I. o.	I. o.	I. o.
IV. u.	I. o.	I. o.	I. o.	V. o.	III. o.	V. a.	IV. o.	IV. u.	II. u.	IV. u.	V. u.	IV. a.
III. o.	I. u.	II. u.	I. u.	II. o.	II. o.	I. a.	II. o.	I. u.	I. u.	II. u.	IV. a.	II. u.
V. o.	II. u.	V. u.	V. o.	III. o.	IV. u.	II. u.	I. o.	V. o.	IV. a.	II. o.	I. u.	V. u.
I. u.	III. u.	I. u.	V. u.	I. o.	IV. o.	I. u.	I. a.	I. a.	IV. o.	IV. a.	III. o.	III. o.
II. o.	IV. u.	III. u.	I. a.	III. u.	II. u.	II. o.	V. a.	II. u.	V. u.	V. a.	II. u.	I. u.
II. u.	IV. o.	IV. u.	III. u.	I. a.	III. u.	IV. u.	V. u.	V. u.	II. o.	III. u.	III. u.	I. a.
I. a.	I. a.	V. a.	II. u.	IV. o.	I. a.	V. u.	III. u.	III. o.	III. u.	I. u.	IV. u.	III. u.
IV. o.	IV. a.	I. a.	IV. o.	IV. u.	I. o.	V. o.	IV. u.	III. u.	I. a.	I. a.	I. a.	IV. o.
I. o.	V. a.	IV. a.	IV. u.	IV. a.	IV. a.	III. o.	II. u.	IV. a.	III. o.	IV. o.	V. o.	V. o.
V. a.	V. u.	V. o.	III. o.	V. o.	V. a.	III. u.	I. u.	IV. o.	IV. u.	V. u.	IV. o.	IV. u.
IV. a.	V. o.	IV. o.	V. a.	V. a.	I. u.	IV. o.	V. o.	V. a.	V. o.	V. o.	V. a.	V. a.

Die römischen Ziffern geben den Distrikt, die Buchstaben die Unterabtheilungen an und zwar: o. = oben, u. = unten, a. = aussen.

Die Morbidität an allen Infektionskrankheiten insgesamt war in beiden Jahren 1884 und 1885 gleichmässig am höchsten in der oberen Abtheilung des II. Distrikts, zunächst hoch in der oberen Abtheilung des I. Distrikts und am niedrigsten in der äusseren Abtheilung des V. Distrikts.

Eine weitere Uebereinstimmung ergibt sich auch insofern, als bei Gegenüberstellung der oberen, unteren und äusseren Abtheilungen

	1885			1884		
	oben	unten	aussen	oben	unten	aussen
Distr. I.	42,8	34,0	27,3	45,5	30,8	30,2
" II.	47,0	31,0	—	49,9	34,7	—
" III.	31,7	29,8	—	32,5	28,2	—
" IV.	21,4	28,0	34,1	28,2	23,8	35,6
" V.	26,3	35,3	15,3	26,7	32,8	14,8
Durchschnitt	33,8	31,6	25,6	36,6	30,0	26,9

in beiden Jahren gleichmässig der Durchschnitt für die oberen Abtheilungen höher erscheint, als der für die unteren, und dieser wieder höher als der Durchschnitt für die äusseren Abtheilungen.

B. Morbidität an anderen hygienisch wichtigen Krankheitsformen.

1. Erkrankungen an Krätze sind zu verzeichnen im Jahre 1884: 278, im Jahre 1885: 182, und zwar wurden behandelt:

	1884	1885
im Ehehaltenhause	67	58
im Juliusspital	211	124
	278	182

demnach zeigt 1885 eine erhebliche Abnahme.

2. An Syphilis wurden behandelt:

	an Gonorrhoe			an primärer Syphilis			constitutioneller Syphilis		
	1883	1884	1885	1883	1884	1885	1883	1884	1885
im Militärlazareth . . .	66	44	28	22	21	6	69	50	13
im Ehehaltenhause . . .	5	58	35	5	2	2	3	24	18
im Juliusspital	138	176	106	42	40	25	221	204	200
in der Poliklinik. . . .	26	21	67	—	19	—	50	16	12
	235	299	236	69	82	33	343	294	243

im Ganzen 1883: 647, 1884: 675, 1885: 512. Das Jahr 1885 zeigt im Ganzen und bezüglich der einzelnen Formen eine nicht unbedeutliche Abnahme.

3. An Lungenschwindsucht wurden behandelt:

	1884	1885
im Militärlazareth	96	9
im Ehehaltenhause	—	29
im Juliusspital	148	207
in der Poliklinik	599	129
	843	374

4. An akuten Erkrankungen der Athmungsorgane waren erkrankt:

	1884	1885
im Militärlazareth	8	88
im Ehehaltenhause	39	26
im Juliusspital	207	198
in der Poliklinik	109	65
	363	377

Ernährung im Allgemeinen.

Die Uebersichten des städtischen Accisamtes und der Schlachthofverwaltung geben einen Ueberblick über den Verbrauch der wichtigsten Lebensmittel in hiesiger Stadt und weisen eine beträchtliche Höhe des Fleischconsums auf. Im Jahre 1884 trafen auf den Kopf der Bevölkerung 133,99 Pfd.

Im Jahre 1885 wurden geschlachtet:

Im Schlachthause	Stück	ausserhalb des Schlachthauses Stück	im Ganzen	Durchschnittsgewicht	
				g pro Kopf	= g
Bullen	788	—	788	600	3421800
Ochsen	4914	1	4915		
Stiere	401	3	404		
Kühe u. Kalben	1667	24	1691	375	635125
Raupen	3	—	3	150	450
Schafe	2873	2	2875	40	115000
Ziegen	130	—	130	25	3250
Kälber	16218	2	16220	55	892100
Schweine	18808	226	19034	120	2284080
Ferkel	106	—	106		
Pferde	235	—	235	500	117500
Summa	46143	258	46401		7620805 g

Bei Annahme einer Bevölkerung von rund 55000 treffen auf den Kopf der Bevölkerung 138,53 Pfd. pro Jahr hier geschlachtetes Fleisch.

Der Fleischimport von auswärts bestand in 356,603 Pfund, davon würden auf den Kopf treffen 6,48 Pfd., somit berechnet sich der ganze Fleischconsum pro Kopf und Jahr auf 145,01 Pfd.

Dazu kommt noch eine grosse Quantität Wildpret und Geflügel etc., so dass der Fleischconsum im Ganzen als ein ganz beträchtlicher und in Zunahme begriffener erscheint.

Der Fleischconsum betrug pro Kopf und Jahr

im Jahre 1881	133,99 Pfd.	
1882	140 12	"
1883	133,76	"
1884	133,99	"
1885	145,01	"
mithin im Durchschnitt der 5 letzten Jahre		137,37 Pfd.

Die Zahl der Pferdeschlachtungen war

1883	266
1884	226
1885	235 Stück.

Was den Bierconsum anlangt, so wurden im Jahre 1885 48384 hl Malz der städtischen Besteuerung unterworfen. Nimmt man an, dass aus 1 hl Malz 215 l Bier gebraut werden, so entsprechen diese Zahlen einer Bierproduktion von 104025,60 hl gegen 132111,05 hl im Vorjahre oder um 28085,45 hl weniger.

Davon wurden hier consumirt 63560,08 hl, im Vorjahre 79739,05 hl oder im Jahre 1885 16178,97 hl weniger; dazu wurden von auswärts 56096,55, im Vorjahre 36715,30 hl oder im Jahre 1885 19387,25 hl mehr eingeführt, sohin wurden im Ganzen 119656,63 hl Bier in Würzburg consumirt oder 3202,28 hl mehr als im Jahre 1884.

Das heisst, obschon sich die Produktion des hiesigen Bieres um 28085,45 hl verringert hat und auch der Consum hier gebrauten Bieres um 16178,97 hl geringer geworden ist, hat sich der Bierconsum im Ganzen um 3202,28 hl gesteigert, dadurch dass 19387,25 hl mehr fremdes Bier consumirt wurden als im Vorjahre. Es treffen im Jahre 1885 auf den Kopf der Bevölkerung 218,7 Liter Bier oder um 8,2 Liter mehr als im Jahre 1884.

Auf den Kopf der Bevölkerung trifft consumirtes Bier

1881	256,3 Liter
1882	234,2
1883	218,7
1884	210,5
1885	218,7
oder 227,7 Liter im Durchschnitt der Jahre 1881—1885; die letzten Weinjahre verfehlen nicht, ihren Einfluss auf eine Minderung des Bierconsums geltend zu machen.	

Tabellen.

Tabelle I. und II. Geburten.

Monate	Lebend-Geborene						Todt-Geborene						Gesamtsumme
	Ehelich			Unehelich			Ehelich			Unehelich			
	männl.	weibl.		männl.	weibl.		männl.	weibl.		männl.	weibl.		
	Stadt	Entbindungs- haus	Stadt	Entbindungs- haus	Stadt	Entbindungs- haus	Stadt	Entbindungs- haus	Stadt	Entbindungs- haus	Stadt	Entbindungs- haus	
	Stadt	Entbindungs- haus	Stadt	Entbindungs- haus	Stadt	Entbindungs- haus	Stadt	Entbindungs- haus	Stadt	Entbindungs- haus	Stadt	Entbindungs- haus	

1884.

Januar	48	2	54	2	5	14	5	11	3	—	4	—	—	2	—	1	150
Februar	41	3	45	—	9	18	6	15	1	2	1	—	1	—	1	1	144
März	48	—	48	1	5	16	7	10	2	—	—	—	—	—	—	2	139
April	51	4	33	2	3	14	8	8	1	—	—	—	1	—	—	—	125
Mai	50	2	58	1	7	18	6	15	2	2	—	—	1	1	—	—	163
Juni	59	2	36	1	7	15	8	12	2	—	—	—	—	1	—	—	143
Juli	42	3	40	1	7	11	6	9	2	—	1	—	1	1	—	1	125
August	37	1	42	1	9	11	6	6	1	—	3	—	—	1	2	—	120
September	45	1	39	4	10	14	4	14	2	—	—	—	—	—	—	1	134
October	41	2	49	—	7	10	5	6	1	—	1	—	—	2	—	—	124
November	39	1	41	1	12	16	5	10	—	—	3	—	—	2	—	—	130
December	40	—	30	1	7	17	9	12	2	—	—	—	—	—	—	1	119
Summa	541	21	515	15	88	174	75	128	19	4	13	—	4	10	3	6	1616
	562		530		262		203		23		13		14		9		

1885.

Januar	46	2	46	—	5	10	4	12	1	—	—	—	—	2	—	—	128
Februar	49	—	41	2	6	8	2	6	2	1	1	2	—	1	—	1	122
März	42	1	43	1	6	9	10	13	—	—	5	—	1	2	—	1	134
April	51	1	44	—	5	13	6	12	—	—	2	1	2	1	—	—	138
Mai	32	—	42	3	6	17	7	8	2	1	2	1	1	—	—	—	122
Juni	40	—	40	1	2	12	9	8	2	—	3	—	1	—	—	—	118
Juli	39	3	37	4	5	8	7	10	4	—	3	—	—	1	1	—	122
August	40	1	52	1	10	10	7	7	2	—	—	—	—	2	—	—	132
September	48	1	33	3	5	11	6	10	3	—	5	—	—	—	—	—	125
October	48	1	40	1	4	11	5	7	1	—	2	—	—	—	1	—	121
November	43	2	49	1	5	14	6	14	1	—	2	—	1	—	—	—	138
December	48	2	53	3	6	9	4	14	1	—	2	1	—	—	—	1	144
Summa	526	14	520	20	65	132	73	121	19	2	27	5	6	9	2	3	1544
	540		540		197		194		21		32		15		5		

Tabelle III.

Tabelle der Bevölkerungsvorgänge

Monat	Geburten						Zahl der Todesfälle ohne Tod- geburten			Alter der Gestorbenen												Todesfälle im Julius- spital
	Lebend Geborene					Tottgeborene				0 bis 1 Jahr		1—5 Jahre	6—10 Jahre	11—20 Jahre	21—30 Jahre	31—40 Jahre	41—50 Jahre	51—60 Jahre	61—80 Jahre	81 Jahre und darüber		
	ehelich		unehel.		Summa		männlich	weiblich	Summa	ehelich	unehelich											
	männlich	weiblich	männlich	weiblich																	Summa	
Januar	50	56	19	16	141	9	61	61	122	20	7	11	4	4	11	12	9	12	27	5	8	10
Februar	44	45	27	21	137	7	70	58	128	20	6	17	5	6	10	12	13	12	21	6	10	10
März	48	49	21	17	135	4	60	58	118	18	5	19	3	4	17	9	10	10	19	4	14	14
April	55	55	17	16	123	2	72	57	129	25	9	13	1	5	11	7	13	12	25	8	7	7
Mai	52	59	25	21	157	6	67	65	132	19	11	10	2	5	8	10	23	11	29	4	17	17
Juni	61	37	22	20	140	3	63	57	120	15	9	13	5	5	15	9	11	13	19	4	13	13
Juli	45	41	18	15	119	6	64	51	115	22	8	19	3	5	8	10	9	11	15	5	13	13
August	38	43	20	12	113	7	54	57	111	22	10	6	1	5	9	7	13	11	22	5	11	11
September	46	43	24	18	131	3	50	44	94	15	5	2	7	4	10	12	8	3	23	5	12	12
October	43	49	17	11	120	4	50	48	98	13	8	4	2	3	5	7	13	10	25	8	9	9
November	40	42	28	15	125	5	43	43	86	12	5	7	2	3	5	8	9	12	19	4	7	7
December	40	31	24	21	116	3	73	38	111	15	7	6	1	5	6	9	7	19	29	7	9	9
Summa	562	530	262	203	1557	59	727	637	1364	216	90	129	36	54	115	112	138	136	273	65	130	130
	2,81% der Bevölkerung.					3,7% aller Geburten.	2,46% der Bevölkerung.			22,4%		9,5	2,6	4,0	8,4	8,2	10,4	10,0	20,0	4,8	9,5	9,5

der Stadt Würzburg im Jahre 1884.

Todes-Ursachen																									
Infektions-Krankheiten										Andere vorherrschende Krankheiten							Gewaltsamer Tod								
Masern und Röteln	Scharlach	Diphtherie	Rachen-Croup	Keuchhusten	Unterleibstypus	Flecktyphus	Cholera	Ruhr	Kindbettfieber	Andere Infectionskrankheiten	Lungenschwindsucht	Lungen- und Luftröhren-entzündung	Apoplexie (Schlagfluss)	Acut.Gelenk-Rheumat.	Darm-atach.n. Enteritis	Brechdurchfall	Alle übrigen Krankheiten.	Vergift. v. nicht näher constat. gewalts. Einwirkung.	durch Selbstmord						
																			Vergiftung	Ertränkung	Erhängung	Erschiessen	andere Selbstmordarten	Todtschlag	Todesfälle auf 1 Jahr und 1000 Lebende
2	—	—	2	2	3	—	—	—	—	—	26	18	8	—	1	—	58	1	—	—	—	1	—	—	26,5
—	—	—	1	4	1	—	—	1	1	1	25	21	2	—	—	1	69	1	—	—	—	—	—	—	27,8
—	2	—	1	6	—	—	—	—	1	—	23	17	3	2	4	—	52	—	—	2	—	—	—	—	25,6
1	2	—	1	—	—	—	—	—	—	—	23	22	5	—	8	—	65	1	—	—	—	1	—	—	28,0
—	1	1	—	—	—	—	—	—	—	2	32	13	5	1	9	—	65	1	—	1	—	—	—	—	28,6
—	3	1	—	1	—	—	—	—	—	2	29	9	4	1	6	—	60	2	—	—	—	2	—	—	26,0
—	4	—	3	2	—	—	—	—	—	—	15	8	5	1	8	—	66	2	—	—	—	1	—	—	24,9
—	—	—	—	1	—	—	—	—	—	1	24	14	1	—	10	8	52	—	—	—	—	—	—	—	24,1
—	1	—	1	—	—	—	—	—	1	—	18	1	4	1	4	—	58	3	—	—	1	1	1	—	26,8
—	1	1	—	—	—	—	—	—	—	—	16	3	11	—	2	—	60	2	—	1	—	—	—	—	21,8
1	2	1	—	—	—	—	—	—	—	—	13	9	6	—	—	1	52	1	—	—	—	—	—	—	18,7
—	2	—	3	2	—	—	—	—	—	—	20	16	10	—	—	—	55	1	1	1	—	—	—	—	24,1
4	18	8	20	10	—	—	—	1	3	6	269	151	64	6	52	10	713	15	1	5	1	6	1	—	24,6
0,3	1,3	0,6	1,5	0,73	—	—	—	0,07	0,2	0,4	19,7	11,1	4,7	0,4	3,8	0,73	52,3	1,1	14 1,0					—	

% der Gesamtzahl der Gestorbenen.

Tabelle IV.

Nachweis der Bevölkerungsvorgänge in der Stadt Würzburg im Jahre 1885.

für 1. Juli berechnete Einwohnerzahl 54,700.

Monat	Geborene:						Gestorbene:						Todes-Ursachen:																
	Lebend:			Tott:			(ausschl. Todtgeborene)						Pocken	Masern u. Röteln	Scharlach	Diphtherie u. Group	Unterleibstypus incl. gastrisches u. Nervenleiden	Flecktyphus	Cholera asiatica	Brechdurchfall		darunter von Kindern bis zu 1 Jahr	Kindheit-(Puerperal)Fieber	Lungenschwindsucht	Akute Erkrankungen der Athmungsorgane	Alle übrigen Krankheiten	Vergleichende oder nicht näher festgestellte gewaltsame Einwirkung	Selbstmord	Todesschlag
	Männliche	Weibliche	Insgesamt	Männliche	Weibliche	Insgesamt	Männliche	Weibliche	Insgesamt	Ehelich geb.	darunter im Alter von 0-1 Jahr.	(Brechdurchfall) aller Altersklassen																	
	Männliche	Weibliche	Insgesamt	Männliche	Weibliche	Insgesamt	Männliche	Weibliche	Insgesamt	Ehelich geb.	darunter im Alter von 0-1 Jahr.	(Brechdurchfall) aller Altersklassen	darunter von Kindern bis zu 1 Jahr	Kindheit-(Puerperal)Fieber	Lungenschwindsucht	Akute Erkrankungen der Athmungsorgane	Alle übrigen Krankheiten	Vergleichende oder nicht näher festgestellte gewaltsame Einwirkung	Selbstmord	Todesschlag									
Januar	63	62	125	3	—	3	69	64	133	18	6	6	—	—	—	—	—	—	—	—	2	—							
Februar	63	51	114	4	4	8	55	55	110	10	6	6	—	—	—	—	—	—	—	—	2	—							
März	58	67	125	3	6	9	57	58	115	15	11	11	—	—	—	—	—	—	—	—	3	—							
April	70	62	132	3	3	6	70	67	137	21	7	7	—	—	—	—	—	—	—	—	5	—							
Mai	55	60	115	4	3	7	66	62	128	21	9	9	—	—	—	—	—	—	—	—	5	—							
Juni	54	58	112	3	3	6	57	52	109	21	9	9	—	—	—	—	—	—	—	—	10	—							
Juli	55	58	113	5	4	9	53	58	111	20	10	10	—	—	—	—	—	—	—	—	19	—							
August	61	67	128	4	—	4	56	69	125	26	9	9	—	—	—	—	—	—	—	—	16	—							
September	65	52	117	3	5	8	31	37	68	7	8	8	—	—	—	—	—	—	—	—	23	—							
October	64	53	117	1	3	4	37	41	78	10	5	5	—	—	—	—	—	—	—	—	2	—							
November	64	70	134	2	2	4	66	56	122	11	6	6	—	—	—	—	—	—	—	—	3	—							
December	65	74	139	1	4	5	50	71	121	14	10	10	—	—	—	—	—	—	—	—	6	—							
	787	734	1471	36	37	73	667	690	1357	194	96	96	—	17	—	43	6	—	—	—	80	73	3	265	125	790	9	19	—

chluss des

urg i

Nach

riet

ausser
im
Ganzen

1,7

3,5

7,0

0,6

1

—

9,2

1

2,0

3,0

—

—

1,5

—

1,1

6,1

—

9,0

—

7,3

—

0,2

—

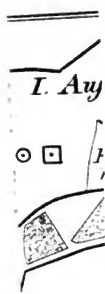
vo

in

luss des J

urg in

N a c h d		
riet		1
Aussch	im Ganzen	class
1,7	1,7	2
3,5	7,0	12
—	—	—
0,9	1,5	2
—	—	—
2,6	15,2	17
0,2	0,4	6
3,0	2,5	4
—	—	—
—	—	—
1,5	1,3	1
1,1	1,2	2
1,9	2,5	3
—	0,9	0
0,9	1,3	1
27,3	35,1	47
30,2	36,9	49
von Hofm in Russere U		



I. Dist



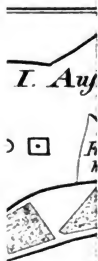
I. Unter



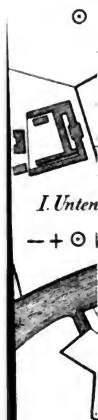
die Kasern



olge X



I. Dist. (



ie Kaserne



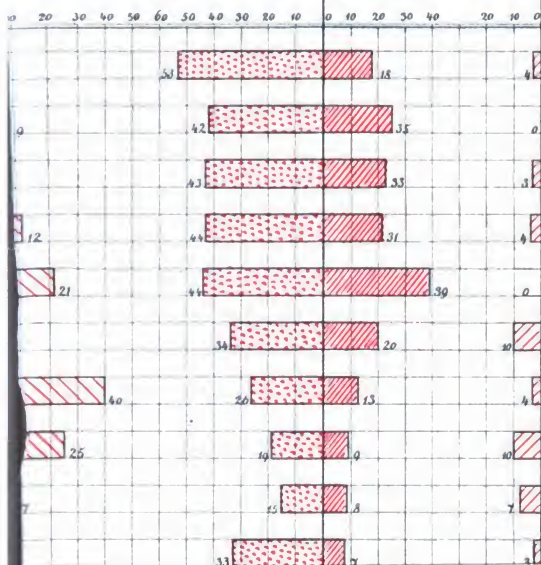
olge XXI

nach den wöchentlichen
Brechdurchfall q



Morbidität

nach den wöchentlichen Meldungen des ärztl. Bez. Vereins)
 Brechdurchfall q/ Croup u. Diphtheritis. r/ Croup
 Pneumonic. s/ Typhus.





Date Due

~~DEC 11 1950~~

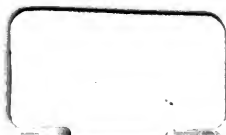


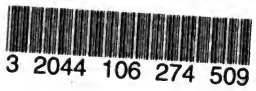


3 2044 106 274 509

Date Due

~~DEC 11 1950~~

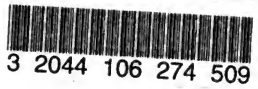




Date Due

~~DEC 11 1950~~





3 2044 106 274 509

Date Due

~~DEC 11 1950~~



